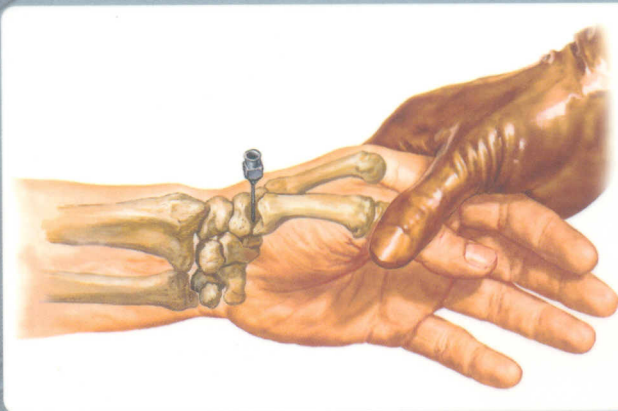


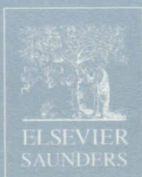
Netter

F. Netter M.D.

**Atlas
Práctico
de Anatomía
Ortopédica**



Jon C. Thompson



MASSON

PREFACIO

El *Atlas Práctico de Anatomía Ortopédica Netter* es un conciso atlas de anatomía ortopédica de fácil utilización, ideado para estudiantes y clínicos. Este libro reúne por primera vez en un único volumen 450 imágenes realizadas por Frank Netter, procedentes tanto del *Atlas de Anatomía Humana* como del volumen 13 de la *Colección de Ilustraciones Médicas Netter*.

Las tablas explican las imágenes y ofrecen información clave sobre huesos, articulaciones, músculos y nervios, así como acerca de abordajes quirúrgicos. El material clínico se presenta de forma clara y concisa, con especial énfasis en traumatismos, procedimientos menores, anamnesis, exploración física y patología.

Se ha empleado un código de colores que facilita la búsqueda de información. Los datos clave se resaltan en negro, rojo o verde para proporcionar fácil acceso a la información clínica más relevante.

NEGRO: texto estándar.

ROJO: información clave que, si se pasa por alto, puede aumentar la morbilidad y/o mortalidad.

VERDE: información clínica de conocimiento indispensable.

ÍNDICE

CAPÍTULO 1	COLUMNA VERTEBRAL	1
CAPÍTULO 2	HOMBRO	43
CAPÍTULO 3	BRAZO	65
CAPÍTULO 4	ANTEBRAZO	87
CAPÍTULO 5	MANO	121
CAPÍTULO 6	PELVIS	147
CAPÍTULO 7	MUSLO/CADERA	167
CAPÍTULO 8	PIERNA/RODILLA	199
CAPÍTULO 9	PIE/TOBILLO	243
CAPÍTULO 10	FUNDAMENTOS	281
ÍNDICE	ABREVIATURAS/ÍNDICE	305

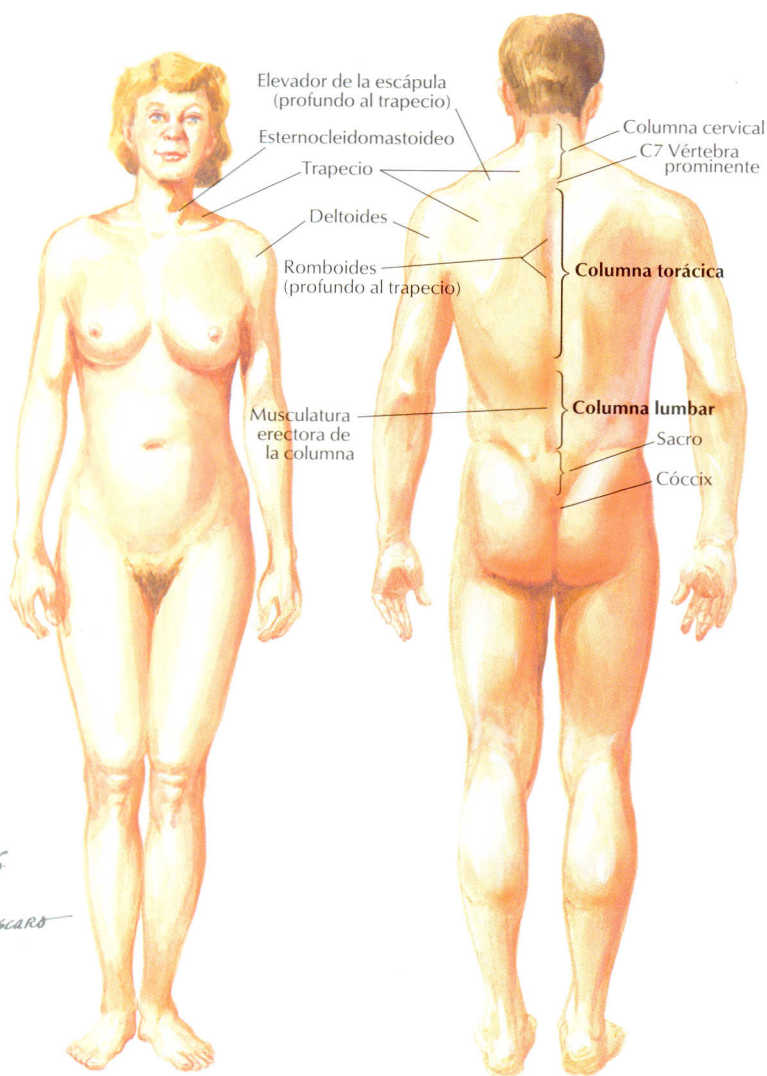
1

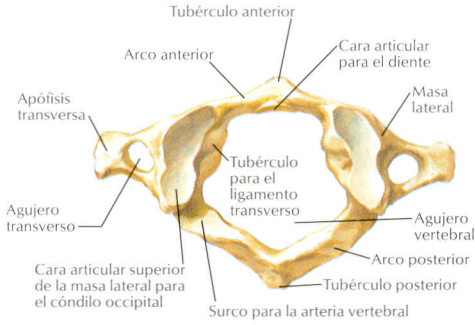
CAPÍTULO

COLUMNA VERTEBRAL

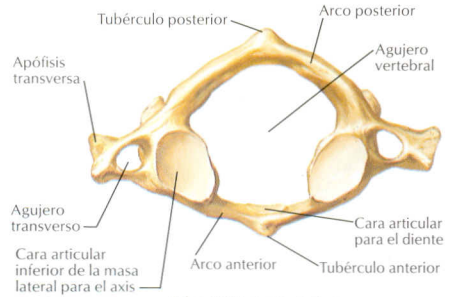
ÍNDICE

Anatomía topográfica	2
Osteología/General	3
Traumatismo	8
Articulaciones	14
Ligamentos	16
Anamnesis y exploración física	18
Músculos	22
Nervios	27
Arterias	34
Patología	36
Patología pediátrica	40
Abordajes quirúrgicos	41

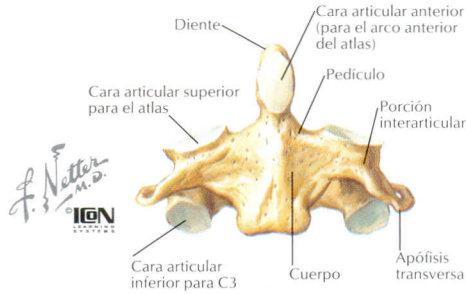




Atlas (C1): visión superior

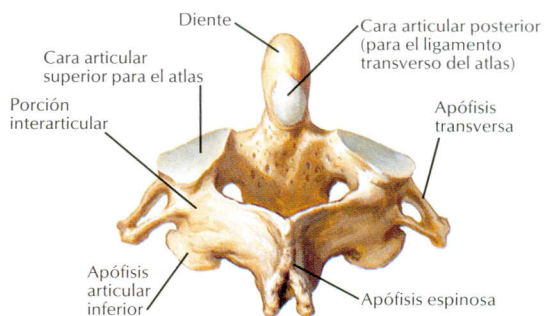


Atlas (C1): visión inferior



Axis (C2): visión anterior

CARACTERÍSTICAS	OSIFICACIÓN	FUSIÓN	COMENTARIO	
C1 ATLAS				
<ul style="list-style-type: none">• Forma anular• Dos masas laterales con carillas articulares• Sin cuerpo, sin apófisis espinosas• Arco posterior con surco	Arco anterior (1) Arco posterior (2) (uno para cada mitad)	6 años Nacimiento	<ul style="list-style-type: none">• La carilla articular superior se articula con el occipucio y el arco anterior se articula con el diente• Fracturas: la mayoría tiene dos puntos• La arteria vertebral discurre por el surco en el arco posterior	
C2 AXIS				
<ul style="list-style-type: none">• El diente/odontoides se articula en la articulación atlantoaxial media	Cuerpo inf. (2) Diente (2) Arco (2)	 Cuerpo Punta 12 años Nacimiento	<ul style="list-style-type: none">• La odontoides presenta vascularización precaria (zona marginal): aumento de incidencia de no unión en fracturas• La rotación cervical se realiza entre C1 y C2	
CERVICALES (C3-7)				
<ul style="list-style-type: none">• Agujero en apófisis transversa• Carillas articulares: «semicoronales», permiten la flexión/extensión, no la rotación• Agujeros intervertebrales estrechos• Apófisis espinosa bifida	Primario Arco Cuerpo Secundario	7-8 sem. (fetal) 7-10 años 11-14 años	1-2 años 18-25 años	<ul style="list-style-type: none">• La arteria vertebral discurre a través del agujero transverso• Riesgo de compresión de las raíces nerviosas• Apófisis transversa C7 sin agujero transverso• C7 vértebra prominente, apófisis espinosa no bifida• Síndrome de Klippel-Feil: fusión congénita de vértebras cervicales
TORÁCICAS				
<ul style="list-style-type: none">• Carillas: forma semicircular; permiten la rotación• Carillas costales (para costillas) T1-9: en la apófisis transversa T10-12: sobre el pedículo	Primario Arco Cuerpo Secundario	7-8 sem. (fetal) 7-10 años 11-14 años	1-2 años 18-25 años	<ul style="list-style-type: none">• La apófisis espinosa T1 es tan prominente como la de C7• Rotación de la columna en la región torácica• Apófisis espinosas superpuestas sobre vértebras inferiores

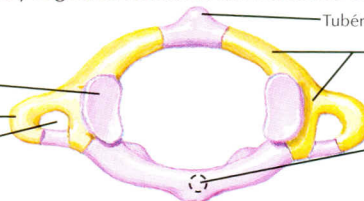


Axis (C2): visión posterosuperior

Primera y segunda vértebras cervicales en el nacimiento

1.ª vértebra cervical (atlas)
(visión superior)

Carilla articular superior
Apófisis transversa
Agujero transverso

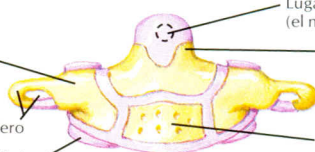


Tubérculo posterior
Arco posterior y masa lateral osificados (el núcleo aparece en el 7.º mes prenatal)
Localización del núcleo de osificación para el arco anterior (aparece al final del 1.º año)

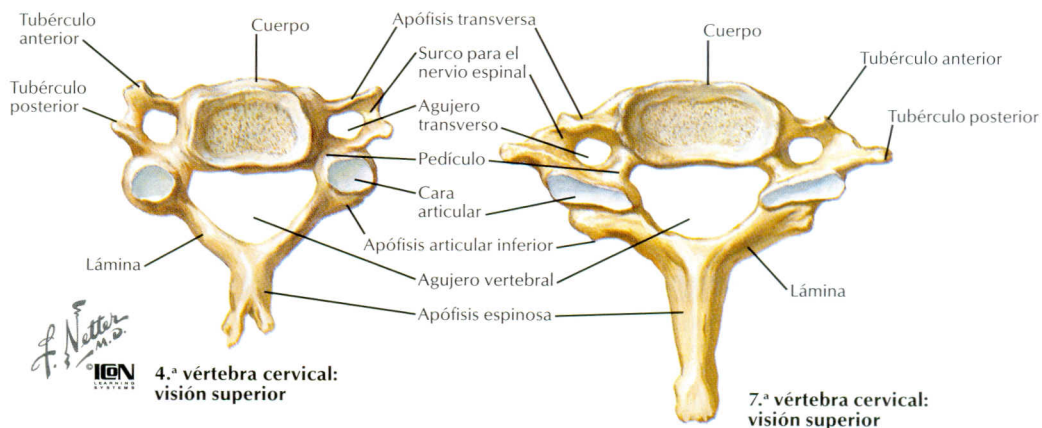
2.ª vértebra cervical (axis)
(visión anterior)

Parte osificada del arco neural
(el núcleo aparece entre la 7.ª y 8.ª semana prenatal)

Apófisis transversa y agujero
Apófisis articular inferior

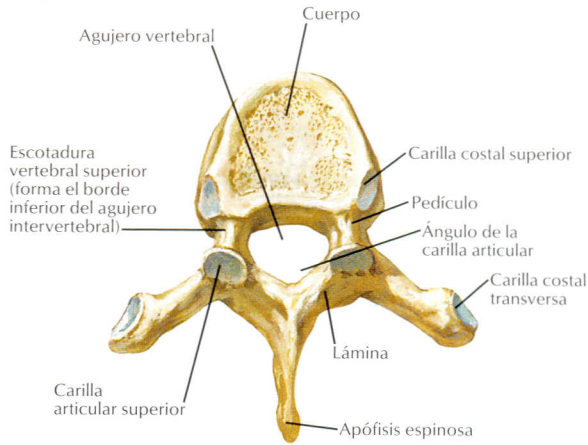


Lugar del núcleo de osificación del diente (el núcleo aparece a los 2-3 años)
Región osificada del diente, originalmente perteneciente al atlas (el núcleo aparece en el 6.º mes prenatal)
Región osificada del cuerpo (el núcleo aparece en el 4.º mes prenatal)

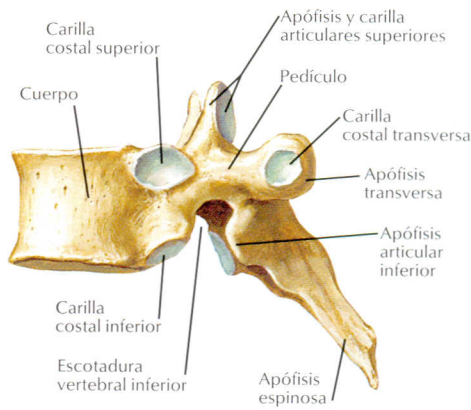


4.ª vértebra cervical:
visión superior

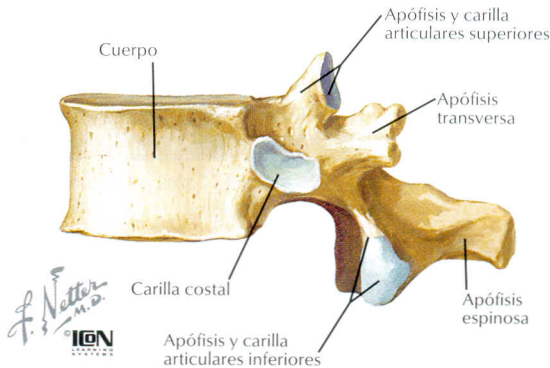
7.ª vértebra cervical:
visión superior



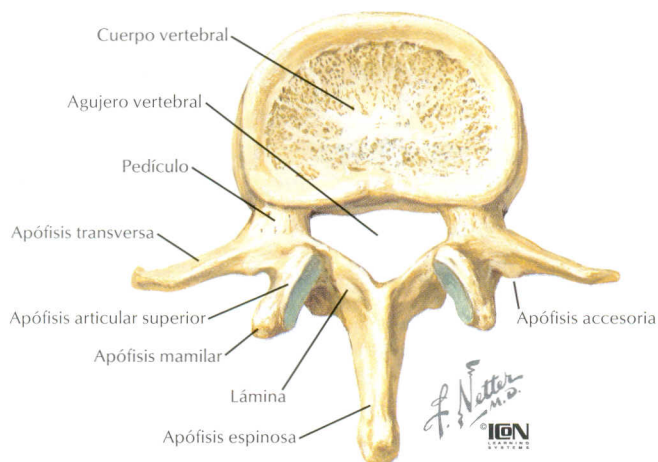
Vértebra T6:
visión superior



Vértebra T6:
visión lateral

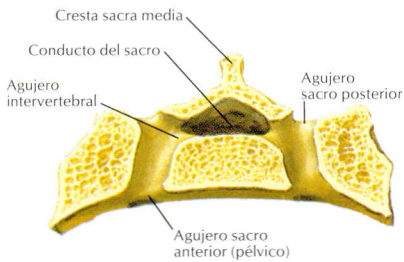
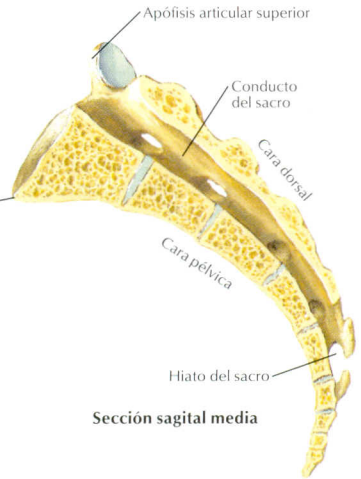
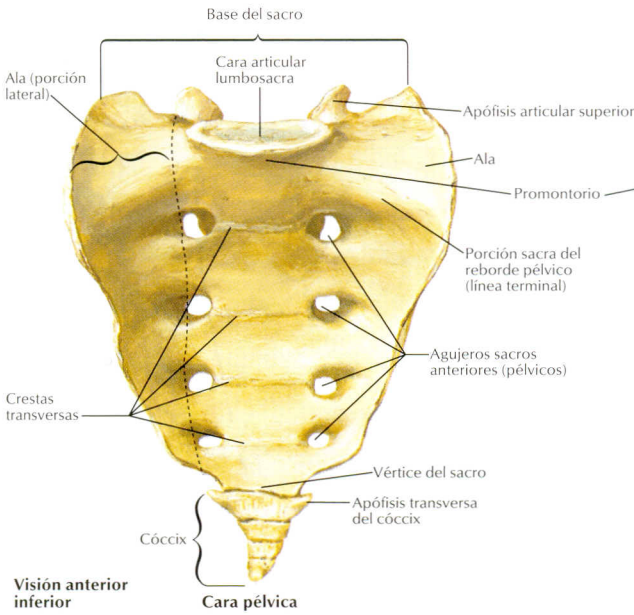


Vértebra T12:
visión lateral

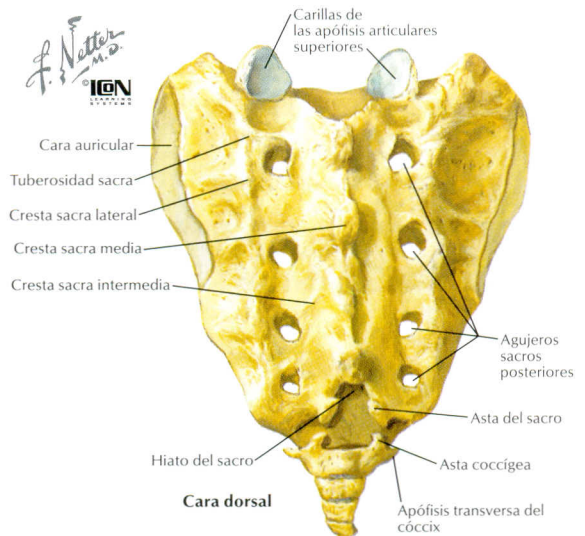


Vértebra L2:
visión superior

CARACTERÍSTICAS	OSIFICACIÓN	FUSIÓN	COMENTARIO
LUMBARES			
<ul style="list-style-type: none"> • Cuerpos vertebrales grandes • Láminas y pedículos pequeños • Apófisis mamilares y accesorias • Carillas articulares: sagital: flexión/extensión, no rotación • Sin carillas costales 	Primario Arco	7-8 semanas (fetal)	1-2 años
	Cuerpo		7-10 años
	Secundario y apófisis mamilar	11-14 años	18-25 años
SACRAS			
<ul style="list-style-type: none"> • 5 vértebras fusionadas • 4 pares de agujeros sacros • El canal sacro se abre al hiato 	Cuerpo	8 semanas (fetal)	2-8 años
	Arcos		2-8 años
	Elementos costales		2-8 años
	Secundario	11-14 años	20 años
COCÍGEAS			
<ul style="list-style-type: none"> • 4 vértebras fusionadas • Carecen de la mayoría de las características de las vértebras típicas 	Primario Arco	7-8 semanas (fetal)	1-2 años
	Cuerpo		7-10 años
Osificación: típicamente 3 núcleos de osificación primarios (cuerpo y los dos arcos) y 5 secundarios (apófisis espinosa, apófisis transversa [2] y regiones superior e inferior del cuerpo vertebral [2])			
Fusión dorsal de los arcos; cuando esto no sucede, se produce espina bífida			
Unión de los arcos con los cuerpos en el siguiente orden (6-10 años): torácica, cervical, lumbar, sacra (7 años). La articulación neurocentral se encuentra en el cuerpo (fusión del arco y el cuerpo)			



Sección coronal a través de los agujeros de S2

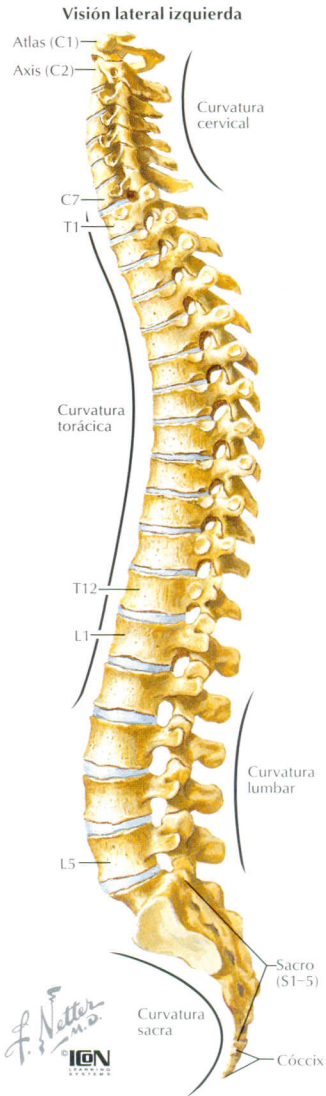


Visión posterior superior

INFORMACIÓN GENERAL

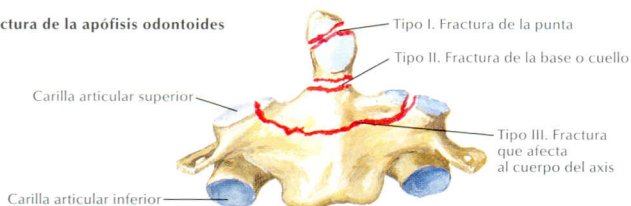
- 33 vértebras: 7 cervicales, 12 torácicas, 5 lumbares, 5 sacras (fusionadas) y 4 coccigeas
- Hueso esponjoso rodeado de hueso cortical
- Canal vertebral entre el cuerpo y la lámina: contiene la médula espinal
- Curvaturas vertebrales:
 - Cervical: lordosis
 - Torácica: cifosis (se incrementa en la **enfermedad de Scheuermann**)
 - Lumbar: lordosis
- Vértebras:
 1. Cuerpo (centro): posee cartilago articular en las caras superior/inferior; aumenta caudalmente
 2. Arco (pedículos y láminas) (sin arco, se desarrolla **espina bifida**)
 3. Apófisis: espinosas, transversas, costales y mamilares
 4. Agujeros: vertebral, intervertebral y transversos
- 3 columnas
 - Anterior: LLA, mitad anterior del cuerpo y anillo
 - Media: LLP, mitad posterior del cuerpo y anillo
 - Posterior: Ligamento amarillo, lámina, pedículos y carillas articulares

NIVEL	ESTRUCTURAS RELACIONADAS
C2-3	Mandíbula
C3	Cartilago hioideo
C4-5	Cartilago tiroideo
C6	Cartilago cricoides
C7	Vértebra prominente
T3	Espina de la escápula
T7	Xifoides, punta de la escápula
T10	Ombiligo
L1	Límite caudal de la médula espinal
L3	Bifurcación aórtica
L4	Cresta iliaca

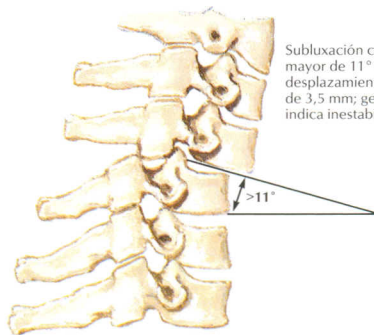
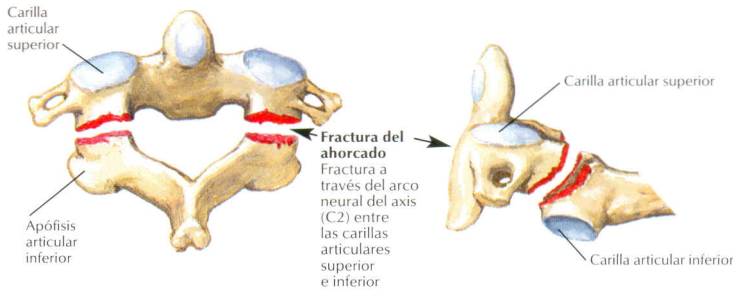
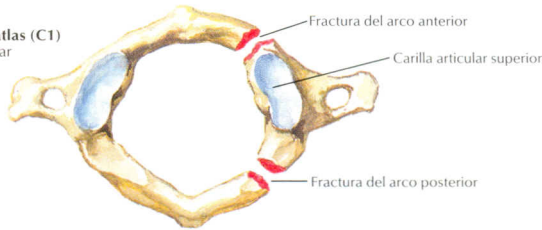


TRAUMATISMO

Fractura de la apófisis odontoides

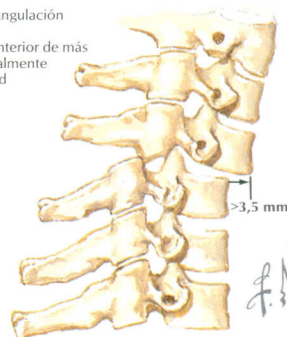


Fractura de Jefferson del atlas (C1)
Cada arco se puede fracturar por una o más zonas



Subluxación con angulación mayor de 11°

Subluxación con angulación mayor de 11° y/o desplazamiento anterior de más de 3,5 mm; generalmente indica inestabilidad



Desplazamiento anterior mayor de 3,5 mm

DESCRIPCIÓN

EVALUACIÓN

CLASIFICACIÓN

TRATAMIENTO

FRACTURAS CERVICALES

- Traumatismo de alta energía: joven-AVM; anciano-caída
- Compresión axial (mecanismo más frecuente) que produce fractura en estallido
- Luxación a consecuencia de mecanismo de flexión/distracción
- **Lesión neurológica poco frecuente** (especialmente con fracturas de C1-2)
- A menudo lesiones asociadas
- 9 criterios predicen la inestabilidad

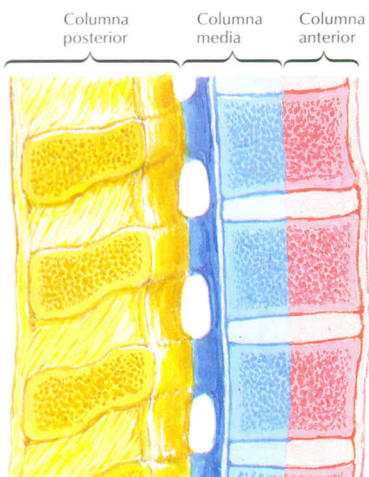
Hx: traumatismo. Dolor que empeora con el movimiento, +/- entumecimiento y debilidad
EF: sensible a palpación, +/- «escalón» y signos neurológicos o mielopáticos. Realizar examen rectal y genital
RX: AP, lateral, odontoides: comprobar partes blandas anteriores
TC: **muestra el canal: (fragmentos pueden comprimir el canal)**
RM: evaluación de partes blandas

Basada en el nivel y localización:
C1: Fractura de Jefferson; fractura de ambos arcos
C1: Fractura masa lateral
C2: **Fractura del ahorcado** (istmo); clasificación de Levine
C2: Odontoides: tipo 1, 2, 3
C3-7: Fractura de apófisis espinosa (fractura del minero): C6, 7, T1 (**C7 es la más frecuente**)

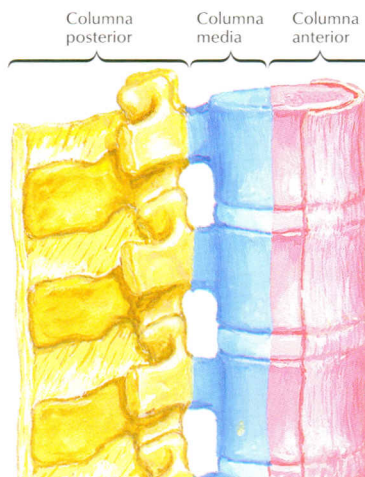
Inmovilizar todas las fracturas, realizar tracción en fracturas inestables de la columna lumbar baja
C1 y 2:
Estables: collarín o halo
Inestables: halo durante 3 meses y/o artrodesis
Odontoides tipo 2: RAFI (peor con tracción)
C3-7:
Estable: collarín o halo
Inestable: artrodesis
Apófisis espinosa: sintomática

COMPLICACIONES: **lesiones neurológicas** (p. ej., VIII par craneal con fractura de C1, etc.); dolor residual; osteoartritis; pseudoartrosis (**en especial en fractura de odontoides de tipo 2**)

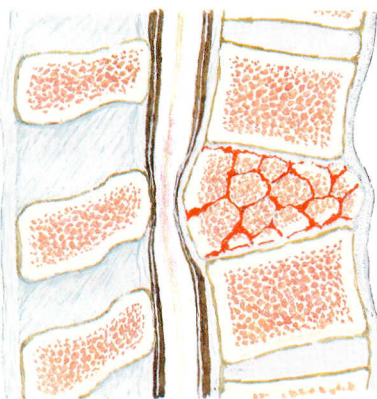
Concepto tricolunar en la estabilidad de la columna vertebral



Concepto tricolunar. Si más de una columna se fractura, se compromete la estabilidad de la columna vertebral



Visión lateral. Las carillas articulares laterales (cigapofisarias) se articulan en la columna posterior, con los agujeros intervertebrales en la columna media



Fractura en estallido del cuerpo vertebral, que afecta a ambas columnas, anterior y media, causando inestabilidad y compresión medular

F. Netter
M.D.
IGM

DESCRIPCIÓN

EVALUACIÓN

CLASIFICACIÓN

TRATAMIENTO

FRACTURAS TORACOLUMBARES

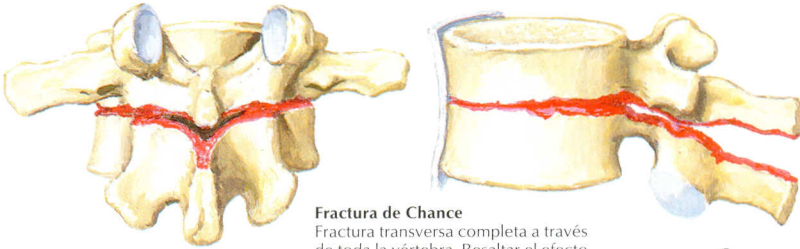
- Mecanismo: AVM, caída
- Fractura de 1 columna: estable
- Fractura de 2 columnas: inestable
- Una fractura de la columna anterior (acuñamiento) con pérdida de altura > 50% se considera de 2 columnas
- Fractura por compresión/acuñamiento (más frecuente)
- Fractura de Chance (rara)
- Déficit neurológicos raros; se observan en las fracturas por estallido

Hx: traumatismo. Dolor, +/- entumecimiento y debilidad
EF: sensibilidad a la palpación, +/- «escalón» y signos neurológicos o mielopáticos
Hacer exploración rectal y genital
RX: AP, lateral columna T-L: altura de los cuerpos, extensión de los pedículos
TC: muestra cualquier estrechez del canal
RM: evaluación de las partes blandas

Mecanismo:
Compresión/acuñamiento columna anterior
Estallido, desplazamiento posterior de los fragmentos; columnas anterior y media (inestable)
Flexión/distracción (fractura de Chance/cinturón de seguridad); 2 (o 3) columnas: posterior y media (anterior)
Fractura/luxación: fractura de las tres columnas

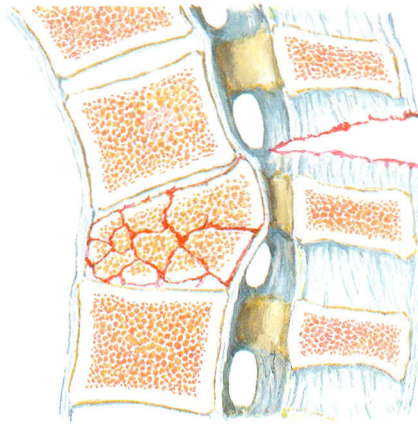
Fracturas estables: reposo en cama, ortesis (OTLS)
Fracturas inestables (o con síntomas neurológicos/compresión de canal): descompresión medular y artrodesis

COMPLICACIONES: lesión neurológica; osteoartritis; lesiones asociadas

Fractura estable**Fractura de Chance**

Fractura transversa completa a través de toda la vértebra. Resaltar el efecto bisagra del ligamento longitudinal anterior

F. Netter M.D.
© IGV
LUTHER



Fractura/luxación: desplazamiento de las tres columnas

Lesiones de la médula cervical: síndromes medulares incompletos

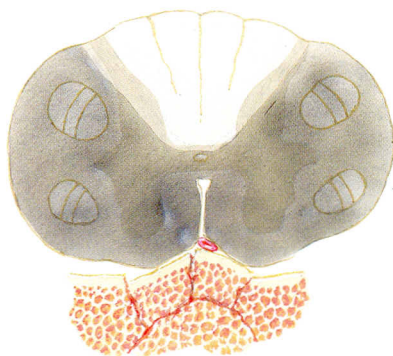
Orientación en la médula espinal



DESCRIPCIÓN	EVALUACIÓN	CLASIFICACIÓN	TRATAMIENTO
<ul style="list-style-type: none"> • Más frecuente en varones jóvenes • Lesión medular completa: sin función y con reaparición del reflejo bulbocavernoso (pasado el shock medular) • Lesión medular incompleta: 4 tipos • Médula anterior: segunda en frecuencia. Lesión en flexión; es la de peor pronóstico • Médula central: la más común. Lesión por hiperextensión, en ancianos (caída), asociada con espondilosis • Posterior: muy poco frecuente (puede no existir) • Brown-Sequard: rara, es la de mejor pronóstico 	<p>HX: traumatismo. Síntomas dependientes de la lesión</p> <p>EF: depende de la lesión</p> <p>Completa: sin función motora ni sensitiva por debajo del nivel de la lesión</p> <p>Anterior: parálisis EINF. > Esup., pérdida de sensibilidad térmica y dolorosa; la sensibilidad vibratoria y propioceptiva están intactas</p> <p>Central: debilidad Esup. > EINF., preservación de la sensibilidad sacra</p> <p>Post: pérdida de la sensibilidad vibratoria y propioceptiva</p> <p>B-S: pérdida motora ipsilateral, vibratoria y propioceptiva; dolor contralateral y pérdida de la sensibilidad térmica</p> <p>RX: seriada de columna cervical, +/- columna toracolumbar</p> <p>TC: si hay pruebas de fractura</p>	<p>Lesión medular completa: sección medular, sin función (el shock medular debe resolverse para su diagnóstico)</p> <p>Incompleta:</p> <p>Anterior: afectación de los tractos espinotalámicos y corticoespinales; columnas posteriores preservadas</p> <p>Central: lesión de materia gris</p> <p>Posterior: destrucción de las columnas posteriores</p> <p>Brown-Sequard (lateral): hemisección medular</p>	<p>Tratar lesiones asociadas: soporte vital primero</p> <p>Corticoides y manitol IV pueden mejorar la función neurológica</p> <p>La inmovilización es la clave del tratamiento</p> <p>Lesiones estables: collarín, férula</p> <p>Lesiones inestables: corsé o fijación interna</p>
<p>COMPLICACIONES: shock neurogénico; disreflexia autonómica (requiere sondaje urinario y/o desimpacción fecal); secuelas neurológicas</p>			
<p>Shock medular: lesión/difunción medular fisiológica (a menudo por compresión o tumefacción) con parálisis y arreflexia. Reaparición del reflejo bulbocavernoso (arco reflejo) que indica el final del shock medular</p>			
<p>Shock neurogénico: hipotensión con bradicardia. La lesión medular provoca una reducción del reflejo simpático (tono vagal sin oposición)</p>			

Síndrome medular central

Hemorragia medular central y edema. Regiones afectadas de los 3 tractos a ambos lados. Miembros superiores más afectados que los inferiores

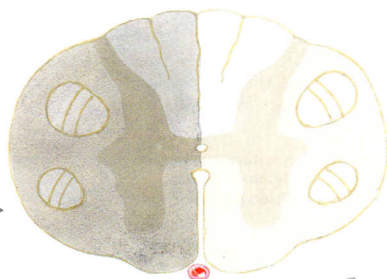


Síndrome de la arteria espinal anterior

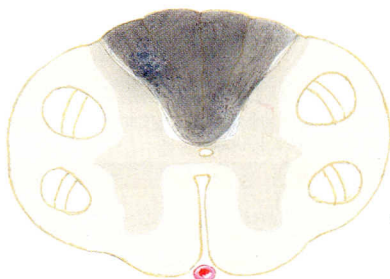
Arteria lesionada por espículas óseas o cartilaginosas (área afectada sombreada). Pérdida bilateral de función motora y sensación dolorosa por debajo del nivel de lesión; sensibilidad propioceptiva conservada

Síndrome de Brown-Sequard

Afectación medular unilateral. Pérdida de la función motora y sensibilidad propioceptiva ipsilateral y dolorosa contralateral



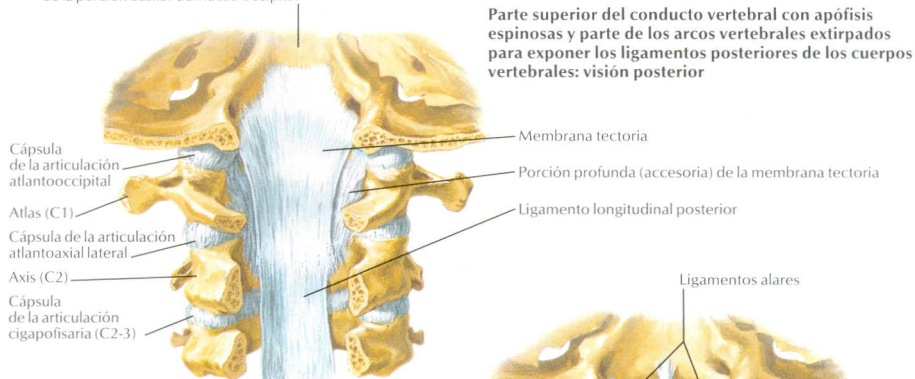
F. Netter M.D.
© IGM



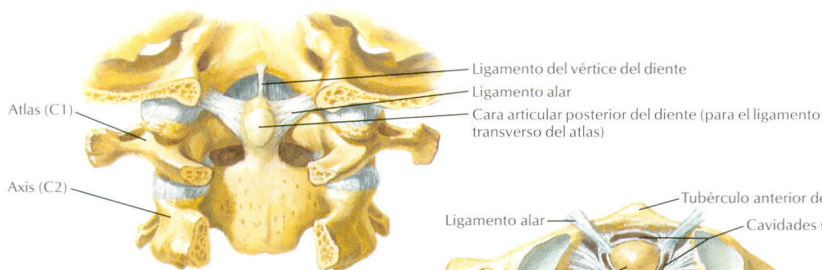
Síndrome de la columna posterior (infrecuente)

Pérdida de la sensibilidad propioceptiva por debajo del nivel lesional; conservación de la sensibilidad dolorosa y función motora

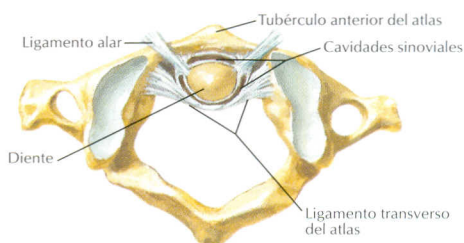
Clivus (superficie característica)
de la porción basilar del hueso occipital



Porción principal de la membrana tectoria
extirpada para exponer los ligamentos
profundos: visión posterior



Ligamento cruciforme extirpado para
mostrar los ligamentos más
profundos: visión posterior



Articulación atlantoaxial media: visión superior

LIGAMENTO

INSERCIÓN

COMENTARIO

ATLANTOOCIPITAL (elipsoide)

Realiza principalmente movimientos de flexión, extensión y lateralización

Membrana tectoria
Cápsula anterior/posterior

Cuerpo del axis y occipucio
en torno a las carillas
articulares

Extensión del LLP
Articulación estabilizada por su inserción en el diente; **laxa en el síndrome de Down**

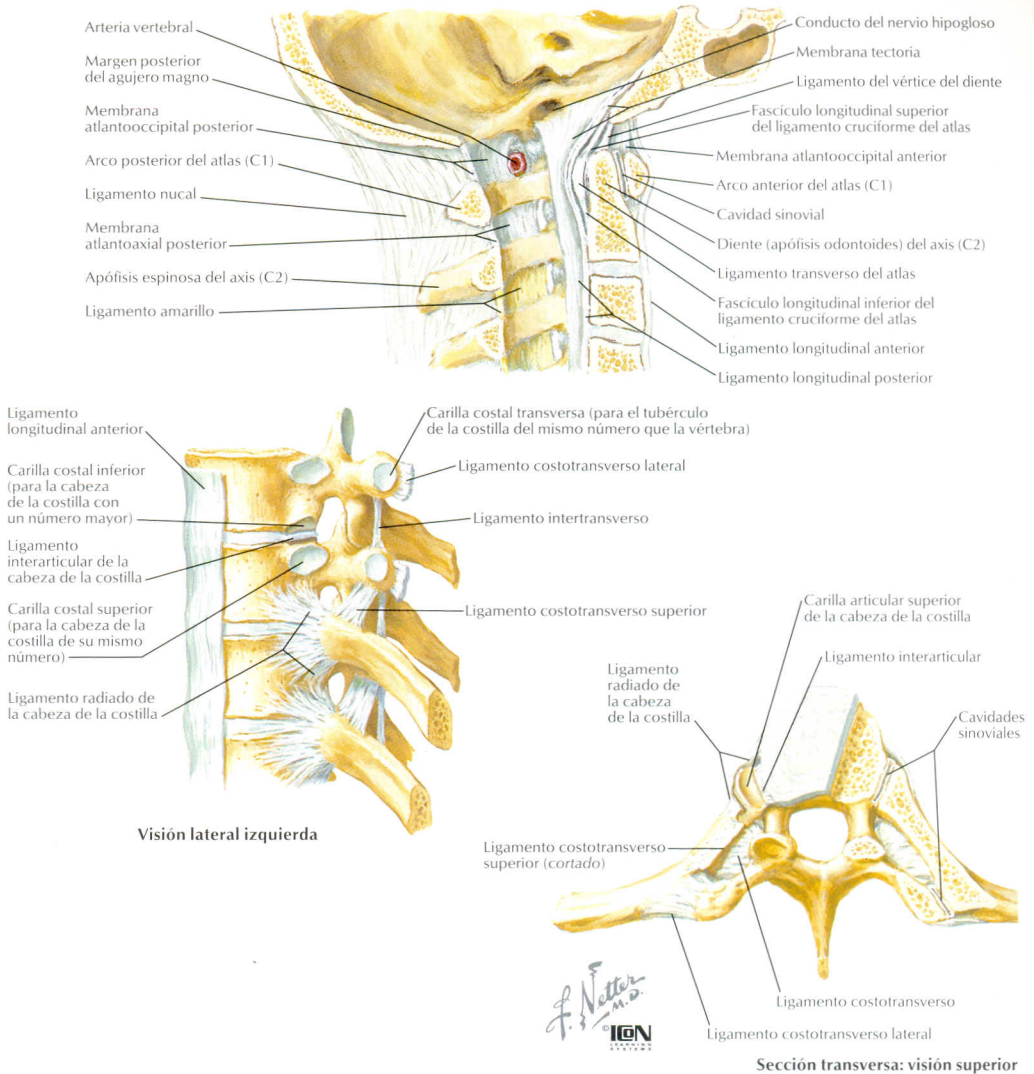
ATLANTOAXIAL MEDIA C1-2 (trocoide)

Realiza principalmente movimientos de rotación; su estabilidad depende de los ligamentos; **inestabilidad en el síndrome de Down**

Transverso
Vértice del diente
Alar
Longitudinal superior
Longitudinal inferior

Masa lateral-diente-masa lateral
Diente a occipital
Diente a cóndilos occipitales
Diente a clivus
Diente a cuerpo del axis

Es el ligamento más resistente: mantiene el diente en posición
Fascículo del ligamento cruciforme
Evita la rotación excesiva de la cabeza
Junto con el transverso y el del vértice, forma el ligamento cruciforme



LIGAMENTO

INSERCIÓN

COMENTARIO

CIGOPOFISARIA (plana)

Posee discos articulares: esta articulación permite la máxima movilidad de la columna

Cápsula

Alrededor de las carillas articulares

Su orientación varía según el segmento vertebral

Su orientación limita el plano de movimiento; C5-6 más móvil (zona preferente de cambios degenerativos); L4-5 mayor flexión

SÍNFISIS INTERVERTEBRAL

Disco intervertebral

Cara inferior y superior de cuerpos vertebrales

Inserciones más resistentes de los cuerpos

LLA

Anterior: cuerpo a cuerpo

Más grueso que el LLP

LLP

Posterior: cuerpo a cuerpo

Más delgado; herniación del disco, normalmente posterolateral

COSTOVERTEBRAL (Luschka)

Cápsula

Alrededor de la cabeza de la costilla y articulación

Mantiene la cabeza en la vértebra

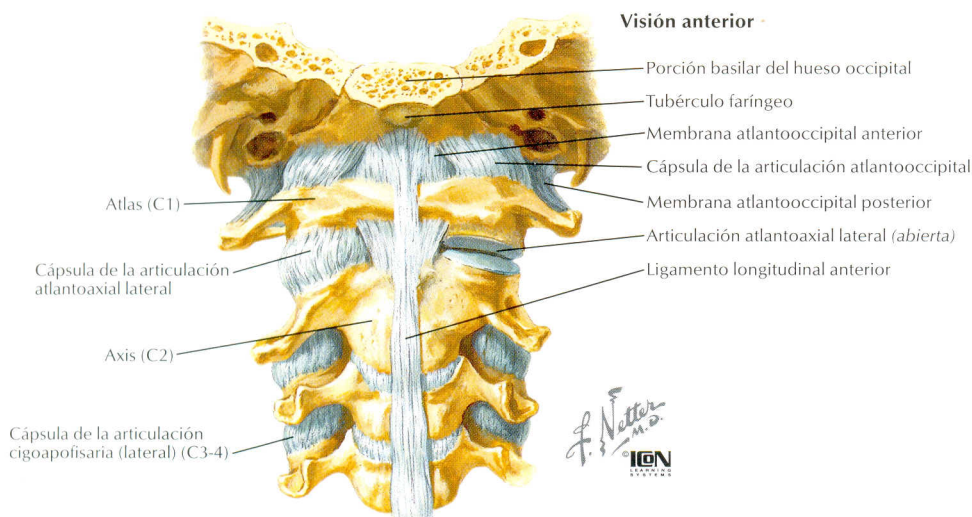
Intraarticular

Cabeza de la costilla al disco

Refuerza la articulación anteriormente

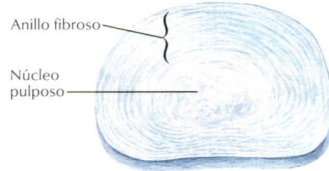
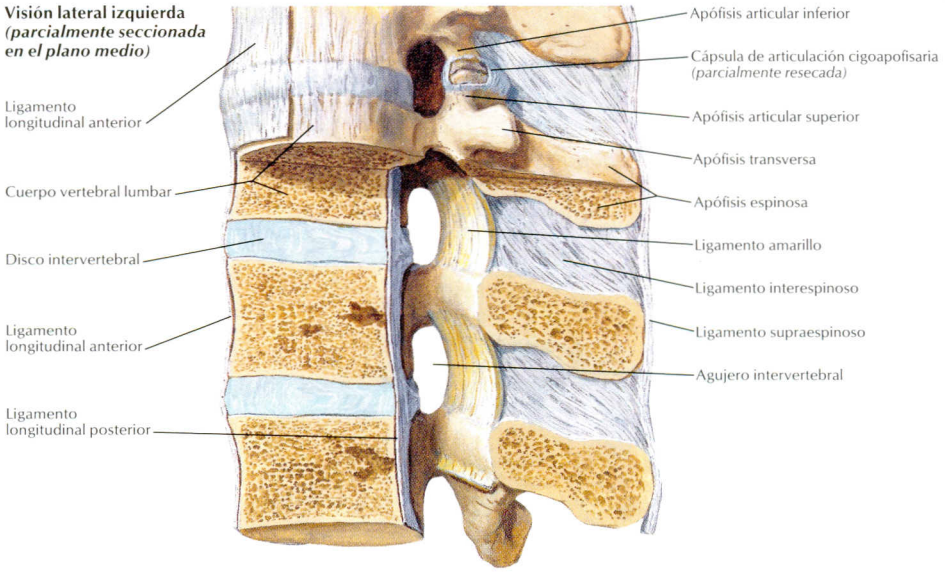
Radiado

Cara anterior de la cabeza a ambos cuerpos

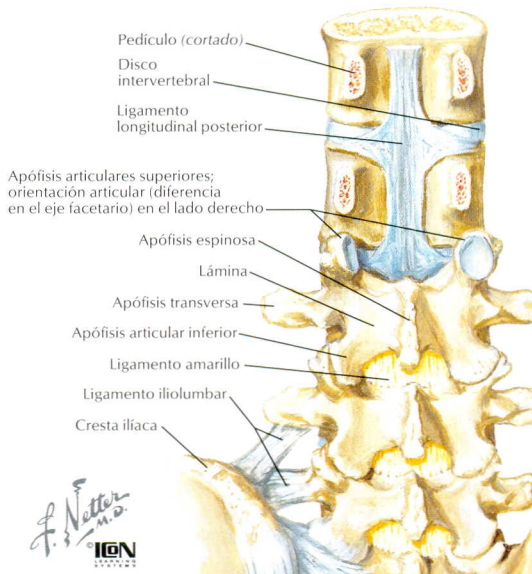


LIGAMENTO	LOCALIZACIÓN	COMENTARIO
Longitudinal anterior (LLA)	Cara anterior de cuerpos vertebrales	Resistente; más grueso en el centro del cuerpo
Longitudinal posterior (LLP)	Cara posterior de cuerpos vertebrales (conecta discos)	Más débil y delgado (herniación lateral o posterolateral)
Intertransverso	Entre apófisis transversas	Débil, aporta poco soporte
Cápsula cigoapofisaria	Rodea la carilla articular	Débil, aporta poco soporte
Ligamento amarillo	Une las caras anteriores de las láminas	Resistente, constantemente en tensión
Ligamento nucal	C7 a protuberancia occipital	Extensión del ligamento supraespinoso
Supraespinoso	A lo largo de las apófisis espinosas hasta C7	Se desconoce su contribución a la estabilidad
Interespinoso	Entre apófisis espinosas	Se desconoce su contribución a la estabilidad
Membrana tectoria	Cara posterior de los cuerpos y diente al <i>clivus</i>	Extensión del LLP
Ligamento transverso	Masa lateral a diente a masa lateral	Parte del ligamento cruciforme; importante estabilizador
Alar	Diente a la protuberancia occipital externa	Limita la rotación excesiva
Iliolumbar	Apófisis transversa L5 a ilion	Puede producirse fractura por avulsión tras traumatismo
DISCOS INTERVERTEBRALES (compuestos de fibrocartílago)		
Anillo fibroso	Periferia; colágeno de tipo I; unido al cartílago hialino articular; amortigua la compresión	
Núcleo pulposo	Central; colágeno de tipo II; gran contenido en agua hasta la vejez; deriva de la notocorda; puede protruir/herniarse a través del anillo; es avascular	

**Visión lateral izquierda
(parcialmente seccionada
en el plano medio)**



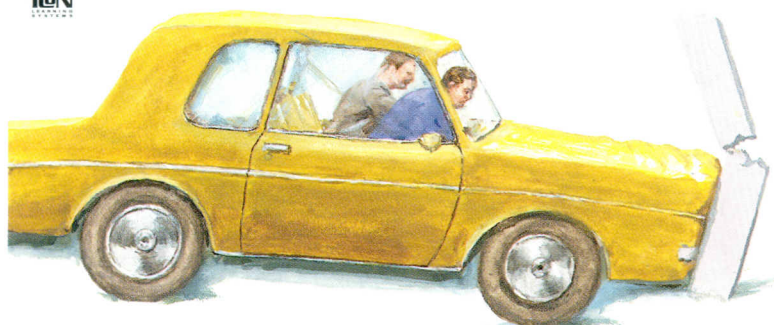
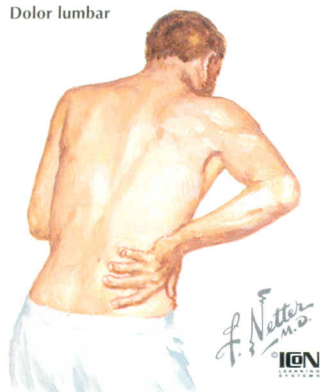
Disco intervertebral



Visión posterior

F. Netter M.D.
ICM

Dolor lumbar



Una colisión frontal contra un objeto estático o un vehículo que se aproxima en sentido contrario puede, si no se usa el cinturón de seguridad, impactar la frente contra el parabrisas. Esta hiperflexión brusca del cuello produce luxación con o sin fractura cervical

PREGUNTA	RESPUESTA	APLICACIÓN CLÍNICA
1. EDAD	Joven Mediana edad Anciano	Lesiones del disco, espondilolistesis Esguince/distensión, herniación del disco, patología degenerativa discal Estenosis vertebral, herniación del disco, patología degenerativa discal, artritis
2. DOLOR		
a. Tipo	Irradiado (calambre) Difuso, sordo, no irradiado	Radiculopatía (herniación del disco, espondilosis) Esguince lumbar o cervical (lesión de partes blandas)
b. Localización	Unilateral frente a bilateral Cervical Brazos (+/- irradiación) Lumbar	Unilateral: herniación del disco; bilateral: patología sistémica o metabólica; lesión ocupante de espacio Espondilosis cervical, esguince cervical o distensión muscular Espondilosis cervical (+/- mielopatía), herniación del disco Patología degenerativa discal, esguince lumbar o distensión muscular, espondilolistesis, tumor
c. Aparición	Piernas (+/- irradiación) Dolor nocturno	Herniación del disco, estenosis vertebral Tumor
d. Alivio	Con actividad Elevación brazos Sentado	Normalmente de etiología mecánica Herniación del disco cervical Estenosis vertebral (disminución estenosis)
e. Empeoramiento	Extensión de la espalda	Estenosis vertebral (p. ej., bajar escaleras)
3. TRAUMATISMO	AVM (¿cinturón de seguridad?)	Esguince cervical (latigazo), fracturas cervicales, lesión ligamentosa
4. ACTIVIDAD	Deportes (lesión por estiramiento)	«Defensas/lanzadores» (especialmente en fútbol americano)
5. SÍNTOMAS NEUROLÓGICOS	Dolor, hipoestesias, hormigueo Espasticidad, claudicación Síntomas vesicales o intestinales	Radiculopatía, neuropatía Mielopatía Síndrome de la cola de caballo
6. AFECTACIÓN SISTÉMICA	Fiebre, pérdida de peso	Infección, tumor



EXPLORACIÓN	TÉCNICA	APLICACIÓN CLÍNICA
INSPECCIÓN		
Marcha	Inclinación anterior	Estenosis del canal
Alineación	Base amplia	Mielopatía
Postura	Desalineación	Luxación, escoliosis, lordosis, cifosis
	Cabeza basculada	Luxación, contractura, espondilosis, torticollis
	Pelvis basculada	Pérdida de lordosis: contractura
Piel	Paciente desnudo	Manchas café con leche, tumoraciones: posible neurofibromatosis
		Manchas vino de Oporto, tumoraciones blandas: posible espina bifida
PALPACIÓN		
Estructuras óseas	Apófisis espinosas	Dolor palpación focal/puntual: fractura. Escalón: luxación/espondilolistesis
Partes blandas	Carillas articulares cervicales	Dolor: osteoartritis, luxación
	Examen coccígeo vía rectal	Dolor: fractura o contusión
	Musculatura paravertebral	Dolor difuso indicativo de esguince/distensión muscular. Punto «gatillo»: contractura
	Fosa supraclavicular	Tumefacción indicativa de fractura clavicular
	Piel	Masas adiposas: posibilidad de espina bifida
BALANCE ARTICULAR		
Flexión/extensión: Cervical	Barbilla a pecho/occipucio a espalda	Normal: flexión: barbilla a 3-4 cm del pecho; extensión 70°
Lumbar	Tocarse los pies con rodillas extendidas	Normal: 45-60° en flexión, 20-30° en extensión
Flexión lateral: Cervical	Oreja a hombro	Normal: 30-40° en cada dirección
Lumbar	Inclinación a ambos lados	Normal: 10-20° en cada dirección
Rotación: Cervical	Estabilizar hombros: rotar	Normal: 75° en cada dirección
Lumbar	Estabilizar cadera: rotar	Normal: 5-15° en cada dirección
NEUROVASCULAR		
Debe realizarse una exploración neurológica completa		
Sensitivo		
CERVICAL		
Supraclavicular (C2-3)	Cervical anterior y región clavicular	Déficit indica lesión del nervio/raíz correspondiente
Nervio axilar (C5)	Cara lateral hombro	Déficit indica lesión del nervio/raíz correspondiente
Nervio musculocutáneo (C6)	Cara lateral antebrazo	Déficit indica lesión del nervio/raíz correspondiente
Nervio radial (C6)	1.º espacio interdigital dorsal	Déficit indica lesión del nervio/raíz correspondiente
Nervio mediano (C7)	Borde radial del 3.º dedo	Déficit indica lesión del nervio/raíz correspondiente
Nervio cubital (C8)	Borde cubital del 5.º dedo	Déficit indica lesión del nervio/raíz correspondiente
Nervio cutáneo medial del antebrazo (T1)	Cara medial del antebrazo	Déficit indica lesión del nervio/raíz correspondiente

(Continúa)

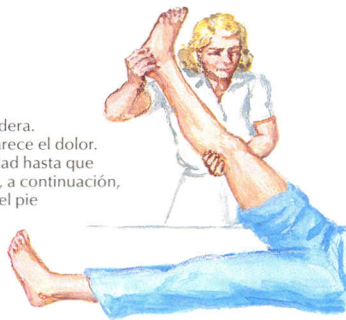
Signo de Lasègue



Rodilla extendida, cadera relajada

Flexión pasiva de la cadera.
Detenerse cuando aparece el dolor.
Descender la extremidad hasta que
el dolor desaparezca y, a continuación,
flexionar dorsalmente el pie

F. Netter M.D.
© IGM



EXPLORACIÓN

TÉCNICA

APLICACIÓN CLÍNICA

NEUROVASCULAR (Continuación)

Debe realizarse una exploración neurológica completa (v. otras secciones para detalles)

LUMBAR

Nervio femoral/safeno (L4)

Cara medial de pierna y tobillo

Déficit indica lesión del nervio/raíz correspondiente

Nervio peroneo superficial/
profundo (L5)

Dorso del pie y 1.^{er}-2.^o espacios
interdigitales

Déficit indica lesión del nervio/raíz correspondiente

Nervio tibial/sural (S1)

Cara lateral del pie

Déficit indica lesión del nervio/raíz correspondiente

Nervios sacros (S2, 3, 4)

Sensibilidad perianal

Déficit indica lesión del nervio/raíz correspondiente

Motor

CERVICAL

Nervio accesorio (PC XI)

Flexión y rotación cuello

Debilidad = lesión del ECM o nervio/raíz correspondiente

Nervio axilar (C5)

Abducción del hombro
contrarresistencia

Debilidad = lesión del deltoides o nervio/raíz correspondiente

Nervio musculocutáneo (C5-6)

Flexión del codo
contrarresistencia

Debilidad = lesión del braquial o nervio/raíz correspondiente

Nervio radial (NIP) (C7)

Extensión digital

Debilidad = lesión del ED, EI, EM o nervio/raíz correspondiente

Nervio mediano (C8)

Flexión pulgar, oposición,
abducción

Debilidad = lesión del FLP/ musculatura tenar o nervio/raíz
correspondiente

Nervio cubital (ramo profundo) (T1)

Cruce de dedos
(abducción/aducción)

Debilidad = lesión de los ID/IP o nervio/raíz

LUMBAR

Nervio peroneo profundo (L4)

Inversión del pie y dorsiflexión

Debilidad = lesión del tibial anterior o nervio/raíz

Nervio peroneo profundo (L5)

Extensión del dedo gordo

Debilidad = lesión del ELDG o nervio/raíz

Nervio peroneo superficial (S1)

Eversión del pie

Debilidad = lesión del peroneo largo/corto o nervio/raíz

Nervio tibial (S1)

Flexión del dedo gordo

Debilidad = lesión del FLDG o nervio/raíz

Reflejos

C5

Bicipital

Disminución/ausencia indica radiculopatía C5

C6

Braquiorradial

Disminución/ausencia indica radiculopatía C6

C7

Tricipital

Disminución/ausencia indica radiculopatía C7

L4

Rotuliano

Disminución/ausencia indica radiculopatía L4

S1

Aquileo

Disminución/ausencia indica radiculopatía S1

S1, 2, 3

Bulbocavernoso

Con dedo en el recto, golpear el pene (Foley): espasmo
del esfínter anal

NMS

Babinsky/clonus

Alzamiento del dedo gordo es compatible con lesión NMS

Pulsos

Extremidad superior

Braquial, radial, cubital

Disminuido/ausente = lesión o compromiso vascular

Extremidad inferior

Femoral, popliteo, pedio,
tibial posterior

Disminuido/ausente = lesión o compromiso vascular

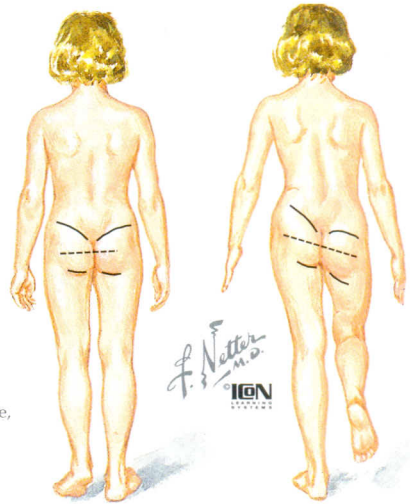
Prueba de flexión en bipedestación

Valoración de la giba costal y evaluación de la corrección de la curva a medida que el paciente gira de lado a lado



Prueba de Trendelenburg

Con apoyo monopodal sobre el lado afectado, la cadera derecha descende, lo cual indica debilidad de la cadera izquierda



EXPLORACIÓN

TÉCNICA

APLICACIÓN CLÍNICA

PRUEBAS ESPECIALES

CERVICAL

Spurling

Carga axial; entonces, flexión lateral y rotación del cuello

Dolor irradiado indicativo de compresión de la raíz nerviosa

Distracción

Fuerza de distracción ascendente

Alivio de los síntomas que indica compresión del agujero de la raíz nerviosa

LUMBAR

Lasègue

Flexión de cadera hasta sentir dolor; dorsiflexión del pie

Reproducción de síntomas (dolor por debajo de la rodilla) indicativos de etiología radicular

Lasègue 90/90

Decúbito supino: flexión de cadera y rodilla 90°, extensión de rodilla

> 20° de flexión = origen del dolor: isquiotibiales cortos

Cuerda de arco

Elevación de la pierna, flexión de rodilla, aplicar presión poplíteo

Dolor radicular con la presión poplíteo indicativo de etiología del nervio ciático

Lasègue en sedestación (signo del giro)

Sentado: paciente en distracción, extensión pasiva de la pierna

Un paciente con dolor ciático se arqueará o girará al extender la rodilla

Kernig

Decúbito supino: flexión de cuello

Dolor o irradiación a extremidades inferiores, indicativos de irritación meníngea o infección

Brudzinski

Decúbito supino: flexión del cuello, flexión de cadera

Disminución del dolor al flexionar la rodilla, indicativo de irritación meníngea

Flexión en bipedestación

De pie, flexión de la cintura

Asimetría de la espalda (escápula/costillas) indicativa de escoliosis

Trendelenburg

Apoyo monopodal

Descenso de la cadera del lado de la pierna elevada: debilidad del glúteo medio

Hoover

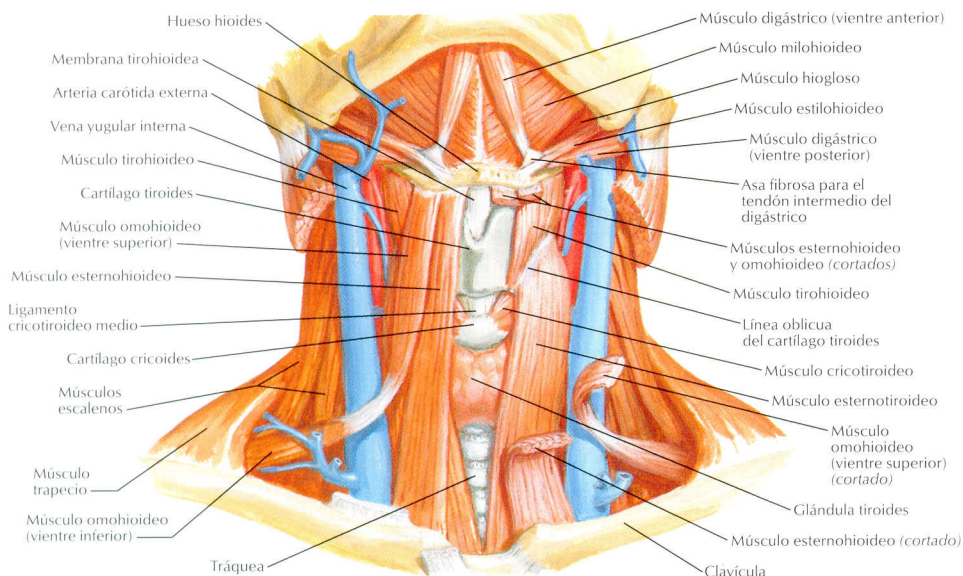
Decúbito supino: con manos bajo los talones, el paciente eleva una pierna

Debe notarse presión sobre el talón contralateral.

La ausencia de presión indica falsa debilidad (ausencia de esfuerzo)

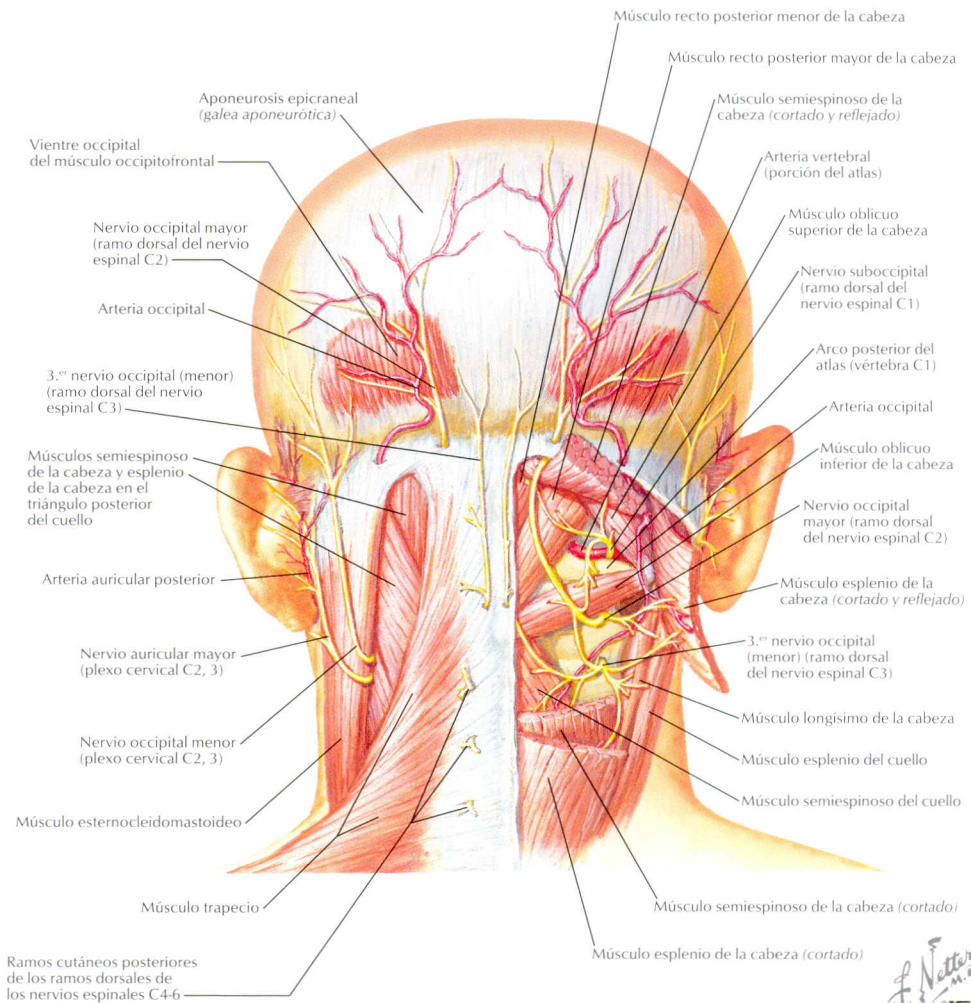
Signos de Waddell

Su presencia indica patología no orgánica: 1) respuesta exagerada o hiperreacción; 2) dolor al tacto ligero; 3) localización no anatómica del dolor, y 4) signo del giro negativo con prueba de Lasègue positiva



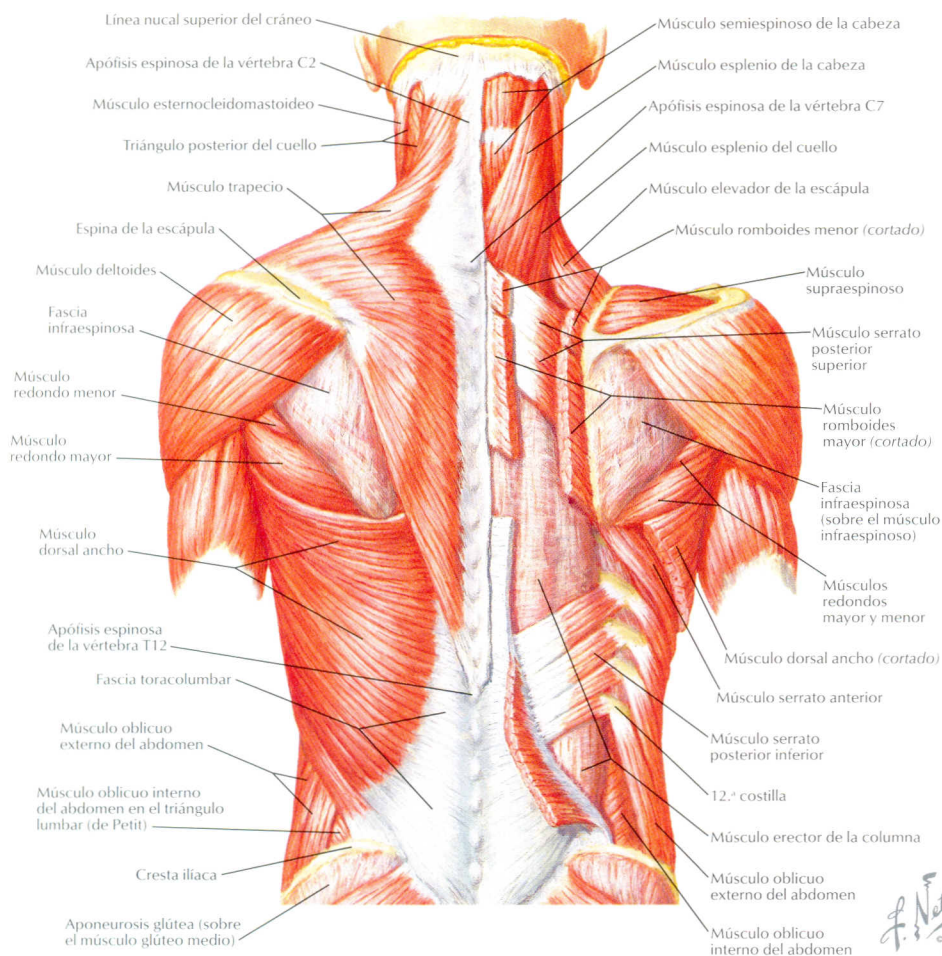
F. Netter
M.D.
ION

MÚSCULO	ORIGEN	INSERCIÓN	ACCIÓN	INERVACIÓN
REGIÓN CERVICAL ANTERIOR				
Platisma	Fascia: deltoides/ pectoral mayor	Mandíbula; piel	Deprime la mandíbula	VII PC
MÚSCULOS SUPRAHIOIDEOS				
Digástrico	Anterior: mandíbula Posterior: escotadura mastoides	Cuerpo del hioides	Eleva el hioides, deprime la mandíbula	Anterior: milohioideo (V PC) Posterior: facial (VII PC)
Milohioideo	Mandíbula	Rafe en el hioides	Igual que el anterior	Milohioideo (V PC)
Estilohioideo	Apófisis estiloides	Cuerpo del hioides	Eleva el hioides	Nervio facial (VII PC)
Genihioideo	Espina mentoniana de la mandíbula	Cuerpo del hioides	Eleva el hioides	C1 vía XII PC
MÚSCULOS INFRAHIOIDEOS (INCLUIDO EL ECM)				
<u>SUPERFICIAL</u>				
Esternohioideo	Manubrio y clavícula	Cuerpo del hioides	Desciende el hioides	Asa cervical (C1-3)
Omohioideo	Escotadura supraescapular	Cuerpo del hioides	Desciende el hioides	Asa cervical (C1-3)
<u>PROFUNDO</u>				
Tirohioideo	Cartilago tiroides	Asta mayor del hioides	Desciende/retrae hioides/laringe	C1 vía XII PC
Esternotiroido	Manubrio	Cartilago tiroides	Desciende/retrae hioides/laringe	Asa cervical (C1-3)
ECM	Manubrio y clavícula	Apófisis mastoides	Gira la cabeza hacia el lado opuesto	XI PC



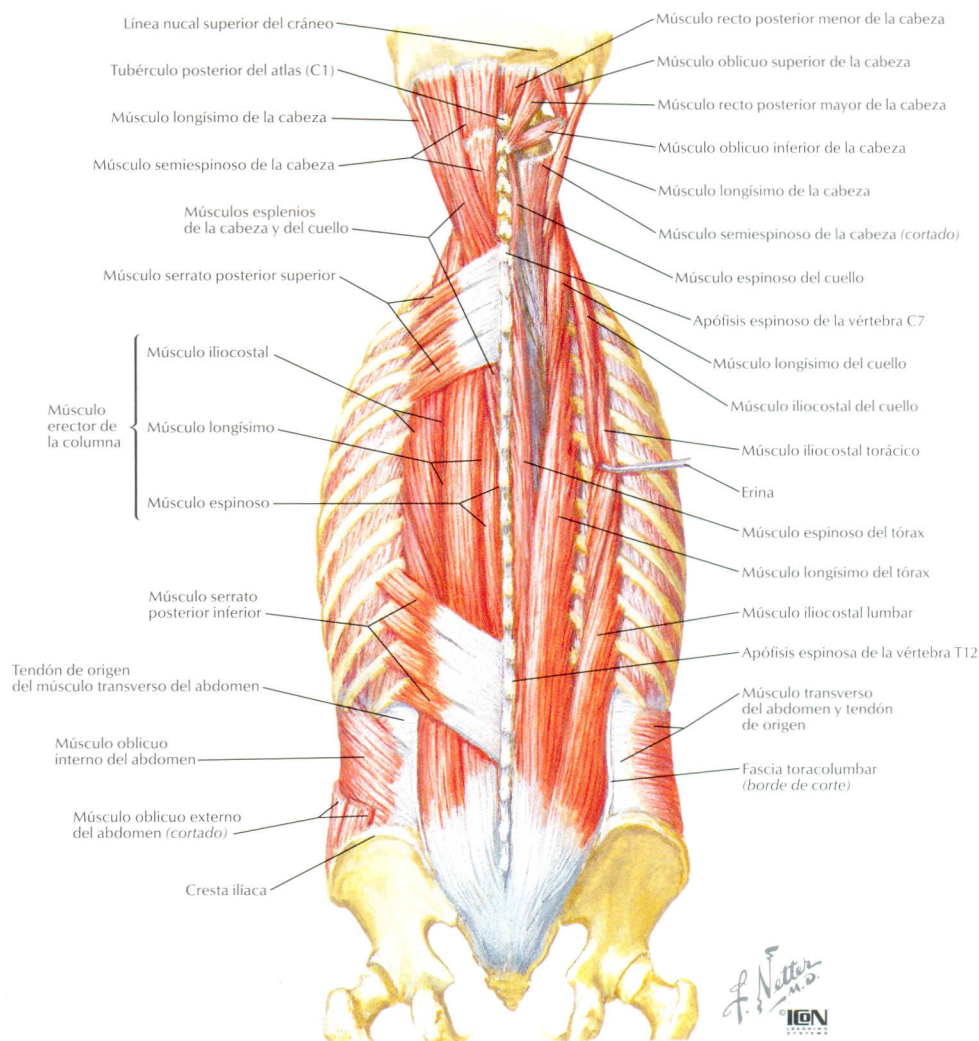
F. Netter M.D.
© IGM

MÚSCULO	ORIGEN	INSERCIÓN	ACCIÓN	INERVACIÓN
REGIÓN CERVICAL POSTERIOR: TRIÁNGULO SUBOCCIPITAL				
Recto posterior mayor de la cabeza	Apófisis espinosa del axis	Línea nugal inferior	Extensión, rotación y flexión lateral	Nervio suboccipital
Recto posterior menor de la cabeza	Tubérculo posterior del atlas	Hueso occipital	Extensión, flexión lateral	Nervio suboccipital
Oblicuo menor de la cabeza	Apófisis transversa del atlas	Hueso occipital	Extensión, rotación y flexión lateral	Nervio suboccipital
Oblicuo mayor de la cabeza	Apófisis espinosa del axis	Apófisis transversa del atlas	Extensión, flexión lateral	Nervio suboccipital

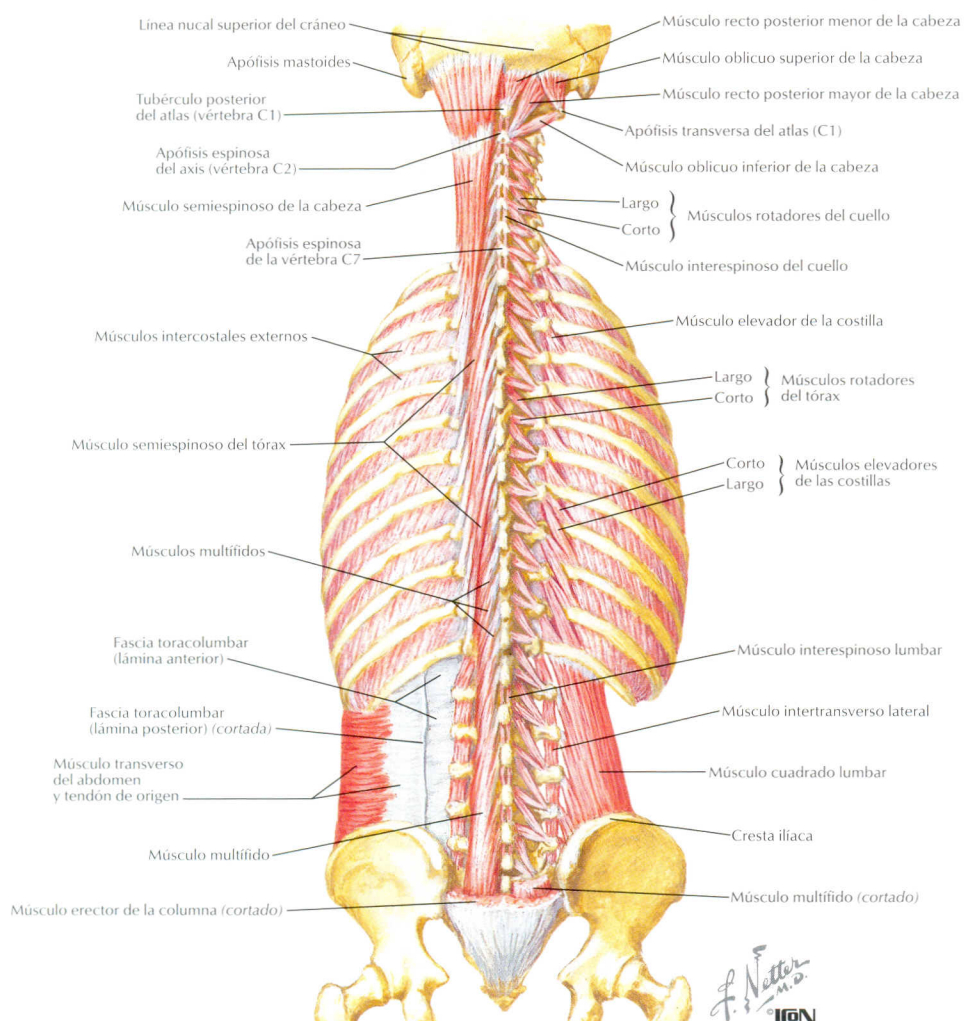


F. Netter M.D.
ION

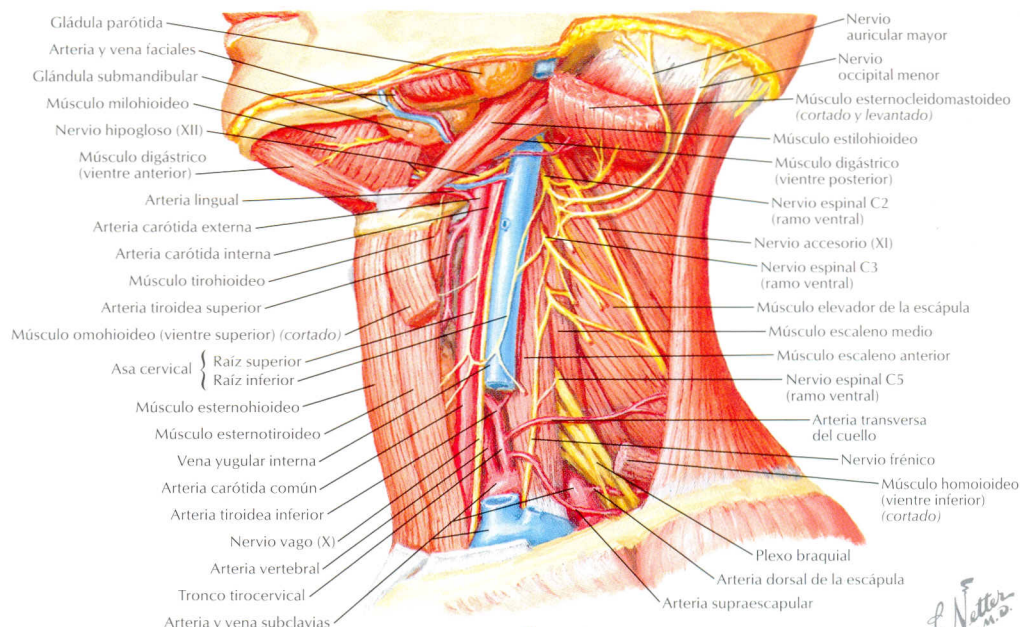
MÚSCULO	ORIGEN	INSERCIÓN	ACCIÓN	INERVACIÓN
SUPERFICIALES (EXTRÍNSECOS)				
Trapecio	Apófisis espinosa C7-T12	Clavícula; escápula (AC, SP)	Bamboleo escapular	XI PC
Dorsal ancho	Apófisis espinosa T6-S5	Húmero	Extensión, aducción, RI del brazo	Toracodorsal
Elevador de la escápula	Apófisis transversa C1-4	Escápula (medial)	Eleva la escápula	C3-4, dorsal de la escápula
Romboides menor	Apófisis espinosa C7-T1	Escápula (espin)	Aducción escapular	Dorsal de la escápula
Romboides mayor	Apófisis espinosa T2-T5	Escápula (borde medial)	Aducción escapular	Dorsal de la escápula
Serrato posterior superior	Apófisis espinosa C7-T3	2.ª-5.ª costilla (borde superior)	Asciende costillas	Intercostal (T1-4)
Serrato posterior inferior	Apófisis espinosa T11-L3	9.ª-12.ª costilla (borde inferior)	Desciende costillas	Intercostal (T9-12)



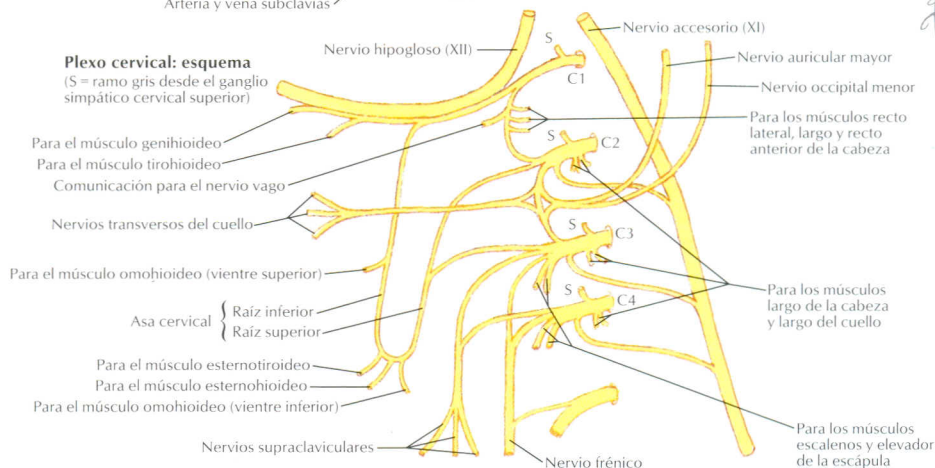
MÚSCULO	ORIGEN	INSERCIÓN	ACCIÓN	INERVACIÓN
MÚSCULOS PROFUNDOS (INTRÍNSECOS)				
PLANO SUPERFICIAL: GRUPO TRANSVERSOESPINOZO				
Esplenio de la cabeza	Ligamento nuchal	Mastoides y línea nuchal	Ambos: flexión lateral y rotación del cuello hacia el mismo lado	Ramos dorsales de los nervios cervicales inferiores
Esplenio del cuello	Apófisis espinosas T1-6	Apófisis transversas C1-4		
PLANO INTERMEDIO: GRUPO SACROESPINAL (erectores de la columna)				
Todos presentan tres partes: torácica, cervical y cabeza				
Iliocostal	Origen común: sacro, cresta ilíaca y apófisis espinosas lumbares	Costillas	Flexión lateral, extensión y rotación de la cabeza (hacia el mismo lado) y columna vertebral	Ramos dorsales de los nervios espinales
Longísimo		Apófisis espinosas T y C, apófisis mastoides		
Espinoso		Apófisis espinosas torácicas		



MÚSCULO	ORIGEN	INSERCIÓN	ACCIÓN	INERVACIÓN
MÚSCULOS PROFUNDOS (INTRÍNSECOS)				
PLANOS PROFUNDOS: GRUPO TRANSVERSOESPINOSO				
Semiespinoso (C y T)	Apófisis transversa	Apófisis espinosa	Extensión, rotación hacia el lado contrario	Ramo primario dorsal
Semiespinoso de la cabeza	Apófisis transversa T1-6	Escotadura nual		Ramo primario dorsal
Multifido (C2-S4)	Apófisis transversa	Apófisis espinosa	Flexión lateral, rotación hacia el lado opuesto	Ramo primario dorsal
Rotadores	Apófisis transversa	Apófisis espinosa +1	Rotación de vértebras sup. hacia el lado opuesto	Ramo primario dorsal
Interspinales	Apófisis espinosa	Apófisis espinosa +1	Extensión de columna	Ramo primario dorsal
Intertransversos	Apófisis transversa	Apófisis transversa +1	Flexión lateral de columna	Ramo primario dorsal



Plexo cervical: esquema (S = ramo gris desde el ganglio simpático cervical superior)



PLEXO CERVICAL (ramos anteriores C1-C4) situado por detrás de la YI y el ECM

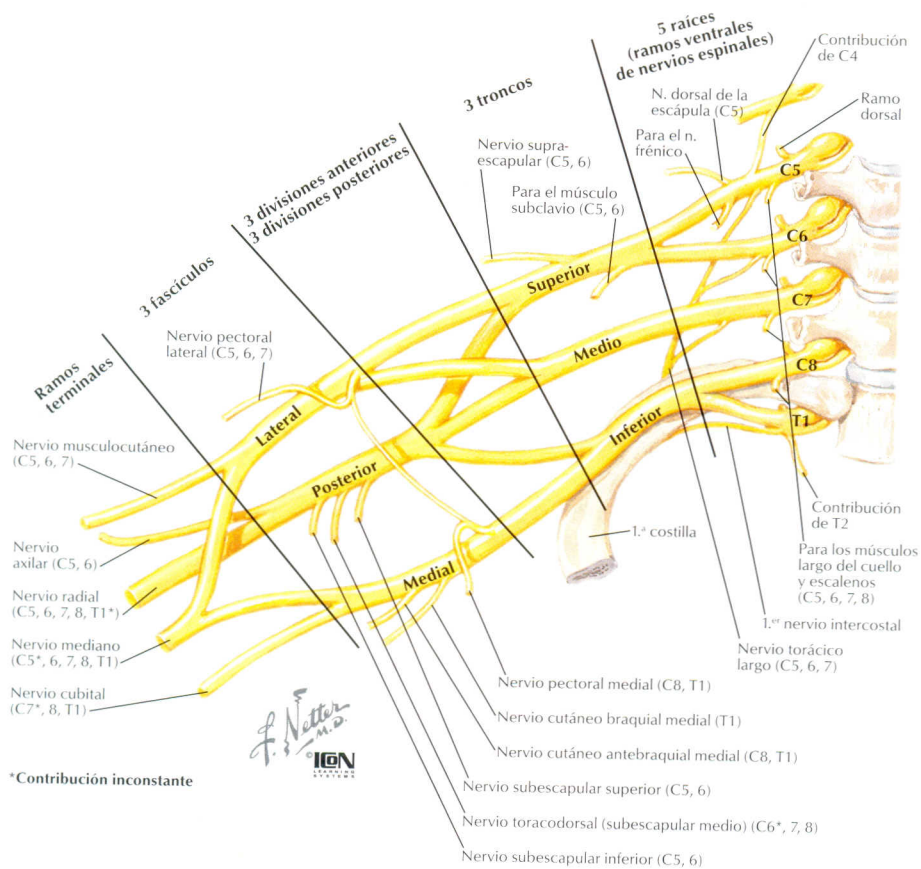
- Nervio occipital menor (C2-3):** emerge desde el borde posterior del ECM
Sensitiva: Región superior tras la oreja
Motora: NINGUNA
- Nervio auricular mayor (C2-3):** emerge inferior al nervio occipital menor, para ascender sobre el ECM
Sensitiva: Por encima de la parótida y junto a la oreja
Motora: NINGUNA
- Nervio transverso del cuello (C2-3):** emerge inferior al nervio auricular mayor, luego hacia región anterior del cuello
Sensitiva: Triángulo anterior del cuello
Motora: NINGUNA
- Supraclavicular (C2-3):** se divide en tres ramos: anterior, medio y posterior
Sensitiva: Sobre la clavícula, trapecio lateral y deltoides
Motora: NINGUNA
- Asa cervical (C1-3):** las raíces superiores (C1-2) e inferiores (C2-3) forman un bucle
Sensitiva: NINGUNA
Motora: Omohioideo, Esternohioideo, Esternotiroideo
- Nervio frénico (C3-5):** sobre el escaleno anterior, se introduce en el tórax entre la arteria y la vena subclavas
Sensitiva: Pericardio y pleura mediastínica
Motora: Diafragma

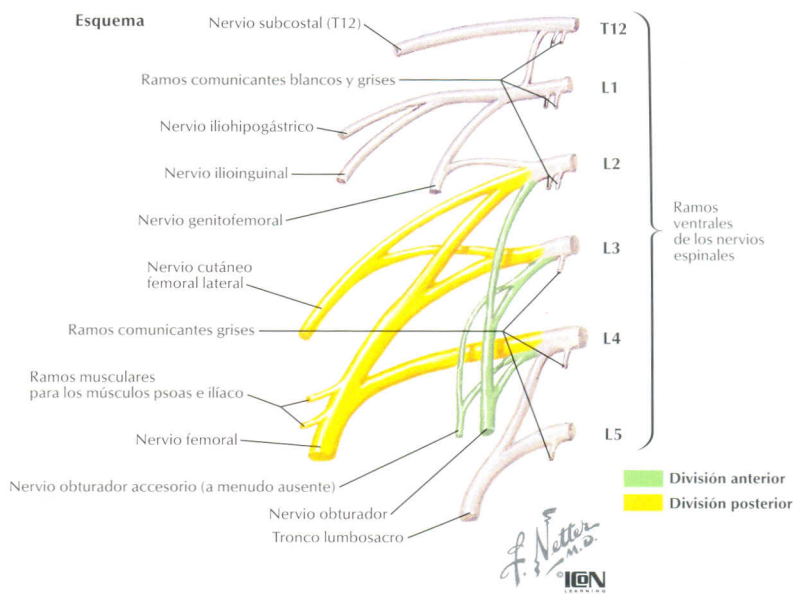
PLEXO BRAQUIAL
(ramos anteriores C5-T1) (variaciones C4-T2)
(v. también Hombro)

SUPRACLAVICULAR (abordaje a través del triángulo posterior)	INFRACLAVICULAR (abordaje a través de la axila)
<p>RAÍCES</p> <p>1. Dorsal de la escápula (C5): perfora el escaleno medio, profundo al elevador de la escápula y romboideos</p> <p>Sensitiva: NINGUNA</p> <p>Motora: Elevación escápula</p> <p>Romboides mayor y menor</p> <p>2. Torácico largo (C5-7): sobre la cara anterior del serrato anterior con la arteria torácica lateral</p> <p>Sensitiva: NINGUNA</p> <p>Motora: Serrato anterior (escápula alada cuando hay neuropatía)</p> <p>TRONCO SUPERIOR</p> <p>3. Supraescapular (C5-6): a través de la escotadura coracoidea, bajo el ligamento transverso superior de la escápula</p> <p>Sensitiva: Articulación del hombro</p> <p>Motora: Supraespinoso</p> <p>Infraespinoso</p> <p>4. Nervio subclavio (C5-6): desciende anterior al plexo y posterior a la clavícula</p> <p>Sensitiva: NINGUNA</p> <p>Motora: Subclavio</p>	<p>FASCÍCULO MEDIAL</p> <ul style="list-style-type: none"> • Raíz medial al nervio mediano <p>7. Pectoral medial (C8-T1): debe su nombre al fascículo medial, es lateral al nervio pectoral lateral</p> <p>Sensitiva: NINGUNA</p> <p>Motora: Pectoral menor</p> <p>Pectoral mayor (sobre el músculo)</p> <p>8. Nervio cutáneo medial del brazo (braquial, C8-T1): se une con el intercostobraquial</p> <p>Sensitiva: Cara medial (interna) del brazo</p> <p>Motora: NINGUNA</p> <p>9. Nervio cutáneo medial del antebrazo (antebraquial, C8-T1): discurre con la vena basilica</p> <p>Sensitiva: Cara medial del antebrazo y cara anterior del brazo</p> <p>Motora: NINGUNA</p> <p>10. Cubital (C7/8-T1): discurre por detrás de la epitroclea por un canal. Múltiples lugares de posible atrapamiento</p> <p>Sensitiva: Palma, mitad medial y 1 1/2 dedos; vía: ramo palmar y ramos digitales palmares</p> <p>Dorso mano, mitad medial y 1 1/2 dedos; vía: ramo dorsal, digital dorsal y ramos digitales palmares</p> <p>Motora: ANTEBRAZO (discurre entre los dos músculos)</p> <p>Flexor cubital del carpo (FCC)</p> <p>Flexor profundo de los dedos (FPD) (dedos 4.º y 5.º)</p> <p>MANO (división en eminencia hipotenar)</p> <p>Ramo superficial (lateral al pisiforme)</p> <p>Palmar corto</p> <p>Ramo profundo (motor)</p> <p>[rodea el gancho del ganchoso]</p> <p>Abductor del pulgar</p> <p>MÚSCULOS TENARES</p> <p>Flexor corto del pulgar (FCP) (con mediano)</p> <p>MÚSCULOS HIPOTENARES</p> <p>Abductor del meñique (AM)</p> <p>Flexor corto del meñique (FCM)</p> <p>Oponente del meñique (OM)</p> <p>MÚSCULOS INTRÍNECOS</p> <p>Interóseos dorsales (IOD) (abducción)</p> <p>Interóseos palmares (IOP) (aducción)</p> <p>Lumbricales (dos mediales [3, 4])</p>
<p>INFRACLAVICULAR (abordaje a través de la axila)</p> <p>FASCÍCULO LATERAL</p> <ul style="list-style-type: none"> • Raíz lateral al nervio mediano <p>5. Pectoral lateral (C5-7): debe su nombre al cordón lateral, es medial al nervio pectoral medial y discurre con la arteria pectoral</p> <p>Sensitiva: NINGUNA</p> <p>Motora: Pectoral mayor</p> <p>Pectoral menor (anastomosis con el nervio pectoral medial)</p> <p>6. Musculocutáneo (C5-7): perfora el coracobraquial; discurre entre el bíceps y el braquial</p> <p>Sensitiva: Cara lateral del antebrazo (a través nervio cutáneo lateral)</p> <p>Motora: COMPARTIMIENTO ANTERIOR DEL BRAZO</p> <p>Coracobraquial</p> <p>Bíceps braquial</p> <p>Braquial</p>	

PLEXO BRAQUIAL
(ramos anteriores C5-T1) (variaciones: C4-T2)
(v. también Hombro)

INFRACLAVICULAR (abordaje a través de la axila)	INFRACLAVICULAR (abordaje a través de la axila)
<p>FASCÍCULOS MEDIAL Y LATERAL</p> <p>11. Mediano (C[5] 6-T1): discurre anteromedial, sin ramos en el brazo Múltiples lugares posibles de atrapamiento</p> <p>Sensitiva: Dorso de las falanges distales de los dedos 3 1/2 laterales vía: ramos digitales palmares Cara palmar 3 1/2 dedos y mitad lat. de la palma vía: ramos palmar y digitales palmares</p> <p>Motora: <u>COMPARTIMIENTO ANTERIOR DEL ANTEBRAZO</u> Flexores superficiales Pronador redondo (PR) Flexor radial del carpo (FRC) Palmar largo (PL) Flexor superficial de los dedos (FSD) (en ocasiones, considerado un flexor «medio») Flexores profundos: NIA (nervio interóseo anterior) Flexor profundo de los dedos (FPD) (dedos 2, 3) Flexor largo del pulgar (FLP) Pronador cuadrado (PC) MANO: ramo motor recurrente (motor tenar) Tenar Abductor corto del pulgar (ACP) Oponente del Pulgar Flexor corto del pulgar (FCP) (con cubital) Intrínsecos Lumbricales (dos laterales [1, 2])</p> <p>FASCÍCULO POSTERIOR</p> <p>12. Subescapular superior (C5-6) Sensitiva: NINGUNA Motora: Subescapular (porción superior)</p> <p>13. Subescapular inferior (C5-6) Sensitiva: NINGUNA Motora: Subescapular (porción inferior) Redondo mayor</p> <p>14. Toracodorsal (C7-8): discurre con la arteria toracodorsal Sensitiva: NINGUNA Motora: Dorsal ancho</p>	<p>15. Axilar (C5-6): discurre con la arteria circunfleja humeral posterior a través del espacio cuadrangular</p> <p>Sensitiva: Porción superior y lateral del brazo: vía nervio cutáneo lateral del brazo Motora: Deltoides (ramo profundo) Redondo menor (ramo superficial)</p> <p>16. Radial (C5-T1): discurre con la arteria humeral profunda en el intervalo triangular</p> <p>Sensitiva: Cara lateral del brazo: mediante el nervio cutáneo lateral inferior Cara posterior del brazo: vía nervio cutáneo posterior Cara posterior del antebrazo: vía nervio cutáneo posterior Dorso dedos 3 1/2 y mano: vía ramo superficial (ramos digitales dorsales)</p> <p>Motora: <u>COMPARTIMIENTO POSTERIOR DEL BRAZO</u> Tríceps (vasto medial, lateral, cabeza larga) Ancóneo PORCIÓN MÓVIL: (nervio radial-ramo profundo) <u>Extensores superficiales</u> Braquiorradial (BR) Extensor radial corto del carpo (ERCC) Extensor radial largo del carpo (ERLC) <u>COMPARTIMIENTO POSTERIOR DEL ANTEBRAZO: NIP</u> Múltiples posibles lugares de atrapamiento (v. Antebrazo) <u>Extensores superficiales</u> Extensor cubital del carpo (ECC) Extensor del meñique (EM) Extensor de los dedos (ED) <u>Extensores profundos</u> Supinador Abductor largo del pulgar Extensor largo del pulgar (ELP) Extensor corto del pulgar (ECP) Extensor del índice (EI)</p>





PLEXO LUMBAR
(profundo al músculo psoas)

DIVISIÓN ANTERIOR

1. **Subcostal (T12):**
Sensitiva: Región subxifoidea
Motora: NINGUNA
2. **Iliohipogástrico (L1):**
Sensitiva: Por encima del pubis
Región posterior-lateral de las nalgas
Motora: Transverso del abdomen
Oblicuo interno del abdomen
3. **Ilioinguinal (L1):**
Sensitiva: Región inguinal
Motora: NINGUNA
4. **Genitofemoral (L1-2):** perfora el psoas; descansa sobre su cara anteromedial
Sensitiva: Escroto/monte de Venus
Motora: Cremáster
5. **Obturador (L2-4):** emerge por el canal obturador, se divide en partes anteriores y posteriores. Puede lesionarse por retractores situados tras el ligamento acetabular transversal
Sensitiva: Región inferior-medial del muslo a través de ramo cutáneo del nervio obturador
Motora: Oblicuo externo del abdomen
Aductor largo (división anterior)
Aductor corto (divisiones anterior y posterior)
Aductor mayor (división posterior)
Grácil (división anterior)
Obturador externo (división posterior)
6. **Obturador accesorio (L2-4):** inconstante
Sensitiva: NINGUNA
Motora: Psoas

DIVISIÓN POSTERIOR

7. **Cutáneo femoral lateral (NCFL) (L2-3):** cruza la EIAS, puede quedar atrapado en la EIAS
Sensitiva: Cara lateral del muslo
Motora: NINGUNA
8. **Femoral (L2-4):** descansa entre el psoas mayor y el ilíaco
Sensitiva: Región anteromedial del muslo a través del nervio cutáneo anterior intermedio
Cara medial de la pierna y pie a través de los nervios cutáneos mediales (nervio safeno)
Motora: Psoas
Ilíaco
Pectíneo
Cuádriceps
Recto femoral
Vasto lateral
Vasto intermedio
Vasto medial
Sartorio
Articular de la rodilla

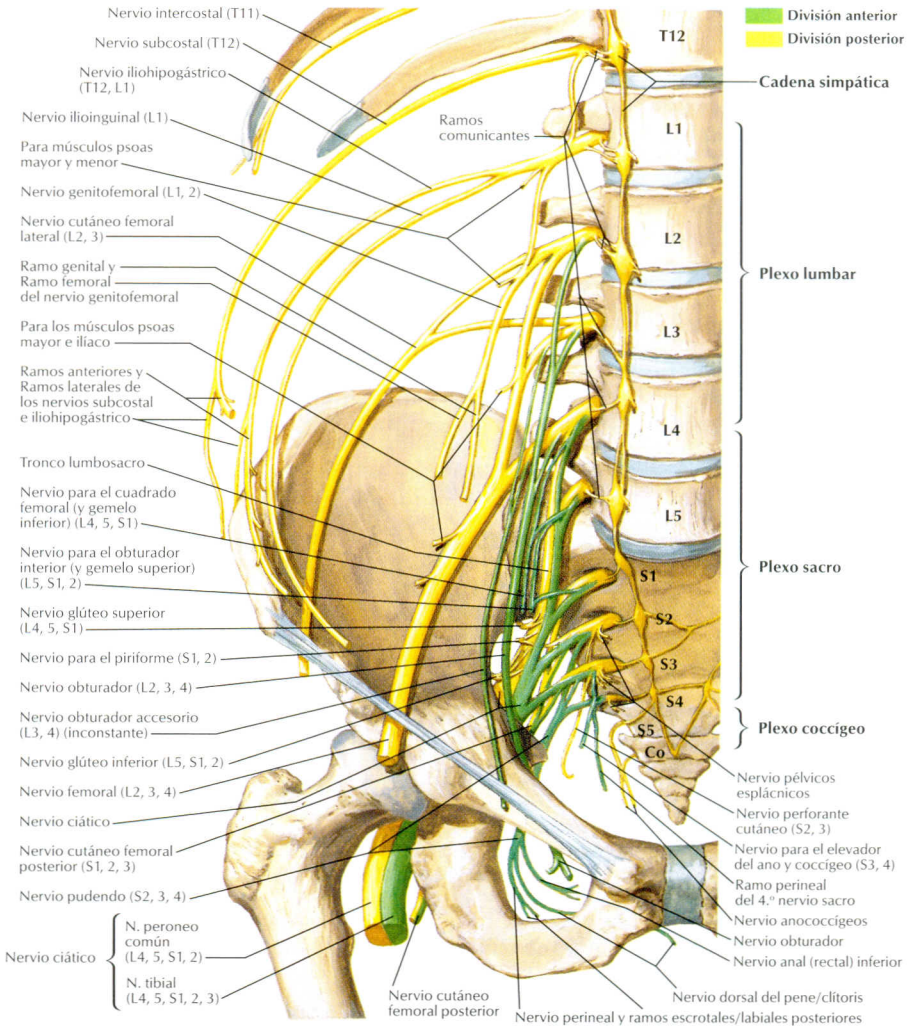
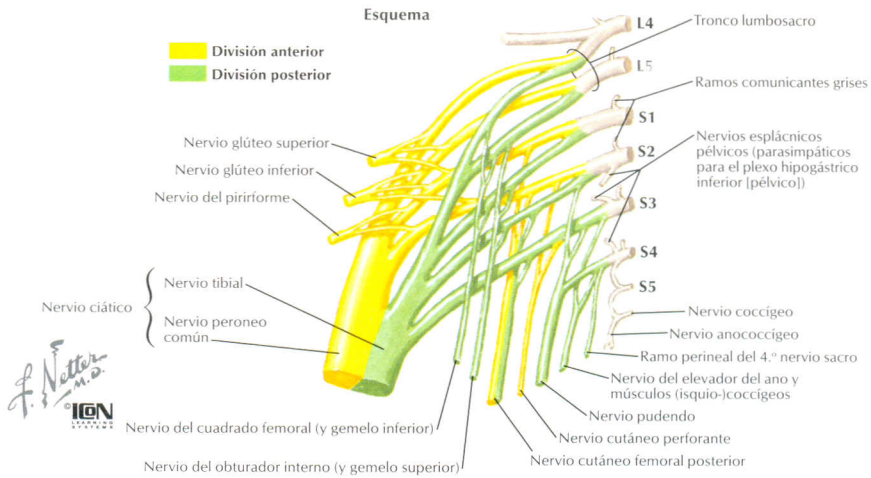
PLEXO SACRO

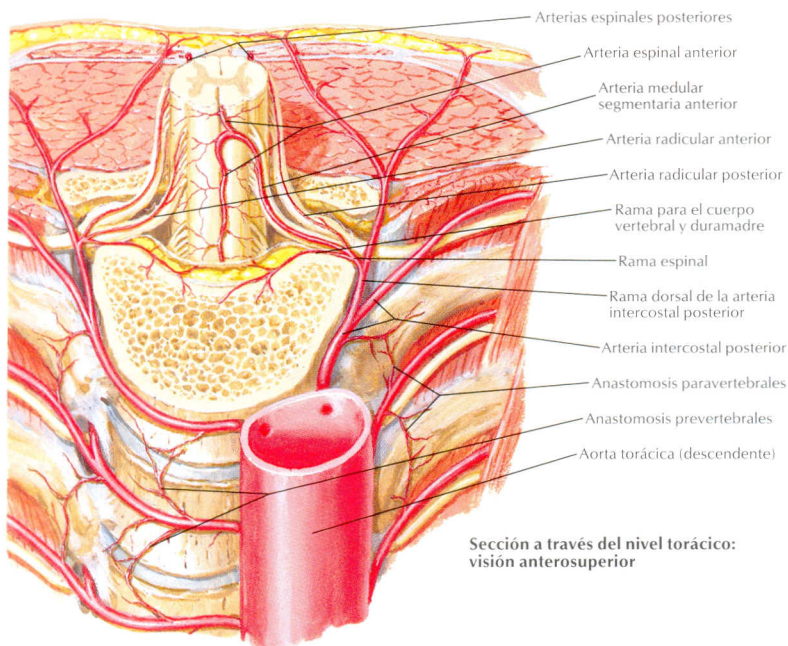
DIVISIÓN ANTERIOR

1. **Tibial** (L4-S3): desciende entre las cabezas de los gastrocnemios hasta el maléolo medial
 - Sensitiva: Región posterior-lateral proximal de la pantorrilla, vía nervio cutáneo sural medial
 - Región posterior-lateral distal de la pantorrilla, vía nervio sural
 - Región plantar medial talón, vía ramos calcáneos mediales
 - Región plantar medial, vía ramos plantares mediales
 - Región plantar lateral, vía ramos plantares laterales
 - Motora: MUSLO POSTERIOR
 - Biceps femoral
 - Semitendinoso
 - Semimembranoso
 - COMPARTIMIENTO POSTERIOR SUPERFICIAL DE LA PIERNA
 - Sóleo: nervio del sóleo
 - Gastrocnemio
 - Plantar
 - COMPARTIMIENTO POSTERIOR PROFUNDO DE LA PIERNA
 - Poplíteo: nervio del poplíteo
 - Tibial posterior (TP)
 - Flexor largo de los dedos (FLD)
 - Flexor largo del dedo gordo (FLDG)
 - PRIMER PLANO PLANTAR DEL PIE
 - Abductor del dedo gordo: plantar medial
 - Flexor corto de los dedos (FCD): plantar medial
 - Abductor del quinto dedo: plantar lateral
 - SEGUNDO PLANO PLANTAR DEL PIE
 - Cuadrado plantar: plantar lateral
 - Lumbricales: plantar lateral y medial
 - TERCER PLANO PLANTAR DEL PIE
 - Flexor corto del dedo gordo (FCDG): plantar medial
 - Aductor del dedo gordo: plantar lateral
 - Flexor corto del quinto dedo (FCQD): plantar lateral
 - CUARTO PLANO PLANTAR DEL PIE
 - Interóseos dorsales: plantar lateral
 - Interóseos plantares: plantar lateral
2. **Nervio del cuadrado femoral** (L4-S1):
 - Sensitiva: NINGUNA
 - Motora: Cuadrado femoral
 - Gemelo inferior
3. **Nervio del obturador interno** (L5-S2): emerge del agujero ciático mayor
 - Sensitiva: NINGUNA
 - Motora: Obturador interno
 - Gemelo superior
4. **Pudendo** (S2-4): emerge por el agujero ciático mayor y vuelve por el menor
 - Sensitiva: Periné: vía perineal (ramos escrotales/labiales).
Vía nervio rectal inferior
Vía nervio dorsal del pene/clitoris
 - Motora: Bulboesponjoso: nervio perineal
Isquiocavernoso: nervio perineal
Esfínter uretral: nervio perineal
Diafragma urogenital: nervio perineal
Esfínter externo del ano: nervio rectal inferior
5. **Nervio coccigeo** (S3-4)
 - Sensitiva: NINGUNA
 - Motora: Coccigeo
 - Elevador del ano

DIVISIÓN POSTERIOR

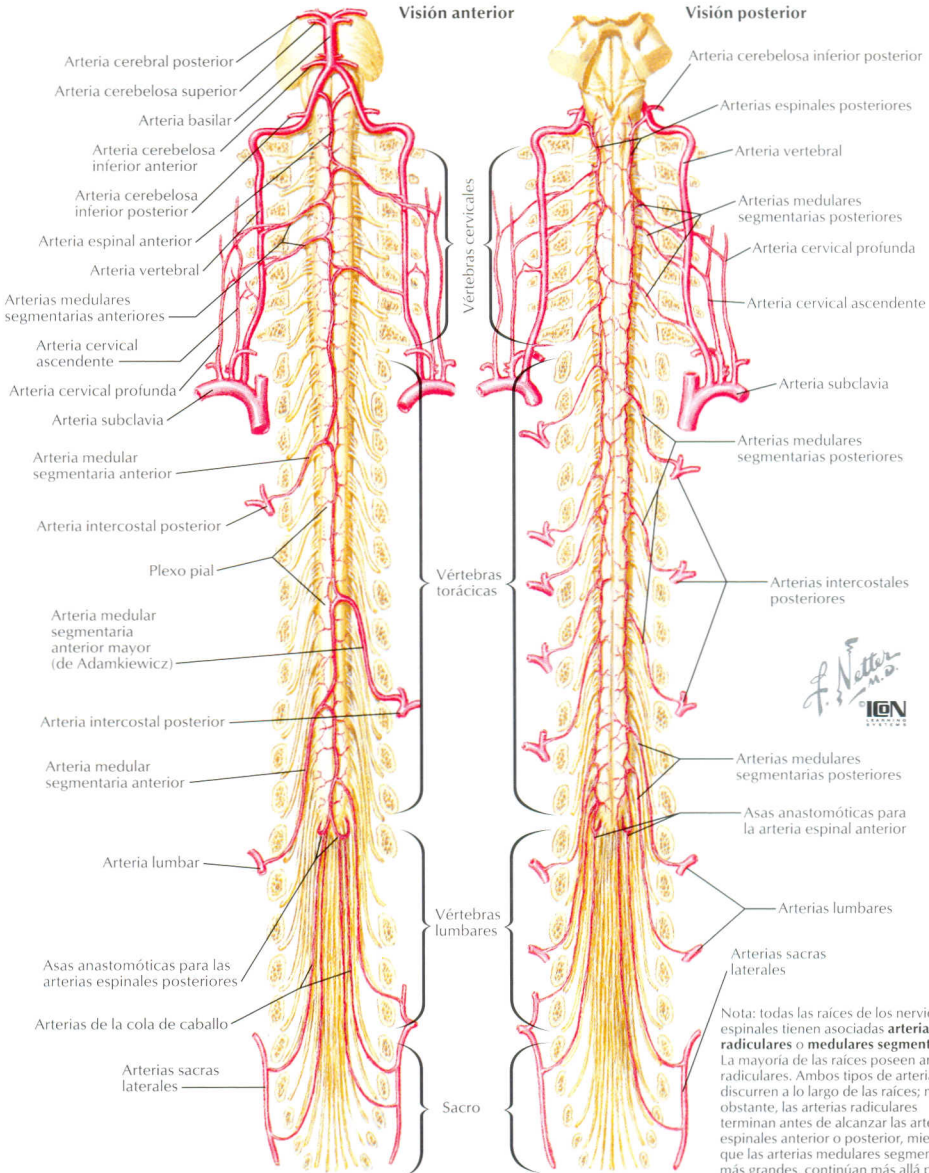
6. **Peroneo común** (L4-S2): se encuentra entre el biceps y la cabeza lateral del gastrocnemio, rodea la cabeza peroneal, profundo al peroneo largo; entonces se divide
 - Sensitiva: Región proximal y lateral de la pierna: nervio cutáneo sural lateral
 - Región distal y lateral de la pierna y dorso del pie: nervio peroneo superficial
 - Cara lateral pie: sural (ramos calcáneos laterales y cutáneos dorsales)
 - 1.º y 2.º espacios interdigitales: **peroneo profundo**
 - Motora: MUSLO POSTERIOR
 - Biceps femoral (cabeza corta)
 - COMPARTIMIENTO ANTERIOR DE LA PIERNA
 - Peroneo profundo**
 - Tibial anterior (TA)
 - Extensor largo del dedo gordo (ELDG)
 - Extensor largo de los dedos (ELD)
 - Tercer peroneo
 - COMPARTIMIENTO LATERAL DE LA PIERNA
 - Peroneo superficial**
 - Peroneo largo
 - Peroneo corto
 - PIE, peroneo profundo**
 - Extensor corto del dedo gordo (ECDG)
 - Extensor corto de los dedos (ECD)
7. **Glúteo superior** (L4-S1):
 - Sensitiva: NINGUNA
 - Motora: Glúteo medio
 - Glúteo menor
 - Tensor de la fascia lata
8. **Glúteo inferior** (L5-S2):
 - Sensitiva: NINGUNA
 - Motora: Glúteo mayor
9. **Nervio del piriforme** (S2):
 - Sensitiva: NINGUNA
 - Motora: Piriforme
10. **Nervio cutáneo femoral posterior** (NCFP) (S1-3)
 - Sensitiva: Cara posterior del muslo
 - Motora: NINGUNA



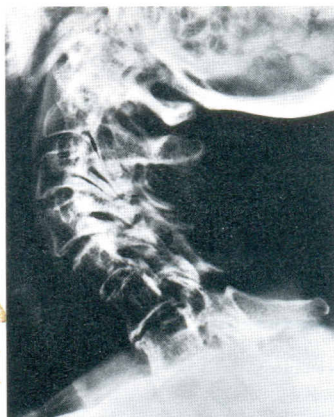
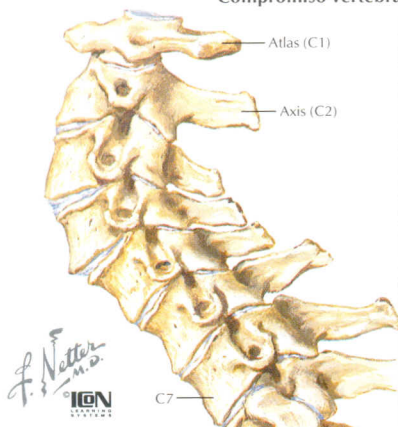


Sección a través del nivel torácico:
visión anterosuperior

ARTERIA	RECORRIDO	RAMAS	COMENTARIO
Vertebral	Mayor irrigación arterial de la columna cervical y médula Sale de ambas subclavias a través del agujero transverso C1-6	Segmentarias medulares anterior y posterior Espinal anterior Espinal posterior	Nutre las arterias espinales anterior y posterior respectivamente Se forma superiormente de ambas vertebrales Se forma superiormente desde cada vertebral
Cervical ascend. Cervical profunda	Desde la tirocervical Desde el tronco costocervical	Contribuye a las arterias espinales ant. y post. via arterias segmentarias medulares Contribuye a las arterias espinales ant. y pos. via arterias segmentarias medulares	
Segmentaria/ intercostal	Rama de la aorta	Rama dorsal Rama espinal Rama ventral Medular segmentaria anterior mayor (de Adamkiewicz)	Nutre la duramadre, elementos posteriores Nutre los fascículos y cuerpos Nutre los cuerpos vertebrales Irriga la columna torácica inferior y columna lumbar superior, nutre la arteria espinal anterior en la columna lumbar
Rama espinal	A lo largo de los cuerpos vertebrales	Medular segmentaria anterior Medular segmentaria posterior Ramas radiculares (anterior y posterior)	Sobre las raíces anteriores; nutre la arteria espinal anterior Nutre las arterias espinales posteriores A lo largo de las raíces nerviosas; no nutre las espinales
Arterias lumbares	Ramas de la aorta	Medular segmentaria anterior Medular segmentaria posterior Arteria espinal anterior	Sobre las raíces anteriores; nutre la arteria espinal anterior Nutre las arterias espinales posteriores Arteria individual, discurre en la línea media
Medular segmentaria ant. Medular segmentaria post.	A lo largo de raíces nerviosas A lo largo de raíces nerviosas	Arterias radiculares anteriores Arteria espinal posterior Arterias radiculares posteriores	No nutre las arterias espinales anteriores Arterias bilaterales (izquierda/derecha) No nutren las arterias espinales
Espinal anterior	Línea media de la cara anterior medular	Irriga 2/3 anterior de la médula; recibe múltiples contribuciones de las arterias segmentarias Ramas del surco Plexo arterial pial	Irriga el centro de la médula Irriga la periferia medular
Espinal posterior	Sale de la línea media (I y D)	Irriga 1/3 posterior de la médula; recibe múltiples contribuciones de las arterias segmentarias	
Cada raíz nerviosa se asocia a una arteria medular segmentaria o radicular			



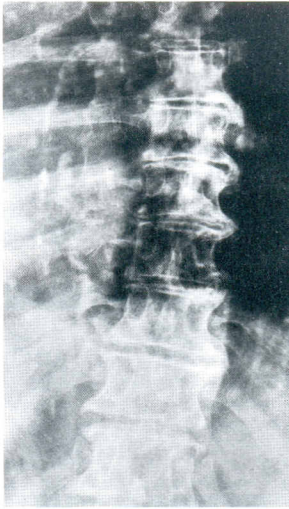
Compromiso vertebral en la osteoartritis



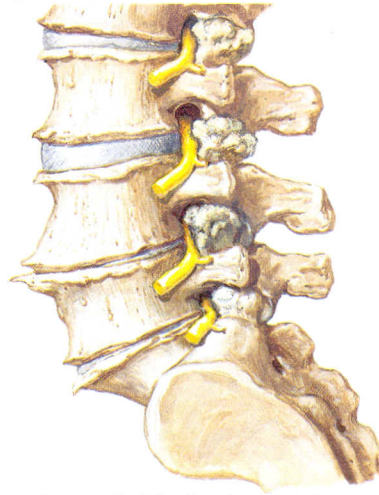
Adelgazamiento de los discos intervertebrales y deformidad en hiperextensión con estrechamiento de los agujeros vertebrales. La radiografía lateral revela cambios similares

DESCRIPCIÓN	Hx y EF	PRUEBAS COMPLEMENTARIAS/ HALLAZGOS	TRATAMIENTO
SÍNDROME DE LA COLA DE CABALLO			
<ul style="list-style-type: none"> Compresión de la cola de caballo Etiología: normalmente una gran herniación del disco en la línea media Emergencia quirúrgica 	<p>Hx: EF: dolor de piernas, espalda, nalgas. Disfunción vesical (pref.) e intestinal. Parálisis e hipoestesia de las piernas</p>	<p>RX: realización no de urgencias RM (o mielografía): muestra la compresión</p>	<p>Descompresión quirúrgica inmediata (cuando el diagnóstico se ha confirmado)</p>
ESPONDILOSIS CERVICAL			
<ul style="list-style-type: none"> Degeneración discal con artritis vertebral y facetaria 3 fuentes del dolor: disco, ligamentos, raíces (NPH) Localización preferente C5-6 Calcificación LLP, con estenosis de canal (más frecuente en asiáticos) 	<p>Hx: anciano, varón. Dolor cervical y ESUP., rechimiento o rigidez EF: BA disminuido, DP en línea media de la nuca. Signos radiculares o mielopáticos si hay compresión del NPH o la médula</p>	<p>RX: AP, lateral: 1. Osteófitos 2. Estenosis del canal 3. Espacio intervertebral disminuido 4. Osteoartritis facetaria 5. Inestabilidad</p>	<ol style="list-style-type: none"> Discogénico: collarín blando, AINE, fisioterapia, +/- tracción Radiculopatía persistente o mielopatía: descompresión y artrodesis (no para el dolor discogénico)
CONTRACTURA CERVICAL/CONTRACTURA MUSCULAR (latigazo)			
<ul style="list-style-type: none"> No es un esguince. Contractura de partes blandas (músculo/ligamento) Etiología: traumatismo o movimiento menor 	<p>Hx: rigidez, dolor (pesadez/no irradiado) en cuello y boca EF: músculos paravertebrales dolorosos a la palpación (+/- contractura). Prueba de Spurling</p>	<p>RX: si existe historia de traumatismo o síntomas neurológicos o persistentes</p>	<ol style="list-style-type: none"> Collarín blando (tipo Filadelfia) AINE, relajantes musculares +/- hielo, calor, masajes
PATOLOGÍA DEGENERATIVA DISCAL (PDD)			
<ul style="list-style-type: none"> Proceso de envejecimiento: disco deshidratado y roto Degeneración facetaria y esclerosis Asociado al tabaquismo 	<p>Hx: DL crónico (+/- nalgas), rigidez (empeora con el movimiento) EF: dolor de espalda a la palpación, +/- signos de Waddell</p>	<p>RX: AP, lateral: envejecimiento, osteófitos, disminución espacio intervertebral, «signo del vacío»</p>	<ol style="list-style-type: none"> AINE (no narcóticos) Antidepresivos si están indicados Fisioterapia, ejercicio, control de peso
HERNIA DISCAL CERVICAL (herniación del núcleo pulposo)			
<ul style="list-style-type: none"> Protrusión del núcleo pulposo presionando la raíz Normalmente posterolateral en C5-6 o C6-7 	<p>Hx: jóvenes o de mediana edad Hipoestesias y dolor irradiado EF: + debilidad, hipoestesia y disminución reflejos, prueba de Spurling +</p>	<p>RX: AP, lateral: espondilosis RM: protrusión del núcleo pulposo</p>	<ol style="list-style-type: none"> Collarín blando, descanso Fisioterapia, AINE Descompresión quirúrgica

Patología degenerativa discal

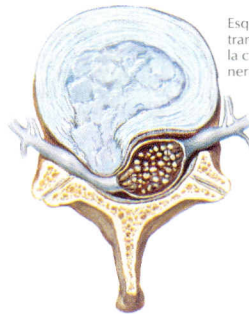


Radiografía de la columna torácica que muestra el estrechamiento de los espacios intervertebrales y la formación de picos



Degeneración de los discos intervertebrales lumbares y cambios hipertróficos en los márgenes vertebrales con formación de picos. Invasión osteofítica sobre los agujeros intervertebrales que comprime las raíces

Hernia discal lumbar



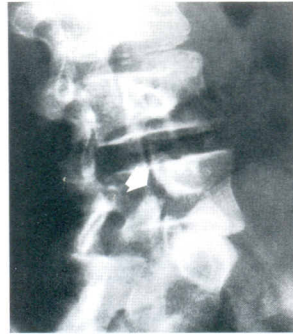
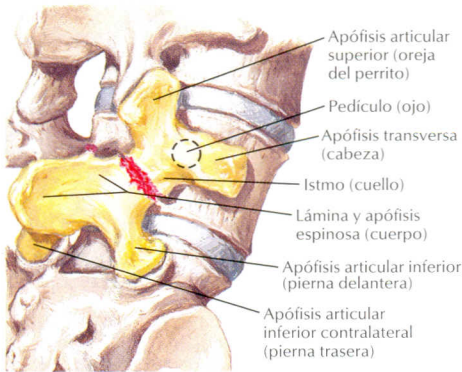
Esquema de una sección transversal que muestra la compresión de una raíz nerviosa

F. Netter M.D.
© IGCN

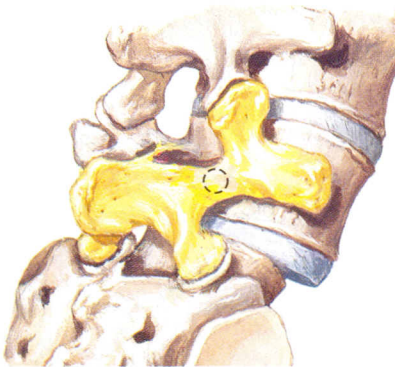
DESCRIPCIÓN	Hx y EF	PRUEBAS COMPLEMENTARIAS/ HALLAZGOS	TRATAMIENTO
<p>HERNIA DISCAL LUMBAR (NPH)</p> <ul style="list-style-type: none"> • PDD y lesión del anillo fibroso: herniación del núcleo, +/- compresión radicular o de la cola de caballo • Puede ser asintomática • Más frecuente en L4-5 • Mayormente posterolateral (debilidad del LLP) 			
<p>Hx: PDD sx (+/- sx. radiculares). Aumenta con el estornudo, disminuye con la flexión de cadera EF: debilidad radicular, disminución sensitiva y reflejos, prueba de Lasègue y cuerda de arco +</p>			
<p>RX: AP, lateral: cambios degenerativos EMG/ECN: + después de 3 semanas RM: muestra la herniación</p>			
<ol style="list-style-type: none"> 1. Descanso en cama, AINE 2. Fisioterapia, programa de ejercicios 3. Discectomía 4. Síndrome de la cola de caballo: cirugía de urgencias 			

DESCRIPCIÓN	Hx y EF	PRUEBAS COMPLEMENTARIAS/ HALLAZGOS	TRATAMIENTO
ESGUINCE LUMBAR/DISTENSIÓN MUSCULAR			
<ul style="list-style-type: none"> Distensión o lesión por estiramiento Lesión de partes blandas (contractura muscular, lesión tendinosa o ligamentosa, lesión discal sin protrusión) 	<p>Hx: DL (+/- irradiación a nalgas, no piernas), contractura paravertebral e hipersensibilidad</p> <p>EF: examen neurológico normal</p>	<p>RX: si hay síntomas neurológicos o refractariedad al tratamiento</p>	<ol style="list-style-type: none"> Reposo en cama (1-2 días), AINE (no narcóticos) Fisioterapia Gimnasia
ENFERMEDAD DE SCHEUERMANN			
<ul style="list-style-type: none"> Aumento de la cifosis torácica (ángulo de Cobb > 45°) con 3 vértebras con acunamiento anterior Etiología desconocida Nódulos de Schmorl (cartilago) en el cuerpo vertebral 	<p>Hx: adolescente con malos hábitos posturales, +/- dolor de espalda</p> <p>EF: «espalda circular» en la exploración, normalmente sin dolor a la palpación</p>	<p>RX: AP, columna torácica lateral:</p> <ol style="list-style-type: none"> Aumento de la cifosis Acunamiento anterior (3) Nódulos de Schmorl 	<p>Adolescente: ejercicio, correctores u ortesis</p> <p>Adultos: liberación anterior y fusión posterior</p>
ESCOLIOSIS			
<ul style="list-style-type: none"> Curvatura lateral de la columna (+/- rotación) Múltiples etiologías (pref. idiopática) Chicas > chicos (necesario tx.) Detección en revisiones médicas escolares Progresión: se basa en la madurez ósea y ángulo de curvatura 	<p>Hx: +/- dolor, cansancio, deformidad física apreciable</p> <p>EF: examen neurológico normalmente normal. Prueba de flexión en bipedestación +. Realizar plomada (suspender desde C7)</p>	<p>RX: AP columna entera, lateral: curva lateral en AP</p> <p>Medición ángulo de Cobb: ángulo formado por líneas perpendiculares trazadas entre las vértebras afectas superior e inferior</p>	<p>Curvas:</p> <ol style="list-style-type: none"> < 30° observación 30-40° corsé > 40° quirúrgico: fusión vertebral
ESTENOSIS VERTEBRAL			
<ul style="list-style-type: none"> Congénita frente a adquirida (más frecuente) Reducción sintomática de canal Etiología: PDD u osteoartritis facetaria y laxitud ligamentosa 	<p>Hx: claudicación neurogénica (cansancio), +/- dolor, extensión espalda reproduce sx.</p> <p>EF: debilidad, disminución reflejos y sensibilidad dolorosa</p>	<p>RX: AP, lateral: cambios degenerativos</p> <p>TC/RM: mejor evaluación del canal, muestra estenosis</p>	<ol style="list-style-type: none"> Fisioterapia: refuerzo abdominal y ejercicios de flexión de la espalda AINÉ (+/- esteroides) Laminectomía
ESPONDILOLISTESIS			
<ul style="list-style-type: none"> Desplazamiento vertebral anterior 6 tipos (ubicaciones más frecuentes) 1. Congénita: defecto facetario (S1) 2. Istmo (más frecuente): defecto bilateral (L5-S1; asociada con hiperextensión) 3. Degenerativa: artropatía facetaria (L4-5) 4. Traumática 5. Patológica 6. Quirúrgica 	<p>Hx: Tipo:</p> <ul style="list-style-type: none"> I (niños) II (jóvenes) III (ancianos) <p>Dolor espalda mecánico, +/- sintomatología radicular</p> <p>EF: +/- escalón palpable y contractura. +/- signos radiculares (p. ej., debilidad, hipostesia, hiporreflexia)</p>	<p>RX. AP, lateral: medición del desplazamiento anterior por grados (I-V, 0-100°)</p> <p>Tipo:</p> <ol style="list-style-type: none"> Signo del perrito: cuello largo Signo del perrito: cuello roto Artritis facetaria 	<ol style="list-style-type: none"> Modificación actividad, reposo, AINE Ejercicios de flexión Descompresión quirúrgica y artrodesis por desplazamiento progresivo o sintomatología radicular
ESPONDILOLISIS			
<ul style="list-style-type: none"> Defecto o fractura por estrés (sin desplazamiento) en la <i>pars interarticularis</i> Induce espondilolistesis L5 con mayor frecuencia 	<p>Hx: joven, atleta (fútbol, gimnasia). Dolor lumbar, empeora con la actividad (causa más frecuente en pediatría)</p>	<p>RX: oblicua de columna lumbar</p> <p>«El perrito lleva un collar»</p>	<ol style="list-style-type: none"> Tratamiento sintomático Disminución de la actividad, +/- corsé Estiramientos de la musculatura lumbar
TUMORES			
<p>Más a menudo de origen metastásico. Normalmente primarios: mieloma múltiple (maligno)</p>			

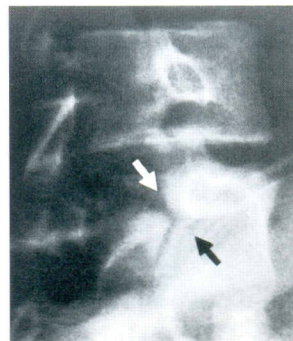
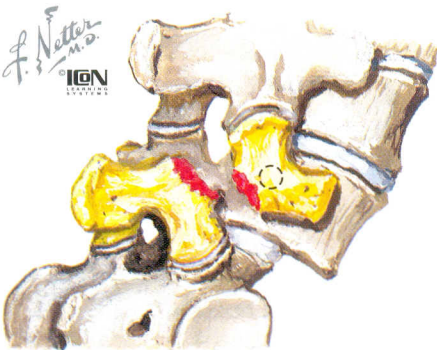
Espondilólisis y espondilolistesis



Espondilólisis sin espondilolistesis. Visión posterolateral que muestra la formación radiográfica «del perrito». En la radiografía de perfil, el perrito aparece con collar

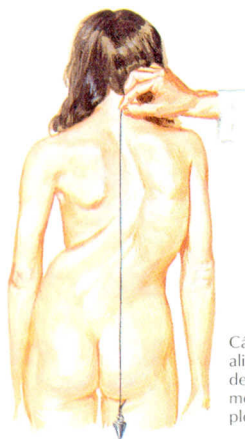


Espondilolistesis displásica (congénita). Luxación de L5 sobre el sacro. El cuello del perrito (istmo) aparece elongado



Espondilolistesis de tipo istmico. Luxación anterior de L5 sobre el sacro por fractura del istmo. El espacio es amplio y el perrito aparece «decapitado»

Escoliosis



Cálculo de alineación del tronco mediante plomada

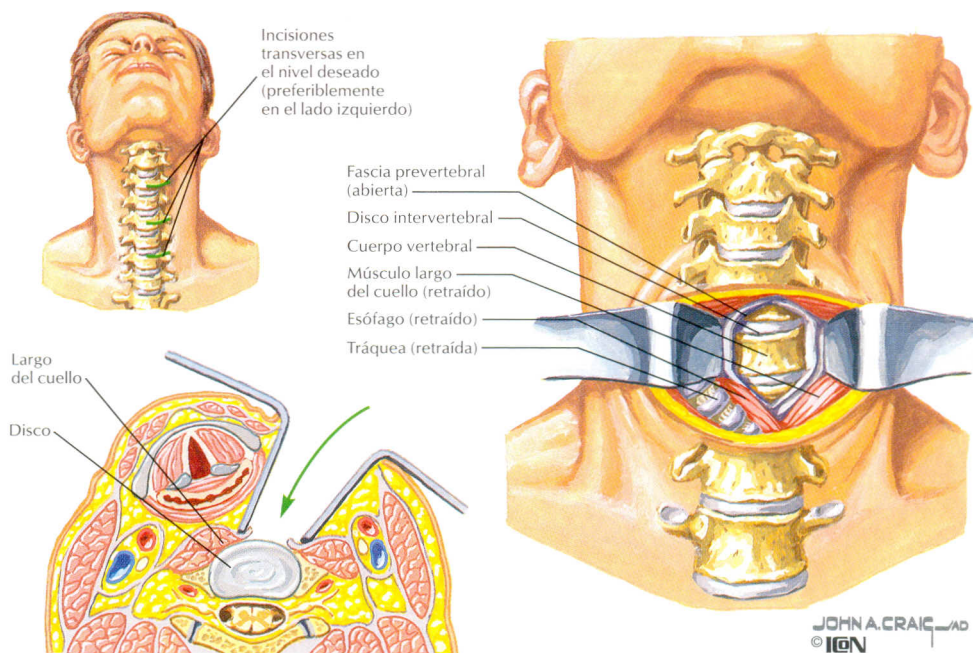
Torticolis (cuello torcido)



f. Natter
M.D.
IGN

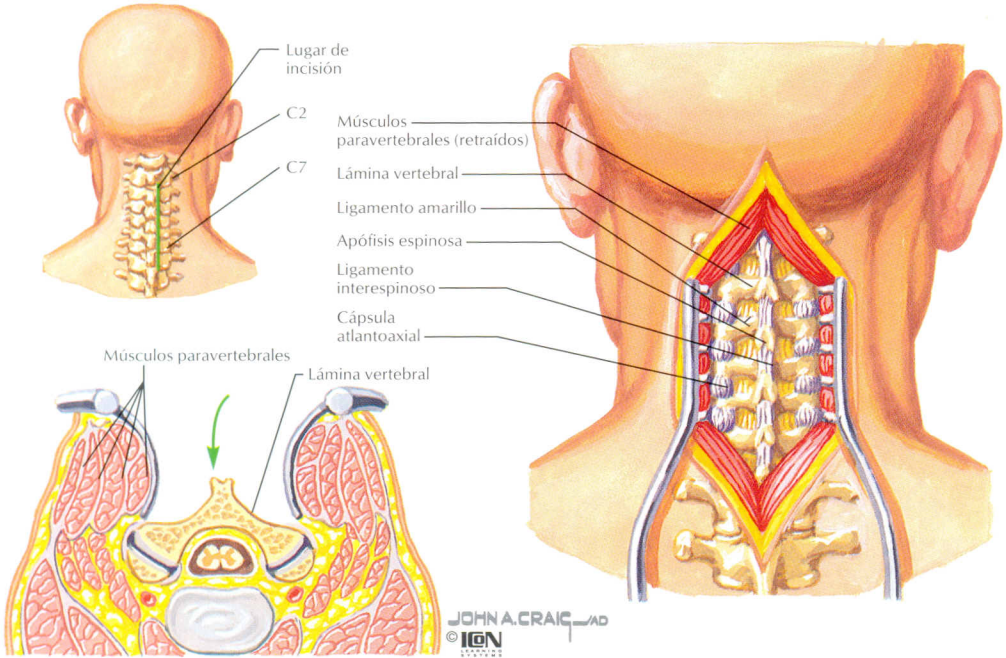
DESCRIPCIÓN	EVALUACIÓN	TRATAMIENTO/COMPLICACIONES
MIELODISPLASIA		
<ul style="list-style-type: none"> Defecto de cierre del tubo neural Sin función por debajo del nivel de lesión; el nivel determina la función (L1: paraplejía/ S1: cerca de la normalidad) Asociado a incremento de AFP Asociado a malformaciones 	<p>Hx: ocasionalmente con historia familiar EF/RX: depende del tipo de defecto:</p> <ol style="list-style-type: none"> Espina bífida oculta Meningocele Mielomeningocele Raquisquisis 	<p>Debe individualizarse para cada paciente: La mayoría necesita asistencia en la deambulación, ortesis, liberaciones quirúrgicas, etc. Problemas frecuentes que requieren tratamiento: deformidades y/o contracturas de columna, caderas, rodillas, tobillos y pies</p>
ESCOLIOSIS		
<ul style="list-style-type: none"> Curvatura lateral de la columna +/- rotación Múltiples etiologías (pref. idiopática) Diferencias entre sexos: chicas > chicos Predicción de progresión de la curvatura: <ol style="list-style-type: none"> Ángulo de curvatura Madurez ósea (Estadios de Risser: apófisis iliaca) 	<p>Hx: +/- dolor y fatiga, deformidad visible, detección en revisiones escolares EF: prueba de flexión en bipedestación + (asimetría) Examen neurológico normalmente normal Determinar plomada desde C7 RX: AP longitud total: medir el ángulo de Cobb (v. tabla de patologías)</p>	<p>Basado en la curvatura y los estadios de Risser;</p> <ol style="list-style-type: none"> < 30°: observación (típica) 30-40°: corsé (Boston, para el ápex bajo T8 frente a corsé de Milwaukee) > 40°: fusión vertebral
TORTÍCOLIS		
<ul style="list-style-type: none"> Contractura del ECM Asociado con otras patologías Asociado con posición intrauterina Etiología: múltiples teorías 	<p>Hx: los familiares notan la deformidad EF: cabeza desviada hacia un lado, barbilla hacia el lado contrario, +/- asimetría facial RX: columna y caderas; descarta otras anomalías</p>	<ol style="list-style-type: none"> Fisioterapia/estiramientos del ECM Si persiste, intervención quirúrgica <p>Complicación: desarrollo ocular disminuido</p>

Abordaje anterior de la columna cervical



USO	PLANOS INTERNERVIOSOS	RIESGOS	COMENTARIO
ABORDAJE ANTERIOR			
<ol style="list-style-type: none"> 1. Resección del disco herniado 2. Artrodesis vertebral 3. Resección del osteófito 4. Tumor o biopsia 	<p>Superficial:</p> <ol style="list-style-type: none"> 1. ECM (XI PC) 2. Músculos fusiformes (C1-3) <p>Profundo: entre los músculos largos del cuello derecho e izquierdo</p>	<ol style="list-style-type: none"> 1. Nervio laríngeo recurrente 2. Cadena simpática 3. Arteria carótida 4. Yugular interna 5. Nervio vago 6. Arteria tiroidea inferior 	<ul style="list-style-type: none"> • Acceso de C3 a T1 • Nervio laríngeo recurrente derecho más susceptible de lesión; escoger abordaje izquierdo • Las arterias tiroideas limitan la extensión del abordaje

Abordaje posterior de la columna cervical



JOHN A. CRAIG MD
© IGV

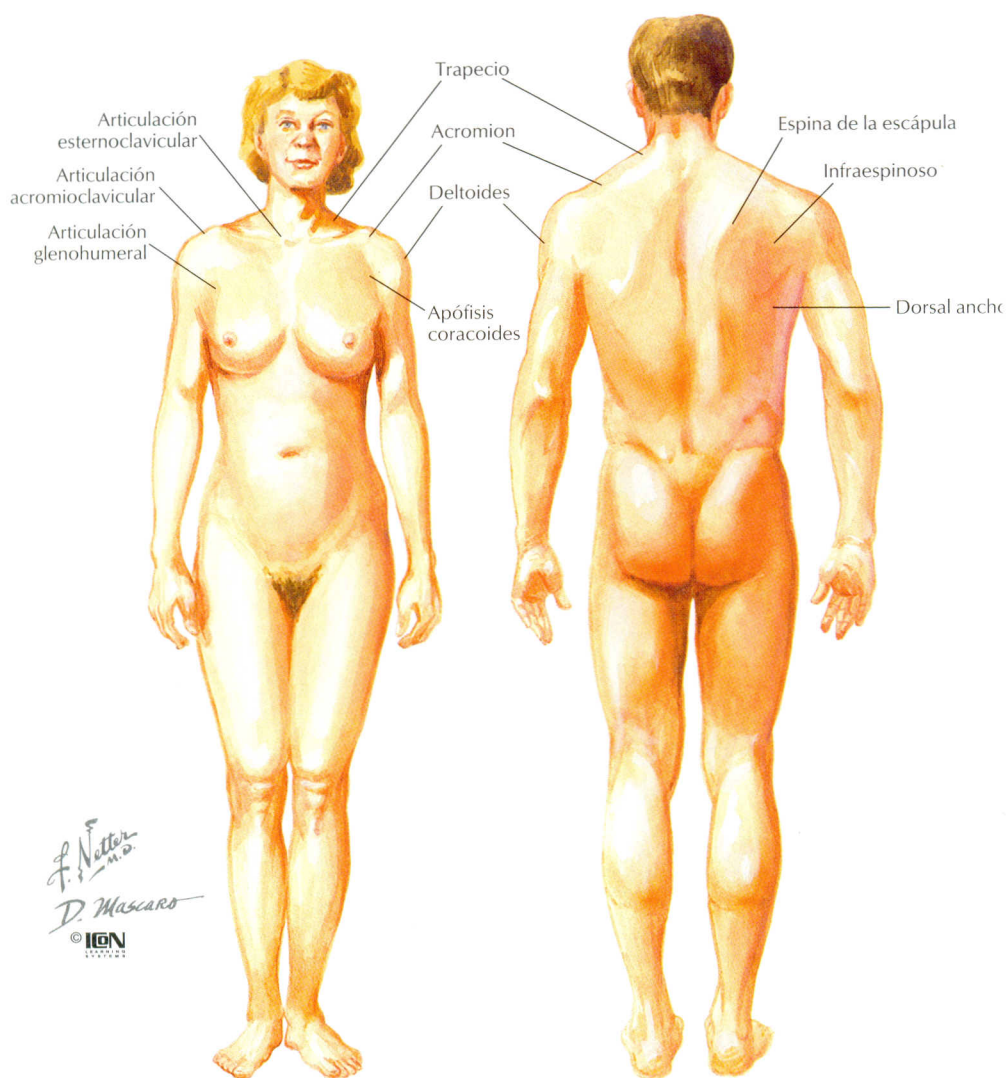
USO	PLANOS INTERNERVIOSOS	RIESGOS	COMENTARIO
ABORDAJE POSTERIOR			
CERVICAL 1. Artrodesis posterior 2. Herniación de disco 3. Luxación facetaria	Músculos paracervicales derechos e izquierdos (ramo cervical posterior)	1. Médula espinal 2. Raíces nerviosas 3. Ramos posteriores 4. Arteria vertebral 5. Vasos segmentarios	1. Abordaje más utilizado de columna cervical 2. Marcar preoperatoriamente el nivel de la patología con un marcador radioopaco para hallar el nivel adecuado en la intervención
LUMBAR 1. Herniación del disco 2. Revisión de raíces nerviosas	Músculos paravertebrales derechos e izquierdos (ramos dorsales)	Vasos segmentarios para los paravertebrales	Incisión a lo largo de las apófisis espinosas

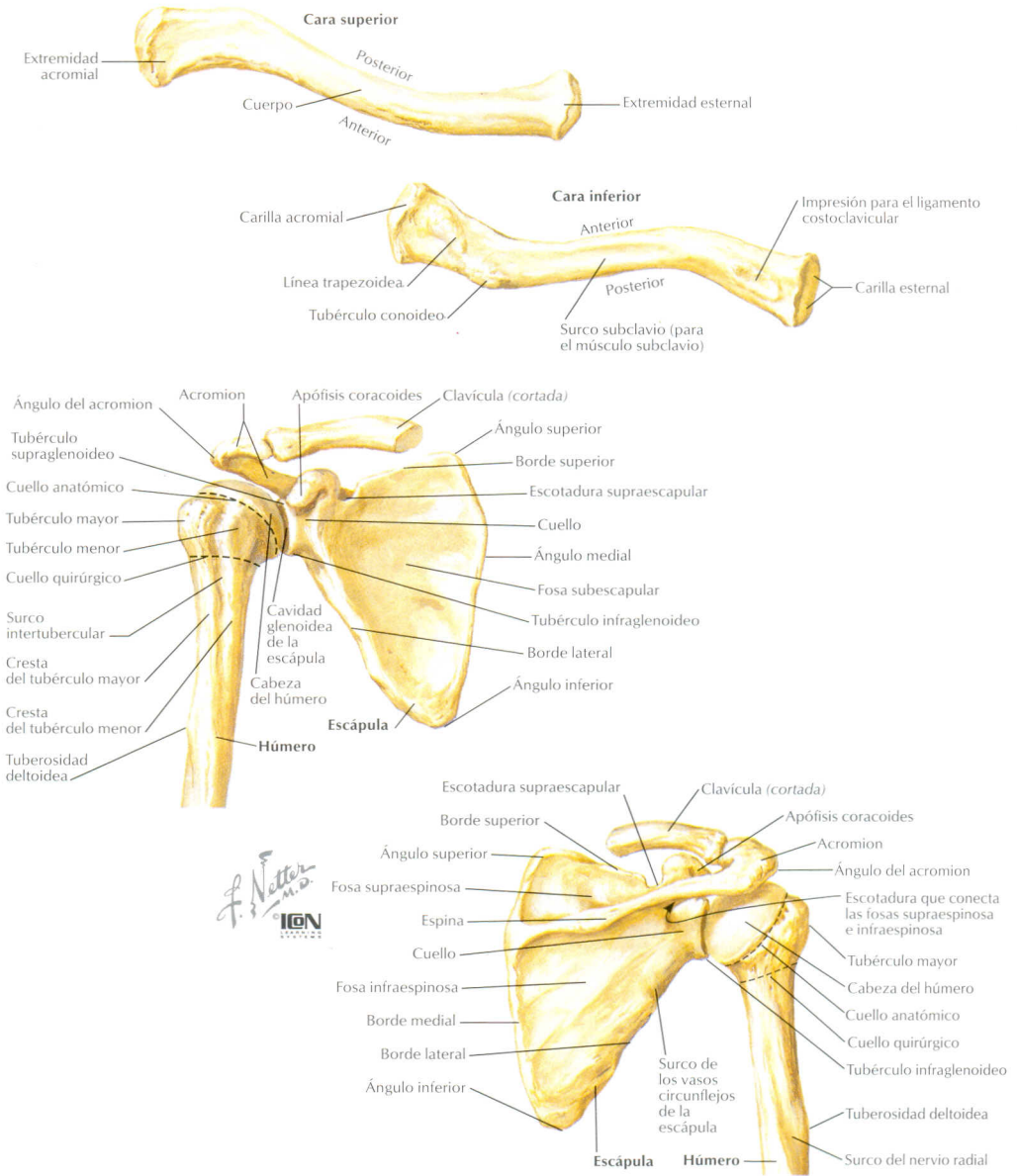
CAPÍTULO 2

HOMBRO

CONTENIDOS

Anatomía topográfica	44
Osteología	45
Traumatismo	46
Articulaciones	48
Procedimientos menores	50
Anamnesis y exploración física	51
Músculos	54
Nervios	58
Arterias	61
Patología	62
Abordajes quirúrgicos	64

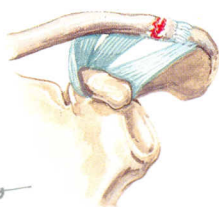




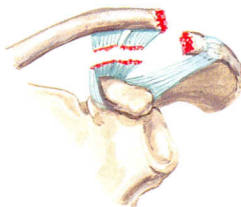
CARACTERÍSTICAS	OSIFICACIÓN	FUSIÓN	COMENTARIOS
CLAVÍCULA			
<ul style="list-style-type: none"> Cilíndrica; forma de S Centro: más estrecha, sin inserciones ligamentosas 	Primario (2) (medial/lateral) Secundario (esternal/acromial)	7 semanas fetal 18-20 años 25 años (esternal) 19-20 años (acromial)	<ul style="list-style-type: none"> La clavícula es la primera en osificarse, última en fusionarse Empieza como osificación intramembranosa, finaliza como membranosa
ESCÁPULA			
<ul style="list-style-type: none"> Delgada, forma triangular Únicamente inserciones musculares con el esqueleto axial 	1. Cuerpo 2. Coracoides 3. Coracoides/glenoides 4. Acromion 5. Ángulo inferior	8 semanas (fetal) 1 años 15 años 15 años 16 años	Irrigación arterial: 1. Subescapular (y arterias circunflejas escapulares) 2. Arteria supraescapular

Fracturas del tercio externo de la clavícula

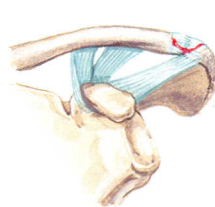
F. Netter
D. Mascaro
© IGM



Tipo I. Fractura sin afectación de los ligamentos ni desplazamiento. Tratada con cabestrillo durante algunas semanas



Tipo II. Fractura con lesión del ligamento coracoclavicular y desplazamiento craneal del fragmento medial. Requiere tratamiento quirúrgico; si se utiliza aguja, ésta debe doblarse para evitar la migración



Tipo III. Fractura a través de la articulación acromioclavicular; sin desplazamiento. A menudo pasa desapercibida y posteriormente puede ser causa de dolor osteoartítico, requiriendo artroplastia de resección

DESCRIPCIÓN

EVALUACIÓN

CLASIFICACIÓN

TRATAMIENTO

FRACTURA DE CLAVÍCULA

• Fractura más frecuente

- Caída sobre hombro o golpe directo
- Fútbol, hockey
- Raramente, afectación neurovascular (infraclavicular)

Hx: traumatismo. No puede alzarse el brazo. Dolor
EF: deformidad en el sitio de fractura con DP. Deben realizarse exámenes vasculares y neurológicos
RX: AP y angulada 45°
Grupo II: radiografías de estrés

I. 1/3 medio: 80%

II. 1/3 distal: 15%

Tipo I: desplazamiento mínimo; entre ligamentos
Tipo II: desplazada, fractura medial al ligamento CC
Tipo IIA: ligamentos CC insertados en el fragmento distal
Tipo IIB: rotura del conoides. Ligamento trapezoideo insertado
Tipo III: fractura a través de la articulación AC. Ligamentos intactos

III. 1/3 proximal: 5%

Tratamiento ortopédico (sin reducción) con ocho de guarismo o cabestrillo para fracturas del tercio medio/proximal, 1/3 distal (tipos I y III) (3-4 semanas; BA)
Intervención quirúrgica en tipo II para prevenir la pseudoartrosis (también fracturas abiertas, lesión vascular)

COMPLICACIONES: pseudoartrosis, en especial 1/3 distal: lesión de tipo II; lesión del plexo braquial (fascículo medial/nervio cubital) o de la arteria subclavia; neumotórax.

FRACTURA DE ESCÁPULA

- Infrecuente
- Varones jóvenes
- Traumatismo de alta energía
- > 85% con lesiones asociadas (incluyendo graves)
- Dx frecuente a posteriori debido a lesiones asociadas (en especial pulmonares y de grandes vasos)

Hx: traumatismo. Dolor de espalda y/o hombro
EF: tumefacción e hipersensibilidad a la palpación
RX: AP/axilar lateral/ Y de escápula; RX cervical
TC: glenoides intraarticular

Clasificación anatómica: A-G

Idleberg (fractura de glenoides)

Tipo I: fractura anterior por avulsión

Tipo II: fractura transversa/oblicua a través del glenoides; emerge inferiormente

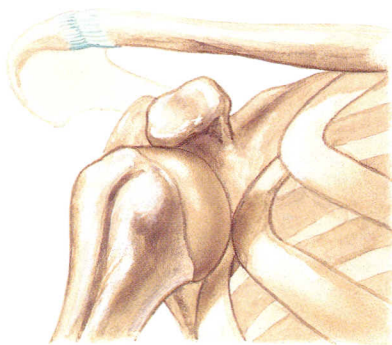
Tipo III: fractura oblicua a través del glenoides, emerge cranealmente

Tipo IV: fractura transversa que sale a través del cuerpo de la escápula

Tipo V: tipos II + IV

Tratamiento conservador con cabestrillo durante 2 semanas para la mayoría de fracturas; posteriormente movilización precoz
RAFI para fracturas intraarticulares y/o grandes fragmentos desplazados (> 25%)

COMPLICACIONES. Lesiones asociadas: fractura de la 1.ª costilla, neumotórax, contusión pulmonar, lesión vascular, lesión del plexo braquial, lesión AC (en especial en tipo III; fractura acromial); lesión del nervio supraescapular



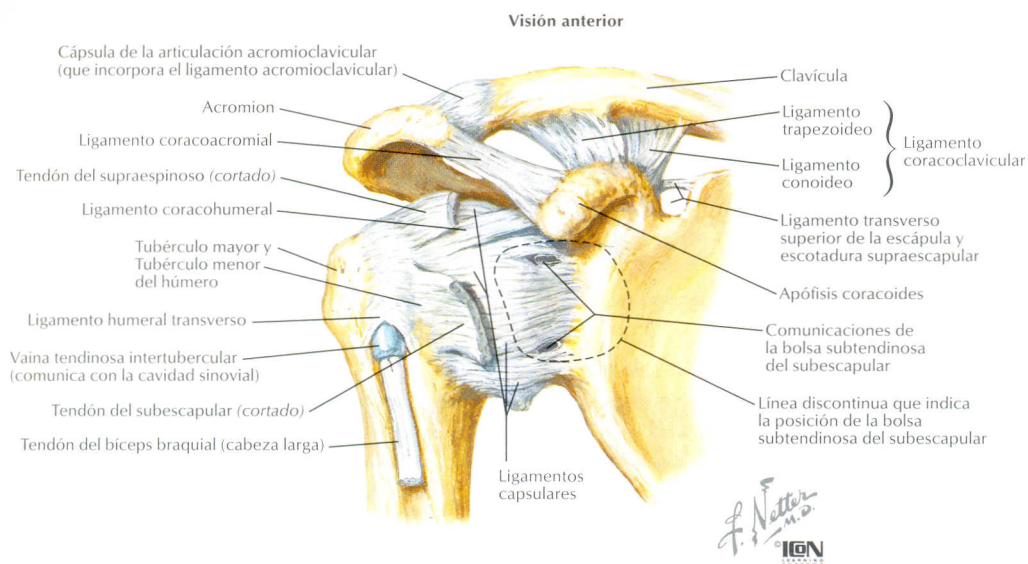
Luxación subcoracoidea (la más frecuente)



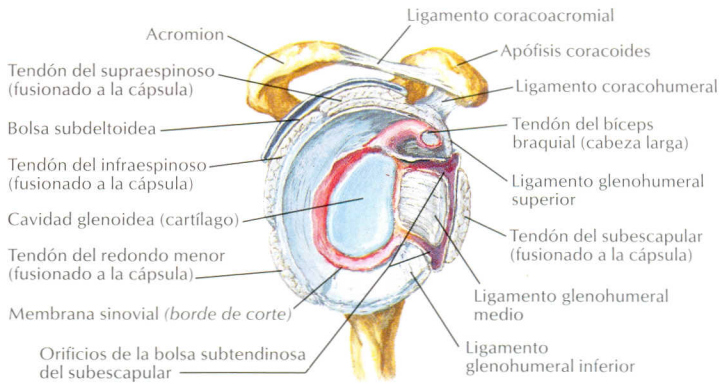
Radiografía anteroposterior. Luxación subcoracoidea

F. Netter M.D.
D. Mascaro
 © IGM

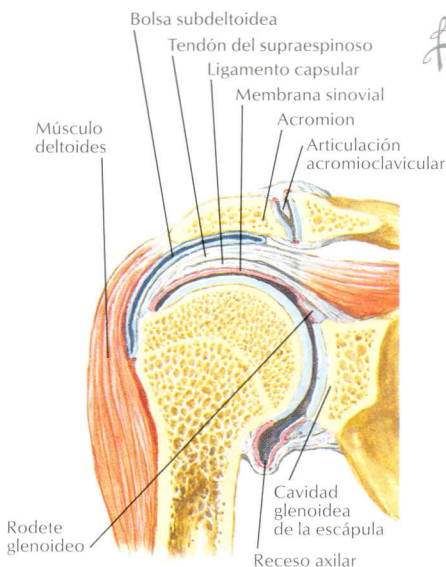
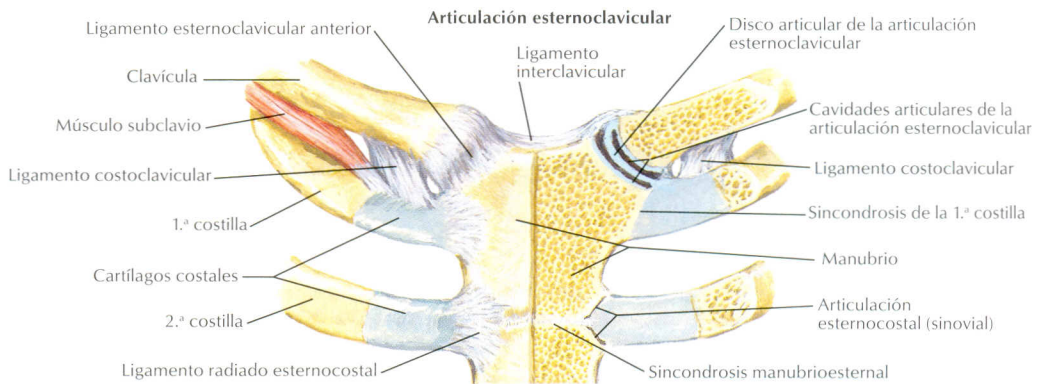
DESCRIPCIÓN	EVALUACIÓN	CLASIFICACIÓN	TRATAMIENTO
DIASTASIS ACROMIOCLAVICULAR (AC)			
<ul style="list-style-type: none"> La diástasis es una luxación o subluxación de la articulación AC Caída sobre el acromion Deportes de contacto: hockey, fútbol, lucha Varones 	<p>Hx: traumatismo. Nivel de dolor: de mínimo a grave</p> <p>EF: articulación AC con DP, gran deformidad externa a partir del grado III</p> <p>RX: AP, forzadas: grado II frente a grado III</p> <p>I: normal</p> <p>II: separación mínima</p> <p>III o superior: desplazamiento de la clavícula</p>	<p>6 grados: (basados en la lesión ligamentosa y la posición de la clavícula)</p> <p>Grado I: esguince, ligamentos AC intactos</p> <p>Grado II: lesión AC, esguince CC</p> <p>Grado III: rotura de AC/CC (ambos), luxación de la articulación AC</p> <p>Grado IV: III con desplazamiento posterior de la clavícula en/a través del músculo trapecio</p> <p>Grado V: III con clavícula desplazada cranealmente > 100%</p> <p>Grado VI: III con clavícula inferior</p>	<p>Grado I, II: cabestrillo hasta que el dolor desaparezca (+/- infiltración/analgesia) durante 1-2 semanas, entonces forzar BA</p> <p>Grado III: tratamiento conservador; cirugía para trabajadores/atletas</p> <p>Grado IV-VI: reducción abierta y reparación</p>
COMPLICACIONES: deformidad permanente; rigidez, OA precoz; osteólisis distal de clavícula (dolor); lesiones asociadas: fracturas, neumotórax			
LUXACIÓN GLENOHUMERAL			
<ul style="list-style-type: none"> Anterior: lesión en abd./RE 2 mecanismos 1. IUTLB (inestabilidad unilateral traumática y lesión de Bankart) 2. IMBA (inestabilidad multidireccional, bilateral, atraumática; responde a rehabilitación; reparación de cápsula inferior) < 20 años: > 80% recurr. Las lesiones de Hill Sachs y Bankart predisponen a la recidiva Posterior: después de un ataque epiléptico, a menudo no diagnosticadas 	<p>Hx: trauma o hx. de luxaciones recidivantes. Dolor intenso</p> <p>EF: deformidad, hombro en charretera, con dolor intenso. Realizar exploración neurológica completa</p> <p>RX: AP/axilar lateral</p> <p>Anterior: lesión de Hill-Sachs</p> <p>Posterior: Hill-Sachs invertida, «glenoides vacía»</p> <p>RM: lesión de Bankart (fractura labral anterior/posterior)</p>	<p>Clasificación anatómica: ubicación de la cabeza humeral:</p> <ul style="list-style-type: none"> Anterior (> 90%) Posterior (5%) Inferior (luxación erecta): muy rara Superior: sumamente rara 	<p>Reducción:</p> <p>Examen neurológico pre y posreducción</p> <p>Sedación (benzo EV + narcóticos)</p> <p>Métodos:</p> <ol style="list-style-type: none"> 1. Tracción/contratracción 2. Hipocrático 3. Stimson 4. Milch <p>Inmovilizar (2-6 semanas), rehabilitación</p> <p>Cirugía para las recidivantes/IUTLB, luxación posterior > 3 semanas</p>
COMPLICACIONES: frecuencia de recidiva (la edad lo determina; disminuye con la edad); lesión del nervio axilar ; lesión del manguito de los rotadores; fractura de la tuberosidad mayor/glenoides; síndrome del brazo muerto			



ARTICULACIÓN	TIPO	LIGAMENTOS	COMENTARIOS
Glenohumeral	Esferoidea Bola/glena	Gran movilidad, poca estabilidad (precisa manguito de los rotadores); es la articulación más luxable (anterior > 90°) Cápsula Coracohumeral Glenohumeral Rodete glenoideo	Amplia, redundante, con intervalos; mínimo soporte Aporta estabilidad anterior Ligeros engrosamientos capsulares; 3 ligamentos: superior, medio e inferior (el más resistente) Aumenta la superficie articular y profundidad de la glenoides. Lesiones: de SLAP/de Bankart Mantiene el tendón del bíceps (CL) en su corredera El posterior es más resistente; la luxación anterior es más frecuente Ligamento EC más resistente
Esternoclavicular	Silla de montar (encaje recíproco)	Humeral transverso Cápsula Ligamentos EC anterior y posterior Interclavicular Costoclavicular	
Acromioclavicular (articulación AC)	Plana	Cápsula con menisco intraarticular Acromioclavicular Coracoacromial Coracoclavicular Trapezoide Conoide	Estabilidad horizontal; afectado en lesiones AC de grado II Puede causar atrapamiento Estabilidad vertical; afectado en lesiones AC de grado III Localizado en región anterior/lateral Localizado en región posterior/medial; más resistente
Escapulotorácica	No es una articulación; mecanismo de deslizamiento	Permite que la escápula se desplace a lo largo de la parrilla costal posterior	
Otros ligamentos		Transverso superior de la escápula	Separa la arteria supraescapular del nervio



Articulación abierta: visión lateral



Sección coronal a través de la articulación

F. Netter
M.D.
ICON

ESTRUCTURA	FUNCIÓN
MÚSCULOS	
MANGUITO DE LOS ROTADORES	Mantiene la cabeza humeral en la glenoides
Supraespinoso	Tendón lesionado con más frecuencia
Infraespinoso	
Redondo menor	
Subescapular	Estabilizador anterior
LIGAMENTOS	
Cápsula	Los tendones del manguito rotador se fusionan a ella
Glenohumerales	Superior: impide la traslación inferior Medio: impide la traslación anterior Inferior: impide la traslación inferior/anterior
Coracohumeral	Impide la traslación posterior/inferior
Rodete	Aumenta la profundidad de la glenoides

PASOS

INFILTRACIÓN DE LA ARTICULACIÓN ACROMIOCLAVICULAR (AC)

1. Preguntar al paciente sobre alergias
2. Palpación de la clavícula en posición distal a la articulación AC (surco)
3. Limpieza cutánea de la articulación AC (yodo/jabón antiséptico)
4. Infiltración cutánea local (habón cutáneo)
5. Utilizar aguja de 21 G o más pequeña; insertarla verticalmente dentro de la articulación. **Aspirar para asegurarnos de que no estamos en ningún vaso;** entonces, inyectar 2 ml de preparación 1:1 anestésico/corticoesteroides en la articulación AC. **(Se aprecia un «chasquido» que indica que la aguja ha penetrado en la articulación)**
6. Colocación de apósito en el lugar de la punción

INFILTRACIÓN DEL ESPACIO SUBACROMIAL

1. Preguntar al paciente sobre alergias
2. Palpación del acromion: definir sus límites
3. Limpieza cutánea del hombro (yodo/jabón antiséptico)
4. Infiltración cutánea local (habón cutáneo)
5. Colocar el dedo (con guantes estériles) sobre el acromion; insertar la aguja bajo la cara posterior del acromion con angulación craneal. **Aspirar para asegurarnos de que no nos encontramos en un vaso;** entonces, inyectar 5-10 ml de preparación, **que entrará fácilmente si nos encontramos en la articulación.** Utilizar para:
 - a) Infiltración diagnóstica: sólo anestésico
 - b) Infiltración terapéutica: anestésico/corticoesteroides 5:1
6. Colocación de apósito en el lugar de la punción

ARTROCENTESIS GLENOHUMERAL

1. Palpación de la apófisis coracoides/cabeza humeral
2. Limpieza de la piel del hombro (yodo/jabón antiséptico)
3. Infiltración cutánea local (habón cutáneo)
4. Abducción brazo/tracción inferior (por un ayudante)
5. Punción entre la cabeza humeral y la apófisis coracoides
6. El líquido sinovial debe aspirarse con facilidad
7. Colocación de apósito en el lugar de la punción



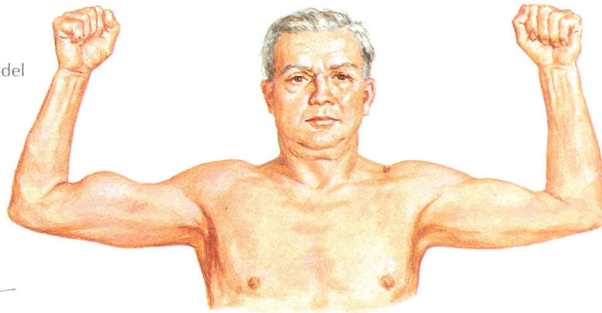
Lesión de la articulación acromioclavicular.

Normalmente causada por una caída sobre el hombro que deprime el acromion (separación del hombro)



Rotura del tendón de la porción larga del bíceps braquial derecho que se muestra en la flexión activa del codo

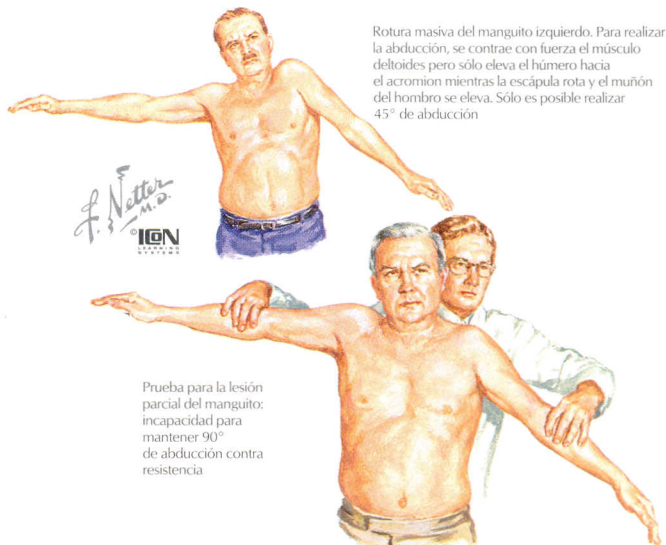
F. Netter M.D.
D. Mascaro
© IGM



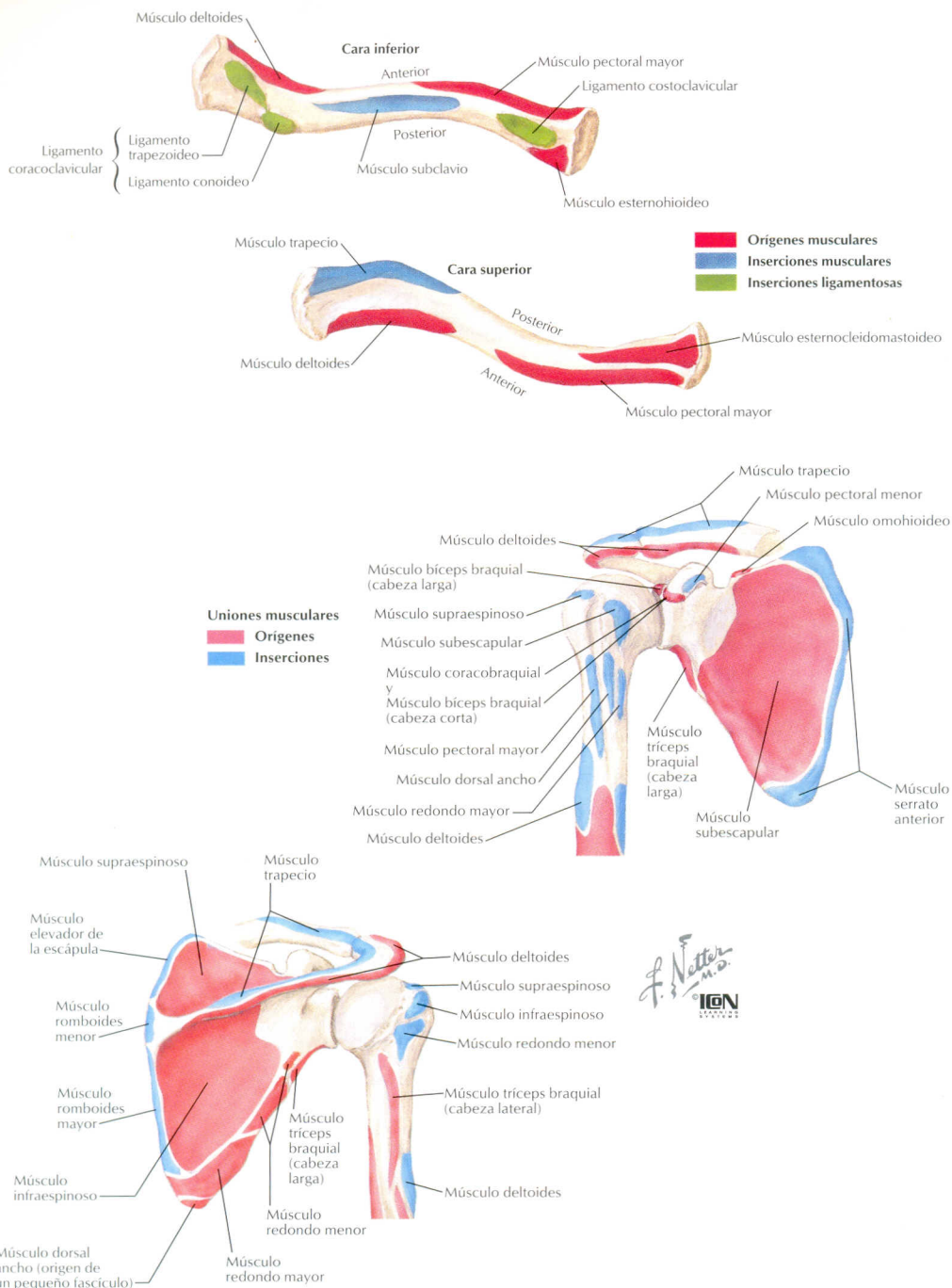
Rotura del músculo bíceps braquial

PREGUNTA	RESPUESTA	APLICACIÓN CLÍNICA
1. EDAD	ANCIANO JOVEN	Rotura del manguito rotador/atrapamiento, artritis (OA), capsulitis adhesiva (hombro congelado), fractura del húmero (tras traumatismo) Inestabilidad, lesión AC, osteólisis, atrapamiento en atletas
2. DOLOR		
a. Inicio	Agudo Crónico	Fractura, lesión del manguito de los rotadores, lesión AC, luxación Atrapamiento, artritis
b. Localización	Craneal/articulación AC	Artrosis de la articulación AC
c. Aparición	Dolor nocturno	Típico de la lesión del manguito de los rotadores, tumor
d. Empeoramiento/alivio	Empeoramiento con abducción del hombro Alivio en abducción	Lesión del manguito de los rotadores Radiculopatía cervical
3. RIGIDEZ	Sí	Osteoartritis, capsulitis adhesiva
4. INESTABILIDAD	«Se sale y entra»	Luxación: > 90° anterior; sucede con la abducción y rotación externa (p. ej., lanzamiento)
5. TRAUMATISMO	Contusión directa Caída sobre mano extendida	Lesión acromioclavicular Luxación glenohumeral
6. TRABAJO/ACTIVIDAD	Sobreabuso de elevación Levantamiento pesos Atletas: lanzadores Trabajadores manuales	Lesión del manguito de los rotadores Osteólisis (clavícula distal) Lesión/atrapamiento del manguito de los rotadores Artritis (OA)
7. Síntomas neurológicos	Parestesias/hipoestesias/«acorchamiento»	Síndrome del desfiladero torácico, lesión del plexo braquial
8. AHx	Cardiopulmonares/GI	Dolor referido en hombro

EXPLORACIÓN	TÉCNICA/HALLAZGOS	APLICACIÓN CLÍNICA
INSPECCIÓN		
Simetría	Comparación de ambos lados	
Debilidad	Pérdida de contorno /masa muscular	Lesión del manguito de los rotadores
Gran deformidad	Desplazamiento superior	Lesión AC (diástasis)
Gran deformidad	Desplazamiento anterior	Luxación anterior (articulación glenohumeral)
Gran deformidad	Brazo de «Popeye»	Rotura del tendón bicipital (normalmente región proximal de la cabeza larga del bíceps)
PALPACIÓN		
Articulación AC	Palpar el extremo lateral de la clavícula	El dolor indica patología AC
Bolsa subacromial	Palpar descenso del acromion sobre el surco acromiohumeral	Dolor: bursitis y/o rotura del tendón del supraespinoso
Ligamento coracoclavicular	Palpar entre el acromion y el coracoides	El dolor indica atrapamiento
Tubérculo mayor	Prominencia en la cara lateral de la cabeza humeral	El dolor indica tendinitis del manguito de los rotadores
Tendón del bíceps	Palpar su inserción proximal en el húmero	El dolor indica tendinitis bicipital
BALANCE ARTICULAR		
Flexión anterior	Brazos hacia delante	Normal 0-160°
Abducción	Brazos hacia fuera	Normal 0-160°/180°
Rotación interna	El pulgar toca las apófisis espinosas, indicar nivel	Normal, llega a la mitad de la columna torácica; compárense ambos lados
Rotación externa	1. Codo en tronco, rotación lateral de antebrazos 2. Abducción del brazo a 90° y rotación externa	Normal 30-60° Rotación externa reducida en la capsulitis adhesiva
Lesión del manguito de los rotadores: disminuye el BA anterior, se mantiene el BA posterior; capsulitis adhesiva: ambos disminuyen		
NEUROVASCULAR		
Sensitiva	Acariciar, pinchar, 2 puntos	
Nervio supraclavicular (C4)	Hombro cara superior/área clavicular	El déficit indica lesión del nervio/raíz correspondiente
Nervio axilar (C5)	Hombro, cara lateral	El déficit indica lesión del nervio/raíz correspondiente
Nervio torácico (T2)	Axila	El déficit indica lesión del nervio/raíz correspondiente
Motora		
Nervio accesorio (XI PC)	Resistencia al encogimiento de los hombros	Debilidad = lesión del trapecio o del nervio/raíz correspondiente
Nervio supraescapular (C5-6)	Resistencia a la abducción Resistencia a la rotación externa	Debilidad = lesión del supraespinoso o nervio/raíz correspondiente Debilidad = lesión del infraespinoso o del nervio/raíz correspondiente
Nervio axilar (C5)	Resistencia a la abducción Resistencia a la rotación externa	Debilidad = lesión del deltoides o del nervio/raíz correspondiente Debilidad = lesión del redondo menor o del nervio/raíz correspondiente
Nervio dorsal de la escápula (C5)	Resistencia al encogimiento de los hombros	Debilidad = lesión del elevador de la escápula/romboides o del nervio/raíz
Nervio toracodorsal (C7-8)	Resistencia a la aducción	Debilidad = lesión del dorsal ancho o del nervio/raíz
Nervio pectoral lateral (C5-7)	Resistencia a la aducción	Debilidad = lesión del pectoral mayor o del nervio/raíz correspondiente
Nervio subescapular superior/inferior (C5-6)	Resistencia a la rotación interna	Debilidad = lesión del redondo menor o del subescapular o del nervio/raíz
Nervio torácico largo (C5-7)	Anteversión escapular	Debilidad = lesión del serrato anterior o del nervio/raíz

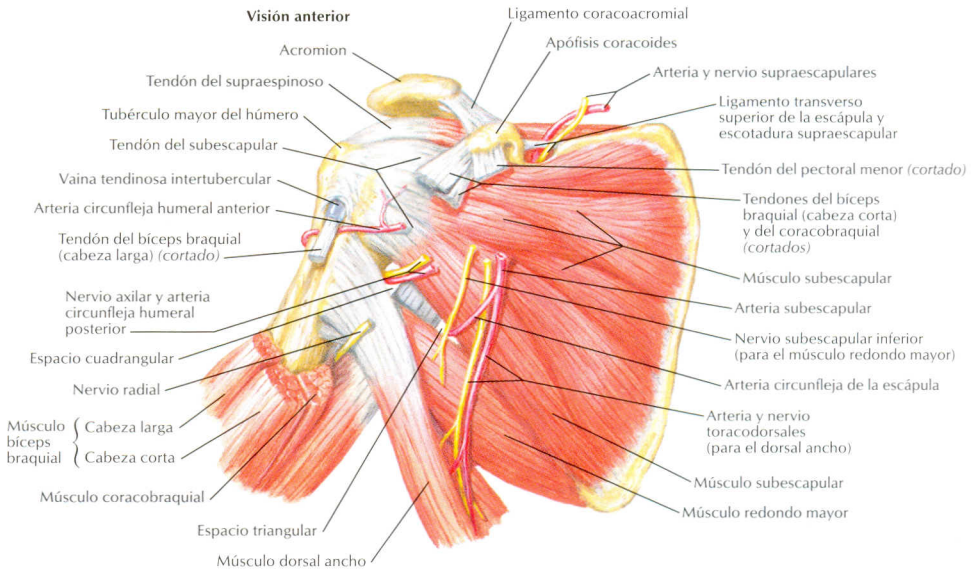
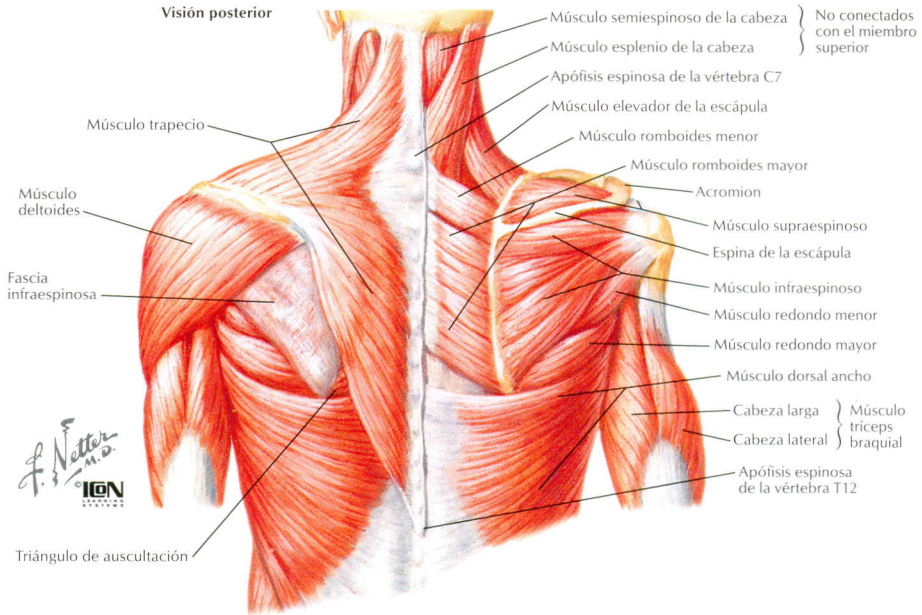


EXPLORACIÓN	TÉCNICA/HALLAZGOS	APLICACIÓN CLÍNICA
PRUEBAS ESPECIALES		
Supraespinoso (cubo vacío)	Bilateral: 30° abd., 90° FA, RI, oposición a fuerza caudal	La debilidad indica lesión del manguito de los rotadores (supraespinoso), atrapamiento
Prueba del brazo caído	Abd. pasiva 90°, descender lentamente	La debilidad o caída del brazo indica lesión del manguito de los rotadores
Lift off	Mano en la espalda, compresión posterior	La debilidad o impotencia indican rotura del subescapular
Speed	Resistencia a la flexión anterior del brazo	El dolor indica tendinitis bicipital
Yergason	Mano sostenida, supinación contrarresistencia	El dolor indica tendinitis bicipital, subluxación del tendón bicipital
Signo de atrapamiento (Neer)	Flexión anterior > 90°	El dolor indica atrapamiento subacromial
Prueba de Hawkins	Flexión anterior 90°, codo 90°, después RI	El dolor indica atrapamiento subacromial
Aducción horizontal forzada	90° flexión anterior, después aducción brazo sobre el cuerpo	El dolor indica patología AC, disminución del BA que indica rigidez de la cápsula posterior
Desplazamiento horizontal de la clavícula	Manos sobre clavícula/escápula; entonces movilización	El dolor/movimiento indica patología AC
Compresión activa (de O'Brien)	90° FA, RI máxima, después aducción/flexión	El dolor o chasquido indica lesión SLAP
Cajón anterior y posterior	Coaptar sobre glenoides, traslación anterior/posterior	Movimiento indicativo de inestabilidad en esa dirección (anterior frente a posterior)
Aprehensión	Brazo armado, continuar rotación externa	La aprehensión indica inestabilidad anterior
Traslación (Jobe)	90° abd., RE máxima, fuerza posterior sobre la cabeza humeral	Disminución del dolor o aprehensión, o incremento de la rotación externa, indicativos de inestabilidad anterior
Aprehensión posterior	FA 90°, rotación interior, fuerza posterior	La aprehensión revela inestabilidad posterior
Inestabilidad inferior	Abd. 90°, tracción descendente sobre el húmero	Deslizamiento de la cabeza humeral o aprehensión: inestabilidad inferior o multidireccional
Signo del surco	Brazo junto al cuerpo, tracción inferior	Aumento del surco acromiohumeral: inestabilidad inferior o multidireccional
Adson	Palpación del pulso radial, rotación del cuello hacia el mismo lado	Síntomas indicativos del síndrome del desfiladero torácico
Roo (EAST)	Ambos brazos: abd./RE, abrir y cerrar los puños durante 3 min	Síntomas indicativos del síndrome del desfiladero torácico
Spurling	Flexión lat./compresión axial del cuello	Síntomas indicativos de patología discal cervical

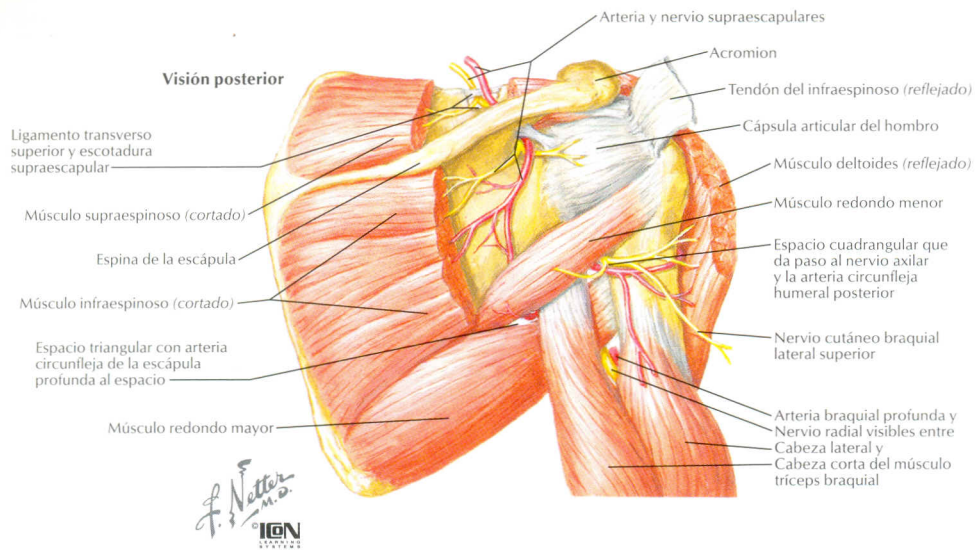


f. Netter M.D.
© IGM

APÓFISIS CORACOIDES	TUBÉRCULO MAYOR	ANTERIOR PROXIMAL	EPICÓNDILO MEDIAL	EPICÓNDILO LATERAL
ORÍGENES Bíceps (CC) Coracobraquial INSERCIONES Pectoral menor	INSERCIONES Supraespinoso Infraespinoso Redondo menor	INSERCIONES Pectoral mayor Dorsal ancho Redondo mayor	ORÍGENES Pronador redondo Tendones flexores (FRC, PL, FCC, FSD)	ORÍGENES Ancóneo Tendones extensores (ERCC, ED, EM, ECC)

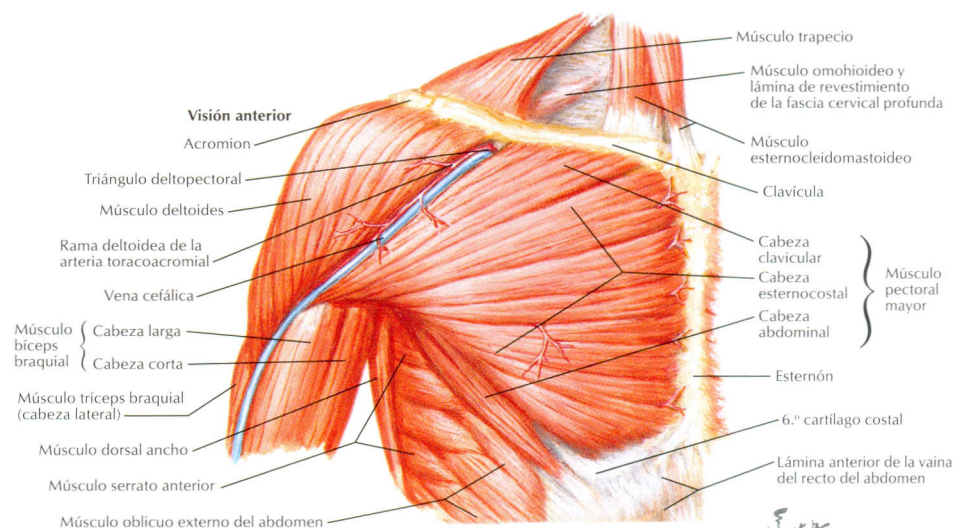
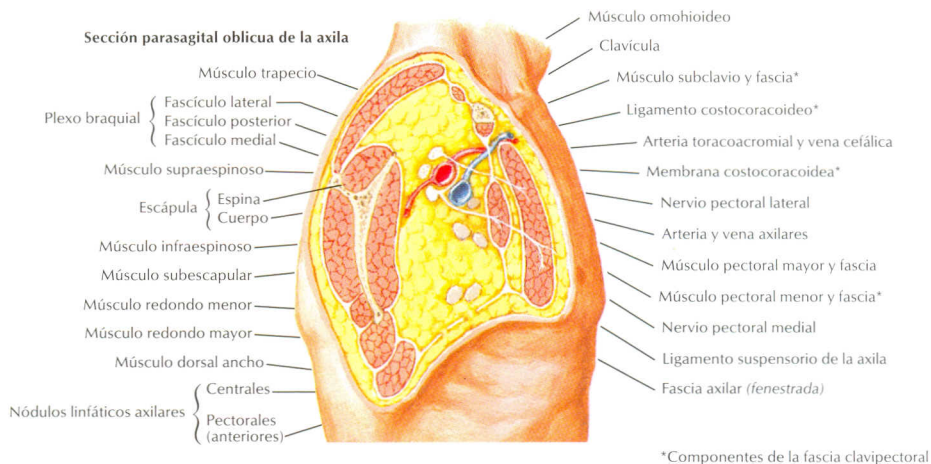


MÚSCULO	ORIGEN	INSERCIÓN	INERVACIÓN	ACCIÓN	COMENTARIO
Trapecio	Apófisis espinosa (C7-T12)	Clavícula, acromion, espina de la escápula	Nervio craneal XI	Elevación y rotación escapular	Une ESUp. a la columna
Dorsal ancho	T7-T12, cresta iliaca	Húmero (corredera bicipital)	Toracodorsal	Aducción, extensión brazo, RI del húmero	Une ESUp. a la columna
Elevador de la escápula	Apófisis transversa (C1-C4)	Borde superior y medial de la escápula	Dorsal de la escápula/C3-4	Eleva la escápula	Une ESUp. a la columna
Romboides menor	Apófisis espinosa (C7-T1)	Borde medial de la escápula (en la espina)	Dorsal de la escápula	Aducción de la escápula	Une ESUp. a la columna
Romboides mayor	Apófisis espinosa (T2-T5)	Borde medial de la escápula	Dorsal de la escápula	Aducción de la escápula	Une ESUp. a la columna



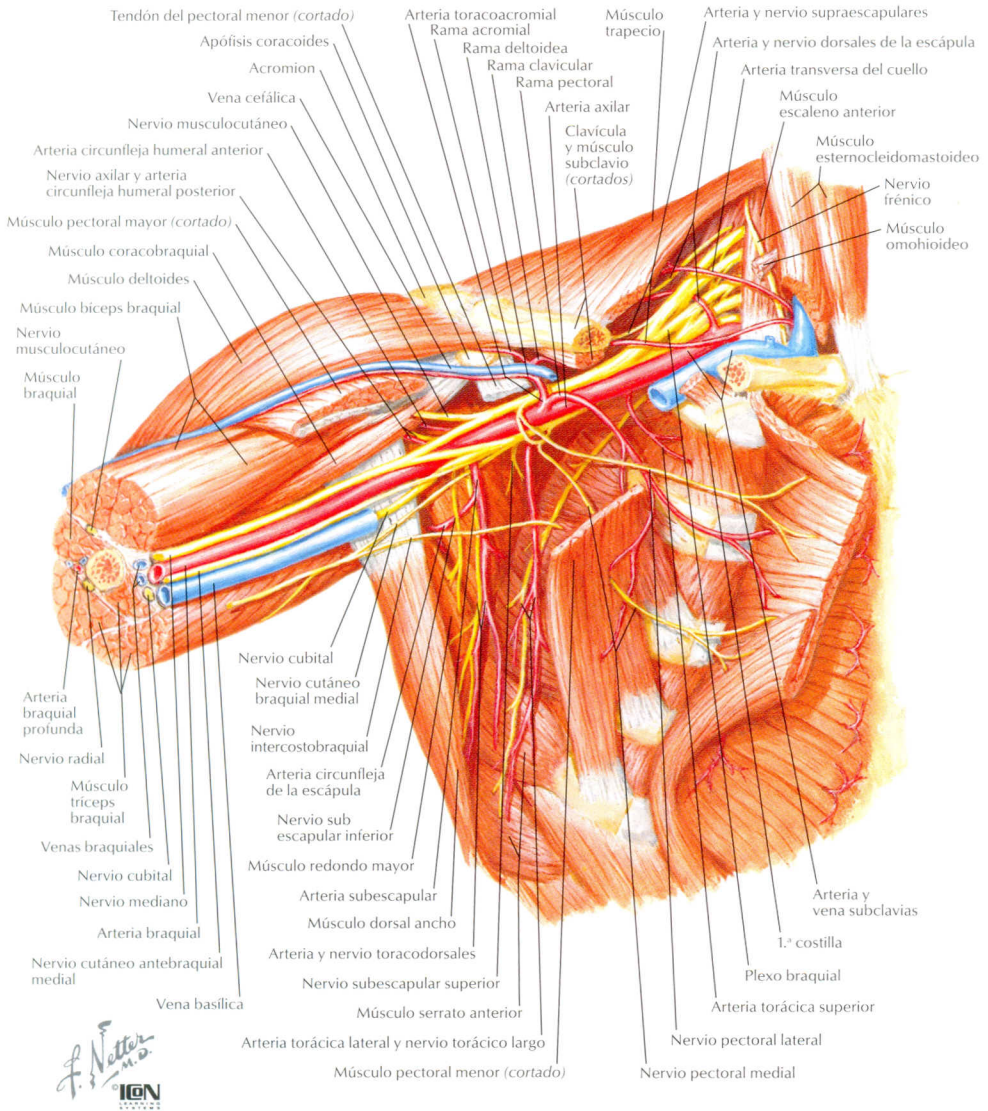
ESPACIO	LÍMITES	ESTRUCTURAS
Espacio triangular	Redondo menor Redondo mayor Tríceps (cabeza larga)	Arteria circunfleja escapular
Espacio cuadrangular	Redondo menor Redondo mayor Tríceps (cabeza larga) Tríceps (cabeza lateral)	Nervio axilar Arteria circunfleja posterior Arteria humeral
Intervalo triangular	Redondo mayor Tríceps (cabeza larga) Tríceps (cabeza lateral)	Nervio radial Arteria braquial profunda

MÚSCULO	ORIGEN	INSERCIÓN	INERVACIÓN	ACCIÓN	COMENTARIO
Deltoides	Clavícula, acromion, espina de la escápula	Húmero (tuberosidad deltoidea)	Axilar	Abducción del brazo	Atrofia: lesión del nervio axilar
Redondo mayor	Ángulo inferior de la escápula	Húmero (corredera bicipital)	Subescapular inferior	RI, aducción del brazo	Protege nervio radial en abordajes posteriores
<u>Manguito de los rotadores (4)</u>					
1. Supraespinoso	Fosa supraespinosa (escápula)	Tuberosidad mayor (superior)	Supraescapular	Abd. del brazo (inicio), estabilidad	Es el más afectado por lesiones tendinosas por compromiso subacromial (lesión MR)
2. Infraespinoso	Fosa infraespinosa (escápula)	Tuberosidad mayor (central)	Supraescapular	RE del brazo, estabilidad	Debilidad RE: lesión nerviosa. Lesión en la escotadura
3. Redondo menor	Región lateral de la escápula	Tuberosidad mayor (inferior)	Axilar	RE del brazo, estabilidad	La disección puede dañar los vasos circunflejos
4. Subescapular	Fosa subescapular (escápula)	Tuberosidad menor	Subescapular superior e inferior	RI, aducción del brazo, estabilidad	Puede romperse en luxación anterior



F. Netter M.D.
ICON

MÚSCULO	ORIGEN	INSERCIÓN	INERVACIÓN	ACCIÓN	COMENTARIO
Deltoides	Clavícula, acromion, espina de la escápula	Húmero (tuberosidad deltoidea)	Axilar	Abducción del brazo	Atrofia: lesión del nervio axilar
Pectoral mayor	1. Clavícula	Húmero (corredera bicipital)	Pectoral lateral/medial	Aducción del brazo, RI del húmero	Puede romperse al levantar pesos
Pectoral menor	2. Esternón 3. ^a -5. ^a costillas	Apófisis coracoides (escápula)	Pectoral medial	Estabilización de la escápula	Divide la arteria axilar en tres porciones
Serrato anterior	1. ^a -8. ^a costillas (lateral)	Escápula (borde anterosmedial)	Torácico largo	Mantiene la escápula sobre la parrilla costal	Escápula alada por parálisis
Subclavio	1. ^a costilla (y cartilago costal)	Clavícula (borde inferior/tercio medio)	Nervio del subclavio	Hace descender la clavícula	Protege vasos subclavios



PLEXO BRAQUIAL

- Ramos anteriores C5-T1. Variaciones: C4, T2
- Ramos (raíces), troncos, divisiones, fascículos, nervios
- Componente supraclavicular (raíces y troncos) en triángulo posterior del cuello
Las raíces emergen entre el escaleno anterior y medio, y discurren entonces con la arteria subclavia en la vaina axilar
- Divisiones localizadas debajo (posterior) de la clavícula y el músculo subclavio
Divisiones anteriores: flexores
Divisiones posteriores: extensores
- Componente infraclavicular (fascículos y nervios) en la axila

Nervio dorsal de la escápula (C5)

Nervio supraescapular (C5, 6)

Músculo
romboides menor

Nervio axilar (C5, 6)

Nervio cutáneo braquial
lateral superior

Nervio radial
(C5, 6, 7, 8, T1*)

*Contribución inconstante

*F. Netto
M.D.
C. Machado
H.D.*
© IGM
LONDON

1. **Accesorio** (nervio craneal XI, C1-C6): en el triángulo cervical posterior, sobre el elevador de la escápula
Sensitiva: NINGUNA
Motora: trapecio, esternocleidomastoideo

PLEXO CERVICAL

2. **Supraclavicular** (C2-3): se divide en 3 ramos: anterior, medio y posterior
Sensitiva: sobre clavícula, cuello lateral y deltoides
Motora: NINGUNA

PLEXO BRAQUIAL

SUPRACLAVICULAR (abordaje a través del triángulo posterior)

RAÍCES

3. **Dorsal de la escápula** (C3, 4, 5): perfora el escaleno medio, profundo al elevador de la escápula
Sensitiva: NINGUNA
Motora: Elevador de la escápula
Romboides menor y mayor

4. **Torácico largo** (C5-7): sobre la cara anterior del serrato anterior. Discurre con la arteria *torácica lateral*
Sensitiva: NINGUNA
Motora: **Serrato anterior**

TRONCO SUPERIOR

5. **Supraescapular** (C5-6): **a través de la escotadura coracoidea, debajo del ligamento**
Sensitiva: Articulación del hombro
Motora: Supraespinoso
Infraespinoso
6. **Nervio del subclavio** (C5-6): desciende anterior al plexo, posterior a la clavícula
Sensitiva: NINGUNA
Motora: Subclavio

INFRACLAVICULAR (abordaje a través de la axila)

FASCÍCULO LATERAL

- Raíz lateral para el nervio mediano
- 7. **Pectoral lateral** (C5-7): recibe el nombre del fascículo, discurre con la arteria pectoral
Sensitiva: NINGUNA
Motora: Pectoral mayor
Pectoral menor

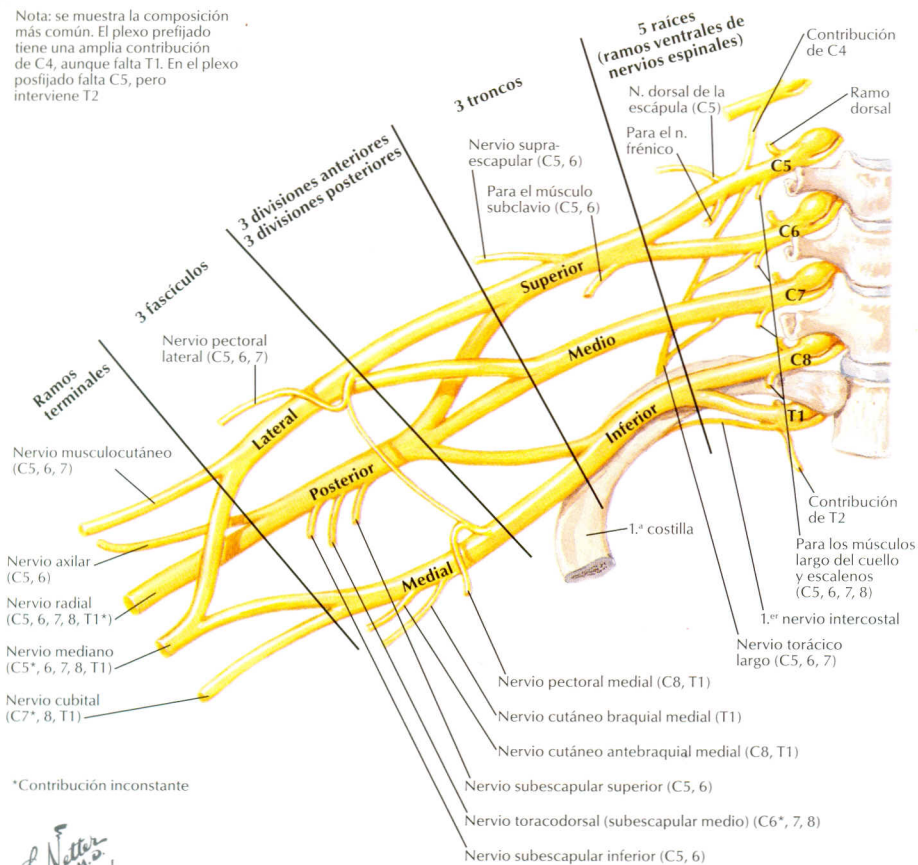
FASCÍCULO MEDIAL

- Raíz medial para el nervio mediano
- 8. **Pectoral medial** (C8-T1): recibe el nombre del fascículo
Sensitiva: NINGUNA
Motora: Pectoral menor
Pectoral mayor (cubierto por músculo)

FASCÍCULO POSTERIOR

9. **Subescapular superior** (C5-6)
Sensitiva: NINGUNA
Motora: Subescapular (porción superior)
10. **Subescapular inferior** (C5-6)
Sensitiva: NINGUNA
Motora: Subescapular (porción inferior)
Redondo mayor
11. **Toracodorsal** (C7-8): discurre con la arteria toracodorsal
Sensitiva: NINGUNA
Motora: Dorsal ancho
12. **Axilar** (C5-6): **con la arteria circunfleja humeral posterior a través del espacio cuadrangular; se lesiona en luxaciones anteriores o fracturas proximales del húmero**
Sensitiva: Región supero-lateral del brazo: vía nervio cutáneo lateral superior del brazo
Motora: Deltoides vía ramos profundos
Redondo menor: vía ramos superficiales

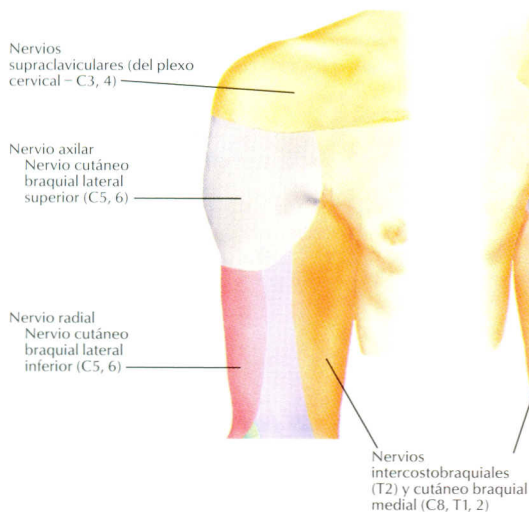
Nota: se muestra la composición más común. El plexo prefijado tiene una amplia contribución de C4, aunque falta T1. En el plexo posfijado falta C5, pero interviene T2



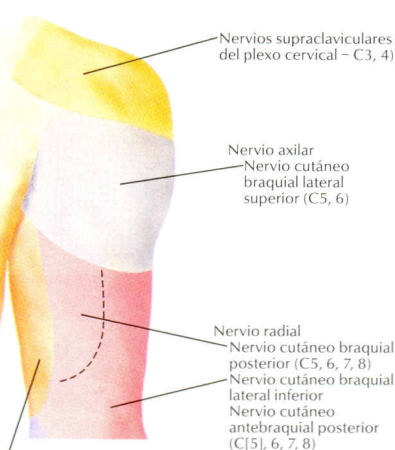
*Contribución inconstante

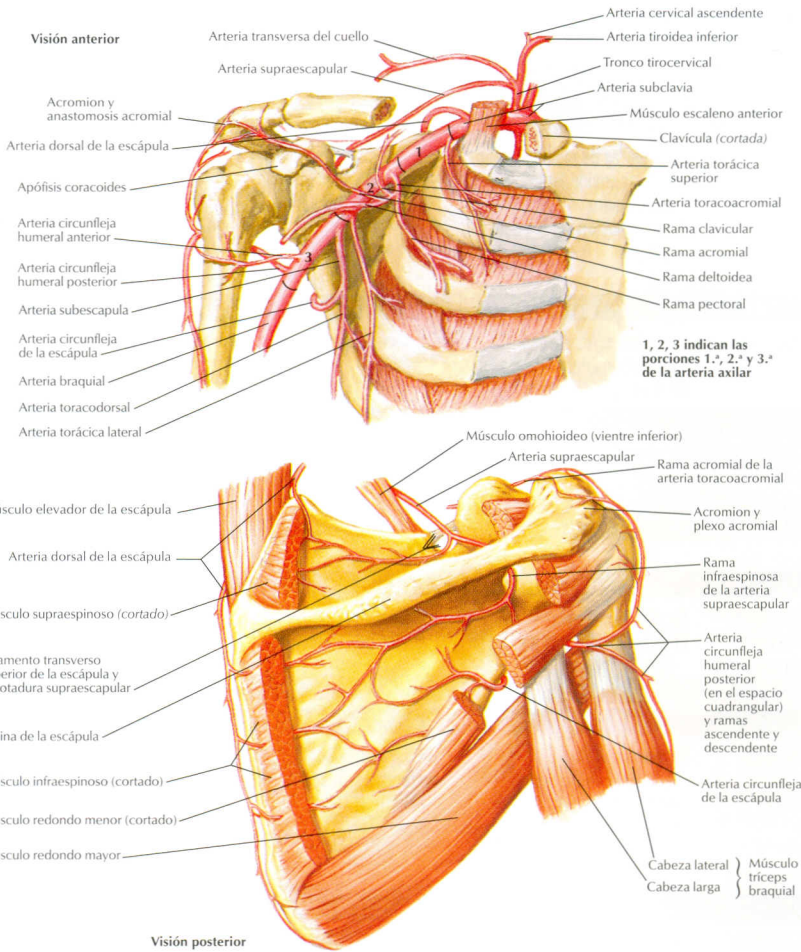
F. Netter M.D.
C. Machado M.D.
© IGM

Visión anterior (palmar)



Visión posterior (dorsal)





1, 2, 3 indican las porciones 1.ª, 2.ª y 3.ª de la arteria axilar

F. Netter M.D.
C. Machado M.D.
© IGM

TRONCOS

RAMOS

TRAYECTO/COMENTARIO

Tronco tirocervical

Supraescapular
Rama infraespinosa

Sobre el ligamento transvers superior de la escápula
Bordea la espina de la escápula

Origen de la arteria subclavia: izquierda, aorta; derecha, tronco braquiocefálico. A continuación se dirige entre los músculos escalenos anterior y medio junto con el plexo braquial

Arteria subclavia

Dorsal de la escápula

Rodea el elevador de la escápula; desciende en dirección medial a la escápula

Porciones determinadas por el pectoral menor: la porción I de la arteria axilar tiene 1 rama, la porción II tiene 2 ramas, la porción III tiene 3 ramas

Axilar (porción I)
Axilar (porción II)

Torácica superior
Toracoacromial
Rama clavicula
Rama acromial
Rama deltoidea
Rama pectoral

Al serrato anterior y músculos pectorales

Discurre junto a la vena basilica

Axilar (porción III)

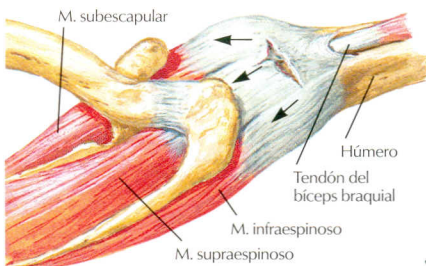
Torácica lateral
Subescapular
Circunfleja escapular
Toracodorsal
Circunfleja anterior
Circunfleja posterior

Al serrato anterior con el nervio torácico largo

Se observa posteriormente en el espacio triangular
Junto al nervio toracodorsal
Irriga la cabeza humeral (y la región anterior del húmero)
Se observa posteriormente en el espacio cuadrangular. Lesión en fracturas proximales del húmero

DESCRIPCIÓN	Hx y EF	PRUEBAS COMPLEMENTARIAS/ HALLAZGOS	TRATAMIENTO
CAPSULITIS ADHESIVA (HOMBRO CONGELADO)			
<ul style="list-style-type: none"> Proceso inflamatorio; produce fibrosis articular 3 estadios: 1. dolor; 2. rigidez y 3. resolución Asociado a antigua fractura de Colles 	Hx: mujeres de mediana edad, EDA; aparición lenta: dolor/rigidez EF: disminución del BA activo y pasivo	RX: habitualmente normal Artrograma: disminución del volumen articular	1. AINE 2. Fisioterapia y terapia domiciliaria (al menos durante 3 meses)
ARTRITIS: ARTICULACIÓN ACROMIOCLAVICULAR (AC)			
<ul style="list-style-type: none"> Normalmente osteoartritis 	Hx: dolor en AC, en especial con movimiento EF: dolor a la palpación	RX: osteófitos, estrechez articular	1. AINE, reposo 2. Resección distal de clavícula (Mumford)
ARTRITIS: ARTICULACIÓN GLENOHUMERAL			
<ul style="list-style-type: none"> Etiología múltiple: OA, AR, postraumática A menudo por sobreutilización o traumatismo 	Hx: anciano; el dolor aumenta con la actividad EF: +/- debilidad, crepitación, disminución BA anterior	RX: AP pura, axilar lateral: estrechez del espacio articular	1. AINE, hielo/calor, BA, infiltración de corticoides discutida 2. Refractoria: artroscopia total frente a parcial
TENDINITIS BICIPITAL			
<ul style="list-style-type: none"> Asociada con atrapamiento o subluxación/lesión del ligamento humeral transversal 	Hx: dolor en el hombro EF: hipersensibilidad a lo largo de la corredora; Speed +, Yergason +	RX: las proyecciones habituales suelen ser normales	1. Tratar el atrapamiento 2. Fortalecimiento del tendón 3. Tenodesis (raro)
ROTURA DEL TENDÓN BICIPITAL			
<ul style="list-style-type: none"> Rotura de la porción larga del biceps Debido a atrapamiento, microtraumatismo o traumatismo Asociada con lesión del MR 	Hx: ancianos, jóvenes levantadores de pesos; dolor súbito EF: depresión proximal del brazo (brazo «de Popeye»)	RX: normal; descartar fractura Artrograma: descartar rotura del MR	1. Ancianos: tratamiento conservador 2. Jóvenes/trabajadores: cirugía
LESIÓN DEL PLEXO BRAQUIAL			
<ul style="list-style-type: none"> Tracción del plexo braquial 	Hx: jugadores de fútbol, parestesias en el brazo	RX: seriada de hombro normal	La mayoría se resuelven con reposo
BURSITIS: SUBACROMIAL			
<ul style="list-style-type: none"> A menudo debida a atrapamiento 	Hx/EF: dolor en el hombro		Tratar el atrapamiento
ATRAPAMIENTO (IMPINGEMENT)			
<ul style="list-style-type: none"> MR (supraespinoso), tendón bicipital atrapado bajo el acromion y el ligamento coracoacromial Asociado con acromion de tipo III 	Hx: anciano o atleta. Dolor/incapacidad para la actividad con los brazos sobre la cabeza EF: Neer +, Hawkins +	RX: Proyecciones habituales + proyección de desfiladero (outlet): acromion de tipo III u osteófito subacromial	1. Disminución/modificación de la actividad 2. AINE, BA, fortalecimiento 3. Infiltración de corticoesteroides 4. Descompresión subacromial
INESTABILIDAD/LUXACIÓN: ARTICULACIÓN GLENOHUMERAL (dos tipos)			
1. IUTLB (inestabilidad unilateral traumática y lesión de Bankart) <ul style="list-style-type: none"> > 90% anterior (posterior tras ataque) Pacientes < 20 años: > 80% recidiva 	Hx: dolor, «el brazo se me va», antecedentes de IUTLB EF: EF + para inestabilidad unilateral (p. ej., aprehensión +, recolocación)	RX: traumatismo (Stryker +/-) Lesiones de Bankart/Hill Sachs Lesión del nervio axilar (en especial con anterior)	1. Reducción (si hay luxación): tres opciones. Inmovilizar en RI durante 4 semanas, potencialización del MR y posterior movilización 2. Reparación quirúrgica para prevenir la recidiva (no en posterior)
2. IMBA (inestabilidad multidireccional bilateral atraumática sensible a la rehabilitación, reparación de la cápsula inferior)	Hx: dolor, «el brazo se me va», antecedentes de IMBA EF: surco +, laxitud articular general en IMD	RX: seriada traumática	1. Reducir si hay luxación: tres opciones 2. Tratamiento conservador a largo plazo 3. Modificación de hábitos

Rotura del manguito de los rotadores



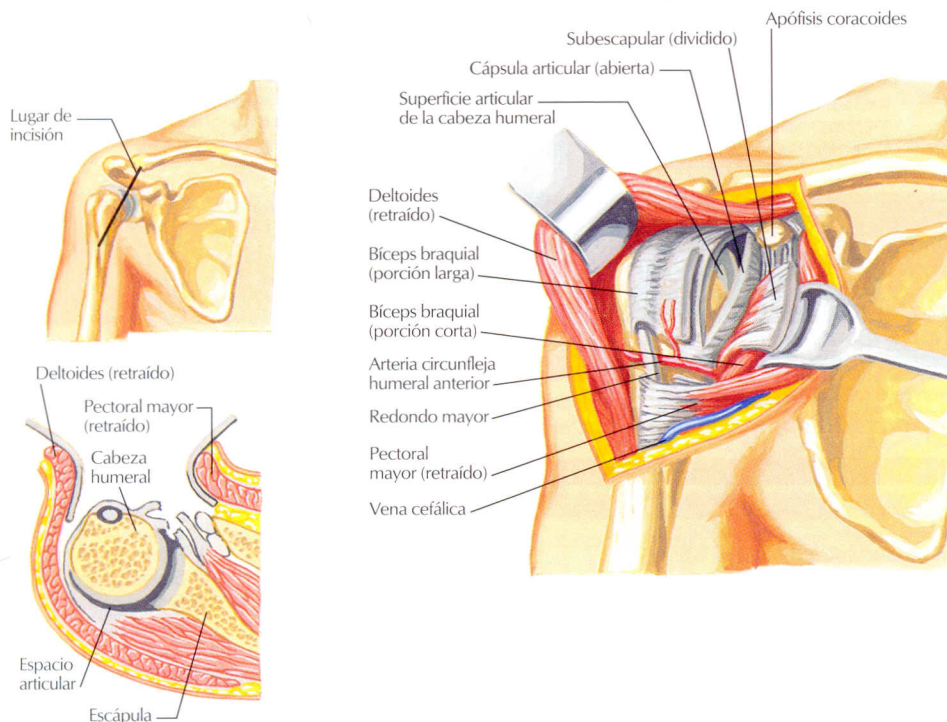
Rotura aguda (visión superior). A menudo asociada a rotura paralela a las fibras tendinosas. Además, la retracción produce un aumento creciente del defecto, como muestran las flechas



La comunicación entre la articulación del hombro y la bolsa subdeltoidea es patognomónica de rotura del manguito

DESCRIPCIÓN	Hx y EF	PRUEBAS COMPLEMENTARIAS/ HALLAZGOS	TRATAMIENTO
INESTABILIDAD/LUXACIÓN: ARTICULACIÓN ESTERNOCLAVICULAR			
<ul style="list-style-type: none"> Rotura capsular Más frecuente anterior; raramente posterior, aumenta las complicaciones (grandes vasos) 	<p>Hx. Alta energía: deportes/AVM, dolor (anterior: protrusión anterior, posterior: +/- pulm., GI)</p>	<p>RX: puede no mostrar lesión TC: utilidad diagnóstica</p>	<p>Anterior: cabestrillo/reducción cerrada Posterior: reducción cerrada inmediata, inmovilización, PR</p>
LESIÓN DEL RODETE (SLAP)			
<p>Lesión de la inserción del tendón bicipital</p> <ol style="list-style-type: none"> Deshilachamiento del bíceps/inserción intacta Rotura en inserción (rodete) Lesión en asa de cubo III + rotura del bíceps 	<p>Hx: dolor, +/- síntomas de inestabilidad EF: O'Brien +</p>	<p>RX: seriada de hombro RM/artroscopia para diagnóstico de lesión de SLAP</p>	<p>Según el tipo:</p> <ol style="list-style-type: none"> Desbridamiento Reinserción Desbridamiento Reparación frente a tenodesis
LESIÓN DEL NERVO TORÁCICO LARGO			
<ul style="list-style-type: none"> La lesión neural produce disfunción del serrato anterior 	<p>Hx: normalmente traumática EF: escápula alada</p>	<p>NINGUNA</p>	<p>Tratamiento conservador, normalmente se resuelve en semanas/meses</p>
OSTEÓLISIS			
<ul style="list-style-type: none"> Normalmente en levantadores de pesos 	<p>Hx: dolor en hombro</p>	<p>RX: radiolucencia en clavícula distal</p>	<ol style="list-style-type: none"> Modificación de la actividad Mumford
ROTURA DEL PECTORAL MAYOR			
<ul style="list-style-type: none"> Máxima contracción excéntrica 	<p>Hx/EF: súbito, dolor, defecto palpable</p>	<p>NINGUNA</p>	<p>Reparación quirúrgica</p>
LESIÓN DEL MANGUITO DE LOS ROTADORES			
<ul style="list-style-type: none"> Debida a escasa vascularización, sobreuso, micro o macro traumatismo, degeneración o deformidad acromial Supraespinoso con más frecuencia 	<p>Hx: ancianos; dolor más intenso por la noche, empeora con la elevación de los brazos EF: atrofia, disminución BA anterior, BA post. normal, brazo caído +/-supraespinoso +, lift off + (lesión subescapular)</p>	<p>RX: seriada traumática, borde superior del húmero Artrografía (o artrografía/RM). Principio básico: muestra comunicación con la bolsa subdeltoidea</p>	<ol style="list-style-type: none"> Conservador: AINE, reposo, modificación actividad, BA, fortalecimiento MR Reparación quirúrgica con descompresión subacromial para roturas totales
SÍNDROME DEL DESFILADERO TORÁCICO			
<ul style="list-style-type: none"> Compresión de estructuras neurovasculares (vena, arteria o plexo) entre la 1.ª costilla y el músculo escaleno También con costillas cervicales 	<p>Hx: mujeres 20-50 años. Empeora con la acción de elevar los brazos sobre la cabeza Venoso: edema, coloración, entumecimiento Arterial: frío, claudicación Plexo: parestias EF: Adson +, Roos +</p>	<p>RX: hombro normal Col. C: descartar masa RX torácica: descartar masa</p>	<ol style="list-style-type: none"> Modificación de la actividad (hasta que los síntomas desaparezcan) Terapia postural Cirugía: específica para costilla cervical

Abordaje deltopectoral para la articulación del hombro



JOHN A. CRAIG, MD
© IGM

USO	PLANOS INTERNERVIOSOS	RIESGOS	COMENTARIO
ABORDAJE ANTERIOR (DELTOPECTORAL) (HENRY)			
1. Reconstrucción del hombro 2. Reparación del tendón bicipital 3. Artroplastia	1. Deltoides (axilar) 2. Pectoral mayor (pectoral lateral/medial)	1. Nervio musculocutáneo 2. Vena céfalica 3. Nervio axilar	1. Mantener el brazo en aducción para mantener el plexo apartado del campo 2. Mantener la disección lateral al coracobraquial: protección del nervio MC
PORTALES ARTROSCÓPICOS			
1. Anterior	Soft spot (punto blando) entre el tendón bicipital, la glenoides anterior y el borde superior del tendón del subescapular	1. Nervio musculocutáneo 2. Vena céfalica 3. Nervio axilar	1. Normalmente se sitúa DESPUÉS del portal posterior
2. Posterior	Soft spot (punto blando) entre el redondo menor y el infraespinoso	1. Ligamento AC superior 2. Tendones MR	1. Portal primario para el hombro 2. Orientarlo hacia la coracoides
3. Lateral	A través del deltoides	1. Nervio axilar	1. Acceso al espacio subacromial

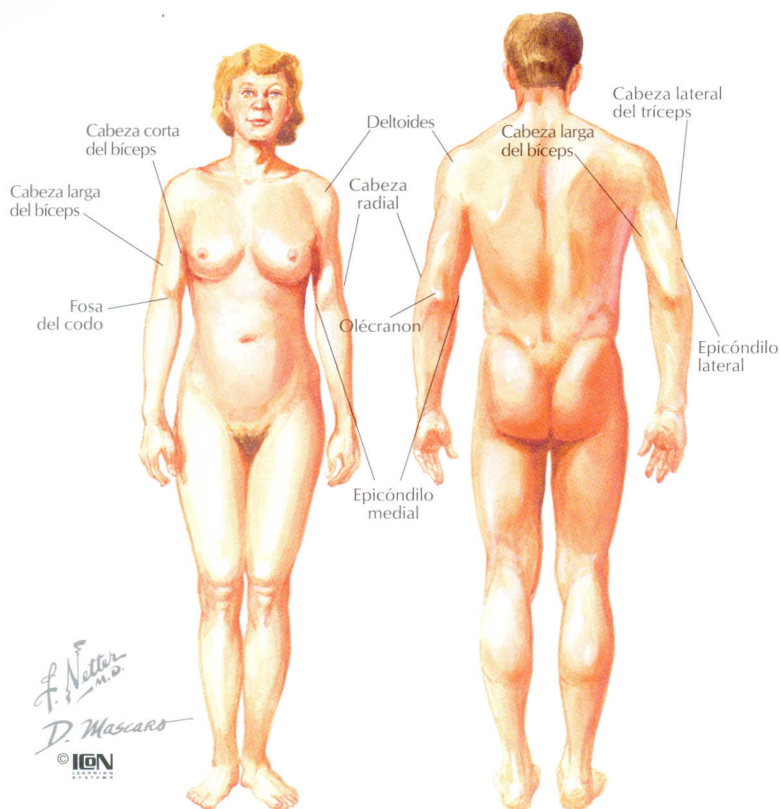
BRAZO

CAPÍTULO

3

CONTENIDOS

Anatomía topográfica	66
Osteología	66
Traumatismo	68
Articulaciones	72
Procedimientos menores	73
Anamnesis y exploración física	74
Músculos	77
Nervios	81
Arterias	83
Patología	84
Abordajes quirúrgicos	85



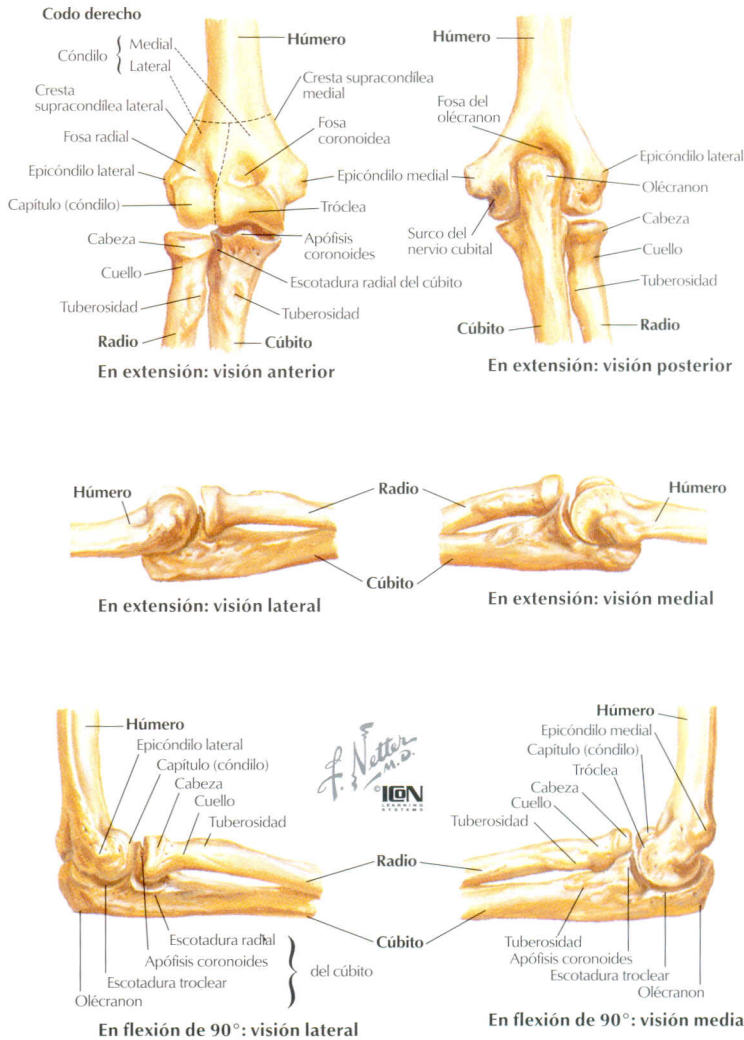
OSTEOLOGÍA










Visión anterior



Visión posterior

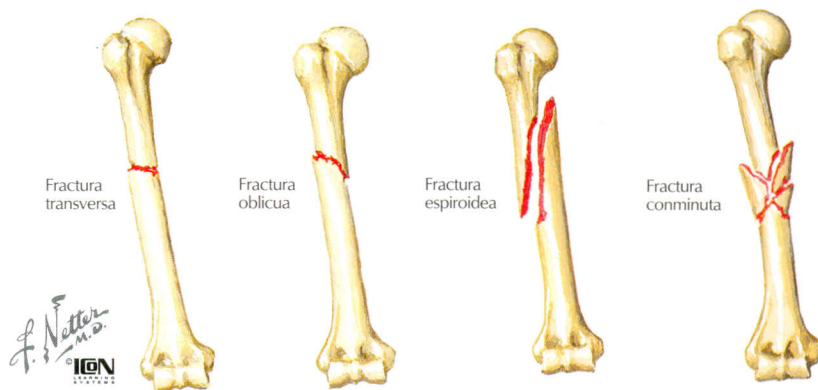


CARACTERÍSTICAS	OSIFICACIÓN	FUSIÓN	COMENTARIO
HÚMERO			
<ul style="list-style-type: none">• Hueso largo típico• Epicóndilo lateral<ul style="list-style-type: none">1. Epicóndilo: no articular2. Cóndilo: articular• Cóndilo medial<ul style="list-style-type: none">1. Epicóndilo: no articular2. Tróclea: articular3. Surco del cubital: cubierto por la fascia de Osbourne	<p>Primario: diáfisis</p> <p>Secundario</p> <p>Proximal (3):</p> <ul style="list-style-type: none">1. Cabeza2. Tuberosidades (2) <p>Distal (4):</p> <ul style="list-style-type: none">1. Cóndilo2. Epicóndilo medial3. Tróclea4. Epicóndilo lateral	<p>8-9.ª semanas (fetal)</p> <p>Nacimiento</p> <p>17-20 años</p> <p>Nacimiento</p> <p>3-5 años</p> <p>1 años</p> <p>4-6 años</p> <p>9-10 años</p> <p>12 años</p>	<p>Nacimiento</p> <ul style="list-style-type: none">• Cuello quirúrgico: lugar frecuente de fracturas• Vascularización<ul style="list-style-type: none">Proximal: circunfleja anterior/posteriorMedia: arteria nutricia (desde la braquial profunda)Distal: ramas desde la anastomosis• Orden de osificación del codo: cóndilo, cabeza radial, epicóndilo medial, tróclea, olécranon, epicóndilo lateral

Clasificación de Neer para fracturas proximales de húmero		
2 Fragmentos	3 Fragmentos	4 Fragmentos
<p>Cuello anatómico</p> 		
<p>Cuello quirúrgico</p> 		
<p>Tuberosidad mayor</p> 	<p>Tuberosidad mayor</p> 	<p>Tuberosidad mayor y menor</p>  <p>JOHN A. CRAIG MD © ION</p>
<p>Tuberosidad menor</p> 	<p>Tuberosidad menor</p> 	

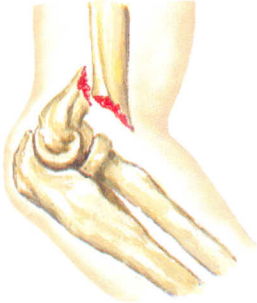
DESCRIPCIÓN	EVALUACIÓN	CLASIFICACIÓN	TRATAMIENTO
FRACTURA PROXIMAL DE HÚMERO			
<ul style="list-style-type: none"> Fractura frecuente Osteoporosis, vejez, mujer Mecanismo: <ol style="list-style-type: none"> Vejez: caída sobre mano extendida Jóvenes: traumatismo de alta energía (p. ej., AVM, caída) El 80% no están desplazadas o lo están mínimamente (fx. de 1 fragmento) La mayoría se recuperan bien Los movimientos pendulares precoces son la clave para un completo BA 	<p>Hx: caída/traumatismo. El dolor empeora con el movimiento</p> <p>EF: tumefacción, equimosis, examen neurovascular</p> <p>RX: seriada de traumatismo</p> <p>TC: muestra la congruencia articular</p> <p>RM: sensible para NAV</p>	<p>Neer: basada en el número de fragmentos (partes) 1-4</p> <p>Múltiples combinaciones de fracturas</p> <p>También fx-luxación y fx-intraarticular</p> <p>4 fragmentos: cabeza, diáfisis, tuberosidades mayor y menor</p> <p>Cada fragmento: desplazado > 1 cm o angulado > 45°</p> <p>Desplazamiento de los fragmentos debido a la inserción muscular</p>	<p>1 fragmento: cabestrillo, mov. precoz</p> <p>2 fragmentos: reducción cerrada y entablillado</p> <p>Fx irreducible, intraarticular y de cuello anatómico: RAfi</p> <p>Fx tuberosidad mayor: RAfi y reparación del manguito de los rotadores</p> <p>3 y 4 fragmentos: RAfi o hemiartroplastia (ancianos)</p> <p>Fractura/luxación:</p> <p>2 fragmentos: tratamiento conservador excepto si hay desplazamiento</p> <p>3-4 fragmentos: RAfi o hemiartroplastia</p> <p>Intraarticular: RAfi o hemiartroplastia</p>
<p>COMPLICACIONES: rigidez/capsulitis retráctil; necrosis avascular (NAV): 4 fragmentos y cuello anatómico, lesión del nervio axilar y plexo braquial; lesión de la arteria axilar, pseudoartrosis</p>			

Fracturas diafisarias de húmero



DESCRIPCIÓN	EVALUACIÓN	CLASIFICACIÓN	TRATAMIENTO
FRACTURA DIAFISARIA DE HÚMERO			
<ul style="list-style-type: none"> Fractura frecuente Mecanismo: contusión directa o caída sobre el brazo extendido El desplazamiento depende del lugar de fractura en relación con las inserciones del deltoides y el pectoral mayor Casi el 100% consolidan Lugar de fx patológica 	<p>Hx: traumatismo, caída. Dolor intenso, tumefacción</p> <p>EF: tumefacción, deformidad, +/- afectación del nervio radial</p> <p>RX: AP y lateral de brazo, seriadas de hombro y codo</p>	<p>Descriptiva:</p> <p>Localización: nivel del húmero</p> <p>Patrón: oblicua, espiroidea, transversa</p> <p>Desplazamiento o conminución</p>	<p>Conservador: mayoría de fracturas: Velpeau o cabestrillo inmovilizador durante 6-8 semanas</p> <p>Quirúrgico: lesión neurovascular, multitraumatismo, fractura patológica. La conminución grave requiere placas/tornillos o agujas intramedulares (IM)</p>
COMPLICACIONES: la mayoría de lesiones del nervio radial (en especial fractura de Holstein/Lewis, fractura espiroidea del tercio distal) se resuelven. La pseudoartrosis es poco frecuente			
FRACTURA DISTAL DE HÚMERO			
<ul style="list-style-type: none"> Poco frecuente Alta morbilidad A menudo intraarticular Mecanismo: caída sobre la mano, empotramiento del cúbito sobre el húmero Intercondílea: más frecuente en adultos Son raras las condíleas, trocleares y epicondíleas 	<p>Hx: dolor, deformidad, decoloración, tumefacción</p> <p>EF: tumefacción, equimosis, crenitación, hiperemioscleritis, exartritis</p> <p>RX: AP y lateral: signo del paquete/vela posterior</p> <p>TC: opcional; útil para plan preoperatorio</p>	<p>Desplazadas frente a no desplazadas</p> <p>Múltiples tipos:</p> <ul style="list-style-type: none"> Intercondíleas Transcondíleas Supracondíleas Condíleas Capítulo humeral Trocleares Epicondíleas (mediales o laterales) 	<p>Movilización precoz importante para evitar la pérdida de movilidad</p> <p>Intercondíleas: RAFI o artroplastia total (tratamiento conservador si es conminuto o en ancianos)</p> <p>Transcondíleas: reducción, agujas percutáneas</p> <p>Otras:</p> <p>No desplazadas: tratamiento conservador; 10-14 días y movilización precoz</p> <p>Desplazadas o conminutas (o en ancianos) tributarias de RAFI</p>
COMPLICACIONES: rigidez/artritis; síndrome compartimental; lesión del nervio cubital/mediano; lesión de la arteria humeral; pseudoartrosis			

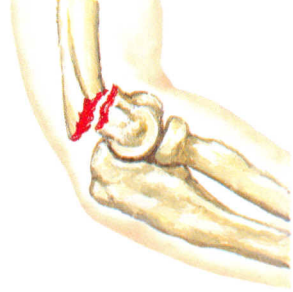
Fracturas supracondíleas



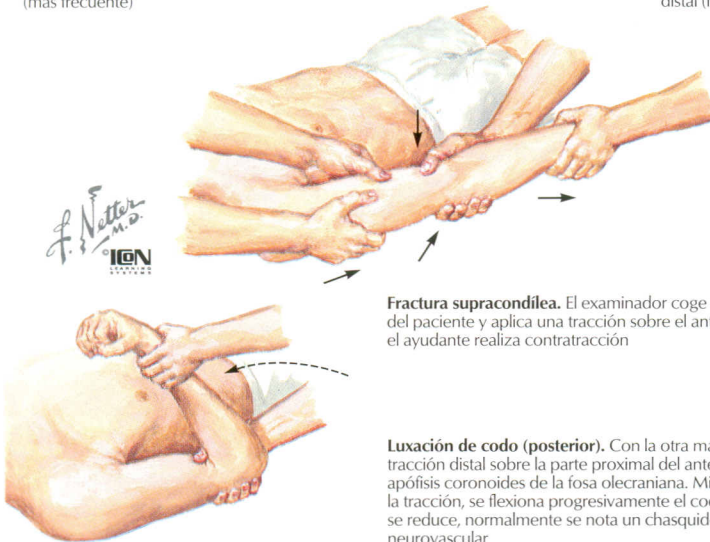
En extensión. Desplazamiento posterior del fragmento distal (más frecuente)



Radiografía lateral



En flexión. Desplazamiento anterior del fragmento distal (infrecuente)



Fractura supracondílea. El examinador coge la muñeca del paciente y aplica una tracción sobre el antebrazo; el ayudante realiza contratracción

Luxación de codo (posterior). Con la otra mano, aplicar una ligera tracción distal sobre la parte proximal del antebrazo para liberar la apófisis coronoides de la fosa olecraniana. Mientras se mantiene la tracción, se flexiona progresivamente el codo. Cuando la luxación se reduce, normalmente se nota un chasquido. Revalorar el estado neurovascular

DESCRIPCIÓN	EVALUACIÓN	CLASIFICACIÓN	TRATAMIENTO
FRACTURA SUPRACONDÍLEA			
<ul style="list-style-type: none"> Fractura muy típica en niños Se produce en la metáfisis, sobre el cartilago de crecimiento El tipo más frecuente es en extensión (> 90%); la diáfisis es anterior, y el fragmento distal posterior Asociada con morbilidad significativa; es primordial el tratamiento inmediato 	<p>Hx: caída. Dolor, tumefacción; no se utiliza el brazo</p> <p>EF: tumefacción, punto doloroso, +/- signos neurovasculares; explorar pulsos distales y realizar examen neurológico</p> <p>RX: AP y lateral (observar la posición del capitulo por delante de la línea humeral anterior)</p> <p>Arteriografía: si hay ausencia de pulso</p>	<p>Extensión (frecuente):</p> <ul style="list-style-type: none"> No desplazada Parcialmente desplazada Totalmente desplazada <p>Flexión (rara)</p>	<p>Sin afectación neurovascular: reducción cerrada y agujas percutáneas bajo anestesia general (fluoroscopia)</p> <p>Sin pulso/perfundido: lo mismo</p> <p>Sin pulso/sin perfusión: reducción abierta y exploración</p>
<p>COMPLICACIONES: lesión neurovascular: arteria humeral; lesión NIA; un síndrome compartimental puede producir contractura isquémica de Volkmann; deformidad en cúbito varo</p>			

Luxación de codo



Luxación posterior de codo con rotura de los ligamentos de la cápsula posterior. Apréciase la prominencia posterior del olécranon

Subluxación de cabeza radial

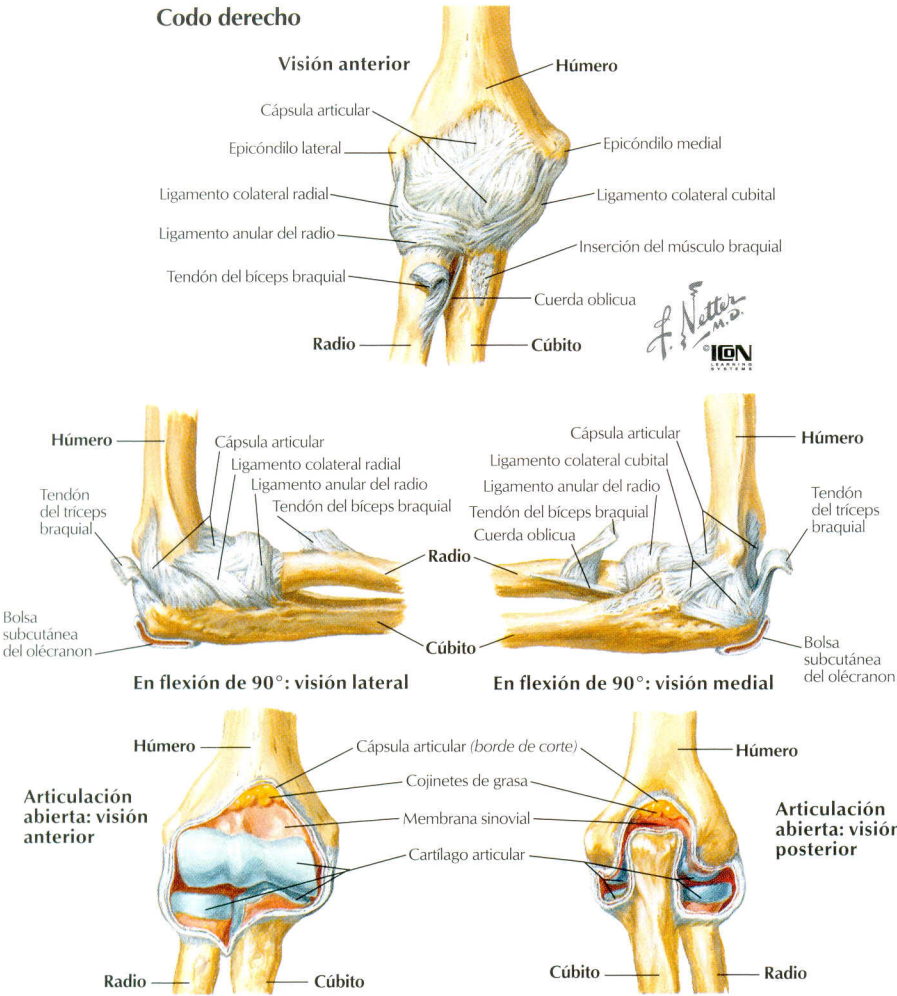
Luxación del radio a nivel del codo



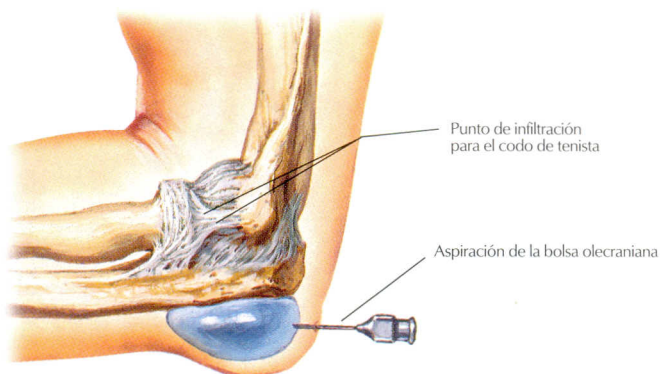
Reducción: con el pulgar en la fosa cubital a modo de fulcro, el antebrazo se flexiona y supina

DESCRIPCIÓN	EVALUACIÓN	CLASIFICACIÓN	TRATAMIENTO
LUXACIÓN DE CODO			
<ul style="list-style-type: none"> Frecuente en niños y adultos jóvenes Jóvenes, deportistas; caída sobre la mano Asociada con fractura de la cabeza radial y lesión de la arteria braquial y nervio mediano Ambos ligamentos colaterales rotos 	<p>Hx: caída/traumatismo. Dolor, incapacidad para flexionar el codo</p> <p>EF: deformidad, hipersensibilidad, +/- signos neurovasculares. Explorar pulsos distales y examen neurológico</p> <p>RX: AP y lateral para descartar fractura</p>	<p>Localización del cúbito (radio)</p> <p>Posterior (frecuente)</p> <p>Posterolateral (> 90%)</p> <p>Anterior</p> <p>Lateral</p> <p>Medial</p> <p>Divergente (cúbito frente a radio)</p>	<p>Reducción cerrada: +/- anestesia local y/o sedación</p> <p>Entablillado < 7 días para evitar dolor, luego movilización precoz</p> <p>Abierto: en caso de inestabilidad o interposición de tejido blando o fragmento óseo</p>
COMPLICACIONES: lesión neurovascular: arteria braquial, nervio cubital o mediano ; pérdida de extensión ; inestabilidad/recidiva; osificación heterotópica			
SUBLUXACIÓN DE LA CABEZA DEL RADIO (PRONACIÓN DOLOROSA)			
<ul style="list-style-type: none"> Frecuente en niños entre 2 y 4 años. Raro > 7 años Mecanismo: tirar de la mano o el antebrazo de un niño para levantarlo o balancearlo El ligamento anular abraza la cabeza del radio 	<p>Hx: tirón por la mano, niño con brazo inmóvil</p> <p>EF: brazo ligeramente en pronación/flexión. Dolor a la palpación de la cabeza radial y supinación</p> <p>RX: únicamente si se sospecha fractura</p>	NINGUNA	<p>Reducción: con suavidad, supinación completa y flexión (se nota el «chasquido» de reducción)</p> <p>Inmovilizar en caso de recidiva</p>
COMPLICACIONES: recidiva			

Codo derecho



ARTICULACIÓN	TIPO	SUPERFICIES ARTICULARES	LIGAMENTOS	COMENTARIOS
CODO		Incluye 3 articulaciones	Cápsula (común a los 3)	10-15° de valgo fisiológico
Humerocubital «articulación troclear»	Gínglimo (charnela)	Tróclea y escotadura troclear	Colateral cubital (medial): 1. Fascículo anterior 2. Fascículo posterior 3. Fascículo transverso	Rotura en luxaciones posteriores Más resistente: evita el valgo forzado
Humerorradial	Trocoide (pivote)	Capítulo y cabeza radial	Colateral radial (lateral) 1. Porción cubital	Débil Proporciona estabilidad posterolateral
Radiocubital proximal		Cabeza y escotadura radiales	2. Porción radial Anular Cuerda oblicua Cuadrado	Mantiene la cabeza en la escotadura radial Soporta movimientos de rotación



F. Netter M.D.
 ION
 ILLUSTRATIONS



PASOS

ARTROCENTESIS DE CODO

1. Extender el codo, palpar epicóndilo lateral, cabeza radial y olécranon lateralmente; **notar el surco triangular que hay entre los tres**
2. Preparación cutánea sobre el surco (yodo/jabón antiséptico)
3. Infiltración cutánea local (habón)
4. Mantener el brazo en extensión o flexión. Insertar la aguja en el «**triángulo**», entre los límites óseos
5. El fluido debe aspirarse fácilmente
6. Colocar un apósito en el lugar de inyección

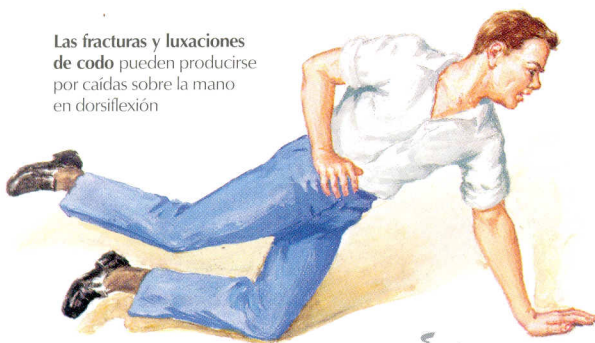
ASPIRACIÓN DE LA BOLSILLA OLECRANIANA

1. Preparación cutánea sobre el olécranon (yodo/jabón antiséptico)
2. Infiltración cutánea local (habón)
3. Insertar una aguja de 18 G dentro de la bolsa y aspirar el contenido
4. Si se sospecha infección, enviar muestra para cultivo y tinción de Gram
5. Colocar un apósito en el lugar de inyección

INFILTRACIÓN DEL CODO DE TENISTA

1. Preguntar al paciente si padece alergias
2. Flexionar el codo 90°, palpar **ERCC** distal al epicóndilo lateral
3. Preparación cutánea de la cara lateral del codo (yodo/jabón antiséptico)
4. Infiltración cutánea local (habón)
5. Insertar aguja de 22 G o más pequeña sobre la inserción del tendón del **ERCC**, justo distal al epicóndilo lateral. **Aspirar para asegurarse de que la aguja no está ubicada en un vaso**; a continuación inyectar 2-3 ml de preparación anestésica local/corticoesteroides 1:1
6. Colocar un apósito en el lugar de inyección
7. Valorar la mejoría de los síntomas

Las fracturas y luxaciones de codo pueden producirse por caídas sobre la mano en dorsiflexión



J. Netter M.D.
© IGM

Neuroapraxia del nervio cubital

Compresión del nervio sobre una superficie rígida (brazo de una silla, mesa de trabajo, etc.)



Entumecimiento y parestesias en el territorio cubital de la mano. Atrofia del interóseo entre el índice y el pulgar

PREGUNTA	RESPUESTA	APLICACIÓN CLÍNICA
1. EDAD	Jóvenes Mediana edad, ancianos	Luxación, fractura Codo de tenista (epicondilitis), artritis
2. DOLOR		
a. Inicio	Agudo Crónico	Luxación, fractura, avulsión/rotura tendinosa, lesión ligamentosa Patología de columna cervical
b. Localización	Anterior Posterior Lateral	Rotura tendón del bíceps, artritis Bursitis olecraniana Epicondilitis lateral , fractura (en especial de la cabeza radial; valoración radiológica difícil)
c. Aparición	Medial Dolor nocturno/en reposo Con la actividad	Epicondilitis medial, atrapamiento nervioso, fractura, esguince del LCM Infección, tumor Etiología ligamentosa y/o tendinosa
3. RIGIDEZ	Sin bloqueo Con bloqueo	Artritis, derrames (traumatismo) Cuerpos libres, lesión del ligamento colateral lateral
4. TUMEFACCIÓN	Sobre el olécranon	Bursitis olecraniana. Otras: luxación, fractura, gota
5. TRAUMATISMO	Caída sobre el codo o la mano	Luxación, fractura
6. ACTIVIDAD	Deporte, movimientos repetitivos	Epicondilitis, neuroapraxia del nervio cubital
7. SÍNTOMAS NEUROLÓGICOS	Dolor, hormigueo, parestesias	Atrapamientos nerviosos (múltiples lugares posibles), patología de columna cervical, síndrome del desfiladero torácico
8. HISTORIA DE ARTRITIS	Múltiples articulaciones afectadas	Lupus, artritis reumatoide, psoriasis



Subluxación de la cabeza del radio
(«pronación dolorosa»)

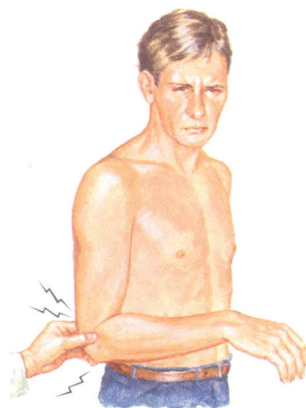


Bursitis olecraniana
(codo de estudiante)

f. Netter M.D.
© ICG
ILLUSTRATIONS



Deformidad en cúbito varo
Una mala consolidación de una fractura supracondílea puede producir esta deformidad



Epicondilitis (codo de tenista)
Dolor selectivo sobre el epicóndilo lateral o medial del húmero

EXPLORACIÓN/ OBSERVACIÓN

TÉCNICA

APLICACIÓN CLÍNICA

INSPECCIÓN

Gran deformidad, tumefacción
Angulación (normal 5-15°)

Comparar bilateralmente
Negativa (< 5°)
Positiva (> 15°)

Luxación, fractura, bursitis
Cúbito varo: lesión fisaria (p. ej., **fractura supracondílea** mal consolidada)
Cúbito valgo: lesión fisaria (p. ej., fractura de epicóndilo lateral)

PALPACIÓN

Medial

Epicóndilo y cresta supracondílea

Dolor: epicondilitis medial (codo de golfista), fractura, rotura del LCM

Lateral

Nervio cubital en canal cubital
Epicóndilo y cresta supracondílea
Cabeza radial

Las parestesias indican atrapamiento del nervio
Dolor: **epicondilitis lateral (codo de tenista)**, fractura

Anterior

Tendón del biceps en fosa cubital

Dolor: artritis, fractura, sinovitis

Posterior

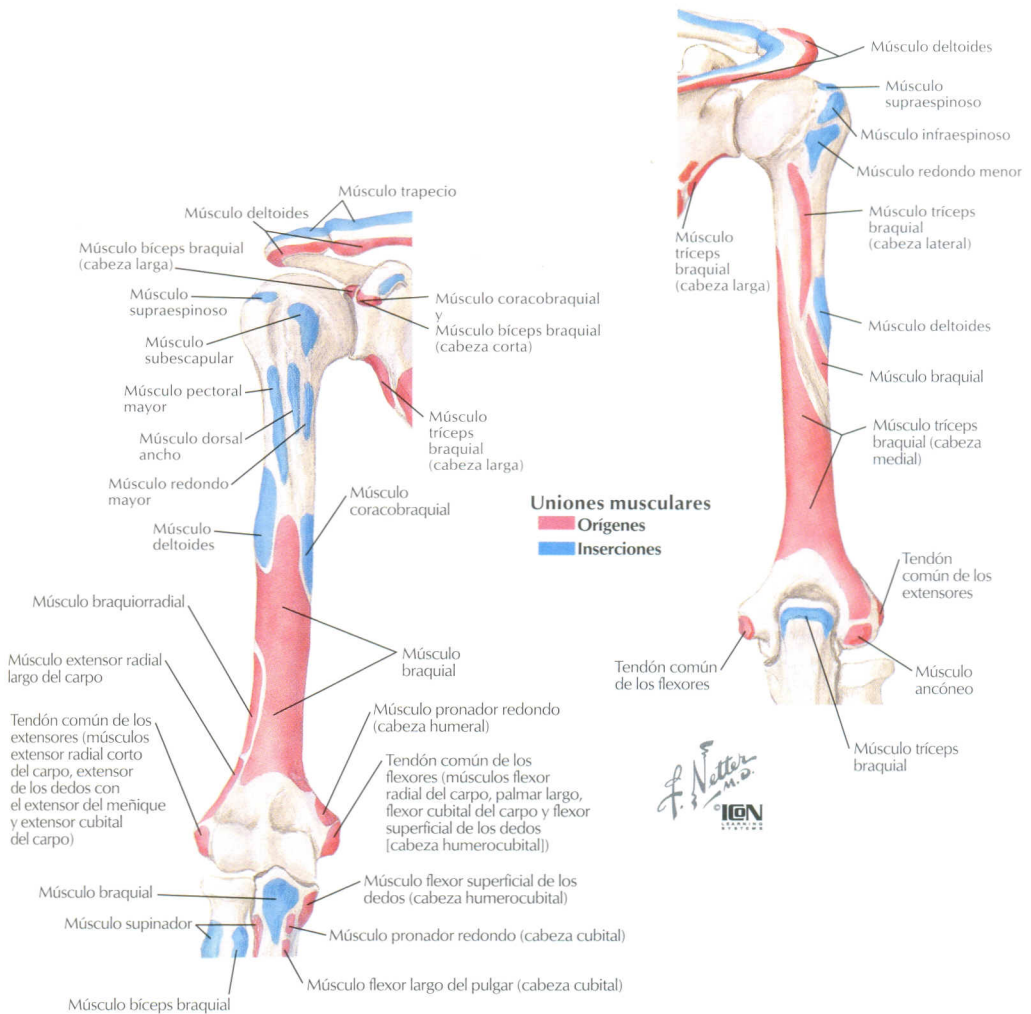
Codo flexionado: olécranon y fosa olecraniana

El dolor puede indicar rotura tendinosa
Bursitis olecraniana, rotura del tendón tricipital

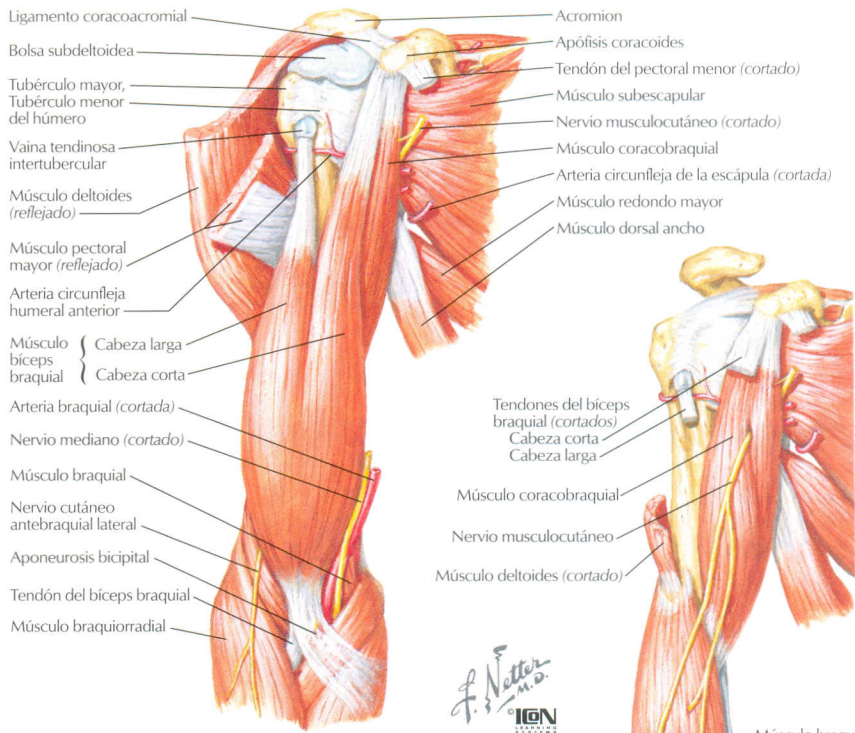
EXPLORACIÓN/ OBSERVACIÓN	TÉCNICA	APLICACIÓN CLÍNICA
BALANCE ARTICULAR		
Flexión y extensión	Codo en tronco, flexión y extensión del codo	Normal: 0-5° a 140-150°; observar si BA posterior > BA anterior
Pronación y supinación	Coger el codo, dar la mano y rotar la muñeca	Normal: 90° de supinación, 80-90° de pronación
NEUROVASCULAR		
Sensitiva	(Acariciar, pinchar, 2 puntos)	
Nervio axilar (C5)	Región superolateral del brazo	Déficit indica lesión del nervio/raíz correspondiente
Nervio radial (C5)	Región inferolateral y posterior del brazo	Déficit indica lesión del nervio/raíz correspondiente
Nervio cutáneo medial del brazo (T1)	Región medial del brazo	Déficit indica lesión del nervio/raíz correspondiente
Motora		
Nervio musculocutáneo (C5-6)	Flexión de codo contrarresistencia	Debilidad = lesión del braquial/bíceps o del nervio/raíz correspondiente
Nervio musculocutáneo (C6)	Supinación contrarresistencia	Debilidad = lesión del bíceps o del nervio/raíz correspondiente
Nervio mediano (C6)	Pronación contrarresistencia	Debilidad = lesión del pronador redondo o del nervio/raíz correspondiente
Nervio mediano (C7)	Flexión de muñeca contrarresistencia	Debilidad = lesión del FRC o del nervio/raíz correspondiente
Nervio radial (C7)	Extensión de codo contrarresistencia	Debilidad = lesión del tríceps o del nervio/raíz correspondiente
Nervio radial/NIP (C6-7)	Extensión de muñeca contrarresistencia	Debilidad = lesión del ERLC-ERCC/ECC o del nervio/raíz correspondiente
Nervio cubital (C8)	Flexión muñeca contrarresistencia	Debilidad = lesión del FCC o del nervio/raíz correspondiente
Reflejos		
C5	Bíceps	Hipoactividad/ausencia indica una correspondiente radiculopatía
C6	Braquiorradial	Hipoactividad/ausencia indica una correspondiente radiculopatía
C7	Tríceps	Hipoactividad/ausencia indica una correspondiente radiculopatía
Pulsos	Braquial, radial, cubital	
PRUEBAS ESPECIALES		
Codo de tenista	Flexión de dedos, pronación, extensión de muñeca y dedos contrarresistencia	Dolor en epicóndilo lateral que indica epicondilitis lateral
Codo de golfista	Supinación del brazo, extensión de muñeca y codo	Dolor en epicóndilo medial que indica epicondilitis medial
Inestabilidad ligamentosa	Flexión de 25°, aplicar varo/valgo forzado	Dolor o laxitud indican lesión del LCL/LCM
Signo de Tinel (en el codo)	Golpear sobre el canal cubital (nervio)	Parestesias en la distribución cubital indican atrapamiento del nervio
Flexión de codo	Máxima flexión del codo durante 3-5 min	Parestesias en la distribución cubital indican atrapamiento del nervio
Pinza	Pellizcar con las puntas de los dedos pulgar e índice	La imposibilidad de hacerlo (o pellizcar con los pulpejos y no con las puntas) indica patología del NIA

MÚSCULOS: ORÍGENES E INSERCIONES

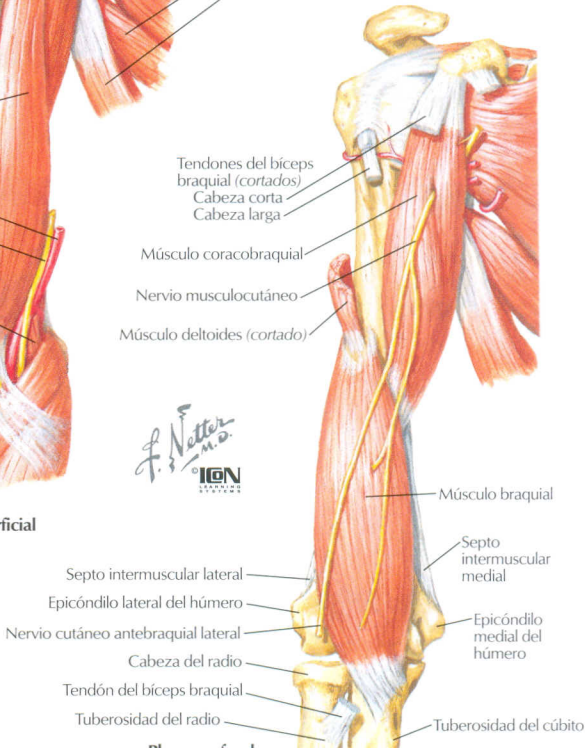
BRAZO



APÓFISIS CORACOIDES	TUBEROSIDAD MAYOR	HÚMERO PROXIMAL ANTERIOR	EPICÓNDILO MEDIAL	EPICÓNDILO LATERAL
ORÍGENES Biceps (CC) Coracobraquial INSERCIONES Pectoral menor	INSERCIONES Supraespinoso Infraespinoso Redondo menor	INSERCIONES Pectoral mayor Dorsal ancho Redondo mayor	ORÍGENES Pronador redondo Tendones flexores comunes (FRC, PL, FCC, FSD)	ORÍGENES Ancóneo Tendones extensores comunes (ERCC, ED, EM, ECC)



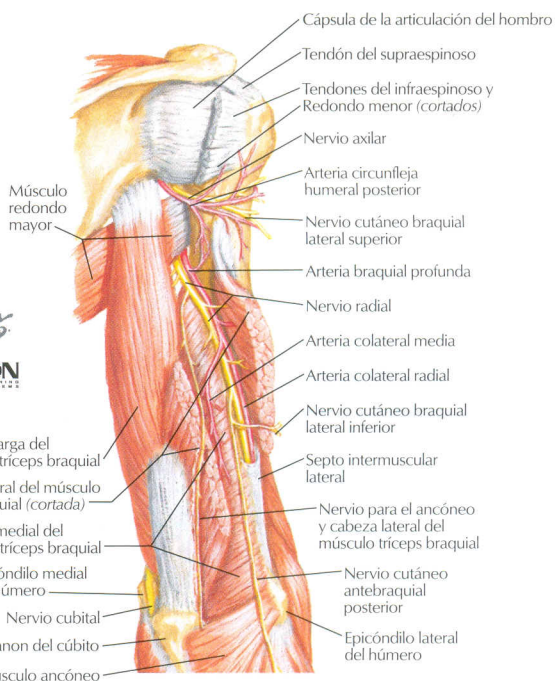
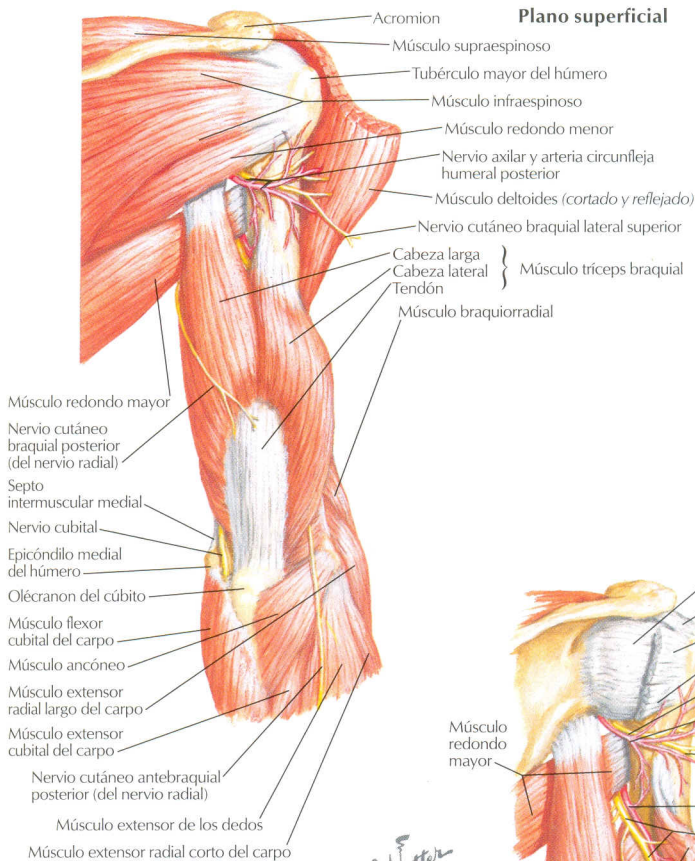
Plano superficial



Plano profundo

MÚSCULO	ORIGEN	INSERCIÓN	INERVACIÓN	ACCIÓN	COMENTARIO
Coracobraquial	Apófisis coracoides	Tercio medio de húmero	Musculocutánea	Flexor y aductor del brazo	A menudo dividido en el abordaje anterior
Braquial	Cara anterior de la zona distal del húmero	Tuberosidad cubital	Musculocutánea	Flexor del antebrazo	
Bíceps braquial					
Cabeza larga	Tubérculo supraglenoideo	Tuberosidad radial (radio proximal)	Musculocutánea	Flexor y supinador del antebrazo	Su rotura proximal produce el «brazo de Popeye» Cubre la arteria humeral
Cabeza corta	Apófisis coracoides	Tuberosidad radial (radio proximal)	Musculocutánea	Flexor y supinador del antebrazo	

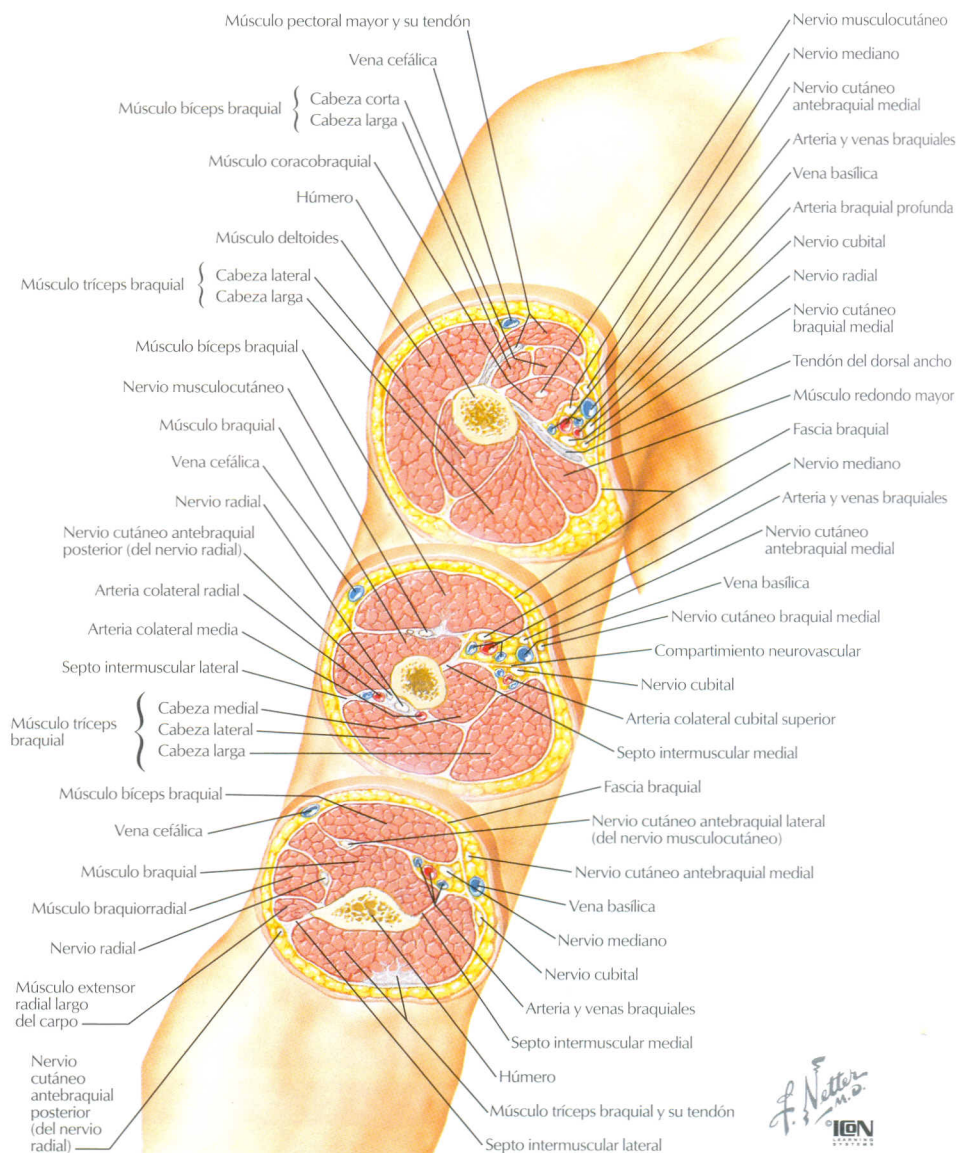
Plano superficial



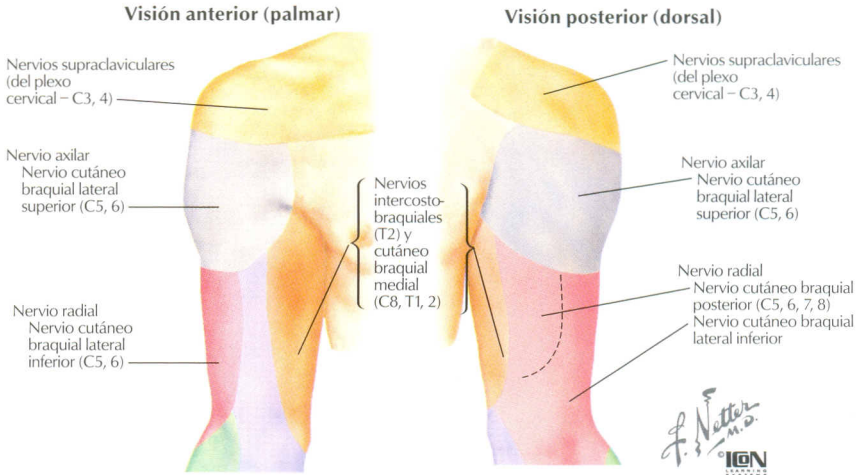
Plano profundo

F. Netter M.D.
© 1994

MÚSCULO	ORIGEN	INSERCIÓN	INERVACIÓN	ACCIÓN	COMENTARIO
Tríceps braquial					
Cabeza larga	Tubérculo infraglenoideo	Olécranon (proximal)	Nervio radial	Extiende el antebrazo	Límite del espacio triangular y cuadrangular e intervalo
Cabeza lateral	Cara posterior del húmero (proximal)	Olécranon (proximal)	Nervio radial	Extiende el antebrazo	Límite en el abordaje lateral
Cabeza medial	Cara posterior del húmero (distal)	Olécranon (proximal)	Nervio radial	Extiende el antebrazo	Plano muscular en el abordaje posterior



Inervación cutánea



INFRACLAVICULAR
(abordaje a través de la axila)

FASCÍCULO LATERAL

1. Musculocutáneo (C5-7): perfora el coracobraquial entre el bíceps y el braquial; riesgo de lesión en el abordaje anterior de hombro

Sensitiva: NINGUNA (en brazo)
 Motora: COMPARTIMIENTO ANTERIOR DEL BRAZO
 Coracobraquial
 Bíceps braquial
 Braquial

FASCÍCULO MEDIAL

2. Nervio cutáneo medial del brazo (C8-T1): se une al nervio intercostobraquial

Sensitiva: Cara medial (interna) del brazo
 Motora: NINGUNA

3. Cubital (C7/8-T1): discurre desde el compartimiento anterior al posterior a través de la *arcada de Struthers**, y de ahí al túnel cubital*

Sensitiva: NINGUNA (en brazo)
 Motora: NINGUNA (en brazo)

FASCÍCULO POSTERIOR

4. Radial (C5-T1): discurre con la arteria humeral profunda a través del intervalo triangular, se sitúa en el surco para el nervio radial, a 15 cm del codo (lesión en fx diafisarias; riesgo quirúrgico); entonces se divide en el codo: a) NIP (motor); b) nervio radial superficial (sensitivo)

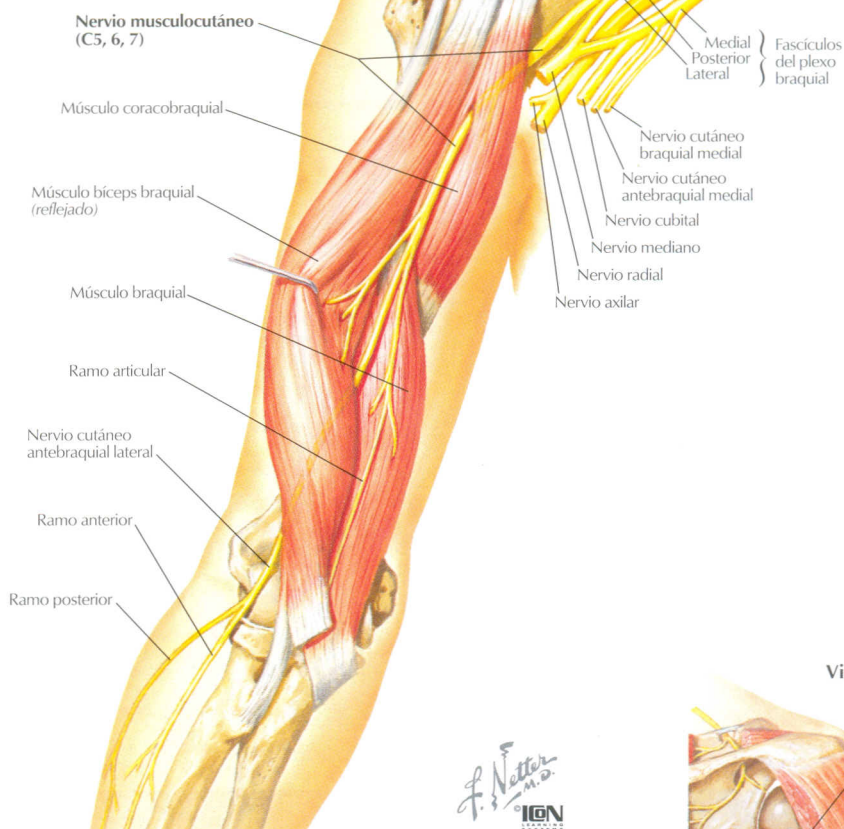
Sensitiva: Cara lateral del brazo, vía nervio cutáneo lateral del brazo
 Cara posterior del brazo, vía nervio cutáneo posterior del brazo
 Motora: COMPARTIMIENTO POSTERIOR DEL BRAZO
 Tríceps (cabezas medial, larga y lateral)
 Anconeo

*Posible lugar de compresión.

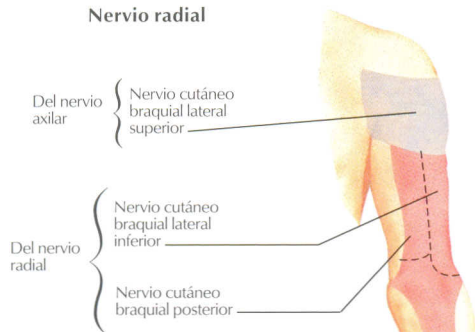
Nervio musculocutáneo

Visión anterior

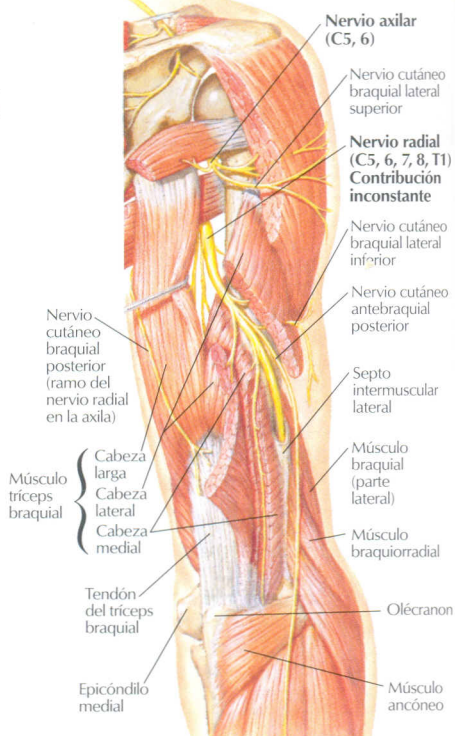
Nota: sólo se muestran los músculos inervados por el nervio musculocutáneo



Nervio radial

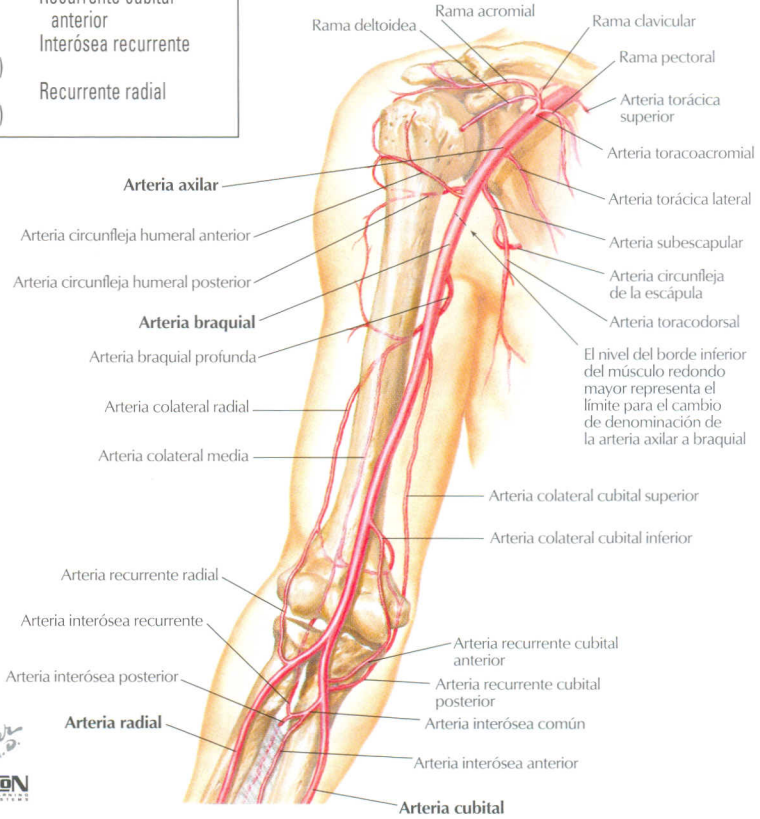


Visión posterior



ANASTOMOSIS EN EL CODO

SUPERIOR	INFERIOR
Colateral cubital superior	Recurrente cubital posterior
Colateral cubital inferior	Recurrente cubital anterior
Colateral media (rama de la arteria profunda)	Interósea recurrente
Colateral radial (rama de la arteria profunda)	Recurrente radial

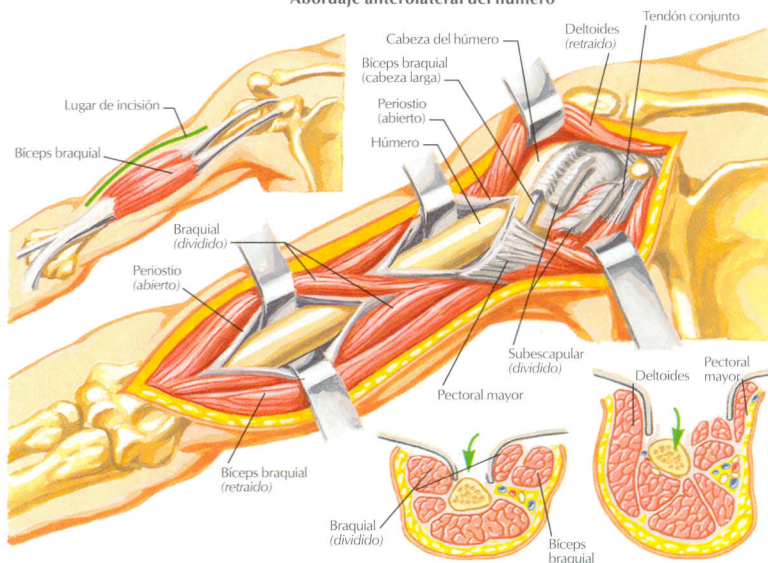


J. Natter
M.D.
IGN

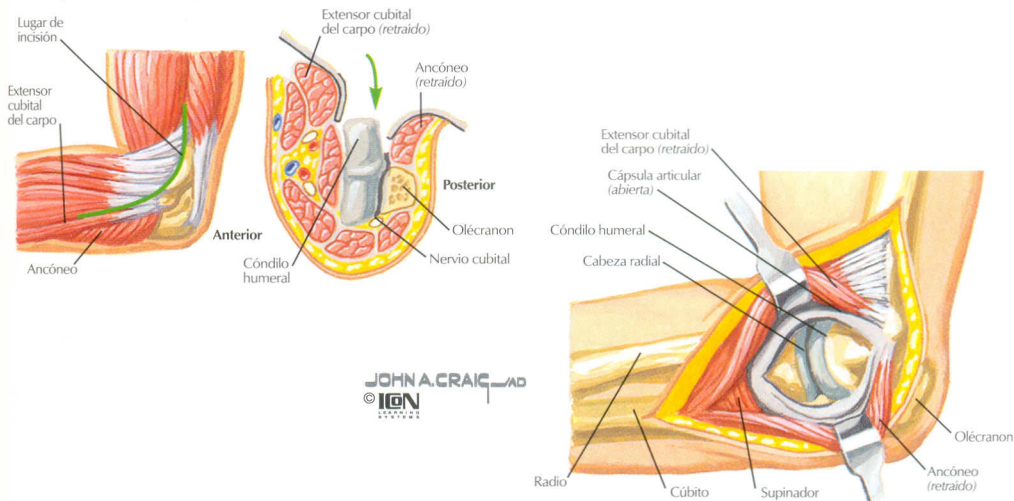
TRONCO	RAMA	RECORRIDO/COMENTARIO
Arteria humeral	Continuación de la arteria axilar 1. Arteria braquial profunda 2. Arteria nutricia del húmero 3. Colateral cubital superior 4. Colateral cubital inferior 5. Ramas musculares 6. Arteria radial 7. Arteria cubital	Medial al bíceps, discurre con el nervio mediano Junto con el nervio radial en el surco del nervio radial (cara posterior del húmero) Penetra en el canal nutricia Ramas en la mitad del brazo; discurre con el nervio cubital *Anastomosis con la colateral cubital posterior en el codo *Anastomosis con la colateral cubital anterior en el codo La arteria braquial puede ligarse por debajo de esta rama: la vascularización colateral suele ser suficiente Variables, normalmente laterales Son las dos ramas terminales de la arteria braquial; se divide en la fosa cubital
Arteria braquial profunda	Colateral radial Colateral media	*Anastomosis con la arteria recurrente radial en el codo *Anastomosis con la arteria interósea recurrente en el codo
Arteria radial	Recurrente radial	*Anastomosis con la arteria colateral radial en el codo
Arteria cubital	Recurrente cubital anterior Recurrente cubital posterior Arteria interósea común Arteria interósea recurrente	*Anastomosis con la arteria colateral cubital inferior en el codo *Anastomosis con la arteria colateral cubital superior en el codo *Anastomosis con la arteria recurrente media en el codo
Todas las ramas colaterales son superiores; todas las ramas recurrentes son ramas inferiores de las anastomosis en el codo		

DESCRIPCIÓN	Hx y EF	PRUEBAS COMPLEMENTARIAS/ HALLAZGOS	TRATAMIENTO
ARTRITIS			
<ul style="list-style-type: none"> Infrecuente Osteoartritis observada en atletas Localización de artritis 	Hx: dolor crónico y entumecimiento EF: disminución del BA e hipersensibilidad	RX: OA frente a inflamación Sangre: FR, VSG, ANA Líquido sinovial: cristales, células, cultivo	1. Conservador (reposo, AINE) 2. Desbridamiento 3. Artroplastia
ROTURA DEL TENDÓN BICIPITAL			
<ul style="list-style-type: none"> Traumatismo: flexión forzada de codo contrarresistencia Rara (proximal >> distal) 	Hx: dolor súbito EF: disminución o ausencia de flexión de codo	RX: normal	Reinserción quirúrgica
SÍNDROME DEL TÚNEL CUBITAL			
<ul style="list-style-type: none"> Traumatismo o estiramiento del nervio cubital en su surco Sucede cerca del origen del FCC También puede atraparse en la arcada de Struthers 	Hx: Hipoestésias/parestesias (+/- dolor) en territorio cubital EF: disminución pinza +/- Tinel + y/o prueba de flexión del codo	RX: normalmente negativa Electromiograma: aporta datos objetivos, pero con frecuencia innecesarios	1. Reposo, hielo, AINE 2. férula (día y/o noche) 3. Yeso 4. Descompresión nerviosa y transposición
EPICONDILITIS LATERAL (codo de tenista)			
<ul style="list-style-type: none"> Degeneración de los tendones extensores comunes (en especial ERCC) Debida a sobreutilización (p. ej., tenis) o lesión (microtraumatismo) 	Hx: edad 30-60 años, dolor crónico en cara lateral del codo que empeora con la extensión de muñeca y dedos EF: prueba del codo de tenista +	RX: descartar fractura y OA. Los tendones pueden calcificarse (en especial ERCC)	1. Modificación de la actividad, hielo, AINE 2. Uso de cincha de codo 3. Estiramiento/fortalecimiento 4. Infiltración de corticosteroides 5. Tenodesis
ESGUINCE DEL LIGAMENTO COLATERAL LATERAL			
<ul style="list-style-type: none"> Raro 	Hx: +/- impotencia y bloqueo EF: + inestabilidad con varo forzado, + cajón posterolateral (pivot shift)	RX: normalmente negativa	Conservador, excepto en luxaciones recidivantes; en tal caso, reconstrucción quirúrgica
ESGUINCE DEL LIGAMENTO COLATERAL MEDIAL			
<ul style="list-style-type: none"> Debido a un único traumatismo o valgo forzado continuado Mecanismo habitual: lanzamiento Afectación del fascículo anterior 	Hx: jóvenes, atletas lanzadores, dolor crónico o agudo en LCM, +/- «chasquido» EF: +/- inestabilidad con valgo forzado	RX: espólón ocasional; descartar fractura (+/- forzada) RM: antes de la cirugía	Grado I y II: conservador (reposo, hielo, AINE) Grado III (rotura completa): tratamiento quirúrgico (utilizar PL)
EPICONDILITIS MEDIAL (codo de golfista)			
<ul style="list-style-type: none"> Degeneración del pronador/grupo flexor (PR y FRC) Debido a lesión o sobreuso 	Hx: dolor en cara medial del codo EF: dolor a la palpación de epicóndilo medial, prueba del codo de golfista +	RX: descartar fractura y OA. Puede observarse calcificación de los tendones	Igual que el codo de tenista. La cirugía es menos efectiva que en la epicondilitis lateral
BURSITIS OLECRANIANA			
<ul style="list-style-type: none"> Inflamación de la bolsa (infección/traumatismo/otros) 	Hx: tumefacción, aguda o crónica EF: masa palpable en el olecranon	Aspiración de la bolsa: enviar líquido purulento para cultivo y tinción de Gram	1. Vendaje compresivo 2. Drenaje en caso de recidiva 3. Infiltración de corticosteroides
OSTEOCONDRIITIS DISECANTE DEL CODO			
<ul style="list-style-type: none"> Valgos forzados repetitivos (p. ej., lanzadores o gimnastas) Compromiso vascular y microtraumatismo del cóndilo humeral 	Hx: jóvenes activos (lanzadores o gimnastas), dolor en cara lateral del codo EF: +/- impotencia y/o bloqueo, crepitación con la pronación y supinación	RX: radiolucencia y/o cuerpo libre TC/RM: muestran la afectación articular y subcondral	Tipo I (fragmento estable): hielo, actividad intermitente, AINE Tipo II-III (fragmento libre): perforaciones o curetaje del fragmento
ROTURA DEL TENDÓN TRICIPITAL			
<ul style="list-style-type: none"> Traumatismo: extensión forzada del codo contrarresistencia 	Hx: dolor en cara posterior del codo EF: pérdida de la extensión activa del codo	RX: normal	Reinserción quirúrgica

Abordaje anterolateral del húmero

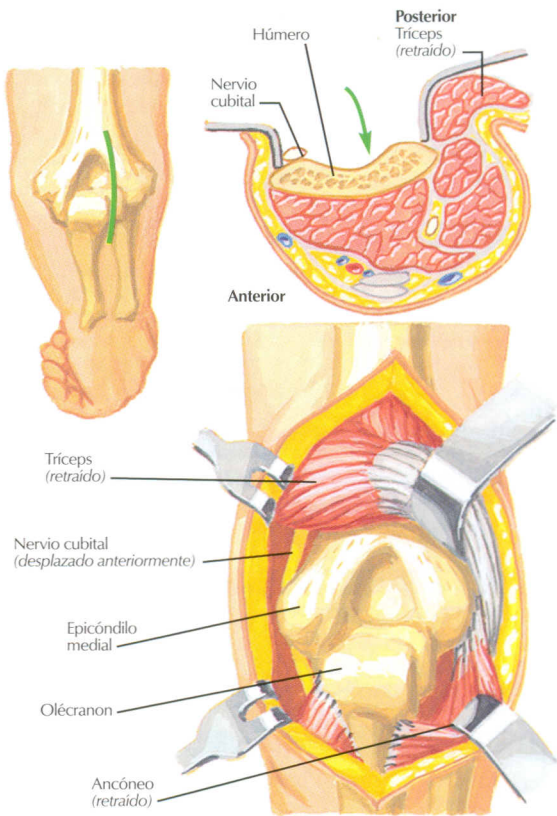


Abordaje lateral (Kocher) de la articulación del codo



USOS	PLANOS INTERNERVIOSOS	RIESGOS	COMENTARIO
HÚMERO: ABORDAJE ANTERIOR			
1. RAFI de fracturas 2. Biopsia ósea o resección tumoral	Proximal 1. Deltoides (axilar) 2. Pectoral mayor (pectoral) Distal 1. División braquial Lateral (radial) Medial (MC)	Proximal 1. Nervio axilar 2. Arteria circunfleja humeral Distal 1. Nervio radial	<ul style="list-style-type: none"> • La arteria circunfleja humeral anterior puede requerir ligadura • El braquial tiene inervación dividida, que puede usarse para un plano internervioso
CODO: ABORDAJE LATERAL (KOCHER)			
La mayoría de los procedimientos sobre la cabeza del radio	1. Ancónleo (radial) 2. ECC (NIP)	1. NIP 2. Nervio radial	<ul style="list-style-type: none"> • Protección del NIP: mantenerse por encima del ligamento anular; mantener el brazo en pronación

Abordaje posterior de la articulación del codo



JOHN A. CRAIG, MD
© ION
LITHO

USOS	PLANOS INTERNERVIOSOS	RIESGOS	COMENTARIO
CODO: ABORDAJE POSTERIOR (BRYAN/MORREY)			
1. Artroplastia 2. Fracturas de húmero distal y olécranon 3. Extracción de cuerpos libres	Sin planos	Nervio cubital	<ul style="list-style-type: none">El tríceps es desinsertado desde el olécranonPuede ser necesaria la desinserción del LCM

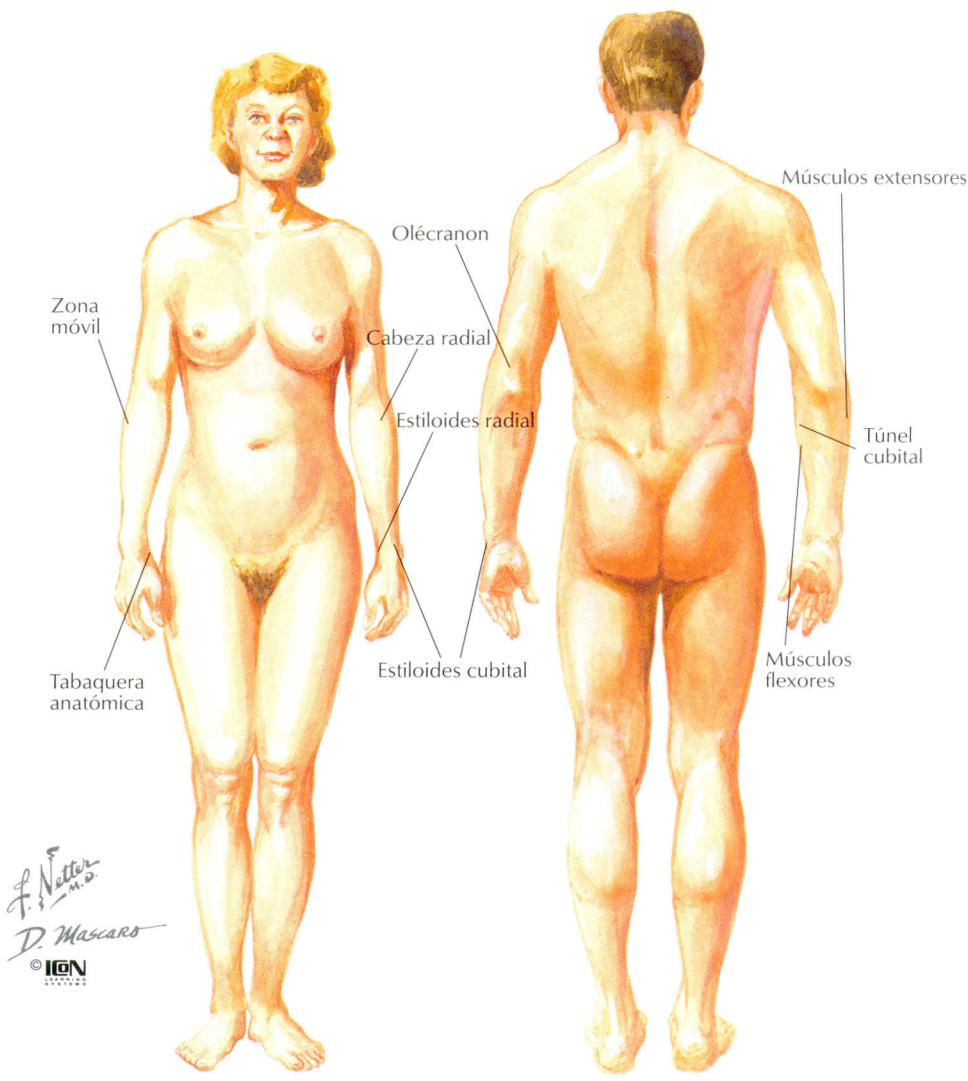
4

CAPÍTULO

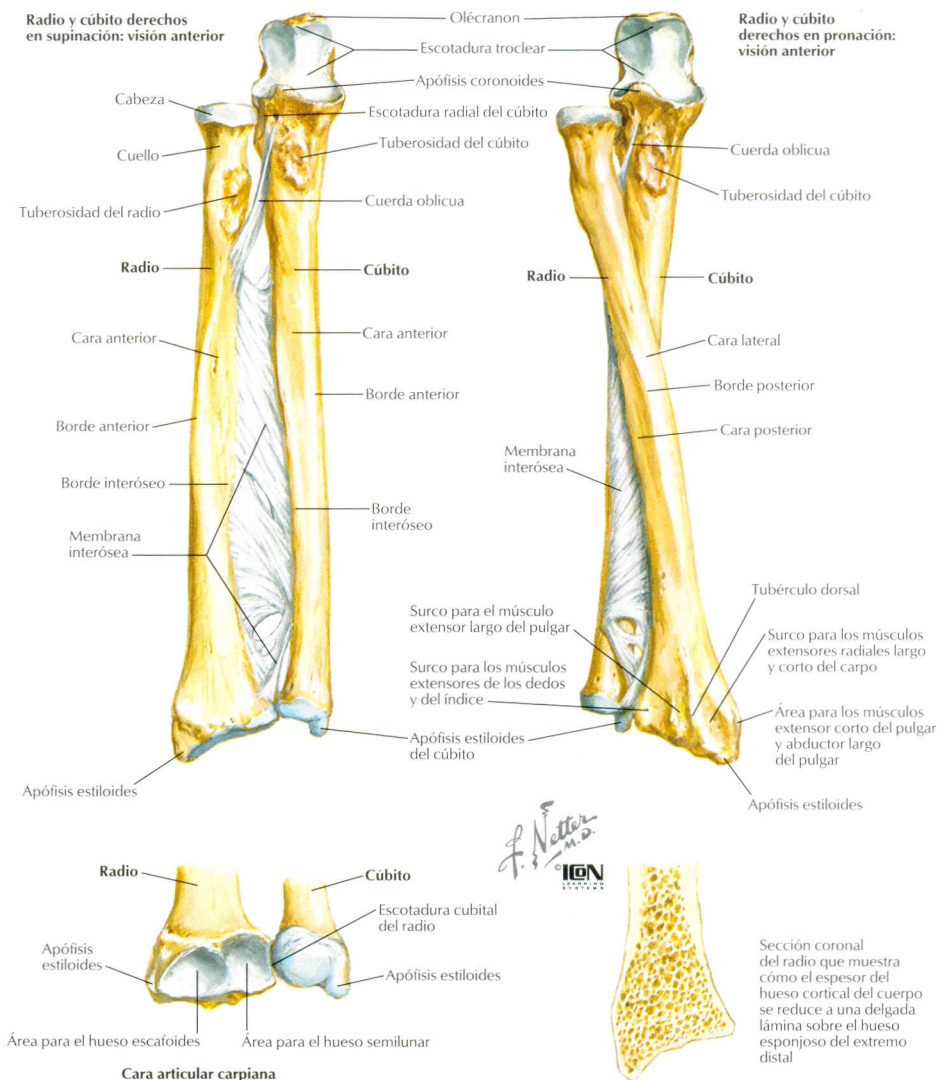
ANTEBRAZO

CONTENIDOS

Anatomía topográfica	88
Osteología	89
Traumatismo	91
Articulaciones	96
Otras estructuras de la muñeca	99
Procedimientos menores	100
Anamnesis y exploración física	101
Músculos	104
Nervios	112
Arterias	114
Patología	115
Abordajes quirúrgicos	118

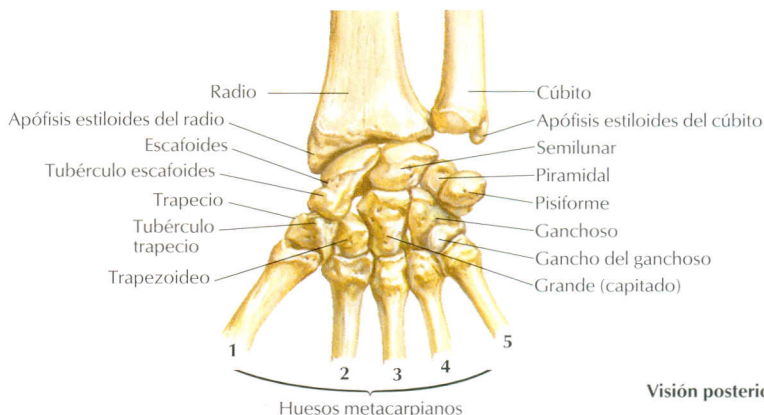


F. Netter M.D.
D. Mascaro
© IGM

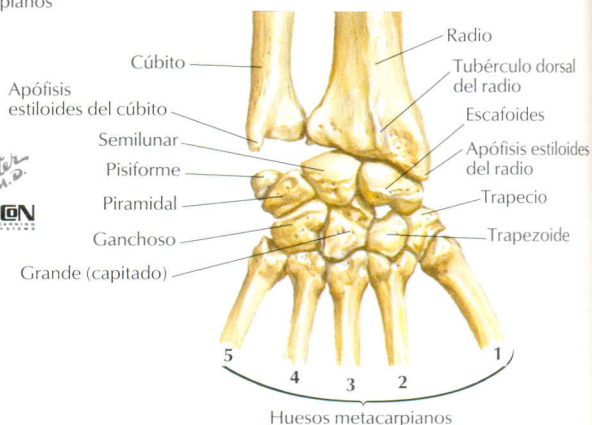


CARACTERÍSTICAS	OSIFICACIÓN	FUSIÓN	COMENTARIO
RADIO			
<ul style="list-style-type: none"> Hueso largo cilíndrico Cabeza en la articulación del codo Tuberosidad extraarticular Cabeza palpable lateralmente Estiloides distal 	Primaria: diáfisis Secundaria 1. Epífisis proximal 2. Epífisis distal	8-9 semanas (fetal) 1-9 años	14-21 años <ul style="list-style-type: none"> Osificación del codo: se utiliza para conocer la edad en niños Orden de osificación del codo: cóndilo, cabeza radial, epicóndilo medial, tróclea, olécranon, epicóndilo lateral
CÚBITO			
<ul style="list-style-type: none"> Hueso largo cilíndrico Olécranon palpable posteriormente en el codo Apófisis estiloides distal 	Primaria: diáfisis Secundaria 1. Olécranon 2. Epífisis distal	8-9 semanas (fetal) 10 años 5-6 años	16-20 años <ul style="list-style-type: none"> El olécranon y la coronoides estabilizan el codo posteriormente

Visión anterior (palmar)



Visión posterior (dorsal)



Netter M.D.
IGM

CARACTERÍSTICAS

OSIFICACIÓN

FUSIÓN

COMENTARIO

HILERA PROXIMAL

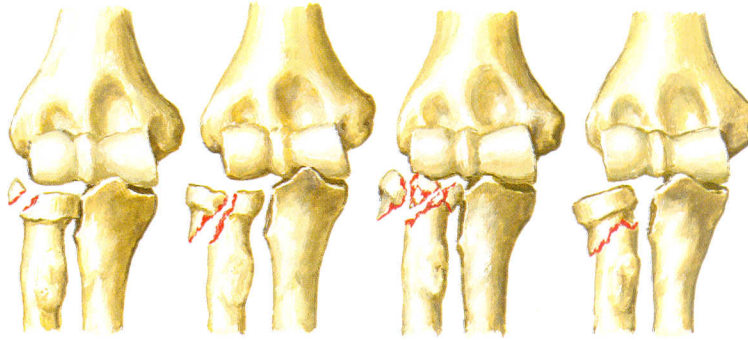
Escafoides: forma navicular, 80% de superficie articular (no el cuello)	5.º 5 años	14-16 años	<ul style="list-style-type: none"> Se encuentra en el suelo de la tabaquera anatómica Vascularización (arteria radial) distal (cuello); polo proximal susceptible de necrosis si hay fractura
Semilunar: forma de semiluna	4.º 4 años	14-16 años	<ul style="list-style-type: none"> Luxaciones con frecuencia desapercibidas Vascularización palmar: fracturas palmares tributarias de RAFI para prevenir osteonecrosis; las fracturas dorsales se resuelven sin cirugía
Piramidal: forma triangular	3.º 3 años	14-16 años	
Pisiforme: gran hueso sesamoideo	8.º 9-12 años	14-16 años	<ul style="list-style-type: none"> En el tendón del FCC; inserción del LTC

HILERA DISTAL

Trapecio: más radial	6.º 5-6 años	14-16 años	<ul style="list-style-type: none"> Se articula con el 1.º metacarpiano; inserción del LTC, FRC
Trapezoide: forma cuadrangular	7.º 5-6 años	14-16 años	<ul style="list-style-type: none"> Se articula con el 2.º metacarpiano
Hueso grande: el mayor del carpo	1.º 1 año	14-16 años	<ul style="list-style-type: none"> Primero en osificar
Ganchoso: forma de gancho	2.º 1-2 años	14-16 años	<ul style="list-style-type: none"> LTC, FCC se insertan en el gancho

Osificación: cada hueso de un centro independiente, en el sentido contrario a las agujas del reloj (posición anatómica). Comienza con el hueso grande
 Límites del túnel carpiano: techo, ligamento transversal del carpo; pared lateral, escafoides y trapecio; pared medial, pisiforme y ganchoso
 Canal de Guyon: techo, ligamento volar del carpo; suelo, LTC; pared lateral, ganchoso (gancho); pared medial, pisiforme; contenido, arteria y nervio cubital
 Tabaquera anatómica: entre los tendones del ELP y ECP; contiene la arteria radial (escafoides directamente profundo a la tabaquera)

Fractura de la cabeza radial



Tipo I
Pequeño fragmento de la cabeza radial

Tipo II
Gran fractura de la cabeza radial con desplazamiento

Tipo III
Fractura conminuta de la cabeza radial

Fractura enclavada del cuello radial con desplazamiento

Fractura de ambos huesos del antebrazo



Fractura de cúbito y radio con angulación, acortamiento y conminución del radio

F. Netter M.D.
with
C.A. Luce
© IGM
ILLUSTRATIONS

DESCRIPCIÓN	EVALUACIÓN	CLASIFICACIÓN	TRATAMIENTO
FRACTURA DE OLÉCRANON			
<ul style="list-style-type: none"> Mecanismo: caída directa sobre el codo; caída sobre la mano Siempre afecta a la superficie articular El tendón tricipital tracciona el fragmento 	<p>Hx: caída/traumatismo. Tumoración, dolor, +/- hipoestesia</p> <p>EF: derrame, hipersensibilidad, +/- disminución de la extensión del codo. Correcta exploración neurovascular (en especial nervio cubital)</p> <p>RX: AP/lateral</p>	<p>Colton:</p> <p>No desplazada: < 2 mm</p> <p>Desplazada:</p> <ul style="list-style-type: none"> Avulsión Transversa/oblicua Conminuta Fractura/luxación 	<p>No desplazadas: yeso a 45-90° durante 3 semanas, entonces movilización precoz</p> <p>Desplazada: RAFI con cerclajes de agujas o tornillos corticales (fractura conminuta: escisión ósea y reinserción tricipital)</p>
COMPLICACIONES: lesión del nervio cubital (frecuente resolución); disminución del BA; artritis			
FRACTURA DE LA CABEZA RADIAL			
<ul style="list-style-type: none"> Frecuente Caída sobre el brazo en extensión; el radio impacta con el cóndilo humeral Fractura intraarticular Se puede asociar a luxación de codo 	<p>Hx: Caída. Dolor, hipersensibilidad, función reducida</p> <p>EF: dolor a la palpación de la cabeza radial, disminución del BA, especialmente la pronación/supinación. Prueba de estabilidad del LCM</p> <p>RX: AP/lateral: paquete graso +</p>	<p>Mason: 4 Tipos</p> <p>I: no desplazada</p> <p>II: desplazada</p> <p>III: conminuta (cabeza)</p> <p>IV: fractura con luxación del codo</p>	<p>Tipo I: férula de yeso durante 3 días; entonces, movilización</p> <p>Tipo II: si el desplazamiento es mínimo, férula y movilización. Si > 1/3 de la cabeza radial o > 3 mm de desplazamiento, RAFI o escisión</p> <p>Tipo III: escisión de la cabeza radial</p>
COMPLICACIONES: disminución del BA; inestabilidad			
FRACTURA DE AMBOS HUESOS			
<ul style="list-style-type: none"> Mecanismo: traumatismos de alta energía Fracturas diafisarias con acortamiento en uno de los huesos, lo que provoca fuerzas que fracturan el otro Fractura de la porra: fractura aislada de diáfisis cubital 	<p>Hx: traumatismo. Dolor, tumoración</p> <p>EF: hipersensibilidad, deformidad. Valoración compartimental y exploración neurovascular</p> <p>RX: AP/lateral, incluyendo muñeca y codo</p>	<p>Descriptiva:</p> <ul style="list-style-type: none"> No desplazadas Desplazadas Conminutas 	<p>RAFI (normalmente placas y tornillos) a través de dos abordajes individuales</p> <p>Porra: no desplazada, tratamiento conservador; desplazada, RAFI</p> <p>Niños: conservador, yeso braquial 6-8 semanas</p>
COMPLICACIONES: pérdida de pronación/supinación; pseudoartrosis			

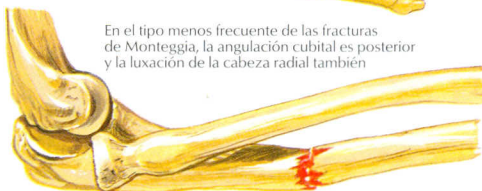
Fractura de Monteggia

Fracturas proximales de cúbito caracterizadas por angulación anterior de éste y luxación de la cabeza radial (fractura de Monteggia)

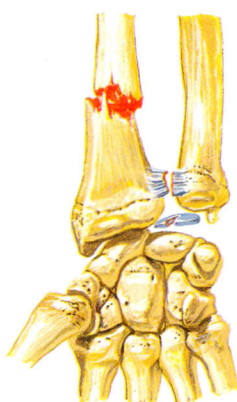


En el tipo menos frecuente de las fracturas de Monteggia, la angulación cubital es posterior y la luxación de la cabeza radial también

F. Netter M.D.
with
C.A. Luce
© IGM



Fractura de Galeazzi



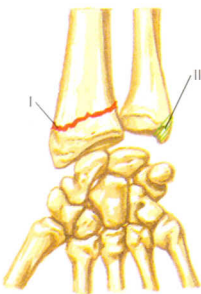
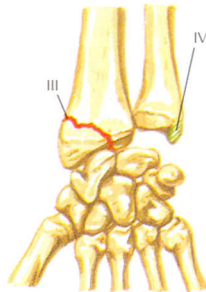
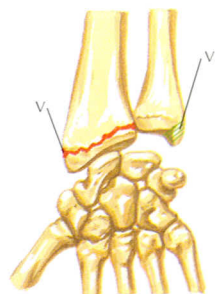
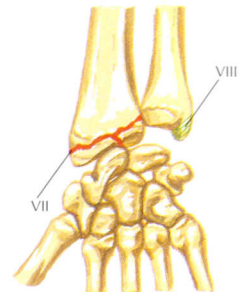
Visión anteroposterior de fractura de radio junto con luxación de la articulación radiocubital distal (fractura de Galeazzi)



Luxación de la articulación radiocubital distal, en visión lateral

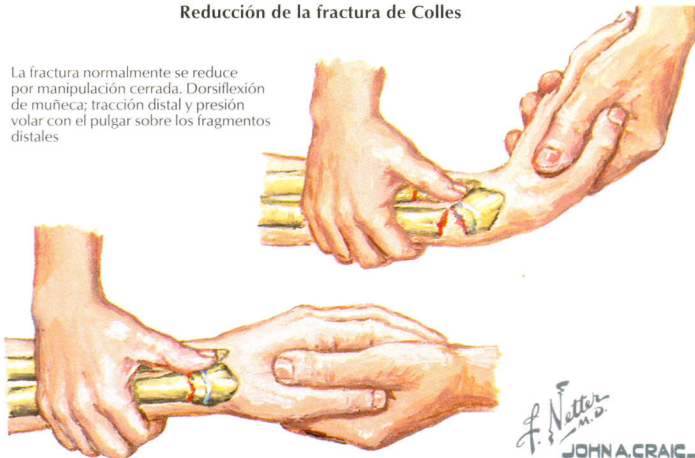
DESCRIPCIÓN	EVALUACIÓN	CLASIFICACIÓN	TRATAMIENTO
FRACTURA DE MONTEGGIA			
<ul style="list-style-type: none"> • Fractura proximal de cúbito; la luxación de la cabeza del radio se debe a fuerzas de acortamiento • Mecanismo: contusión directa o caída sobre la mano en extensión 	<p>HX: caída, dolor, tumefacción EF: hipersensibilidad, deformidad</p> <p>Exploración compartimental y examen neurovascular</p> <p>RX: AP/lateral, incluyendo seriadas de codo y muñeca</p>	<p>Bado (según la luxación de la cabeza radial):</p> <p>I: Anterior (más común) II: Posterior III: Lateral IV: Anterior asociada a fractura de ambos huesos</p>	<p>Cúbito: RAFI (placas/tornillos) Cabeza radial: reducción cerrada (abierta si es irreducible o inestable) Pediátrico: reducción cerrada y yeso</p>
COMPLICACIONES: lesión del nervio radial/NIP (frecuente resolución); disminución del BA; síndrome compartimental ; pseudoartrosis			
FRACTURA DE GALEAZZI/PIEDMONT			
<ul style="list-style-type: none"> • Mecanismo: caída sobre la mano en extensión • Fractura diafisaria distal del radio; las fuerzas de acortamiento producen la luxación radiocubital distal 	<p>HX: caída. Dolor, tumefacción EF: hipersensibilidad, deformidad. Valoración compartimental y exploración neurovascular</p> <p>RX: AP/lateral, incluyendo muñeca y codo</p>	<p>Según el mecanismo:</p> <p>Pronación: Galeazzi Supinación: Galeazzi inversa (fractura de la diáfisis cubital con luxación de la ARCD)</p>	<p>Radio: RAFI (placa/tornillos) ARCD: reducción cerrada, +/- agujas percutáneas (tratamiento quirúrgico si es inestable) Inmovilización con yeso durante 4-6 semanas Pediátrico: reducción cerrada, yeso</p>
COMPLICACIONES: lesión nerviosa; disminución del BA; pseudoartrosis; artrosis de la articulación radiocubital distal (ARCD)			

Clasificación de Frykman de las fracturas distales del radio

Radio extraarticular: I
Estiloides cubital: IIRadiocarpiana intraarticular: III
Estiloides cubital: IVRadiocubital distal
intraarticular: V
Estiloides cubital: VIRadiocarpiana intraarticular
y radiocubital distal: VII
Estiloides cubital: VIII

Reducción de la fractura de Colles

La fractura normalmente se reduce por manipulación cerrada. Dorsiflexión de muñeca; tracción distal y presión volar con el pulgar sobre los fragmentos distales



Mediante presión y tracción continua, se extiende progresivamente la muñeca

F. Netter M.D.
JOHN A. CRAIG M.D.
© IGM

DESCRIPCIÓN	EVALUACIÓN	CLASIFICACIÓN	TRATAMIENTO
FRACTURAS DISTALES DE RADIO			
<ul style="list-style-type: none"> • Muy común (sobre todo Colles) • Caída con el brazo en extensión • Fractura de Colles: desplazamiento dorsal (vértice volar), acortamiento radial, angulación dorsal • Fractura de Smith: desplazamiento volar (vértice dorsal) • Fractura de Barton: el extremo radial y el carpo se desplazan juntos • Estiloides radial (fractura «del chófer») 	<p>HX: caída, dolor, tumefacción EF: tumefacción, deformidad, dolor a la palpación. Examen neurovascular</p> <p>RX: AP/lateral: radio normal 1. 23° inclinación radial 2. 13 mm altura radial 3. 11° angulación volar</p>	<p>Frykman (para Colles): Tipo I, II: extraarticular Tipo III, IV: articulación radiocubital Tipo V, VI: afecta a las articulaciones radiocarpiana y radiocubital (el mismo tipo también puede tener fx de la estiloides cubital) Barton: 1. Dorsal 2. Volar (más frecuente)</p>	<p>Reducción cerrada, inmovilización con yeso bien moldeado (flexión volar y desviación cubital) Si es inestable, aplicar agujas percutáneas, RAFI o fijación externa Smith: tratamiento ortopédico +/- agujas percutáneas (a menudo inestable y tributaria de RAFI) Fractura de Barton: con frecuencia tributaria de RAFI Fractura de estiloides: RAFI</p>
COMPLICACIONES: Pérdida de movimiento; deformidad; lesión del nervio mediano; consolidación defectuosa; dislocación escafolunar			

Fractura de escafoides

F. Netter M.D.
with
C.A. Luce
© IGM
ILLUSTRATIONS

Fractura del tercio medio (cuello) del escafoides (más frecuente)



Fracturas menos frecuentes



Tubérculo



Polo distal



Sección vertical

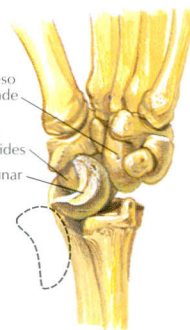


Polo proximal

Luxación del carpo

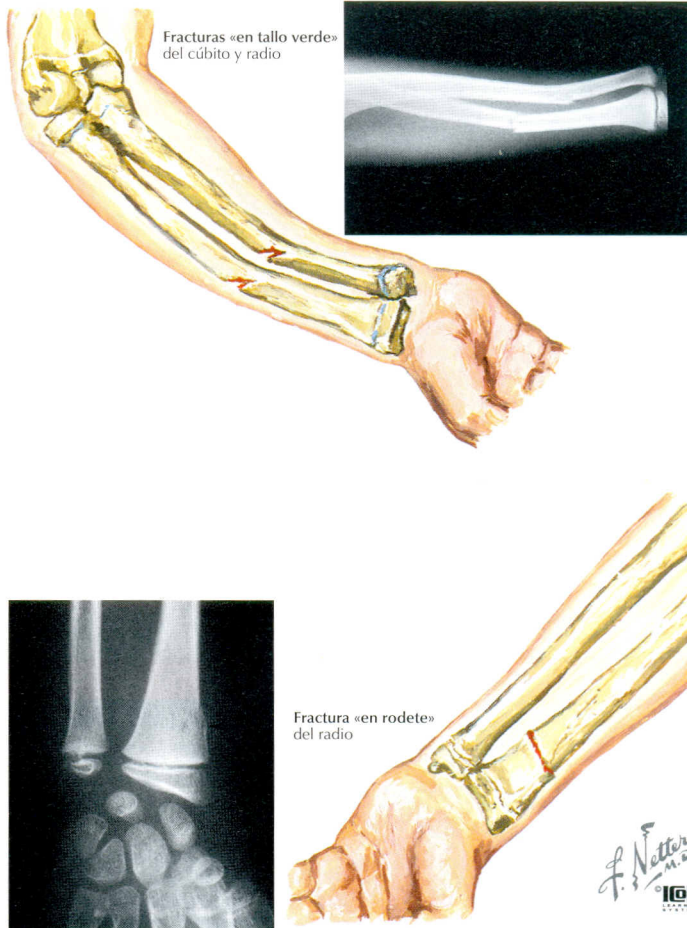


Visión palmar que muestra el semilunar rotado y luxado volarmente (A), el espacio escafosemilunar aumentado (B) y un desplazamiento dorsal y proximal del hueso grande (C)



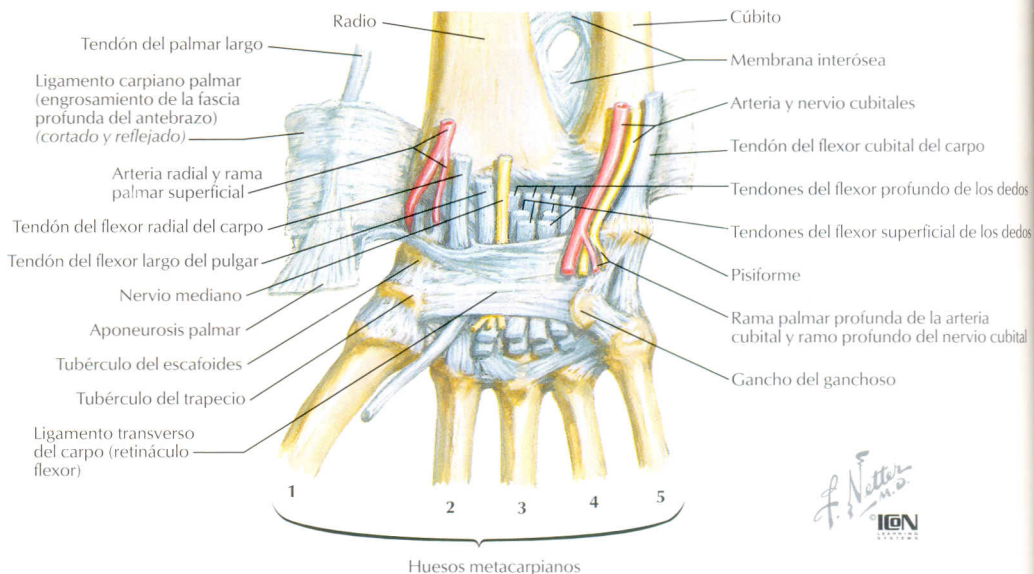
Visión lateral que muestra la luxación volar y rotación del semilunar. La línea de puntos indica luxación sobre la cara volar de la zona distal del radio

DESCRIPCIÓN	EVALUACIÓN	CLASIFICACIÓN	TRATAMIENTO
FRACTURA DE ESCAFOIDES			
<ul style="list-style-type: none"> Fractura del carpo más frecuente Caída sobre el brazo en extensión Complicaciones muy frecuentes El polo proximal presenta escasa vascularización 	<p>Hx: caída, el dolor empeora con la prensión, tumefacción</p> <p>EF: «tabaquera anatómica» dolorosa a la palpación; tumefacción en la estiloides radial</p> <p>RX: AP/lateral: también PA en desviación cubital/oblicua</p>	<p>Según la localización:</p> <p>Polo proximal</p> <p>Medio («cuello») más frecuente</p> <p>Polo distal</p>	<p>Si hay síntomas clínicos con Rx negativas: yeso de escafoides durante 10-14 días y entonces reevaluación</p> <p>No desplazada: yeso 6-12 semanas</p> <p>Desplazada: RAFI (agujas-Kirschner)</p>
COMPLICACIONES: pseudoartrosis/fallo en la consolidación; osteonecrosis, especialmente del polo proximal; enfermedad degenerativa articular (EDA)			
LUXACIONES DEL CARPO: INESTABILIDAD PERILUNAR			
<ul style="list-style-type: none"> Poco frecuente: lesión en hiperextensión y supinación Gravedad en relación con la rotura ligamentosa (v. tabla de articulaciones) Disminución del espacio de Poirer (articulación semilunar-grande) 	<p>Hx: Caída. Dolor.</p> <p>EF: Dolor en la muñeca, signo de Watson +</p> <p>RX: AP/lateral: signo de Terry Thomas > 3 mm de separación EL; signo del anillo +/- en el escafoides</p> <p>Cineartrografía: diagnóstico definitivo</p>	<p>Mayfield (4 grados)</p> <p>I: Diástasis escafosemilunar</p> <p>II: Luxación perilunar</p> <p>III: Diástasis semilunar-piramidal</p> <p>IV: Luxación volar del semilunar</p>	<p>Reducción cerrada y yeso en los casos no complicados</p> <p>Reducción abierta, fijación con agujas; normalmente es necesaria la reparación ligamentosa primaria</p>
COMPLICACIONES: inestabilidad de muñeca con/sin dolor; CELA			



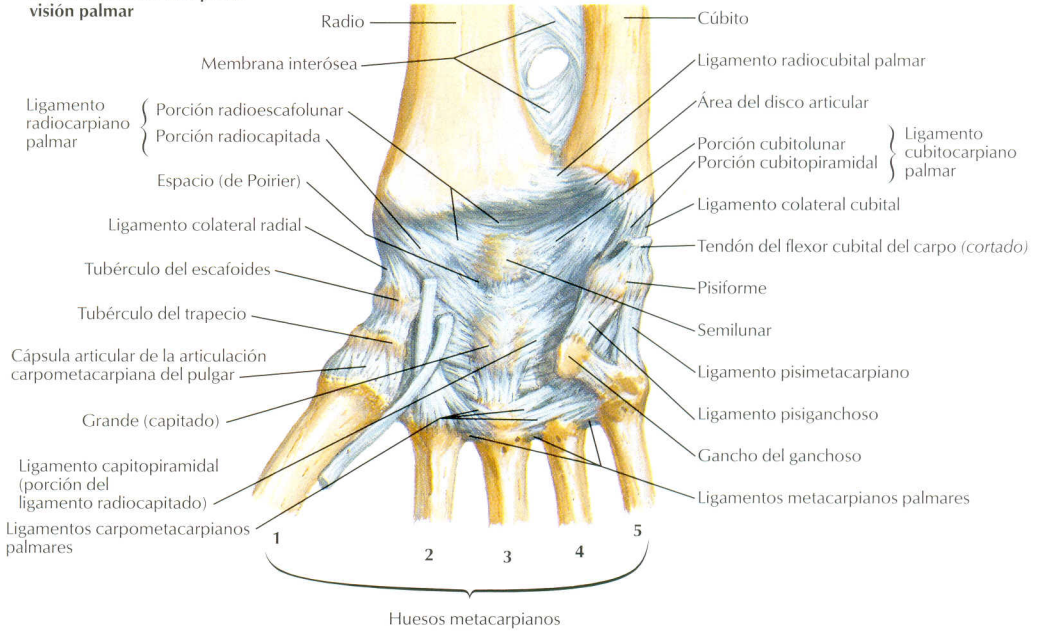
DESCRIPCIÓN	EVALUACIÓN	CLASIFICACIÓN	TRATAMIENTO
FRACTURAS INCOMPLETAS: RODETE Y TALLO VERDE			
<ul style="list-style-type: none"> • Frecuente en niños (normalmente entre 6 y 12 años) • Mecanismo: la caída sobre la mano es lo más frecuente • Normalmente afectan al radio distal • El aumento de flexibilidad del hueso infantil permite la fractura de una sola cortical 	<p>Hx: traumatismo. Dolor, falta de potencia del brazo</p> <p>EF: +/- deformidad. Dolor selectivo y tumefacción</p> <p>RX: AP y lateral: afectación de una única cortical</p>	<p>Rodete: cortical cóncava comprimida (rodete); convexa/superficie de tensión intacta</p> <p>Tallo verde: cortical cóncava intacta; convexa/superficie de tensión, fractura/deformidad plástica</p>	<p>Rodete: normalmente no necesita reducción; férula de yeso 2-4 semanas</p> <p>Tallo verde: reducir si angulación >10°. Yeso braquial durante 6 semanas</p>
COMPLICACIONES: deformidad; fallo en la consolidación; lesión neurovascular (rara)			

Túnel carpiano: visión palmar

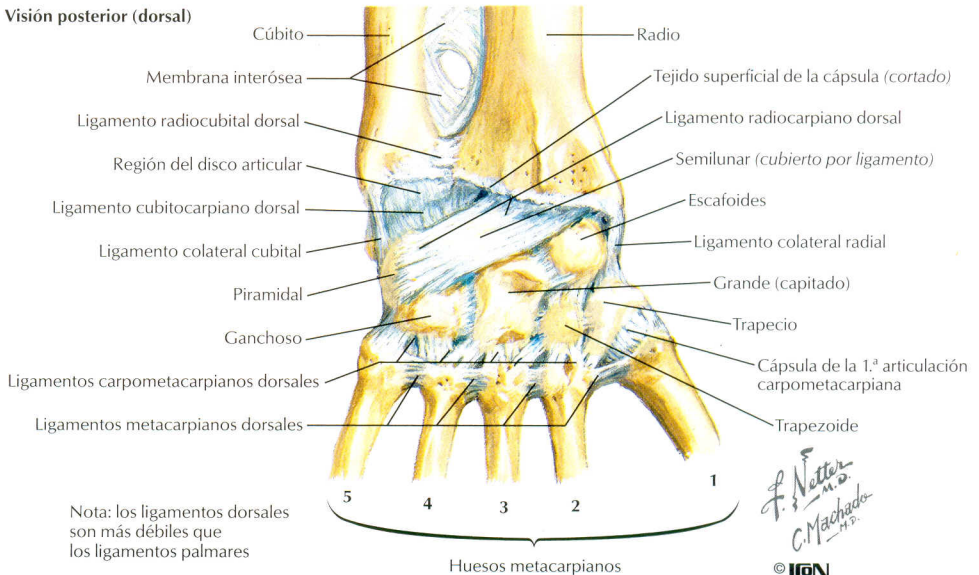


LIGAMENTOS	INSERCIIONES	COMENTARIOS
RADIOCARPIANA (tipo elipsoide)		
Huesos: radio, escafoides, semilunar y piramidal		
Cápsula	Rodea la articulación	Débil, proporciona poco soporte
Radiocarpiano palmar (LRCP)	Múltiples ligamentos intracapsulares	Resistente; el espacio de Poirer (espacio semilunar-grande) es débil. La lesión predispone a la inestabilidad
Radioescafo capitado (LREC)	Desde la estiloides radial al hueso grande	Estabiliza la región radial de la muñeca, hilera distal y articulación mediocarpiana. Se lesiona en la inestabilidad perilunar de grado II
Radioescafolunar (LREL)	Desde la estiloides radial al semilunar	Estabiliza la región radial de la muñeca, articulación escafolunar. Se lesiona en la DISI y la inestabilidad perilunar de grado I
Radiolunopiramidal (LRLP)	Desde la estiloides radial al piramidal	Es el más largo; refuerzo palmar para el semilunar, estabilizador de la articulación lunotriquetral. Se lesiona en la inestabilidad perilunar de grado III
Radiocarpiano dorsal (LRCD)	En el radio, escafoides, semilunar y piramidal	Débil; estabiliza la hilera proximal y la articulación radiosemilunar. Se lesiona en la inestabilidad perilunar de grado IV
Colateral radial del carpo	En el radio, escafoides, trapecio y LTC	Estabiliza la hilera proximal. La arteria radial discurre adyacente a éste
RADIOCUBITAL (tipo trocoide)		
Complejo fibrocartilaginoso triangular (CFT): múltiples componentes estabilizan la articulación; absorbe la carga axial; cualquier lesión produce dolor		
COMPONENTES	ORIGEN	INSERCIÓN
Radiocubital dorsal y palmar	Radio región cubital	Cabeza del cúbito
Fibrocartilago triangular (disco)	Radio/cúbito	Piramidal
Menisco	Cúbito/disco	Piramidal
Colateral cubital	Cúbito	5.º metacarpiano
OTROS LIGAMENTOS		
Cubitocarpiano:	Con frecuencia se considera parte del CFT; estabiliza la hilera proximal del carpo	
Cubitosemilunar	Cúbito	Semilunar
Cubitopiramidal	Cúbito	Piramidal

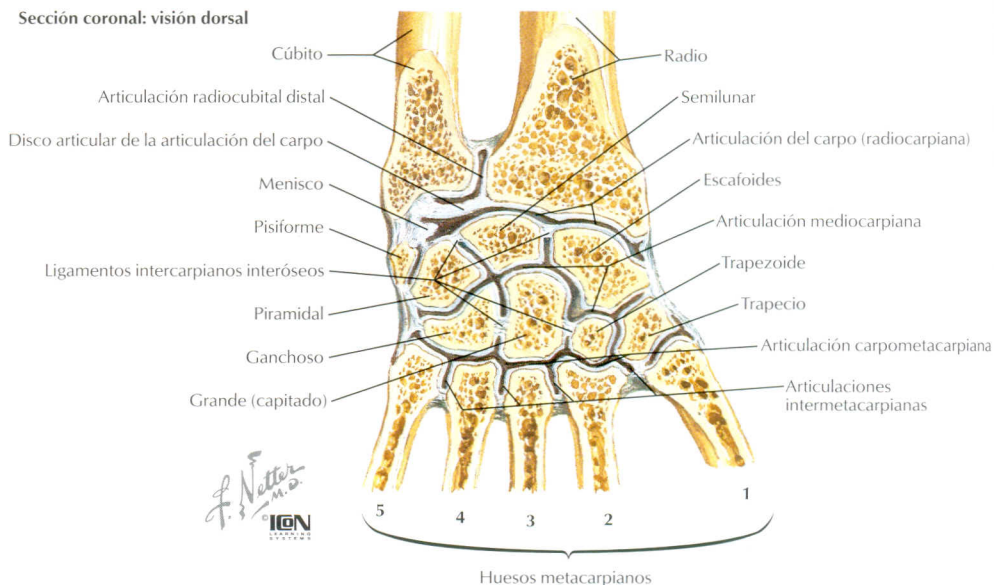
**Retináculo flexor extirpado:
visión palmar**



Visión posterior (dorsal)

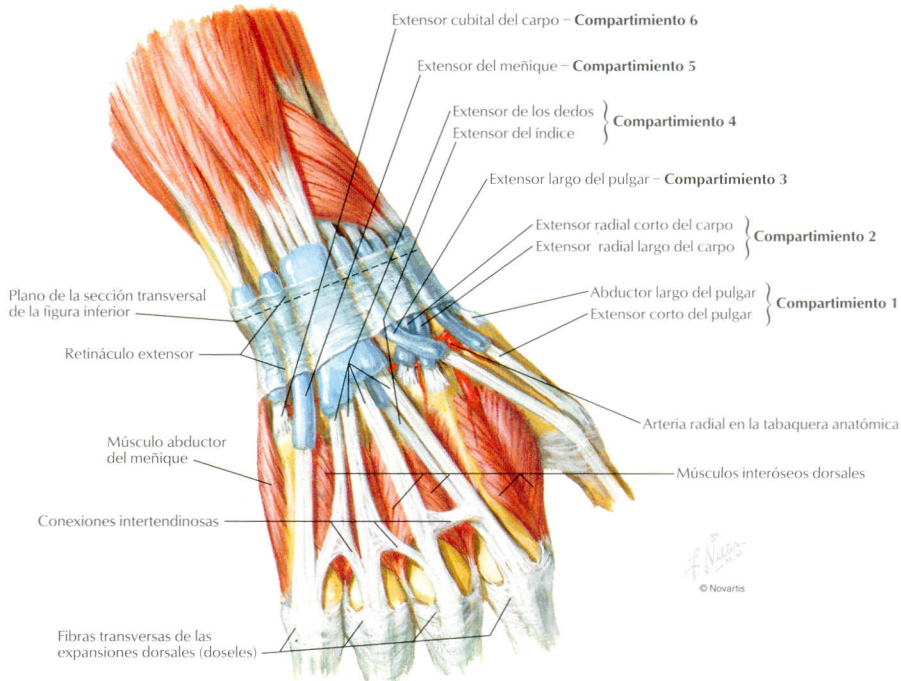


Sección coronal: visión dorsal

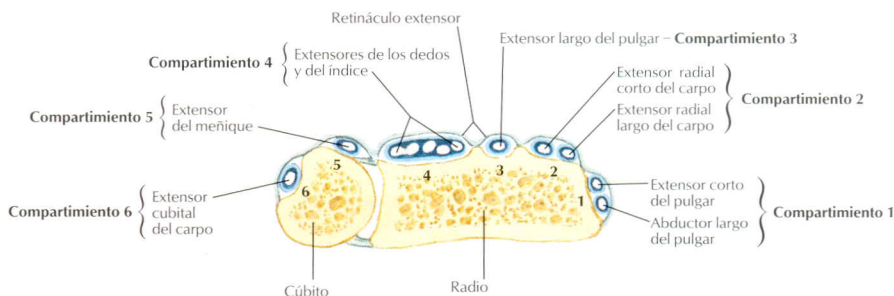


TIPO DE ARTICULACIÓN		LIGAMENTOS	INSERCIONES	COMENTARIOS
INTERCARPIANAS				
Hilera proximal	Plana	2 intercarpianos dorsales 2 intercarpianos palmares 2 interóseos	Escafolunar, lunopiramidal Escafolunar, lunopiramidal Escafolunar, lunopiramidal	El dorsal es más resistente Estabiliza las articulaciones EL o LP DISI: lesión del ligamento EL VISI: lesión del ligamento LP
Articulación del pisiforme		Cápsula Colateral cubital Radiocarpiano volar Pisiganchoso Pisimetacarpiano	Pisiforme y piramidal Del cúbito al pisiforme Del LREC al pisiforme Del pisiforme al ganchoso Del pisiforme al 5.º metacarpiano	La sostiene proximalmente La sostiene proximalmente Complementa el FCC; techo del canal de Guyon Contribuye a la flexión del FCC
Hilera distal	Plana	3 intercarpianos dorsales 3 intercarpianos palmares 2 interóseos	Los 4 huesos de la hilera distal Los 4 huesos de la hilera distal Del trapezoide al hueso grande y al ganchoso	Más grueso que el proximal
MEDIOCARPIANA				
	Elipsoide	Intercarpiano palmar Colaterales carpianos Capitopiramidal	Hileras proximal y distal del carpo Del hueso grande al piramidal	1/3 de la extensión y 2/3 de flexión de muñeca El radial es más resistente que el cubital Estabiliza la hilera distal

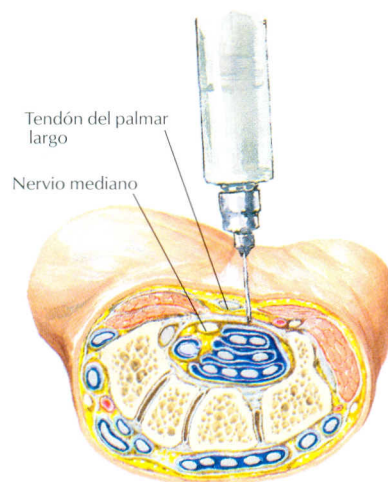
Visión posterior (dorsal)



Sección transversal de la porción más distal del antebrazo



ESTRUCTURA	FUNCIÓN	COMENTARIO
Retináculo extensor Compartimientos dorsales (correderas)	Cubre el dorso de la muñeca I: ALP, ECP II: ERLC, ERCC III: ELP IV: ED, EI V: EM VI: ECC	Forma seis compartimientos dorsales osteofibrosos Aquí se produce la tenosinovitis de DeQuervain Tendinitis (tumefacción carpiana) Rodea el tubérculo de Lister: el tendón se puede romper Tenosinovitis, gangliones Síndrome de Jackson-Vaughn (rotura por AR) El tendón puede «saltar» sobre la estiloides cubital
Ligamento transverso del carpo (LTC, retináculo flexor)	Cubre la región palmar de la muñeca Da inserción a: Medialmente: pisiforme y gancho del ganchoso Lateralmente: escafoides y trapecio	Forma el techo del túnel carpiano, suelo del canal de Guyon (el nervio cubital puede atraparse en él)



PASOS

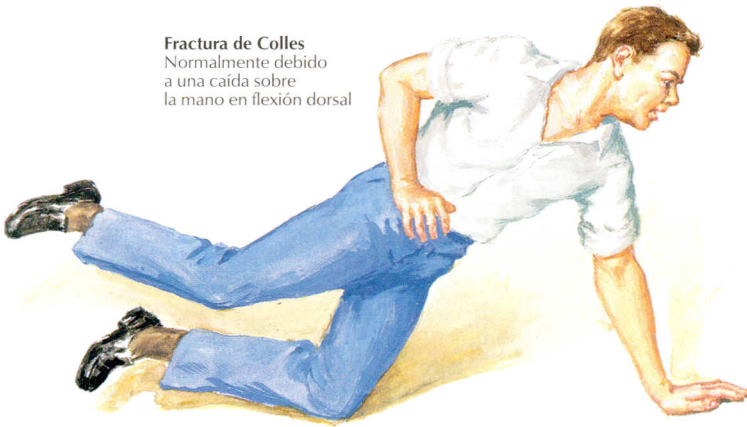
DRENAJE/INFILTRACIÓN DE LA MUÑECA

1. Preguntarle al paciente si es alérgico
2. Palpar la articulación radiocarpiana dorsalmente, **el ELP, el ERCC, el tubérculo de Lister** y el espacio cubital a éstos
3. Asepsia de la piel sobre la cara dorsal de la muñeca (yodo/jabón antiséptico)
4. Realizar habón anestésico cutáneo
5. Drenaje: insertar aguja de 20 G en el espacio cubital **hacia el tubérculo de Lister/ERCC y radial al ED**; aspirar
Punción: insertar una aguja de 22 G dentro del mismo espacio; **aspirar para asegurarse de no estar en un vaso**; entonces, inyectar 1-2 ml de anestésico o anestésico/corticoides dentro de la articulación RC
6. Colocar apósito
7. Si se sospecha infección, enviar el líquido para cultivo y tinción de Gram

INFILTRACIÓN DEL TÚNEL CARPIANO/BLOQUEO DEL NERVO MEDIANO

1. Preguntarle al paciente si es alérgico
2. Al pedir al paciente que realice la pinza con los dedos pulgar y meñique, el tendón del **palmar largo (PL)** protruirá (**el 10-20% de los pacientes no lo tienen**); el nervio mediano se encuentra bajo el PL y cubital al FRC
3. Limpiar la piel de la región volar de la muñeca (yodo/jabón antiséptico)
4. Realizar habón cutáneo con anestésico
5. Insertar aguja de 22 G o más pequeña en la muñeca, bajo el PL en el pliegue de flexión. **Aspirar para cerciorarnos de que no nos encontramos en un vaso.**
Inyectar 1-2 ml de anestésico o de preparación con anestésico/corticoides
6. Colocar apósito

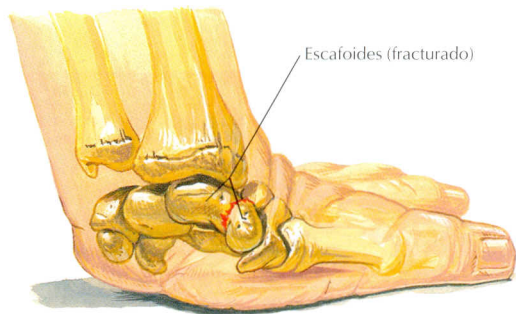
Fractura de Colles
Normalmente debido a una caída sobre la mano en flexión dorsal



Fractura de escafoides

Normalmente causada por caída sobre la mano en extensión con impacto en la eminencia tenar

F. Netter M.D.
with
C.A. Luce
© IGM
ILLUSTRATIONS



PREGUNTA	RESPUESTA	APLICACIÓN CLÍNICA
1. EDAD	Jóvenes Mediana edad-ancianos	Traumatismo: fracturas y luxaciones, gangliones Artritis; atrapamientos nerviosos, sobreuso
2. DOLOR		
a. Inicio	Agudo Crónico	Traumatismo Artritis
b. Localización	Dorsal Palmar Radial Cubital	Síndrome de Kienböck, ganglión Síndrome del túnel carpiano (STC), ganglión (esp. radiopalmar) Fractura de escafoides, tenosinovitis de DeQuervain, artritis Lesión del complejo fibrocartilaginoso triangular (CFT), tendinitis
3. RIGIDEZ	Con dolor dorsal Con dolor palmar (por la noche)	Síndrome de Kienböck Síndrome del túnel carpiano
4. TUMEFACCIÓN	Articular: después de traumatismo Articular: sin traumatismo Sobre los tendones	Fractura o esguince Artritis, infección, gota Tendinitis (calcificación) flexora o extensora, síndrome de DeQuervain
5. INESTABILIDAD	Chasquido	Disociación escafosemilunar
6. TUMOR	En la articulación de la muñeca	Ganglión
7. TRAUMATISMO	Caída sobre la muñeca	Fracturas: radio distal, escafoides; luxación: semilunar, lesión del CFT cubital
8. ACTIVIDAD	Movimientos repetitivos (mecanografía)	Síndrome del túnel carpiano (STC), tenosinovitis de DeQuervain
9. SÍNTOMAS NEUROLÓGICOS	Entumecimiento, hormigueo Debilidad	Atrapamiento nervioso, síndrome del desfiladero torácico, radiculopatía Atrapamiento nervioso (n. mediano [p. ej., STC], cubital o radial)
10. HISTORIA DE ARTRITIS	Múltiples articulaciones afectadas	Artritis

Fractura distal del radio



Aspecto clínico de la deformidad debido a la fractura desplazada del extremo distal del radio

Fractura de escafoides

Hallazgos clínicos:
dolor,
hipersensibilidad
y tumefacción
a nivel de la
tabaquera
anatómica



F. Natter
with
C.A. Luce
© IGM

Luxación del carpo



Deformidad típica.
Tumefacción ventral
debida a la luxación
del semilunar

EXPLORACIÓN	TÉCNICA	APLICACIÓN CLÍNICA
INSPECCIÓN		
Gran deformidad Tumefacción	Huesos y partes blandas Especialmente dorsal o radial Difusa	Fracturas, luxaciones: antebrazo y muñeca Ganglión Traumatismo, infección
PALPACIÓN		
Cambios cutáneos	Piel caliente y enrojecida Piel fría y seca	Infección, gota Compromiso neurovascular
Estiloides radial y cubital Huesos del carpo	Palpación por separado Hileras proximal y distal	La hipersensibilidad puede indicar fractura Dolor en la tabaquera anatómica: fractura de escafoides; dolor en el semilunar: síndrome de Kienböck Disociación escafosemilunar
Partes blandas	Hilera proximal Pisiforme 6 correderas dorsales CFT: distal a la estiloides cubital Compartimientos	Hipersensibilidad: artritis pisopiramidal o tendinitis del FCC Dolor sobre la primera corredera: síndrome de DeQuervain El dolor indica lesión del CFT Compartimientos duros/compactos: síndrome compartimental
BALANCE ARTICULAR		
Flexión y extensión	Flexión (hacia la mano), extensión contraria	Normal: flexión 80°, extensión 75°
Desviación radial/cubital Pronación y supinación	En el mismo plano que la palma Flexión del codo 90°: sostener bolígrafo, rotar la muñeca	Normal: radial 15-20°, cubital 30-40° Normal: supinación 90°, pronación 80-90° (sólo 10-15° en la muñeca, el resto en el codo)
NEUROVASCULAR		
Sensitiva	(LT, PP, 2 pt)	
Nervio musculocutáneo (C6)	Región lateral del antebrazo	Su déficit indica lesión del nervio/raíz correspondiente
Nervio cutáneo medial del antebrazo (T1)	Región medial del antebrazo	Su déficit indica lesión del nervio/raíz correspondiente
Motora		
Nervio radial (C6-7)	Extensión de la muñeca contrarresistencia	Debilidad = lesión del ERLC o de la raíz/nervio correspondiente
NIP (C6-7)	Desviación cubital contrarresistencia	Debilidad = lesión del ECC o del nervio/raíz correspondiente
Nervio cubital (C8)	Flexión de la muñeca contrarresistencia	Debilidad = lesión del FRC o del nervio/raíz correspondiente
Nervio mediano (C7)	Flexión de la muñeca contrarresistencia	Debilidad = lesión del FRC o del nervio/raíz correspondiente
Nervio mediano (C6)	Pronación contrarresistencia	Debilidad = lesión del pronador redondo o del nervio/raíz
Musculocutáneo (C6)	Supinación contrarresistencia	Debilidad = lesión del bíceps o del nervio/raíz correspondiente
Reflejos		
C6	Braquiorradial	Hiporreflexia/ausencia indica radiculopatía correspondiente
Pulsos	Radial, cubital	Disminución/ausencia = lesión vascular o compromiso (prueba de Allen)

Enfermedad de DeQuervain

Punto selectivo de dolor sobre la apófisis estiloides del radio y vaina que cubre los tendones



Ganglión



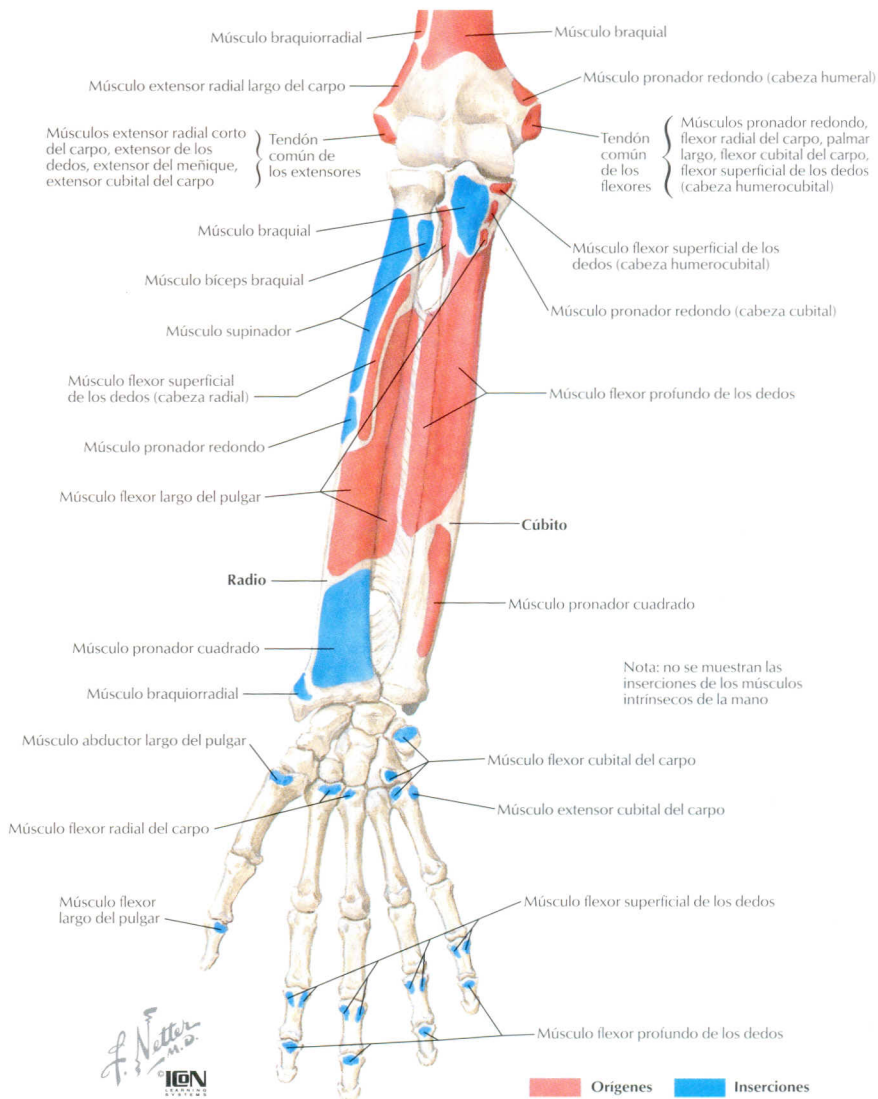
Tumefacción dura, elástica, en ocasiones lobulada sobre el carpo, más prominente con la flexión de la muñeca. La línea de puntos indica el abordaje cutáneo



Prueba de Finkelstein. El médico sujeta el dedo pulgar y los dedos del paciente, sosteniendo el antebrazo con la otra mano; entonces, con un movimiento rápido desvía la mano hacia el lado cubital. Esto provoca un dolor agudo sobre la apófisis estiloides del radio en la enfermedad de DeQuervain

F. Netter M.D.
ION

EXPLORACIÓN	TÉCNICA	APLICACIÓN CLÍNICA
PRUEBAS ESPECIALES		
Phalen	Máxima flexión de ambas muñecas durante unos minutos	Reproducción de los síntomas (hormigueo o parestesias): Síndrome del túnel carpiano (STC)
Tinel	Golpear la región volar de la muñeca (túnel carpiano/LTC)	Dolor; el entumecimiento sugiere compresión del nervio mediano (STC)
Finkelstein	Cerrar el puño con el pulgar dentro; entonces, realizar desviación cubital	Dolor sobre la primera corredera dorsal (ALP, ECP) indicativo de tenosinovitis de DeQuervain
Watson	Empujar el escafoides en dirección AP con la muñeca en desviación radial o cubital	Es positivo si el escafoides se subluxa o se reduce: lesión del ligamento del carpo
Allen	Comprimir la arteria radial y cubital, abrir y cerrar el puño dejando una única arteria sin comprimir	La ausencia o disminución de la coloración de la mano indica compromiso arterial



CÚBITO PROXIMAL RADIO PROXIMAL
ANTERIOR

INSERCIONES

Braquial

ORÍGENES

Flexor superficial de los dedos (1 cabeza)
Pronador redondo
Flexor largo del pulgar
Supinador

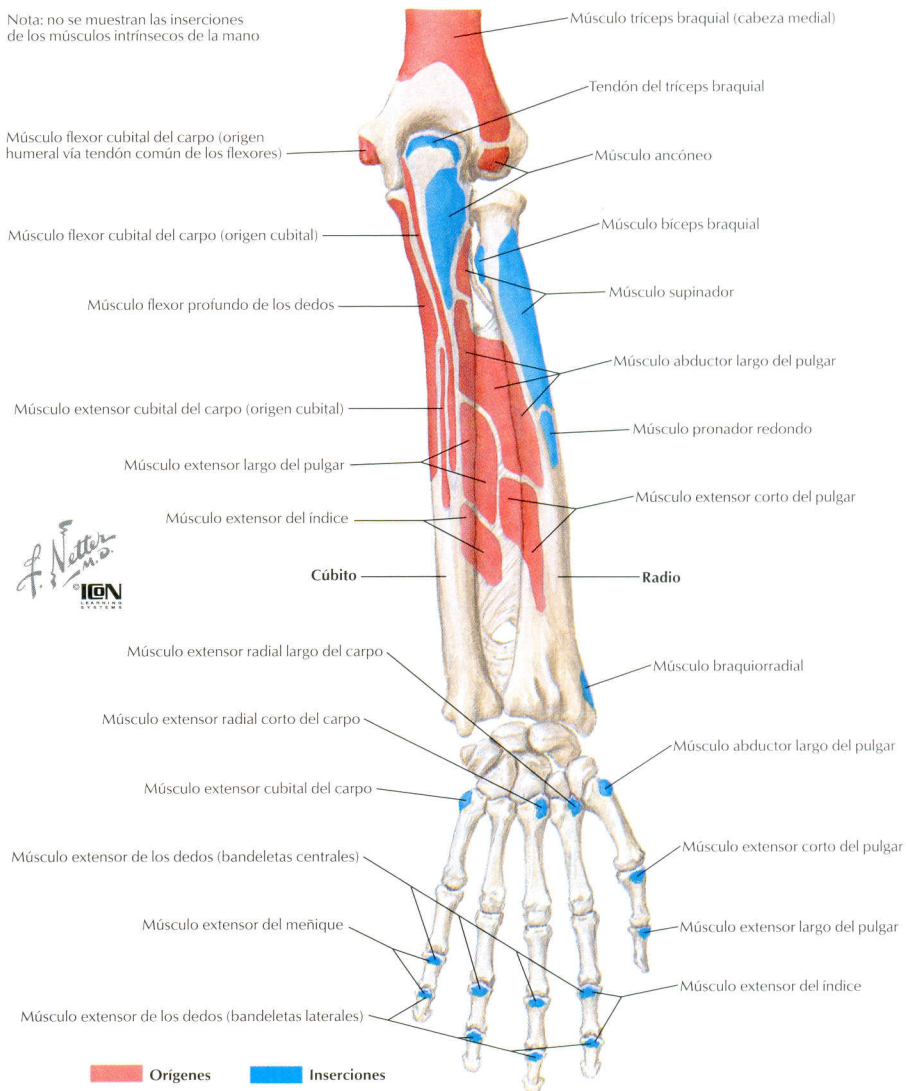
INSERCIONES

Bíceps
Supinador

ORÍGENES

Flexor superficial de los dedos (1 cabeza)

Nota: no se muestran las inserciones de los músculos intrínsecos de la mano



CÚBITO PROXIMAL RADIO PROXIMAL

POSTERIOR

INSERCIONES

Tríceps

Anconeo

ORÍGENES

Flexor cubital del carpo

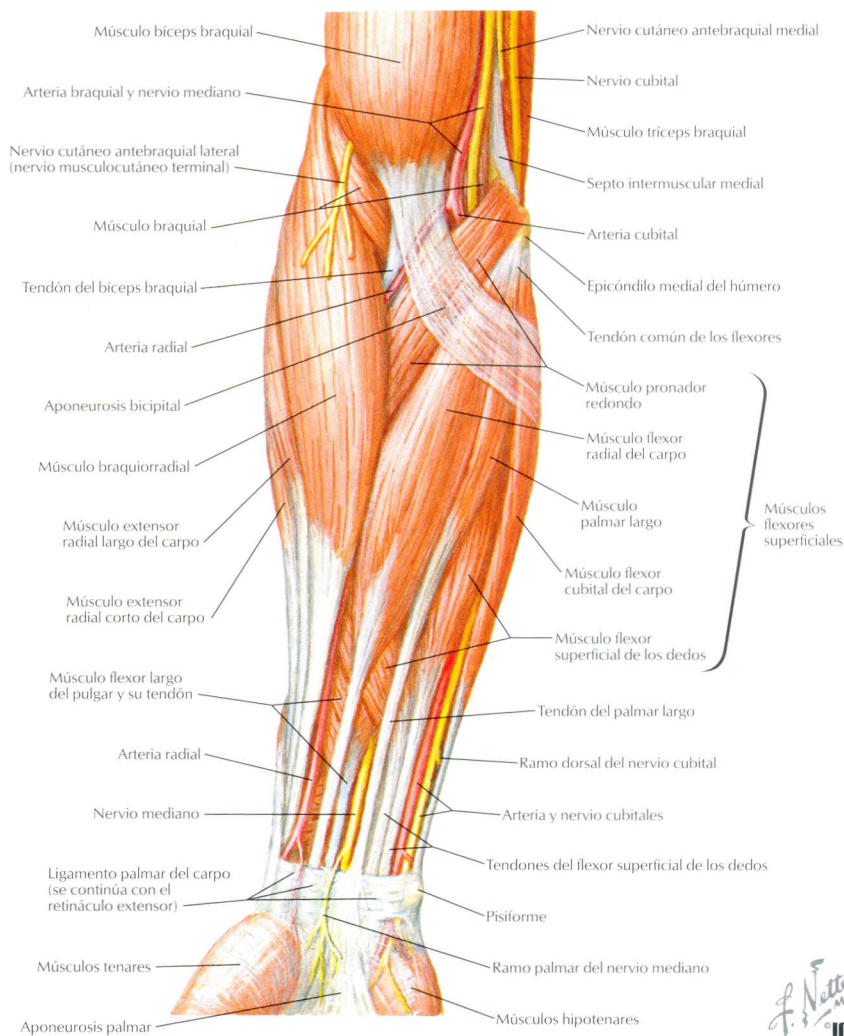
INSERCIONES

Bíceps

Supinador

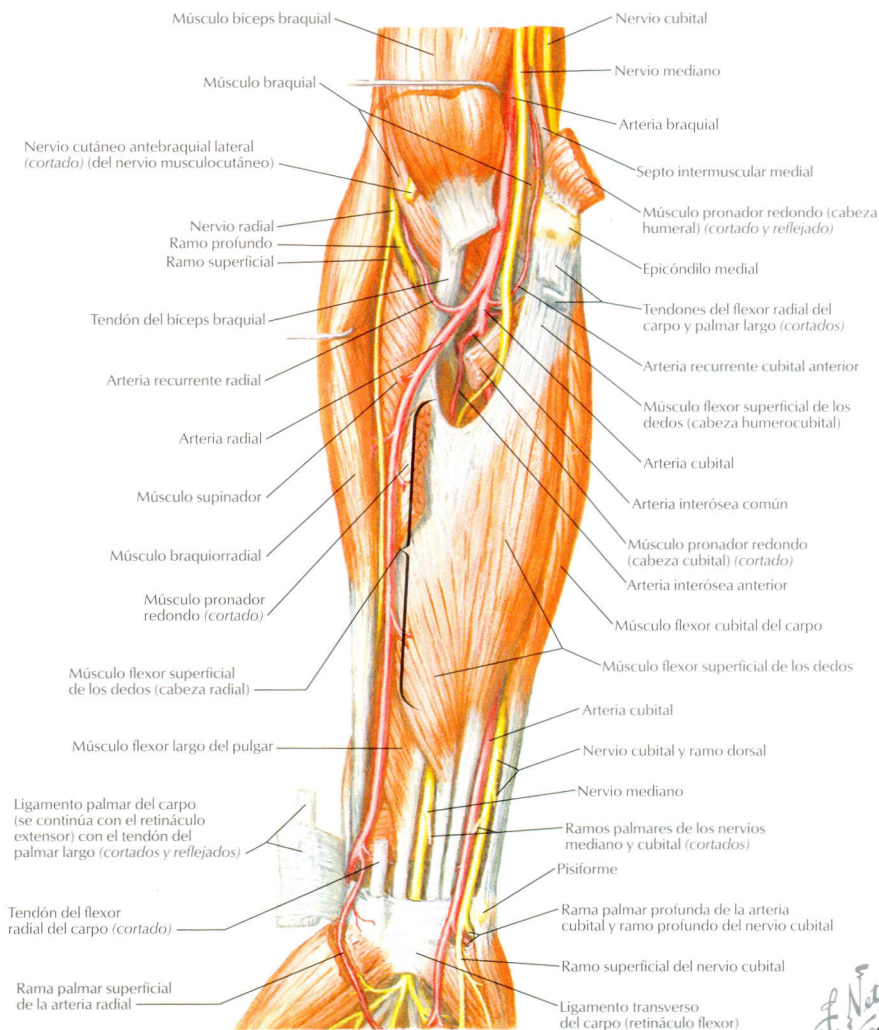
ORÍGENES

NINGUNO



F. Netter M.D.
© 1997

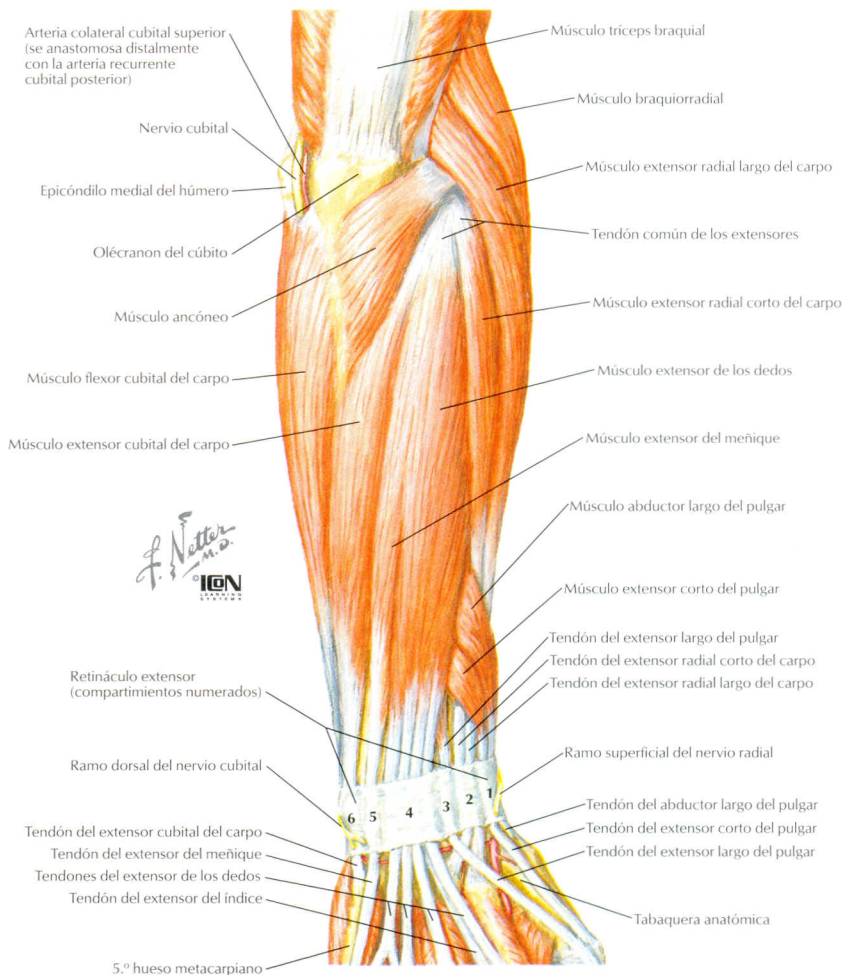
MÚSCULO	ORIGEN	INSERCIÓN	INERVACIÓN	ACCIÓN	COMENTARIO
Pronador redondo (PR)	Epicóndilo medial y apófisis coronoides	Región lateral del radio-1/3 medio	Mediano	Pronador y flexor del antebrazo	El NIA puede atraparse (síndrome del NIA) Arteria radial inmediatamente lateral
Flexor radial del carpo (FRC)	Epicóndilo medial	Base del 2.º y 3.º metacarpiano	Mediano	Flexor de la muñeca, desviación radial	
Palmar largo (PL)	Epicóndilo medial	Retináculo flexor y aponeurosis palmar	Mediano	Flexor de la muñeca	Usado como plastia tendinosa; ausencia congénita 10%
Flexor cubital del carpo (FCC)	Epicóndilo medial, región posterior del cúbito	Pisiforme, gancho del ganchoso, 5.º metacarpiano	Cubital	Flexor de la muñeca, desviación cubital	Es el más potente flexor de la muñeca



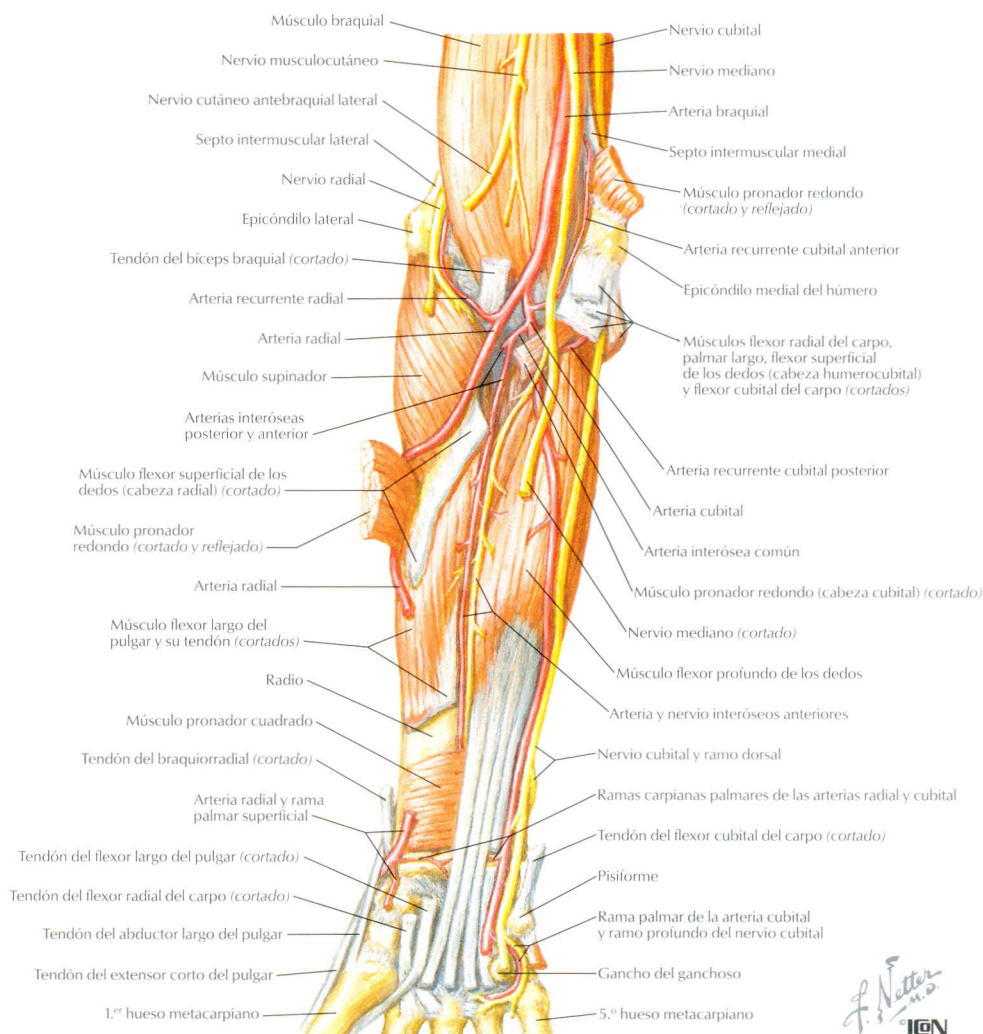
F. Netter M.D.
ICM

MÚSCULO	ORIGEN	INSERCIÓN	INERVACIÓN	ACCIÓN	COMENTARIO
Flexor superficial de los dedos (FSD)	1. Epicóndilo medial, apófisis coronoides 2. Radio anteroproximal	Falange media de los dedos (excepto el pulgar)	Mediano	Flexor de IP (también flexor de los dedos y la mano)	El test «sublimus» lo aislará y valorará su función

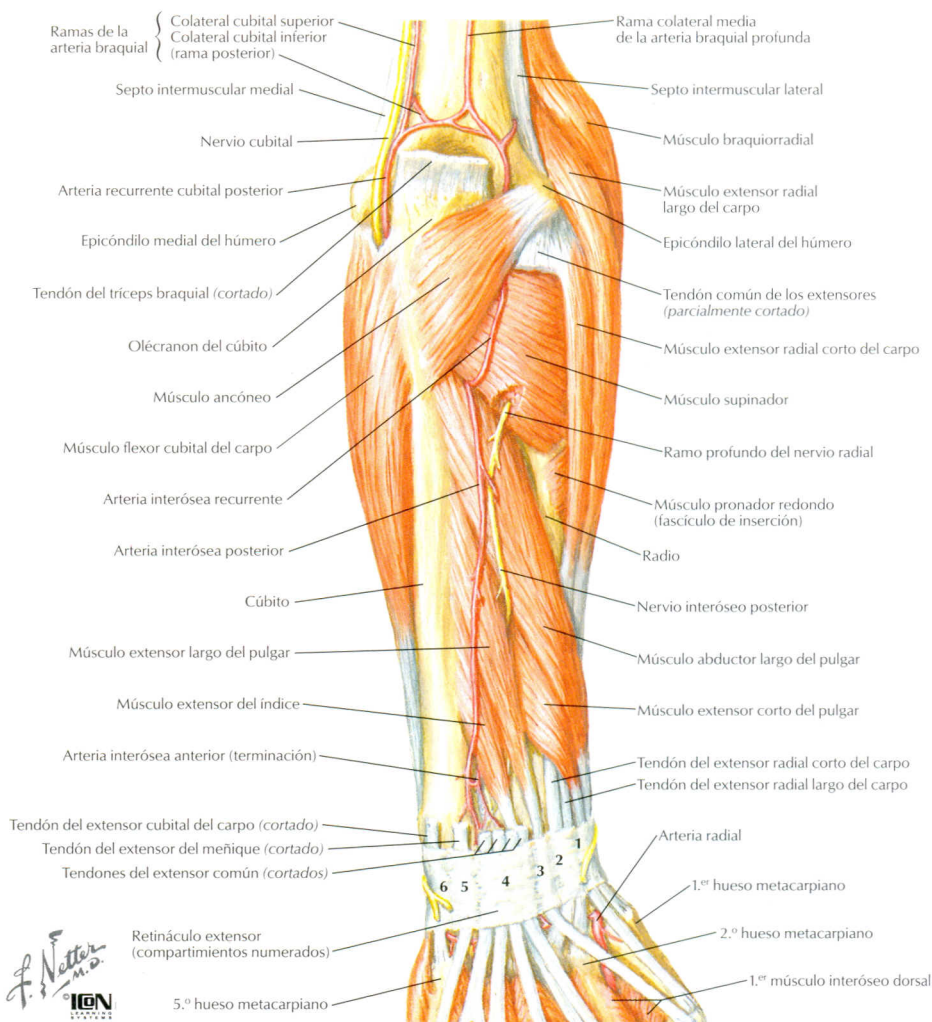
MÚSCULOS DEL COMPARTIMIENTO POSTERIOR: EXTENSORES SUPERFICIALES



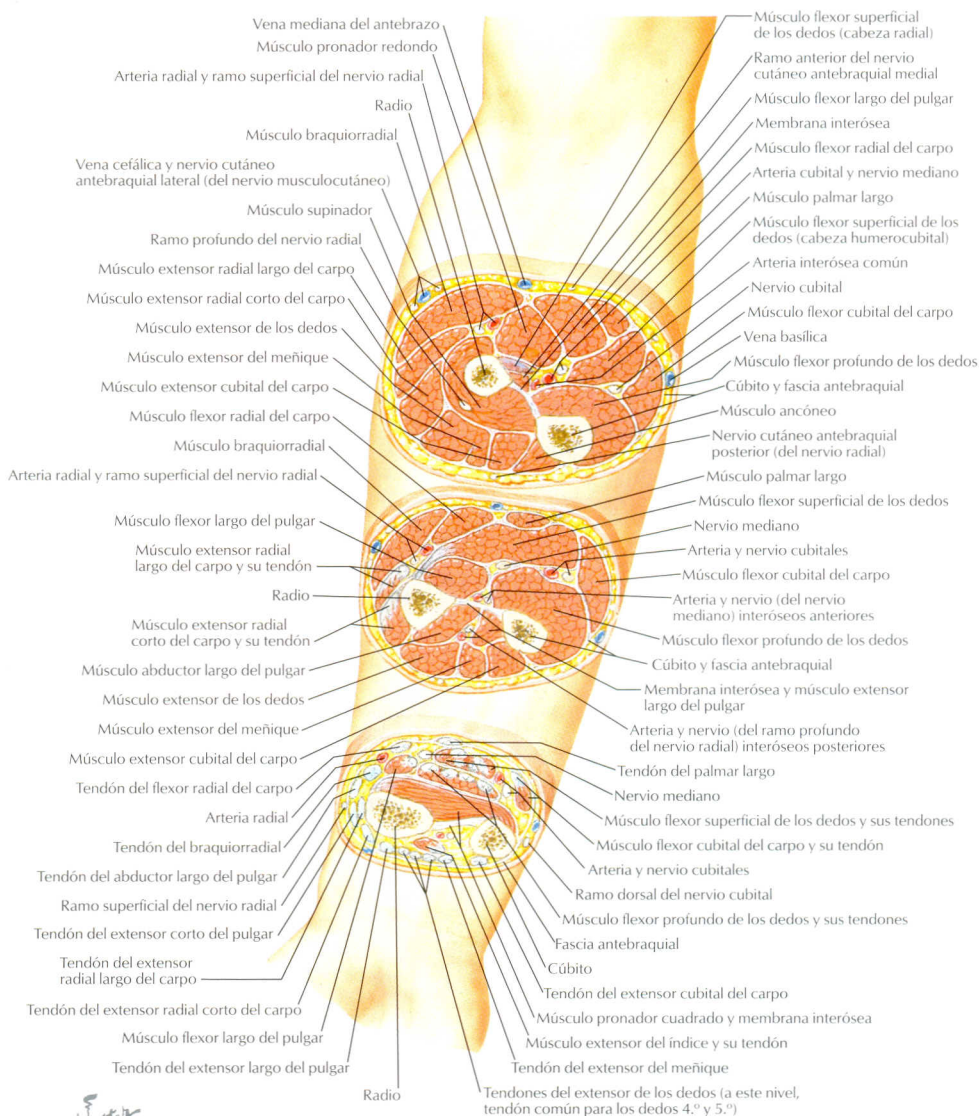
MÚSCULO	ORIGEN	INSERCIÓN	INERVACIÓN	ACCIÓN	COMENTARIO
Ancóneo	Región posterior del epicóndilo lateral	Cara post. de la región proximal del cúbito	Radial	Extensor del antebrazo	Debe retraerse en el abordaje de Kocher
Paquete móvil (3)					
Braquiorradial (BR)	Región supracondílea lateral del húmero	Cara lateral de la región distal del radio	Radial	Flexor del antebrazo	Es una fuerza deformante en las fracturas del radio
Extensor radial largo del carpo (ERLC)	Región supracondílea lateral del húmero	Base del 2.º MC	Radial	Extensor de la muñeca	Se utiliza para transferencias tendinosas
Extensor radial corto del carpo (ERCC)	Epicóndilo lateral	Base del 3.º MC	Radial	Extensor de la muñeca	Se inflama en el codo de tenista; puede comprimir el NIP
Extensor de los dedos (ED)	Epicóndilo lateral	Bandeletas sagitales, expansión central, falange distal	Radial-NIP	Extensor de los dedos	Avulsión distal; produce el dedo «en martillo»
Extensor del meñique (EM)	Epicóndilo lateral	Bandeletas sagitales, expansión central, falange distal del meñique	Radial-NIP	Extensor del meñique	En la 5.ª corredera
Extensor cubital del carpo (ECC)	Epicóndilo lateral	Base del 5.º MC	Radial-NIP	Extensor y aductor de la mano	Debe retraerse en el abordaje de Kocher

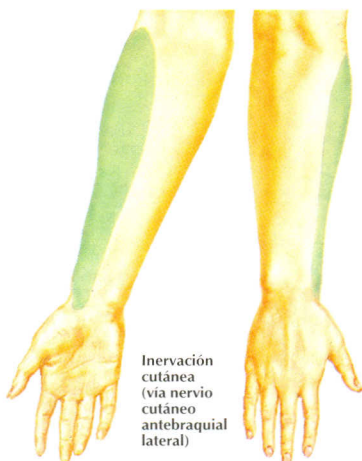


MÚSCULO	ORIGEN	INSERCIÓN	INERVACIÓN	ACCIÓN	COMENTARIO
Flexor profundo de los dedos (FPD)	Región anterior del cúbito y membrana interósea	Falange distal (DI/Dmed) Falange distal (DA/DM)	Mediano/NIA Cubital	Flexor IFD (también flexor del dedo y la mano)	Avulsión: Jersey finger FPD y FLP se encuentran afectados en las contracturas de Volkmann
Flexor largo del pulgar (FLP)	Región anterior del radio y apófisis coronoides	Falange distal del pulgar	Mediano/NIA	Flexor del pulgar (IF)	
Pronador cuadrado (PC)	Cara medial de la región distal del cúbito	Cara anterior de la zona distal del radio	Mediano/NIA	Prona el antebrazo	Pronador primario (inicia la pronación)



MÚSCULO	ORIGEN	INSERCIÓN	INERVACIÓN	ACCIÓN	COMENTARIO
Supinador	Región posteromedial del cúbito	Región proximal y lateral del radio	Radial-NIP	Supinador del antebrazo	Puede comprimir el NIP
Abductor largo del pulgar (ALP)	Radio/cúbito región posterior	Base del 1.º MC	Radial-NIP	Abductor y extensor del pulgar (CMC)	1.ª corredera: enfermedad de DeQuervain
Extensor corto del pulgar (ECP)	Región posterior del cúbito	Base de la falange proximal del pulgar	Radial-NIP	Extensor del pulgar (MCF)	Lo mismo que el anterior; límite radial de la tabaquera anatómica
Extensor largo del pulgar (ELP)	Región posterior del cúbito	Base de la falange distal del pulgar	Radial-NIP	Extensor del pulgar (IF)	El tendón realiza un giro de 45° sobre el tubérculo de Lister
Extensor propio del índice (EPI)	Región posterior del cúbito	Bandeletas sagitales y central, falange distal del dedo índice	Radial-NIP	Extensor del dedo índice	Usado en tenoplastias





Visión anterior (palmar)

Visión posterior (dorsal)

INFRACLAVICULAR

FASCÍCULO LATERAL

1. **Musculocutáneo** (C5-T7): únicamente sensitivo en el antebrazo
Sensitiva: región lateral del antebrazo (mediante el nervio cutáneo lateral del antebrazo)
Motora: NINGUNA (en el antebrazo)

FASCÍCULO MEDIAL

2. **Cutáneo medial del antebrazo** (cutáneo antebraquial lateral) (C8-T1): discurre junto a la vena basilíca
Sensitiva: Región anterior del brazo y med. del antebrazo
Motora: NINGUNA
3. **Cubital** (C7-T1): discurre en su túnel tras el epicóndilo med. y **entre las dos cabezas de origen del ECC***; a continuación se sitúa bajo el FCC* y se dirige hacia el canal de Guyon*
Sensitiva: NINGUNA (en el antebrazo)
Motora: Flexor cubital del carpo
Flexor profundo de los dedos (dedos 4.º y 5.º)

FASCÍCULOS MEDIAL Y LATERAL

4. **Mediano** (C5-T1): **discurre entre las dos cabezas del PR*, a través del ligamento de Struthers* y el lacertus fibrosus***, bajo el FSD dentro del túnel carpiano* (anastomosis de **Martin Gruber**: ramos motores del fascículo lateral que discurren con el nervio mediano y se unen distalmente al cubital). En la muñeca, el mediano se divide en su ramo motor y palmar (discurre entre el FRC/PL: **riesgo en el STC**)

Sensitiva: NINGUNA (en el antebrazo)
Motora: **COMPARTIMIENTO ANTERIOR DEL ANTEBRAZO**

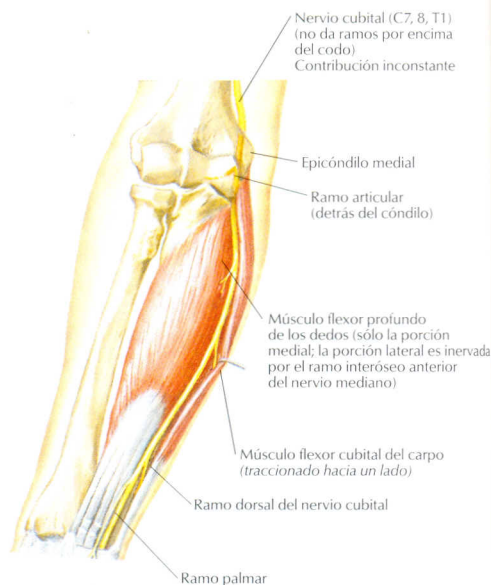
Flexores superficiales

Pronador redondo (PR)
Flexor radial del carpo (FRC)
Palmar largo (PL)
Flexor superficial de los dedos (FSD)
(a veces considerado un flexor «medio»)

Flexores profundos N. interóseo anterior (NIA).

El PR comprime el NIA en el antebrazo; se lesiona en las **fracturas supracondíleas**
Flexor profundo de los dedos (dedos 2.º y 3.º)
Flexor largo del pulgar (FLP)
Pronador cuadrado (PC)

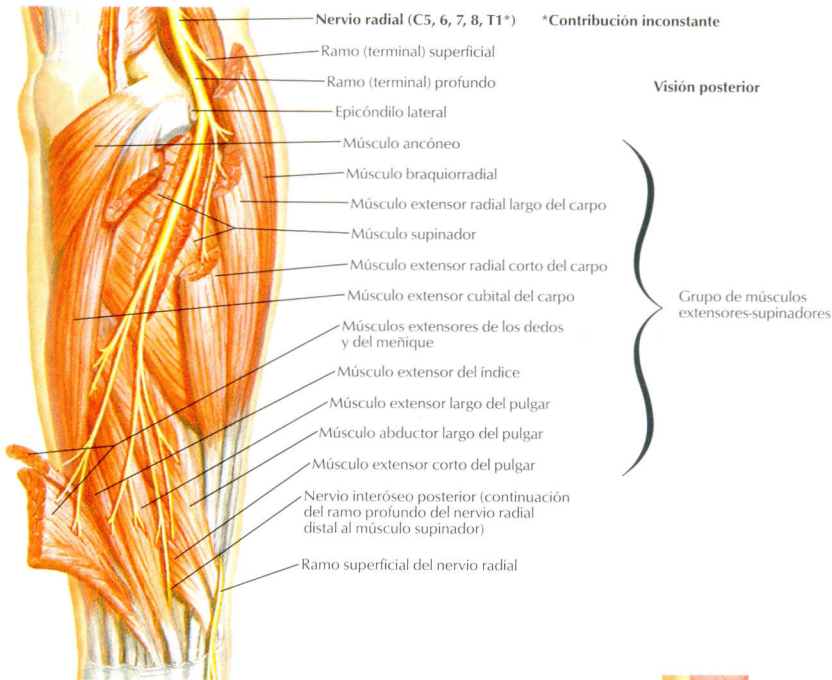
Músculos inervados por el nervio cubital



Músculos inervados por el nervio mediano



*Posible punto de compresión nerviosa.



INFRACLAVICULAR FASCÍCULO POSTERIOR

5. **Radial** (C5-T1): se divide en dos ramos:
a) ramo superficial (sensitivo) y b) ramo profundo (motor),
que perfora el supinador, pasando a denominarse NIP,

Sensitiva: Región posterior del antebrazo, mediante
el nervio cutáneo posterior del antebrazo
Motora: PAQUETE MOVIL (3), **Nervio radial** (ramo
profundo); discurre alrededor del radio en el
compartimiento posterior; al pasar la arcada
de Frohse* se denomina NIP

Extensores superficiales

Braquiorradial (BR)
Extensor radial largo del carpo (ERLC)
Extensor radial corto del carpo (ERCC)

COMPARTIMIENTO POSTERIOR:

NIP-nervio interóseo posterior

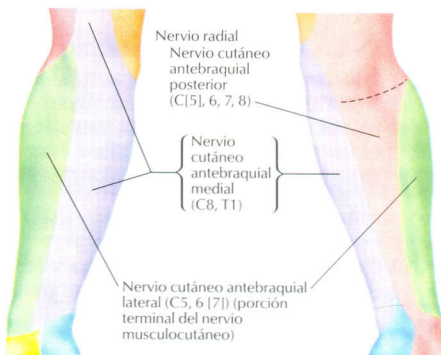
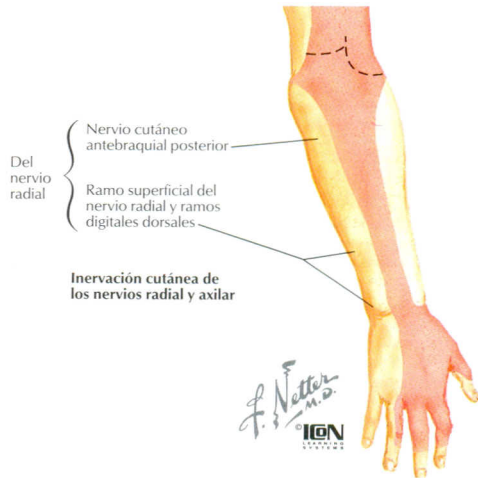
Múltiples lugares de compresión: 1) tejido
fibroso anterior en la cabeza del radio;
2) vasos radiales recurrentes de Henry;
3) arcada de Frohse; 4) tendón distal
del supinador, y 5) ERCC

Extensores superficiales

Extensor cubital del carpo (ECC)
Extensor del muñequ (EM)
Extensor de los dedos (ED)

Extensores profundos

Supinador
Abductor largo del pulgar
Extensor largo del pulgar
Extensor corto del pulgar
Extensor del índice



*Posible punto de compresión nerviosa.

ARTERIA	TRAYECTO	RAMAS
<i>Radial</i>	Sobre el pronador redondo, bajo el braquiorradial	Ramas recurrentes radiales (<i>vasos de Henry</i>)
<i>Cubital</i>	Sobre el FPD, bajo el FSD	Recurrente cubital, rama anterior
		Recurrente cubital, rama posterior
		Interósea común
		Interósea anterior
		Interósea posterior
		Interósea recurrente
		Ramas musculares

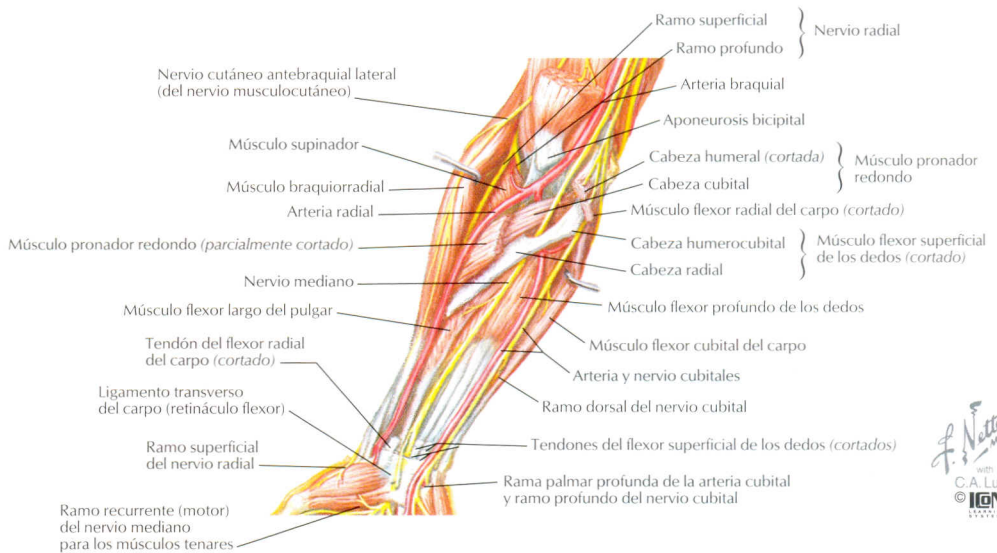
Véase capítulo 3 para las anastomosis arteriales de la red periarticular del codo



La vascularización del hueso escafoides penetra tanto por la región proximal del hueso como por la distal



En muchas personas, la vascularización penetra únicamente por la región distal del escafoides. La fractura a través del cuello puede producir una necrosis de la porción proximal



Netter
C.A. LUCE
© IGM

ARTERIA	TRAYECTO	RAMAS	COMENTARIO
<i>Radial</i>	Volar: lateral al FRC Dorsal: entre el ELP y ALP/ECP	3 ramas Rama palmar del carpo Rama dorsal del carpo Rama palmar superficial	Localizadas en la tabaquera anatómica Profunda a los tendones flexores Profunda a los tendones extensores Anastomosis con la arteria cubital; forma el arco palmar superficial Rama terminal de la arteria <i>radial</i>
<i>Cubital</i>	Sobre el LTC, lateral al pisiforme	Arco palmar profundo 4 ramas Rama palmar del carpo Rama dorsal del carpo Rama palmar profunda Arco palmar superficial	Profunda al FSD Profunda a los tendones extensores Anastomosis con la arteria <i>radial</i> ; forma el arco palmar profundo Rama terminal de la arteria <i>cubital</i>
Prueba de Allen	1. Comprimir las arterias radial y cubital en la muñeca 2. El paciente debe abrir y cerrar el puño varias veces 3. Liberar la compresión de una de las arterias 4. Liberar la compresión de la otra arteria		La perfusión de la mano («coloración») tras la compresión muestra la circulación de ambos arcos y la circulación colateral

Artritis reumatoide



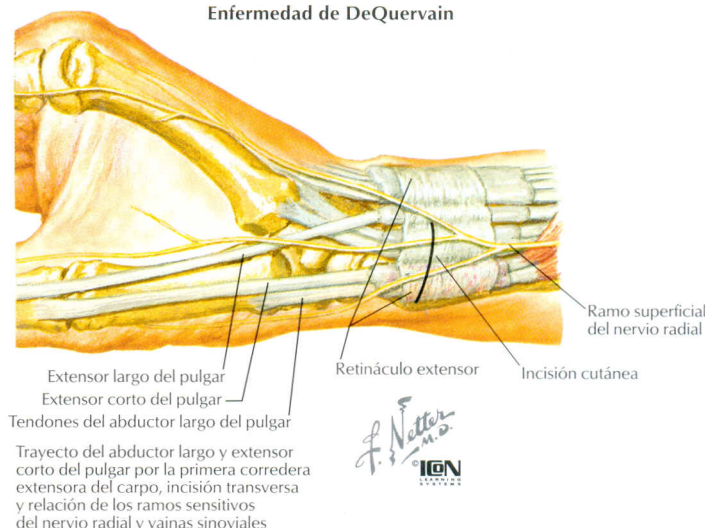
Radiografía que muestra el estrechamiento de las articulaciones interfalángicas proximales, erosión del carpo y la articulación de la muñeca, osteoporosis y deformidades digitales



El mismo paciente tras 14 años. El carpo, la articulación de la muñeca y la cabeza del cúbito están completamente erosionados

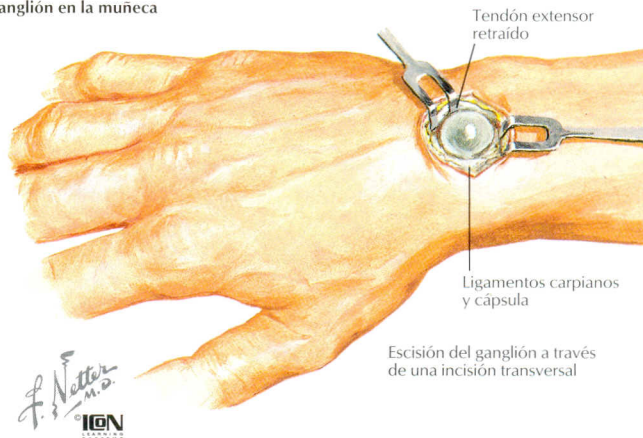
DESCRIPCIÓN	Hx y EF	PRUEBAS COMPLEMENTARIAS/ HALLAZGOS	TRATAMIENTO
ARTRITIS			
OSTEOARTRITIS/PATOLOGÍA DEGENERATIVA ARTICULAR			
<ul style="list-style-type: none"> «Erosiones y fisuras»: pérdida de cartílago articular 1.º o 2.º (p. ej., traumatismo) Se observa en CELA 	<p>Hx: ancianos, mujeres, dolor (empeora con la actividad)</p> <p>EF: tumefacción, disminución del BA</p>	<p>RX: hallazgos OA, osteófitos, pérdida del espacio articular, esclerosis</p>	<ol style="list-style-type: none"> AINE, entablillado, infiltración de esteroides Artrodesis (disminución del dolor)
ENFERMEDAD DE DEQUERVAIN			
<ul style="list-style-type: none"> Tenosinovitis estenosante de la 1.ª corredora dorsal (ALP/ECP) 	<p>Hx: antecedentes de práctica de golf o tenis. Dolor, tumefacción</p> <p>EF: prueba de Finkelstein +</p>	<p>RX: posible calcificación de los tendones</p> <p>Laboratorio: ácido úrico (descartar gota)</p>	<ol style="list-style-type: none"> Férula, AINE, infiltración Cirugía
ARTRITIS REUMATOIDE			
<ul style="list-style-type: none"> Enfermedad inflamatoria sistémica que afecta a la sinovial y destruye la articulación Con frecuencia localizada en la muñeca Asociada con tenosinovitis y STC 	<p>Hx: dolor, rigidez (empeoramiento matutino)</p> <p>EF: tumefacción de la articulación; disminución del BA, desviación cubital en MCF</p>	<p>RX: seriadas de mano: destrucción articular y erosión</p> <p>Laboratorio: FR, ANA, VSG, RSL, ácido úrico</p>	<ol style="list-style-type: none"> Tratamiento médico, entablillado articular Sinovectomía (1 sola articulación) Transferencia tendinosa o reparación Artrodesis o artroplastia
INESTABILIDAD			
CELA: COLAPSO ESCAFOLUNAR AVANZADO			
<ul style="list-style-type: none"> Artritis degenerativa debida a inestabilidad (ligamento EL lesionado o fractura/lesión del escafoides) 	<p>Hx/EF: dolor crónico, historia antigua de traumatismo</p>	<p>RX: OA radioescafoidea: (articulación LC también afectada, articulación radiosemilunar respetada)</p>	<ol style="list-style-type: none"> Escafoidectomía, artrodesis capitolunar Carppectomía de la hilera proximal o artrodesis
DISOCIACIÓN ESCAFOLUNAR: (estática/dinámica)			
<ul style="list-style-type: none"> Lesión del ligamento EL/LREC: semilunar desplazado dorsalmente (ISID, inestabilidad segmentaria intercalada dorsal) Lesión del LP: semilunar desplazado volarmente (ISIV, ISI volar) 	<p>Hx: caída (lesión en extensión y supinación de la muñeca)</p> <p>EF: prueba de Watson +</p>	<p>RX: espacio EL > 3 mm = signo de «Terry Thomas». Puño cerrado: incrementa la separación del EL</p>	<p>Agudo: reducción cerrada, férula/yeso. Reparación del ligamento si la lesión es completa</p> <p>Crónico: artrodesis ETT o artrodesis de muñeca</p>

Enfermedad de DeQuervain



DESCRIPCIÓN	Hx y EF	PRUEBAS COMPLEMENTARIAS/ HALLAZGOS	TRATAMIENTO
SÍNDROME DEL NIA (nervio interóseo anterior)			
<ul style="list-style-type: none"> NIA atrapado bajo: 1. PR 2. FSD 3. FRC 	<p>Hx: sin hallazgos sensitivos</p> <p>EF: disminución en la flexión del pulgar, sin signo «OK» (signo Kiloh-Nevin +)</p>	<p>RX: descartar otras patologías</p>	<ol style="list-style-type: none"> Tratamiento conservador Cirugía si no se resuelve
SÍNDROME DEL TÚNEL CARPIANO (STC)			
<ul style="list-style-type: none"> Nervio mediano atrapado en el túnel carpiano Atrapamiento nervioso más frecuente Asociado a enfermedades metabólicas (diabetes mellitus, embarazo, enfermedad tiroidea) 	<p>Hx: movimientos repetitivos, dolor nocturno, parestesias, debilidad</p> <p>EF: atrofia de la musculatura tenar, prueba de Tinel +, prueba de Phalen +</p>	<p>RX: descarta otra patología</p> <p>EMG/ECN: localiza la lesión</p>	<ol style="list-style-type: none"> Modificación de la actividad Férula, AINE, infiltración de corticoides Descompresión quirúrgica del túnel carpiano (evitar el ramo palmar)
SÍNDROME DEL NIP (parálisis «del sábado noche»)			
<ul style="list-style-type: none"> NIP atrapado por: 1. supinador (más frecuente en la región proximal); 2. arcada de Frohse; 3. vasos recurrentes de Henry; 4. arcadas fibrosas, y 5. ERCC 	<p>Hx: +/- dolor</p> <p>EF: sin hallazgos sensitivos. Muñeca caída, disminución de la extensión digital y de la muñeca</p>	<p>RX: descarta otra patología</p> <p>EMG/ECN: localiza la lesión</p>	<ol style="list-style-type: none"> Observación. Puede remitir Descompresión quirúrgica si persisten los síntomas
SÍNDROME PRONADOR			
<ul style="list-style-type: none"> Nervio mediano atrapado por: 1. PR; 2. ligamento de Struther; 3. Lacertus fibrosus, y 4. FSD 	<p>Hx: dolor en el antebrazo, que se incrementa con la actividad</p> <p>EF: debilidad tenar, pruebas de Tinel y Phalen</p>	<p>RX: descarta otra patología</p> <p>EMG/ECN: localiza la lesión</p>	<ol style="list-style-type: none"> AINE, reposo, férula Liberación quirúrgica después de 3-4 meses
SÍNDROME DEL TÚNEL RADIAL			
<ul style="list-style-type: none"> Atrapamiento del nervio radial en el túnel radial (1 de 4 lugares) 	<p>Hx: dolor en la región lateral del antebrazo</p> <p>EF: sin hallazgos motores ni sensitivos</p>	<p>RX: descarta otras patologías</p>	<ol style="list-style-type: none"> Descartar epicondilitis lateral Modificación de la actividad Exploración quirúrgica/ descompresión
SÍNDROME DEL TÚNEL CUBITAL			
<ul style="list-style-type: none"> Nervio cubital atrapado en el canal de Guyon Puede tener antecedentes traumáticos 	<p>Hx: dolor, entumecimiento, debilidad intrínseca</p> <p>EF: Tinel + del nervio cubital en la muñeca</p>	<p>RX: no procede</p> <p>EMG/ECN: localiza la lesión</p>	<ol style="list-style-type: none"> Modificación de la actividad, reposo, inmovilización Descompresión quirúrgica

Ganglión en la muñeca



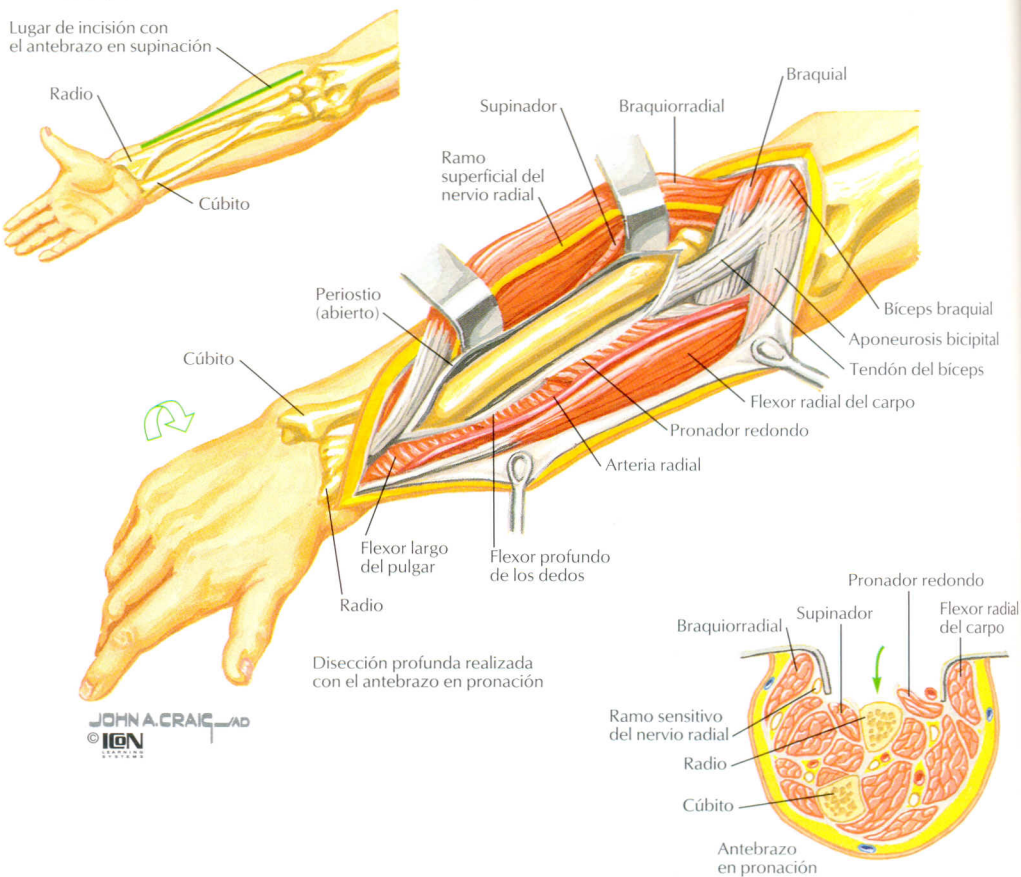
Enfermedad de Kienböck



Radiografía de muñeca que muestra la esclerosis característica del semilunar

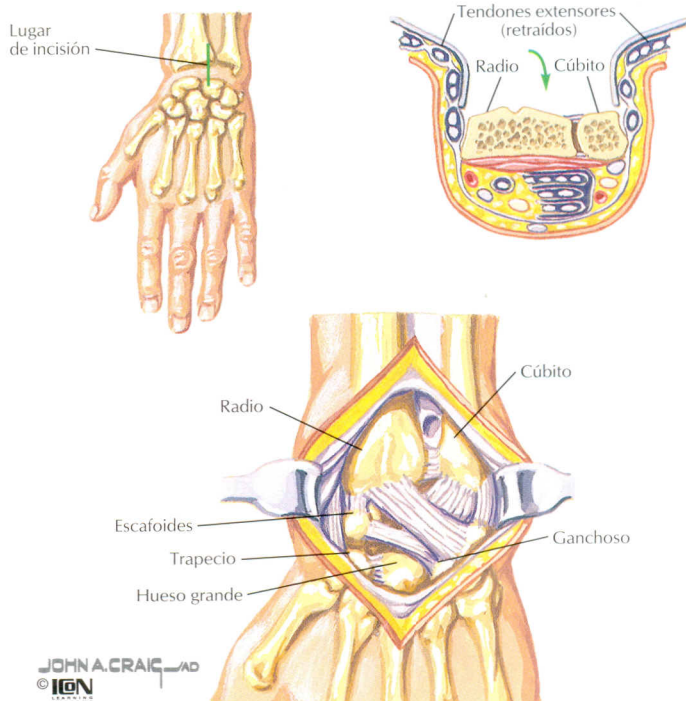
DESCRIPCIÓN	Hx y EF	PRUEBAS COMPLEMENTARIAS/ HALLAZGOS	TRATAMIENTO
GANGLIÓN			
<ul style="list-style-type: none"> Quiste de contenido mucinoso/sinovial Comunica con la articulación Masa más frecuente en la muñeca: <ol style="list-style-type: none"> Dorsal (ES) Volar (ET) 	Hx/EF: circular, masa grande o pequeña a la transluminación, +/- dolor	RX: en las seriadas de mano no hay prueba radiográfica de ganglión	<ol style="list-style-type: none"> Asintomático: reabsorción Sintomático: drenaje o extirpación quirúrgica (junto con pedículo; si no, recidivará)
ENFERMEDAD DE KIENBÖCK			
<ul style="list-style-type: none"> Osteonecrosis del semilunar Traumatismo en la muñeca o cubitus minus 4 estadios: basados en el colapso 	Hx: dolor, tumefacción, rigidez EF: imposibilidad de cerrar el puño	RX: opacidad del semilunar Escáner óseo/RM: confirmará el diagnóstico	<ol style="list-style-type: none"> AINE, férula II/III. Nivelación articular/artrodesis carpiana IV. Carpectomía de la hilera proximal del carpo o artrodesis

Abordaje posterior de antebrazo

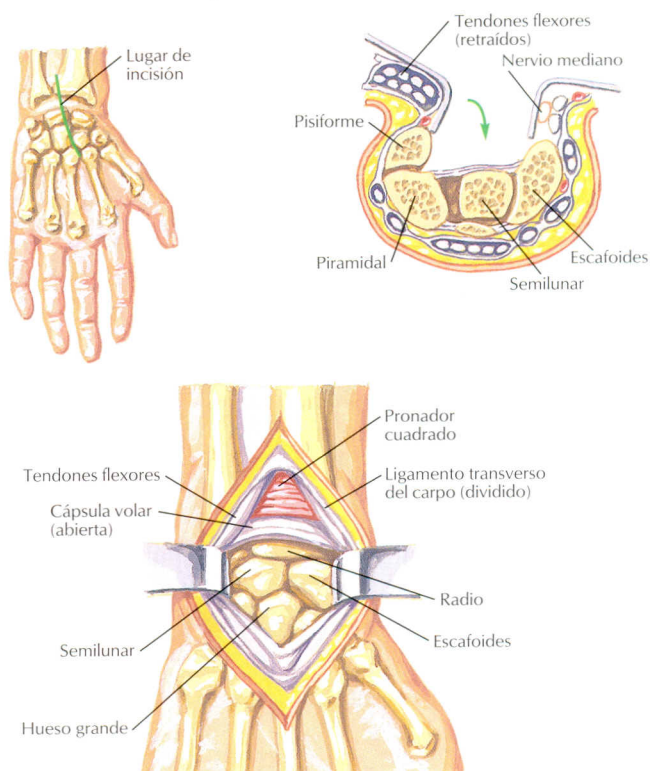


USOS	PLANO INTERNERVIOSO	RIESGOS	COMENTARIO
ANTEBRAZO: ABORDAJE ANTERIOR (HENRY)			
1. RAFI de fracturas 2. Osteotomía 3. Biopsia y tumores óseos	Distal 1. Braquiorradial (radial) 2. FRC (mediano) Proximal 1. Braquiorradial (radial) 2. Pronador redondo (mediano)	1. NIP 2. Ramo sensitivo del nervio radial 3. Arteria radial	1. La arteria recurrente radial (vasos de Henry) y las venas requieren ligadura 2. Si no se ligan, la hemorragia puede producir un síndrome compartimental y/o una contractura de Volkmann
MUÑECA: ABORDAJE DORSAL			
1. Artrodesis 2. Estabilización 3. RAFI de fracturas 4. Carpectomía	3.ª corredera dorsal (ELP) 4.ª corredera dorsal (ED, EI)	Nervio radial (ramo sensitivo)	1. Abordaje perpendicular al retináculo extensor. Los nervios cutáneos permanecen intactos en el tejido graso subcutáneo 2. Si se seccionan estos nervios, pueden producirse neuromas
MUÑECA: ABORDAJE VOLAR			
1. Descompresión del túnel carpiano 2. RAFI de fractura volar 3. Luxación del semilunar 4. Laceración tendinosa	Sin planos	1. Nervio mediano • Ramo palmar cutáneo • Ramo recurrente motor 2. Arco palmar	1. Separar el PL/FLP radialmente Separar el FSD/FPD cubitalmente 2. Disecar el LTC cuidadosamente para evitar la lesión nerviosa

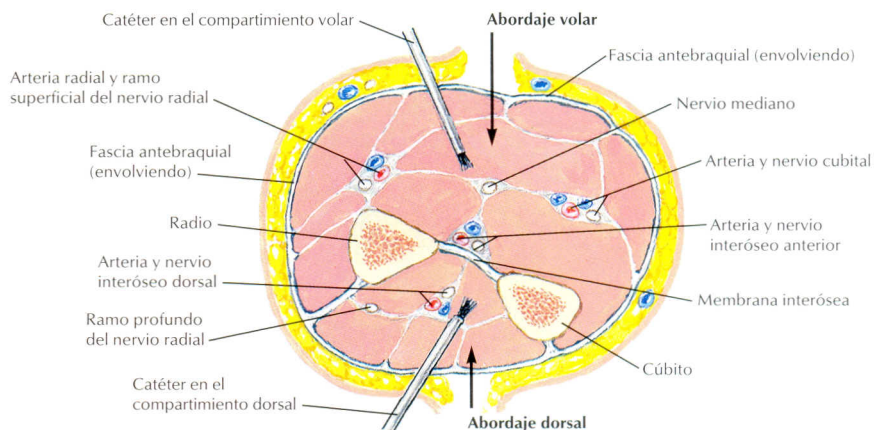
Abordaje dorsal de la articulación de la muñeca



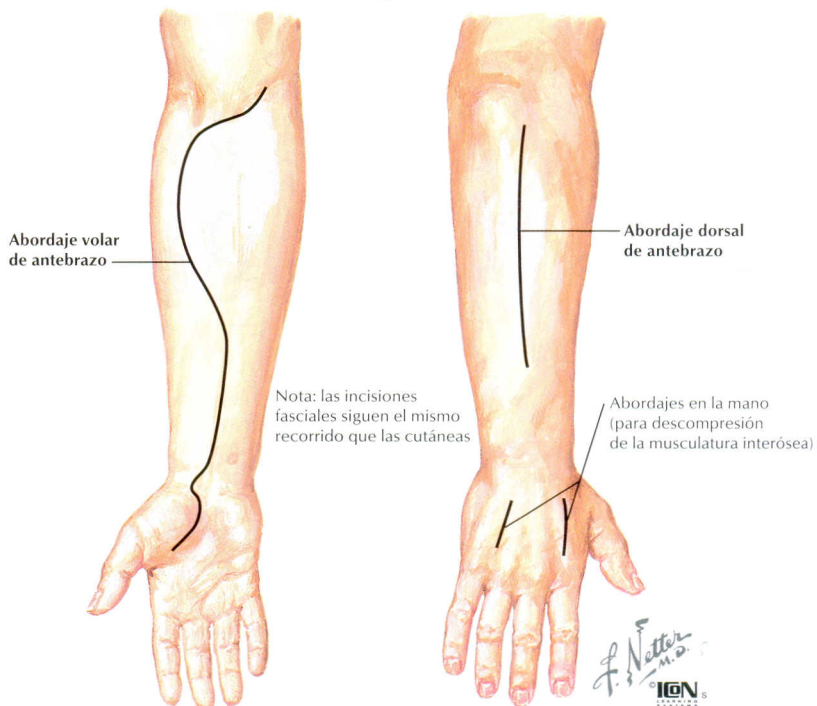
Abordaje volar de la articulación de la muñeca



Abordajes para el síndrome compartimental de antebrazo y mano



Sección a través de la región media del antebrazo



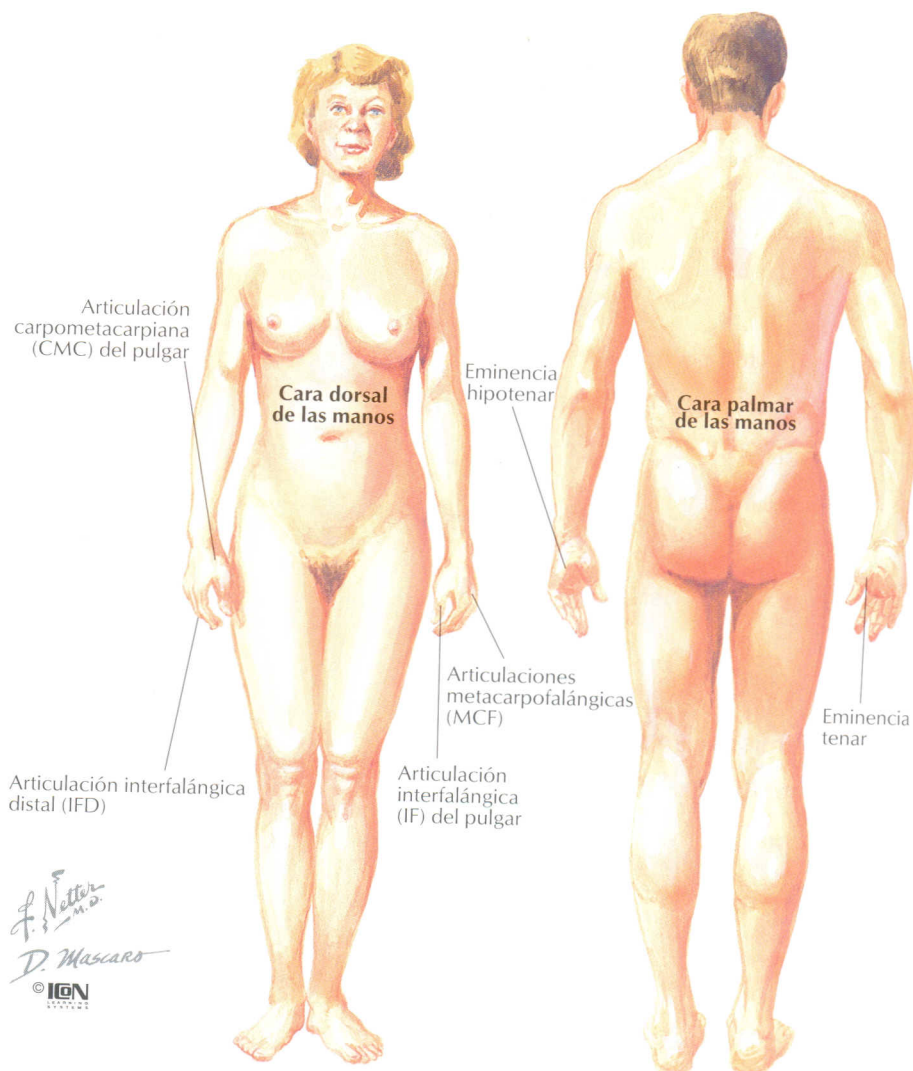
5

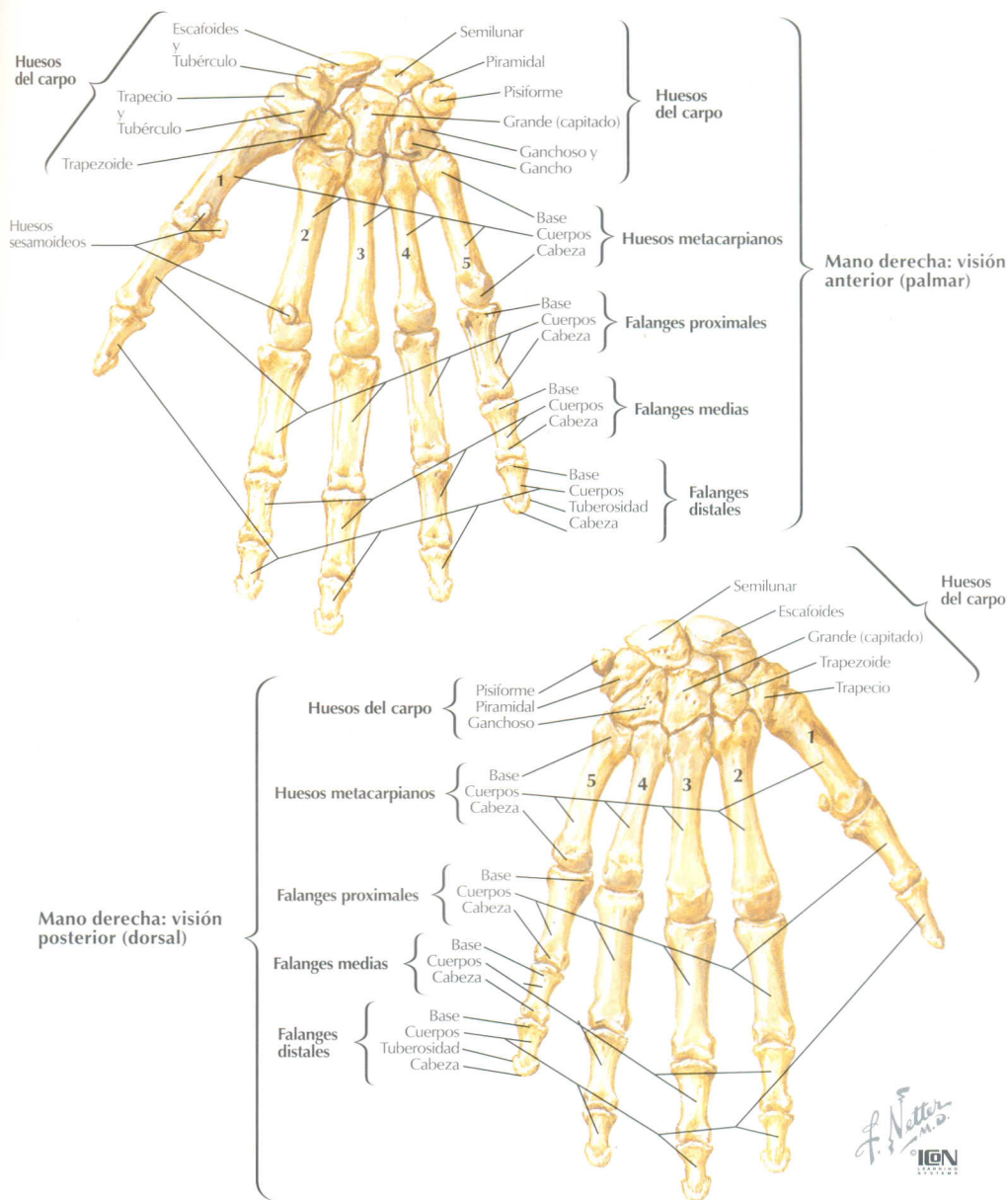
CAPÍTULO

MANO

■ **CONTENIDOS**

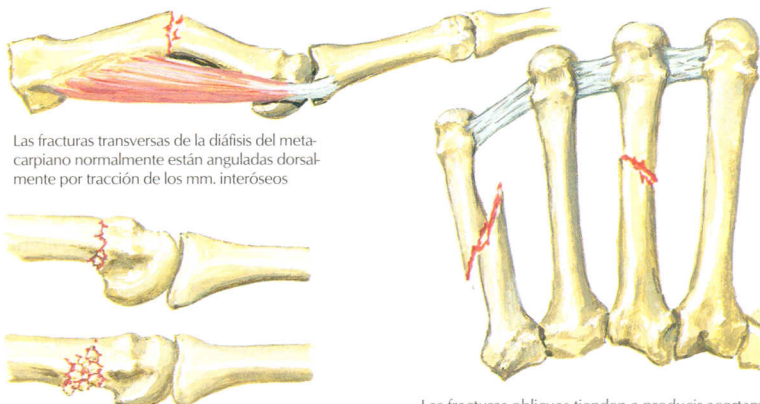
Anatomía topográfica	122
Osteología	123
Traumatismo	124
Articulaciones	125
Vainas y poleas de los tendones flexores	127
Espacios de la mano	128
Dedo	129
Zonas de lesión de los tendones flexores	130
Procedimientos menores	131
Anamnesis y exploración física	132
Músculos	136
Nervios	138
Arterias	140
Patología	141
Abordajes quirúrgicos	145





CARACTERÍSTICAS	OSIFICACIÓN	FUSIÓN	COMENTARIO
METACARPÍANOS (MC)			
• Forma triangular al corte transversal: ofrece dos zonas de inserción volar	Primaria: cuerpo	9 semanas (fetal)	18 años
• La base del 1.º MC tiene forma en silla de montar, lo cual aumenta su movilidad	Epífisis	2 años	• Numerados del 1 al 5 (pulgar a meñique)
			• Únicamente una epífisis por hueso localizada en la cabeza. El MC del pulgar la tiene en la base
FALANGES			
• La cara palmar es casi plana	Primario: cuerpo	8 semanas (fetal)	14-18 años
• Los tubérculos y crestas son lugares de inserción	Epífisis	2-3 años	• 3 falanges para cada dedo excepto para el pulgar
			• Sólo 1 epífisis para cada hueso, localizada en la base
Nombre de los dedos: pulgar, índice, medio, anular y meñique			

Fracturas de los metacarpios

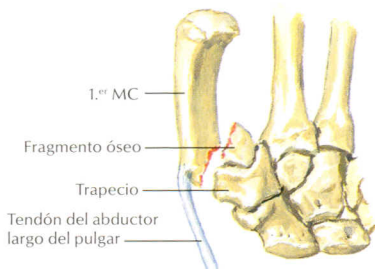


Las fracturas transversas de la diáfisis del metacarpiano normalmente están anguladas dorsalmente por tracción de los mm. interóseos

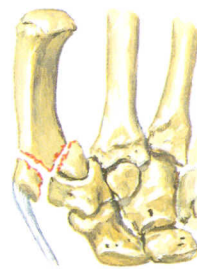
En fracturas del cuello del metacarpiano, la cortical volar se conminuta, produciendo una inestabilidad tras la reducción que con frecuencia requiere fijación

Las fracturas oblicuas tienden a producir acortamiento y rotación de los metacarpios, sobre todo en los dedos índice y meñique debido a que los dedos medio y anular se encuentran estabilizados por el ligamento metacarpiano transverso profundo

Fractura de la base del primer metacarpiano



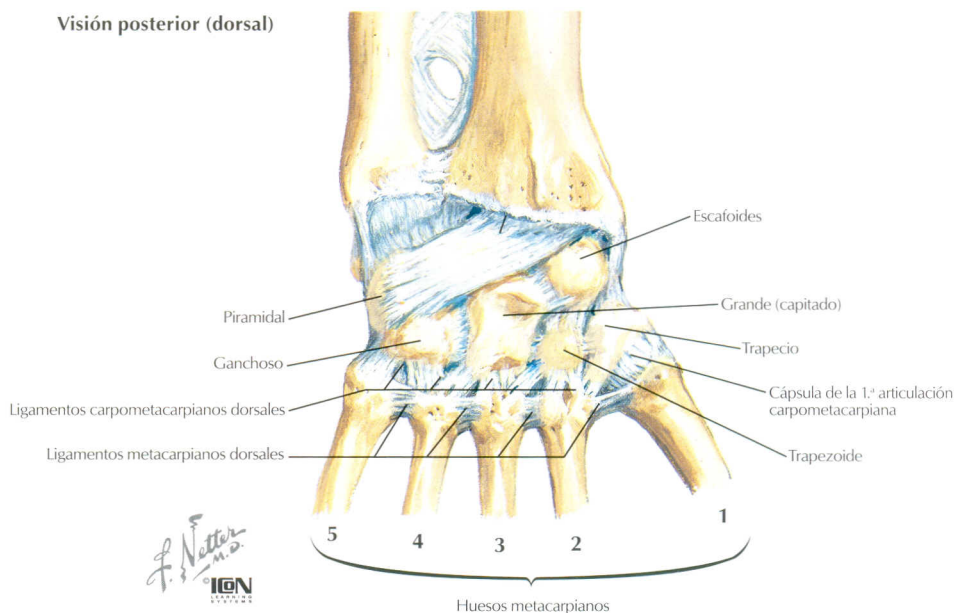
Tipo I (fractura de Bennett). Fractura intraarticular con luxación radial y proximal del 1.º MC. Se desprende un fragmento óseo triangular



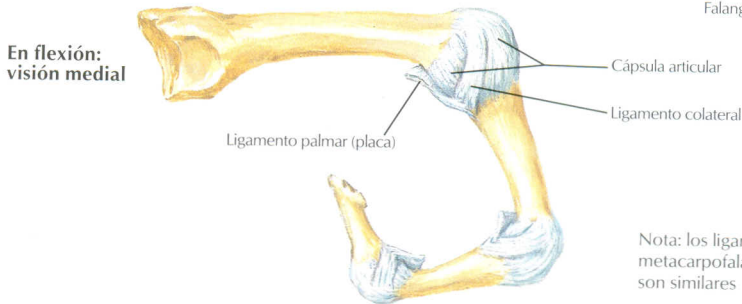
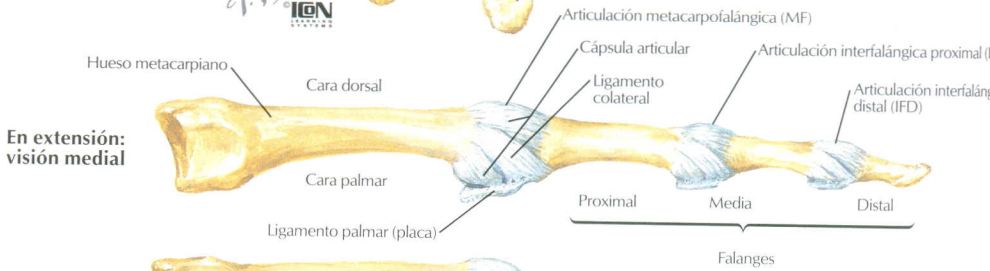
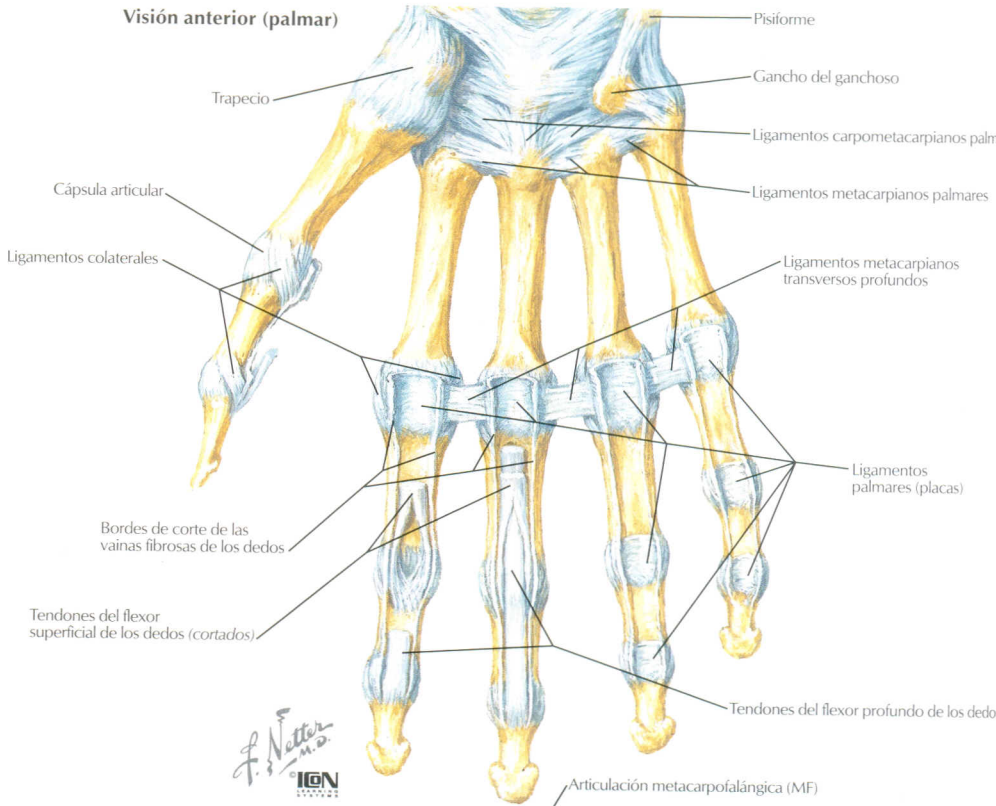
Tipo II (fractura de Rolando). Fractura intraarticular en forma de Y

DESCRIPCIÓN	EVALUACIÓN	CLASIFICACIÓN	TRATAMIENTO
FRACTURAS DE LOS METACARPANOS			
<ul style="list-style-type: none"> Frecuentes en adultos El 5.º MC es el más frecuente (fractura del boxeador en el cuello) Base del 1.º MC. Fractura de Bennett y Rolando: desplazadas e intraarticulares Se permite angulación en Fx del 4.º y 5.º MC, no del 2.º y 3.º 	<p>HX: traumatismo. Tumefacción, dolor, deformidad</p> <p>EF: tumefacción, hipersensibilidad, +/- deformidad rotacional, acortamiento. Disminución del BA</p> <p>RX: AP, lateral, oblicua</p>	<p>Según la localización:</p> <ul style="list-style-type: none"> Cabeza Cuello (más común) Diáfisis (transversa, espiroidea, oblicua) Base (Bennett, Rolando, «Bennett infantil»-base del 5.º MC) 	<p>Sin desplazamiento: Yeso con desviación cubital durante 4 semanas, entonces BA. Muy anguladas o con acortamiento: agujas percutáneas o RAFI</p> <p>Desplazadas o intraarticulares: reducir y agujas. Inestables: RAFI</p>
COMPLICACIONES: deformidad rotacional y anomalías en la prensión de la mano (mala consolidación)			
FRACTURAS DE LAS FALANGES			
<ul style="list-style-type: none"> Niños > adultos Más frecuente en las falanges distales (DMed) El BA precoz es importante para obtener buenos resultados Las superficies articulares no admiten incongruencias. El seguimiento es crítico en las fracturas intraarticulares 	<p>HX: traumatismo. Tumefacción, dolor, deformidad</p> <p>EF: tumefacción, hipersensibilidad, +/- deformidad rotacional, acortamiento. Disminución del BA, discriminación (2 puntos), revascularización capilar</p> <p>RX: AP, lateral, oblicua</p>	<p>Descriptiva/localización:</p> <ul style="list-style-type: none"> Intraarticular frente a extraarticular Desplazada frente a no desplazada Abierta/cerrada Transversa/oblicua Base, diáfisis, cuello, cóndilo 	<p>Extraarticular</p> <p>No desplazada: sindactilia y/o férula</p> <p>Desplazada: reducción, férula</p> <p>Inestable: agujas o RAFI</p> <p>La férula debe colocarse con la MCF en flexión y las IF extendidas</p> <p>Intraarticular: RAFI</p> <p>Reparación del lecho ungual si es necesario</p>
COMPLICACIONES: deformidad rotacional (fallo en la consolidación); disminución de la movilidad; enfermedad degenerativa articular (EDA)			

Visión posterior (dorsal)



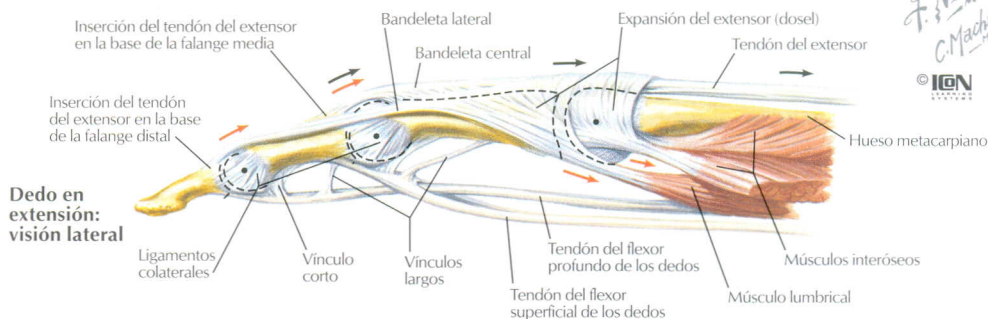
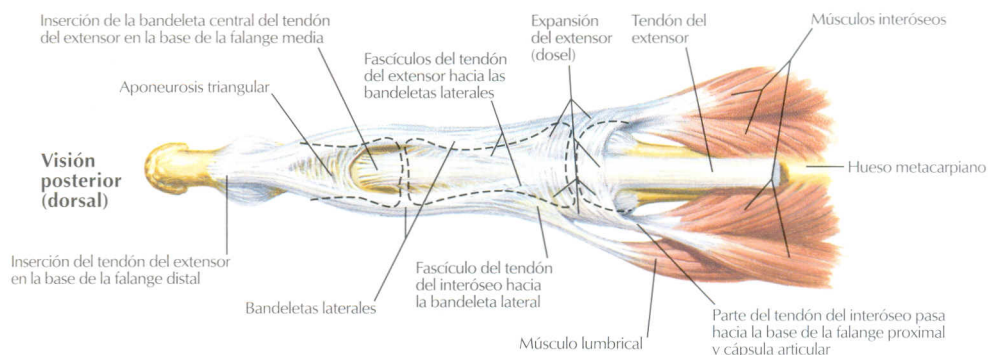
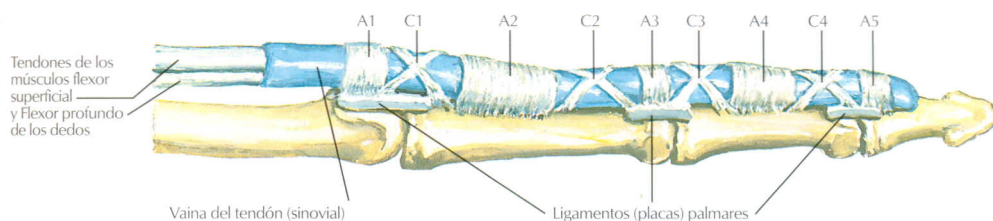
ART.	TIPO	LIGAMENTOS	INSERCIONES	COMENTARIOS
CARPOMETACARPIANA (CMC)				
Pulgar	Silla de montar	Cápsula CMC dorsal, palmar y radial	Del trapecio a los metacarpianos	Gran movilidad; lugar frecuente de artrosis
Dedos	Plana	Cápsula CMC dorsal y palmar CMC interóseo	Del carpo a los huesos metacarpianos	El dorsal es el más resistente
METACARPOFALÁNGICA (MCF)				
	Condílea	Cápsula 2 colaterales (radial y cubital)	Del metacarpiano a la falange proximal Del metacarpiano a la falange proximal	Relajado en extensión, tenso en flexión Inmovilizar en flexión; si no, los ligamentos se acortarán Ligamento colateral cubital del pulgar: • Se estabiliza con agujas • Lesión del esquiador
		Palmar (placa volar) Transverso metacarpiano profundo	Del metacarpiano a la falange proximal	
INTERFALÁNGICA (IF)				
	Tróclea	Cápsula 2 colaterales Palmar (placa volar)	A las falanges adyacentes A las falanges adyacentes	Orientados oblicuamente Impide la hiperextensión



Nota: los ligamentos de las articulaciones metacarpofalángicas e interfalángicas son similares

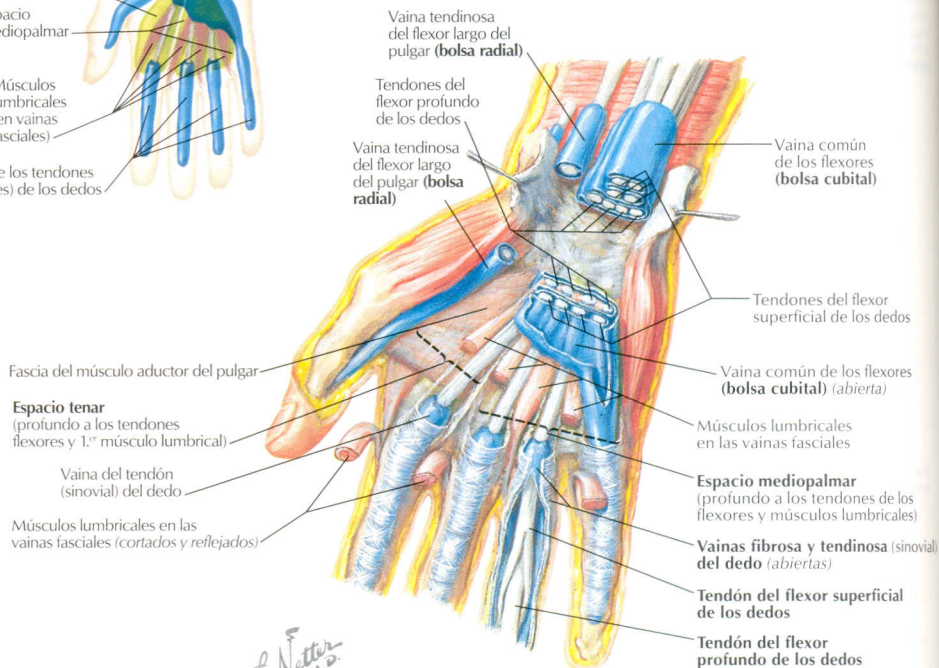
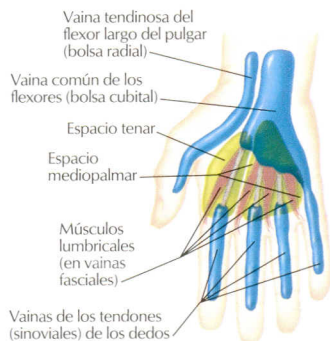
OTRAS ESTRUCTURAS: VAINAS Y POLEAS DE LOS TENDONES FLEXORES

MAN

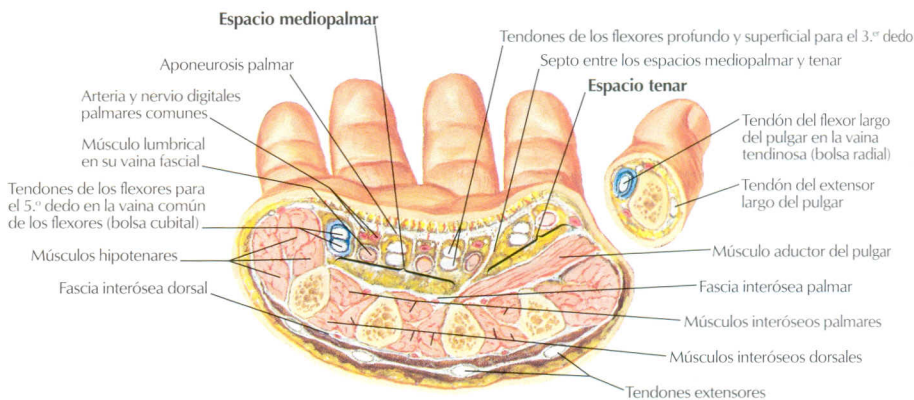


F. Netto
C. Machado
© IGM

ESTRUCTURA	CARACTERÍSTICAS	COMENTARIO
Vaina de los tendones flexores	Túnel osteofibroso revestido con tenosinovial Protege, lubrica y nutre los tendones En la vaina: los vínculos son el aporte vascular para los tendones	Las poleas (5 anulares, 3 cruciformes) son engrosamientos de las vainas. A2, A4 son las más importantes biomecánicamente. A1, 3, 5 cubren las articulaciones; A1 es la causa más común de dedo en resorte Localización de posible infección: signos de Kanavel a menudo presentes (v. Patología)
Complejo intrínseco	Bandeletas sagitales Expansión central Bandeletas laterales Placa volar (fibras transversas) Ligamentos retinaculares oblicuos	El ED se inserta y extiende la MCF El ED se inserta y extiende la IP: su lesión produce la deformidad «en Boutonnière» Los lumbricales se insertan y extienden la IP El FSD se inserta y flexiona la IP Los interóseos se insertan y flexionan la MCF El ED se inserta y extiende la IFD



F. Netter M.D.
ICON



ESTRUCTURA

CARACTERÍSTICAS

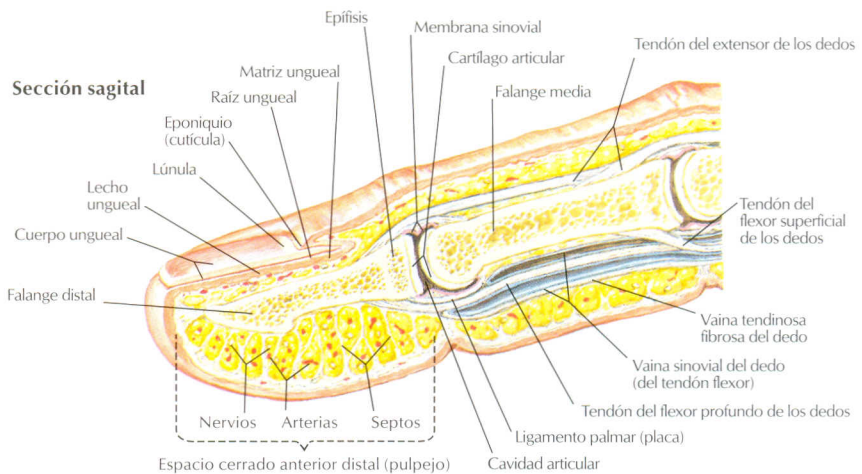
COMENTARIO

ESPACIOS DE LA MANO

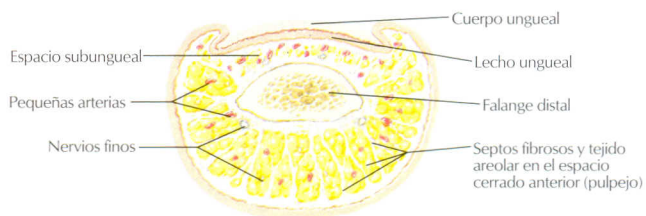
Tenar
Mediopalmar
Bolsa radial
Bolsa cubital

Entre los tendones flexores y el aductor del pulgar
Entre la vaina de los flexores y los metacarpienos
Extensión proximal de la vaina del FLP
Comunica con el DM, el FSD y la vaina del FPD

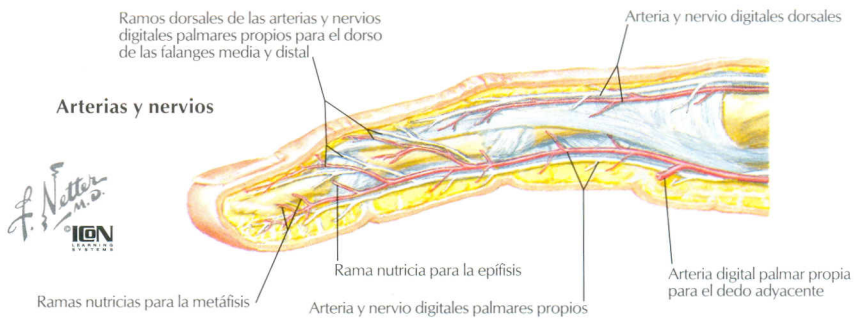
Espacio potencial: lugar de posible infección
Espacio potencial: lugar de posible infección
La infección puede migrar proximalmente
La infección de la vaina puede migrar proximalmente en la bolsa



Sección transversal a través de la falange distal



Arterias y nervios



ESTRUCTURA

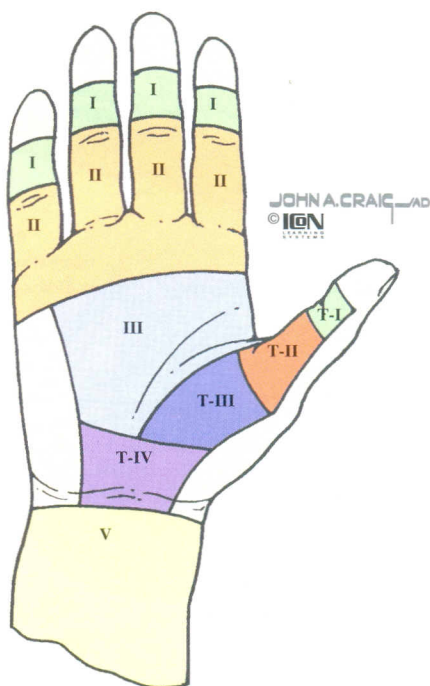
CARACTERÍSTICAS

COMENTARIO

PULPEJO

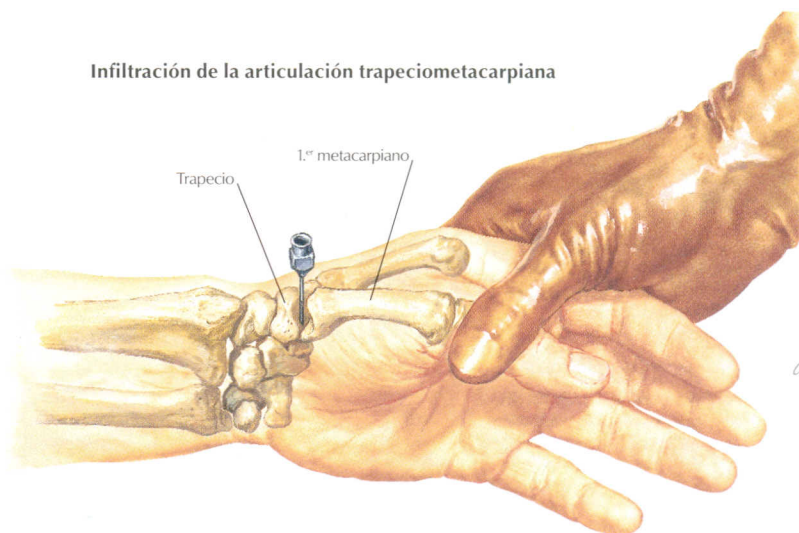
Uña	Epitelio cornificado	Si se avulsiona completamente, reponer para mantener el eponiquio y la matriz separados hasta que la uña pueda volver a crecer
Lecho ungueal/matriz	Germinal: hasta la lúnula, bajo el eponiquio Estéril: distal a la lúnula	Donde la uña crece (1 mm a la semana) debe quedar intacto (reparado) para el crecimiento ungueal Si se lesiona, no necesita ser reparado para su buen funcionamiento
Pulpejo	Múltiples septos, nervios y arterias	El panadizo es una infección del pulpejo

Zonas flexoras de la mano



ZONA	LÍMITES	COMENTARIO
I	Inserción del FSD al pulpejo	Lesiones susceptibles de ser reparadas (p. ej., «jersey finger»)
II	Desde túnel osteofibroso mediopalmar hasta la inserción FSD	Llamada « tierra de nadie » debido al gran número de complicaciones. Es necesaria una cuidadosa EF para el diagnóstico; la lesión puede no encontrarse en el punto de laceración cutánea. Tanto el FSD como el FPD pueden requerir reconstrucción. Deben preservarse A2 y A4
		La reparación en las zonas 3-5 debe ser inmediata
III	Del ligamento transversal del carpo al túnel osteofibroso	Las lesiones están asociadas con frecuencia a lesiones del nervio mediano o del arco arterial palmar. Deben explorarse y repararse todas
IV	Ligamento transversal del carpo (túnel carpiano)	Lugar infrecuente de lesión. Las lesiones requieren normalmente apertura del túnel y reparación. El nervio mediano corre peligro
V	Proximal al LTC	Las lesiones requieren sutura terminoterminal
Pulgar I	IF del pulgar hasta pulpejo	Similar al dedo
Pulgar II	CMC hasta IF	Similar al dedo
Pulgar III	Eminencia tenar	La sutura puede requerir alargamientos o plastias

Infiltración de la articulación trapeciometacarpiana



PASOS

INFILTRACIÓN DE LA ARTICULACIÓN TRAPECIOMETACARPIANA

1. Preguntarle al paciente si es alérgico
2. Palpar la cara volar y radial de la articulación trapeziometacarpiana
3. Asepsia de la piel sobre la articulación trapeziometacarpiana (yodo/jabón antiséptico)
4. Realizar habón anestésico cutáneo
5. Palpar la base de la articulación trapeziometacarpiana, realizar tracción axial sobre el pulgar con ligera flexión para abrir la articulación. Usar aguja de 22 G o menos, e insertarla dentro de la articulación. **Aspirar para asegurarnos que no estamos en ningún vaso.** Inyectar 2-3 ml de 1:1 anestésico local (**sin adrenalina**)/corticoesteroides dentro de la articulación trapeziometacarpiana. **(El líquido debe penetrar fácilmente si la aguja está dentro de la articulación.)**
6. Colocar apósito

INFILTRACIÓN DE LA VAINA TENDINOSA FLEXORA

1. Preguntarle al paciente si es alérgico
2. Palpar el tendón flexor en la línea flexora distal
3. Asepsia de la piel de la palma de la mano (yodo/jabón antiséptico)
4. Insertar aguja de 22 G dentro del tendón flexor y a nivel de la línea de flexión distal. Retirar la aguja situándola justo fuera del tendón, pero dentro de la vaina. Inyectar 2-5 ml de anestésico local **sin adrenalina**
5. Colocar apósito

BLOQUEO DIGITAL

1. Asepsia de la piel sobre el espacio interdigital dorsal (yodo/jabón antiséptico)
2. Insertar aguja de 22 G entre las cabezas de los metacarpianos a ambos lados del dedo. **Aspirar para cerciorarnos de que la aguja no se encuentra en un vaso.** Inyectar 2-5 ml de **anestésico local sin adrenalina**. Las regiones dorsal y proximal del dedo pueden requerir anestesia local para una correcta anestesia
3. **Se debe procurar no inyectar demasiado líquido en el espacio interdigital**
4. Colocar apósito en el lugar de inyección

«Jersey finger»

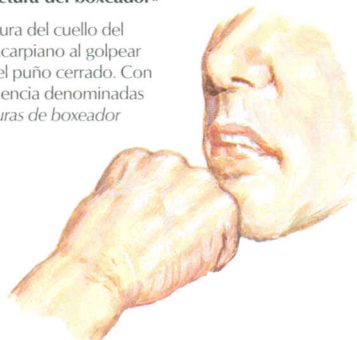
Avulsión del tendón del flexor profundo de los dedos



Producida por una tracción violenta sobre la falange distal flexionada (p. ej., cuando se coge con el dedo el jersey de un jugador de fútbol americano)

«Fractura del boxeador»

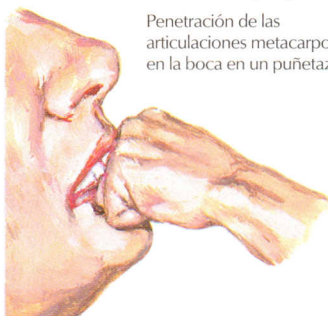
Fractura del cuello del metacarpiano al golpear con el puño cerrado. Con frecuencia denominadas fracturas de boxeador



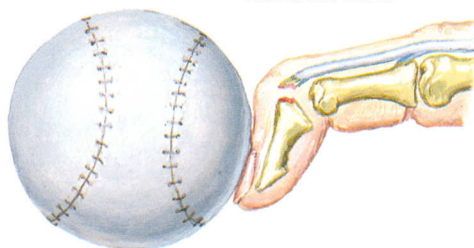
F. Netter M.D.
© IGM

«Mordedura por puñetazo»

Penetración de las articulaciones metacarpofalángicas en la boca en un puñetazo

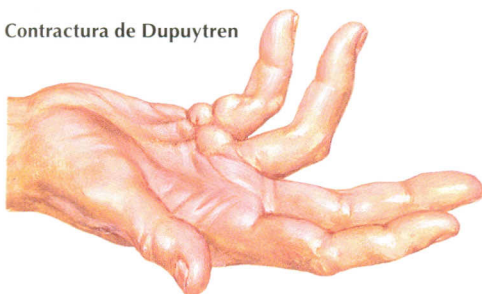


«Fractura de Busch»



Normalmente producida por contusión directa sobre la falange distal en extensión, como ocurre en béisbol o en voleibol

PREGUNTA	RESPUESTA	APLICACIÓN CLÍNICA
1. MANO DOMINANTE	Izquierda o derecha	La dominante se lesiona con más frecuencia
2. EDAD	Jóvenes Mediana edad, ancianos	Traumatismo, infección Artritis, atrapamientos nerviosos
3. DOLOR		
a. Inicio	Agudo Crónico	Traumatismo, infección Artritis
b. Localización	Trapeziometacarpiana Volar (dedos)	Artritis (OA) especialmente en mujeres Tenosinovitis purulenta (signo de Kanavel +)
4. RIGIDEZ	Matutina, con el «agarre»	Dedo en resorte, artritis reumatoide
5. TUMEFACCIÓN	Después de traumatismo Sin traumatismo	Infección (tenosinovitis purulenta, panadizo, paroniquia) Artritis, gota, tendinitis
6. MASA		Ganglión, contractura de Dupuytren, tumor de células gigantes
7. TRAUMATISMO	Caída, lesiones deportivas en un entorno sucio	Fractura, avulsión tendinosa Infección
8. ACTIVIDAD	Deportes, mecánica	Traumatismo (p. ej., fractura, luxación, rotura tendinosa)
9. SÍNTOMAS NEUROLÓGICOS	Dolor, entumecimiento, hormigueo Debilidad	Atrapamiento nervioso (p. ej., túnel carpiano), síndrome del desfiladero torácico, radiculopatía Atrapamiento nervioso (normalmente en la muñeca o más proximal)
10. HISTORIA DE ARTRITIS	Afectación multiarticular	Artritis reumatoide, síndrome de Reiter, etc.

Contractura de Dupuytren

Contractura en flexión de los dedos anular y meñique (más frecuente). Se forman hoyuelos y la piel se retrae. Nódulos faciales palpables cerca de las líneas de flexión de los dedos afectados con formaciones cordales que se extienden hacia la región proximal de la palma

Artritis reumatoide

Deformidad en Boutonniere del dedo índice, con deformidad en cuello de cisne de los demás dedos

Tenosinovitis purulenta. Cuatro signos principales de Kanavel**Osteoartritis**

Nódulos de Heberden sobre los dedos índice y medio en las articulaciones interfalángicas distales (IFD). Nódulos de Bouchard en las articulaciones interfalángicas proximales (IFP) de los dedos anular y meñique



F. Netter M.D.
ICON

EXPLORACIÓN	TÉCNICA	APLICACIÓN CLÍNICA
INSPECCIÓN		
Deformidad clínica	Desviación cubital o cuello de cisne Deformidad angular o rotacional	Artritis reumatoide Fractura
Posición digital	Flexión	Contractura de Dupuytren, tenosinovitis purulenta
Piel, vello, cambios ungueales	Frío, sin vello, uñas en cuchara, etc.	Patología neurovascular: Raynaud, diabetes, lesión nerviosa
Tumefacción	IFD IFP MCF Fusiforme	Nódulos de osteoartritis: Heberden (en IFD: primera causa), Bouchard (en IFP)
Atrofia muscular	Eminencia tenar Eminencia hipotenar o intrínsecos	Artritis reumatoide Tenosinovitis purulenta Lesión del nervio mediano, STC, patología C8/T1, artritis CMC Lesión del nervio cubital

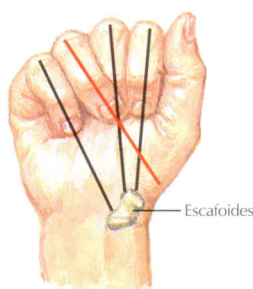
Infección de los dedos



Paroniquia



Panadizo



Desplazamiento rotacional del dedo anular.
Todos los dedos deben mirar hacia el escafoides cuando se cierra la mano

Tenosinovitis estenosante (dedo en resorte)



Paciente incapaz de extender el dedo afectado. Puede extenderlo pasivamente; con la extensión activa se perciben diferentes grados de dolor y chasquidos producidos por el atrapamiento. El círculo indica el punto donde el engrosamiento de los tendones y su vaina son normalmente palpables

EXPLORACIÓN	TÉCNICA	APLICACIÓN CLÍNICA
PALPACIÓN		
Piel	Caliente, eritematosa Fría, seca	Infección Compromiso neurovascular
Metacarpianos	En todo su trayecto	La hipersensibilidad puede indicar fractura
Falanges y articulaciones digitales	Cada una por separado	Hipersensibilidad: fractura, artritis; tumefacción: artritis
Partes blandas	Eminencias tenar e hipotenar Palma (aponeurosis palmar) Tendones flexores: a lo largo de la región volar del dedo Ambos lados del dedo Ambas caras de la punta del dedo	La atrofia indica lesión de los nervios mediano y cubital respectivamente Nódulos: contractura de Dupuytren; resalte con el dedo en extensión: dedo en resorte Hipersensibilidad indica tenosinovitis purulenta Tumores de células gigantes Hipersensibilidad: paroniquia o panadizo
BALANCE ARTICULAR		
Dedo:		
Articulación MCF	Flexión 90°, extensión 0°, ad/abd 0-20°	Disminución del BA si se inmoviliza en extensión (acortamiento de los ligamentos colaterales)
Articulación IFP	Flexión 110°, extensión 0°	La hiperextensión produce la deformidad en cuello de cisne
Articulación IFD	Flexión 80°, extensión 10°	Todos los dedos deben mirar hacia el escafoides cuando se cierra la mano
Pulgar:		
Articulación trapeciometacarpiana	Abducción radial: flexión 50°, extensión 50° Abducción palmar: abducción 70°, aducción 0°	El movimiento se produce en el plano palmar El movimiento es perpendicular al plano palmar
Articulación MCF	En el plano palmar: flexión 50°, extensión 0°	
Articulación IF	En el plano palmar: flexión 90°, extensión 10°	
Oposición	Tocar el pulgar con el pulpejo del meñique	La mayor parte del movimiento se produce en la articulación trapeciometacarpiana

Pruebas motoras

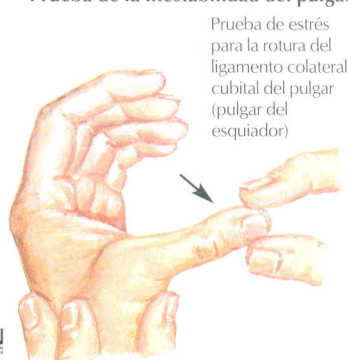


Extensión del pulgar.
Extensor largo del pulgar.
Nervio radial (NIP)

Extensión digital. Extensor
de los dedos. Nervio
radial (NIP), C7

Flexión digital. Flexor
superficial y profundo
de los dedos. Nervio
mediano. C8

Prueba de la inestabilidad del pulgar



Prueba de estrés
para la rotura del
ligamento colateral
cubital del pulgar
(pulgar del
esquiador)

EXPLORACIÓN

TÉCNICA

APLICACIÓN CLÍNICA

NEUROVASCULAR

Sensitiva

Nervio radial (C6)
Nervio mediano (C6-7)
Nervio cubital (C8)

Ligera discriminación entre 2 puntos
Primer espacio interdigital dorsal
Borde radial del dedo medio
Borde cubital del meñique

Su déficit indica lesión del nervio/raíz correspondiente
Su déficit indica lesión del nervio/raíz correspondiente
Su déficit indica lesión del nervio/raíz correspondiente

Motora

Nervio radial/NIP (C7)
Nervio mediano/NIA (C8)

Extensión digital
Abducción del pulgar y extensión
Flexión IFP
Flexión IFD
Flexión de la IF del pulgar
Signo de «OK»
Flexión MCF (dedos índice/medio)

El número entre paréntesis indica la corredera
Debilidad = ED(4), EI(4), EM(5) o lesión nerviosa
Debilidad = ALP(1)/ELP(3) o lesión del nervio/raíz
Debilidad = FSD o lesión del nervio/raíz correspondiente
Debilidad = FPD(1/2 del músculo) o lesión del nervio
Debilidad = FLP o lesión de la raíz/nervio correspondiente
Debilidad = ACP, OP, 1/2 FCP o lesión nerviosa; (STC)
Debilidad = DI, DMed, lumbricales o lesión del nervio/
raíz correspondiente

Nervio cubital (ramo profundo)
(T1)

Cruzar los dedos (abducción/
aducción)
Abducción del meñique
Flexión MCF (dedos anular/meñique)

Debilidad = interóseos dorsales/palmares o lesión
del nervio
Debilidad = FCM, OM, AM o lesión del nervio/raíz
Debilidad = lumbricales de los DA y DM o lesión
del nervio/raíz

Reflejos: Hoffmann

Golpear la falange distal del dedo

Únicamente patológico (+ si se flexiona una falange
diferente): síndrome NMS

Pulsos/relleno capilar

Prueba de Allen
Doppler: arcos, pulsos digitales

Prueba para valorar la perfusión arterial radial y cubital

PRUEBAS ESPECIALES

Flexor profundo de los dedos

Estabilizar la IFP en extensión,
flexionar sólo la IFD

La imposibilidad de flexionar sólo la IFD es indicativa
de **patología del FPD**

Flexor superficial de los dedos

Extender todos los dedos, flexionar
un único dedo a nivel de IFP

La imposibilidad de flexionar la IFP de un único dedo
indica **lesión del FSD**

Signo de Froment

Sostener un papel con el pulgar
y el índice; traccionar del papel

La flexión de la IFP del pulgar es positiva, lo cual sugiere
patología del aductor del pulgar o parálisis del nervio
cubital

Prueba de Grind

Compresión axial y rotación de la
articulación trapeciometacarpiana

El dolor indica artritis de la trapeciometacarpiana y/o MCF
del pulgar

Inestabilidad digital

Estabilizar articulación proximal,
aplicar estrés en varo/valgo forzado

La laxitud indica rotura del ligamento colateral

Inestabilidad del pulgar

Estabilizar MCF y aplicar estrés
en valgo

La laxitud indica **esguince del ligamento colateral cubital
(pulgar del esquiador)**

Signo de Murphy

Cerrar el puño, comprobar la altura
de las MCF

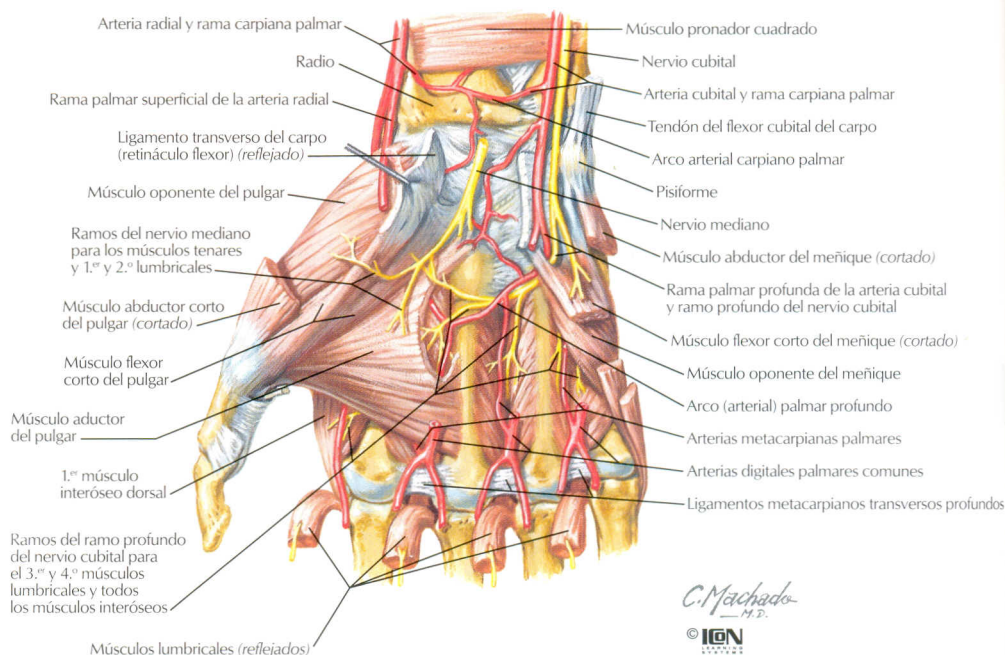
Si el 3.º MC (normalmente más elevado) está deprimido
entre el 2.º y 4.º MC, ello sugiere luxación del semilunar

Bunnel-Littler

Extender MCF, flexionar pasivamente
IFP

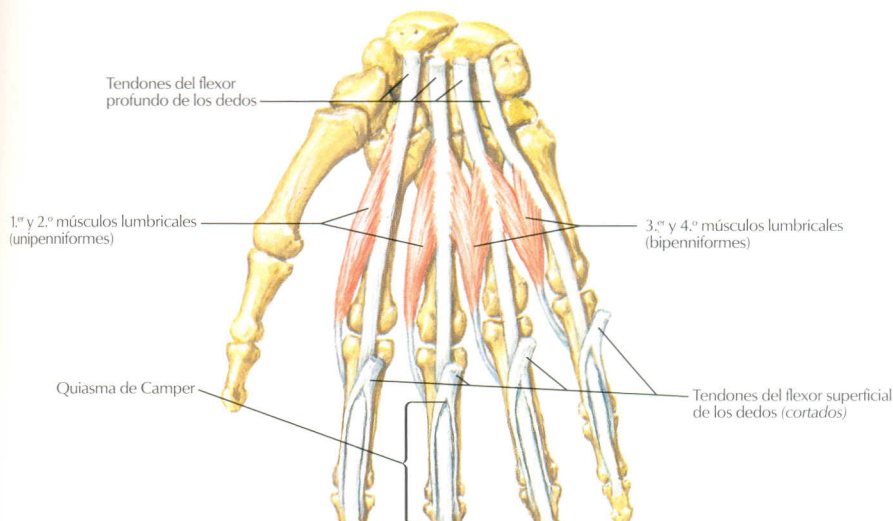
Tensión o imposibilidad de flexionar la IFP; la mejoría
al flexionar la MCF indica tensión de la musculatura
intrínseca

Visión anterior (palmar)



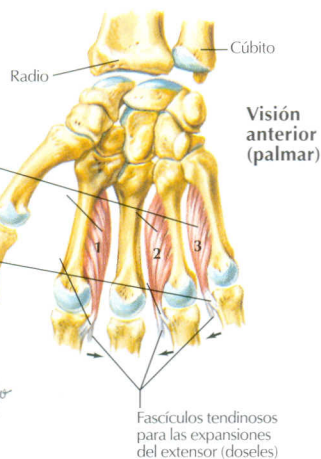
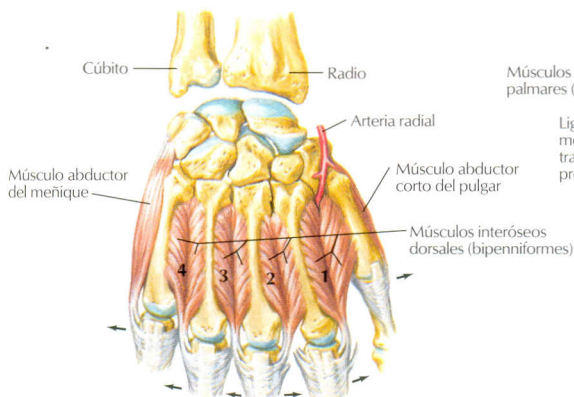
MÚSCULO	ORIGEN	INSERCIÓN	INERVACIÓN	ACCIÓN	COMENTARIO
COMPARTIMIENTO TENAR					
Abductor corto del pulgar (ACP)	Escafoides, trapecio	Lateral en la falange proximal del pulgar	Mediano	Abductor del pulgar	Palpable en la región lateral de la eminencia tenar
Flexor corto del pulgar (FCP)	Trapecio	Base de la falange proximal del pulgar	Mediano	Flexión MCF del pulgar	Palpable en la región medial de la eminencia tenar
Oponente del pulgar	Trapecio	Región lateral del 1.º MC	Mediano	Opone el pulgar, rotación medial	Su acción más importante es la oposición
COMPARTIMIENTO ADUCTOR					
Aductor del pulgar	1. Hueso grande, 2.º y 3.º MC 2. 3.º MC	Base de la falange proximal del pulgar	Cubital	Aductor del pulgar	La arteria radial se encuentra entre sus dos cabezas
COMPARTIMIENTO HIPOTENAR					
Palmar corto (PC)	Ligamento transverso del carpo (LTC)	Piel de la región medial de la palma	Cubital	Tensor de la piel	Protege el nervio cubital
Abductor del meñique (AM)	Pisiforme	Base de la falange proximal del meñique	Cubital	Abductor del meñique	Palpable lateralmente
Flexor corto del meñique (FCM)	Ganchoso, LTC	Base de la falange proximal del meñique	Cubital	Flexión MCF del meñique	Palpable medialmente
Oponente del meñique (OM)	Ganchoso, LTC	Cara medial del 5.º MC	Cubital	Opone el meñique, rotación lateral	Profundo a otros músculos del compartimiento

Músculos lumbricales



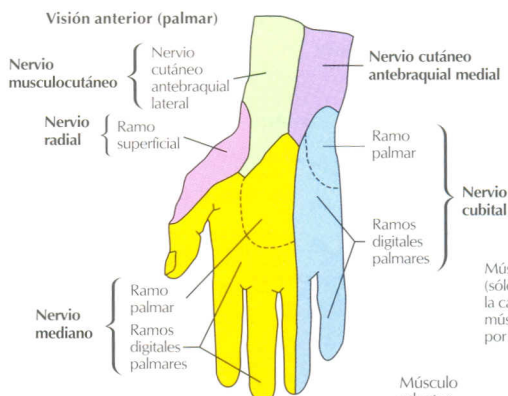
Músculos interóseos

Visión posterior (dorsal)

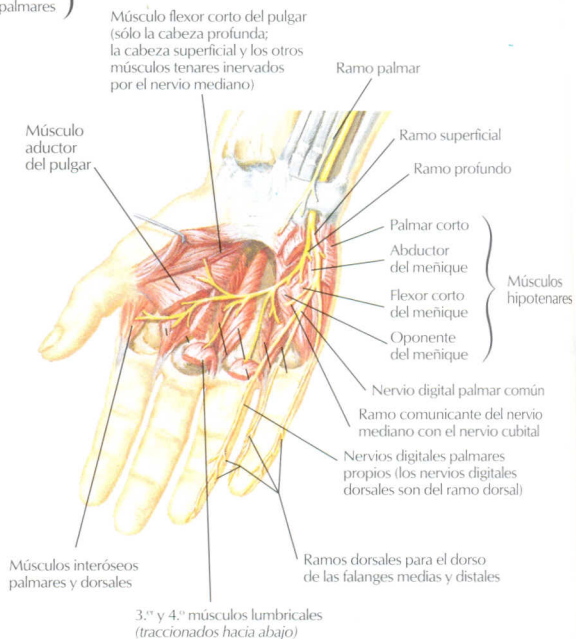


MÚSCULO	ORIGEN	INSERCIÓN	INERVACIÓN	ACCIÓN	COMENTARIO
INTRÍNSECOS					
Lumbricales 1 y 2	Tendones FPD (2 laterales)	Bandeletas laterales	Mediano	Extiende IFP, flexiona MCF	Únicos músculos del cuerpo que se insertan sobre sus propios antagonistas
Lumbricales 3 y 4	Tendones del FPD (3 mediales)	Bandeletas laterales	Cubital	Extiende IFP, flexiona MCF	
Interóseos dorsales (IOD)	Metacarpianos adyacentes	Expansión extensora y falange proximal	Cubital	Abductor digital	ABD: abducción dorsal
Interóseos palmares (IOP)	Metacarpianos adyacentes	Expansión extensora y falange proximal	Cubital	Aductor digital	ADP: aducción palmar (volar = palmar)

Inervación cutánea de la mano



F. Netter M.D.
I.C.M.



INFRACLAVICULAR

FASCÍCULO MEDIAL

1. **Cubital** (C7-T1): a través del canal de Guyon, distal al gancho del hueso ganchoso

Sensitiva: Región medial de la palma y 1 1/2 dedos
via: palmar, ramos digitales palmares
Región medial y dorsal de la mano y 1 1/2 dedos
via: dorsal, dorsal digital y ramos digitales propios
El nervio se divide a nivel de la eminencia hipotenar

Motora: **Ramo superficial** (lateral al pisiforme)

Palmar corto

Ramo profundo (motor) (alrededor del gancho del hueso ganchoso)

Aductor del pulgar

MÚSCULOS TENARES

Flexor corto del pulgar (FCP)

(con el nervio mediano)

MÚSCULOS HIPOTENARES

Abductor del meñique (AM)

Flexor corto del meñique (FCM)

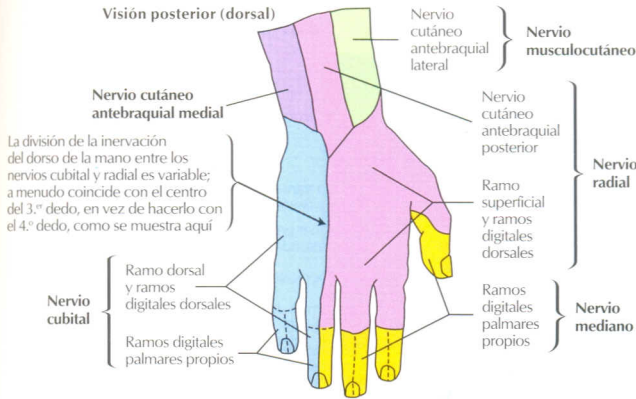
Oponente del meñique (OM)

MÚSCULOS INTRINSECOS

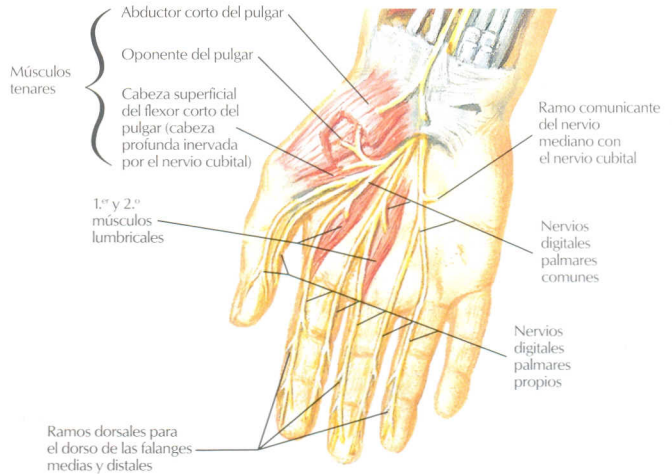
Interóseos dorsales (IOD) (abductor ABD)

Interóseos palmares (IOP) (aductor ADP)

Lumbricales (2 mediales [3, 4])



F. Netter M.D.
ION
 ILLUSTRATIONS



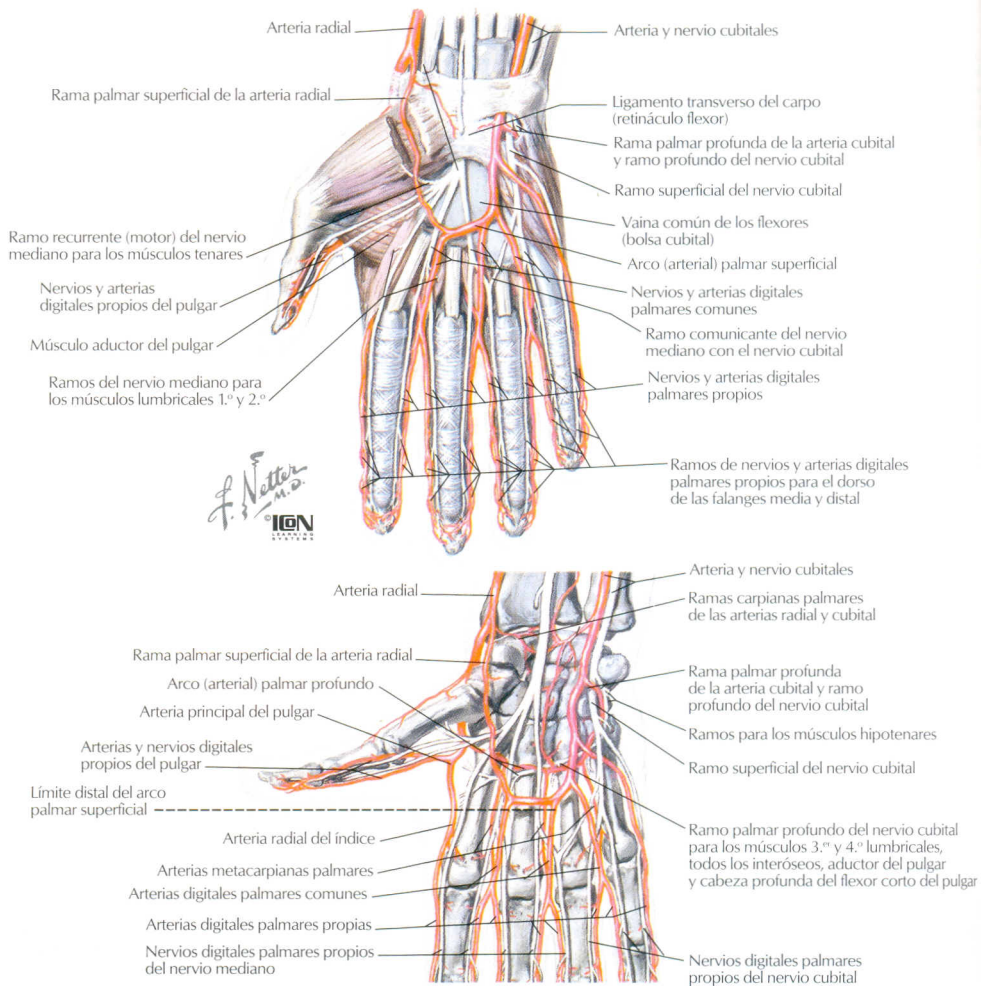
INFRACLAVICULAR

FASCÍCULOS MEDIAL Y LATERAL

2. **Mediano** (C5[6]-T1): **discurre a través del túnel carpiano; a continuación proporciona ramos cutáneos (riesgo en la descompresión del túnel carpiano)**
- Sensitiva:** **Ramo palmar cutáneo**
 Región dorsal de las falanges distales de 3 1/2 dedos: mediante ramos digitales palmares propios
 Cápsula volar de la muñeca
 Región volar de 3 1/2 dedos y lateral de la palma: a través de ramos palmares y digitales palmares (múltiples variantes en el patrón sensitivo del pulgar)
- Motora:** **Ramo motor recurrente (motor tenar):** normalmente ramos que emergen del nervio mediano a su salida del túnel carpiano
TENAR
 Abductor corto del pulgar (ACP)
 Oponente del pulgar
 Flexor corto del pulgar (FCP) (inervación articular con el nervio cubital)
- INTRÍNSECOS**
 Lumbricales (2 laterales [1, 2])

FASCÍCULO POSTERIOR

3. **Radial** (C5-T1): **Dorso de 3 1/2 dedos y mano a través de ramos superficiales (ramos digitales dorsales)**
- Sensitiva:** Cápsula dorsal de la muñeca
 NINGUNA (en la mano)
- Motora:**

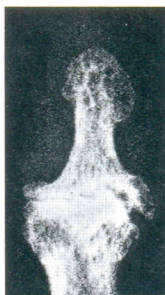


TRAYECTO	RAMAS	COMENTARIO
ARCO PALMAR PROFUNDO		
A través de las cabezas del aductor del pulgar	Rama terminal de la arteria <i>radial</i> y rama profunda de la arteria <i>cubital</i> Principal del pulgar Radial del índice Arteria digital propia del pulgar Metacarpiana palmar (3)	Bajo el FLP, a lo largo del 1.º MC Puede originarse en el arco profundo Forma la arteria digital común
ARCO PALMAR SUPERFICIAL		
Inmediatamente profundo a la aponeurosis	Rama terminal de la arteria <i>cubital</i> y rama superficial de la arteria <i>radial</i> Digitales palmares comunes (3) <i>Digital palmar propia</i> <i>Digital palmar propia</i>	Bifurcada Ambos lados de los dedos Únicamente del meñique

Osteoartritis



Sección a través de la articulación IFD que muestra los nodulos óseos (de Heberden), hiperplásicos e irregulares en los márgenes articulares de la falange distal. Erosión condral y disminución del espacio articular



Radiografía de la articulación IFD que muestra los cambios en los estadios avanzados de degeneración articular. Destrucción condral y osteofitos marginales (nodulos de Heberden)

Artritis reumatoide

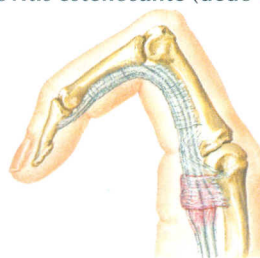


Radiografía que muestra adelgazamiento de las articulaciones IFP, erosión del carpo y de la articulación de la muñeca, osteoporosis y deformidades digitales

Tenosinovitis estenosante (dedo en resorte)



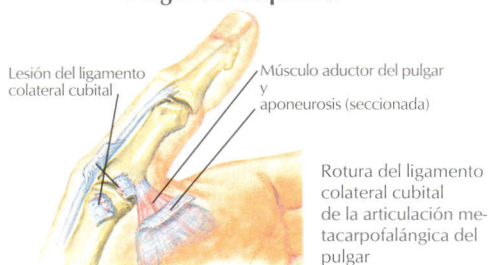
Cambios degenerativos avanzados en la articulación trapecio-metacarpiana



Engrosamiento inflamatorio de la vaina fibrosa (polea) de los tendones flexores con engrosamiento fusiforme nodular de ambos tendones. La línea de puntos indica el lugar de incisión en la cara lateral de la polea

DESCRIPCIÓN	ANAMNESIS/ EXPLORACIÓN FÍSICA	PRUEBAS COMPLEMENTARIAS/ HALLAZGOS	TRATAMIENTO
ARTRITIS: OSTEOARTRITIS/ENFERMEDAD DEGENERATIVA ARTICULAR (EDA)			
<ul style="list-style-type: none"> Desgaste y roturas artríticas Pérdida de cartilago articular En primer lugar IFD (nodulos de Heberden) y CMC; en segundo lugar IF (nodulos de Bouchard) 	<p>Hx: ancianos, mujeres, dolor que empeora con la actividad</p> <p>EF: nodulos + en IF (IFD y/o IFP); prueba de Grind + en CMC</p>	<p>RX: hallazgos OA, osteofitos, disminución del espacio articular, esclerosis, quistes subcondrales</p>	<ol style="list-style-type: none"> AINE, férulas, infiltración de esteroides IFD: artrodesis, CMC/IFP: artroplastia
ARTRITIS REUMATOIDE			
<ul style="list-style-type: none"> Enfermedad inflamatoria sistémica que afecta a la sinovial: destrucción articular. Afecta preferentemente a MCF 4 estadios Asociada a tenosinovitis y síndrome del túnel carpiano 	<p>Hx: dolor, rigidez (peor por la mañana)</p> <p>EF: múltiples tumefacciones articulares</p> <p>Deformidades: ráfaga cubital (MCF), cuello de cisne, Boutonnière</p>	<p>RX: seriadas de mano, destrucción articular</p> <p>Laboratorio: FR, ANA, RSL, VSG, ácido úrico</p>	<ol style="list-style-type: none"> Tratamiento médico y entablillado Sinovectomía (monoarticular) III/IV. Tenoplastias o reparación, artrodesis, artroplastias
TENOSINOVITIS FLEXORA: DEDO EN RESORTE/PULGAR			
<ul style="list-style-type: none"> El nódulo sobre el tendón se atrapa en la polea (A1 es la más frecuente) También se observa en la diabetes mellitus 	<p>Hx: edad superior a 40 años, nódulo blando</p> <p>EF: dolor. Bloqueo con la flexión y extensión</p>	<p>RX: no es necesaria</p>	<ol style="list-style-type: none"> Infiltración de corticoides (+/- férula) Sección de la polea A1 (se debe conservar A2)

Pulgar del esquiador



J. Netter M.D.
© IGC

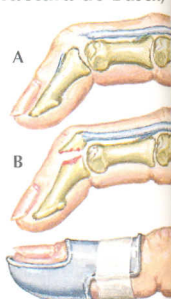
«Jersey finger»



El tendón del flexor profundo de los dedos puede lesionarse directamente desde la falange distal, o puede avulsionarse con un fragmento óseo de diferente tamaño

Dedo en martillo (fractura de Busch)

A. Lesión tendinosa en su inserción B. Avulsión de fragmento óseo con tendón (fractura de Busch). En A y B existe una deformidad de 40-45° en flexión y pérdida de la extensión activa



Férula de Stack

DESCRIPCIÓN	Hx y EF	PRUEBAS COMPLEMENTARIAS/ HALLAZGOS	TRATAMIENTO
LESIÓN DE LA BANDELETA CENTRAL: DEFORMIDAD DE BOUTONNIÈRE			
<ul style="list-style-type: none"> Tendón extensor (bandeleta central) en roturas de IFP, bandeletas laterales desplazadas hacia volar y flexión de la IFP Asociado con AR 	<p>Hx: traumatismo en la mano</p> <p>EF: flexión IFP, sin extensión activa, extensión IFD</p>	<p>RX: seriadas de mano: normal</p>	<ol style="list-style-type: none"> Férulas con IFP en extensión, IFD libre Reconstrucción de la bandeleta central y laterales Grave: fusión o artroplastia
LESIÓN DEL TENDÓN FLEXOR: «JERSEY FINGER»			
<ul style="list-style-type: none"> El tendón flexor se avulsiona por extensión forzada En fútbol; preferentemente DA; FPD > FSD 	<p>Hx: lesión en extensión, +/- dolor</p> <p>EF: FSD, prueba del FSD +; FPD: prueba del FPD +</p>	<p>RX: descartar fractura (+/- fractura por avulsión)</p>	<ol style="list-style-type: none"> Reparación primaria Paciente anciano: fusión IFD
DEDO EN MARTILLO (FRACTURA DE BUSCH)			
<ul style="list-style-type: none"> Rotura del tendón extensor en la falange distal FPD sin oposición; por lo tanto, IFD en flexión 	<p>Hx: traumatismo menor</p> <p>EF: imposibilidad de extender IFD, dolor mínimo y tumefacción</p>	<p>RX: +/- fractura por avulsión</p>	<ol style="list-style-type: none"> SIEMPRE férula de Stack (sólo IFD) durante 8 semanas Reparación quirúrgica si el fragmento óseo es muy grande
DEFORMIDAD EN CUELLO DE CISNE			
<ul style="list-style-type: none"> Rotura del FSD/lesión de la placa volar Bandeletas laterales subluxadas dorsalmente, hiperextensión IFP y flexión IFD 	<p>Hx: traumatismo, AR, espásticos</p> <p>EF: hiperextensión IFP, flexión IFD</p>	<p>RX: seriadas de mano</p>	<ol style="list-style-type: none"> Inmediato: férula Tardío: reparación quirúrgica (individualizar en cada caso)
LIGAMENTO COLATERAL CUBITAL DEL PULGAR: PULGAR DEL ESQUIADOR			
<ul style="list-style-type: none"> Lesión del ligamento colateral cubital Mecanismo: tracción con desviación radial Con frecuencia se observa en esquiadores 	<p>Hx: traumatismo. Dolor y tumefacción</p> <p>EF: inestabilidad de la región cubital del pulgar en extensión radial/abducción</p>	<p>RX: +/- fractura por avulsión. Las proyecciones forzadas muestran la lesión</p>	<ol style="list-style-type: none"> Incompleto: férula durante 2-4 semanas Completo: reparación quirúrgica (tratar lesión de Stener)

Panadizo



Eponiquio sobrelevado desde su cara ungual

Corte transversal que muestra la división de los septos en el pulpejo del dedo



Esporotricosis. Comienza como un pequeño nódulo y se extiende por la mano, muñeca y antebrazo (incluso sistémico)



Absceso en herradura. Desde su origen en el pulgar se extiende a través de las bolsas radiales y cubitales y de la vaina tendinosa del 5.º dedo, con rotura dentro del espacio subtendinoso de Parona

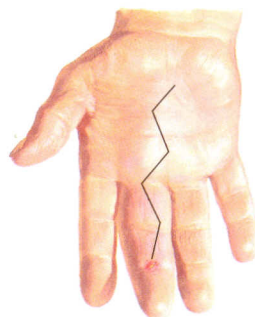
DESCRIPCIÓN	Hx y EF	PRUEBAS COMPLEMENTARIAS/ HALLAZGOS	TRATAMIENTO
MORDEDURAS: HUMANA/ANIMAL			
<ul style="list-style-type: none"> Normalmente en la mano dominante Mecanismo típico: golpe con el puño Humana: polibacteriana, incluye <i>Eikenella corrodens</i> Animal: <i>Pasteurella multocida</i> 	<p>Hx: laceración o punción: la localización más habitual es la región dorsal MCF</p> <p>EF: eritematoso, tumefacto, +/- supuración. Disminución de la extensión si hay afectación tendinosa</p>	<p>RX: descartar fractura</p> <p>Laboratorio: cultivos para aerobios y anaerobios, RSL (Contactar con las autoridades sanitarias si existe la posibilidad de transmisión de la rabia)</p>	<ol style="list-style-type: none"> Desinfección rigurosa, Td si es necesario Antibioticoterapia i.v. Animal: sulbactam (+ ampicilina) Humana: amoxicilina (+ ácido clavulánico) No cerrar la herida, colocar apósito adecuado
INFECCIÓN DEL ESPACIO PROFUNDO			
<ul style="list-style-type: none"> Desde una punción en la palma o por extensión desde el dedo (+/- herradura) 	<p>Hx/EF: eritema, fluctuación e hipersensibilidad</p>	<p>RX: habitualmente normal</p>	<p>Incisión dorsal y volar y antibioticoterapia i.v.</p>
PANADIZO			
<ul style="list-style-type: none"> Infección profunda o absceso en el pulpejo Organismo causante <i>Staphylococcus aureus</i> 	<p>Hx/EF: eritematosis, tumefacción y dolor</p>	<p>Rx: habitualmente normal</p>	<ol style="list-style-type: none"> Cura tópica, drenar los septos Antibioticoterapia i.v.
PARONQUIA/EPONQUIA			
<ul style="list-style-type: none"> Infección del lecho ungual (infección digital más frecuente) Principal organismo causante: <i>Staphylococcus aureus</i> 	<p>Hx/EF: eritematosis, dolor, tumefacción, con frecuencia drenaje purulento</p>	<p>RX: habitualmente normal</p>	<ol style="list-style-type: none"> Inmersión en suero y antibioticoterapia oral Incisión y drenaje con extirpación de la uña si fuera necesario
TENOSINOVITIS PURULENTE			
<ul style="list-style-type: none"> Infección de la vaina tendinosa flexora Normalmente originado por una herida punzante Puede extenderse a la palma y evolucionar a un absceso en herradura 	<p>Hx: lesión punzante</p> <p>EF: SIGNOS DE KANAVEL:</p> <ol style="list-style-type: none"> Posición en flexión Dolor en la extensión pasiva Tumefacción fusiforme Dolor en la palpación de la vaina flexora 	<p>RX: posible cuerpo extraño o enfisema subcutáneo</p>	<ol style="list-style-type: none"> Moderado (precoz): antibióticos i.v., reevaluación en 24 h Importante: incisión y drenaje (+/- drenaje) y antibióticos i.v. <p>La ausencia de tratamiento provoca adherencias y necrosis</p>
ESPOROTRICOSIS			
<ul style="list-style-type: none"> Infección linfática (rosas) 	<p>Hx/EF: decoloración o rash</p>	<p>RX: ninguna</p>	<p>Solución de yodo potásico</p>

Infecciones del espacio profundo



Infección del espacio tenar a partir de una tenosinovitis del dedo índice producida por una punción. Nota: el espacio tenar también se extiende dorsalmente al músculo aductor del pulgar. Se indica la línea de incisión

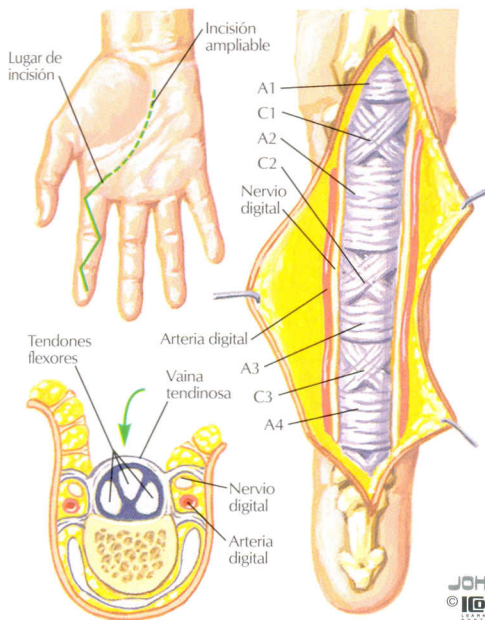
F. Netter M.D.
 IGM
 ILLUSTRATIONS



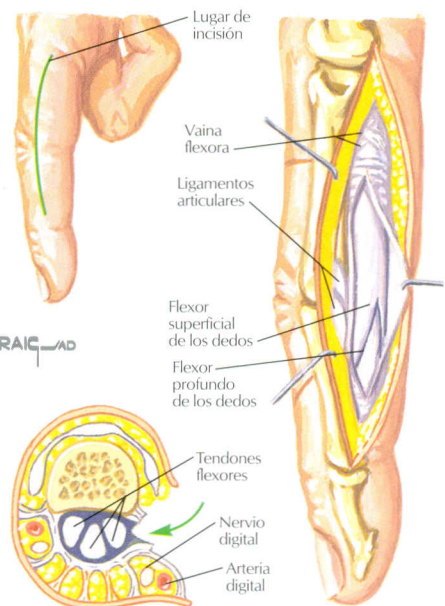
Infección del espacio mediopalmar debido a una tenosinovitis del dedo medio. El foco de infección es una punción distal. Se indica la línea de incisión

DESCRIPCIÓN	Hx y EF	PRUEBAS COMPLEMENTARIAS/ HALLAZGOS	TRATAMIENTO
CONTRACTURA DE DUPUYTREN			
<ul style="list-style-type: none"> • Proliferación de la fascia (fibras largas) • Europa del Este • Asociado a diabetes mellitus y epilepsia 	Hx: hombre, más de 40 años EF: nódulo duro con el dedo en flexión (más habitual en DA y después en DM)	Rx: no necesaria	1. El tratamiento conservador no ofrece eficacia probada 2. Fasciotomía
ENCONDROMA			
<ul style="list-style-type: none"> • Tumor óseo primario más frecuente • Normalmente en la falange proximal 	Hx: dolor tras fractura patológica	RX: lesión lítica	Curetaje e injerto óseo
QUISTE DE INCLUSIÓN EPIDÉRMICA			
<ul style="list-style-type: none"> • Células epidérmicas en tejido profundo 	Hx: traumatismo o punción EF: masa indolora, normalmente sobre los dedos, sin transiluminación	RX: normal	Escisión (deben obtenerse todas las células epidérmicas; si no, recidivará)
QUISTE GANGLIONAR RETINACULAR (GANGLIÓN)			
<ul style="list-style-type: none"> • Quiste (surge de la articulación o tendón) con fluido mucinoso articular • Masa más frecuente en la mano 	Hx: paciente joven EF: visible, masa firme (localización principal volar al tendón flexor MCF)	RX: sin osteófitos en el área correspondiente	Aspiración del quiste si es sintomático (puede recidivar)
TUMOR DE CÉLULAS GIGANTES (FIBROXANTOMA)			
<ul style="list-style-type: none"> • Se origina desde la vaina tendinosa • 2.ª masa más frecuente en la mano 	Hx/EF: masa firme e indolora, normalmente en la región volar del dedo (DI, DMed)	RX: normal	Escisión, alta tasa de recidiva
TUMORES MALIGNOS			
<ul style="list-style-type: none"> • Primario más frecuente: células escamosas • Metastásico más frecuente: pulmón 	Hx/EF: masa, normalmente en el dorso de la mano	RX: normal	Escisión
QUISTE MUCINOSO			
<ul style="list-style-type: none"> • Ganglión de la región dorsal de la IFD • Asociado a OA en IFD 	Hx: mujeres, pacientes ancianos EF: masa dorsal en IFD, +/- dolor	RX: OA y/o osteófitos en IFD	Escisión del osteófito y desbridamiento articular

Abordaje volar del dedo



Abordaje mediolateral del dedo



JOHN A. CRAIG, MD
© ION

USOS	PLANO INTERNERVIOSO	RIESGOS	COMENTARIO
DEDO: ABORDAJE VOLAR			
1. Tendones flexores (reparación/exploración)	Sin planos	1. Arteria digital	1. Realizar una incisión en zig-zag con ángulos de 90°
2. Nervio digital		2. Nervio digital	2. El paquete neurovascular se encuentra lateral a la vaina tendinosa
3. Liberación de partes blandas			
4. Drenaje de infecciones			
DEDO: ABORDAJE MEDIOLATERAL			
Fracturas de las falanges	Sin planos	1. Nervio digital 2. Arteria digital	Las partes blandas son delgadas; la cápsula se puede seccionar si no se realiza con precaución

PELVIS

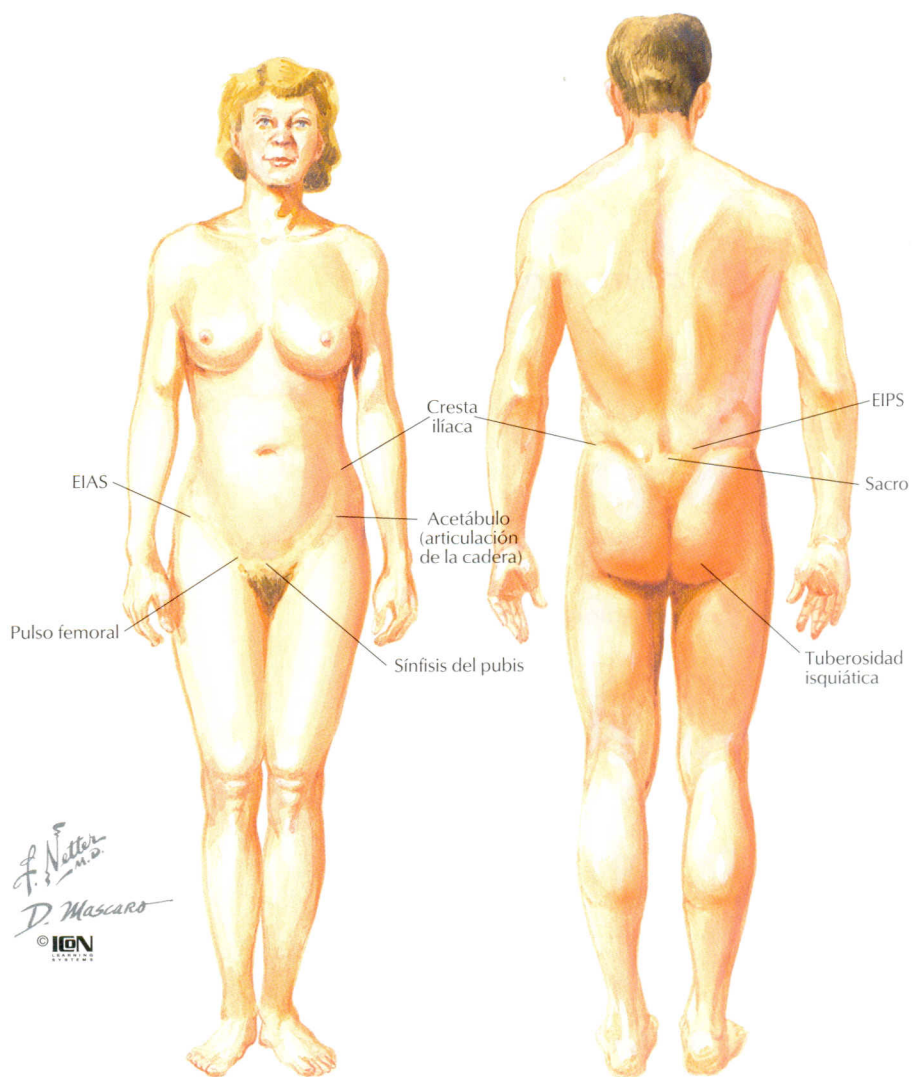
CAPÍTULO

6

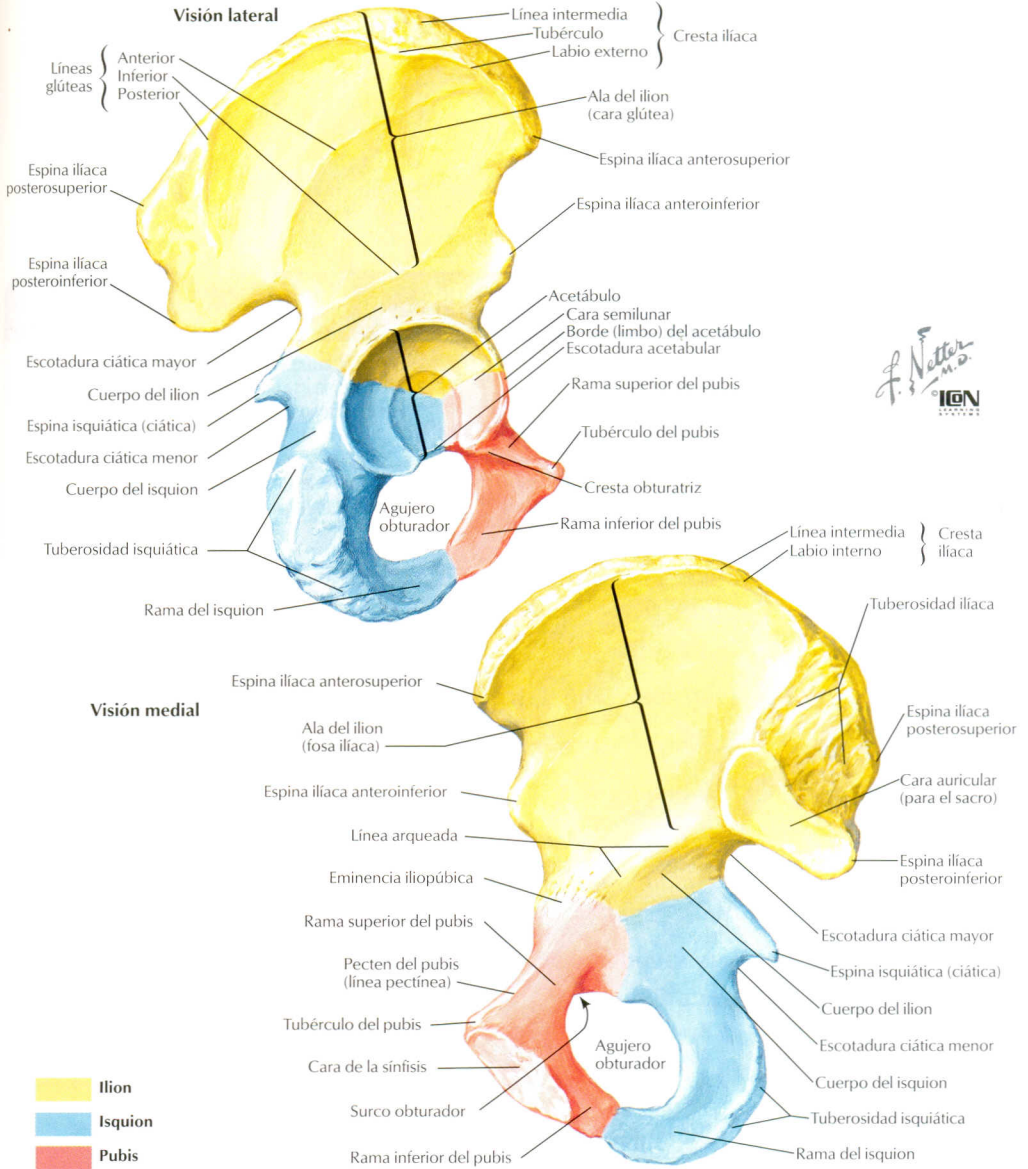


CONTENIDOS

Anatomía topográfica	148
Osteología	149
Puntos de referencia	150
Traumatismo	152
Articulaciones	156
Anamnesis y exploración física	158
Músculos	160
Nervios	163
Arterias	166



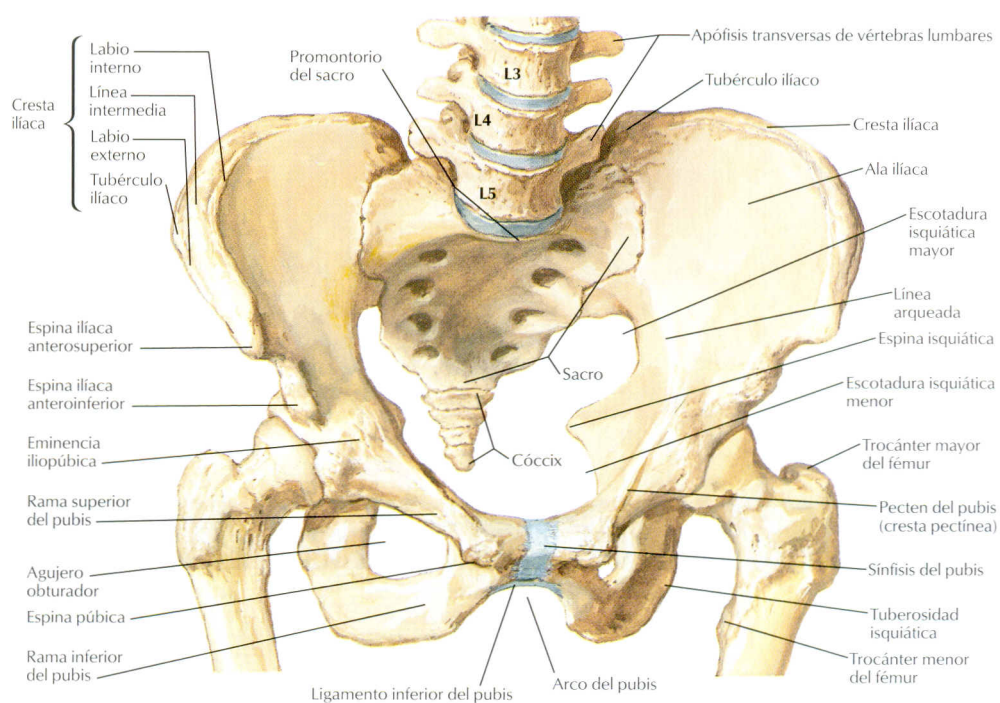
F. Netter M.D.
D. Mascaro
 © ION



Netter M.D.
I.C.N.

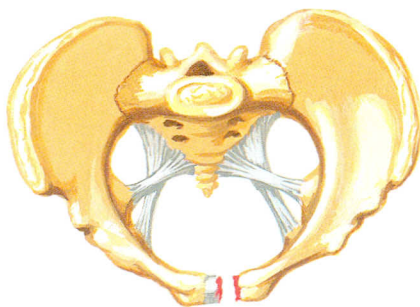
CARACTERÍSTICAS	OSIFICACIÓN	FUSIÓN	COMENTARIO
HUESO COXAL			
• Un hueso: empieza como tres, conectados por un cartílago de tres radios en el acetábulo Ilion: cuerpo y ala Isquion: cuerpo y rama Pubis: cuerpo y dos ramas	Primaria (uno en cada cuerpo)	2-6 meses	Al acetábulo 15 años
• Dos coxales por pelvis (izquierdo y derecho)	Secundaria	15 años	Fusión completa 20 años
• Acetábulo: orientado en anteverción y oblicuo (aprox. 45°)	Cresta iliaca Acetábulo Tuberosidad isquiática ElAI Pubis		<ul style="list-style-type: none"> • El ala iliaca y la rama superior del pubis son «puntos débiles» • EIAS: fractura/avulsión por acción del sartorio • ElAI: fractura/avulsión por acción del recto femoral • Osificación de la cresta iliaca, que se emplea para determinar la madurez esquelética (estadio de Risser) • Contusión en cresta iliaca, conocida como «punto doloroso»
SACRO			
Véase capítulo 1			

ESTRUCTURA	INSERCIONES/ESTRUCTURAS RELACIONADAS	COMENTARIOS
EIAS	Sartorio Ligamento inguinal Músculo oblicuo interno y transversal del abdomen	<ul style="list-style-type: none"> • NCFL cruza el EIAS, lugar donde puede comprimirse (meralgia parestésica) • El sartorio puede avulsionarse (fractura/avulsión)
EIAI	Recto femoral Tensor de la fascia lata Ligamento iliofemoral (cápsula articular)	<ul style="list-style-type: none"> • El recto femoral puede avulsionarse (fractura/avulsión)
EIPS	Ligamentos sacroilíacos posteriores Marcados por hoyuelos cutáneos	<ul style="list-style-type: none"> • Excelente obtención de injerto óseo
Línea arqueada	Músculo pectíneo	<ul style="list-style-type: none"> • Fuerte, zona de soporte de carga
Líneas glúteas	3 líneas: anterior, inferior, posterior	<ul style="list-style-type: none"> • Separan los orígenes de los músculos glúteos
Trocánter mayor	Véase orígenes/inserciones	<ul style="list-style-type: none"> • Doloroso en bursitis trocantéreas
Trocánter menor	Músculos ilíaco y psoas	
Tuberosidad isquiática	Véase orígenes/inserciones Ligamentos sacrotuberosos	<ul style="list-style-type: none"> • Una excesiva fricción puede causar bursitis (nalgas de Weaver)
Espina isquiática (ciática)	Inserción músculo coccígeo y elevador del ano Ligamentos sacroespinosos	
Columna anterior (iliopúbica) del acetábulo	Formada por: <ol style="list-style-type: none"> 1. Rama del pubis 2. Acetábulo anterior 3. Ala ilíaca anterior 	<ul style="list-style-type: none"> • Afectada en algunos patrones de fractura
Columna posterior (ilioisquiática) del acetábulo	Formada por: <ol style="list-style-type: none"> 1. Tuberosidad isquiática 2. Acetábulo posterior 3. Escotadura isquiática 	<ul style="list-style-type: none"> • Afectada en algunos patrones de fractura
Agujero isquiático menor	Salida de rotadores externos cortos: Obturador externo Obturador interno	
Agujero isquiático mayor	Estructuras que salen: <ol style="list-style-type: none"> 1. Nervio glúteo superior 2. Arteria glútea superior 3. Músculo piriforme 4. Nervio pudendo 5. Arteria pudenda inferior 6. Nervio del obturador interno 7. Nervio cutáneo posterior del muslo 8. Nervio isquiático o ciático 9. Nervio glúteo inferior 10. Arteria glútea inferior 11. Nervio del cuadrado femoral 	<ul style="list-style-type: none"> • Músculo piriforme es el punto de referencia • El paquete vasculonervioso glúteo superior pasa cranealmente al piriforme

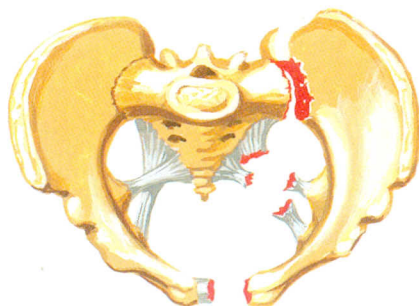


F. Netter M.D.
© IGCN

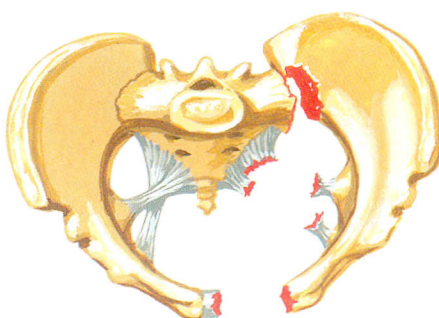
Clasificación de las fracturas de pelvis (joven y adulto)



Compresión anteroposterior de tipo I (CAP I)



Compresión anteroposterior de tipo II (CAP II)

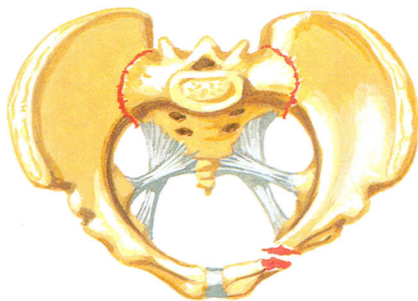


Compresión anteroposterior de tipo III (CAP III)

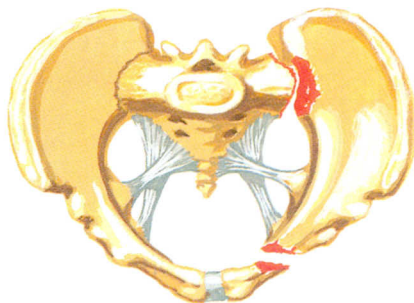
JOHN A. CRAIG, MD
© IGCN

DESCRIPCIÓN	EVALUACIÓN	CLASIFICACIÓN	TRATAMIENTO
FRACTURA DE PELVIS			
<ul style="list-style-type: none"> Mecanismo 1: traumatismo de alta energía (p. ej., AVM). Fuerza lateral más frecuente que AP <ul style="list-style-type: none"> Normalmente asociado a otras lesiones (a menudo con compromiso vital) Fractura pélvica abierta con lesiones GI y/o GU asociadas: 50% mortalidad El ligamento SI posterior es la base de la estabilidad pélvica Mecanismo 2: traumatismo menor (p. ej., caída sobre hueso osteopénico), fractura estable aislada de una rama Mecanismo 3: fractura-avulsión estable <ul style="list-style-type: none"> EIAS (sartorio) EIAI (recto femoral) Isquion (pata de ganso) 	<p>Hx: traumatismo. Tumefacción, dolor, deformidad</p> <p>EF: ABC. Acortamiento Einf, sangre +/- en recto/vagina/uretra. Realizar un buen examen neurovascular: pulsos +/- en ingle y Einf con déficit neurológicos, incluyendo pérdida del tono de esfínteres rectales y reflejo bulbocavernoso</p> <p>XR: Proyecciones de la pelvis en AP, oblicua interna, oblicua externa y Judet</p> <p>TC: fractura completa</p> <p>AGRAF: para hemorragia</p>	<p>Jóvenes y adultos:</p> <ul style="list-style-type: none"> Compresión AP (CAP): <ul style="list-style-type: none"> I. <2,5 cm de diastasis púbica con fractura de 1-2 ramas II. >2,5 cm de diastasis; rotura ligamento SI, pero estable III. Rotura completa sínfisis pubis y articulación SI: fractura inestable Compresión lateral (CLat.): <ul style="list-style-type: none"> I. Compresión sacra con fractura de ramas II. Fractura de ramas, rotura ligamento SI posterior, pero estable III. CLat. II, con CAP III contralateral («mecanismo de segado») Cizalla vertical: lesión pélvica anterior y posterior (desplazamiento); verticalmente inestable 	<p>Tratar primero las lesiones con compromiso vital (vías aéreas, respiración y circulación)</p> <p>Tratar la hemorragia pélvica con fijación externa (+/- embolización)</p> <p>Colostomía de derivación para lesiones GI (evitar sepsis)</p> <p>Fracturas estables: (rama única, fractura/avulsión, CAP o CLat. I); tratamiento conservador; reposo en cama, disminuir actividad cotidiana</p> <p>Fracturas inestables: fijación externa con RAFI según necesidades</p> <p>La movilización precoz facilita la recuperación</p>
<p>COMPLICACIONES: lesiones asociadas (en especial en CAP III): 1. GI; 2. GU; 3. Vasculares/hemorragías, 4. Neurológicas; estancia prolongada en hospital con riesgos asociados (infección, TVP, etc.); deformidad residual y/o dolor (dolor lumbar o SI); acortamiento Einf</p>			

Clasificación de las fracturas de pelvis (joven y adulto)



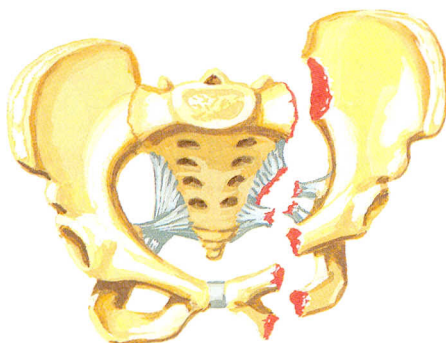
Compresión lateral de tipo I (CLat. I)



Compresión lateral de tipo II (CLat. II)

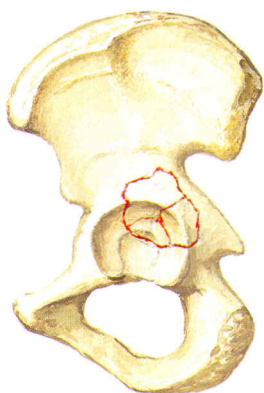


Compresión lateral de tipo III (CLat. III)

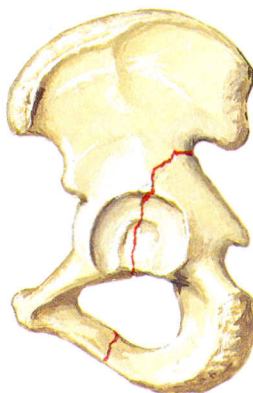


Cizalla vertical

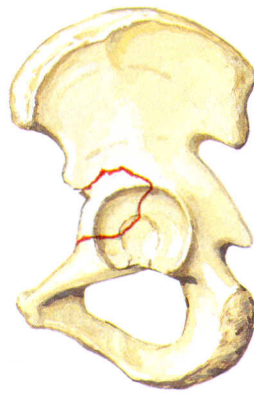
JOHN A. CRAIG AD
© ION



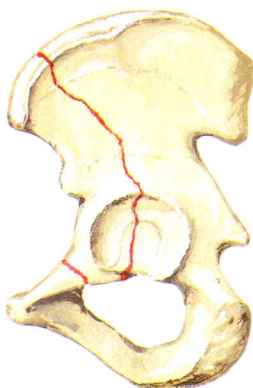
I. Fractura de muro posterior
Reparar con placa y tornillos de compresión (cortical)



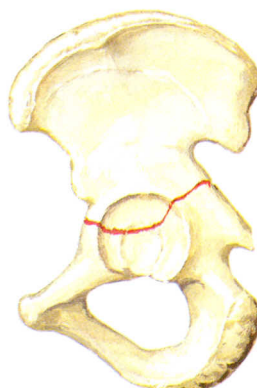
II. Fractura de columna posterior
Reparar con placa y tornillos de compresión (cortical)



III. Fractura en cuña del muro anterior
Reparar con tornillos de compresión (cortical)

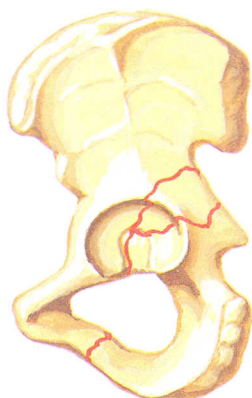


IV. Fractura de columna anterior
Reparar con placa y tornillos largos (esponjosa)

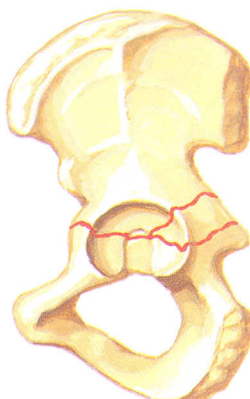


V. Fractura transversa
Reparar con placa y tornillos de compresión (cortical)

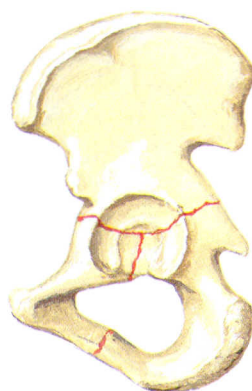
DESCRIPCIÓN	EVALUACIÓN	CLASIFICACIÓN	TRATAMIENTO
FRACTURA DE ACETÁBULO			
<ul style="list-style-type: none"> Poco frecuente; jóvenes Traumatismo de alta energía o violento; la cabeza femoral impacta contra el acetábulo Asociada con frecuencia a luxación de cadera Posibilidad de lesiones GI, GU o vasculares asociadas 	<p>Hx: traumatismo (p. ej., lesión por choque contra el salpicadero). Dolor, deformidad</p> <p>EF: acortamiento y rotación de Einf. Normalmente sin afectación neurovascular distal</p> <p>RX: AP. Oblicua interna y externa (proyecciones de Judet); posibilidad de varios focos de fractura</p> <p>TC: muestra el patrón de fractura y fragmentos libres</p>	<p>Judet/Letournel:</p> <ol style="list-style-type: none"> Muro posterior Columna posterior Muro anterior Columna anterior Transversa Columna y muro posterior Transversa y muro posterior Fractura en «T» Columna anterior y hemitransversa posterior Ambas columnas 	<p>Tracción del lado afectado</p> <p>Fractura estable, congruente y sin desplazamiento: tratamiento conservador</p> <p>Fractura inestable, desplazada, con luxación: RAFI</p> <p>Radioterapia (600 rads) como profilaxis para la formación de hueso heterotópico</p>
COMPLICACIONES: osteoartritis; necesidad de artroplastía total de cadera, lesión nerviosa (nervio ciático); formación de hueso heterotópico; osteonecrosis			



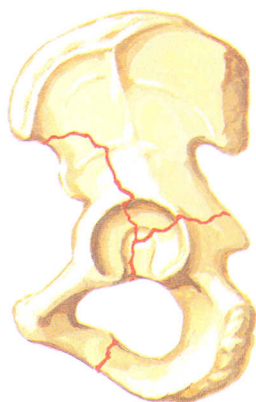
VI. Columna posterior/
muro posterior



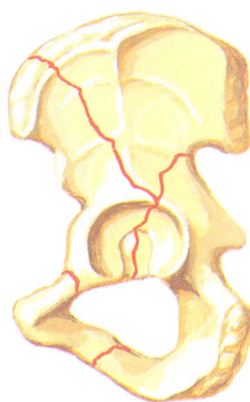
VII. Transversa/muro posterior



VIII. Fractura en «T»
Reparar con placa y tornillos
de compresión (cortical)



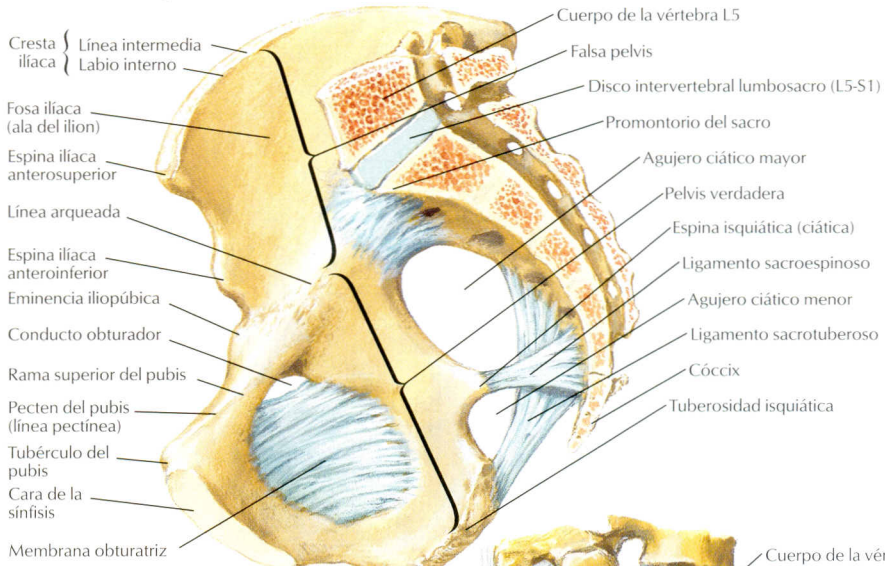
IX. Columna anterior/hemitransversa
posterior



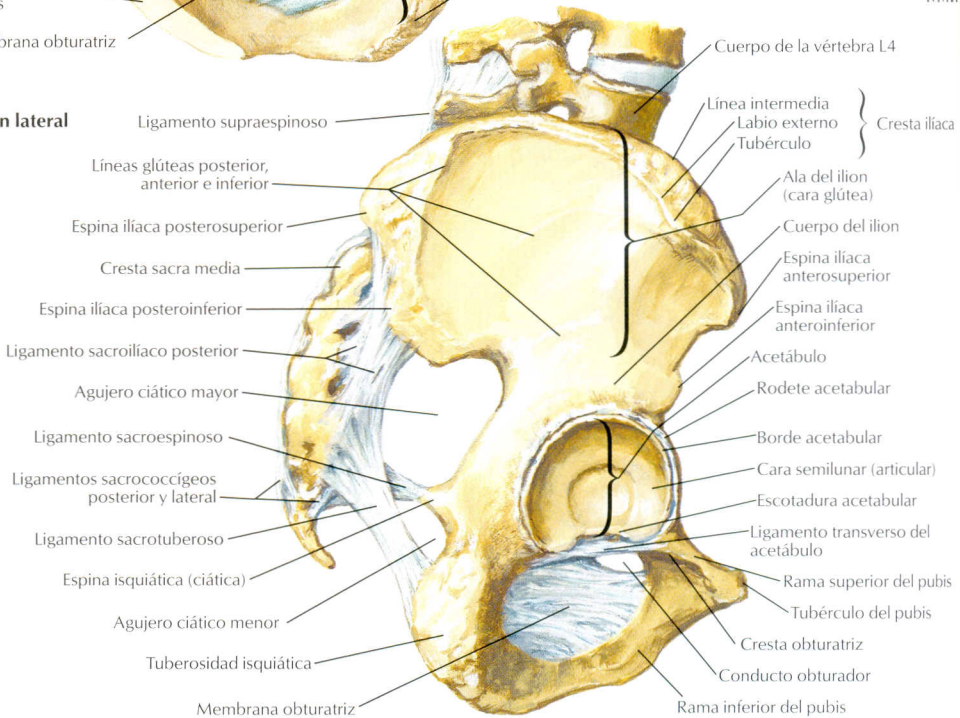
X. Ambas columnas

F. Netter M.D.
JOHN A. CRAIG, MD
© IGV

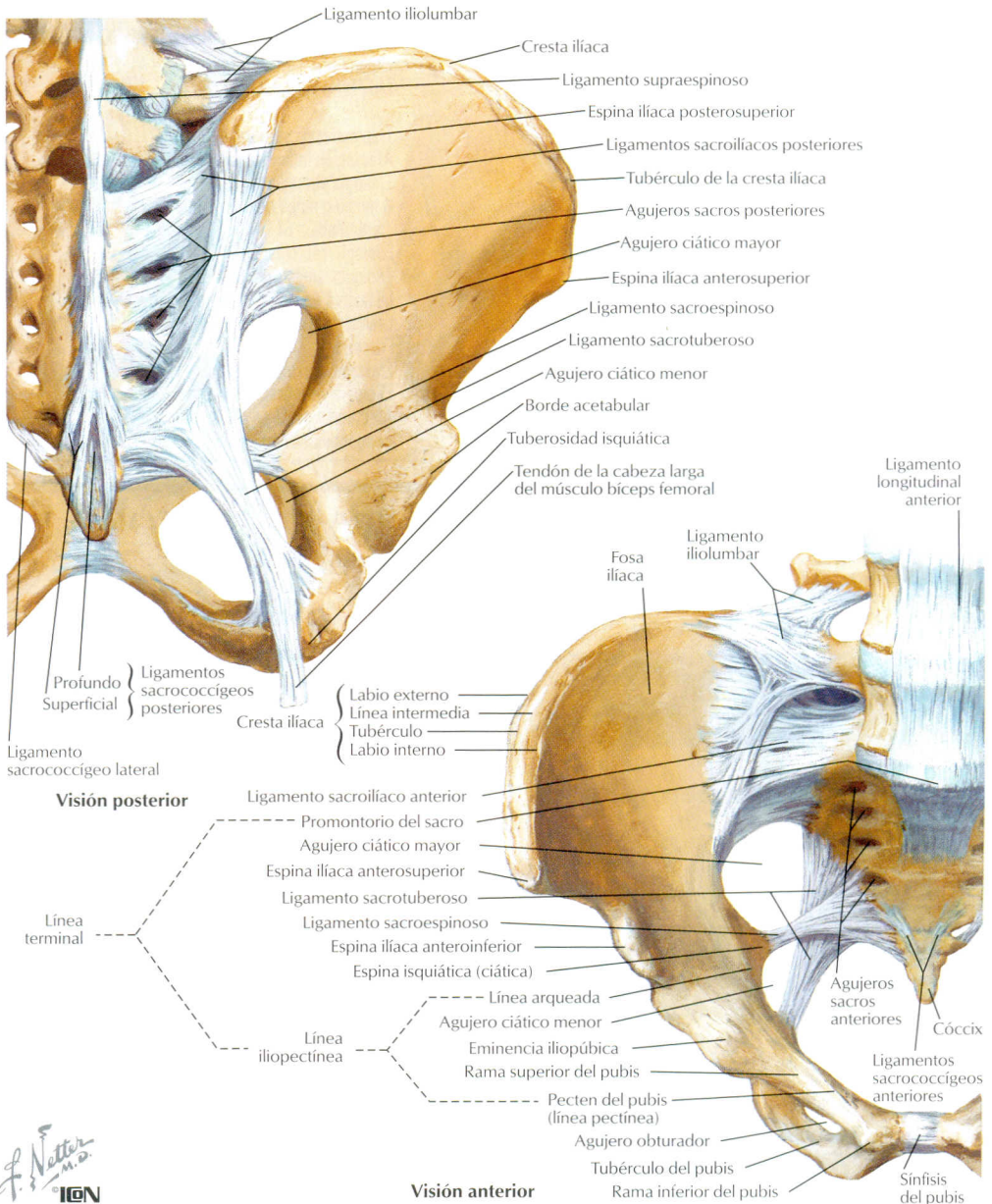
Sección media (sagital)



Visión lateral



LIGAMENTOS	INSERCIONES	COMENTARIOS
SACROILÍACA (PLANA O DE DESLIZAMIENTO)		
SI posterior (corto y largo)	Sacro a ilion: Los cortos son horizontales Los largos son verticales	Ligamentos SI más resistentes: base de la estabilidad Corto: resistencia a rotación Largo: resistencia al desplazamiento vertical Rotura: inestabilidad rotatoria y vertical
SI anterior Interóseo	Sacro a ilion (horizontal) Tuberosidad sacra a tuberosidad iliaca	Estabilidad rotatoria Fuerte



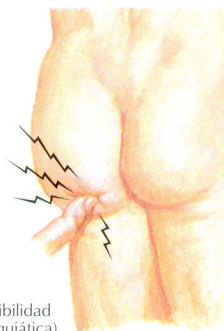
L. Netter M.D.
ICON
 ANATOMY

LIGAMENTOS	INSERCCIONES	COMENTARIOS
SÍNFISIS DEL PUBIS		
Ligamento superior del pubis	Ambos huesos púbicos superiormente	Existe un disco fibrocartilaginoso entre ambas hemipelvis
Ligamento inferior del pubis	Ambos huesos púbicos inferiormente	
OTROS LIGAMENTOS		
Sacroespinoso	Cara anterior del sacro a espina ciática	Forma los agujeros ciáticos mayor y menor; aporta estabilidad rotacional
Sacrotuberoso	Cara anterior del sacro a tuberosidad isquiática	Borde inferior del agujero ciático menor; aporta estabilidad vertical
Iliolumbar	Apófisis transversa de L5 a cresta iliaca	Puede provocar una fractura por avulsión
Lumbosacro	Apófisis transversa de L5 a sacro	Estabilidad vertical

PREGUNTA	RESPUESTA	APLICACIÓN CLÍNICA
1. EDAD	Jóvenes Mediana edad, ancianos	Espondilitis anquilopoyética (+ HLA-b27) Movilidad disminuida
2. DOLOR		
a) Inicio	Agudo Crónico	Traumatismo: fractura, entorsis Afectación inflamatoria sistémica
b) Características	Profundo, no específico Irradiado	Etiología sacroiliaca A muslo o nalga en lado ipsolateral: lesión de la articulación SI
c) Aparición	En escaleras, al acostarse y levantarse Aducción de piernas	Etiología sacroiliaca Etiología: sínfisis del pubis
3. AHx	Embarazo	La laxitud de los ligamentos SI provoca dolor
4. TRAUMATISMO	Caída de nalgas, lesión en torsión Alta energía: AVM, caída	Lesión de la articulación SI Fractura
5. ACTIVIDAD/TRABAJO	Torsión, sobreuso del apoyo monopodal	Etiología sacroiliaca
6. SÍNTOMAS NEUROLÓGICOS	Dolor, entumecimiento, hormigueo	Etiología vertebral, etiología sacroiliaca
7. HISTORIA DE ARTRITIS	Afectación de varias articulaciones	Afectación de SI en AR, síndrome de Reiter, espondilitis anquilopoyética, etc.

EXPLORACIÓN FÍSICA DE LA PELVIS

Por palpación



Bursitis isquiática
(dolor intenso e hipersensibilidad
a nivel de la tuberosidad isquiática)

J. Netter M.D.
© IGM

EXPLORACIÓN/ OBSERVACIÓN	TÉCNICA	APLICACIÓN CLÍNICA
INSPECCIÓN		
Piel	Decoloración, heridas	
EIAS, crestas ilíacas	Ambos niveles (mismo plano)	Si están en diferente plano: desigualdad en la longitud de las piernas, torsión sacra
Curvatura lumbar	Lordosis aumentada Lordosis disminuida	Contractura en flexión Espasmo musculatura paravertebral
PALPACIÓN		
Estructuras óseas	Bipedestación: EIAS, tubérculo ilíaco y espina pública Sedestación: cresta ilíaca, tuberosidad isquiática	Desigualdad entre ambos lados = oblicuidad pélvica: desigualdad en la longitud de las piernas Masa: neuroma glúteo
Partes blandas	Ligamento inguinal Pulso femoral y nódulos Grupos musculares	Masa protruyente: hernia Pulso disminuido: lesión vascular; nódulos palpables: infección Cada grupo debe presentar simetría bilateral
BALANCE ARTICULAR		
Anteversión	Bipedestación: inclinación hacia delante	La EIPS debe elevarse ligeramente (simétrica)
Extensión	Bipedestación: inclinación hacia detrás	La EIPS debe deprimirse (simétrica)
Flexión de cadera	Bipedestación: rodilla al pecho	La EIPS debe descender pero se elevará en hipomovilidad de la articulación SI La tuberosidad isquiática debe moverse lateralmente; se elevará en hipomovilidad de la articulación SI

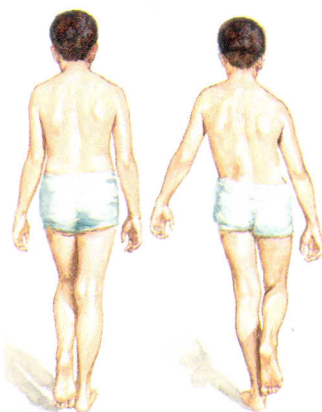
Test de Lasègue



Rodilla extendida, cadera relajada



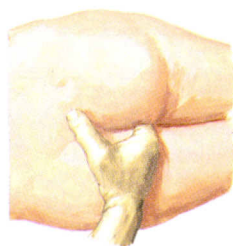
Flexión de cadera pasiva



Test de Trendelenburg

Izquierda: test de Trendelenburg negativo de la cadera derecha sana. *Derecha:* test positivo de la cadera izquierda afectada. Cuando el peso recae sobre el lado afectado, la cadera sana descende, lo cual indica debilidad del músculo glúteo medio izquierdo. El tronco se desplaza hacia la izquierda, pues el paciente intenta disminuir el estrés mecánico sobre la cadera afectada y, de este modo, mantener el equilibrio

F. Netter
M.D.
ICON



Exploración rectal para valorar la función esfinteriana y la sensibilidad perianal, muy importante en todos los pacientes con lesión medular. Al introducir el dedo en el recto se percibe una contracción cuando se le pide al paciente que contraiga el esfínter anal. La presencia de sangre macroscópica indica fractura de pelvis con perforación de colon

EXPLORACIÓN/
OBSERVACIÓN

TÉCNICA

APLICACIÓN CLÍNICA

NEUROVASCULAR

Sensitiva

Nervio iliohipogástrico (L1)

Suprapúbico, cara lateral de nalga y muslo

Su déficit indica una lesión del nervio o raíz correspondiente

Nervio ilioinguinal (L1)

Región inguinal

Su déficit indica una lesión del nervio o raíz correspondiente (p. ej., compresión de la musculatura abdominal)

Nervio genitofemoral (L1-2)

Escroto o vulva

Su déficit indica una lesión del nervio o raíz correspondiente

Nervio cutáneo femoral lateral (L2-3)

Cara lateral de cadera y muslo

Su déficit indica una lesión del nervio o raíz correspondiente (p. ej., meralgia parestésica)

Nervio pudendo (S2-4)

Periné

Su déficit indica una lesión del nervio o raíz correspondiente

Motora

Nervio femoral (L2-4)

Flexión de cadera

Debilidad = iliopsoas o lesión del nervio o raíz correspondiente

Nervio glúteo inferior

Rotación externa

Debilidad = glúteo mayor o lesión del nervio o raíz

Nervio del cuadrado femoral

Rotación externa

Debilidad = rotadores cortos o lesión del nervio o raíz correspondiente

Nervio del obturador interno

Nervio del piramidal

Nervio glúteo superior

Abducción

Debilidad = glúteo medio/menor, TFL o lesión del nervio o raíz correspondiente

Reflejos

Bulbocavernoso

Introducir dedo en el recto; al apretar el pene (Foley), debería contraerse el esfínter anal

Pulsos

Pulso femoral

PRUEBAS ESPECIALES

Lasègue

Decúbito supino: rodilla en extensión, flexión de cadera

Dolor irradiado hacia Elnf: NPH con radiculopatía

Compresión SI

Signo de Trendelenburg

Presionar EIAS, cresta ilíaca, sacro
Bipedestación: elevar una pierna (flexión de cadera)El dolor a nivel de SI puede indicar lesión del ligamento SI
Lado flexionado: la pelvis debe elevarse; si descende:

disfunción abductora o del glúteo medio

Patrick (FABRE)

Flexión, ABducción, RE cadera; entonces, abducir más
Presionar medialmente la EIAS

Positivo si existe dolor o si la Elnf no se abduce junto a la contralateral: patología de la articulación SI

Meralgia

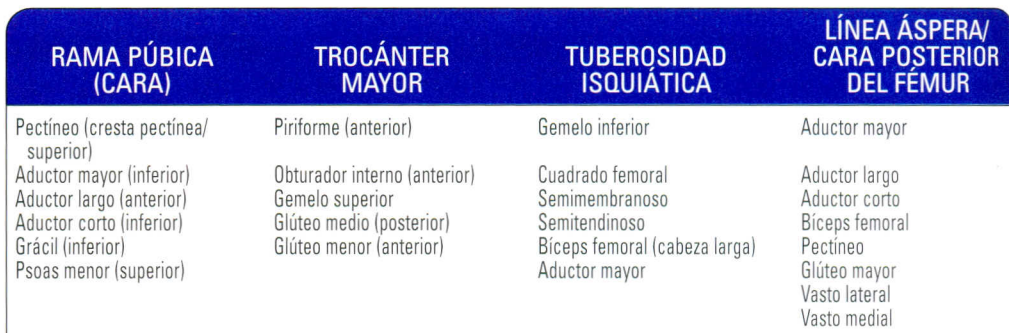
Reproducción del dolor, quemazón, entumecimiento:

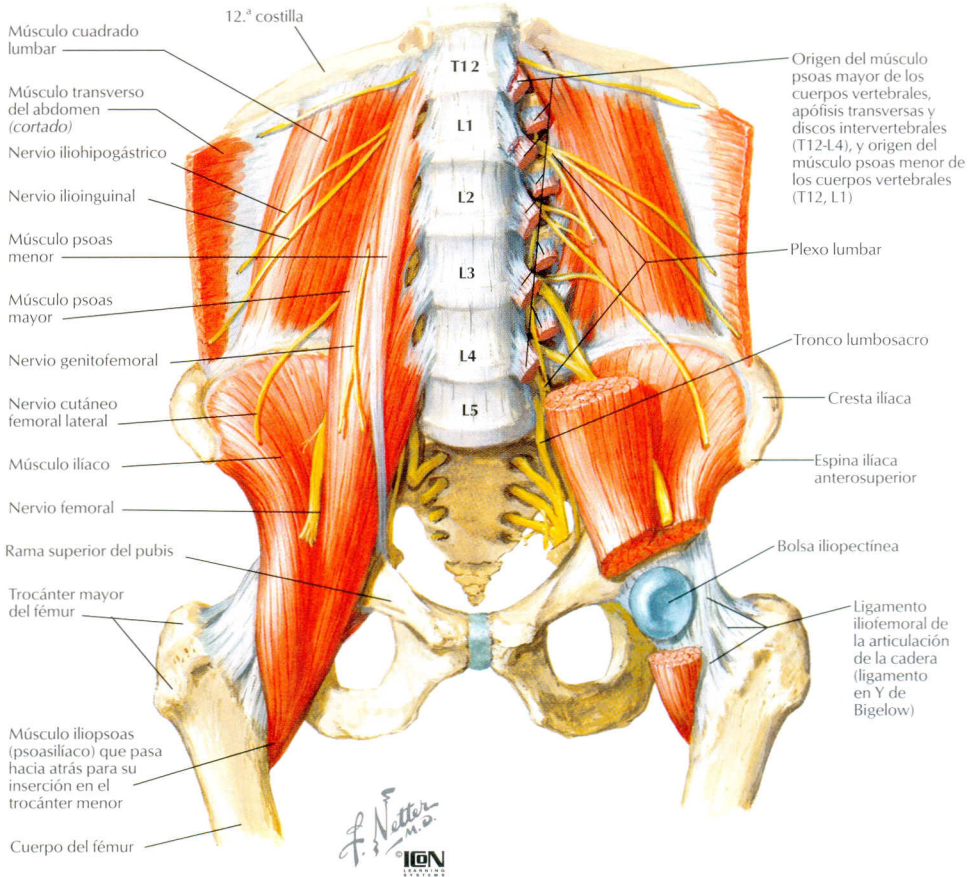
atrapamiento del NCFL

Exploración rectal y vaginal

Especialmente tras traumatismo

La sangre macroscópica indica traumatismo con perforación de estas estructuras

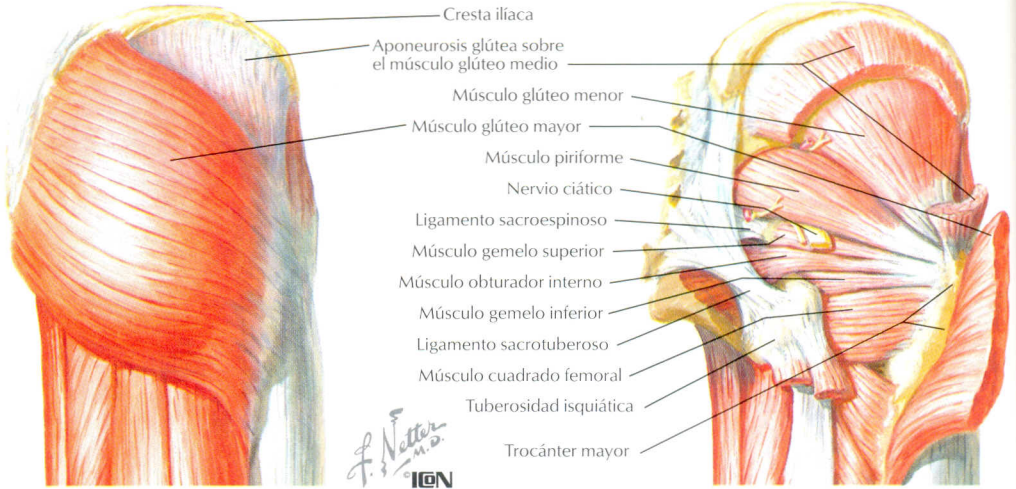




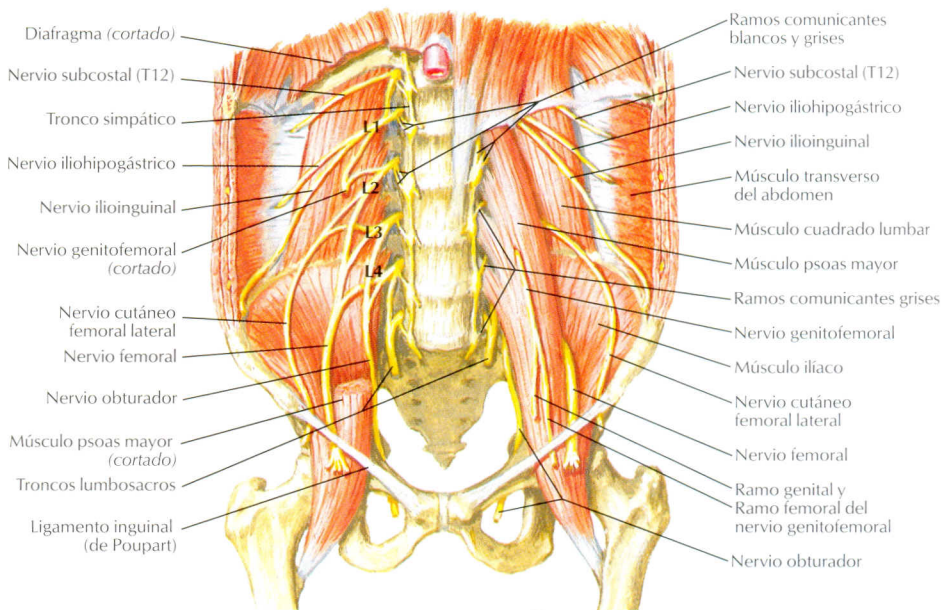
MÚSCULO	ORIGEN	INSERCIÓN	INERVACIÓN	ACCIÓN	COMENTARIO
FLEXORES DE LA CADERA					
ANTERIOR Psoas	T12-L5	Trocánter menor	Femoral	Flexor de la cadera	Cubre el plexo lumbar
Iliaco	Fosa iliaca	Trocánter menor	Femoral	Flexor de la cadera	Cubre la cara anterior del ilion
ABDUCTORES DE LA CADERA					
Tensor de la fascia lata	Cresta iliaca, EIAS	Tracto iliotibial	Glúteo superior	Abducción, flexión, RI del muslo	Un plano en el abordaje anterior de cadera

Disección superficial

Disección profunda



MÚSCULO	ORIGEN	INSERCIÓN	INERVACIÓN	ACCIÓN	COMENTARIO
ABDUCTORES DE LA CADERA					
Glúteo medio	Ilión entre las líneas glúteas anterior y posterior	Trocánter mayor	Glúteo superior	Abducción (RI) del muslo	Marcha en Trendelenburg si el músculo está afectado
Glúteo menor	Ilión entre las líneas glúteas anterior e inferior	Cara anterior del trocánter mayor	Glúteo superior	Abducción (RI) del muslo	Actúa conjuntamente con el medio
ROTADORES EXTERNOS DE LA CADERA					
Glúteo mayor	Ilión, cara posterior del sacro	Tuberosidad glútea (fémur), TIT	Glúteo inferior	Extensión, RE del muslo	Debe desinsertarse en el abordaje posterior de la cadera
Piriforme	Cara anterior del sacro	Cara superior del trocánter mayor	Piriforme	RE del muslo	Utilizado como punto de referencia
Obturador externo	Rama inferior del pubis, membrana obturatriz	Fosa trocantérea	Obturador	RE del muslo	Músculo realmente en cara medial del muslo
Rotadores cortos					
Obturador interno	Rama inferior del pubis, membrana obturatriz	Cara medial del trocánter mayor	Nervio del músculo obturador interno	RE, abducción del muslo	El músculo realiza un giro exacto
Gemelo superior	Espina isquiática	Cara medial del trocánter mayor	Nervio del músculo obturador interno	RE del muslo	Ayuda al obturador interno
Gemelo inferior	Tuberosidad isquiática	Cara medial del trocánter mayor	Nervio del músculo cuadrado femoral	RE del muslo	Ayuda al obturador interno
Cuadrado femoral	Tuberosidad isquiática	Cresta intertrocantérea	Nervio del músculo cuadrado femoral	RE del muslo	Se localiza junto a la rama ascendente de la arteria circunfleja medial



J. Netter M.D.
© IGM

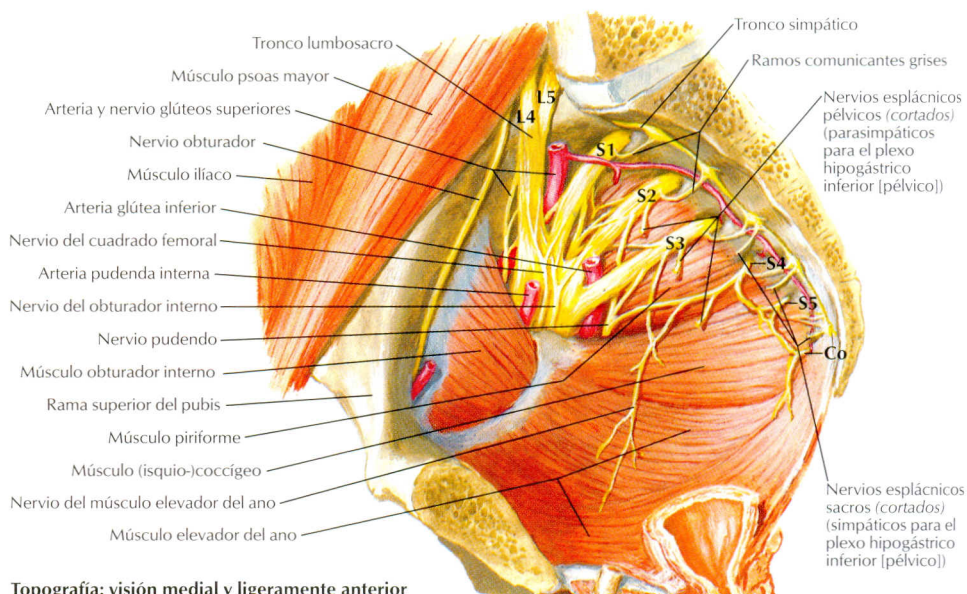
PLEXO LUMBAR

DIVISIÓN ANTERIOR

1. **Subcostal** (T12):
Sensitiva: Región subxifoidea
Motora: NINGUNA
2. **Iliohipogástrico** (L1):
Sensitiva: Por encima del pubis
 nalgas postero-laterales
Motora: Transverso del abdomen
 Oblicuo interno del abdomen
3. **Ilioinguinal** (L1):
Sensitiva: Región inguinal
Motora: NINGUNA
4. **Genitofemoral** (L1-2): perfora el psoas, discurre sobre su cara anterolateral
Sensitiva: Escroto/monte de Venus
Motora: Cremáster
5. **Obturador** (L2-4): emerge por el conducto obturador y se divide en anterior y posterior. Se puede lesionar por retractores situados tras el ligamento acetabular transverso
Sensitiva: Muslo inferomedial mediante
 ramo cutáneo del nervio obturador
Motora: Oblicuo externo del abdomen
 Obturador externo (división posterior)
6. **Obturador accesorio** (L2-4): inconstante
Sensitiva: NINGUNA
Motora: Psoas

DIVISIÓN POSTERIOR

7. **Cutáneo femoral lateral** (NCFL)(L2-3): **Cruza EIAS, puede atraparse en EIAS**
Sensitiva: NINGUNA (en pelvis)
Motora: NINGUNA
8. **Femoral** (L2-4): discurre entre el psoas mayor y el iliaco
Sensitiva: NINGUNA (en pelvis)
Motora: Psoas
 Iliaco
 Pectíneo

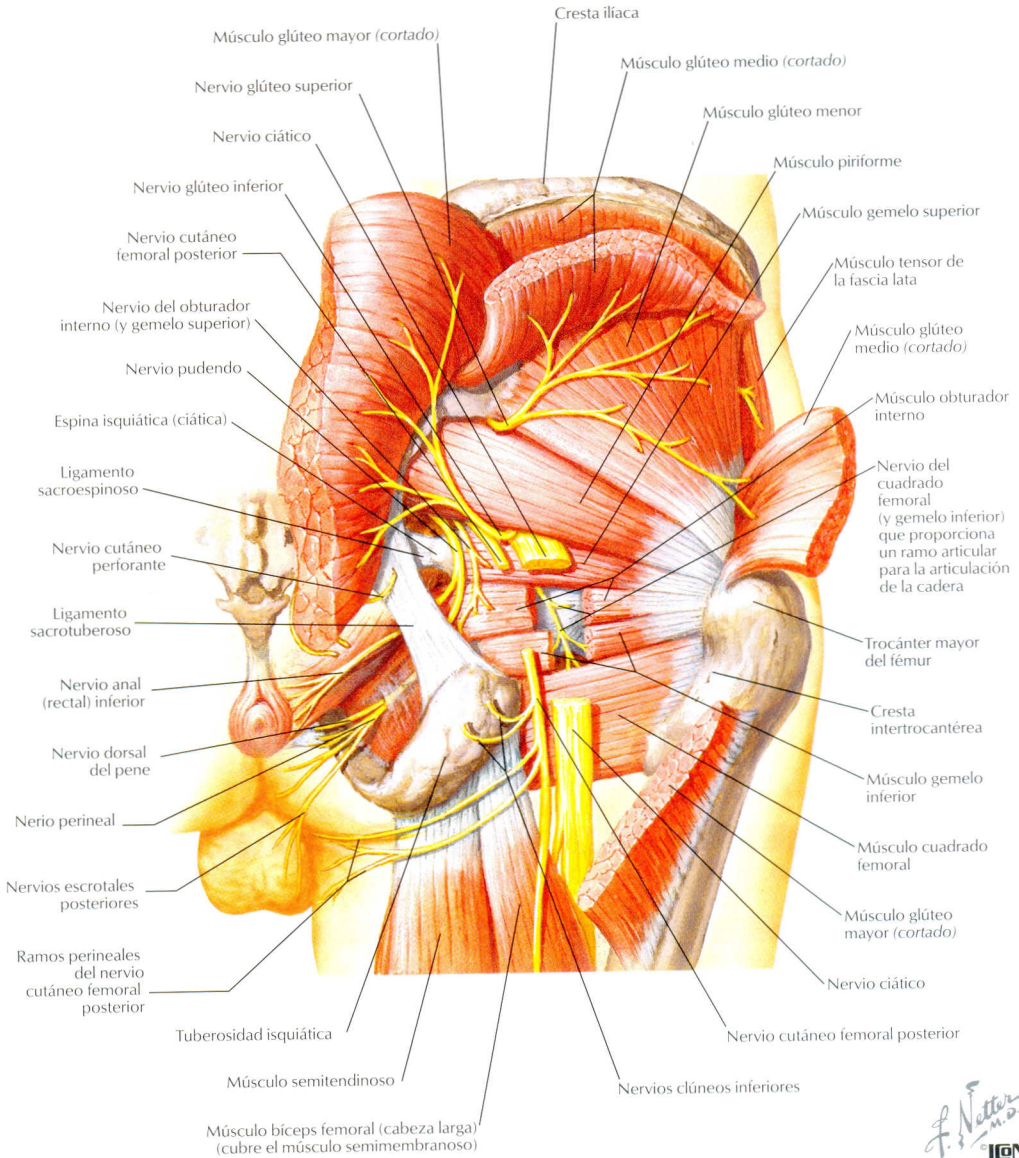


Topografía: visión medial y ligeramente anterior de una hemisección de la pelvis

F. Netter M.D.
© IGM

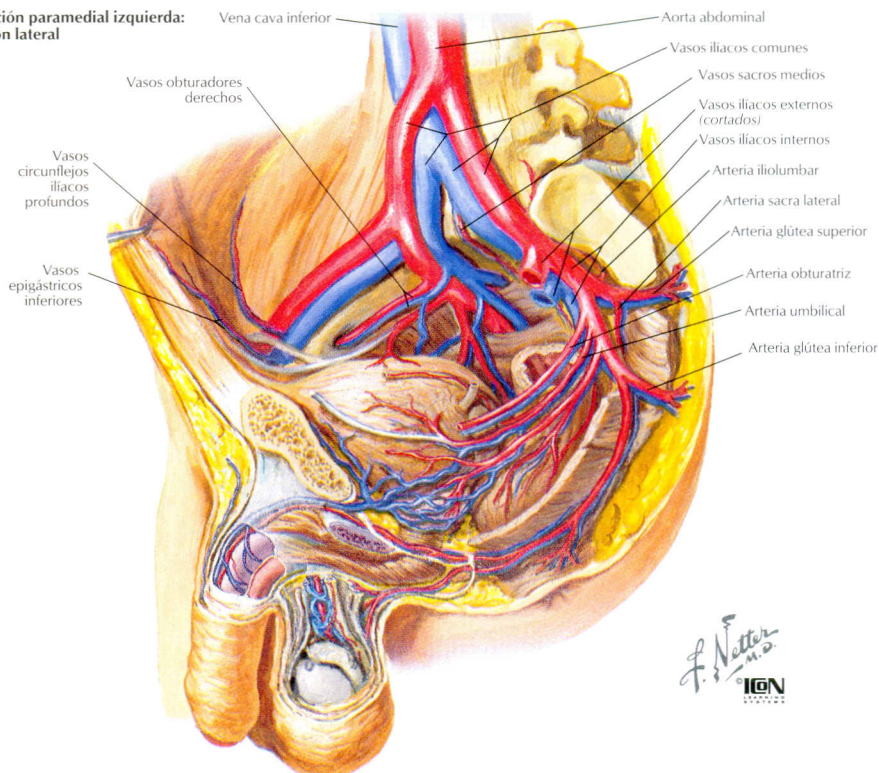
PLEXO SACRO

DIVISIÓN ANTERIOR	DIVISIÓN POSTERIOR
<p>9. Nervio del músculo cuadrado femoral (L4-S1): Sensitiva: NINGUNA Motora: Cuadrado femoral Gemelo inferior</p> <p>10. Nervio del músculo obturador interno (L5-S2): emerge del agujero ciático mayor Sensitiva: NINGUNA Motora: Obturador interno Gemelo superior</p> <p>11. Pudendo (S2-4): emerge por el agujero isquiático mayor y vuelve por el menor Sensitiva: Periné: vía perineal (ramos escrotales/labiales) vía nervio rectal inferior vía nervio dorsal del pene/clítoris Motora: Bulboesponjoso, nervio perineal Isquiocavernoso, nervio perineal Esfínter uretral, nervio perineal Diafragma urogenital, nervio perineal Esfínter externo del ano, nervio rectal inferior</p> <p>12. Nervio coccígeo (S3-4) Sensitiva: NINGUNA Motora: Coccígeo Elevador del ano</p>	<p>13. Glúteo superior (L4-S1): Sensitiva: NINGUNA Motora: Glúteo medio Glúteo menor Tensor de la fascia lata</p> <p>14. Glúteo inferior (L5-S2): Sensitiva: NINGUNA Motora: Glúteo mayor</p> <p>15. Nervio del músculo piriforme (S2): Sensitiva: NINGUNA Motora: Piriforme</p>
OTROS NERVIOS (NO DEL PLEXO)	
<p>16. Nervios clúneos: ramos de los ramos posteriores lumbares y sacros. Pueden lesionarse en la obtención de injertos óseos Sensitiva: Piel de la región glútea Motora: NINGUNA</p>	



F. Netter M.D.
IGN
 ILLUSTRATIONS

Sección paramedial izquierda:
visión lateral



RECORRIDO	RAMAS	COMENTARIO
AORTA		
A lo largo de la cara anterior de los cuerpos vertebrales y LLA	Ilíacas comunes a nivel de L4 Arterias lumbares (4 grupos) Arteria sacra media 5.ª arteria lumbar (2)	Pares: la rama dorsal irriga médula, meninges y musculatura paravertebral Vaso impar Se anastomosan con arterias sacras laterales
ILÍACAS COMUNES		
A lo largo de columna lumbar anterior y el sacro	Se dividen en ilíacas internas y externas a nivel de S1	
ILÍACA INTERNA		
Bajo el uréter, cerca de la articulación SI, se divide a nivel del borde del agujero isquiático mayor	Irriga la mayor parte de la pelvis y órganos pélvicos <u>DIVISIÓN ANTERIOR</u> Obturatriz Rama acetabular (arteria del ligamento de la cabeza del fémur en cadera) Glútea inferior Múltiples ramas viscerales* <u>DIVISIÓN POSTERIOR</u> Glútea superior Iliolumbar Sacra lateral	Discurre junto al nervio, a través del agujero Pequeña contribución a la vascularización de la cabeza femoral Irriga los músculos glúteos Irriga los músculos glúteos Irriga el iliopsoas y el ilion Irriga las raíces sacras, las meninges y los músculos que cubren el sacro
ILÍACA EXTERNA		
Bajo el ligamento inguinal, sobre las ramas del pubis y el músculo psoas	No contribuye demasiado a la vascularización de la pelvis Arteria circunfleja ilíaca profunda Arteria epigástrica inferior Arteria femoral (bajo el ligamento inguinal)	Riesgo en artroplastia total de cadera (ATC)

* Otras ramas de la ilíaca interna: umbilical, vaginal/vesical inferior, uterina, rectal media y pudenda inferior.

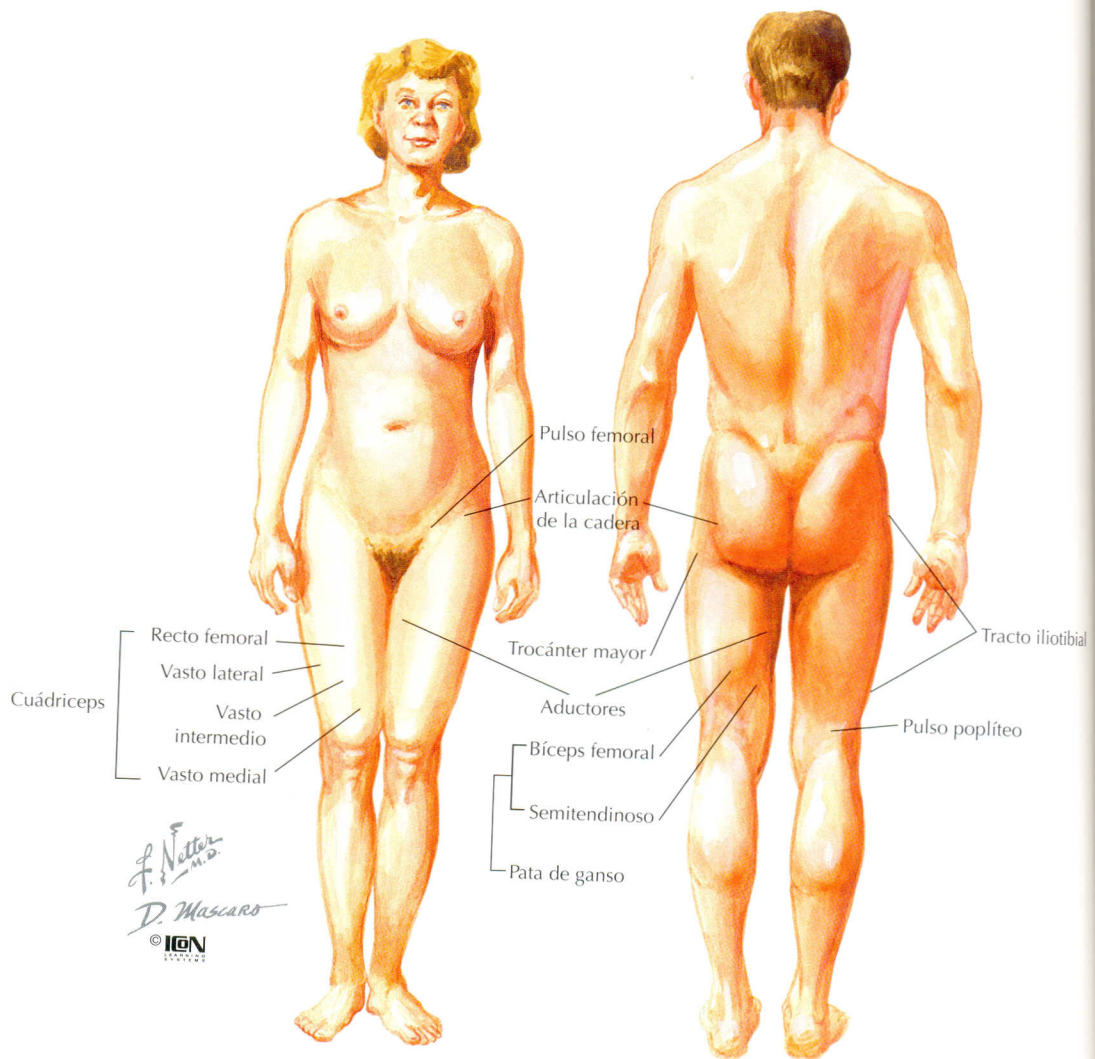
7

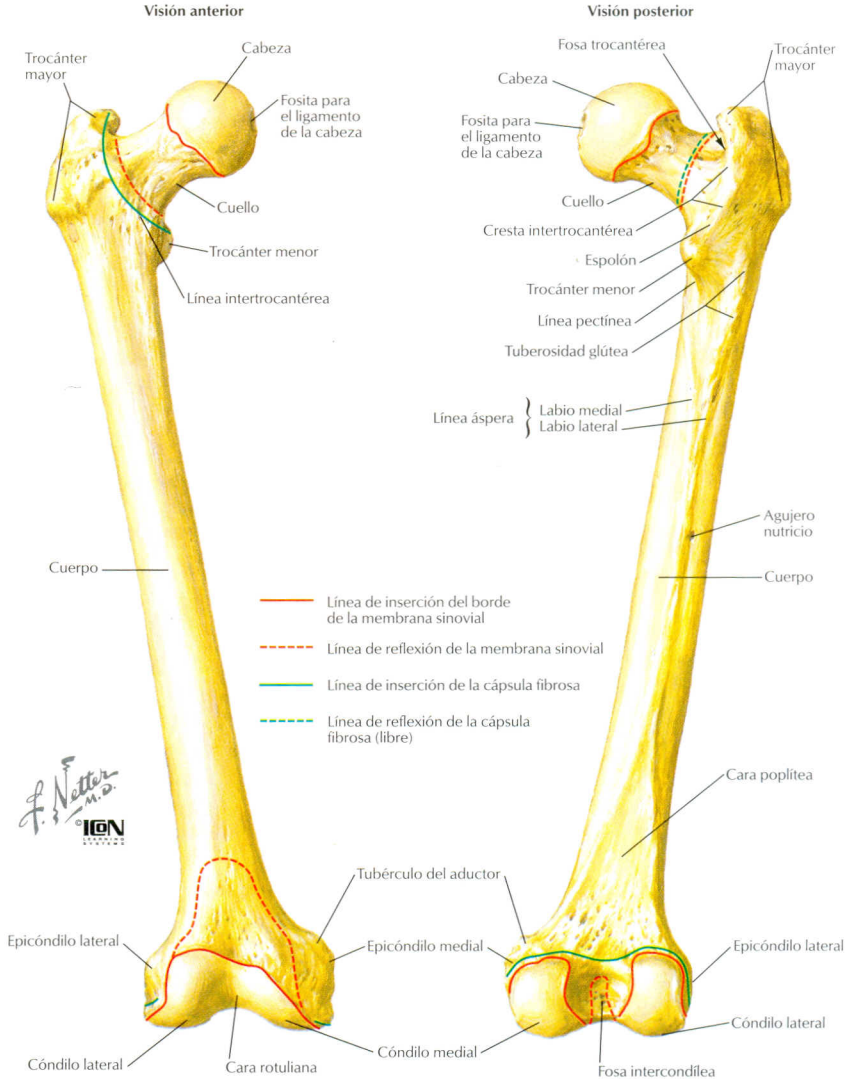
CAPÍTULO

MUSLO/CADERA

CONTENIDOS

Anatomía topográfica	168
Osteología	169
Traumatismo	170
Articulaciones	174
Procedimientos menores	175
Anamnesis y exploración física	176
Músculos	181
Nervios	186
Arterias	189
Patología	191
Consejos para la artroplastia total de cadera	193
Patología pediátrica	195
Abordajes quirúrgicos	197

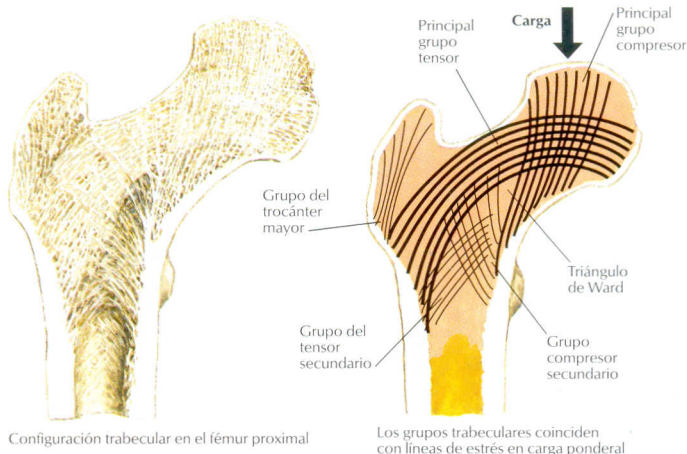




CARACTERÍSTICAS	OSIFICACIÓN	FUSIÓN	COMENTARIO	
FÉMUR				
<ul style="list-style-type: none">• Características de hueso largo• Proximalmente: cabeza, cuello, trocánter mayor y menor• Cuello: hueso formado por grupos de tensión y compresión• Distalmente: 2 cóndilos• Lateral: más anterior y proximal• Medial: mayor, más posterior y distal• Anteversión femoral: 12-14°• Ángulo cervicodifisario: 126°	<p>Primaria (diáfisis)</p> <p>Secundaria</p> <ol style="list-style-type: none">1. Fisis distal2. Cabeza3. Trocánter mayor4. Trocánter menor	<p>7-8 semanas (fetal)</p> <p>Nacimiento</p> <p>1 año</p> <p>4-5 años</p> <p>10 años</p>	<p>16-18 años</p> <p>19 años</p> <p>18 años</p> <p>16 años</p> <p>16 años</p>	<ul style="list-style-type: none">• Vascularización• Cabeza y cuello: ramas de la arteria circunfleja medial y lateral (femoral profunda)• Diáfisis: nutricia (femoral profunda)• Vascularización escasa de cabeza y cuello: mayor riesgo de necrosis en fractura o luxación• El cuello femoral se debilita con la edad y es susceptible de fractura• Eje anatómico: a lo largo de la diáfisis del fémur• Eje mecánico: de la cabeza femoral a la escotadura intercondílea

Arquitectura ósea en relación con el estrés físico

Ley de Wolff: las estructuras óseas se orientan en forma y masa para resistir mejor las fuerzas extrínsecas (p. ej., forma y masa según función)



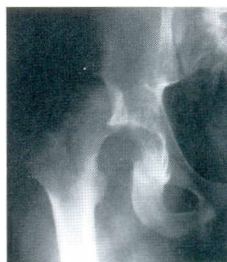
Configuración trabecular en el fémur proximal

Los grupos trabeculares coinciden con líneas de estrés en carga ponderal

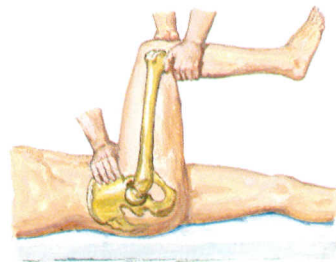
MUSLO/CADERA TRAUMATISMO



Visión anteroposterior. La cabeza femoral luxada se sitúa posterior y cranealmente respecto al acetábulo. Fémur en aducción y rotación interna; cadera flexionada. El nervio ciático se puede comprimir



Radiografía anteroposterior que muestra luxación posterior

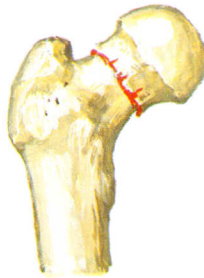


Maniobra de Allis. Paciente en decúbito supino sobre la mesa, bajo anestesia o sedación. El examinador aplica tracción distal sobre la rodilla flexionada para situar la cabeza en el acetábulo; pueden ayudar ligeros movimientos de rotación. El ayudante fija la pelvis presionando sobre las EIAS

DESCRIPCIÓN	EVALUACIÓN	CLASIFICACIÓN	TRATAMIENTO
LUXACIÓN DE CADERA			
<ul style="list-style-type: none"> Traumatismo de alta energía (en especial AVM-lesión por choque contra el salpicadero o caída importante) Emergencia traumatológica Múltiples lesiones asociadas +/- fracturas (p. ej., cabeza y cuello femoral) Posterior más común (85%) 	<p>Hx: traumatismo. Dolor intenso. No se puede mover muslo/cadera</p> <p>EF: posición del muslo.</p> <p>Posterior: aducción, flexión, RI</p> <p>Anterior: abducción, flexión, RE</p> <p>Dolor (sobre todo en movimiento), examen neurovascular</p> <p>Rx: pelvis AP, axial de cadera (cabeza femoral de diferente tamaño). También series de fémur y rodilla</p> <p>TC: descartar fractura o fragmentos óseos</p>	<p>Posterior. Thompson:</p> <ol style="list-style-type: none"> Simple, sin fragmento posterior Simple, gran fragmento posterior Fragmento posterior conminuto Fractura del acetábulo Fractura de la cabeza femoral <p>Anterior. Epstein:</p> <ol style="list-style-type: none"> (A, B, C): superior (A, B, C): inferior <ol style="list-style-type: none"> Sin fractura asociada Fractura de cabeza femoral Fractura de acetábulo 	<p>Reducción inmediata esencial; entonces, repetir Rx y examen neurológico</p> <p>Posterior:</p> <ol style="list-style-type: none"> Reducción cerrada y cojín abductor II-V. 1. Reducción cerrada (abierta si es irreducible); 2. RAFI de fractura o resección del fragmento <p>Anterior: reducción cerrada, RAFI si es necesario</p>

COMPLICACIONES: **osteonecrosis** (NAV), disminuir riesgo con reducción inmediata; **lesión del nervio ciático** (luxación posterior); lesión de arteria y nervio femoral (luxación anterior); inestabilidad y recidiva; osteoartritis; osificación heterotópica

Fractura del cuello femoral



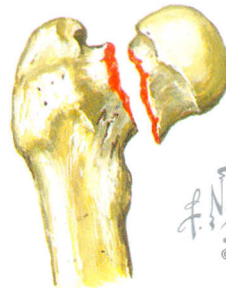
Tipo I. Fractura enclavada



Tipo II. Fractura no desplazada



Tipo III. Desplazamiento parcial

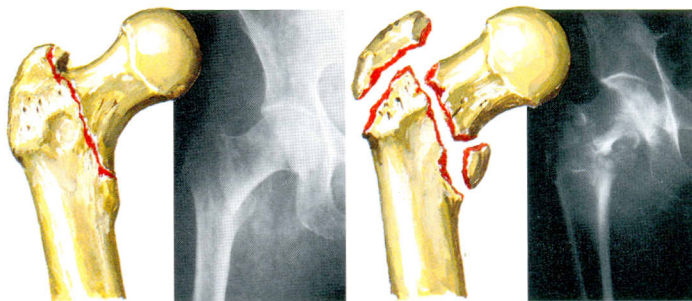


Tipo IV. Fractura desplazada.
La línea de fractura vertical sugiere,
por lo general, peor pronóstico

J. Natter
JOHN A. CRAIG, MD
© ION

DESCRIPCIÓN	EVALUACIÓN	CLASIFICACIÓN	TRATAMIENTO
FRACTURA DEL CUELLO FEMORAL			
<ul style="list-style-type: none"> Mecanismo: 1. Más común: caída de mujer anciana 2. Lesión de alta energía en pacientes jóvenes Fractura intraarticular Asociada a osteoporosis A menudo por causa médica (síncope, etc.) Alta morbilidad e índice de complicaciones (25%) 	<p>Hx: caída. Dolor, imposibilidad de caminar o ponerse en pie</p> <p>EF: acortamiento, abducción y RE de Einf; dolor al «rotar» la pierna</p> <p>Rx: pelvis AP (+/- RI), axial de cadera</p> <p>RM: si hay síntomas con Rx negativas</p>	<p>Garden (4 tipos):</p> <ol style="list-style-type: none"> Fractura incompleta; enclavada en valgo Fractura completa; no desplazada Fractura completa, desplazamiento parcial (varo) Fractura completa, desplazamiento total 	<p>La reducción temprana es esencial</p> <p>Todas las fracturas: Reducción cerrada (abierta); entonces, fijación interna de la fractura:</p> <p>Joven: 3 tornillos canulados paralelos</p> <p>Ancianos: hemiartroplastia (Fractura estable, de tipo I, puede curar sin cirugía; RAFI debido al riesgo de desplazamiento)</p>
<p>COMPLICACIONES: la incidencia de osteonecrosis (NAV) aumenta con el tipo de fractura (desplazamiento) +/- colapso tardío de los segmentos; fallo en la consolidación; fallo en la osteosíntesis</p>			

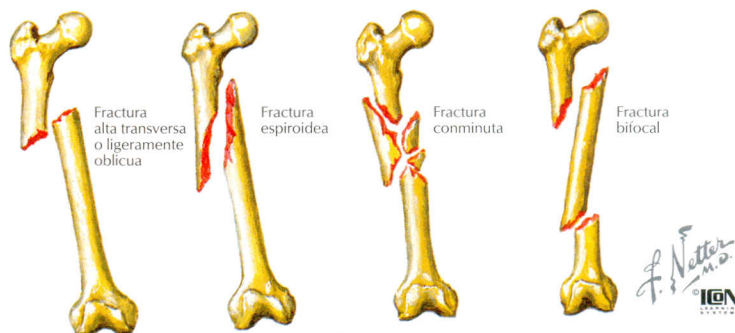
Fractura pertrocanterea de fémur



I. Fractura no desplazada

II. Fractura desplazada conminuta

Fractura diafisaria de fémur



Fractura alta transversa o ligeramente oblicua

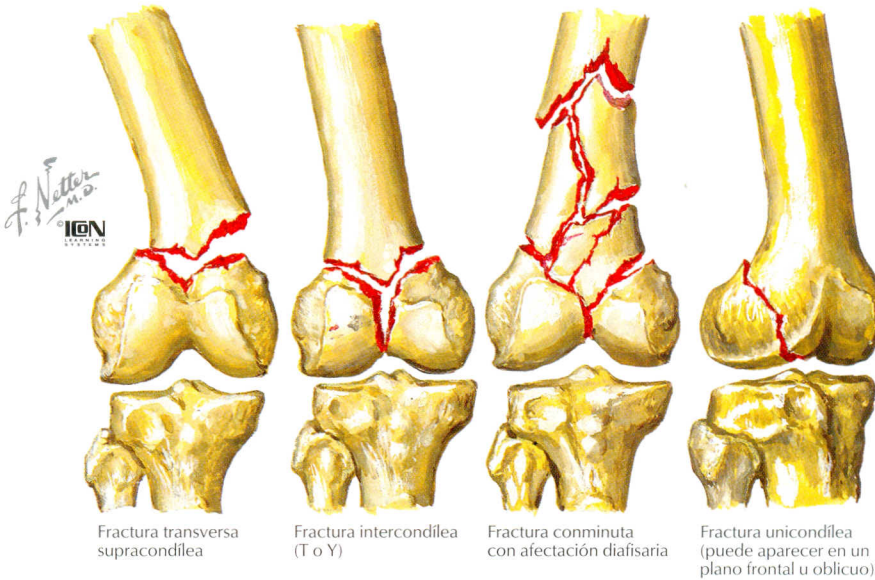
Fractura espiroidea

Fractura conminuta

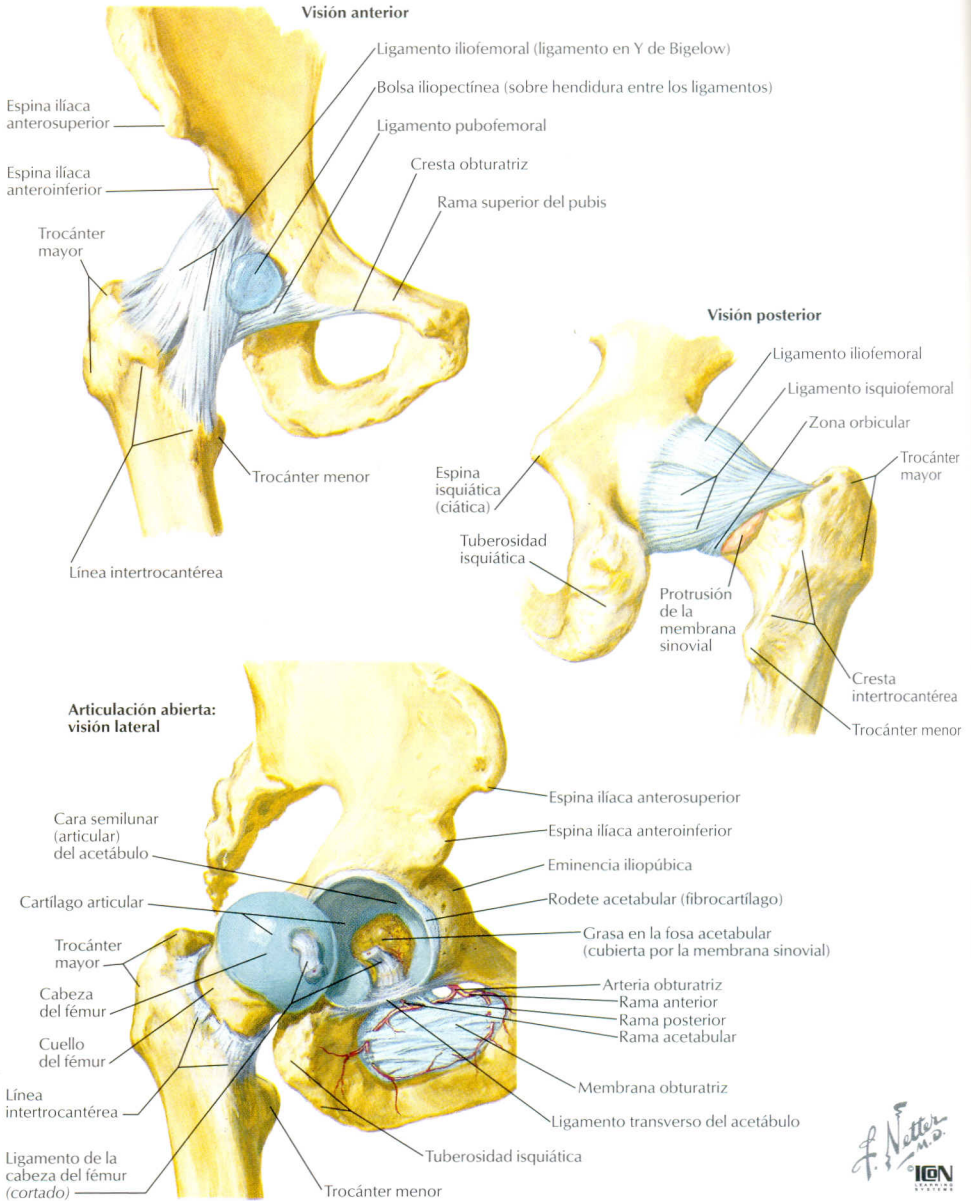
Fractura bifocal

DESCRIPCIÓN	EVALUACIÓN	CLASIFICACIÓN	TRATAMIENTO
FRACTURA PERTROCANTEREA			
<ul style="list-style-type: none"> Más frecuente en caída de mujeres ancianas Asociada a osteoporosis Se produce a lo largo o por debajo de la línea intertrocanterea Fracturas extraarticulares Vascularización estable Mejor curación con una fijación adecuada 	<p>Hx: caída. Dolor, imposibilidad de caminar o ponerse en pie</p> <p>EF: acortamiento y RE Einf. Dolor a la rotación de la pierna</p> <p>Rx: pelvis AP (+/- RI), axial de cadera</p> <p>RM: si hay síntomas con Rx negativas</p>	<p>Evans (basada en estabilidad posreducción)</p> <p>Tipo I. Estable</p> <p>Tipo II. Inestable</p>	<p>Tratamiento no quirúrgico muy raramente indicado</p> <p>Tratamiento quirúrgico con placa-tornillo de compresión</p> <p>Movilización precoz con carga parcial</p>
FRACTURA SUBTROCANTEREA			
<ul style="list-style-type: none"> Mecanismo: <ol style="list-style-type: none"> Caída en ancianos Traumatismo en jóvenes Se produce bajo el trocánter menor (a unos 5 cm) Localización de fracturas patológicas Vascularización disminuida = lenta curación 	<p>Hx: traumatismo o caída. Dolor, tumefacción</p> <p>EF: tumefacción, hipersensibilidad +/- acortamiento de Einf</p> <p>Rx: AP y lateral</p>	<p>Seinsheimer (5 tipos):</p> <ol style="list-style-type: none"> Sin o con mínimo desplazamiento Desplazada: 2 fragmentos Desplazada: 3 fragmentos Conminuta (4+ fragmentos) Fractura subtrocanterea/pertrocanterea 	<p>Tratamiento no quirúrgico: tracción y yeso crurorupélico (no utilizado normalmente)</p> <p>Tratamiento quirúrgico: clavo IM con bloqueo, tornillo de compresión o clavo de Zickel, +/- injerto óseo</p>
COMPLICACIONES: pseudoartrosis/fallo en la consolidación; fallo en la osteosíntesis o pérdida de reducción; infección. El índice de mortalidad en los primeros 6 meses tras la fractura oscila entre 15 y 25%			
COMPLICACIONES: pseudoartrosis/fallo en la consolidación; fallo en la osteosíntesis o pérdida de reducción; refractura al extraer el material de osteosíntesis			

Fractura distal de fémur

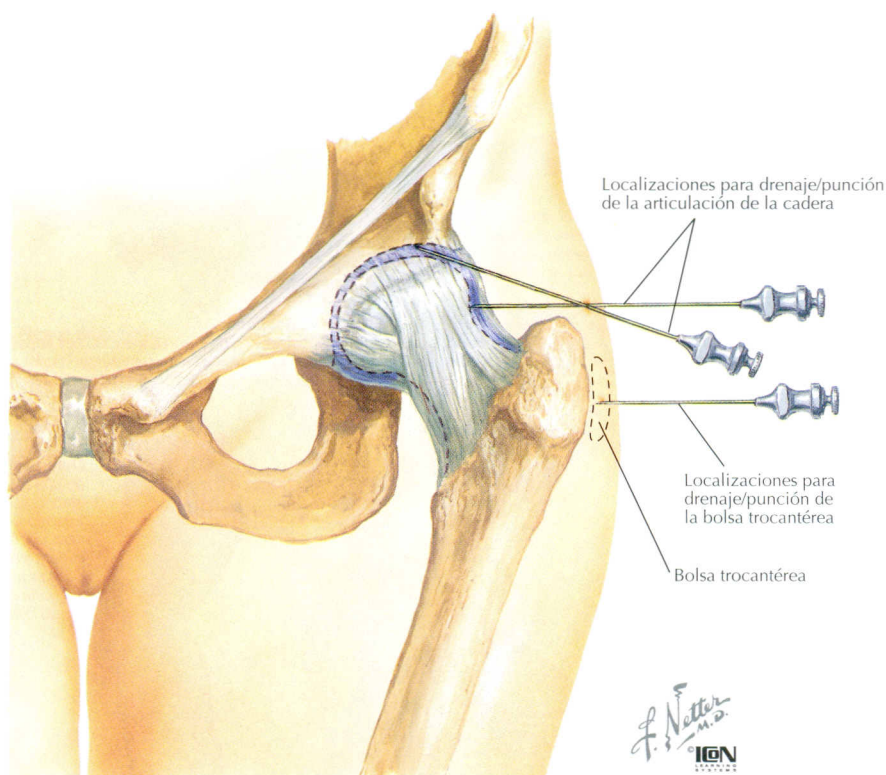


DESCRIPCIÓN	EVALUACIÓN	CLASIFICACIÓN	TRATAMIENTO
FRACTURA DE DIÁFISIS FEMORAL			
<ul style="list-style-type: none"> • Emergencia traumatológica • Traumatismo de alta energía • Múltiples lesiones asociadas (muy graves) • Fuente potencial de pérdida sanguínea significativa • Debe transportarse al paciente con la pierna en tracción 	<p>Hx: traumatismo. Dolor, tumefacción, deformidad</p> <p>EF: deformidad, +/- herida abierta y lesión de partes blandas; comprobar pulsos distales</p> <p>Rx: AP y lateral de muslo, series de rodilla</p>	<p>Winquist/Hansen (4 tipos):</p> <p>Estable</p> <p>I. Conminución mínima o nula</p> <p>II. Conminuta: >50% de cortical intacta</p> <p>Inestable</p> <p>III. Conminuta: 50% de cortical intacta</p> <p>IV. Conminuta completa, no hay cortical intacta</p>	<p>Lavado exhaustivo de las fracturas abiertas</p> <p>Tratamiento quirúrgico: clavo IM (cerrado)</p> <p>Movilización precoz con muletas</p>
COMPLICACIONES: lesión neurovascular y/o shock hemorrágico; pseudoartrosis/fallo en la consolidación; fallo en la osteosíntesis o pérdida de reducción; lesión de rodilla (5%)			
FRACTURA DISTAL DE FÉMUR			
<ul style="list-style-type: none"> • Mecanismo: traumatismo directo • Metáfisis o epífisis • El cuádriceps o el gastrocnemio a menudo desplazan los fragmentos • La restauración de la congruencia articular es esencial para recuperar la función y el movimiento normales de la rodilla 	<p>Hx: traumatismo. Dolor, tumefacción, imposibilidad de carga</p> <p>EF: hematoma, hipersensibilidad, realizar examen neurovascular</p> <p>Rx: serie de rodilla</p> <p>TC: determina mejor la fractura</p> <p>AGRAF: si hay pérdida de pulso</p>	<p>Extraarticular</p> <p>Supracondilea</p> <p>Intraarticular</p> <p>Intercondilea:</p> <p>T o Y unicondilea</p>	<p>+/- drenar hemartrosis</p> <p>No desplazada/extraarticular: reducción, inmovilización (método no usado normalmente)</p> <p>Desplazada/intraarticular: RAFI; placas y tornillos o clavos IM</p> <p>Movilización precoz</p>
COMPLICACIONES: osteoartritis y/o dolor; disminución del balance articular; pseudoartrosis/fallo en la consolidación; inestabilidad			



F. Netter M.D.
IGON

LIGAMENTOS	INSERCIONES	COMENTARIOS
ARTICULACIÓN DE CADERA (esferoidea)		
Transverso del acetábulo Rodete (<i>labrum</i>)	Acetábulo anteroinferior a posteroinferior Borde del acetábulo	Cierra el acetábulo Amplia y estabiliza el acetábulo
CÁPSULA ARTICULAR Pubofemoral (anterior/inferior) Iliofemoral (anterior) (ligamento en Y de Bigelow) Ischiofemoral (posterior)	Borde del acetábulo a cuello del fémur Cuello femoral a rama superior del pubis EIAI a línea intertrocanterea	Cubre el cuello femoral Es el más fuerte y resistente
Zona orbicular (posterior) Ligamento de la cabeza del fémur	Borde posterior a cresta intertrocanterea Fosita de la cabeza femoral a escotadura acetabular	Cara posterior del cuello del fémur parcialmente cubierta (débil) Una arteria discurre en el interior del ligamento



PASOS

DRENAJE/PUNCIÓN DE CADERA

1. Preguntar al paciente si es alérgico
2. Situar al paciente en decúbito supino; palpar el trocánter mayor
3. Limpiar la piel de la zona de punción (yodo/jabón antiséptico)
4. Anestesia local (habón)
5. **ANTERIOR:** buscar el punto de intersección entre una línea vertical desde la EIAS y una línea horizontal desde el trocánter mayor. Insertar una aguja de 20 G (aguja espinal/7,5 cm) hacia arriba y en sentido ligeramente medial
LATERAL: insertar una aguja de 20 G (aguja espinal/7,5 cm) superior y medial respecto al trocánter mayor hasta tocar hueso *(la aguja debe situarse en la cápsula que se extiende a lo largo del cuello femoral)*
 Inyectar (o aspirar) la infiltración (anestésico o anestésico/corticoesteroide) en la articulación. *(El fluido debería penetrar fácilmente si la aguja se halla en la articulación)*
6. Colocar apósito en el lugar de inyección

PUNCIÓN DE LA BOLSA TROCANTÉREA

1. Preguntar al paciente si es alérgico
2. Colocar el paciente en decúbito lateral; palpar el trocánter mayor
3. Limpiar la piel del muslo lateral (yodo/jabón antiséptico)
4. Insertar una aguja de 20 G (al menos 3,7 cm) en el muslo hacia el hueso en el punto de más dolor. Retirar la aguja (1-2 mm) para entrar en la bolsa. **Aspirar para asegurarse de que la aguja no está en un vaso.** Inyectar 10 ml de anestésico o anestésico/corticoesteroide (4:1) en la bolsa
5. Colocar apósito en el lugar de inyección



Osteoartritis
Hábito y marcha
característicos



Traumatismo

Mecanismo de lesión a menudo por impacto
contra el salpicadero, que empuja la cabeza
del fémur hacia atrás, fuera del acetábulo

J. Netter M.D.
© IGM

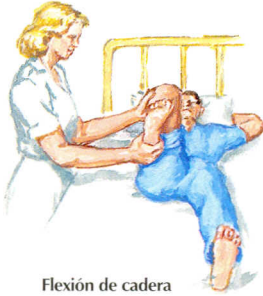


Atrapamiento del NCFI
Hormigueo y disestesias
en la cara lateral del muslo



Deformidad típica
de una extremidad
lesionada en
aducción, rotación
interna y flexión de
cadera y rodilla,
con la rodilla
apoyada en el
muslo contralateral

PREGUNTA	RESPUESTA	APLICACIÓN CLÍNICA
1. EDAD	Jóvenes Mediana edad, ancianos	Traumatismo, trastornos del desarrollo Artritis (inflamación), fracturas del cuello del fémur
2. DOLOR		
a. Inicio	Agudo Crónico	Traumatismo, infección Artritis (inflamación)
b. Localización	Cara lateral de cadera o muslo Nalgas/cara posterior del muslo Ingle/cara medial del muslo	Bursitis, atrapamiento del NCFI, cadera «en resorte» Considerar etiología de columna Etiología articular de cadera o acetábulo (en menor medida de pelvis o columna)
c. Aparición	Cara anterior del muslo Deambulación/movimiento Por la noche	Fémur proximal Etiología articular de cadera (ni pelvis ni columna) Tumor, infección
3. RESORTE	Con deambulación	Síndrome de cadera «en resorte», cuerpos libres, artritis, sinovitis
4. DEAMBULACIÓN ASISTIDA	Bastón, muletas, caminador	Su uso (y frecuencia) indica dolor y patología grave
5. ACTIVIDAD TOLERADA	Abandono de actividades y reducción de la distancia de paseo	Menor distancia recorrida y abandono de algunas actividades = mayor gravedad
6. TRAUMATISMO	Caída, AVM	Fractura, luxación, bursitis
7. ACTIVIDAD/TRABAJO	Uso repetitivo	Fractura de estrés de fémur
8. SÍNTOMAS NEUROLÓGICOS	Dolor, hormigueo, hipoestesias	Atrapamiento del NCFI , etiología vertebral
9. HISTORIA DE ARTRITIS	Afectación de varias articulaciones	Enfermedad inflamatoria sistémica



Flexión de cadera



Con la pierna elevada y la rodilla flexionada, empujar hacia la cabeza del paciente lo máximo posible sin causar dolor

Pierna en extensión pasiva, cadera flexionada parcialmente y relajada. Descender la extremidad hacia la posición de inicio



F. Netter M.D.




Contractura en flexión de la articulación de cadera

EXPLORACIÓN/
OBSERVACIÓN

TÉCNICA

APLICACIÓN CLÍNICA

INSPECCIÓN

Piel	Decoloración, heridas Deformidad	Traumatismo Fractura, luxación
Marcha	60% apoyo, 40% despegue	Marcha normal: 20% doble apoyo (ambos pies)
Antiálgica (dolorosa)	Disminución de la fase de apoyo	Dolor de rodilla, tobillo, talón (espolón), mediopie o dedos del pie
Tambaleante (Trendelenburg)	Lateralmente (sobre lado CP)	Debilidad del glúteo medio, patología de cadera (OA, NAV)
Tambaleante	Posteriormente (cadera extendida)	Debilidad del glúteo mayor
Steppage	Más flexión de cadera y rodilla	Pie equino, debilidad de la musculatura anterior de la pierna
Pie plano	Sin despegue	Hallux rigidus, debilidad gastrocnemios/sóleo
Amplia	10 cm de separación entre los pies	Patología neurológica/cerebelosa
Disminución de la amplitud del paso	Menor de lo normal	Dolor, edad, otra patología

PALPACIÓN

Estructuras óseas	Trocánter mayor/bolsa	Bolsa dolorosa/palpable: infección/bursitis, tendinitis del glúteo medio
Partes blandas	Nervio ciático (cadera flexionada)	Dolor: hernia discal, contractura del piriforme
	Grupos musculares	Cada grupo debe presentar simetría bilateral

Prueba de limitación de abducción.

Paciente en decúbito supino y relajado sobre la mesa. Piernas abducidas pasiva y suavemente para determinar el balance articular de cada una

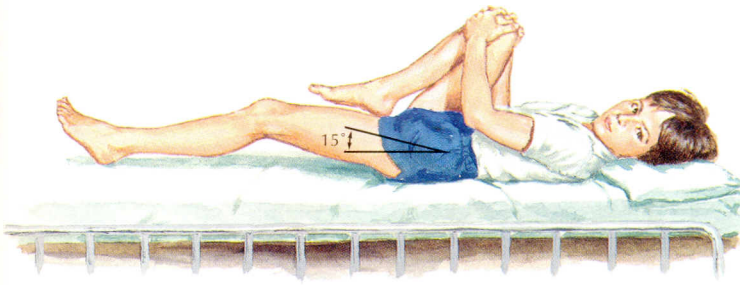


Rotación interna. Limitación de la rotación interna de la cadera izquierda. La rotación de cadera se evalúa mejor con el paciente en decúbito prono porque puede detectarse y evaluarse fácilmente cualquier alteración



F. Netter M.D.
© IGM

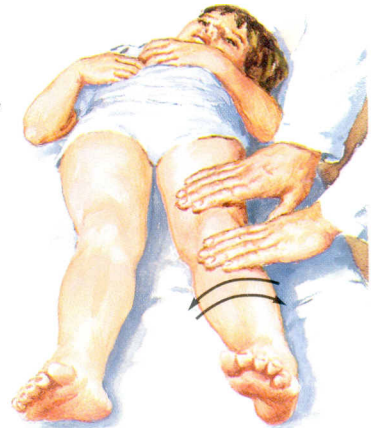
EXPLORACIÓN/ OBSERVACIÓN	TÉCNICA	APLICACIÓN CLÍNICA
BALANCE ARTICULAR		
Flexión	Decúbito supino: rodilla a pecho Prueba de Thomas: véase tabla siguiente	Normal: 130° Excluir contractura en flexión
Extensión	Decúbito prono: elevar pierna	Normal: 20°
Abducción/aducción	Decúbito supino: pierna hacia lateral/medial	Normal: 40° abducción, 30° aducción
RI/RE	Sentado: pie hacia lateral/medial Decúbito prono: flexionar rodilla hacia fuera y hacia dentro	Normal: RI: 30°, RE: 50° Normal: RI: 30°, RE: 50°
NEUROVASCULAR		
Sensitivo		
Nervio genitofemoral (L1-2)	Región anteromedial proximal del muslo	Su déficit indica lesión del nervio/raíz correspondiente
Nervio obturador (L2-4)	Región inferomedial del muslo	Su déficit indica lesión del nervio/raíz correspondiente
Nervio cutáneo femoral lateral (L2-3)	Cara lateral del muslo	Su déficit indica lesión del nervio/raíz correspondiente
Nervio femoral (L2-4)	Región anteromedial del muslo	Su déficit indica lesión del nervio/raíz correspondiente
Nervio cutáneo femoral posterior (S1-3)	Cara posterior del muslo	Su déficit indica lesión del nervio/raíz correspondiente
Motor		
Nervio obturador (L2-4)	Aducción del muslo	Debilidad = lesión del grupo muscular aductor o del nervio/raíz
Nervio glúteo superior (L5)	Abducción del muslo	Debilidad = lesión del glúteo medio o del nervio/raíz
Nervio femoral (L2-4)	Flexión de cadera	Debilidad = lesión del iliopsoas o del nervio/raíz correspondiente
	Extensión de rodilla	Debilidad = lesión del cuádriceps o del nervio/raíz correspondiente
	Extensión de cadera	Debilidad = lesión del glúteo mayor o del nervio/raíz
Nervio glúteo inferior (L5-S2)		
Nervio ciático:		
Nervio tibial (L4-S3)	Flexión de rodilla	Debilidad = lesión de la cabeza larga del bíceps femoral o del nervio/raíz
Nervio peroneo común (L4-S2)	Flexión de rodilla	Debilidad = lesión de la cabeza corta del bíceps femoral o del nervio/raíz
Reflejos	Ninguno	
Pulsos	Femoral	



Signo de Thomas. Contractura en flexión de cadera con el paciente en decúbito supino. La cadera no afectada se flexiona sólo hasta que la columna lumbar contacta contra la mesa. La cadera afectada no puede extenderse totalmente, y se aprecia un ángulo de flexión. Una contractura en flexión de la cadera de 15° es típica de la enfermedad de Legg-Calvé-Perthes

J. Netter M.D.
ICON

Prueba del rodillo para la contractura muscular. Paciente en decúbito supino y relajado sobre una mesa. El examinador coloca sus manos sobre la extremidad y gira suavemente la cadera en rotación interna y externa, notando resistencia

EXPLORACIÓN/
OBSERVACIÓN

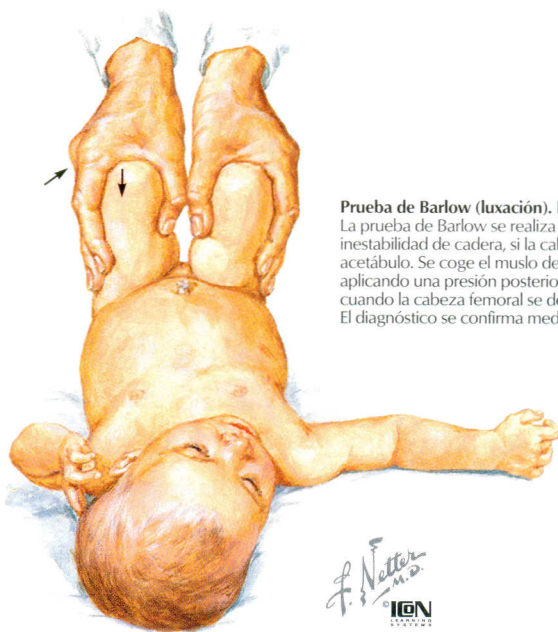
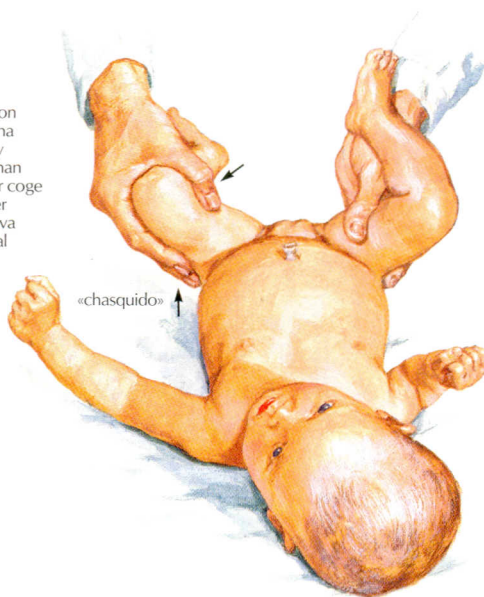
TÉCNICA

APLICACIÓN CLÍNICA

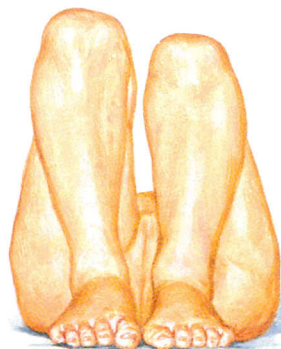
PRUEBAS ESPECIALES

Signo de Thomas	Decúbito supino: una rodilla contra el pecho	Si el muslo opuesto se eleva: contractura en flexión de ese lado
Ober	Decúbito lateral: flexión y abducción de cadera	La pierna debe aducirse; si permanece en abducción: contractura TIT
Piriforme	Decúbito lateral: aducción de cadera	Dolor en cadera/pelvis indica síndrome del piriforme (compresión del nervio ciático)
Discrepancia en longitud de extremidades	De EIAS a maléolo medial	Una diferencia > 1 cm es positiva
90-90 piernas en extensión	Flexión de cadera y rodilla a 90°, extensión de rodilla	>20° de flexión tras extensión completa de rodilla = acortamiento de isquiotibiales
Ely	Decúbito prono: flexión pasiva de rodilla	Si la cadera se flexiona cuando se flexiona la rodilla: acortamiento del músculo recto femoral
Rodillo	Decúbito supino, cadera extendida: RI/RE	Dolor si la cadera está afectada de artritis
Patrick (FABRE)	Flexión, AB ducción, RE de cadera; entonces, abducir más (figura en 4)	Positivo si existe dolor o si una Einf no continúa abduciendo junto a la otra: patología de cadera o articulación SI
Meralgia	Presión medial a EIAS	Reproducción del dolor, quemazón, hipoestesis: atrapamiento del NCFL
Ortolani (pediatría)	Caderas a 90°, abducción de caderas	Un sonido indica que la cadera/s se había luxado y ahora reducido
Barlow (pediatría)	Caderas a 90°, tracción posterior	Un sonido indica que la cadera/s está luxada; debe reducirse con Ortolani
Galeazzi (pediatría)	Decúbito supino: flexionar caderas y rodillas	Cualquier discrepancia en la altura de las rodillas: 1. luxación de cadera; 2. fémur corto

Prueba de Ortolani (reducción). Con el bebé relajado y apoyado sobre una superficie firme, se fijan las caderas y rodillas a 90°. Las caderas se examinan independientemente. El examinador coge el muslo del bebé poniendo el tercer dedo sobre el trocánter mayor y eleva el muslo para traer la cabeza femoral desde su posición posterior luxada contra el acetábulo. De forma simultánea, abduciendo suavemente el muslo, se reduce la cabeza femoral en el acetábulo. Si el hallazgo es positivo, el examinador nota la reducción por palpación, junto con un «chasquido» audible.



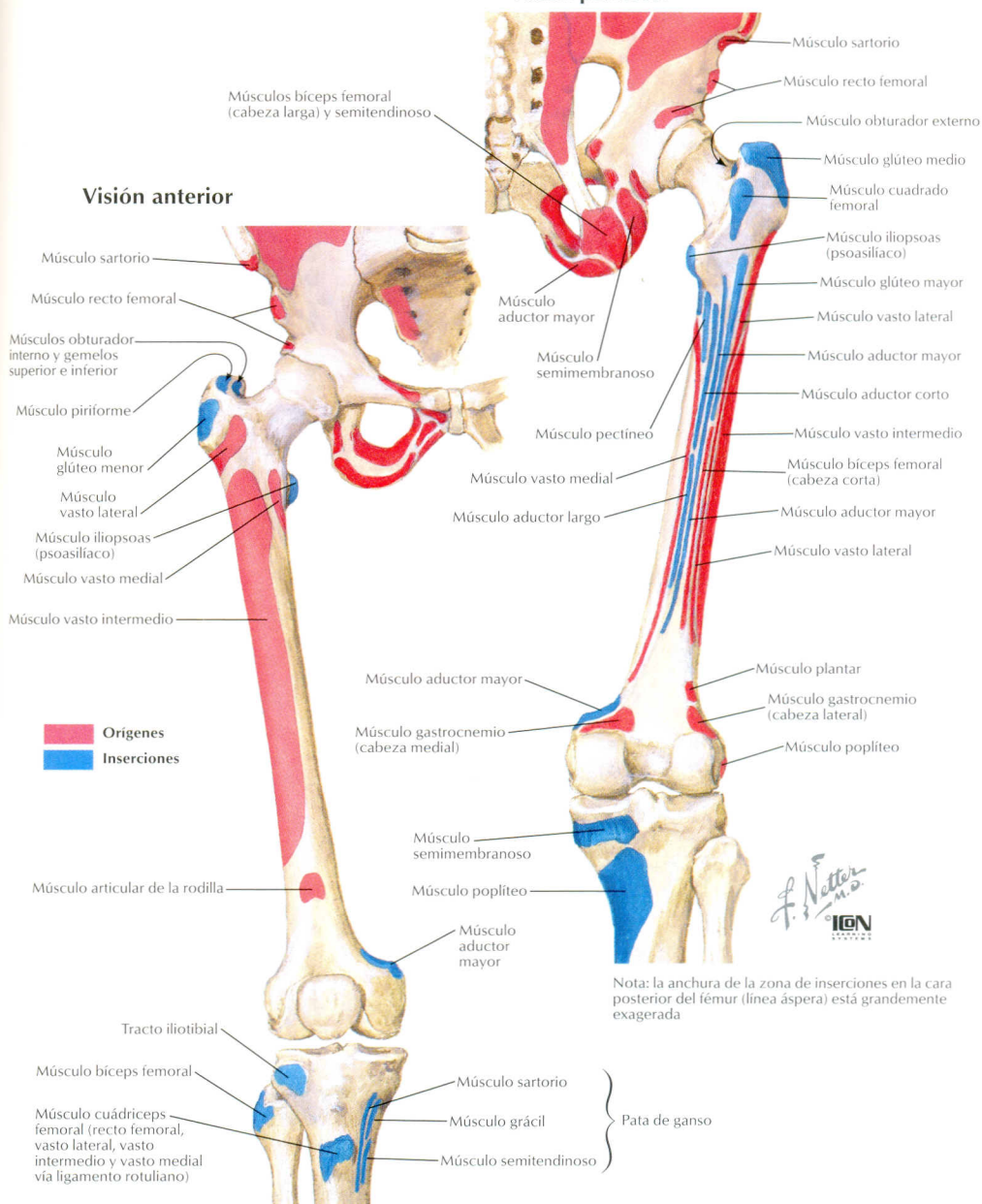
Prueba de Barlow (luxación). Inversa a la prueba de Ortolani. La prueba de Barlow se realiza para descubrir una posible inestabilidad de cadera, si la cabeza femoral se halla en el acetábulo. Se coge el muslo del bebé como antes y se aduce, aplicando una presión posterior suave. La luxación es palpable cuando la cabeza femoral se desplaza fuera del acetábulo. El diagnóstico se confirma mediante la prueba de Ortolani.



Signo de Allí o Galeazzi. Con las rodillas y las caderas flexionadas, la rodilla del lado afectado desciende debido a que, en esta posición, la cabeza femoral se localiza por detrás del acetábulo.

Visión posterior

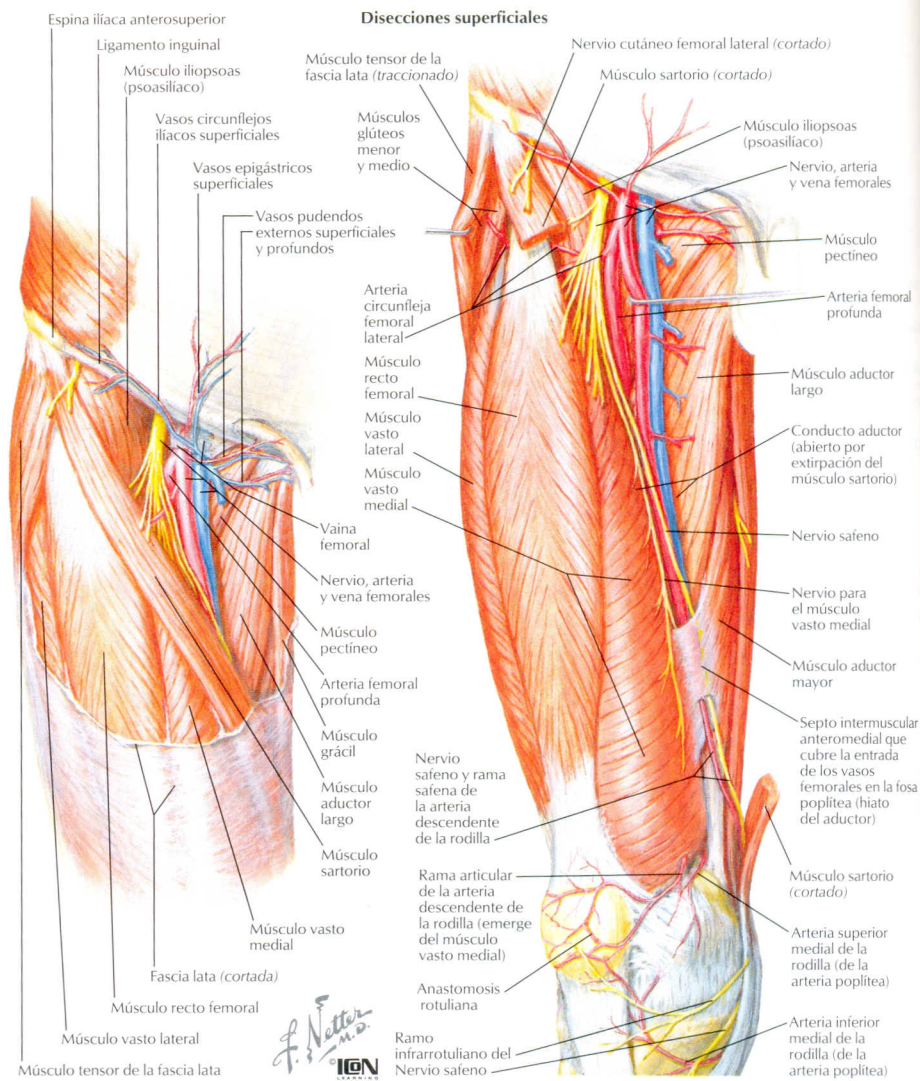
Visión anterior



Nota: la anchura de la zona de inserciones en la cara posterior del fémur (línea áspera) está grandemente exagerada

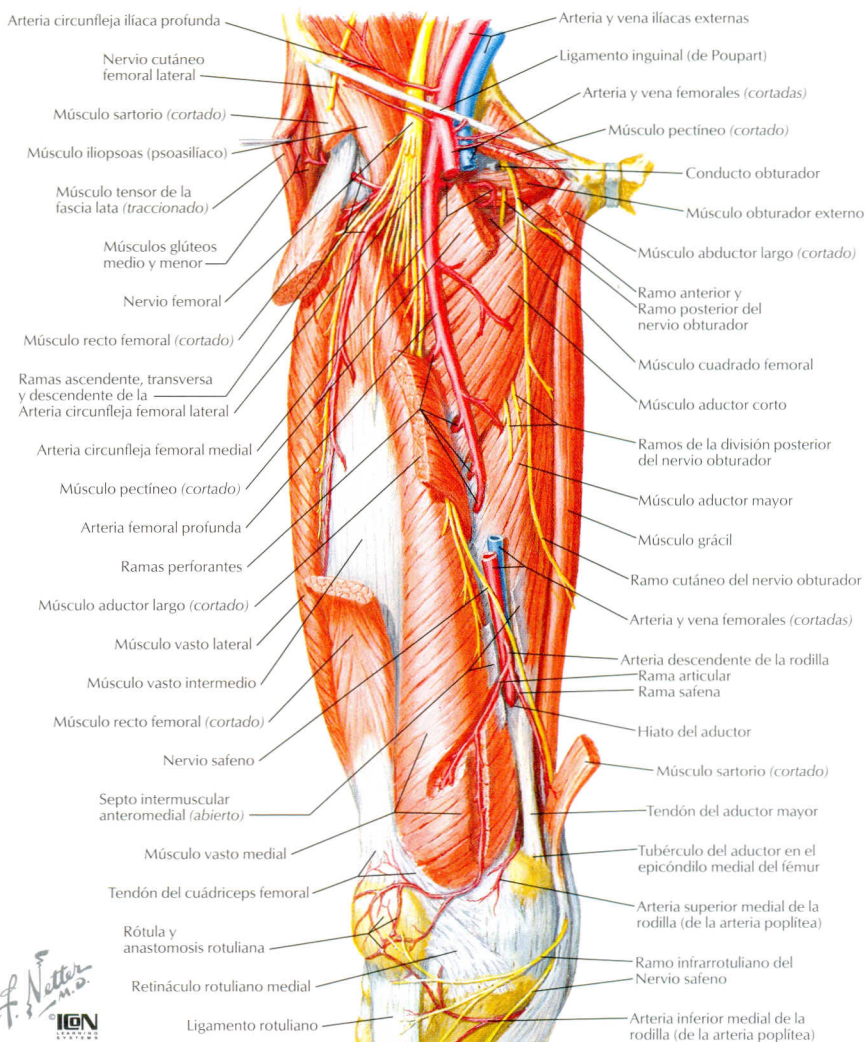
F. Netter M.D.
IGN

RAMAS DEL PUBIS (CARA)	TROCÁNTER MAYOR	TUBEROSIDAD ISQUIÁTICA	LÍNEA ÁSPERA/CARA POSTERIOR DEL FÉMUR
Pectíneo (cresta pectínea/superior) Aductor mayor (inferior) Aductor largo (anterior) Aductor corto (inferior) Grácil (inferior) Psoas menor (superior)	Piriforme (anterior) Obturador interno (anterior) Gemelo superior Glúteo medio (posterior) Glúteo menor (anterior)	Gemelo inferior Cuadrado femoral Semimembranoso Semitendinoso Bíceps femoral (cabeza larga) Aductor mayor	Aductor mayor Aductor largo Aductor corto Bíceps femoral Pectíneo Glúteo mayor Vasto lateral Vasto medial



MÚSCULO	ORIGEN	INSERCIÓN	INERVACIÓN	ACCIÓN	COMENTARIO
Articular de la rodilla	Cara anterior de la diáfisis femoral distal	Cápsula articular	Femoral	Tracciona cranealmente la cápsula en la extensión	Puede fusionarse con el vasto intermedio
Sartorio	EIAS	Cara medial tibia proximal (pata de ganso)	Femoral	Flexión, RE de cadera	Puede avulsionarse de la EIAS (fractura)
CUÁDRICEPS FEMORAL					
Recto femoral	EIAI, borde superior del acetábulo	Rótula/tuberosidad tibial	Femoral	Flexión del muslo, extensión de la pierna	Puede avulsionarse de la EIAI (fractura)
EXTENSORES DE LA PIERNA					
Vasto lateral	Trocánter mayor, labio lateral de la línea áspera	Hemirrótula lateral, tuberosidad tibial	Femoral	Extensión de la pierna	Las fibras oblicuas pueden afectar al ángulo Q
Vasto intermedio	Diáfisis femoral proximal	Rótula lateral, tuberosidad tibial	Femoral	Extensión de la pierna	Cubre el músculo articular de la rodilla
Vasto medial	Línea intertrocanterea, labio medial de la línea áspera	Rótula medial, tuberosidad tibial	Femoral	Extensión de la pierna	Débil en muchas patologías patelofemorales

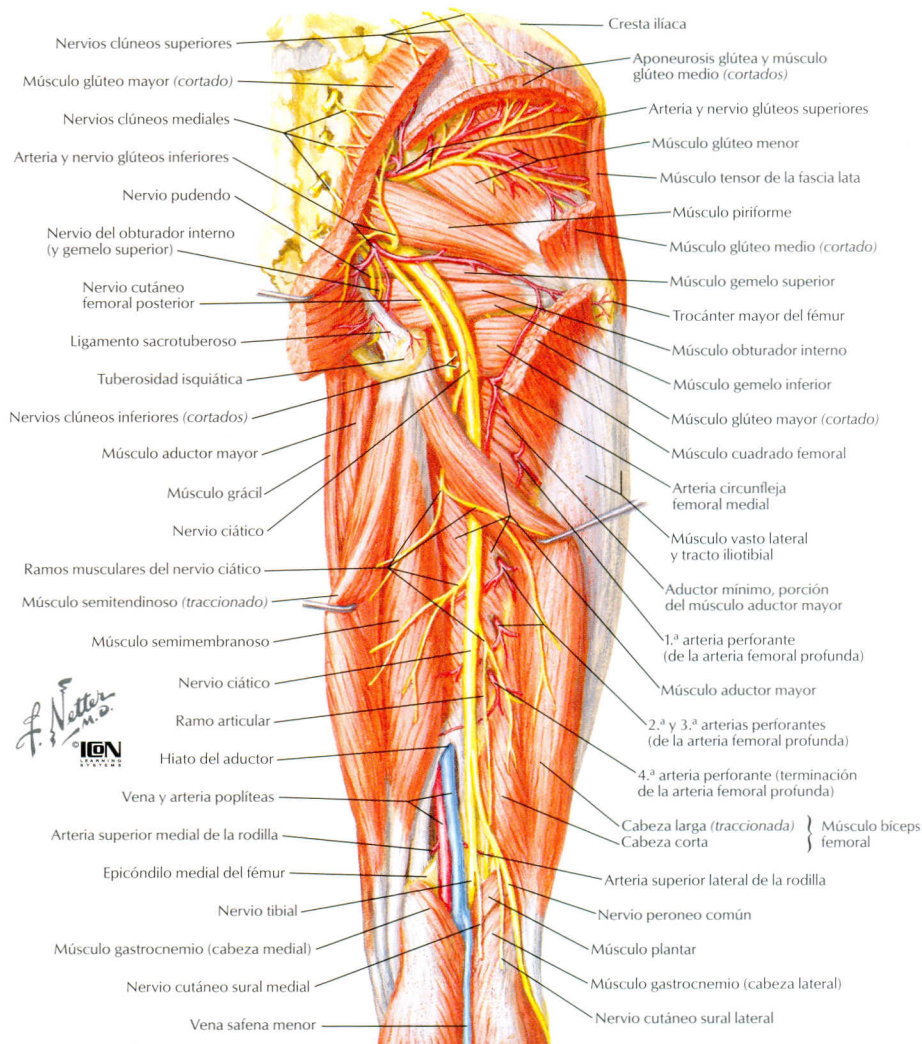
Disección profunda



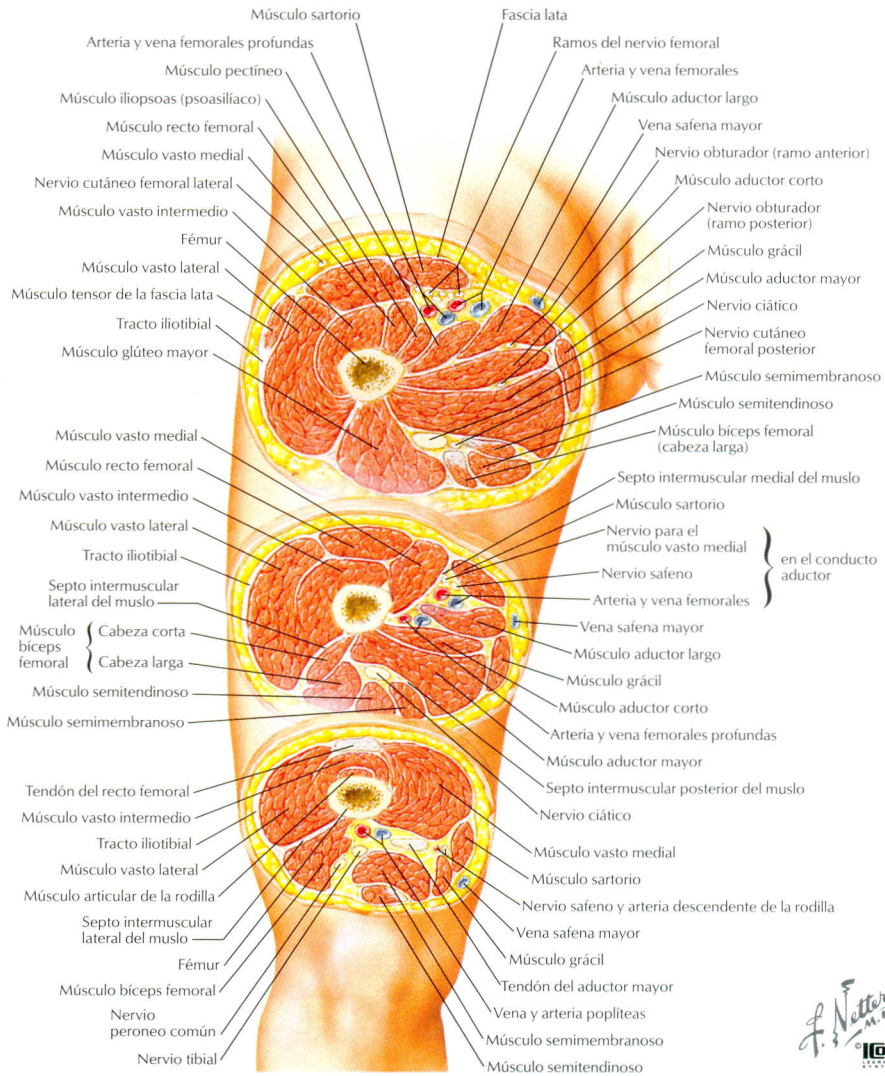
F. Netter M.D.
ICON

MÚSCULO	ORIGEN	INSERCIÓN	INERVACIÓN	ACCIÓN	COMENTARIO
Obturador externo	Rama isquiopúbica, membrana obturatriz	Fosa trocantérea	Obturador	RE del muslo	Del tendón posterior al cuello femoral
ADUCTORES DE CADERA					
Aductor largo	Cuerpo del pubis (inferior)	Línea áspera (1/3 medio)	Obturador	Aducción del muslo	El tendón puede calcificarse
Aductor corto	Cuerpo y rama inferior del pubis	Cresta pectínea, línea áspera superior	Obturador	Aducción del muslo	Profundo respecto al pectíneo
Aductor mayor	Rama isquiopúbica, tuberosidad isquiática	Línea áspera/tubérculo del aductor	Obturador/ciático	Aducción y flexión/ extensión del muslo	Dos porciones: diferente inserción e inervación
Grácil	Cuerpo y rama inferior del pubis	Cara medial de la tibia proximal (pata de ganso)	Obturador	Aducción (flexión) del muslo flexionado, RI de la pierna	Utilizado en ligamentoplastias (LCA)
FLEXORES DE CADERA (también iliopsoas)					
Pectíneo	Cresta pectínea del pubis	Línea pectínea del fémur	Femoral	Flexión y aducción de la cadera	Suelo del triángulo femoral

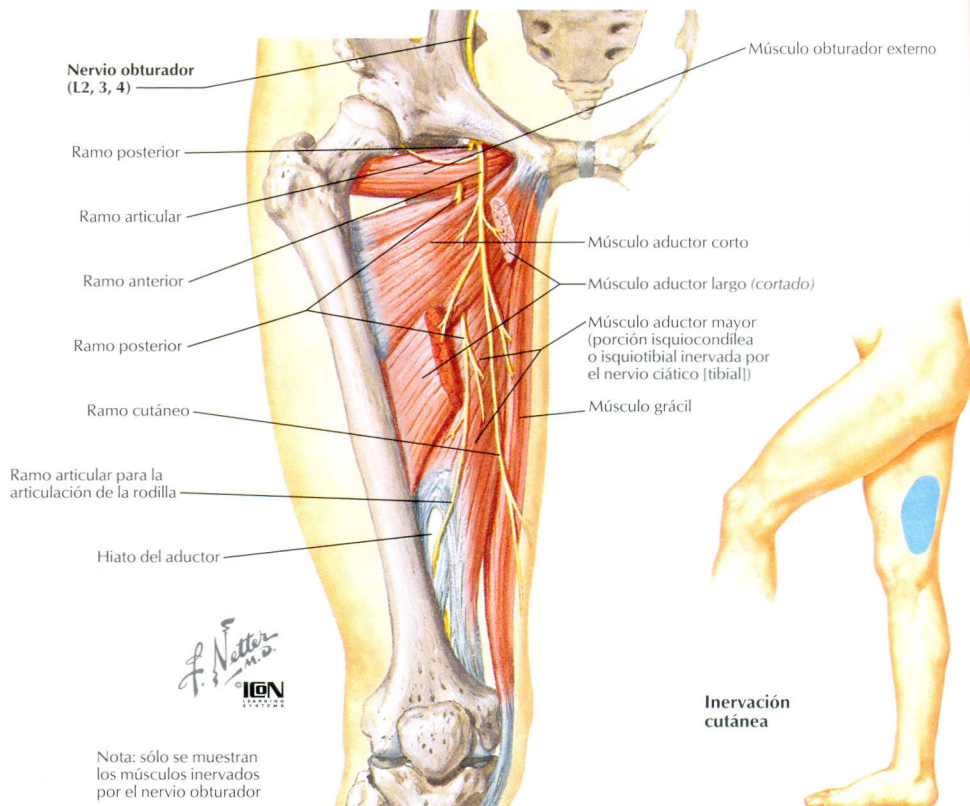
Disección profunda



MÚSCULO	ORIGEN	INSERCIÓN	INERVACIÓN	ACCIÓN	COMENTARIO
Semitendinoso	Tuberosidad isquiática	Cara medial de la tibia proximal (pata de ganso)	Ciático (tibial)	Extensión del muslo, flexión de la pierna	Se utiliza en ligamentoplastias (LCA)
Semimembranoso	Tuberosidad isquiática	Cara posterior del cóndilo, cara medial de la tibia	Ciático (tibial)	Extensión del muslo, flexión de la pierna	Límite del abordaje medial
Bíceps femoral: cabeza larga	Tuberosidad isquiática	Cabeza del peroné	Ciático (tibial)	Extensión del muslo, flexión de la pierna	Cubre el nervio ciático
Bíceps femoral: cabeza corta	Línea áspera, línea supracondílea	Peroné, cara lateral de la tibia	Ciático (peroneo común)	Extensión del muslo, flexión de la pierna	Comparte tendón de inserción con la cabeza larga



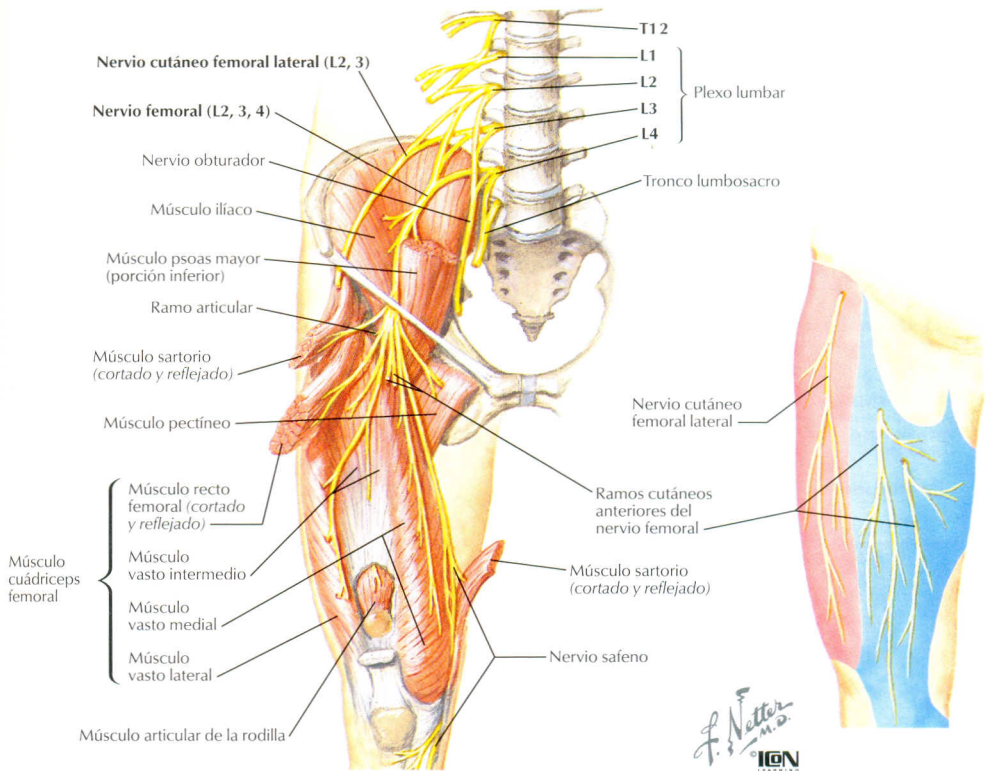
F. Netter M.D.
ICN



PLEXO LUMBAR

DIVISIÓN ANTERIOR

- Genitofemoral (L1-2):** perfora el psoas; discurre sobre la cara anteromedial
 Sensitiva: Región anteromedial del muslo proximal
 Motora: NINGUNA (en el muslo)
- Obturator (L2-4):** emerge a través del canal obturador y se divide en ramos anterior y posterior. Puede lesionarse por separadores colocados detrás del ligamento transverso del acetábulo
 Sensitiva: Región inferomedial del muslo, a través del ramo cutáneo del nervio obturador
 Motora: Grácil (división anterior)
 Aductor largo (división anterior)
 Aductor corto (divisiones anterior/posterior)
 Aductor mayor (división posterior)



PLEXO LUMBAR

DIVISIÓN POSTERIOR

3. Cutáneo femoral lateral (NCFL) (L2-3): **cruza la EIAS; puede comprimirse en la EIAS**

Sensitiva: Cara lateral del muslo

Motora: NINGUNA

4. Femoral (L2-4): descansa entre el psoas mayor y el iliaco; el nervio safeno se ramifica en el triángulo femoral y discurre bajo el sartorio

Sensitiva: Región anteromedial del muslo, a través del nervio cutáneo anterior/intermedio

Motora: Psoas

Sartorio

Articular de la rodilla

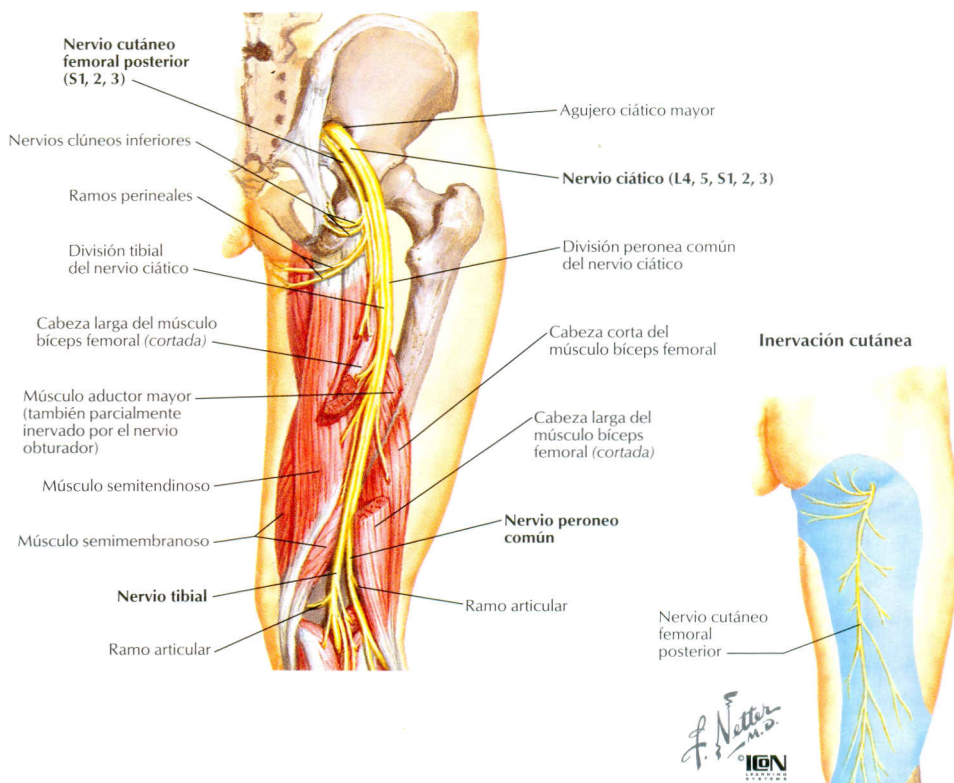
CUÁDRICEPS FEMORAL

Recto femoral

Vasto lateral

Vasto intermedio

Vasto medial



PLEXO SACRO

DIVISIÓN ANTERIOR

5. **Tibial** (L4-S3): desciende (como el ciático) por la cara posterior del muslo

Sensitiva: NINGUNA (en el muslo)

Motora: MUSLO POSTERIOR

Bíceps femoral (cabeza larga)

Semitendinoso

Semimembranoso

DIVISIÓN POSTERIOR

6. **Peroneo común** (L4-S2): desciende (como el ciático) por la cara posterior del muslo

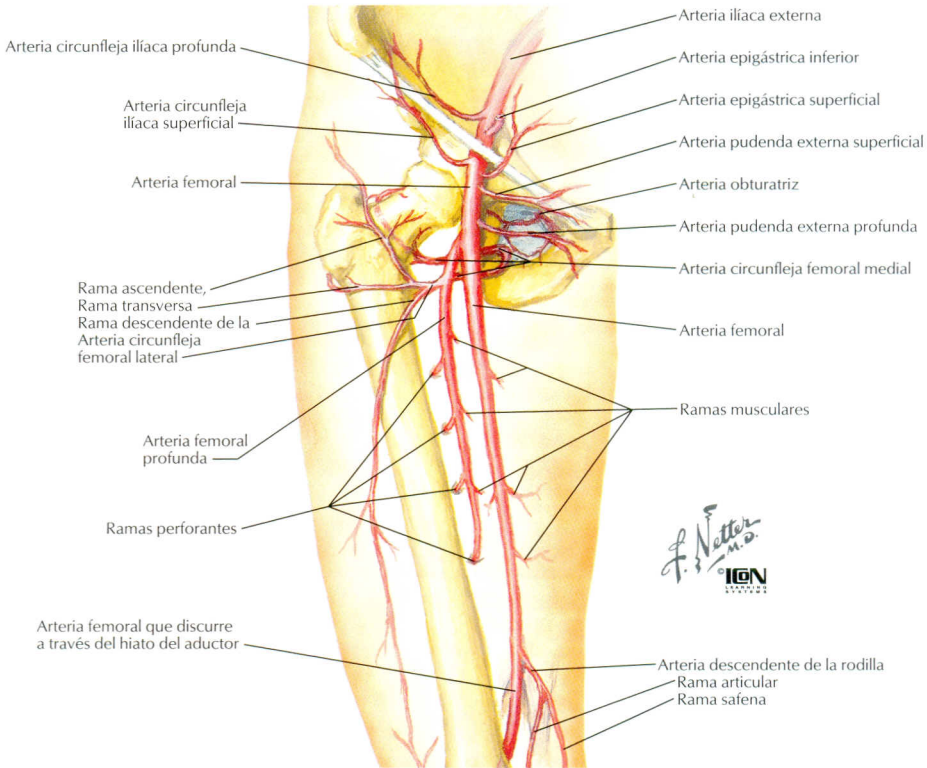
Sensitiva: NINGUNA (en el muslo)

Motora: Bíceps femoral (cabeza corta)

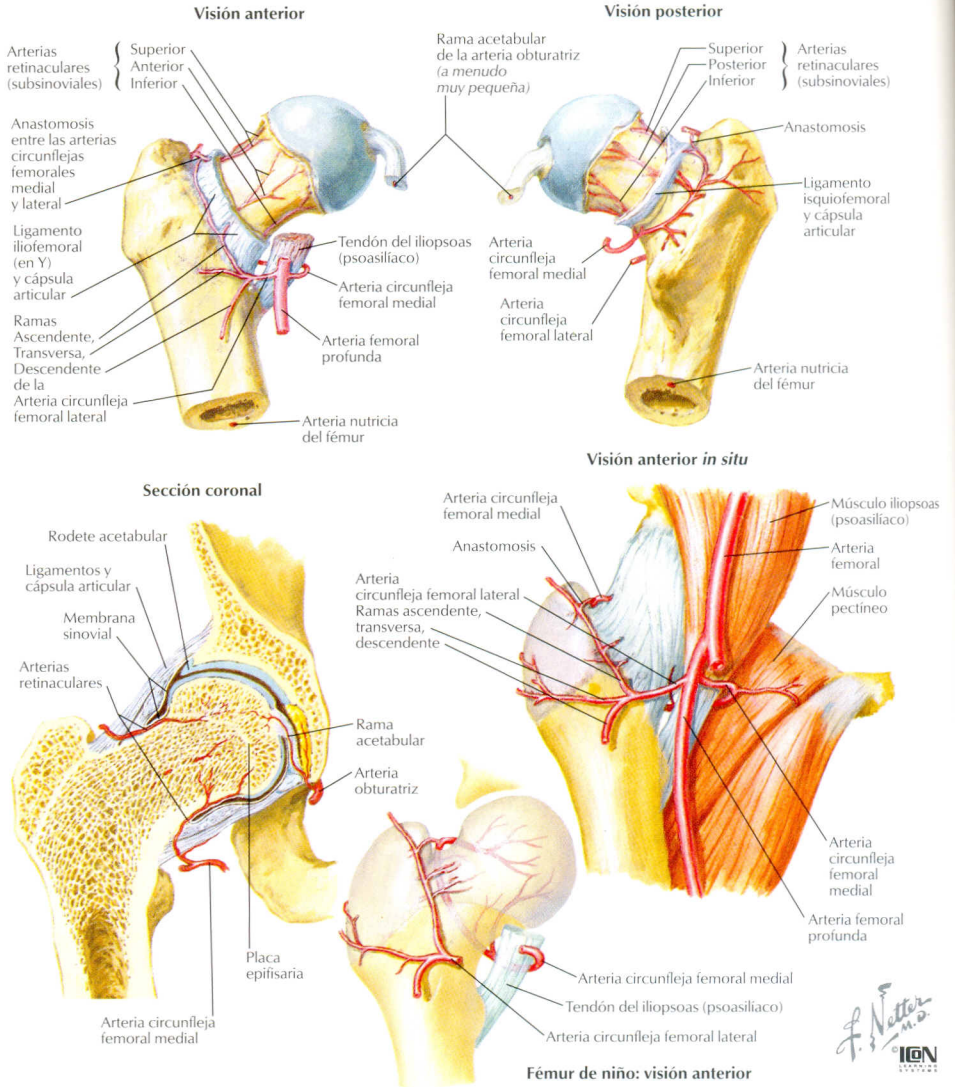
7. **Cutáneo femoral posterior** (NCFP) (S1-3)

Sensitiva: Cara posterior del muslo

Motora: NINGUNA



ARTERIA	RAMAS	COMENTARIO
Obturatriz	Ramas anterior y posterior	Discurre a través del agujero obturador
Femoral (femoral superficial) (AFS)	En el triángulo femoral discurre medialmente, para colocarse entre el vasto medial y el aductor largo, en el conducto aductor, a través del hiato aductor, y entonces se transforma en arteria poplítea a nivel de la rodilla	
	Circunfleja iliaca superficial	
	Epigástrica superficial	
	Pudenda externa superficial	
	Pudenda externa profunda	
	Femoral profunda	Véase más abajo
	Descendente articular de la rodilla	Se anastomosa a nivel de la rodilla para vascularizarla
	Ramas articulares	
	Rama safena	
Femoral profunda	Circunfleja femoral medial	Irriga el cuello femoral
	Circunfleja femoral lateral	Irriga el cuello femoral
	Rama ascendente	Forma una anastomosis en el cuello femoral
	Rama transversa	Contribuye a la anastomosis en el cuello femoral
	Rama descendente	Contribuye a la anastomosis en el cuello femoral
	Arterias perforantes/musculares	Vascularizan la diáfisis del fémur y los músculos del muslo

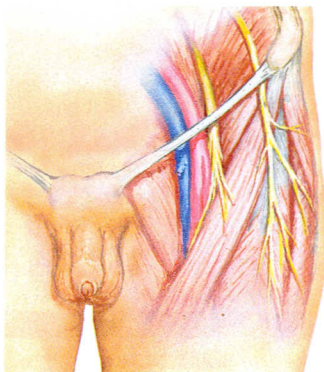


ARTERIA	RAMAS	COMENTARIO
Obturatriz: rama acetabular (arteria del ligamento redondo)	Discurre a través del ligamento de la cabeza del fémur (o ligamento redondo)	Contribución relativamente menor a cabeza femoral
Femoral profunda	Rama de la femoral en el triángulo femoral	Vascularización de las regiones anterior y medial del muslo
Circunfleja femoral medial	Entre el pectíneo y el iliopsoas, hacia la cara posterior del cuello femoral	Anastomosis: vascularización posterior
Rama ascendente	Discurre sobre el cuadrado femoral	Puede lesionarse en abordaje posterior
Circunfleja femoral lateral	Profunda al sartorio y recto femoral	Anastomosis extracapsular en el cuello
Rama ascendente	Hacia la cara anterior del trocánter mayor	Anastomosis: vascularización anterior
Ramas cervicales	Ramas extracapsulares de la anastomosis	Perfora la cápsula
Ramas retinaculares	Ramas intraarticulares : discurren a lo largo del cuello, penetran en el hueso en la base de la cabeza del fémur	La mayor parte de la vascularización de la cabeza del fémur es posterior (riesgo en caso de lesión: NAV)
Rama transversa	Se extiende lateralmente	Menor contribución a la anastomosis
Rama descendente	Bajo el recto femoral	Menor contribución a la anastomosis
Arterias glúteas superior e inferior	Sus ramas aportan pequeñas contribuciones a la anastomosis del cuello femoral	

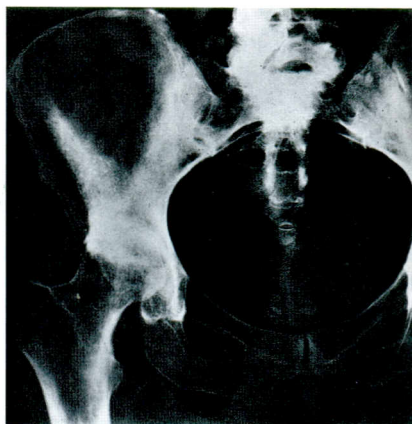
DESCRIPCIÓN	Hx y EF	PRUEBAS COMPLEMENTARIAS/ HALLAZGOS	TRATAMIENTO
ARTRITIS INFLAMATORIA			
<ul style="list-style-type: none"> • Respuesta autoinmune que produce sinovitis • AR, lupus, artropatías seronegativas, gota, etc. 	<p>Hx: dolor, tumefacción, +/- afectación de otras articulaciones</p> <p>EF: marcha antiálgica, disminución del BA (especialmente RI)</p>	<p>RX: AP, axial de cadera</p> <p>Lab: FR, VSG, PCR, ANA, RSC, ácido úrico, cristales, cultivo</p>	<ol style="list-style-type: none"> 1. Fisioterapia, AINE 2. Bastón o muleta 3. Sinovectomía (casos precoces) 4. Artroplastia total de cadera (casos avanzados)
OSTEOARTRITIS			
<ul style="list-style-type: none"> • Pérdida o lesión del cartilago articular • Etiología: degenerativa, traumatismo, infección, metabolopatía, idiopática 	<p>Hx: dolor crónico en cadera o ingle, que aumenta con el tiempo y la actividad</p> <p>EF: disminución del BA (primero RI), prueba del rodillo +, +/- contractura en flexión y marcha antiálgica</p>	<p>RX: AP/lateral de cadera</p> <ol style="list-style-type: none"> 1. Disminución del espacio articular 2. Osteófitos 3. Esclerosis subcondral 4. Quistes óseos 	<ol style="list-style-type: none"> 1. AINE, fisioterapia 2. Infiltración, modificación de la actividad, bastón 3. Osteotomía (jóvenes) 4. Artrodesis (jóvenes) 5. Artroplastia total de cadera (ancianos)
ATRAPAMIENTO DEL NERVO CUTÁNEO FEMORAL LATERAL (meralgia parestésica)			
<ul style="list-style-type: none"> • Atrapamiento nervioso cerca de la EIAS • Debido a actividad (extensión de cadera) o prendas de ropa (p. ej., cinturón) 	<p>Hx: dolor/quemazón en cara lateral del muslo</p> <p>EF: disminución de la sensibilidad en la cara lateral del muslo, meralgia +</p>	<p>RX: AP/lateral de cadera; descartar otra patología</p>	<ol style="list-style-type: none"> 1. Retirar elementos compresivos 2. Liberación quirúrgica: infrecuente
OSTEONECROSIS (necrosis avascular)			
<ul style="list-style-type: none"> • Necrosis de la cabeza femoral (hueso trabecular) • Debida a lesión vascular • Asociada con traumatismo, consumo de corticosteroides, AR • Clasificación de Ficat: 4 estadios basados en Sx, RX, escáner óseo 	<p>Hx: inicio insidioso con dolor de cadera</p> <p>EF: Con colapso: dolor en RI y RE</p> <p>Sin colapso: molestias en RI y RE</p>	<p>RX: AP, axial de cadera; esclerosis de cabeza del fémur</p> <p>RM: signo de la doble línea (T2)</p>	<p>Temprano: descompresión central o injerto peroneal vascularizado</p> <p>Tardío (o colapso): artroplastia total de cadera</p>
CADERA EN RESORTE (banda iliotibial)			
<ul style="list-style-type: none"> • El TIT resalta sobre el trocánter mayor o el tendón del iliopsoas sobre la cresta pectínea • Más frecuente en mujeres (pelvis ancha) 	<p>Hx: resalte de cadera con la deambulación (cuando se extiende la cadera). Dolor infrecuente</p> <p>EF: aducción y flexión de cadera; entonces, extender: resalte +</p>	<p>RX: AP de pelvis, AP/lateral de cadera: con frecuencia normal, descartar otras patologías</p>	<ol style="list-style-type: none"> 1. Rehabilitación 2. Evitar actividad; fisioterapia 3. Infiltración en caso de bursitis aguda 4. Cirugía infrecuente
BURSITIS TROCANTÉREA			
<ul style="list-style-type: none"> • Inflamación de la bolsa sobre el trocánter mayor o tendones glúteos 	<p>Hx: dolor de la cara lateral de la cadera. Imposibilidad de dormir sobre el lado afectado</p> <p>EF: dolor selectivo en trocánter mayor</p>	<p>RX: AP de pelvis, AP/lateral de cadera: descartar espícula ósea, OA, calcificación tendinosa</p>	<ol style="list-style-type: none"> 1. AINE 2. Fisioterapia (estiramiento del TIT) 3. Infiltración de corticosteroides

Nervio cutáneo
femoral lateral

Atrapamiento del nervio
bajo ligamento inguinal



Artritis inflamatoria



Afectación de la articulación de la cadera. Adelgazamiento de cartilagos articulares, aplanamiento y migración medial de la cabeza femoral

Osteoartritis

Cambios degenerativos
avanzados del acetábulo



Radiografía
de cadera que
muestra típica
degeneración
del cartilago y
cambios óseos
secundarios,
con espículas
en el margen
del acetábulo



Erosión del cartilago y deformidad
de la cabeza femoral

CONSEJOS PARA LA ARTROPLASTIA TOTAL DE CADERA

INFORMACIÓN GENERAL

- Tipos de implantes: cementados, no cementados (*press fit* y porosos), híbridos
 - «Supermetales»: cromocobalto y titanio (diáfisis/cabeza)
 - Componente acetabular: polietileno de peso molecular ultraalto
 - Porosos: **tamaño óptimo de poro entre 200 y 400 μm**
 - Los cementados se utilizan habitualmente en ancianos, los no cementados en pacientes jóvenes
- Cemento: polimetilmetacrilato
- Tamaño de cabeza **óptimo: 26-28 mm**

INDICACIONES

1. Artritis de cadera: etiologías frecuentes: OA, AR, NAV

La mayoría de pacientes se quejan de dolor, que empeora con el tiempo (les despierta), y disminución de la capacidad de deambulación

El paciente debe presentar pruebas radiológicas de artritis

Preferible cuando el paciente es anciano (necesita sólo un recambio)

OSTEOARTRITIS

1. **Disminución del espacio articular**
2. **Esclerosis**
3. **Quistes subcondrales**
4. **Formación de osteófitos**

ARTRITIS REUMATOIDE

1. **Disminución del espacio articular**
2. **Osteoporosis periarticular**
3. **Erosiones articulares**
4. **Anquilosis**

2. Tratamiento conservador fallido: modificación de actividad, pérdida de peso, fisioterapia/fortalecimiento, AINE, deambulación **asistida** (el bastón se utiliza en el lado no afectado; caminador, etc.), infiltraciones

3. Otros: fracturas, tumores, alteraciones del desarrollo (displasia de cadera, etc.)

CONTRAINDICACIONES

- Paciente joven, activo (necesitará numerosos recambios)
- Patología médica (p. ej., enfermedad cardiopulmonar grave)
- Articulación neuropática
- Cualquier infección

ALTERNATIVAS

- Consideraciones: edad, nivel de actividad, estado de salud
- Osteotomía: femoral o pélvica (no frecuente en Estados Unidos)
- Artrodesis/fusión: idónea en pacientes jóvenes/trabajadores, patología unilateral, sin afectación de otra articulación (p. ej., columna, rodilla). Fusionar con cadera en ligera flexión

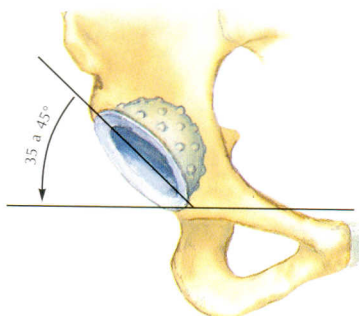
PROCEDIMIENTO

- Normalmente se utiliza el abordaje posterior o lateral
- El componente femoral debe colocarse en valgo
- Componente acetabular a 45°

COMPLICACIONES

- Fallo del implante
 1. **Aflojamiento (complicación más frecuente en implantes cementados)**
 2. Alineamiento en varo
 3. Rotura del implante (los pacientes activos, jóvenes y de peso considerable desgastarán la prótesis)
- Dolor postoperatorio de cadera y muslo (**complicación más frecuente en implantes no cementados**)
- Trombosis venosa profunda/**embolismo pulmonar**: los pacientes deben recibir anticoagulantes (heparina/warfarina) en el periodo postoperatorio
- Infección (más frecuente por *Staphylococcus*): a menudo lleva a retirar la prótesis
- Luxación: es más frecuente la posterior (puede prevenirse con un cojín abductor)
- **Lesión de arteria y vena iliaca externa/femoral** con tornillo en cuadrante anterior/superior
- **Lesión de arteria, vena y nervio obturador** con tornillo en cuadrante anterior/inferior. Es preferible la localización posterior del tornillo
- Lesión nerviosa por retractores (ciático, porción peroneal): **pie equino**
- Calcificación heterotópica: puede prevenirse con una dosis profiláctica de radioterapia
- Osteólisis: respuesta de macrófagos; debida a revestimiento de polietileno y residuos

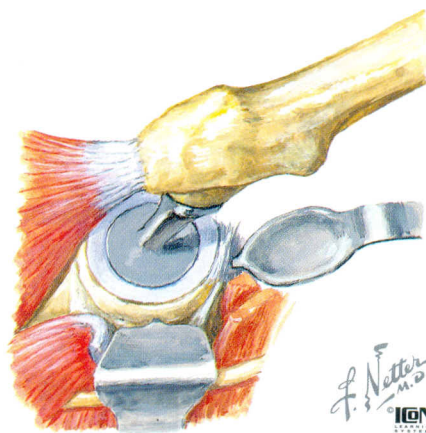
Artroplastia total de cadera



Posición final del componente acetabular
con 35-45° de inclinación lateral
y 15° de anteversión



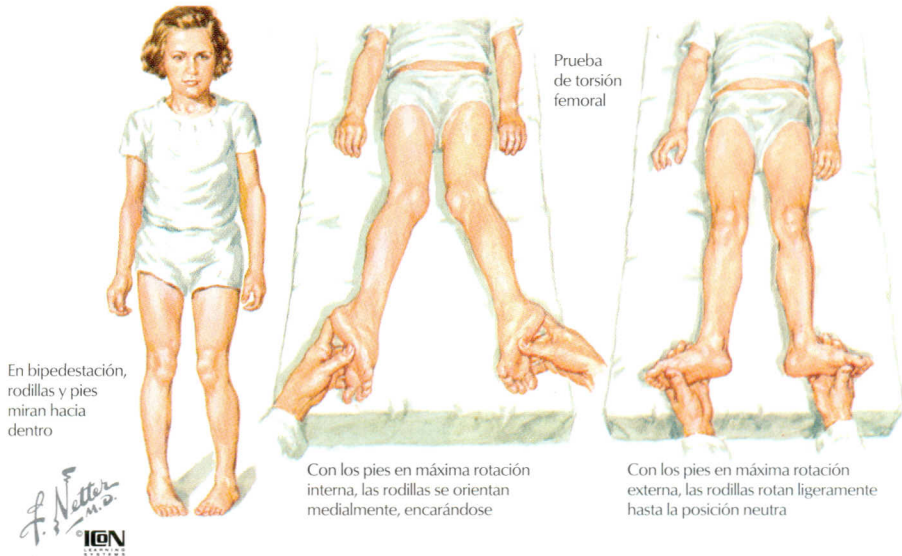
Prótesis de prueba insertada
en el conducto femoral para
asegurar el encaje (el cuello
coincide con la superficie
del cuello femoral cortado)



F. Netter M.D.
© IGC

Reducción de la cadera con la prótesis en su posición final

Torsión femoral interna



DESCRIPCIÓN

EVALUACIÓN

TRATAMIENTO/COMPLICACIONES

DISPLASIA DE CADERA

- 1. Laxitud capsular/ligamentosa
- 2. Suelo acetabular anómalo: la cadera no se desarrolla correctamente
- Asociada con: **primera hija, parto de nalgas, historia familiar +**, disminución del espacio intrauterino
- Es esencial el diagnóstico y tratamiento temprano** (<3 meses)
- Mal pronóstico si el diagnóstico es tardío

Hx: gemelos, otros factores de riesgo. A menudo pasa desapercibido por los padres

EF: **Barlow + (luxación), Ortolani + (reducción)**, pruebas de Galeazzi +. Menor abducción

RX: en pacientes ancianos

Ecografía: **si la EF no es concluyente**

- Objetivo: mantener la cabeza femoral en el acetábulo (reducción **concéntrica**):
- 1. Arnés de Pavlik (<3 meses)
- 2. Reducción cerrada y yeso (6-18 meses)
- 3. Osteotomía (>18 meses)
- Es esencial la radiología posreducción
- COMPLICACIONES:
- Osteonecrosis** (cabeza femoral)

ANTEVERSIÓN FEMORAL

- RI de fémur; la anteversión femoral no disminuye adecuadamente
- Primera causa de deformidad de los dedos del pie hacia dentro**

Hx: normalmente presente a los 3-6 años

EF: RI de fémur (RI > 65°), rótula medializada, **marcha con los dedos del pie hacia dentro**

- Resolución espontánea en la mayoría de casos
- Osteotomía desrotacional si persiste tras 10 años (tratamiento estético)



Mejor signo diagnóstico en la exploración física. Con el paciente en decúbito supino, cuando el muslo es flexionado experimenta rotación externa y abducción

F. Netter M.D.

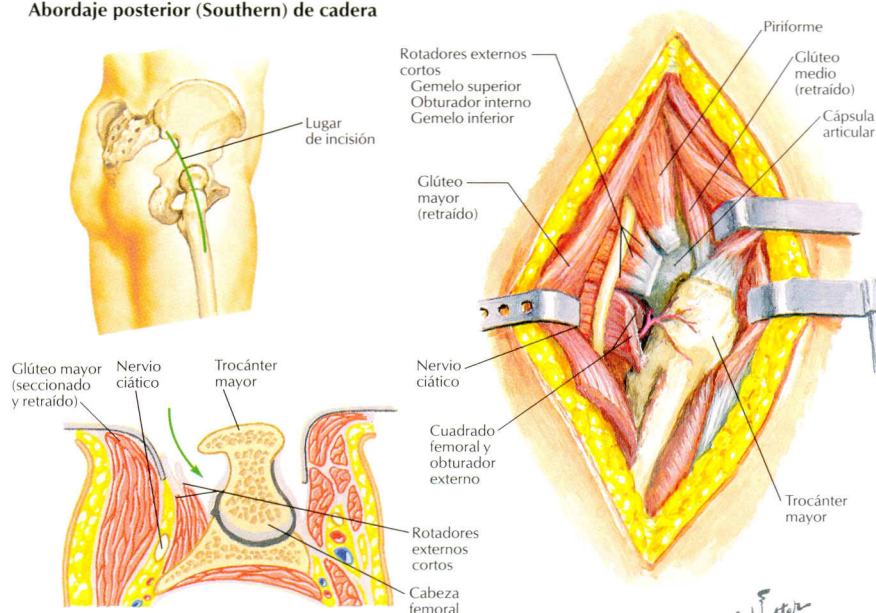
Epifisiólisis de la cabeza femoral



Radiografía axial de cadera que demuestra más claramente la epifisiólisis; está siempre indicada ante sospecha de patología

DESCRIPCIÓN	EVALUACIÓN	TRATAMIENTO/COMPLICACIONES
ENFERMEDAD DE LEGG-CALVÉ-PERTHES		
<ul style="list-style-type: none"> Osteonecrosis de la cabeza femoral Etiología idiopática, vascular (hipercoagulabilidad/residuos) Asociada con: Hx familiar +, parto de nalgas Clasificación de Catterall: 4 estadios Mal pronóstico: a partir de los 9 años o con gran afectación de la cabeza femoral 	<p>Hx: niños (4:1) normalmente de 4-8 años; dolor unilateral de muslo o rodilla, y cojera</p> <p>EF: disminución de la abducción, sin puntos dolorosos a la exploración</p> <p>RX: AP de pelvis, axial de cadera (la densidad de la cabeza femoral es indicativa; signo de medialuna: Fx subcondral)</p>	<p>La cabeza femoral debe revascularizarse</p> <p>Según la edad:</p> <ul style="list-style-type: none"> <5 años: observación y AINE 5-8 años: contención concéntrica; férula en abducción u osteotomía >9 años: el tratamiento quirúrgico a menudo fracasa (los pacientes necesitan ATC, como los adultos)
EPIFISIÓLISIS DE LA CABEZA FEMORAL		
<ul style="list-style-type: none"> La epífisis femoral proximal se desprende de la cabeza (posterior) que queda en el acetábulo Adolescentes obesos Es esencial el diagnóstico y tratamiento temprano 	<p>Hx: 11-14 años, a menudo obeso; aparición lenta, dolor de cadera, muslo, rodilla, +/- cojera</p> <p>EF: disminución del BA (especialmente RI, abducción)</p> <p>RX: AP de pelvis, axial de cadera</p>	<p>No intentar reducir</p> <ol style="list-style-type: none"> Descarga Fijación percutánea <p>COMPLICACIONES: osteonecrosis, condrólisis, osteoartritis, disminución del BA</p>

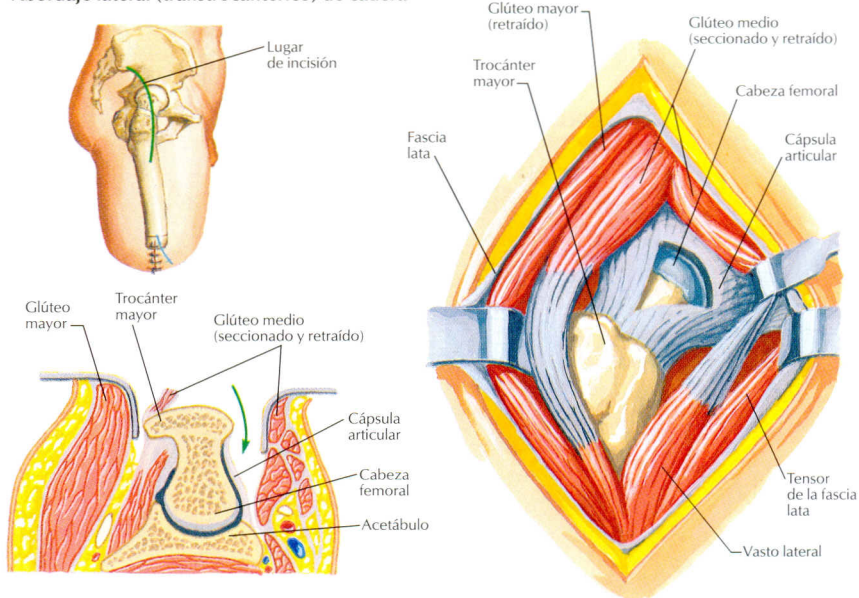
Abordaje posterior (Southern) de cadera



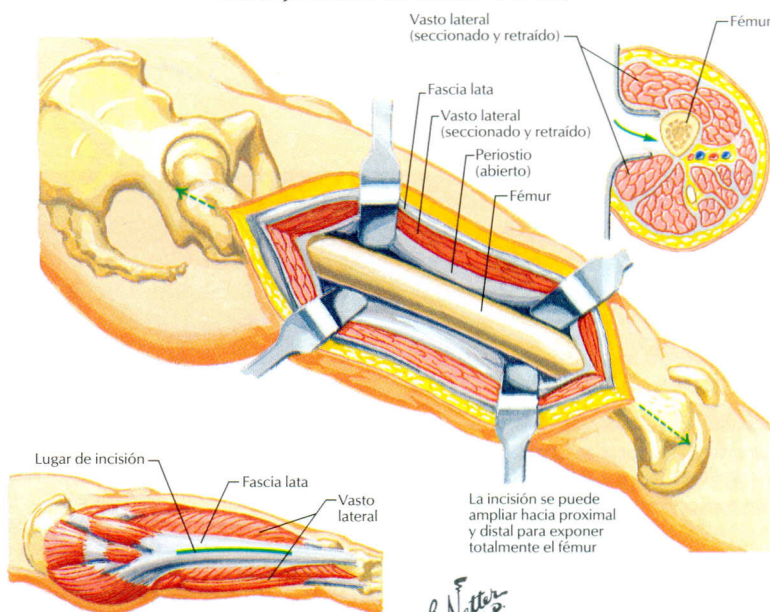
F. Netter M.D.
JOHN A. CRAIG, M.D.
© IGM

INDICACIONES	PLANO INTERNERVIOSO	RIESGOS	COMENTARIO
ABORDAJE POSTERIOR DE CADERA (Moore/Southern)			
1. Artroplastia total de cadera 2. Artroplastia 3. RAFI del acetábulo posterior 4. Luxación posterior de cadera	Sección del glúteo mayor (nervio glúteo inferior)	1. Nervio ciático 2. Arteria glútea inferior	1. Identificar arterias glúteas superior e inferior 2. Los rotadores externos cortos deben desinsertarse para acceder a la articulación
ABORDAJE LATERAL DE CADERA (Hardinge)			
Artroplastia total de cadera (no utilizada para revisiones)	Sección del glúteo medio (nervio glúteo superior)	1. Arteria glútea superior 2. Nervio femoral 3. Arteria y vena femorales	1. Sin necesidad de osteotomía del trocánter mayor. Permite movilización temprana 2. Menor exposición que el abordaje posterior, aunque no se utiliza para revisión de ATC
ABORDAJE LATERAL DE MUSLO			
1. Fracturas 2. Tumores	Sección del vasto lateral (e intermedio) (nervio femoral)	1. Rama de la arteria circunfleja femoral lateral 2. Arteria superior lateral de la rodilla	1. Tamaño de incisión variable; se realiza a lo largo de la línea que une trocánter mayor y cóndilo lateral 2. Se hallan arterias (1 y 2 a la izquierda) si la incisión se extiende hacia proximal o distal; es preciso ligarlas

Abordaje lateral (transtrocantérico) de cadera



Abordaje lateral del muslo (fémur)



F. Netter M.D.
JOHN A. CRAIG, MD
© IGM

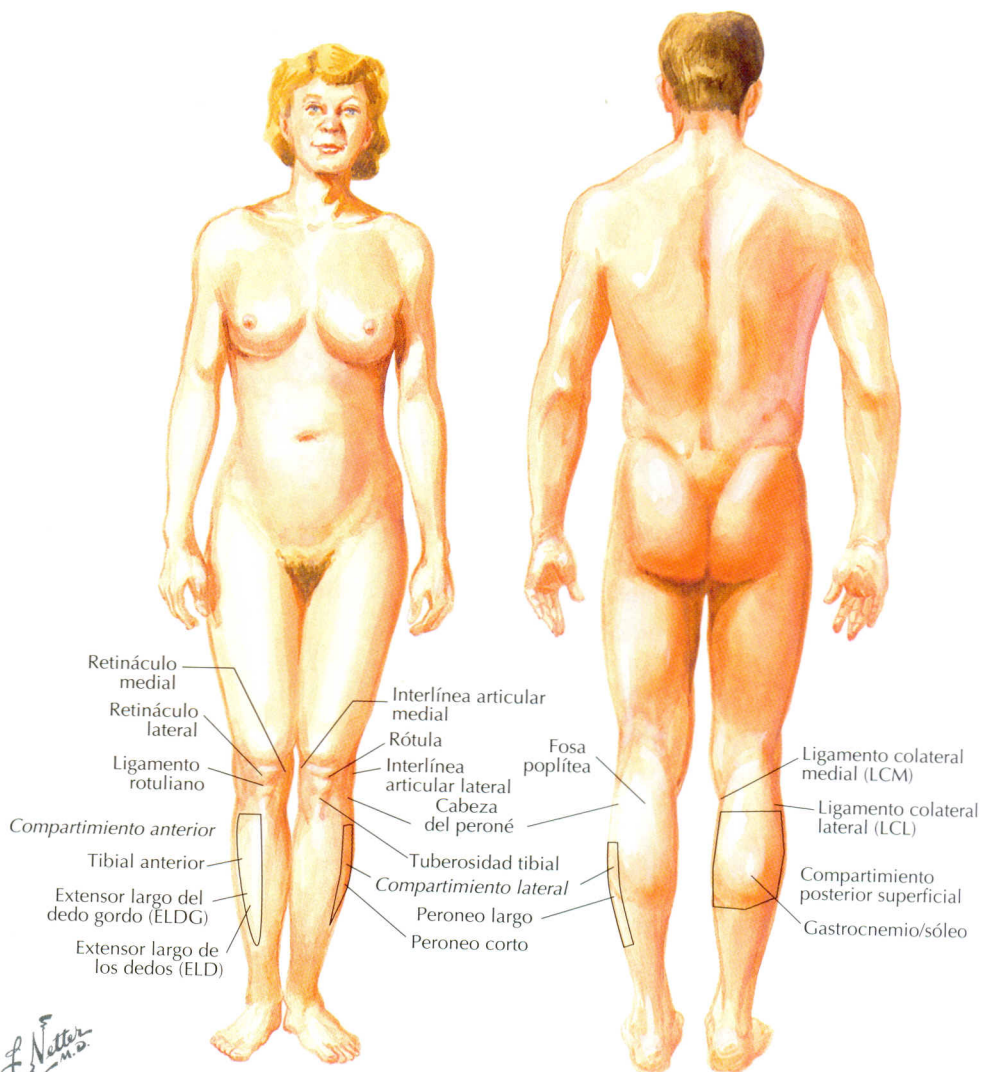
8

CAPÍTULO

PIERNA/RODILLA

CONTENIDO

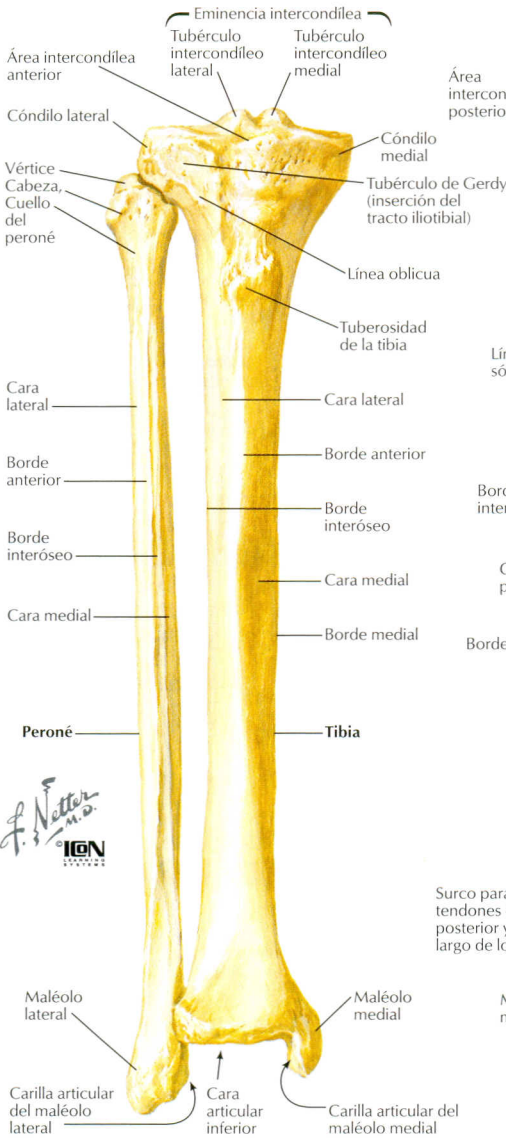
Anatomía topográfica	200
Osteología	201
Traumatismo	203
Articulaciones	207
Procedimientos menores	213
Anamnesis y exploración física	214
Músculos	220
Nervios	226
Arterias	229
Patología	230
Puntos clave en artroplastia de rodilla	237
Patología pediátrica	239
Abordajes quirúrgicos	241



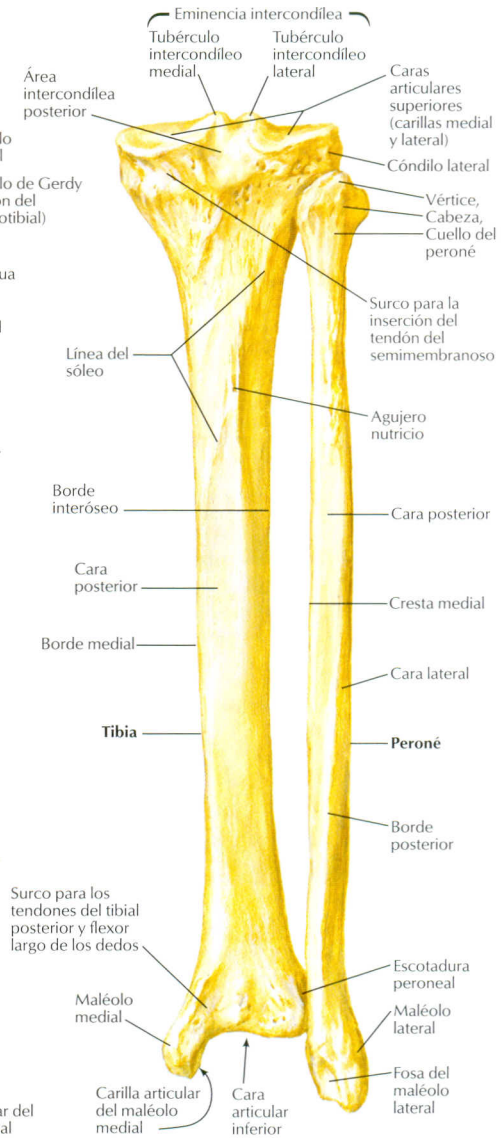
F. Netter M.D.
D. Mascaro
© IGM

Huesos de la
pierna derecha

Visión anterior



Visión posterior



CARACTERÍSTICAS

OSIFICACIÓN

FUSIÓN

COMENTARIO

TIBIA

- Características de los huesos largos
- Epifisis proximal ancha (platillo) que se articula con los cóndilos femorales
- La epifisis distal acoge el astrágalo
- El maléolo medial es el extremo distal
- El TIT se inserta en el tubérculo de Gerdy

- Primario: cuerpo
- Secundario
1. Epifisis proximal
 2. Epifisis distal
 3. Tuberosidad tibial

- 7 semanas (fetal)
- 18 años
- 18-20 años
- 9 meses
- 1 año

- Centro de osificación en la tuberosidad tibial; puede confundirse con fractura
- Apofisitis de tracción (cuádriceps) en la tuberosidad tibial: **enfermedad de Osgood Schlatter**
- Hueso de carga primario en la pierna

PERONÉ

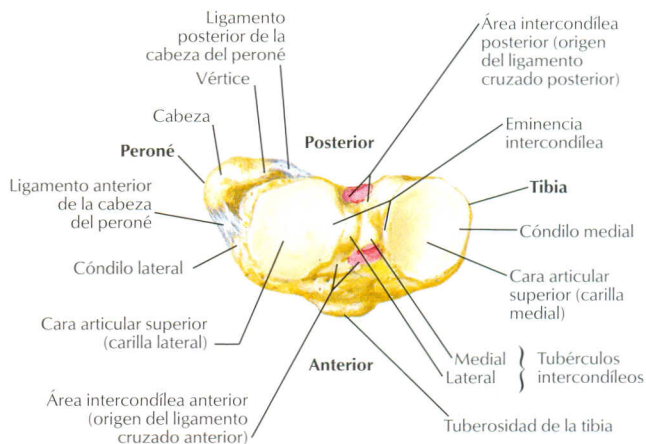
- Características de los huesos largos
- El extremo distal (maléolo peroneal) es la pared lateral de la mortaja tibioperonea

- Primario: cuerpo
- Secundario
1. Epifisis proximal
 2. Epifisis distal

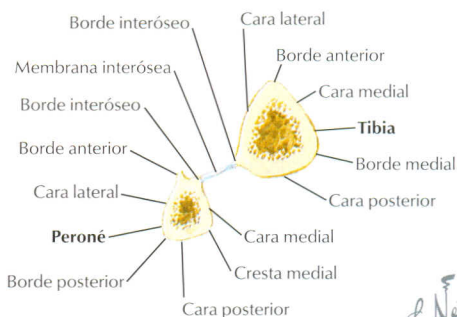
- 8 semanas (fetal)
- 20 años
- 18-22 años
- 1-3 años
- 4 años

- El nervio **peroneo común** discurre a lo largo del cuello; **se lesiona en fracturas (pie equino)**
- Se utiliza como referencia para radiografías laterales

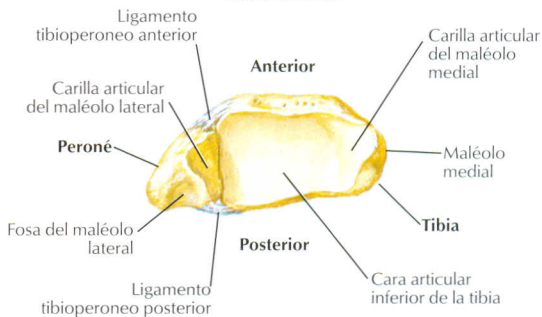
Visión superior



Sección transversal



Visión inferior



CARACTERÍSTICAS

OSIFICACIÓN

FUSIÓN

COMENTARIO

RÓTULA

- Hueso sesamoideo más grande del cuerpo
- Dos carillas (la lateral es mayor)
- Triangular en corte transversal
- Cartilago articular muy grueso (soporta grandes cargas)

Primario
(centro único)

3 años

11-13 años

- Fallo en la fusión: **rótula bipartita** (puede confundirse con fractura)
- Funciones: 1. **Posibilita la tracción del cuádriceps**
2. **Protege la rodilla**

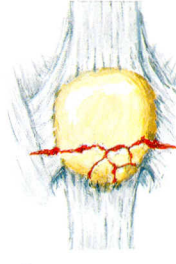
Fractura de rótula



Fractura transversa no desplazada con retináculos intactos



Fractura transversa desplazada con afectación de retináculos



Fractura transversa con conminución del polo distal



Fractura conminuta grave

F. Netter
M.D.
ICON

DESCRIPCIÓN	EVALUACIÓN	CLASIFICACIÓN	TRATAMIENTO
FRACTURA DE RÓTULA			
<ul style="list-style-type: none"> Mecanismos: directo e indirecto (p. ej., lesión por caída, choque contra el salpicadero o contusión) La tracción del tendón del cuádriceps y el ligamento rotuliano desplaza la mayoría de fracturas Si está intacto, el retináculo resiste al desplazamiento No confundir con rótula bipartita 	<p>Hx: traumatismo. Dolor, no puede extenderse la rodilla, tumefacción</p> <p>EF: derrame en «cúpula». Hipersensibilidad, defecto +/- palpable. Imposibilidad de extender la rodilla</p> <p>RX: seriada de rodilla</p> <p>TC: normalmente no es necesaria</p>	<p>Descriptiva y por localización:</p> <p>No desplazada</p> <p>Transversal</p> <p>Vertical</p> <p>Estrellada</p> <p>Polo superior/inferior</p> <p>Conminuta</p>	<p>No desplazada o conminuta: yeso circular durante 6 semanas</p> <p>Desplazada (>2-3 mm): RAFL (p. ej., bandas de tensión) para restaurar la superficie articular</p> <p>Conminuta grave: puede requerir patelectomía</p>
COMPLICACIONES: osteoartritis y/o dolor , disminución del movimiento y/o fuerza; osteonecrosis; refractura			
FRACTURA DE LA MESETA TIBIAL			
<ul style="list-style-type: none"> Mecanismo: contusión directa (p. ej., AVM) Fractura intraarticular Es importante restaurar la superficie articular Más frecuente en la meseta lateral Lesión metafisaria: el hueso se comprime; esto lleva a una pérdida funcional de hueso Asociado con lesiones ligamentosas 	<p>Hx: traumatismo. Imposibilidad de bipedestación. Dolor, tumefacción</p> <p>EF: derrame, hipersensibilidad; realizar EF neurovascular completa</p> <p>RX: seriada de rodilla</p> <p>TC: define mejor la fractura</p> <p>AGRAF: en caso de pérdida de pulso</p>	<p>Schatzker (6 tipos):</p> <ol style="list-style-type: none"> Fx de meseta tibial lateral Fx/hundimiento de meseta tibial lateral Hundimiento de meseta tibial lateral Fx de meseta tibial medial Fx bicondílea de meseta Fx con diastasis metafisodiafisaria 	<p>Aspirar hemartrosis +/-</p> <p>No desplazadas (6 mm): yeso, BA a las 6 semanas, CP a los 3 meses</p> <p>Desplazadas/inestables: RAFL: placas y tornillos +/- injerto óseo</p> <p>Movilización temprana, carga a los 2 meses</p>
COMPLICACIONES: síndrome compartimental ; fallo de osteosíntesis o pérdida de reducción; OA; lesión de la arteria poplítea o el nervio ciático			
LUXACIÓN DE RODILLA			
<ul style="list-style-type: none"> Rara: emergencia traumatológica Normalmente lesión de alta energía Rotura de ligamentos y otras partes blandas Alta incidencia de fracturas asociadas y lesión neurovascular Es importante el control periódico para obtener resultados óptimos 	<p>Hx: traumatismo. Dolor, imposibilidad de bipedestación</p> <p>EF: derrame, deformidad, dolor, +/- pulsos distales y función del nervio peroneo común</p> <p>RX: AP/lateral</p> <p>AGRAF: identificar lesión arterial</p> <p>RM: lesión ligamentosa</p>	<p>Según posición:</p> <p>Anterior</p> <p>Posterior</p> <p>Lateral</p> <p>Medial</p> <p>Rotacional: anteromedial o anterolateral</p>	<p>Es esencial una reducción temprana</p> <p>Examen neurológico y radiológico posreducción</p> <p>Inmovilización (yeso): 6-8 semanas (no en caso de rotura ligamentosa)</p> <p>Quirúrgico: si es irreducible, lesión vascular (+/- fasciotomía profiláctica), reparación temprana de ligamentos si es necesario</p>
COMPLICACIONES: neurovasculares: lesión de arteria poplítea y/o nervio peroneo común ; disminución del BA; inestabilidad			

Fractura de la meseta tibial



I. Fractura de meseta tibial lateral



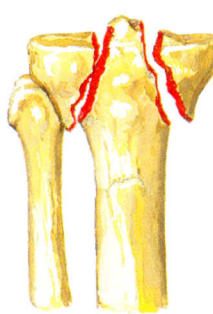
II. Fractura con hundimiento de meseta tibial lateral



III. Hundimiento de meseta tibial lateral sin fragmento



IV. Fractura conminuta de meseta tibial medial y espinas



V. Fractura bicondilea con afectación de ambas mesetas y diastasis



VI. Fractura de meseta tibial lateral con separación de la unión metafisodiáfisaria

Luxación de rodilla

Tipos de luxación

F. Netter M.D.
© IGCN



Anterior



Posterior



Lateral

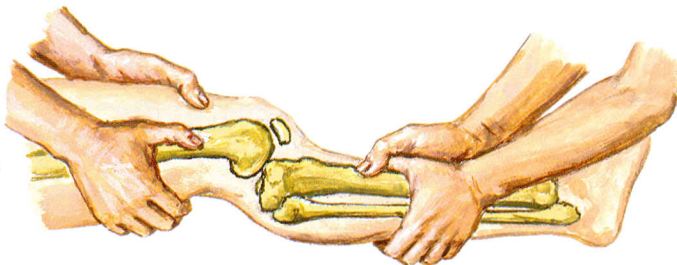


Medial

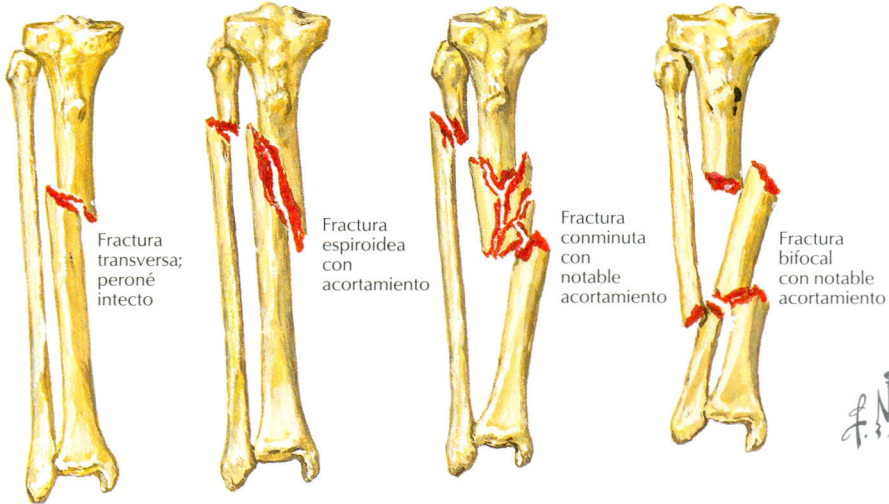


Rotacional

Es importante realizar pronto la reducción, lo que normalmente se consigue mediante tracción manual, con o sin presión sobre la prominencia del hueso luxado



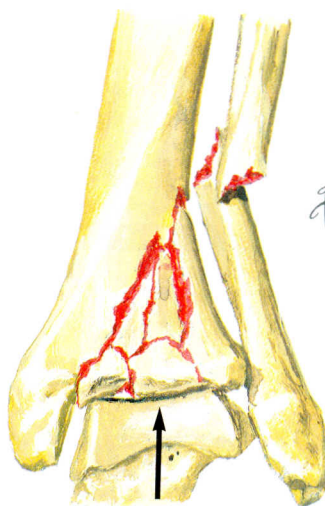
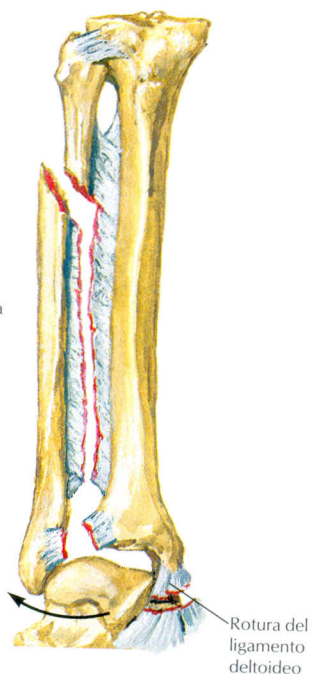
Fractura diafisaria de la tibia



J. Natter M.D.
IGN

DESCRIPCIÓN	EVALUACIÓN	CLASIFICACIÓN	TRATAMIENTO
FRACTURA DIAFISARIA DE LA TIBIA			
<ul style="list-style-type: none"> Fractura común de hueso largo Adultos jóvenes Frecuente combinación de lesiones: fractura de tibia/peroné o fractura/luxación de tibia Escasa vascularización: problemas de consolidación Es aceptable una angulación residual de hasta 5° 	<p>Hx: traumatismo. Imposibilidad de bipedestación, dolor, tumefacción</p> <p>EF: tumefacción, deformidad, +/- tensión en compartimientos, herida abierta. Palpar el pulso</p> <p>RX: AP/lateral de pierna, + seriada de rodilla y tobillo</p> <p>AGRAF: en caso de ausencia de pulso</p>	<p>Descriptiva:</p> <p>Localización</p> <p>Desplazada/conminuta</p> <p>Tipo: transversa, espiroidea, oblicua</p> <p>Rotación/angulación</p>	<p>Fractura estable, con desplazamiento mínimo o nulo, cerrada: yeso crurópédico</p> <p>4-6 semanas; después, acortar yeso</p> <p>Fractura inestable, desplazada, conminuta: RAFI. Clavos intramedulares (fijación externa en fracturas abiertas graves)</p>
COMPLICACIONES: fallo de consolidación/seudoartrosis, especialmente tercio mediodistal; síndrome compartimental; disminución del BA; fallo de la osteosíntesis, lesión neurovascular; distrofia simpaticorreleja (DSR)			
FRACTURA DE MAISONNEUVE			
<ul style="list-style-type: none"> Rotura completa de la sindesmosis con diástasis y fractura proximal de peroné Variante de la fractura de tobillo con rotura del ligamento deltoideo Fractura inestable 	<p>Hx: traumatismo. Dolor en tobillo, +/- dolor en rodilla</p> <p>EF: dolor en tobillo, tumefacción, +/- signos de rodilla</p> <p>RX: seriada de rodilla en todas las fracturas de tobillo</p>		<p>Reducir y estabilizar la sindesmosis con un tornillo</p>
COMPLICACIONES: inestabilidad de tobillo; artritis de tobillo			
FRACTURA DE LA EPÍFISIS DISTAL DE LA TIBIA			
<ul style="list-style-type: none"> Intraarticular: a través de la superficie articular/CP distal Frecuente conminución Asociada a lesiones de partes blandas La reparación de la superficie articular es difícil pero esencial Curación a menudo lenta 	<p>Hx: traumatismo. Imposibilidad de bipedestación, dolor, tumefacción</p> <p>EF: derrame, hipersensibilidad, realizar EF neurovascular exhaustiva</p> <p>RX: AP/lateral (oblicuas)</p> <p>TC: necesaria; proporciona mejor imagen de la superficie articular</p>	<p>Ruedi-Allgower (3 tipos):</p> <ol style="list-style-type: none"> No desplazada o mínimamente Desplazada: superficie articular incongruente Superficie articular conminuta 	<p>No desplazada: yeso crurópédico y descarga durante 6 semanas</p> <p>Desplazada/conminuta: RAFI, placas y tornillos +/- injerto óseo</p> <p>Conminución grave: fijación externa</p>
COMPLICACIONES: osteoartritis postraumática (casi el 100% en fracturas conminutas); disminución del BA; fallo en la consolidación/seudoartrosis			

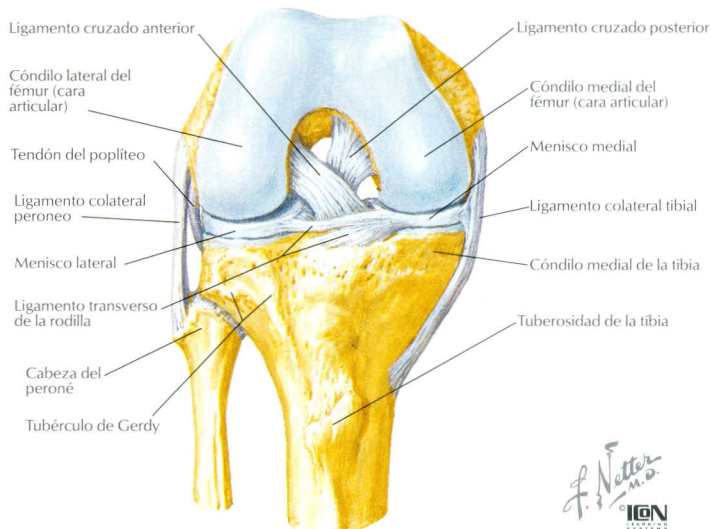
Fractura de Maisonneuve. Rotura completa de la sindesmosis tibioperonea con diastasis, causada por rotación externa del astrágalo y transmisión de la fuerza al peroné proximal, que provoca una fractura alta de éste. La membrana interósea se rompe longitudinalmente. La radiografía muestra la reparación con un tornillo largo transversal. (Estas fracturas pasan fácilmente desapercibidas en las radiografías)



Fractura de epífisis distal de tibia.

Normalmente causada por una fuerza vertical sobre el tobillo, por ejemplo al caer sobre los talones desde cierta altura (normalmente en dorsiflexión de tobillo). Fractura y compresión de la superficie articular de la tibia, además de separación de los maléolos y fractura de peroné

Rodilla derecha en flexión: visión anterior



ESTABILIZADORES

INSERCIONES

COMENTARIOS

FEMOROTIBIAL: CONDÍLEA

ANTERIOR

Articulación femororrotuliana

Ligamento cruzado anterior (LCA)

Véase página 212

Desde la eminencia intercondílea a la cara medial del cóndilo femoral lateral

Evita la traslación anterior; está tenso en flexión; **debe reconstruirse en caso de lesión**

Ligamento transverso de la rodilla

Porción anterior de los meniscos

Estabiliza y sujeta los meniscos

MEDIAL

Menisco

Entre el cóndilo femoral y la meseta tibial

Forma de media luna más marcada que el lateral

Cápsula (III)

Cubre la articulación

Estabilización mínima

Ligamento colateral medial (LCM)

Desde el epicóndilo medial a la tibia (II) y el menisco (III)

Porción superficial (II) y profunda (III)

Ligamento coronario (III)

Del menisco a la cara medial de la tibia

Estabiliza el menisco

Tendón del semimembranoso (II)

Se inserta en la cara posterior del cóndilo tibial

Puede producirse tendinitis de inserción

Tendones de la pata de ganso (I)

Cóndilo tibial medial

LATERAL

Menisco

Entre el cóndilo femoral y la meseta tibial

Más circular que el medial

Tendón del músculo poplíteo

Región proximal de la tibia

Tendón intraarticular

Cápsula (III)

Cubre la articulación

Estabilización mínima

Ligamento poplíteo arqueado (III)

De la región posterolateral del cóndilo femoral a la cabeza del peroné

Cubre el tendón del poplíteo

Ligamento fabeloperoneal (III)

De la fabela al peroné

Variable

Ligamento colateral lateral (LCL) (III)

De la región lateral del cóndilo femoral a la cabeza del peroné

Evita la angulación en varo

Tendón del músculo bíceps (II)

Del tubérculo de Gerdy a la cabeza del peroné

Tracto iliotibial (TIT) (I)

Región lateral del cóndilo tibial

Si se tensa, puede aparecer un síndrome del TIT

POSTERIOR

Cápsula (III)

Cubre la articulación

Estabilización mínima

Ligamento de Humphrey

De la región posterior de menisco lateral al cóndilo femoral medial

Delante del LCP

Ligamento cruzado posterior (LCP)

Del área intercondílea posterior a la región anterior del cóndilo femoral medial

Evita la traslación posterior

Ligamento de Wrisberg

De la región posterior del menisco lateral al cóndilo femoral medial

Detrás del LCP

Ligamento poplíteo oblicuo

Del semimembranoso al cóndilo femoral lateral

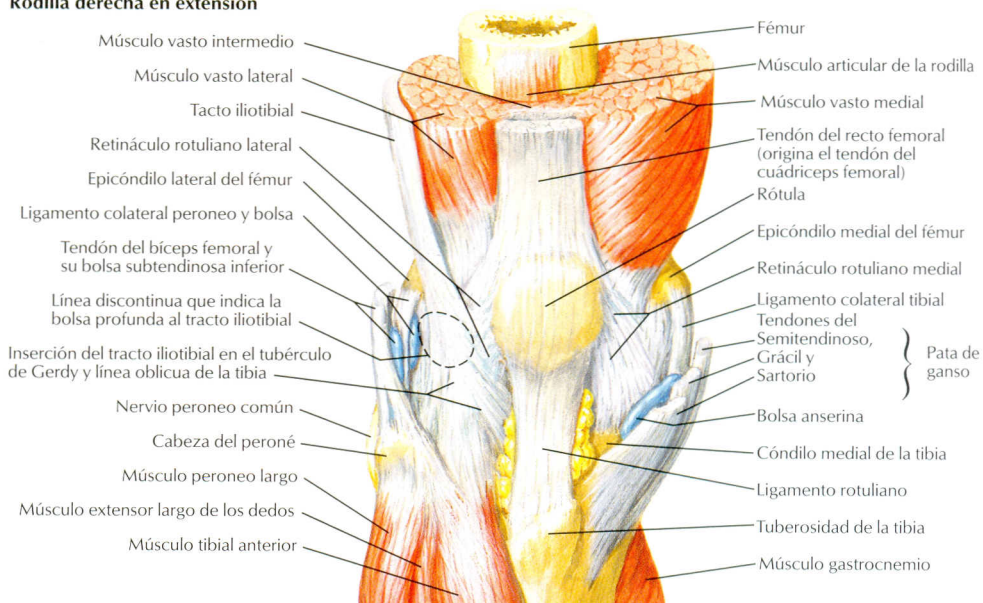
Se origina del semimembranoso

Músculo gastrocnemio/plantar

Origen: región posterior de cóndilos femorales

Las dos cabezas se originan por encima de la rodilla

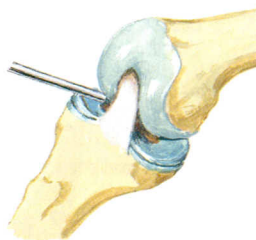
Rodilla derecha en extensión



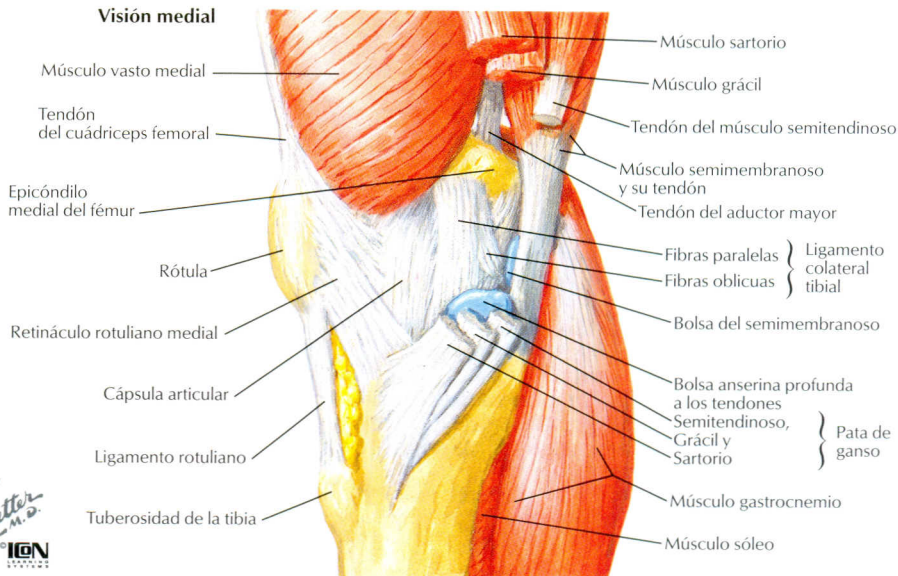
Escotadura intercondílea



Ligamento cruzado anterior, observable entre los cóndilos femorales



Visión medial

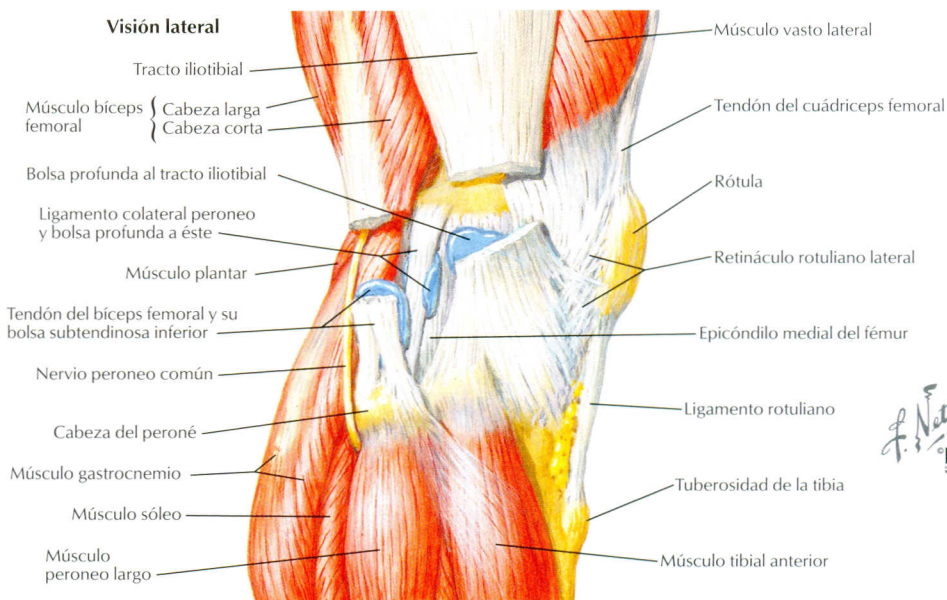


Compartimiento anteromedial



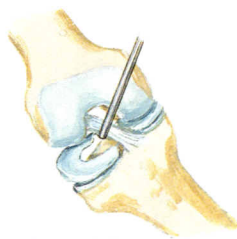
Menisco medial observable bajo el cóndilo femoral. El menisco se eleva forzando el valgo, lo que permite la inspección por debajo de éste

Visión lateral



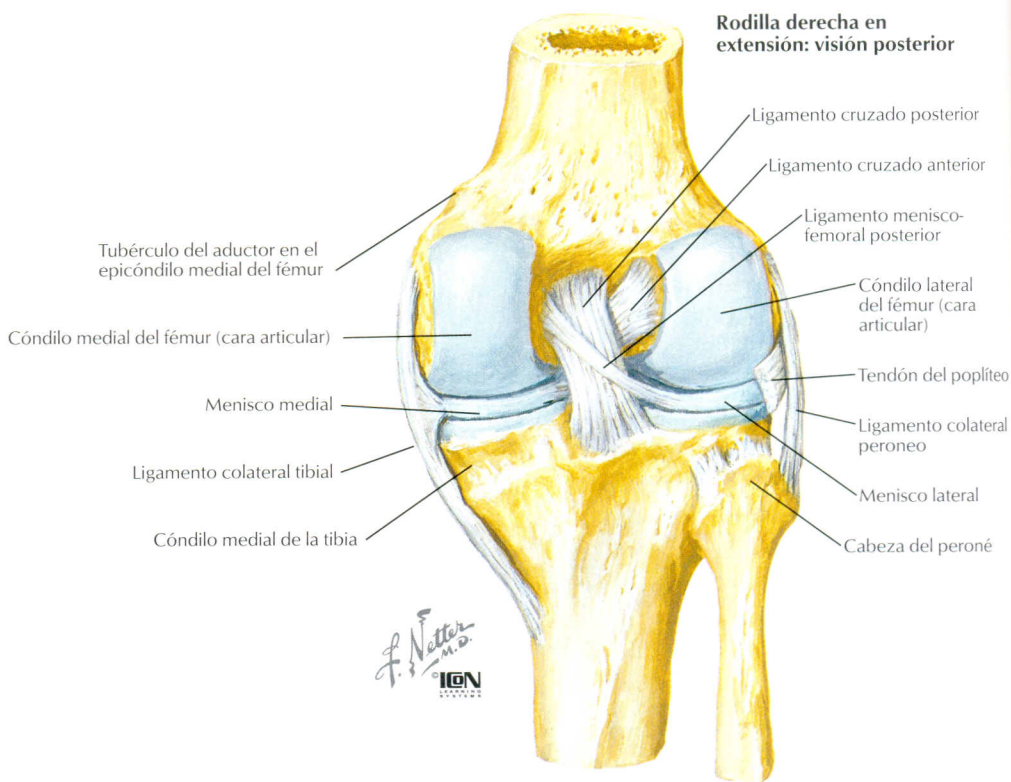
F. Netter M.D.
I.C.N.

Compartimiento anterolateral

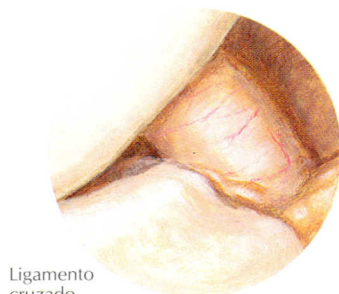


Observación del menisco lateral. El menisco se despegó del cóndilo tibial forzando el varo

Compartimiento posteromedial

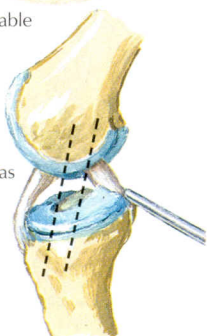


Compartimiento posteromedial



Ligamento cruzado posterior observable junto al menisco medial

Las líneas discontinuas indican el ligamento colateral tibial



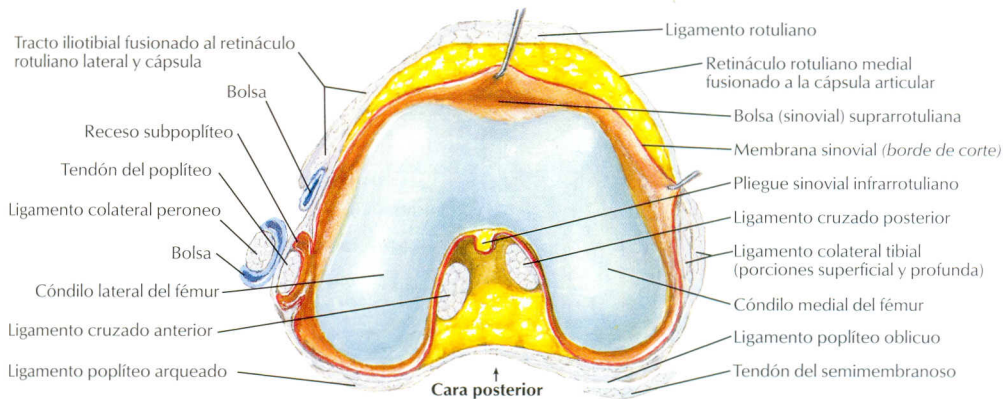
Compartimiento posterolateral



Tendón del popliteo, que discurre en dirección oblicua hacia abajo

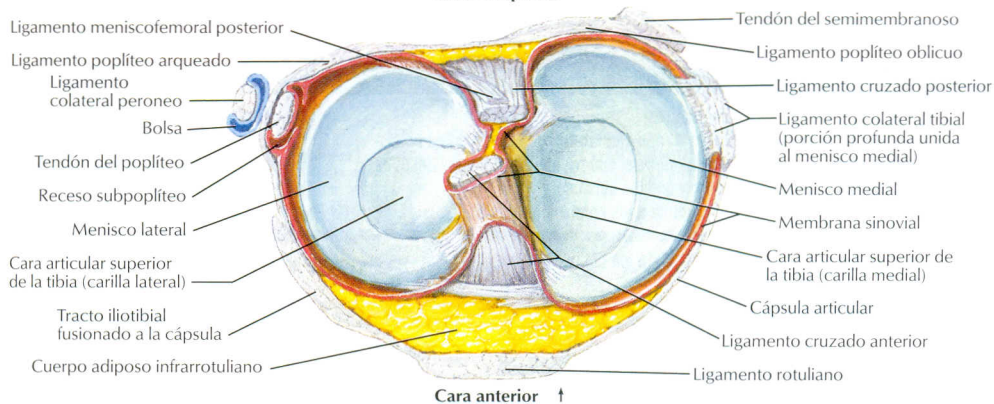


Visión inferior



F. Netter M.D.
I.C.N.

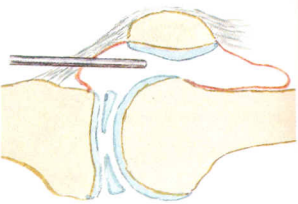
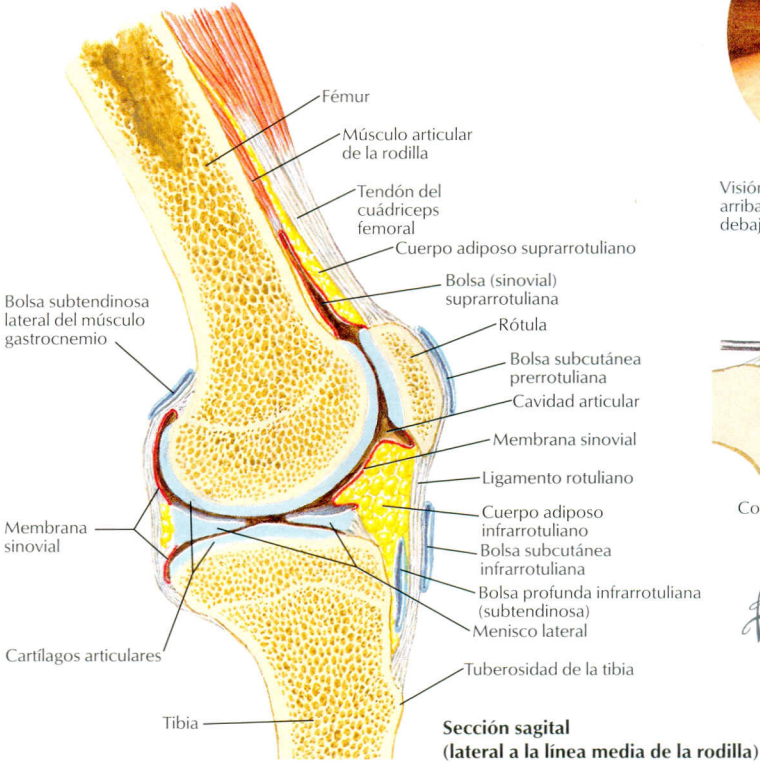
Visión superior



Fondo de saco suprarrotuliano



Visión artroscópica que muestra la rótula arriba, la zona intercondílea del fémur debajo y el fondo de saco en medio

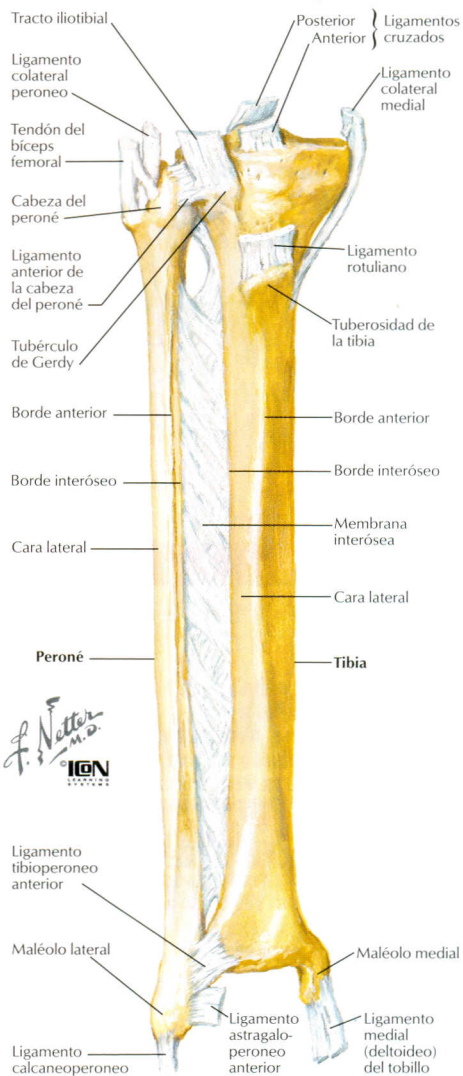


Compartimiento anteromedial

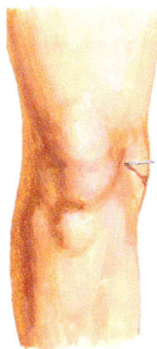
F. Netter M.D.
ICON

ESTABILIZADORES	INSERCIÓNES	COMENTARIOS
FEMORORROTULIANA		
Tendón del cuádriceps	Inserción en el polo rotuliano superior	Mecanismo extensor superior
Ligamento rotuliano (tendón)	Del polo rotuliano inferior a la tuberosidad tibial	Mecanismo extensor inferior
Retináculo medial y lateral (fibras oblicuas del cuádriceps) (II)	Extensiones del cuádriceps a la rótula, y después a los cóndilos tibiales	Estabiliza la rótula en movimiento. Si se tensa, puede afectar al ángulo Q
Ligamentos femorrotulianos medial y lateral (II)	De la rótula a los cóndilos femorales	Estabilizan la rótula
Ligamentos tibiorrotulianos medial y lateral	De la rótula a los cóndilos tibiales	Estabilizan la rótula
TIBIOPERONEA PROXIMAL: PLANA		
Ligamento anterior de la cabeza del peroné	De la cabeza del peroné a la región lateral de la tibia	Más amplio que el posterior
Ligamento posterior de la cabeza del peroné	De la cabeza del peroné a la región lateral de la tibia	Más débil que el anterior
OTRAS ESTRUCTURAS		
Membrana interósea	De la reg. lat. de la tibia a la reg. med. del peroné	Fuerte; a lo largo de la pierna
<ul style="list-style-type: none">Tres compartimientos en la rodilla: medial, lateral y femorrotulianoMenisco: formado por fibrocartilago. Funciones: 1) protege el cartilago articular (aumenta el área de carga); 2) estabiliza aumentando la profundidad, y 3) transmisión de la cargaEl tercio periférico es vascular (arterias articulares de la rodilla) y puede repararse. Los dos tercios internos son nutridos por el líquido sinovial; deben regularizarse si se lesionanExisten tres capas de estabilización en la rodilla (I, II, III; anotado entre paréntesis junto a la estructura)Complejo del ángulo posterolateral: ligamento poplíteo arqueado, poplíteo y cápsula posterolateralMúsculos que se insertan en la pata de ganso: sartorio, grácil y semitendinoso		

Visión anterior con inserciones ligamentosas



PROCEDIMIENTOS MENORES: RODILLA



Rodilla. Aguja insertada horizontalmente en el margen medial o lateral de la rótula para pasar por debajo de ésta. Aguja de 20 G, usada en la mayoría de articulaciones

PASOS

ARTROCENTESIS/PUNCIÓN

1. Preguntar al paciente si es alérgico
2. Colocar al paciente en decúbito supino, con la rodilla extendida, y palpar los bordes laterales de la rótula y la zona distal del fémur
3. Limpiar la zona de punción (yodo/jabón antiséptico)
4. Anestesia local (habón)
5. Insertar una aguja de 18 G lateralmente en el fondo de saco suprarrotuliano (entre la rótula y el fémur), proximalmente respecto a la articulación. Aspirar el líquido intraarticular (o inyectar 3-5 ml de anestésico local/corticoesteroides). El líquido debe fluir fácilmente si la aguja se encuentra en la articulación
6. Si existe sospecha de infección, enviar una muestra para estudio microbiológico y cultivo
7. Colocar apósito en la zona de punción


Lesión de LCP

Las causas más frecuentes producen una lesión por hiperextensión, como ocurre cuando se mete el pie en un agujero o por contusión directa sobre la rodilla flexionada

Torsiones

La causa más frecuente es un fuerte impacto sobre la cara posterolateral de la rodilla con el pie fijo, lo que produce un valgo forzado sobre la articulación de la rodilla



F. Netter M.D.
ICON

Lesión de LCA

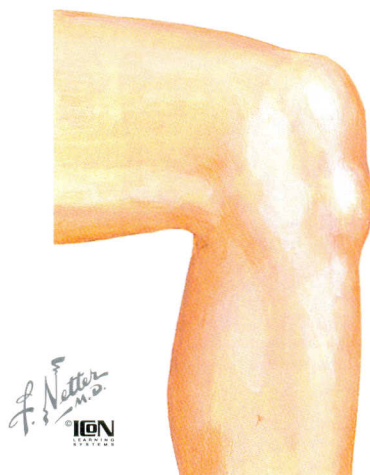
La causa más frecuente es un giro sobre la rodilla hiperextendida, como ocurre en baloncesto al caer tras un salto



PREGUNTA	RESPUESTA	APLICACIÓN CLÍNICA
1. EDAD	Jóvenes Mediana edad, ancianos	Traumatismo: fracturas, lesión ligamentosa o meniscal Artritis
2. DOLOR		
a. Inicio	Agudo	Traumatismo: fractura, luxación, lesión de partes blandas (ligamento/menisco), bursitis séptica
	Crónico	Artritis, infección, tendinitis/bursitis, tumor
b. Localización	Anterior	Tendinitis o rotura del cuádriceps o del ligamento rotuliano, bursitis prerrotuliana, artritis femororrotuliana
	Posterior	Rotura meniscal (cuerno posterior), quiste de Baker , aneurisma poplíteo
	Lateral	Rotura meniscal (interlínea articular), lesión del ligamento colateral, artritis, síndrome del TIT
	Medial	Rotura meniscal (interlínea articular), lesión del ligamento colateral, artritis, bursitis de la pata de ganso
c. Aparición	Dolor nocturno Con la actividad	Tumor, infección Probable etiología articular del dolor
3. RIGIDEZ	Sin bloqueo Con bloqueo	Artritis, derrame (traumatismo, infección) Cuerpo libre, rotura meniscal (en especial lesión en asa de cubo) , artritis, plica sinovial
4. TUMEFACCIÓN	Intraarticular Aguda (poslesión) Aguda (sin lesión)	Infección, traumatismo Aguda (horas): lesión del LCA; subaguda (días): lesión meniscal Infección: bursitis prerrotuliana, articulación séptica
5. INESTABILIDAD	Fallo/colapso Fallo, dolor +/-	Lesión del ligamento cruzado, lesión del mecanismo extensor Subluxación/luxación rotuliana, plica patológica, osteocondritis disecante
6. TRAUMATISMO	Mecanismo: valgo forzado Varo forzado Flexión/fuerza posterior Lesión por contacto Ruido seco NINGUNO	Lesión del LCM (+/- triada: lesión del LCM, LCA y menisco medial) Lesión del LCL Lesión del LCP (p. ej., lesión por choque contra el salpicadero) No contacto: lesión del LCA ; contacto: múltiples ligamentos Lesión de ligamento cruzado (en especial LCA) , fractura osteocondral Etiología degenerativa y de sobreuso
7. ACTIVIDAD	Deportes de agilidad Correr, ir en bicicleta, escalar Paracaidismo Caminar	Lesión del ligamento cruzado y/o colateral Etiología femororrotuliana Rotura meniscal Distancia recorrida en relación con la gravedad de la patología articular
8. SÍNTOMAS NEUROLÓGICOS	Dolor, hipoestesias, hormigueo	Patología neurológica, traumatismo
9. AFECTACIÓN SISTÉMICA	Fiebre, escalofríos	Infección, artritis séptica
10. ANTECEDENTES DE ARTRITIS	Afectación de múltiples articulaciones	Artritis reumatoide, gota, etc.

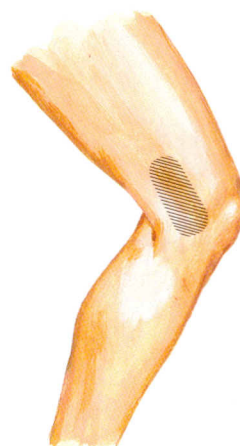


Bursitis prerrotuliana



Enfermedad de Osgood-Schlatter

Aparición clínica. Prominencia sobre la tuberosidad tibial debido en parte a la tumefacción de partes blandas y avulsión de fragmentos



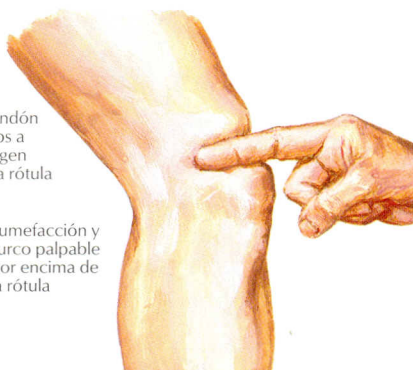
Tracto iliotibial

Área de dolor difuso e hipersensibilidad

EXPLORACIÓN	TÉCNICA/HALLAZGOS	APLICACIÓN CLÍNICA
INSPECCIÓN		
Marcha	Observar el recorrido rotuliano	Un recorrido rotuliano anormal puede producir problemas femororrotulianos
	Marcha con rodilla flexionada	Acortamiento del tendón de Aquiles o isquiotibiales: problemas femororrotulianos
Anterior	<i>Genu valgum</i> (rodilla en X)	Normal: 7° de valgo; deformidad en valgo o varo con déficit óseo o ligamentoso
	<i>Genu varum</i> (rodilla arqueada)	Derrame (artritis, traumatismo, infección/inflamación), bursitis (prerrotuliana/infrarrotuliana)
	Tumefacción	Derrame (artritis), quiste de Baker
Posterior	Tumefacción, masa	<i>Genu recurvatum</i> (lesión del LCP), rótula alta (inestabilidad rotuliana)
Lateral	Rodilla hacia atrás, recorrido rotuliano amplio/corto	Atrofia del vasto medial: puede producir problemas femororrotulianos
Musculatura	Atrofia	
PALPACIÓN		
Estructuras óseas	Rótula: cara medial y lateral	Hipersensibilidad en el polo distal: tendinitis (rodilla del saltador)
	Tuberosidad tibial	Hipersensibilidad en la enfermedad de Osgood Schlatter
Partes blandas	Comprimir el fondo de saco suprarrotuliano	Peloteo rotuliano (derrame): artritis, traumatismo, infección
	Bolsa prerrotuliana/infrarrotuliana	Si es edematosa o hipersensible, indica bursitis
	Bolsa de la pata de ganso	La hipersensibilidad indica bursitis
	Plica (medial a la rótula)	Una plica engrosada e hipersensible es patológica
	Interlínea articular medial y LCM	Hipersensibilidad: rotura del menisco medial o lesión del LCM
	Interlínea articular lateral y LCL	Hipersensibilidad: rotura del menisco lateral o lesión del LCL
	Tracto iliotibial (región antero-lateral de la rodilla)	El dolor o la contractura son patológicos
	Fosa poplítea	
	Masa uniforme con quiste de Baker, aneurisma poplíteo	
	Compartimientos de la pierna (anterior, posterior, lateral)	Compartimiento tenso o duro: síndrome compartimental

Rotura del tendón
del cuádriceps a
nivel del margen
superior de la rótula

Tumefacción y
surco palpable
por encima de
la rótula

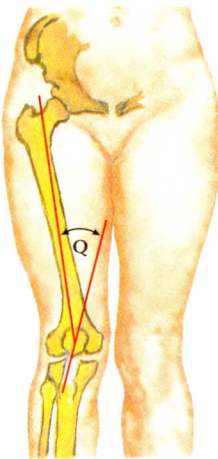


Síndrome compartimental anterior agudo



Estos cinco síntomas suelen
ser las primeras manifestaciones
del síndrome compartimental

EXPLORACIÓN	TÉCNICA/HALLAZGOS	APLICACIÓN CLÍNICA
BALANCE ARTICULAR		
Flexión y extensión	Decúbito supino: rodilla contra el pecho; después, extender	Normal: flexión 0 a 125-135°, extensión 0 a 5-15° Intervalo extensor (dificultad en los 20° finales): debilidad del cuádriceps; extensión disminuida debido al derrame
RI y RE tibial	Explorar el recorrido rotuliano, dolor y crepitación Estabilización del fémur, rotación de la tibia	Un recorrido anormal produce dolor en la cara anterior de la rodilla; dolor y crepitación: artritis Normal: 10-15° de RI y RE
NEUROVASCULAR		
Sensitivo		
Nervio femoral (L4)	Cara medial de la pierna (nervios cutáneos mediales)	Su déficit indica una lesión del nervio/raíz correspondiente
Nervio peroneo (L5)	Cara lateral de la pierna (común y superficial)	Su déficit indica una lesión del nervio/raíz correspondiente
Nervio tibial (S1)	Cara posterior de la pierna (nervios surales)	Su déficit indica una lesión del nervio/raíz correspondiente
Motor		
Nervio femoral (L2-4)	Extensión de la rodilla	Debilidad = lesión del cuádriceps o del nervio/raíz
Nervio ciático: Tibial (L4-S3)	Flexión de la rodilla	Debilidad = lesión del bíceps (CL) o del nervio/raíz
Peroneo (L4-S2)	Flexión de la rodilla	Debilidad = lesión del bíceps (CC) o del nervio/raíz
Nervio tibial (L4-S3)	Flexión plantar del pie	Debilidad = lesión del TP, FLDG, FLD o del nervio/raíz
Nervio peroneo (profundo) (L4-S2)	Dorsiflexión del pie	Debilidad = lesión del TA, ELDG, ELD o del nervio/raíz
Reflejo		
L4	Rotuliano	Su hipoactividad o ausencia indica radiculopatía de L4
Pulso		
	Poplíteo	

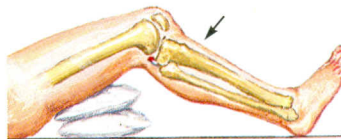


Ángulo Q: formado por la intersección de las líneas desde la espina iliaca anteriosuperior y tuberosidad tibial hasta el punto medio de la rótula. Un ángulo Q aumentado predispone a la luxación de rótula

Prueba de la aprehensión (Fairbank). Cuando el examinador desplaza la rótula lateralmente, el paciente nota dolor y contrae con fuerza el músculo cuádriceps



F. Netter M.D.
I.G.O. LECTURE



Signo de Lachman pasivo. La pierna cae hacia atrás

EXPLORACIÓN

TÉCNICA/HALLAZGOS

APLICACIÓN CLÍNICA

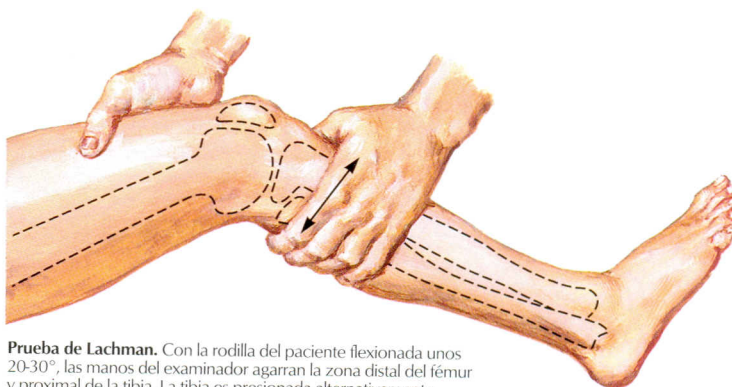
PRUEBAS ESPECIALES

Ángulo Q (cuádriceps)	ElIAS y tuberosidad tibial hasta el punto medio de la rótula	Normal: hombre 13°, mujer 18°; ángulo aumentado: SFP, subluxación
Desplazamiento de la rótula	Rodilla extendida: fijar y comprimir la rótula	Dolor: patología de la articulación femororrotuliana, condromalacia rotuliana
Aprehensión rotuliana	Rodilla relajada: desplazar la rótula lateralmente	Dolor/aprehensión: subluxación; lesión del retináculo medial
McMurray	Forzar la pierna en flexión/RE/valgo; entonces, extender la rodilla Forzar la pierna en flexión/RI/varo; entonces, extender la rodilla	Un resalte/chasquido en la extensión indica rotura del menisco medial Un resalte/chasquido en la extensión indica rotura del menisco lateral
Tracción/presión de Apley	Decúbito prono: rodilla 90°, comprimir y rotar la tibia	Dolor/resalte: lesión meniscal, artritis
Pruebas de estabilidad ligamentosa		
Valgo forzado	Fuerza lateral: rodilla a: 1) 30°, 2) 0°	Laxitud en: 1) 30°, lesión del LCM; 2) 0°, lesión de LCM/LCP/ cápsula posterior
Varo forzado	Fuerza media rodilla a: 1) 30°, 2) 0°	Laxitud en: 1) 30°, lesión del LCL; 2) 0°, lesión de LCL/LCP/ cápsula posterior
Lachman	Rodilla flexionada a 30°: presión anterior sobre la tibia	Laxitud/desplazamiento: lesión del LCA (exploración más sensible para el LCA)
Cajón anterior	Rodilla flexionada a 90°: presión anterior sobre la tibia	Laxitud/desplazamiento: lesión del LCA
Cajón posterior	Rodilla flexionada a 90°: presión posterior sobre la tibia	Desplazamiento posterior: lesión del LCP
Lachman pasivo	Decúbito supino: cadera a 45°/rodilla a 90°, visión lateral	Desplazamiento posterior de la tibia respecto al fémur: lesión del LCP
Contracción del cuádriceps	Decúbito supino: rodilla flexionada a 90°, contracción del cuádriceps	La tibia se desplaza de posterior a anterior con la contracción cuadriceps: lesión del LCP
Pivot shift	Decúbito supino: rodilla extendida, RI, valgo forzado sobre la tibia; entonces, flexionar	Chasquido en flexión: inestabilidad rotatoria anterolateral (IRAL), lesión del LCA y/o cápsula posterior
Pivot shift inverso	Decúbito supino: rodilla a 45°, RE, valgo forzado sobre la tibia, entonces extender	Chasquido en extensión: inestabilidad rotatoria postero-lateral (IRPL): lesión del LCP y/o ángulo posterolateral
Slocum	Rodilla a 90°, RE 15° del pie, presión anterior	Desplazamiento: inestabilidad rotatoria anteromedial (IRAM)
Cajón posterolateral	Rodilla a 90°, RI 30° del pie, presión anterior	Desplazamiento: IRAL: lesión del LCA
Cajón posteromedial	Rodilla a 90°, RE 15° del pie, presión posterior	Desplazamiento: IRPL: LCP/ángulo
RE de 30 y 90° en decúbito prono	Decúbito prono: RE de ambas rodillas a: 1) 30°, 2) 90°	Desplazamiento: IRPM: LCP RE aumentada en: 1) 30°: lesión del ángulo PL; 2) 90°: lesión del LCP y ángulo PL



Prueba de varo y valgo. Paciente en decúbito supino, relajado, con la pierna sobre el borde de la mesa y flexionada unos 30°

Fijando el muslo con una mano, el examinador coloca la otra mano justo por encima del tobillo y realiza un valgo forzado. El grado de movilidad debe compararse con el lado sano, explorado en primer lugar. Para la prueba de varo forzado, la dirección de la presión es inversa



Prueba de Lachman. Con la rodilla del paciente flexionada unos 20-30°, las manos del examinador agarran la zona distal del fémur y proximal de la tibia. La tibia es presionada alternativamente en dirección posterior y anterior. Un movimiento de 5 mm o más respecto al lado sano indica una rotura del LCA



Prueba del cajón posterior
Se procede igual que en la prueba del cajón anterior, excepto que la presión sobre la tibia es hacia atrás en vez de hacia delante



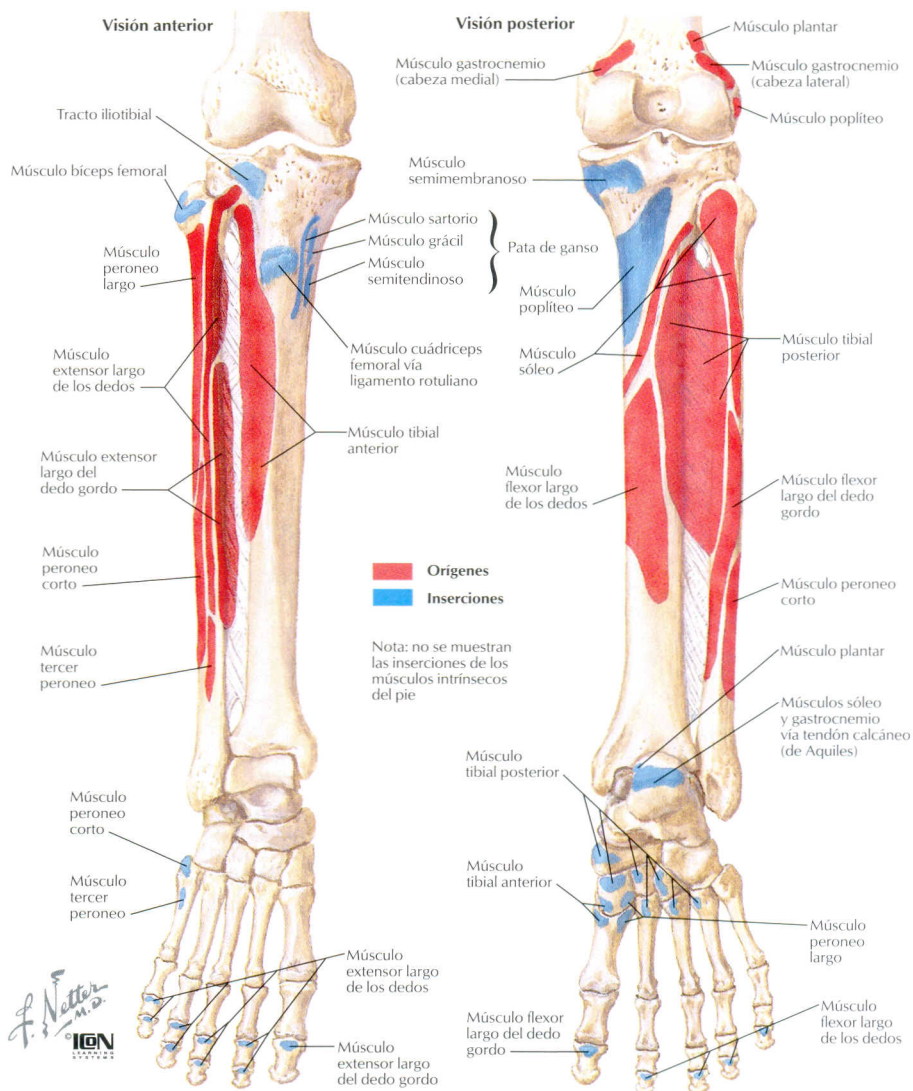
Prueba del *pivot shift* para la inestabilidad anterolateral de rodilla

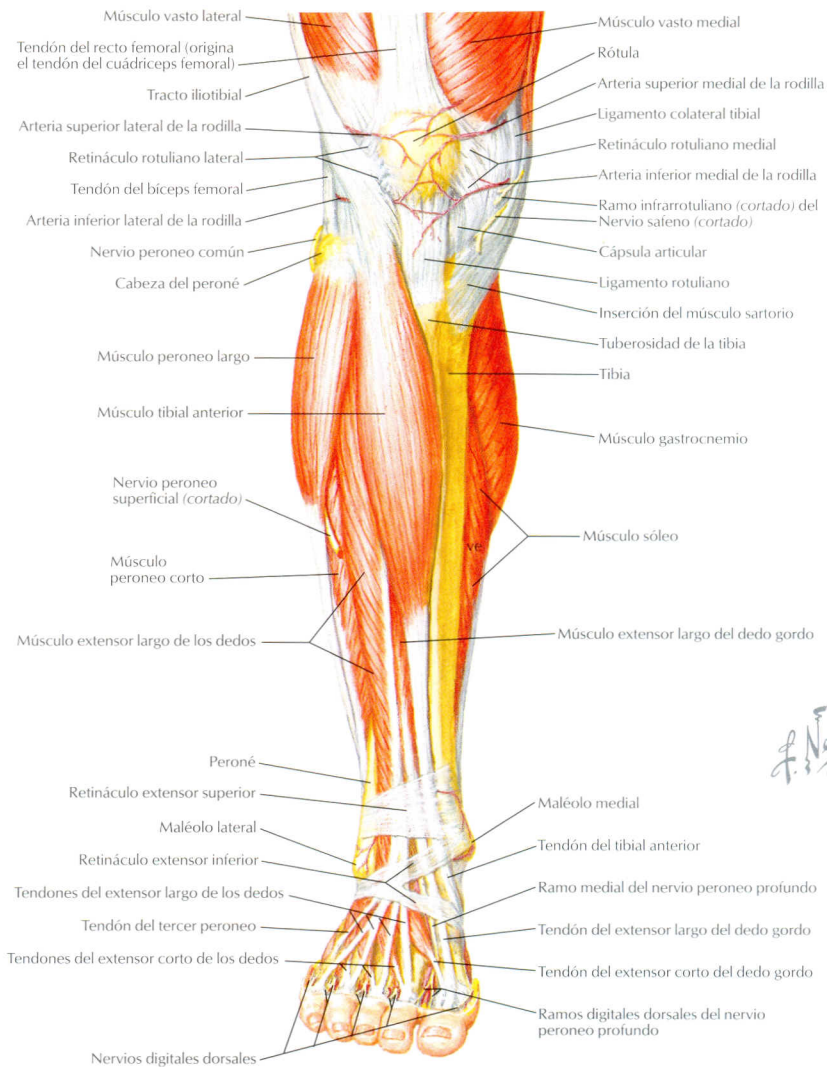
Paciente en decúbito supino y relajado. El examinador eleva el talón para flexionar la cadera a 45° , manteniendo la rodilla completamente extendida; agarra la rodilla con la otra mano, colocando el pulgar junto a la cabeza del peroné. Entonces aplica una fuerte rotación interna a la tibia y el peroné, tanto a nivel de la rodilla como del tobillo, mientras eleva la zona proximal del peroné. La rodilla permite una flexión de unos 20° ; entonces el examinador presiona medialmente con la mano proximal y tracciona con la mano distal para producir un valgo forzado de rodilla.

Manteniendo una rotación interna, valgo forzado y un desplazamiento hacia delante del cóndilo tibial lateral, la rodilla se flexiona pasivamente. Si se observa una subluxación anterior de la tibia (inestabilidad anterolateral), a los $20-40^\circ$ de flexión aparece una reducción brusca, audible, visible y palpable. La prueba es positiva si el LCA está roto, en especial si el LCL también lo está.



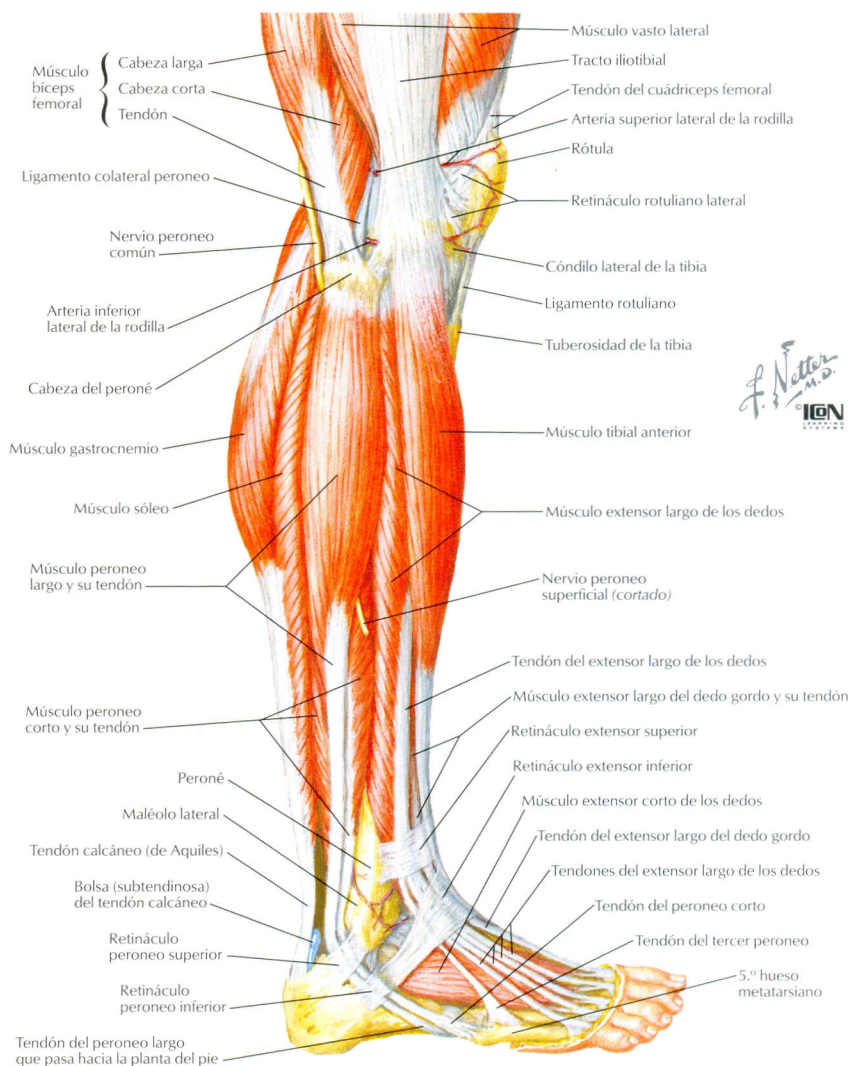
F. Netter
M.D.
ION



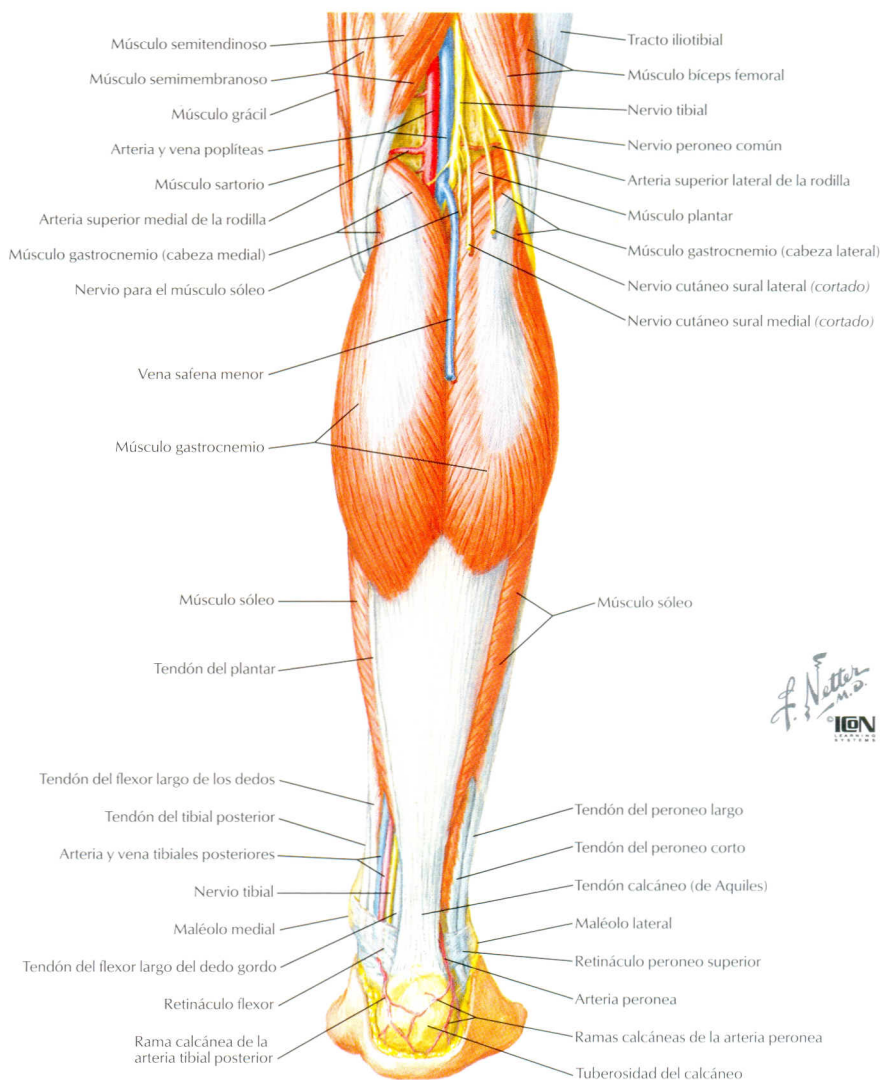


J. Netter M.D.
ICON
 MEDICAL ILLUSTRATIONS

MÚSCULO	ORIGEN	INSERCIÓN	INERVACIÓN	ACCIÓN	COMENTARIO
Tibial anterior (TA)	Cara lateral de la tibia, membrana interósea	Cuña medial, base del 1.º metatarsiano (MT)	Peroneo profundo	Dorsiflexión e inversión del pie	Prueba funcional motora de L4
Extensor largo del dedo gordo (ELDG)	Cara medial del peroné, membrana interósea	Base de la falange distal del dedo gordo	Peroneo profundo	Dorsiflexión y extensión del dedo gordo	Prueba funcional motora de L5
Extensor largo de los dedos (ELD)	Cóndilo tibial lateral y región proximal del peroné	Base de la falange media y distal (dedos trifalángicos)	Peroneo profundo	Dorsiflexión y extensión de los dedos trifalángicos	Un tendón único se divide en cuatro
Tercer peroneo	Región distal del peroné, membrana interósea	Base del 5.º MT	Peroneo profundo	Dorsiflexión y eversión del pie	A menudo fusionado al ELD

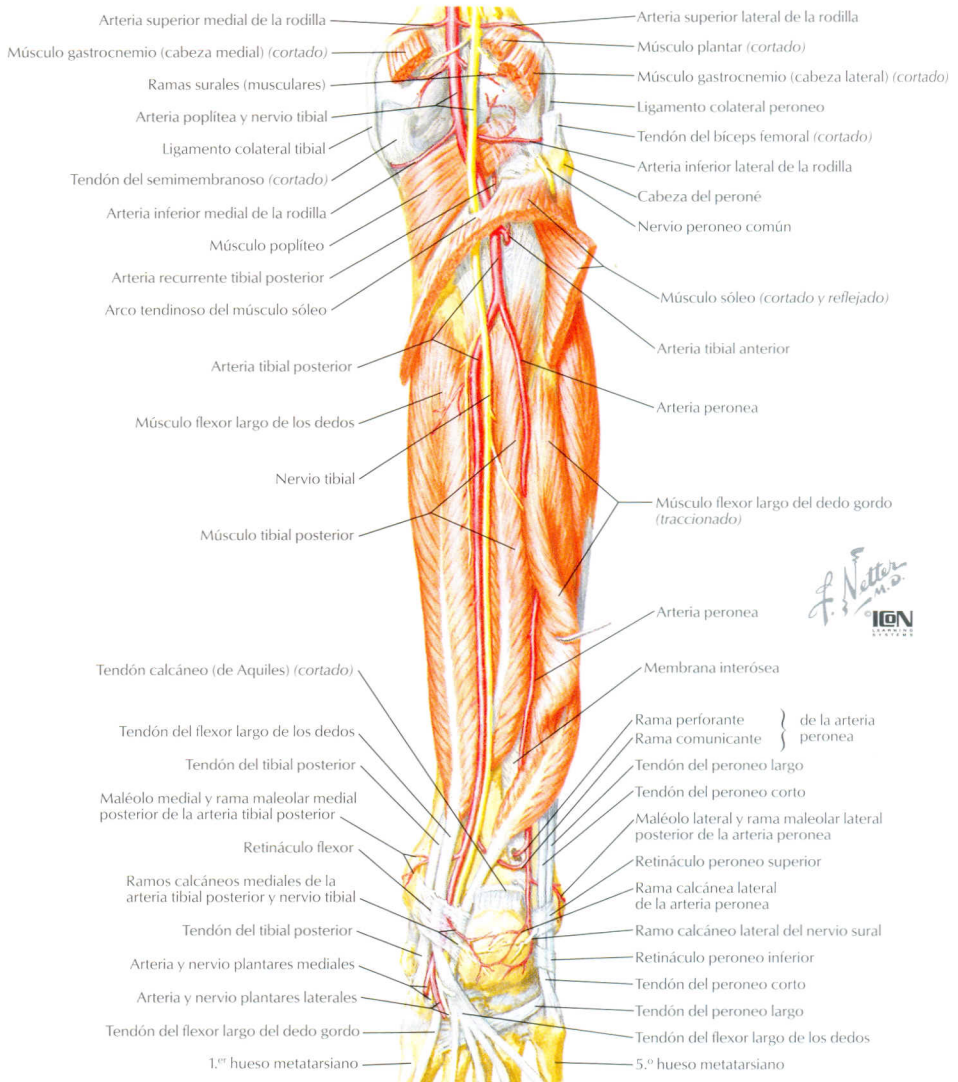


MÚSCULO	ORIGEN	INSERCIÓN	INERVACIÓN	ACCIÓN	COMENTARIO
Peroneo largo	Cara lateral de la región proximal del peroné	Cuña medial, base del 1.º MT (plantarmente)	Peroneo superficial	Eversión, flexión plantar del pie	Prueba de función motora de S1. Discurre bajo el pie
Peroneo corto	Cara lateral de la región distal del peroné	Base del 5.º MT	Peroneo superficial	Eversión del pie	Puede producir una fractura por avulsión de la base del 5.º MT

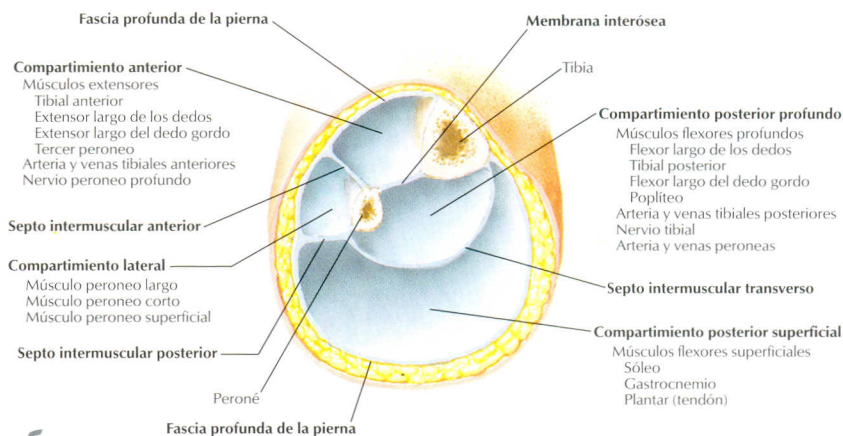


F. Netter M.D.
IGN
ILLUSTRATIONS

MÚSCULO	ORIGEN	INSERCIÓN	INERVACIÓN	ACCIÓN	COMENTARIO
Gastrocnemio	Cóndilo femoral medial y lateral	Calcáneo (a través del tendón de Aquiles)	Tibial	Flexión plantar del pie	Prueba de la función motora de S1. Tiene dos cabezas
Sóleo	Cara posterior de la cabeza del peroné/línea del sóleo de la tibia	Calcáneo (a través del tendón de Aquiles)	Tibial	Flexión plantar del pie	Se fusiona al gastrocnemio a nivel del tendón de Aquiles
Plantar	Línea supracondílea lateral	Calcáneo	Tibial	Flexión plantar del pie	Cuerpo muscular corto; posee un tendón largo

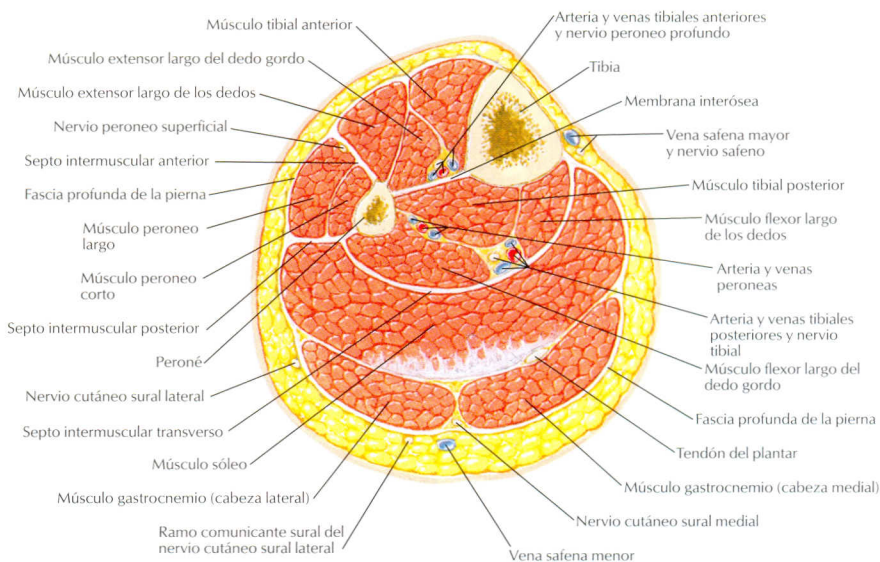


MÚSCULO	ORIGEN	INSERCIÓN	INERVACIÓN	ACCIÓN	COMENTARIO
Poplíteo	Cóndilo lateral	Cara posterior de la región proximal de la tibia	Tibial	Flexión (y RI) de rodilla	Anterior y distal al LCL en el fémur
Flexor largo del dedo gordo (FLDG)	Cara posterior del peroné	Base de la falange distal del dedo gordo	Tibial	Flexión plantar del dedo gordo	Prueba de función motora de S1
Flexor largo de los dedos (FLD)	Cara posterior de la tibia	Base de la falange distal de los dedos trifalángicos	Tibial	Flexión plantar de los dedos trifalángicos	En el tobillo, el tendón está justo delante de la arteria tibial
Tibial posterior (TP)	Cara posterior de la tibia, peroné y membrana interósea	Tuberosidad del navicular, cuñas, MT	Tibial	Flexión plantar e inversión del pie	El tendón puede degenerar y romperse, originando secundariamente un pie plano

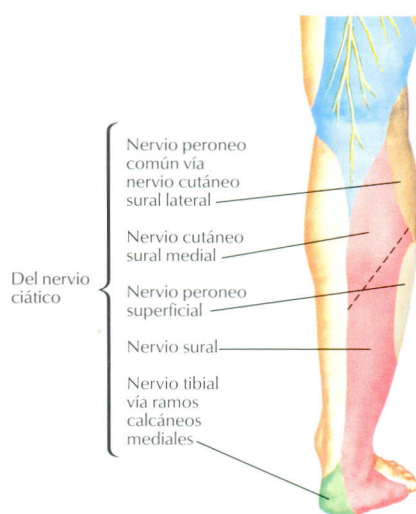
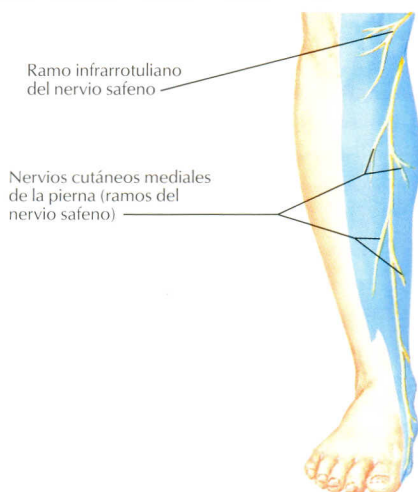


J. Netter M.D.
ICON

Sección transversal justo por encima de la mitad de la pierna



ANTERIOR	LATERAL	POSTERIOR SUPERFICIAL	POSTERIOR PROFUNDO
MÚSCULOS			
Tibial anterior (TA) Extensor largo del dedo gordo (ELDG) Extensor largo de los dedos (ELD) Tercer peroneo	Peroneo largo Peroneo corto	Gastrocnemio Sóleo Plantar	Popliteo Flexor largo del dedo gordo (FLDG) Flexor largo de los dedos (FLD) Tibial posterior (TP)
NEUROVASCULAR			
Nervio peroneo profundo Arteria y vena tibiales anteriores	Nervio peroneo superficial	NINGUNO	Nervio tibial Arteria y vena tibiales posteriores Arteria y vena peroneas


PLEXO LUMBAR
DIVISIÓN POSTERIOR
1. Femoral (L2-4):

- Sensitiva: Cara medial de la pierna, vía nervio cutáneo medial (*nervio safeno*)
- Motora: NINGUNA (en la pierna)

PLEXO SACRO
DIVISIÓN ANTERIOR
2. Tibial (L4-S3): desciende entre las cabezas del gastrocnemio hacia el maléolo medial

- Sensitiva: Cara posterolateral de la región proximal de la pantorrilla, vía nervio cutáneo sural medial
- Cara posterolateral de la región distal de la pantorrilla, vía nervio sural

Motora: COMPARTIMIENTO POSTERIOR SUPERFICIAL DE LA
PIERNA

Sóleo: vía nervio del sóleo

Plantar

Gastrocnemio

COMPARTIMIENTO POSTERIOR PROFUNDO DE LA PIERNA

Popliteo: vía nervio del popliteo

Tibial posterior (TP)

Flexor largo de los dedos (FLD)

Flexor largo del dedo gordo (FLDG)

DIVISIÓN POSTERIOR
3. Peroneo común (L4-S2). Discurre en el canal entre el bíceps y la cabeza lateral del gastrocnemio. Se sitúa alrededor del cuello del peroné, profundo al peroneo largo, y entonces se divide. **Puede lesionarse en el abordaje lateral de rodilla**

- Sensitiva: Cara lateral de la región proximal de la pierna, vía nervio cutáneo sural lateral
- Cara lateral de la región distal de la pierna, vía nervio peroneo superficial

Motora: COMPARTIMIENTO ANTERIOR DE LA PIERNA
Nervio peroneo profundo

Tibial anterior (TA)

Extensor largo del dedo gordo (ELDG)

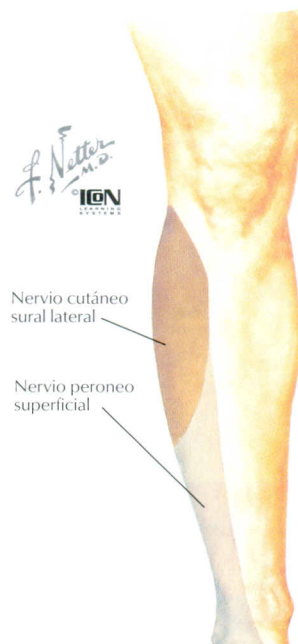
Extensor largo de los dedos (ELD)

Tercer peroneo

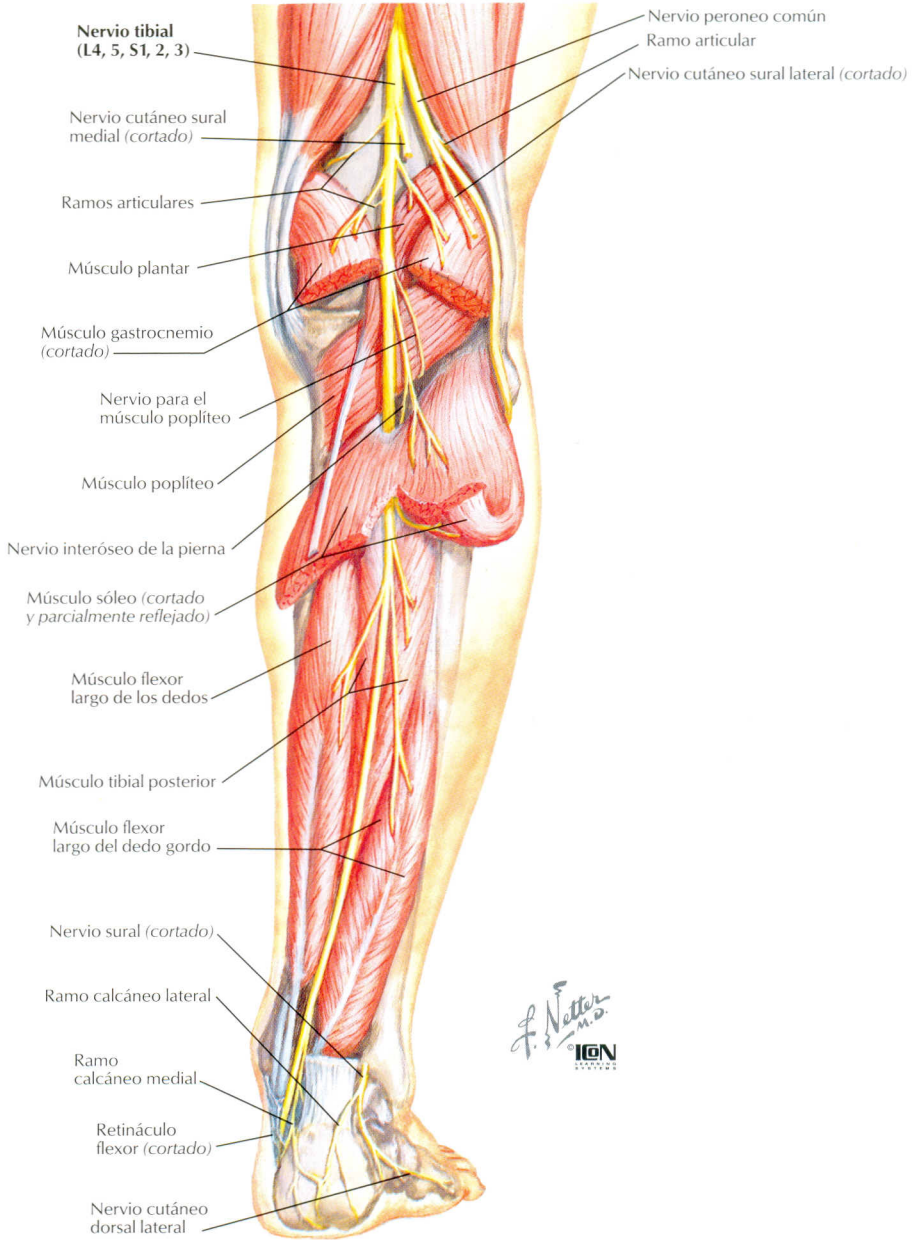
COMPARTIMIENTO LATERAL DE LA PIERNA
Nervio peroneo superficial

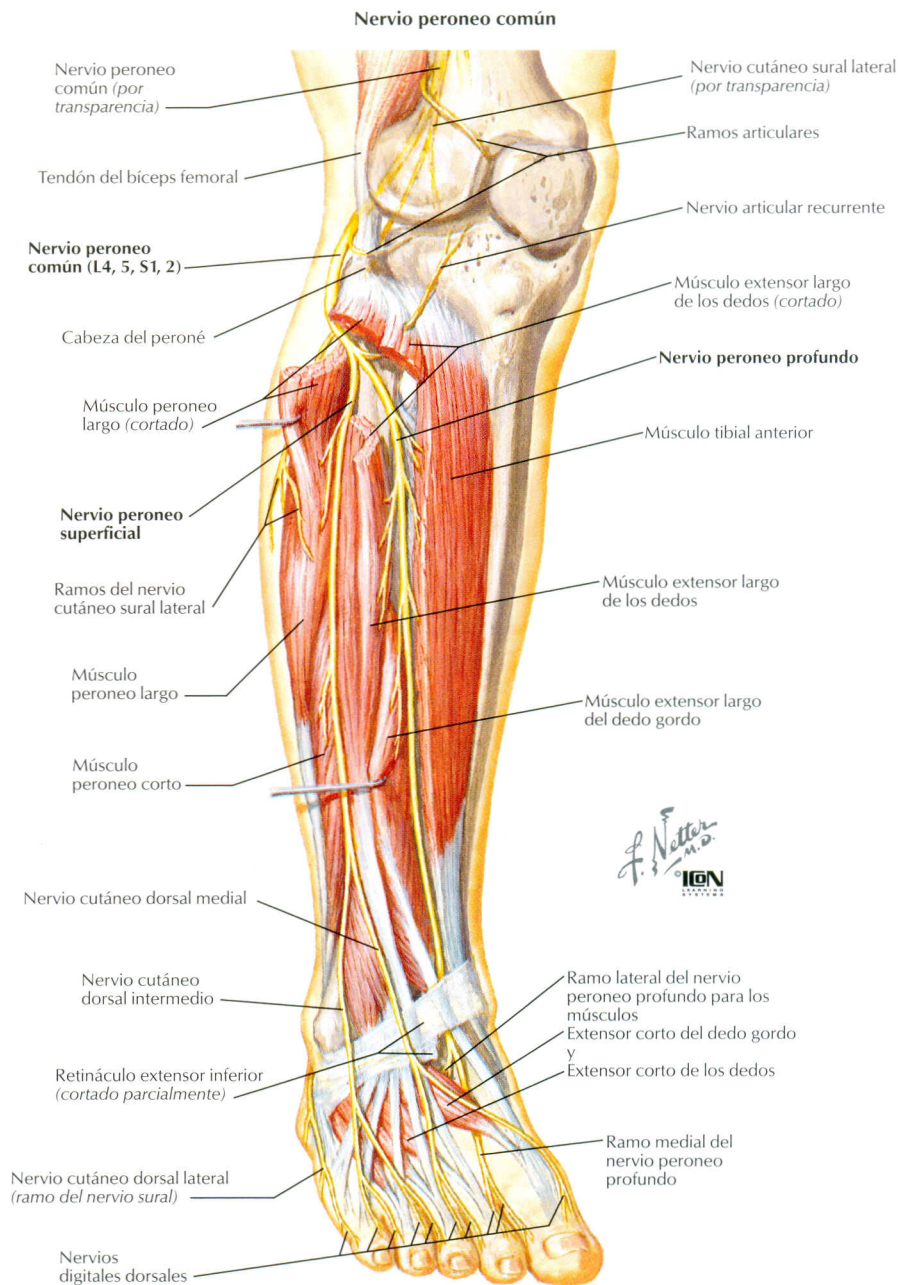
Peroneo largo

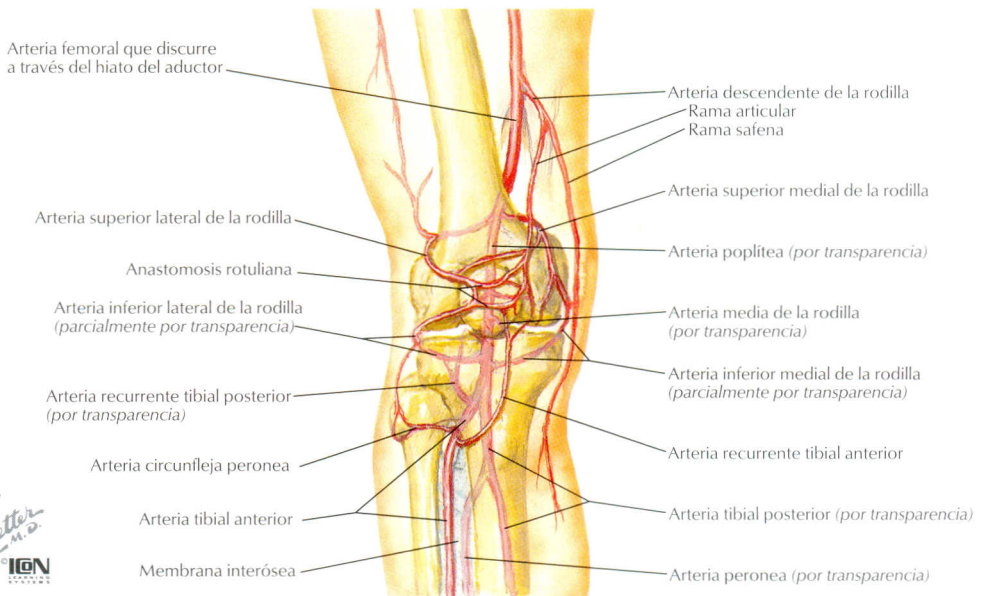
Peroneo corto

Inervación cutánea


Nervio tibial

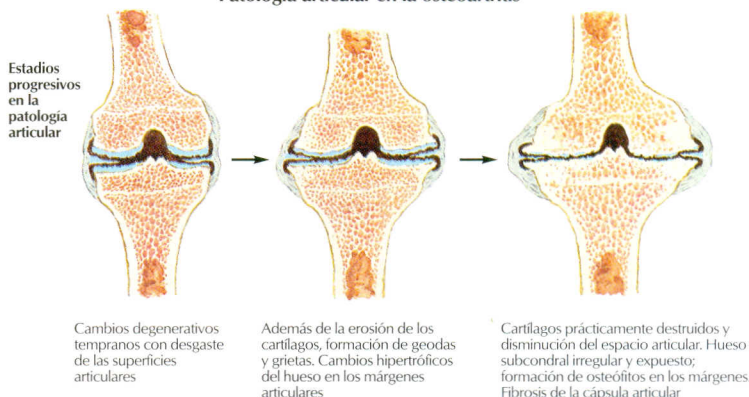






RECORRIDO	RAMAS	VASCULARIZACIÓN/ COMENTARIO
POPLÍTEA		
A través de la fosa poplítea. Termina a nivel del músculo poplíteo	Superior e inferior medial de la rodilla Superior e inferior lateral de la rodilla Media de la rodilla Tibial anterior y posterior	Las cuatro arterias se anastomosan alrededor de la rodilla y la rótula (vascularizan los meniscos) Ligamentos cruzados y sinovial Ramas terminales
TIBIAL ANTERIOR		
A través de las dos cabezas del tibial posterior y la membrana interósea. Después discurre sobre la cara anterior de la membrana junto al nervio peroneo profundo, entre TA y ELDG	Vasculariza los músculos del COMPARTIMIENTO ANTERIOR Recurrente tibial anterior Maleolar anterior medial Maleolar anterior lateral Dorsal del pie	Vasculariza la rodilla Vasculariza el tobillo Vasculariza el tobillo Rama terminal en el pie
TIBIAL POSTERIOR		
Desde la poplítea, a través del compartimiento posterior junto al nervio tibial hasta detrás del maléolo medial (entre FLD y FLDG)	Vasculariza los músculos del COMPARTIMIENTO POSTERIOR Recurrente tibial posterior Arteria <i>peronea</i> Maleolar posterior medial Ramas musculares perforantes <i>Calcánea medial</i> <i>Plantar lateral y medial</i>	Vasculariza la rodilla COMPARTIMIENTO LATERAL Ramas terminales en la planta
PERONEA		
Desde la tibial posterior entre el tibial posterior y el FLDG	Vasculariza los músculos del COMPARTIMIENTO LATERAL Maleolar posterior lateral Arteria <i>calcánea lateral</i>	Rama terminal

Patología articular en la osteoartritis



F. Netter M.D.
IGN

DESCRIPCIÓN	Hx y EF	PRUEBAS COMPLEMENTARIAS/ HALLAZGOS	TRATAMIENTO
SÍNDROME DEL PAQUETE ADIPOSO ANTERIOR (enfermedad de Hoffa)			
<ul style="list-style-type: none"> El paquete adiposo (bajo el tendón rotuliano) es pellizcado (debido a traumatismo) 	<p>Hx: dolor intermitente en cara anterior de rodilla</p> <p>EF: +/- chasquido con el movimiento</p>	<p>RX: AP/lateral, posible rótula baja</p>	<ol style="list-style-type: none"> RHCE, modificación de la actividad Extirpación quirúrgica (raramente)
ARTRITIS: INFLAMATORIA			
<ul style="list-style-type: none"> Sinovitis (formación de <i>pannus</i>) que destruye el cartílago articular y la articulación AR, gota, artropatías seronegativas 	<p>Hx: cualquier edad (según patología), mujer > hombre, múltiples articulaciones, dolor matutino</p> <p>EF: calor +/-, derrame, crepitación</p>	<p>RX: seriada de artritis</p> <p>Lab: FR, VSG, PCR, ANA, RSC, depósitos cristalinos, cultivo</p>	<ol style="list-style-type: none"> Temprano: tratamiento médico Tardío: <ol style="list-style-type: none"> Conservador: como OA Quirúrgico: <ul style="list-style-type: none"> Sinovectomía Artroplastia total de rodilla
ARTRITIS: OSTEOARTRITIS			
<ul style="list-style-type: none"> Primaria o postraumática Pérdida o daño del cartílago articular La rodilla (compartimiento medial) es la localización más frecuente Se pueden ver afectados los tres compartimientos 	<p>Hx: edad avanzada, dolor (empeora con la actividad o la carga), rigidez, crujido/chasquido</p> <p>EF: derrame, hipersensibilidad en la interlínea articular, +/- deformidad (más frecuentemente varo) o contractura</p>	<p>RX: seriada de artritis</p> <ol style="list-style-type: none"> Disminución del espacio articular Osteófitos Esclerosis subcondral Quistes óseos 	<ol style="list-style-type: none"> AINE, fisioterapia Infiltración, modificación de la actividad (bastón) Fusión (joven/trabajador) Osteotomía tibial alta (joven, afectación del primer compartimiento) Artroplastia total de rodilla (anciano, >1 compartimiento)
QUISTE DE BAKER			
<ul style="list-style-type: none"> Cara posterior de la rodilla (fosa poplítea) Surge del menisco lateral o tendón isquiotibial (puede comunicarse) 	<p>Hx: rigidez, +/- hipersensibilidad a la palpación</p> <p>EF: masa en fosa poplítea</p>	<p>RX: AP/lateral normal</p> <p>RM o aspiración: confirman el diagnóstico</p>	<ol style="list-style-type: none"> Inicialmente aspiración Resección quirúrgica en caso de recidiva o dolor
BURSITIS: PRERROTULIANA			
<ul style="list-style-type: none"> Irritación continua de la bolsa que provoca su inflamación Bursitis más frecuente en la rodilla 	<p>Hx: dolor con la actividad</p> <p>EF: tumefacción en forma de «huevo» sobre la rótula</p>	<p>RX: AP/lateral normal.</p> <p>Descartar la infección (es el problema más frecuente)</p>	<ol style="list-style-type: none"> AINE, rodilleras, infiltración Exéresis de la bolsa (raramente) Tratar posible infección
BURSITIS: PATA DE GANSO			
<ul style="list-style-type: none"> Bolsa inflamada bajo los tendones (sobresueto, corredor, etcétera) 	<p>Hx: dolor en la cara medial de la rodilla</p>	<p>RX: AP/lateral normal +/-; OA, descartar tumor</p>	<ol style="list-style-type: none"> AINE, modificación de la actividad, estiramientos Exéresis parcial (raramente)



Rodilla abierta anteriormente que muestra una gran erosión de los cartílagos articulares del fémur y la rótula, con excrescencias cartilaginosas en la escotadura intercondilea

Patología articular en la artritis reumatoide



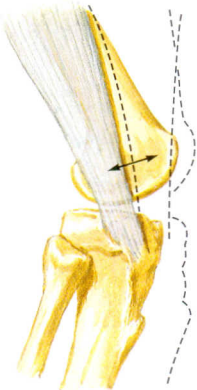
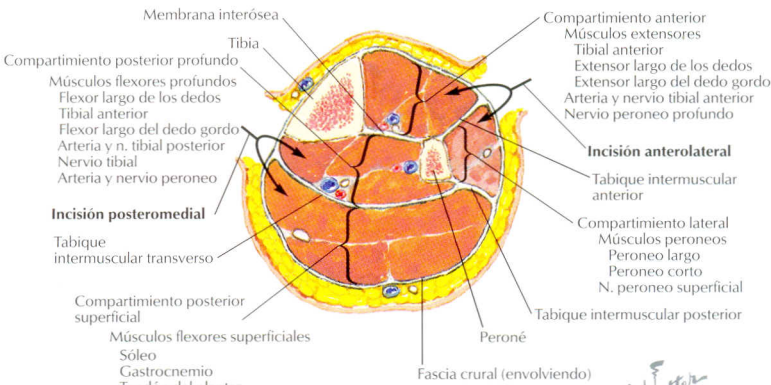
Estadios progresivos en la patología articular. 1. Inflamación aguda de la membrana sinovial (sinovitis) e inicio de los cambios proliferativos. 2. Progresión de la inflamación con la formación de *pannus*; inicio de la destrucción del cartilago y leve osteoporosis. 3. Persistencia de la inflamación; anquilosis fibrosa. 4. Anquilosis ósea; osteoporosis avanzada



Rodilla abierta anteriormente, rótula apartada hacia abajo. Membrana sinovial inflamada y engrosada; crecimiento polipóideo y numerosas vellosidades (*pannus*) que se extienden a través del cartilago articular del fémur y la rótula

F. Netter
M.D.
ICON

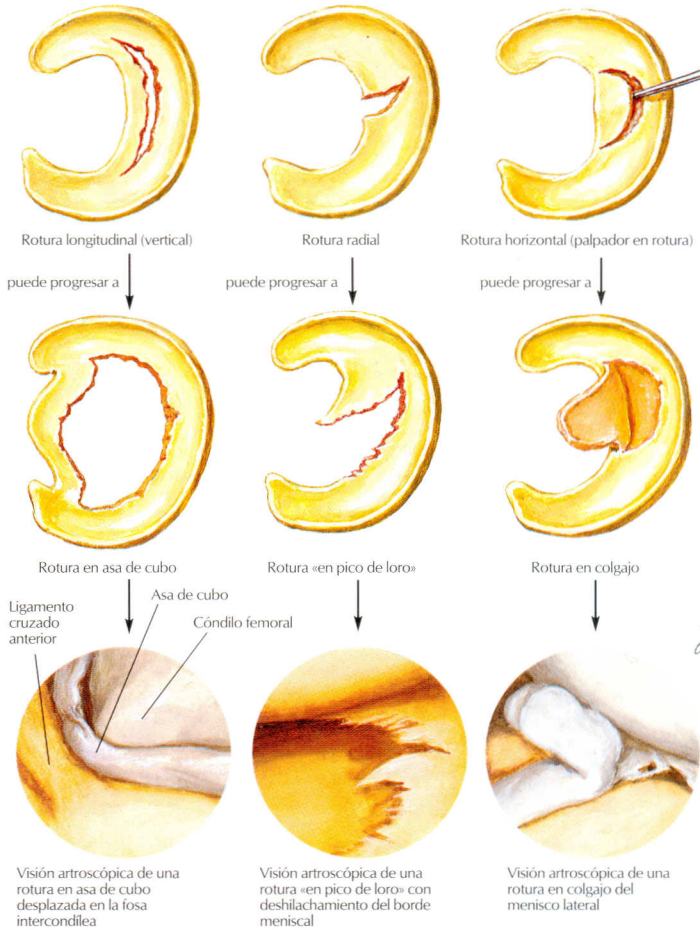
Incisiones para el síndrome compartimental de la pierna



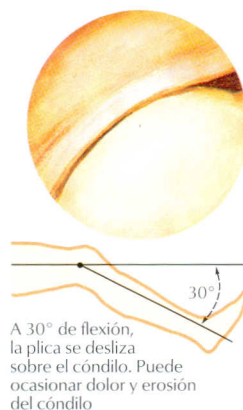
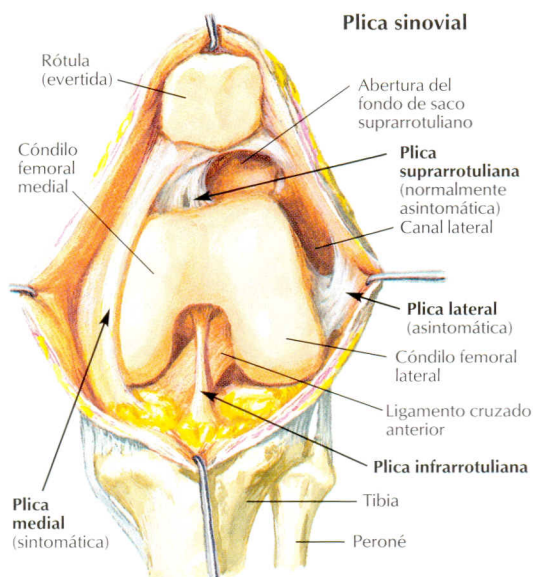
Síndrome del roce del tracto iliotibial. Cuando la rodilla se flexiona y extiende, el tracto iliotibial salta hacia adelante y hacia atrás sobre el epicóndilo femoral lateral, provocando un resalte

DESCRIPCIÓN	Hx y EF	PRUEBAS COMPLEMENTARIAS/ HALLAZGOS	TRATAMIENTO
CONDROMALACIA: SÍNDROME FEMORORROTULIANO (SFP)			
<ul style="list-style-type: none">• Daño o reblandecimiento del cartilago articular rotuliano• Múltiples etiologías: traumatismo, luxación, mala alineación que provoca OA femororrotuliana	<p>Hx: dolor en cara anterior de la rodilla; empeora al sentarse («signo del teatro») y/o escaleras</p> <p>EF: +/- atrofia del VMO, deformidad en valgo, ángulo Q aumentado, aprehensión rotuliana, crepitación +</p>	<p>RX: AP/lateral/axial para evaluar la alineación</p> <p>Descartar OA femororrotuliana</p>	<ol style="list-style-type: none">1. Fisioterapia: potenciar y estirar el cuádriceps2. Ortesis si la rótula se subluxa3. Liberación lateral (inmediata)4. Realineamiento de la tuberosidad tibial
SÍNDROME COMPARTIMENTAL			
<ul style="list-style-type: none">• Aumento de la presión en un espacio cerrado• Origen: traumatismo (p. ej., fractura, quemadura, lesión vascular, sobreuso)• Provoca lesión nerviosa y necrosis de partes blandas	<p>Hx: dolor, parestesias, ausencia de pulso, palidez, parálisis</p> <p>EF: compartimientos tensos (explorar los tres)</p>	<p>Presiones compartimentales: >40 mm Hg (normal: 0-10 mm Hg)</p>	<ol style="list-style-type: none">1. Fasciotomía en las primeras 4 horas (normalmente dos incisiones)2. Desbridar el tejido blando no viable
SÍNDROME DEL ROCE DEL TRACTO ILIOTIBIAL			
<ul style="list-style-type: none">• El TIT roza sobre el cóndilo femoral lateral• Frecuente en corredores y ciclistas	<p>Hx: dolor con la actividad</p> <p>EF: DP en el cóndilo femoral lateral (rodilla a 30º de flexión)</p>	<p>RX: AP/lateral, normal.</p> <p>Descartar tumor</p>	<ol style="list-style-type: none">1. AINE, modificación de la actividad, estiramientos2. Escisión parcial (raramente)

Roturas meniscales



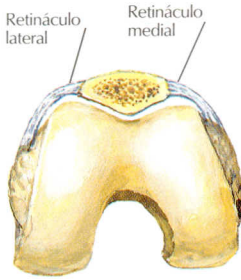
DESCRIPCIÓN	Hx y EF	PRUEBAS COMPLEMENTARIAS/ HALLAZGOS	TRATAMIENTO
LESIÓN MENISCAL: RUPTURA			
<ul style="list-style-type: none"> Jóvenes: lesión por traumatismo/torsión Adulto: lesión degenerativa/acción de agacharse Observado junto a lesiones del LCA Medial > lateral (desarrollo de quistes) 	<p>Hx: dolor, bloqueos (en especial roturas en asa de cubo)</p> <p>EF: derrame, hipersensibilidad en la interlínea articular, prueba de McMurray +</p>	<p>RX: AP (en extensión y 30° de flexión)/lateral/axial +/- artrocentesis</p>	<ol style="list-style-type: none"> Conservador en caso de pocos síntomas Desbridamiento (lesión en 2/3 internos) Reparación (lesión longitudinal o en 1/3 externo) <p>Mejores resultados con reparación del LCA</p>
OSTEOCONDritis DISECANTE			
<ul style="list-style-type: none"> Lesión ósea subcondral Etiología desconocida: NAV, microtraumatismos repetitivos Más frecuente en la cara lateral del cóndilo femoral medial 	<p>Hx: gonalgia de inicio insidioso</p> <p>EF: crepitación a la flexión y extensión; cóndilo femoral hipersensible a la palpación</p>	<p>RX: AP/lateral: muestra radiolucencia, +/- fragmento o cuerpo libre</p>	<ol style="list-style-type: none"> A menudo se resuelve espontáneamente en niños Adultos: perforación de la lesión frente a injerto óseo/condroplastia



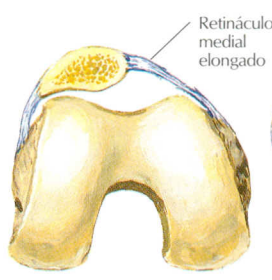
F. Natter
M.D.
ICM

PRUEBAS COMPLEMENTARIAS/HALLAZGOS			
DESCRIPCIÓN	Hx y EF		TRATAMIENTO
PLICA			
<ul style="list-style-type: none"> Tejido sinovial (resto embrionario) engrosado que roza sobre el cóndilo femoral medial La más frecuente es la plica rotuliana medial 	Hx: dolor de rodilla en zona anteromedial, bloqueos EF: plica palpable; hipersensibilidad en la interlínea articular	RX: AP/lateral, artrografía	1. AINE 2. Modificación de la actividad 3. Desbridamiento artroscópico
SÍNDROME DE COMPRESIÓN ROTULIANA			
<ul style="list-style-type: none"> Compresión rotuliana debida a acortamiento del retináculo lateral 	Hx: dolor en cara anterior de la rodilla EF: carilla rotuliana lateral hipersensible a la palpación	RX: AP/lateral normal	1. Reforzamiento del cuádriceps 2. Liberación del retináculo lateral
INESTABILIDAD ROTULIANA			
<ul style="list-style-type: none"> Análisis: mala alineación, subluxación recidivante, inestabilidad, luxación Normalmente lateral; provoca OA 	Hx: incurvamiento de rodilla, +/- dolor EF: <i>genu valgum</i> +/-, aumento del ángulo Q, atrofia del VMO, aprehensión rotuliana +	RX: AP/lateral/axial, desplazamiento lateral de la rótula, +/- rótula alta	1. Fisioterapia: reforzamiento del VMO 2. Ortesis para la subluxación 3. Liberación lateral, procedimientos de realineación (en especial para SMA)
Síndrome de mala alineación (SMA): asociado con anteversión femoral, aumento del ángulo Q y <i>genu valgum</i>			

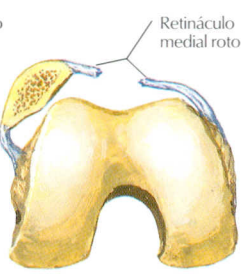
Subluxación y luxación de rótula



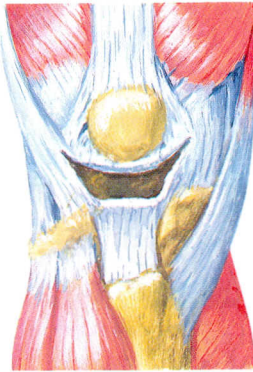
Visión caudal. Normalmente, la rótula se desliza en el surco entre los condílos femorales medial y lateral



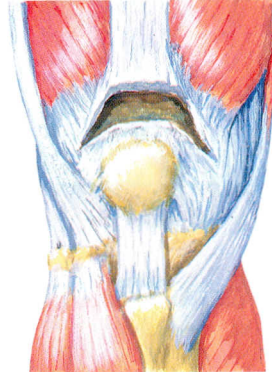
En la subluxación, la rótula se desvía lateralmente a causa de la debilidad del músculo vasto medial, acortamiento del retináculo lateral y aumento del ángulo Q



En la luxación, la rótula se desplaza completamente fuera del surco intercondileo



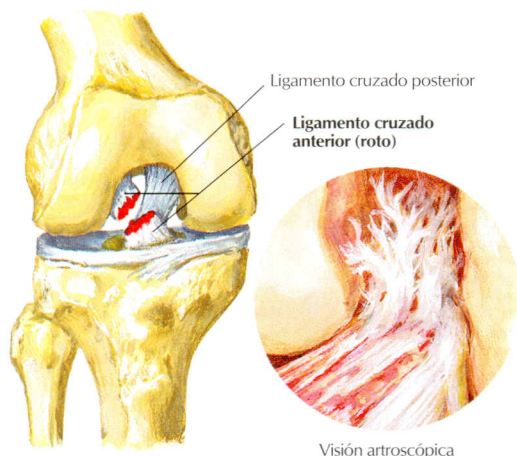
Rotura del tendón rotuliano. Rotura del ligamento rotuliano a nivel del borde inferior de la rótula



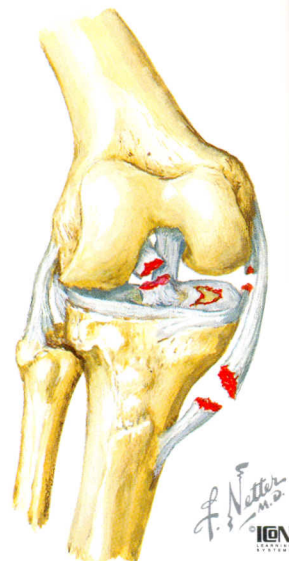
Rotura del tendón cuadricipital. Rotura del tendón cuadricipital a nivel del borde superior de la rótula

F. Netter M.D.
ICON

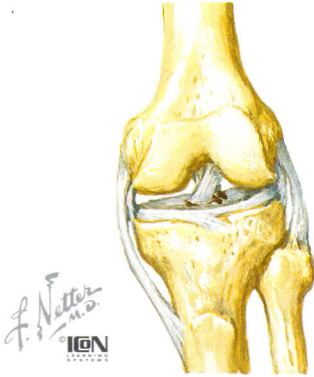
PRUEBAS COMPLEMENTARIAS/ HALLAZGOS			
DESCRIPCIÓN	Hx y EF		TRATAMIENTO
TENDINITIS ROTULIANA: RODILLA DEL SALTADOR			
<ul style="list-style-type: none"> Se observa, p. ej., en jugadores de baloncesto y voleibol 	<p>Hx: deportes; dolor en la cara anterior de la rodilla</p> <p>EF: rótula, polo inferior hipersensible a la palpación</p>	<p>RX: AP/lateral normal</p> <p>RM: aumento de la señal en polo inferior</p>	<ol style="list-style-type: none"> AINE, refuerzo del cuádriceps (<i>sin infiltración de corticoesteroides: rotura del tendón</i>) Desbridamiento del tendón (raramente)
ROTURA DEL TENDÓN (LIGAMENTO) ROTULIANO			
<ul style="list-style-type: none"> Traumatismo directo (también patologías metabólicas) Rotura del tendón cuadricipital > rotuliano 	<p>Hx: jóvenes; antecedentes de traumatismo</p> <p>EF: función extensora disminuida o nula; + defecto palpable</p>	<p>RX: AP/lateral: rótula alta relativa</p>	Reparación quirúrgica primaria
ROTURA DEL TENDÓN CUADRICIPITAL			
<ul style="list-style-type: none"> Consecuencia de un pequeño traumatismo Las patologías metabólicas debilitan el tendón 	<p>Hx: ancianos; no puede extenderse activamente la rodilla</p> <p>EF: defecto palpable o surco</p>	<p>RX: AP/lateral: rótula baja relativa</p>	Reparación quirúrgica primaria
TUMORES			
<p>Más frecuente en adolescentes: osteosarcoma; más frecuente en adultos: condrosarcoma; tumor benigno más frecuente (adultos jóvenes): células gigantes</p>			



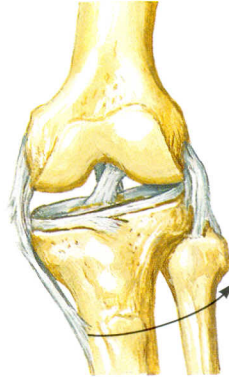
Visión artroscópica


Triada terrible
Rotura de los ligamentos colateral tibial y cruzado anterior, junto a rotura del menisco medial

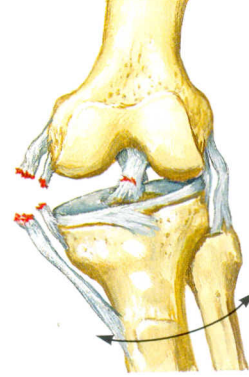
DESCRIPCIÓN	Hx y EF	PRUEBAS COMPLEMENTARIAS/HALLAZGOS	TRATAMIENTO
LIGAMENTO CRUZADO ANTERIOR (LCA)			
<ul style="list-style-type: none"> Lesión por torsión, a menudo sin contacto Asociada con rotura del LCM y menisco Fractura de Segond: fx por avulsión 	Hx: «chasquidos», tumefacción EF: derrame, Lachman +, pruebas del cajón anterior y pivot shift (la de Lachman es la más sensible)	RX: AP/lateral/axial; +/- avulsión capsular Artrocentesis (+/-): el 70% tiene hemartrosis RM: confirma el diagnóstico	1. Ejercicios de cadena cerrada 2. Reconstrucción necesaria (normalmente después de algunas semanas de rehabilitación)
LIGAMENTO CRUZADO POSTERIOR (LCP)			
<ul style="list-style-type: none"> Fuerza anterior sobre rodilla flexionada (p. ej., choque contra el salpicadero) También junto a otras lesiones ligamentosas 	Hx: dolor, incapacidad de deambular EF: cajón posterior +, Lachman pasivo, pruebas de contracción del cuádriceps	RX: AP/lateral/axial; +/- fractura por avulsión RM: confirma el diagnóstico	1. No quirúrgico: muletas 2. Reforzamiento del cuádriceps (complicación: OA)
LIGAMENTO COLATERAL MEDIAL (LCM)			
<ul style="list-style-type: none"> Valgo forzado (futbolistas) Grados 1, 2 (parcial), 3 (completa) 	Hx: dolor en la cara medial de la rodilla EF: laxitud y/o dolor en valgo forzado (a 30° de flexión)	RX: AP/lateral: posibilidad de avulsión	1. Rodillera de bisagra 2. Fisioterapia: BA precoz y reforzamiento
LIGAMENTO COLATERAL LATERAL (LCL)			
<ul style="list-style-type: none"> Varo forzado (aislado, raro) Asociado con otras lesiones ligamentosas y del nervio peroneo 	Hx: traumatismo. Dolor y tumefacción EF: laxitud y dolor en el varo forzado (a 30°). Prueba para pie equino	RX: AP/lateral: posibilidad de avulsión	1. No quirúrgico: véase LCM 2. Quirúrgico para grado III (normalmente lesión combinada)
Las lesiones aisladas del LCP, LCM y LCL son inicialmente tratadas sin cirugía; la reparación quirúrgica se realiza cuando estas lesiones aparecen combinadas			
COMPLEJO DEL ÁNGULO POSTEROLATERAL (CAPL)			
<ul style="list-style-type: none"> A menudo con lesión del LCP Rotura del LCL Rotura del ligamento popliteoperoneal 	Hx: dolor, inestabilidad EF: RE aumentada a 30° de flexión, prueba del cajón posterolateral +	RX: AP/lateral	Reparación quirúrgica temprana



Esguince de grado 1. Dolor articular localizado e hipersensibilidad, pero sin laxitud articular



Esguince de grado 2. Laxitud articular detectable, junto con dolor localizado e hipersensibilidad



Esguince de grado 3. Rotura completa de los ligamentos e inestabilidad articular macroscópica

ARTROPLASTIA TOTAL DE RODILLA

PUNTOS CLAVE EN LAS ARTROPLASTIAS TOTALES DE RODILLA

INFORMACIÓN GENERAL

- Implantes: al contrario de las de cadera, todos son cementados (para reducir las complicaciones por aflojamiento)
Cemento: polimetilmetacrilato
Los componentes femoral y tibial son metálicos
La placa superficial del componente tibial es de **polietileno**

INDICACIONES

1. Estado final de la EDA: produce un dolor incapacitante de rodilla secundario a artritis en dos o más compartimientos (medial > lateral > femorrotuliano)
 - Etiologías comunes: OA, AR, NAV
 - La mayoría de pacientes se quejan de DOLOR, empeoramiento con el tiempo (desde que se levantan hasta que se acuestan) y disminución de la deambulaci3n
 - El paciente debe presentar pruebas radiol3gicas de artritis

OSTEOARTRITIS

1. **Disminuci3n del espacio articular**
2. **Esclerosis**
3. **Quistes subcondrales**
4. **Formaci3n de oste3fitos**

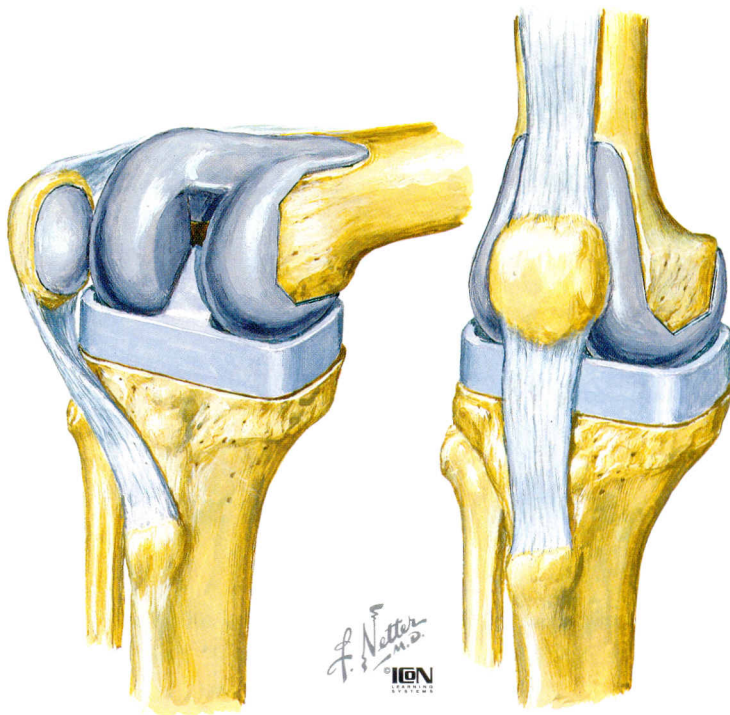
ARTRITIS REUMATOIDE

1. **Disminuci3n del espacio articular**
2. **Osteoporosis periarticular**
3. **Erosiones articulares**
4. **Anquilosis**

- Es preferible que el paciente sea de edad avanzada (necesita un solo recambio)
2. Tratamiento conservador fallido: modificaci3n de la actividad, p3rdida de peso, ortesis, fisioterapia/fortalecimiento, AINE, deambulaci3n asistida (**bast3n, caminador, etc.**), infiltraciones

CONTRAINDICACIONES

- Paciente joven y activo (necesitará muchos recambios)
- Disfunci3n del mecanismo extensor de la rodilla
- Inestabilidad m3dica (p. ej., enfermedad cardiopulmonar grave)
- Articulaci3n neuropática
- Cualquier infecci3n



Todos los componentes colocados

Rodilla extendida

PUNTOS CLAVE EN LAS ARTROPLASTIAS TOTALES DE RODILLA

ALTERNATIVAS

- Consideraciones: edad, nivel de actividad, salud general
- Osteotomía: para patología unicompartmental en pacientes jóvenes y activos (no en pacientes de edad avanzada)
 - Compartimiento medial (deformidad en varo): osteotomía tibial alta
 - Compartimiento lateral (deformidad en valgo): osteotomía femoral distal
- Artrodesis/fusión: articulación totalmente destruida, neuropática o séptica
- Artroplastia unicompartmental: para patología unicompartmental. Sólo en pacientes seleccionados en los que no es posible realizar osteotomía de elección

PROCEDIMIENTO

- Abordaje pararrotuliano medial (pararrotuliano lateral ante una deformidad en valgo grave)
- El LCA es sacrificado
- Utilizando guías especiales, las zonas proximales femoral y tibial son resecadas y reemplazadas por los componentes metálicos/plásticos. La cara inferior de la rótula también es sustituida
- La separación debe ser la misma en flexión y en extensión

COMPLICACIONES

- Infección (la más frecuente por *Staphylococcus*): a menudo lleva a retirar la prótesis
- Aflojamiento de los componentes
- Dolor en la articulación femororrotuliana
- Disminución del BA (normalmente por fisioterapia postoperatoria inadecuada)
- Fractura de rótula
- La arteria superior lateral de la rodilla puede lesionarse
- Embolismo graso
- Parálisis del nervio peroneo
- Trombosis venosa profunda (TVP)/embolismo pulmonar: los pacientes deben recibir anticoagulantes (heparina/warfarina) postoperatoriamente

Piernas arqueadas y rodillas en X



F. Natter
M.D.
IGN

Dos hermanos, el menor (izquierda) con piernas arqueadas, el mayor (derecha) con las rodillas en X. En ambos casos, al final las piernas se alinean normalmente sin tratamiento corrector

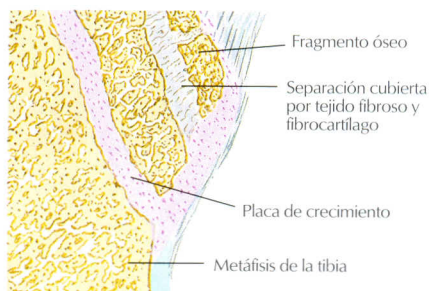
DESCRIPCIÓN	EVALUACIÓN	TRATAMIENTO/COMPLICACIONES
GENU VARUM: PIERNAS ARQUEADAS		
<ul style="list-style-type: none"> • Normal: neonato hasta 2 años • Etiología: <ol style="list-style-type: none"> 1. Enfermedad de Blount 2. Raquitismo (nutricional) 3. Displasia ósea 4. Traumatismo 	<p>Hx: los padres observan la deformidad EF: medición del ángulo femorotibial RX: sólo en una gran deformidad o si se trata de una displasia</p>	<ol style="list-style-type: none"> 1. La mayoría se resuelven espontáneamente con el desarrollo normal 2. Raramente se requiere corsé nocturno 3. Osteotomía si persiste (>15°)
GENU VALGUM: RODILLAS EN X		
<ul style="list-style-type: none"> • Normal de 2 a 4 años • Adulto: un valgo de 5-10° es normal • Etiología: <ol style="list-style-type: none"> 1. Raquitismo (renal) 2. Displasia ósea 3. Traumatismo 	<p>Hx: los padres observan la deformidad EF: medición del ángulo femorotibial RX: sólo en caso de una gran deformidad o si se trata de una displasia</p>	<ol style="list-style-type: none"> 1. La mayoría se resuelven espontáneamente con el desarrollo normal 2. Cirugía si persiste pasados los 10 años
ENFERMEDAD DE OSGOOD SCHLATTER		
<ul style="list-style-type: none"> • Osteocondritis/apofisitis de tracción de la tuberosidad tibial (en el 2.º centro de osificación) • Debido a tracción extensora (cuádriceps) repetida sobre la tuberosidad 	<p>Hx: primera adolescencia. Dolor de rodilla que empeora tras la actividad EF: dolor, tumefacción en la tuberosidad RX: rodilla AP/lateral: puede mostrar una calcificación heterotópica</p>	<ol style="list-style-type: none"> 1. Disminución/modificación de la actividad 2. La mayoría se resuelven con la osificación en la adolescencia
TORSIÓN TIBIAL		
<ul style="list-style-type: none"> • RI congénita de tibia (asociada con la posición intrauterina) • A menudo bilateral 	<p>Hx: 1-2 años, tropiezos frecuentes, ausencia de dolor EF: ángulo anormal del pie a la cadera (normal: 10-30°); con la rodilla/rótula mirando hacia delante, se observa marcha con los dedos del pie hacia dentro</p>	<p>Se resuelve espontáneamente (entre 24 y 48 meses)</p>

Lesión de Osgood Schlatter



Inserción normal del ligamento rotuliano en la tuberosidad tibial osificante

En la lesión de Osgood Schlatter, la porción superficial de la tuberosidad es traccionada y forma fragmentos óseos separados



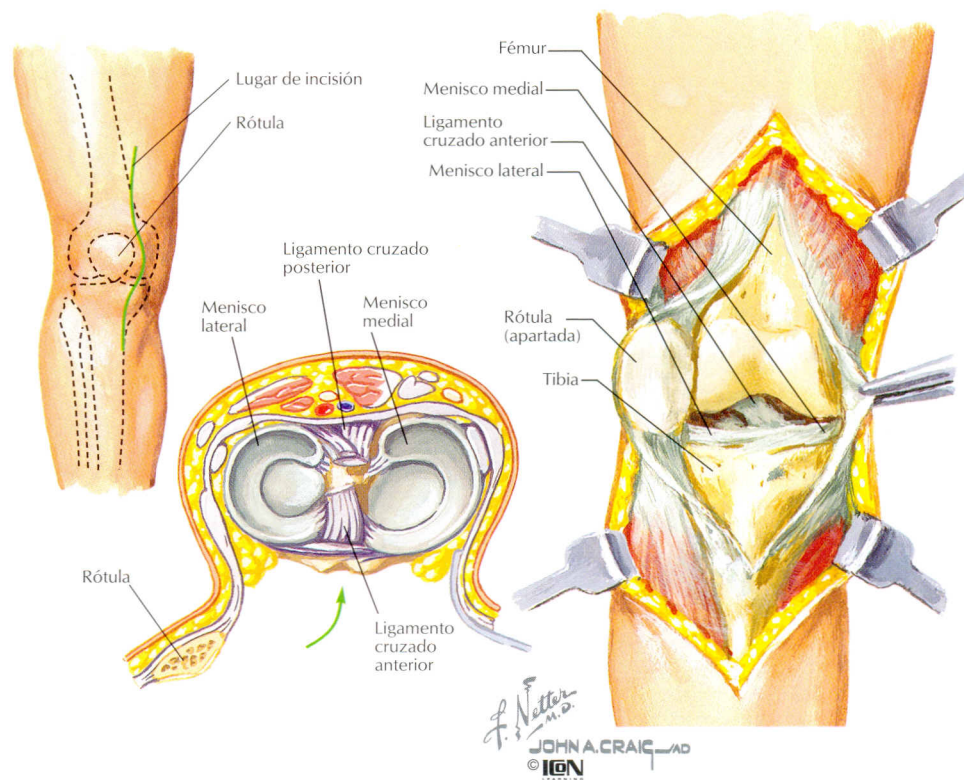
Gran aumento del área afectada

Evaluación de un paciente con torsión interna de tibia
Niño sentado con las rodillas flexionadas a 90° y los talones contra una superficie vertical y plana. Las rótulas miran hacia delante, lo que indica que el fémur se encuentra en posición neutra, pero los pies apuntan hacia dentro, indicando torsión interna de la tibia



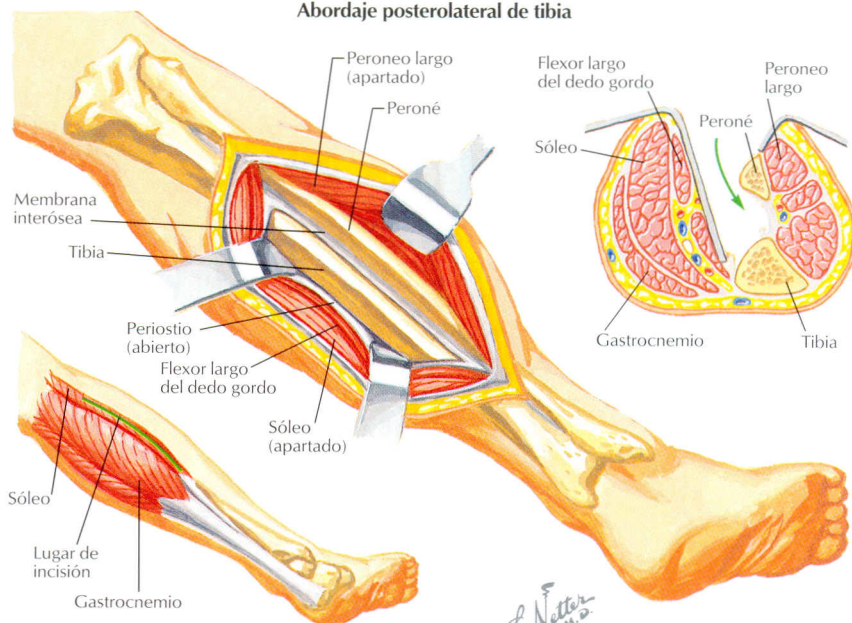
F. Natter
M.D.
ICON

Abordaje anteromedial de la articulación de la rodilla



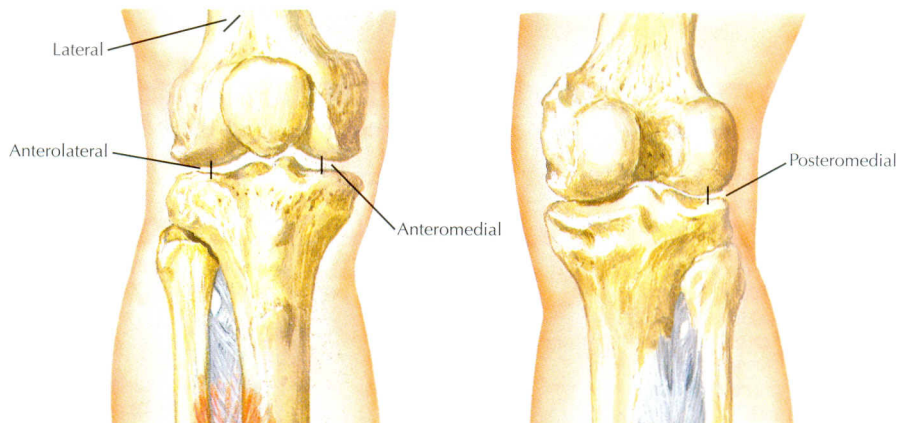
INDICACIONES	PLANO INTERNERVIOSO	RIESGOS	COMENTARIO
RODILLA: ABORDAJE PARAROTULIANO MEDIAL			
1. Reconstrucción ligamentosa 2. Artroplastia total de rodilla 3. Meniscectomía	Sin planos: la cápsula se encuentra bajo la piel	1. Rama infrarrotuliana del nervio safeno	1. Abordaje más utilizado 2. Mayor/mejor exposición 3. Puede desarrollarse un neuroma a partir de los nervios cutáneos
PIERNA/TIBIA: ABORDAJE POSTEROLATERAL (Harmon)			
1. Fracturas 2. Seudoartrosis	1. Gastrocnemio/sóleo/FLDG (tibial) 2. Peroneo largo/corto (peroneo superficial)	1. Vena safena menor 2. Arteria tibial posterior	1. Abordaje técnicamente difícil 2. Injerto óseo en la seudoartrosis
PORTALES ARTROSCÓPICOS			
1. Anteromedial	Justo por encima de la interlínea articular 1 cm inferior a la rótula 1 cm medial al ligamento rotuliano	Cuerno anterior del menisco medial	Se utiliza para visualizar el compartimiento lateral
2. Anterolateral	Justo por encima de la interlínea articular 1 cm inferior a la rótula 1 cm lateral al ligamento rotuliano	Cuerno anterior del menisco lateral	1. Se utiliza para visualizar el compartimiento medial, el LCA y los meniscos 2. LCP y estructuras posteriores difíciles de observar
3. Superolateral	2,5 cm por encima de la interlínea articular, lateral al tendón del cuádriceps		Se utiliza para visualizar la articulación femorrotuliana, el recorrido rotuliano, etcétera
4. Posteromedial	Rodilla flexionada a 90°, 1 cm posterior al cóndilo femoral		Se utiliza para visualizar el LCP y los cuernos posteriores de los meniscos

Abordaje posterolateral de tibia



J. Netter M.D.
JOHN A. CRAIG, M.D.
© IGV

Portales artroscópicos de rodilla



CAPÍTULO

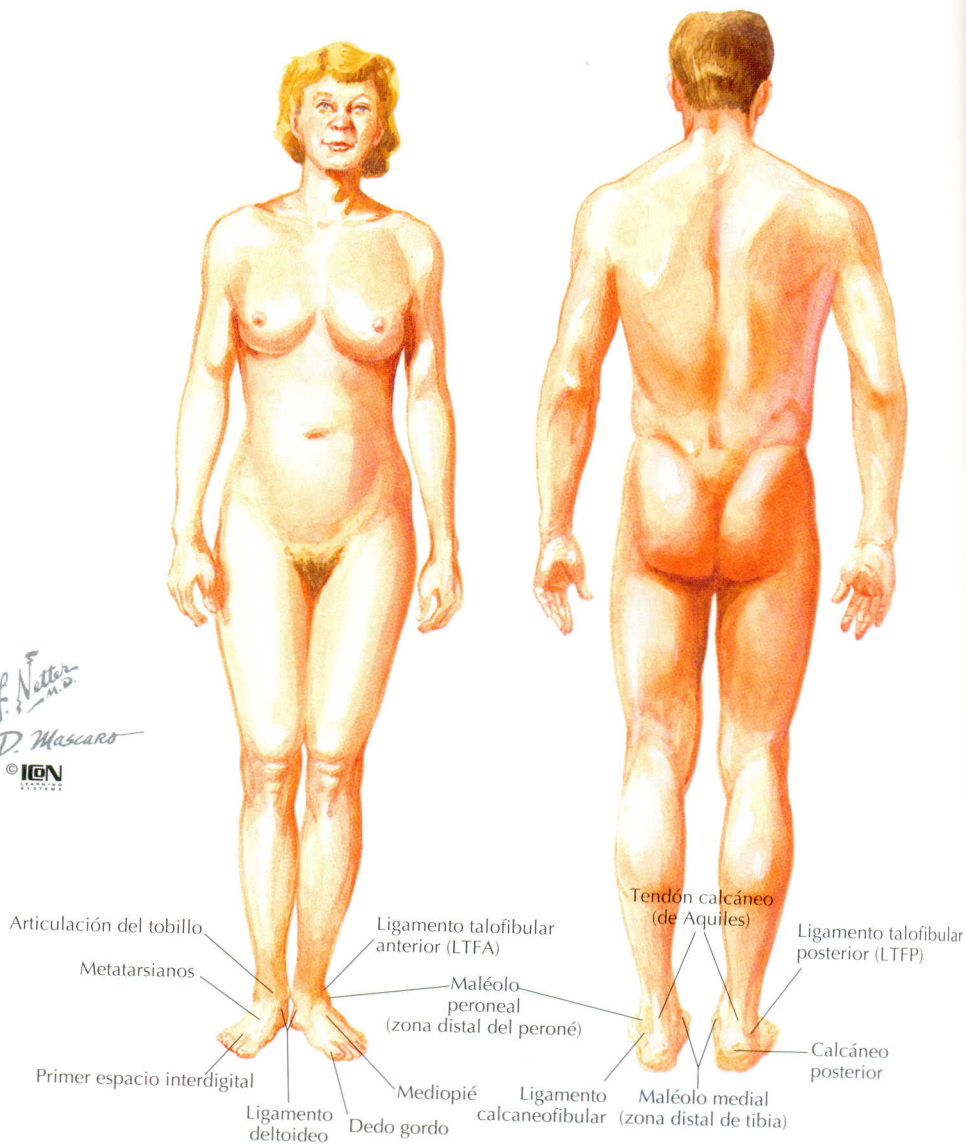
9

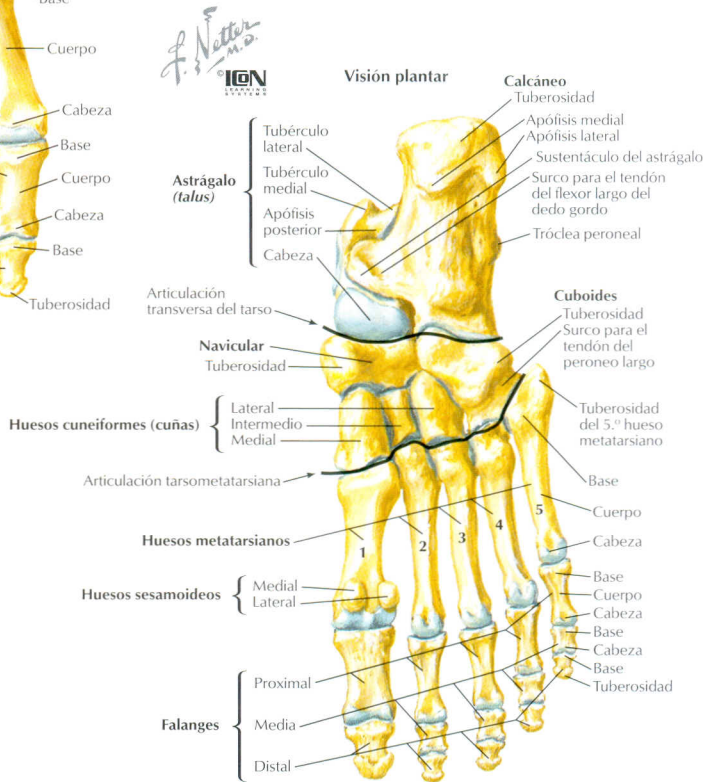
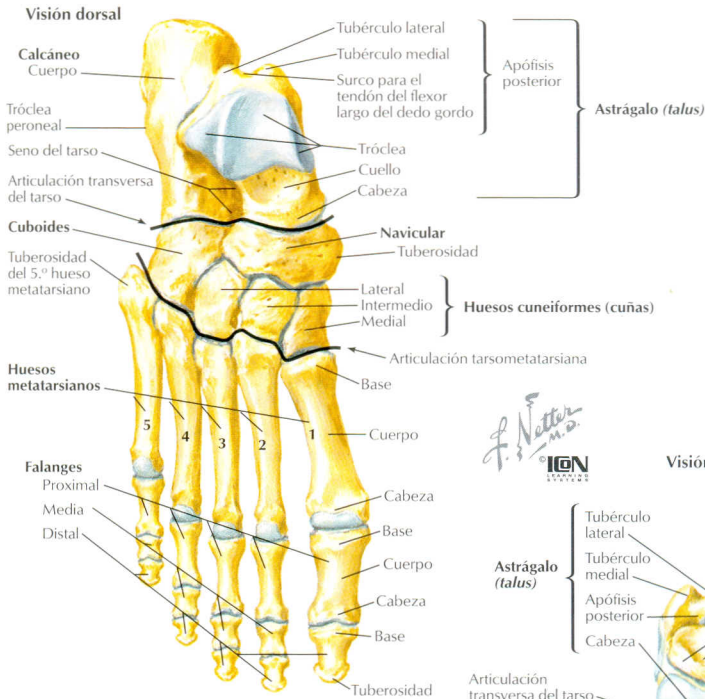
PIE/TOBILLO

CONTENIDOS

Anatomía topográfica	244
Osteología	245
Traumatismo	248
Articulaciones	253
Otras estructuras	257
Procedimientos menores	258
Anamnesis y exploración física	259
Músculos	262
Nervios	269
Arterias	271
Patología	274
Patología pediátrica	278
Abordajes quirúrgicos	280

F. Netter M.D.
D. Mascaro
 © ICON





CARACTERÍSTICAS

OSIFICACIÓN

FUSIÓN

COMENTARIO

Véase capítulo pierna/rodilla para la tibia y peroné

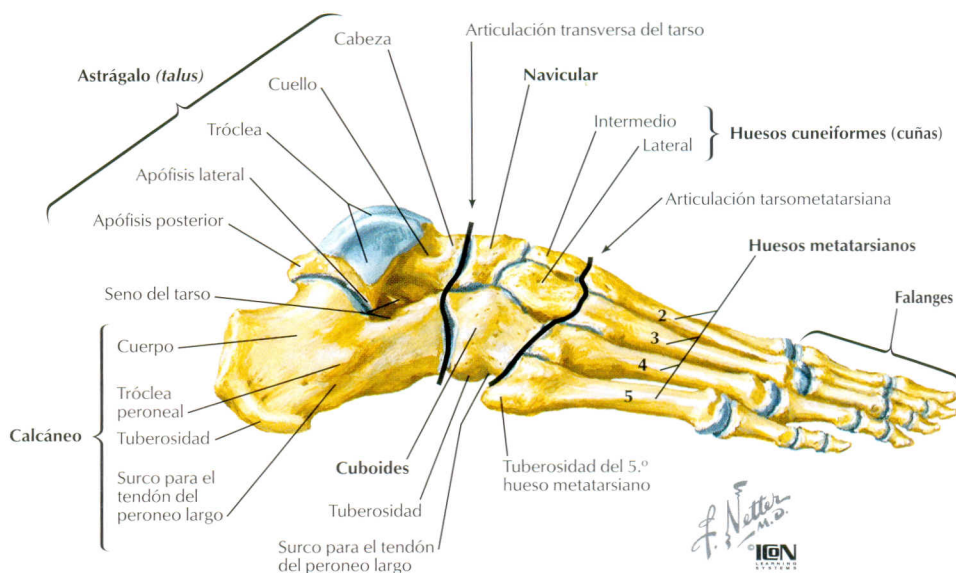
ASTRÁGALO (TALUS)

- Cabeza (anterior-navicular)
- Cuello: susceptible de fractura
- Cuerpo/tróclea: en la mortaja tibioperonea
- Apófisis lateral
- Apófisis posterior: tubérculos medial y lateral

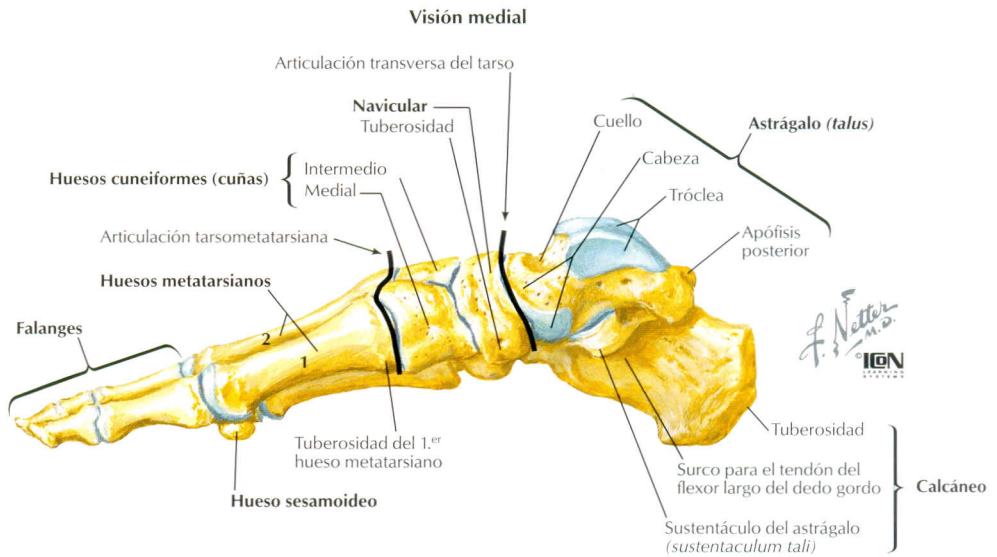
Primario: 7 meses
Cuerpo: (fetal) 13-15 años

- Único hueso del tarso que se articula con la tibia y el peroné. No presenta inserciones musculares
- **Riesgo de NAV** debido a la vascularización retrógrada de ramas de las arterias tibial posterior y dorsal del pie
- El peso se transmite desde la tibia a través de la tróclea
- El FLDG discurre entre los tubérculos medial y lateral de la apófisis posterior
- Tubérculo lateral no fusionado: hueso trígono; no es una fractura

Visión lateral



CARACTERÍSTICAS	OSIFICACIÓN	FUSIÓN	COMENTARIO
CALCÁNEO			
<ul style="list-style-type: none"> Múltiples carillas articulares: la posterior es la mayor Sustentáculo del astrágalo: ocupa la carilla media; da soporte al cuello del astrágalo 	Primario: 6 meses Cuerpo (fetal) Secundario: 9 años Tubérculo	13-15 años	<ul style="list-style-type: none"> Mayor hueso del tarso; apoyo posterior del arco longitudinal El FLDG discurre bajo el sustentáculo del astrágalo; el ligamento calcaneonavicular plantar (<i>spring ligament</i>) se inserta en él Sobre la tuberosidad se pueden desarrollar espolones dolorosos
NAVICULAR			
<ul style="list-style-type: none"> «Forma de barca» Tuberosidad (medial) 	Primario: 4 años	13-15 años	<ul style="list-style-type: none"> El tibial posterior se inserta en la tuberosidad Se articula con el astrágalo, cuneiformes y cuboides La forma de los huesos del tarso crea el arco transversal
CUNEIFORMES			
<ul style="list-style-type: none"> Tres huesos Medial: el más grande Intermedio: el más pequeño Lateral 	Primario: 3 años 4 años 1 año	13-15 años	<ul style="list-style-type: none"> El 2.º MT se halla en el «receso» del hueso corto intermedio; ello puede provocar una fractura de la base y una articulación tarsometatarsiana (TMT) inestable El peroneo largo se inserta parcialmente en la cara plantar del cuneiforme medial



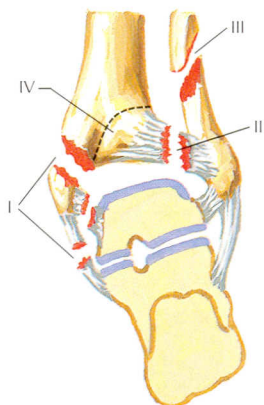
CARACTERÍSTICAS	OSIFICACIÓN	FUSIÓN	COMENTARIO
CUBOIDES			
<ul style="list-style-type: none"> Tuberosidad inferior Surco del cuboides inferior 	Primario:	Nacimiento	13-15 años
			<ul style="list-style-type: none"> Es el hueso más lateral del tarso El tendón del peroneo largo pasa a través del surco, en su cara inferior
METATARSIANOS (MT)			
<ul style="list-style-type: none"> Características de hueso largo La base del 2.º MT se halla en el «receso» tarsiano Apoyo anterior del arco longitudinal del pie 	Primario:	9 semanas (fetal)	Nacimiento
	Diáfisis		
	Secundario:	5-8 años	14-18 años
	Epífisis		<ul style="list-style-type: none"> Numerados de medial a lateral: I a V Sólo una epífisis por hueso: en la cabeza excepto para el 1.º MT (en la base) El peroneo corto se inserta en la base del 5.º MT (puede producirse avulsión)
FALANGES			
<ul style="list-style-type: none"> El dedo gordo tiene sólo dos falanges El dedo gordo tiene dos huesos sesamoideos 	Primario:	10 semanas (fetal)	14-18 años
	Cuerpo		
	Secundario:	2-3 años	
	Epífisis		<ul style="list-style-type: none"> Un total de 14 falanges en cada pie Sólo una epífisis por hueso, en la base La presencia de huesos sesamoideos en otros dedos es una variación normal

La osificación de cada hueso tarsiano se produce desde un único centro

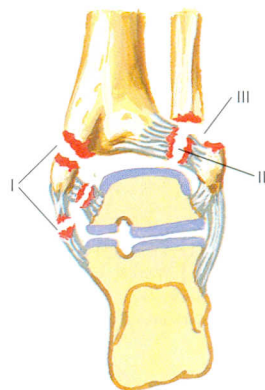
Límites de la mortaja tibioperonea: superior, tibia; medial, maléolo medial (tibia); lateral, maléolo lateral (peroné)

Túnel tarsiano: túnel osteofibroso formado por la cara posterior del maléolo medial, cara medial del calcáneo y astrágalo, y retináculo flexor. Contenido: tendones (TP, FLD, FLDG), **arteria tibial posterior**, nervio tibial (puede verse comprimido en el túnel)

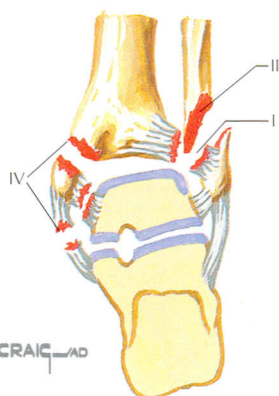
Clasificación de las fracturas de tobillo de Lauge-Hansen



Pronación-rotación externa (PRE)

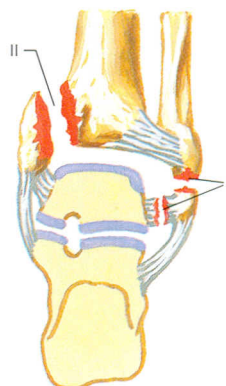


Pronación-abducción (PA)



JOHN A. CRAIG AD
© ION

Supinación-rotación externa (SRE)



Supinación-aducción (SA)

DESCRIPCIÓN

EVALUACIÓN

CLASIFICACIÓN

TRATAMIENTO

FRACTURA DE TOBILLO

(Véase tabla de traumatismo de rodilla para la fractura de Maissonneuve)

- Muy frecuente en todas las edades
- Afectación de los maléolos y/o cúpula astragalina
- Fx de un maléolo: estable
- Lesión de dos maléolos y/o ligamentos: inestable
- Se requiere una reducción simétrica perfecta de la mortaja
- También debe corregirse la longitud del peroné

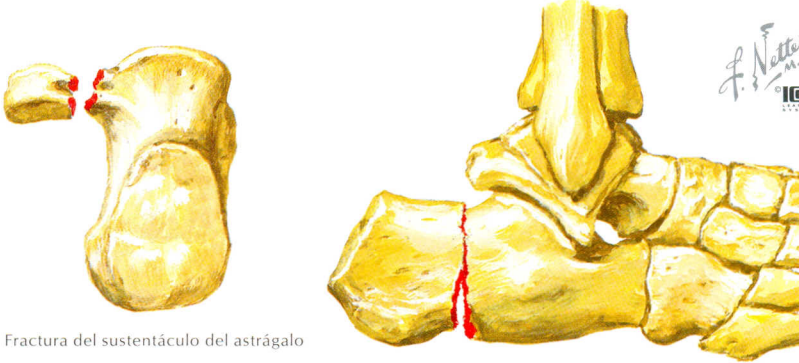
Hx: traumatismo. Dolor, tumefacción
EF: derrame, hipersensibilidad intensa en uno o ambos maléolos +/- región proximal del peroné. Comprobar el pulso tibial posterior y la función del nervio tibial
RX: seriada de traumatismo de tobillo
TC: útil en fracturas intraarticulares que necesitan reducción

Lauge-Hansen: 4 tipos con subdivisión en estadios
• SA: supinación/aducción, estadios I y II
• SRE: supinación/rotación externa, estadios I a IV
• PA: pronación/abducción, estadios I, II y III
• PRE: pronación/rotación externa, estadios I a IV

Luxación: **reducción inmediata**
Estable/no desplazada: botina de yeso 4-6 semanas
Inestable/desplazada: RAFI, reparar la superficie articular y la longitud del peroné, +/- necesidad de un tornillo en la sindesmosis

COMPLICACIONES: osteoartritis postraumática/dolor; disminución del BA y/o fuerza; inestabilidad; pseudoartrosis/fallo de consolidación; DSR

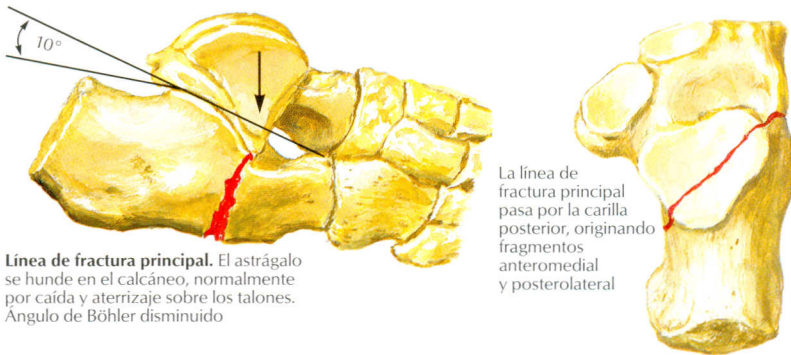
Fractura extraarticular del calcáneo



Fractura del sustentáculo del astrágalo

Fractura del cuerpo del calcáneo, sin afectación de la articulación subastragalina

Fractura intraarticular del calcáneo



Línea de fractura principal. El astrágalo se hunde en el calcáneo, normalmente por caída y aterrizaje sobre los talones. Angulo de Böhler disminuido

La línea de fractura principal pasa por la carilla posterior, originando fragmentos anteromedial y posterolateral

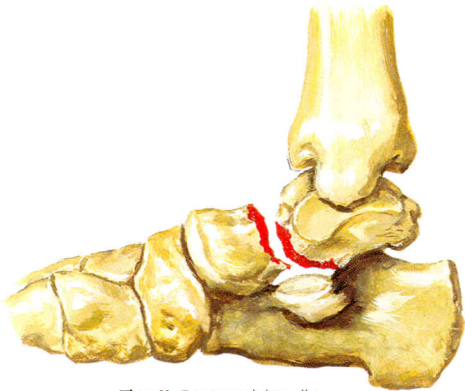
DESCRIPCIÓN	EVALUACIÓN	CLASIFICACIÓN	TRATAMIENTO
FRACTURA DE CALCÁNEO			
<ul style="list-style-type: none"> Fractura tarsiana más frecuente Mecanismo: gran carga axial (p. ej., caída desde cierta altura o salto) Debe descartarse lesión de columna Afectación de la articulación subastragalina La mayoría de las fracturas son intraarticulares (peor pronóstico) 	<p>Hx: traumatismo. Imposibilidad de permanecer en bipedestación, dolor, tumefacción.</p> <p>EF: hipersensibilidad a la palpación. Comprobar función del nervio tibial, pulsos y tumefacción del arco</p> <p>RX: AP/lateral (+/- Harris) y columna</p> <p>TC: necesaria para definir mejor la fx</p>	<p>Extraarticular:</p> <ul style="list-style-type: none"> Cuerpo Tuberosidad Apófisis medial/lateral <p>Intraarticular:</p> <ul style="list-style-type: none"> No desplazada «En lengua» Hundimiento articular Conminuta 	<p>Extraarticular: yeso.</p> <p>RAFI si es inestable</p> <p>Desplazada/intraarticular:</p> <p>RAFI, placas y tornillos +/- injerto óseo</p> <p>Conminuta grave:</p> <p>Tratamiento conservador</p>
<p>COMPLICACIONES: osteoartritis subastragalina; disminución del BA; pseudoartrosis/fallo de consolidación; síndrome compartimental; lesión del nervio sural</p>			

Fractura del cuello del astrágalo

Un caso frecuente es el impacto del margen anterior de la tibia por dorsiflexión forzada



Tipo I. No desplazada



Tipo II. Fractura del cuello del astrágalo con subluxación o luxación de la articulación subastragalina

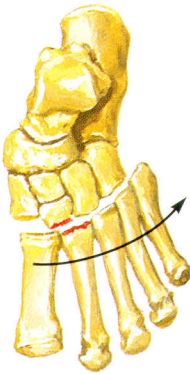
F. Natter
M.D.
IGN



Tipo III. Fractura del cuello del astrágalo con luxación de las articulaciones subastragalina y tibioastragalina

DESCRIPCIÓN	EVALUACIÓN	CLASIFICACIÓN	TRATAMIENTO
FRACTURA DEL ASTRÁGALO			
<ul style="list-style-type: none">• AVM, caída desde cierta altura• Más frecuente en el cuello, raro en cabeza y cuerpo• Débil vascularización que provoca complicaciones• Lesión semiemergente• Signo de Hawkins (en RX): la reabsorción del hueso subcondral indica la curación (sin NAV)	<p>Hx: traumatismo. Imposibilidad de permanecer en bipedestación, dolor, tumefacción</p> <p>EF: dolor a la palpación. Comprobar la función del nervio tibial, pulsos y tumefacción del arco</p> <p>RX: AP/lateral (+/- Canale)</p> <p>TC: normalmente no es necesaria</p>	<p>La clasificación de Hawkins (cuello) predice la osteonecrosis:</p> <p>I. No desplazada</p> <p>II. Desplazada, subluxación/luxación subastragalina</p> <p>III. Desplazada, luxación del cuerpo astragalino</p> <p>IV. Luxación de la cabeza del astrágalo (+/- cuerpo)</p>	<p>Tipo I: yeso 2 meses. Muchos prefieren la RAFI para prevenir el riesgo de desplazamiento</p> <p>Tipo II, III, IV: RAFI de urgencia para evitar la necrosis +/- injerto óseo</p> <p>Movilización temprana</p>
COMPLICACIONES: osteoartritis: articulaciones del tobillo y subastragalina; osteonecrosis del cuerpo (disminución de la incidencia con RAFI); retraso de la consolidación/seudoartrosis			

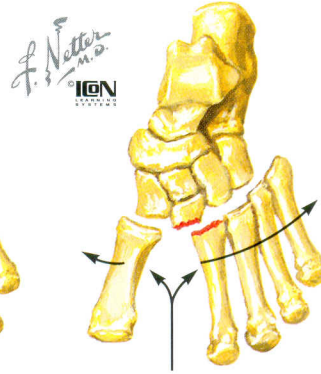
Lesión del complejo articular tarsometatarsiano (Lisfranc)



Luxación homolateral. Los 5 metatarsianos se desplazan en la misma dirección. Fractura de la base del 2.º MT



Luxación aislada. Luxación de uno o dos metatarsianos; el resto en posición normal



Luxación divergente. 1.º MT desplazado medialmente, el resto superolateralmente

DESCRIPCIÓN

EVALUACIÓN

CLASIFICACIÓN

TRATAMIENTO

FRACTURAS DEL MEDIOPIÉ

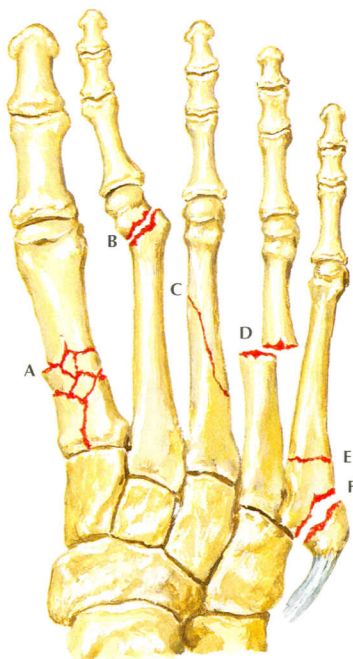
- Afectan a los huesos del tarso
- Normalmente de alta energía
- Las lesiones de la articulación mediometatarsiana se producen por fracturas de huesos adyacentes
- Las fracturas de los cuneiformes y cuboides son raras
- 2.º MT en el receso tarsiano: la fractura de su base desestabiliza la articulación TMT y puede **provocar una luxación**

Hx: traumatismo. Dolor dorsal
EF: tumefacción, dolor intenso en la articulación mediometatarsiana o TMT, que aumenta con el movimiento del mediopie
RX: AP/lateral/oblicua +/- forzadas de pie. Obsérvese que el 2.º MT y el cuneiforme medio estén alineados
TC/RM: para confirmar fractura

Mediometatarsiana:
Fractura del navicular
Avulsión
Tuberosidad
Cuerpo
Fractura de cuboides
Fractura de cuneiforme
Fractura-luxación TMT-
fractura de Lisfranc (2.º MT)
Homolateral, aislada, divergente

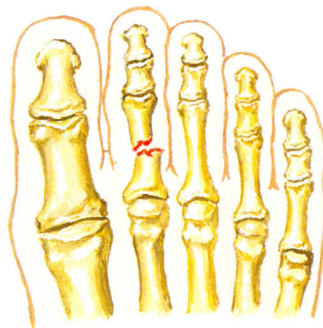
Mediometatarsiana:
No desplazada: yeso
Otras: RAFI
Navicular: reducir, +/- FPA.
Muchas requieren RAFI
Lesión de Lisfranc:
Reducción cerrada de la fractura y/o luxación (+/- FPA)
RAFI: si está desplazada o es irreducible (la mayoría)

COMPLICACIONES: lesión neurovascular (**arteria dorsal del pie**), **síndrome compartimental**, disminución del BA, osteoartritis postraumática o dolor crónico



Tipos de fracturas de metatarsianos:

- A. Fractura conminuta.
- B. Fractura desplazada del cuello.
- C. Fractura oblicua.
- D. Fractura transversa desplazada.
- E. Fractura de la base del 5.º MT.
- F. Avulsión de la tuberosidad del 5.º MT

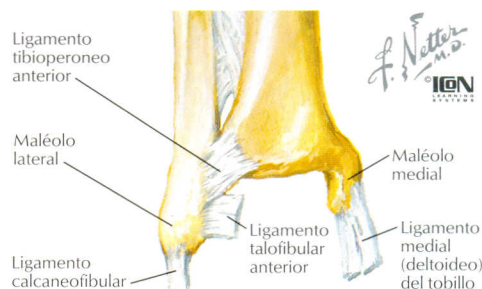
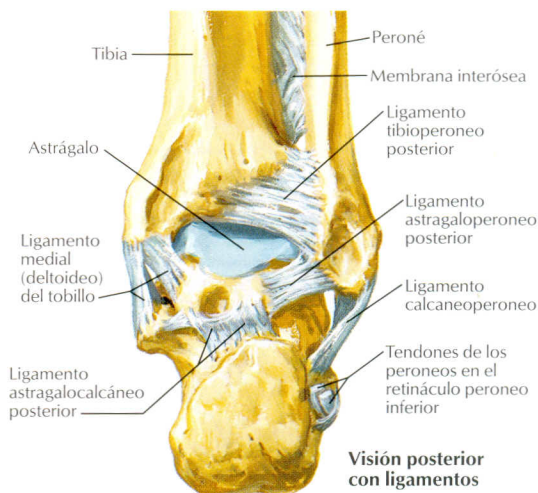


Fractura de la falange proximal



Fractura de falange, estabilizada mediante sindactilia con el dedo adyacente

DESCRIPCIÓN	EVALUACIÓN	CLASIFICACIÓN	TRATAMIENTO
FRACTURAS METATARSIANAS Y DE FALANGE			
<ul style="list-style-type: none"> Lesiones frecuentes: la mayoría son leves La fractura de la unión metafisodiáfisaria del 5.º MT (fractura de Jones) no es leve Fractura por avulsión de la base del 5.º MT: leve Fractura de dedos: normalmente por tropezón; más frecuente en el 5.º dedo 	<p>Hx: dolor en bipedestación, tumefacción</p> <p>EF: tumefacción, equimosis, dolor óseo (aumenta con el movimiento)</p> <p>RX: MT: AP/lateral/oblicua</p> <p>Dedos: sólo AP</p>	<p>Metatarsianos:</p> <ul style="list-style-type: none"> Fractura de cabeza y cuello Diáfisis Base (en especial del 5.º) <p>Falanges:</p> <ul style="list-style-type: none"> Diáfisis Lesiones articulares 	<p>Fracturas metatarsales:</p> <ul style="list-style-type: none"> No desplazadas: zapato de suela dura o yeso funcional Desplazadas/anguladas: RAFI Fx de Jones del 5.º MT: yeso y descarga 6 semanas frente a RAFI <p>Fracturas de falange:</p> <ul style="list-style-type: none"> Dedo gordo: reducción. Lesiones articulares FPA Otros: férula o sindactilia
<p>COMPLICACIONES: lesión neurovascular (arteria dorsal del pie), osteoartritis/dolor; disminución del BA; pseudoartrosis, especialmente en fracturas del 5.º MT (Jones); deformidad</p>			



LIGAMENTOS

INSERCIONES

COMENTARIOS

TIBIOFIBULAR INFERIOR

SINDESMOSIS:

Soporte de la epífisis distal de tibia/peroné: **si se rompe, debe ser estabilizado**

Tibioperoneo anterior/inferior (LTPAI)

Cara anterior de región distal de tibia y peroné

Oblicuo, une los huesos anteriormente

Tibioperoneo posterior/inferior (LTPPI)

Cara posterior de región distal de tibia y peroné

Más débil, estabilizador posterior de la mortaja

Ligamento transverso inferior

Inferior y profundo al LTPPI

Fuerte estabilizador posterior de la mortaja

Ligamento interóseo

Desde la cara lateral de la tibia a la medial del peroné

Continuación de la membrana interósea, fuerte estabilizador; se rompe en la fractura de Maisonneuve

• Se observa radiológicamente un ensanchamiento de la sindesmosis cuando se rompen el LTPAI y el LTPPI a la vez

TOBILLO (mortaja/astrágalo) (gínglimo/bisagra)

Cápsula

De tibia a astrágalo

Se extiende al ligamento interóseo

MEDIAL: ligamento deltoideo

(4 fascículos)

Tibionavicular

Tibiocalcáneo

Tibioastragalino posterior

De maléolo medial a:

Tuberosidad del navicular

Sustentáculo del astrágalo

Tubérculo medial del astrágalo

Astrágalo

Fuerte estabilizador medial: **menor índice de esguinces**

Cubre el ligamento tibioastragalino anterior

Orientado verticalmente

Porción más gruesa del ligamento deltoideo

Tibioastragalino anterior

LATERAL:

Talofibular anterior (LTFA)

De maléolo lateral a:

Cuello del astrágalo

Mínima estabilización

Débil estabilizador lateral: mayor índice de esguinces

Débil; **esguinces muy frecuentes**; cuando se rompe, prueba del cajón anterior positiva

Estabiliza la articulación subastragalina

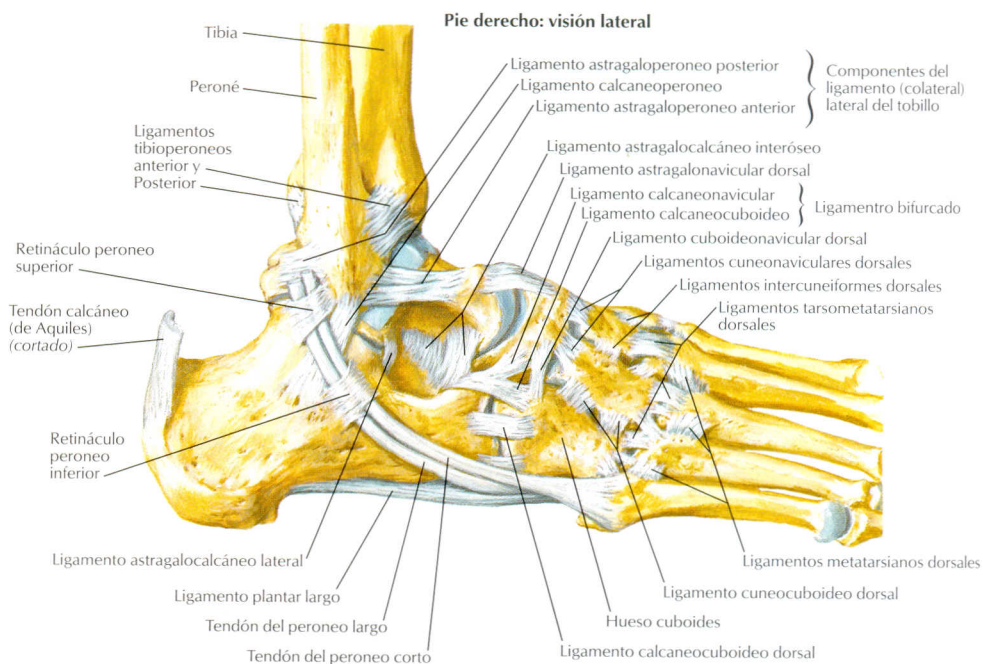
Calcaneofibular (LCF)

Talofibular posterior (LTFP)

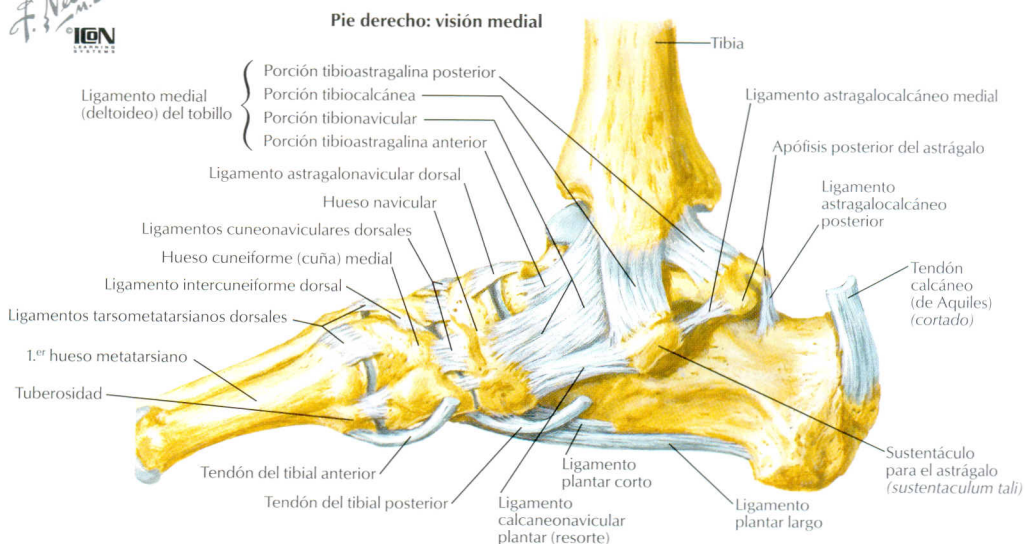
Calcáneo

Apófisis posterior (astrágalo)

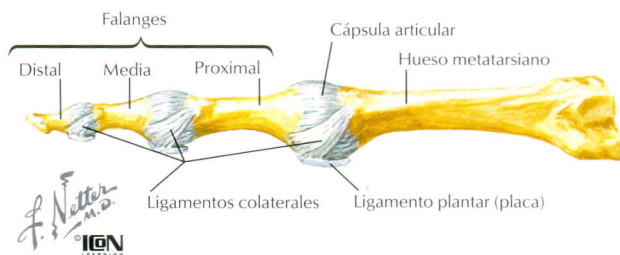
Fuerte, rara vez se rompe



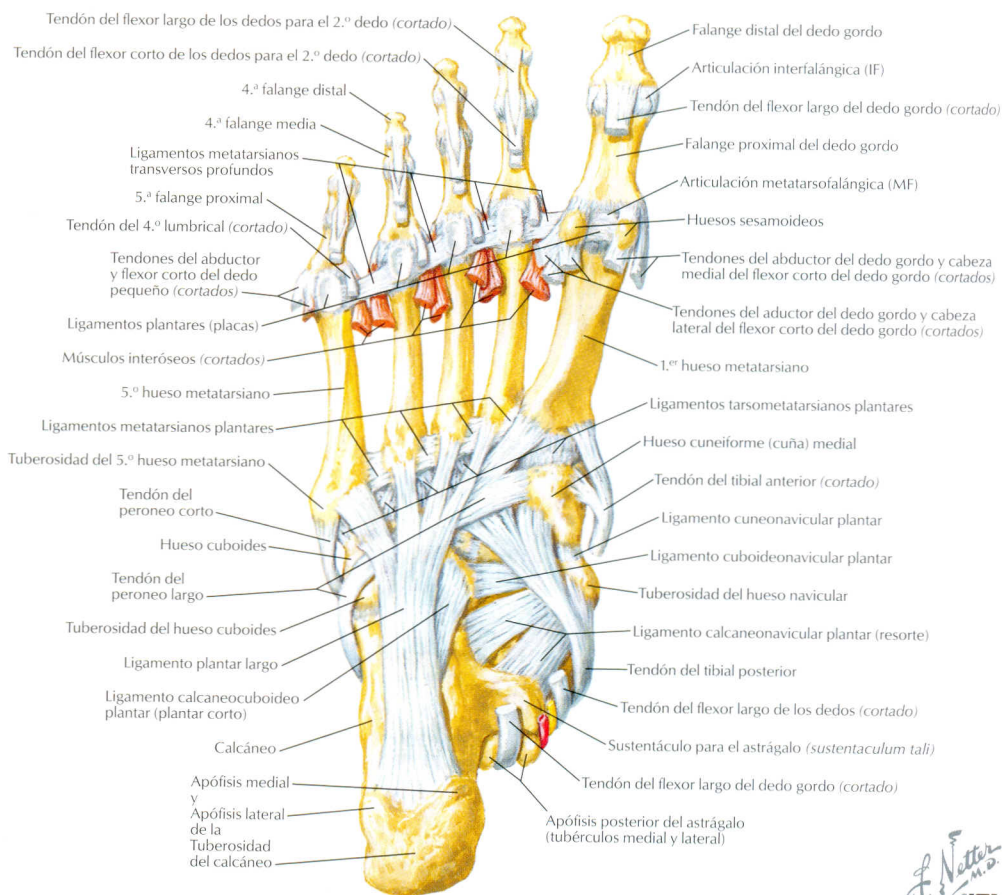
F. Natter
M.D.
IGN

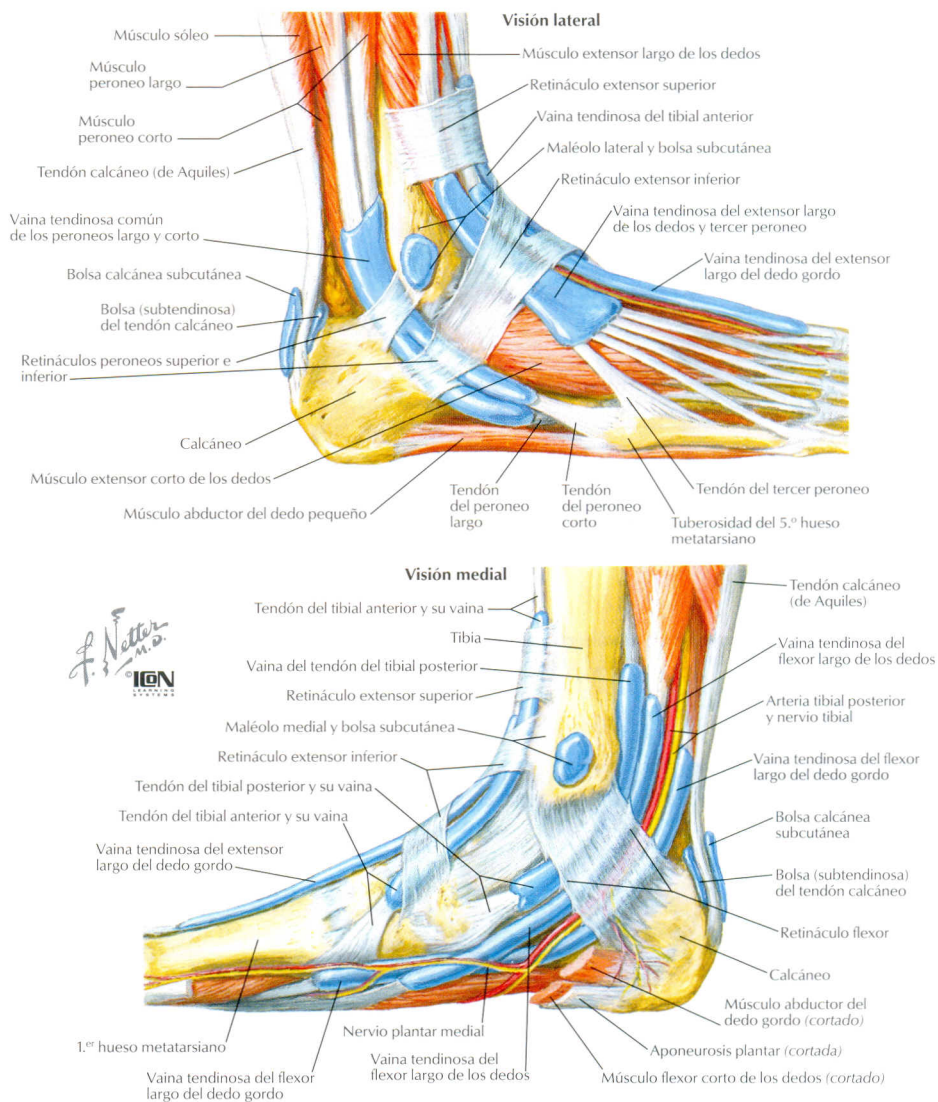


Cápsulas y ligamentos de las articulaciones metatarsofalángicas e interfalángicas: visión lateral



ARTICULACIÓN		LIGAMENTOS		COMENTARIOS	
INTERTARSIANA					
<u>Subastragalina</u> (talocalcánea): permite la inversión/eversión del pie (p. ej., caminar sobre una superficie irregular)					
	Talocalcáneo medial			Del tubérculo medial al sustentáculo del astrágalo	
	Talocalcáneo lateral			Profundo al ligamento calcaneofibular	
	Talocalcáneo posterior			Corto; de la apófisis posterior al calcáneo	
	Talocalcáneo interóseo			Fuerte; en el seno del tarso	
	También estabilizada por los ligamentos del tobillo (v. articulaciones del tobillo)				
<u>Transversa/mediotarsiana</u> (articulación de Chopart): ayuda a la articulación subastragalina en la inversión/eversión					
Talonavicular	Calcaneonavicular plantar (<i>spring ligament</i>)			Del sustentáculo del astrágalo al navicular: estabilizador plantar de la cabeza del astrágalo ; fuerte	
	Talonavicular dorsal			Estabilizador dorsal	
	Calcaneonavicular (1.º fascículo del ligamento bifurcado)			Estabilizador lateral	
Calcaneocuboidea	Calcaneocuboideo (2.º fascículo del ligamento bifurcado)			Estabiliza las dos filas del tarso	
	Calcaneocuboideo dorsal			Estabilizador dorsal	
	Calcaneocuboideo plantar (plantar corto)			Fuerte estabilizador plantar	
	Calcaneocuboideo MT (plantar largo)			Estabilizador plantar adicional	
Cuboideonavicular	Cada una de estas articulaciones tiene un			Estas articulaciones son pequeñas y tienen poca	
Cuneonavicular	ligamento dorsal, plantar e interóseo que adopta			movilidad y relevancia clínica. Comparten una	
Intercuneiforme	el nombre de la articulación correspondiente			cápsula articular común	
Cuneocuboidea					
Los ligamentos plantares son más potentes que los dorsales					
TARSOMETATARSIANA (Lisfranc) plana					
	TMT dorsal, plantar, interóseo			Del cuneiforme medial al 2.º MT: ligamento de Lisfranc	
INTERMETATARSIANA					
	MT dorsal, plantar, interóseo			Refuerza el arco transversal	
	MT transversal profundo			Conecta las cabezas de los MT	
METATARSOFALÁNGICA elipsoide/condílea					
	Placa plantar e intersesamoideo			Parte de la superficie de carga	
	Colateral			Fuerte	
Los ligamentos metatarsianos transversos profundos contribuyen a estabilizar esta articulación					
INTERFALÁNGICA gínglimo/bisagra					
	Placa plantar			Similar a las articulaciones IF de la mano	
	Colateral				





ESTRUCTURA

FUNCIÓN

COMENTARIO

Retináculo extensor superior

Cubre los tendones, nervios y vasos del compartimiento anterior en el tobillo

De la región distal del peroné a la cara medial de la tibia

Retináculo extensor inferior

Rodea y cubre los tendones, etc., del compartimiento anterior en el pie

Forma de «Y»; del calcáneo al maléolo medial y navicular

Retináculo flexor

Cubre los tendones del compartimiento posterior

Del maléolo lateral al calcáneo. Suelo del túnel tarsiano

Retináculo peroneo superior e inferior

Cubre los tendones y vainas del compartimiento lateral en el retropié

Superior: del maléolo lateral al calcáneo
Inferior: del retináculo extensor inferior al calcáneo

Aponeurosis plantar (fascia plantar)

Estabiliza el arco longitudinal

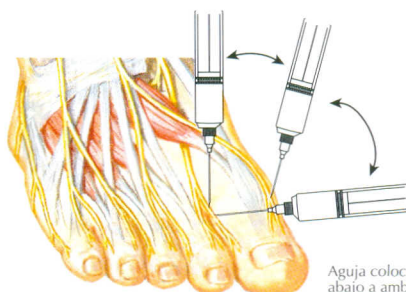
Inflamación: **fascitis plantar**.
Puede desarrollar nódulos

PASOS
ARTROCENTESIS DE TOBILLO

1. Preguntar al paciente si es alérgico
2. Con el pie en flexión plantar, palpar el maléolo medial, así como el surco entre éste y el tendón del tibial anterior. Tomar como referencia el tendón del ELDG (visible) si no se palpa el TA
3. Limpieza de la zona de punción (yodo/jabón antiséptico)
4. Anestesia local (habón)
5. Colocar una aguja de 20 G perpendicularmente en el surco/articulación del tobillo (medial al tendón, inferior a la superficie articular distal de la tibia y lateral al maléolo medial). Aspirar el líquido. Si existe sospecha de infección, enviar muestra para cultivo y tinción de Gram. El líquido debe fluir fácilmente si la aguja se encuentra en la articulación
6. Colocar apósito en la zona de punción

BLOQUEO DIGITAL

1. Igual que en la mano (v. capítulo 5)

Bloqueo digital del dedo gordo


Aguja colocada hacia abajo a ambos lados de la base del dedo gordo y a lo largo de la zona superior

J. Natter
M.D.
ICON
LABORATORIOS

ANAMNESIS DEL PIE/TOBILLO

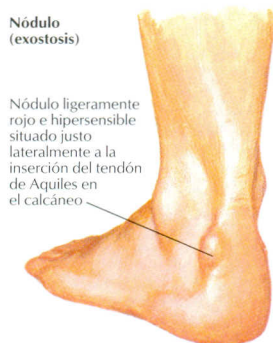
PREGUNTA	RESPUESTA	APLICACIÓN CLÍNICA
1. EDAD	Joven Mediana edad, ancianos	Esguince, fracturas Lesiones por sobreuso, artritis, gota
2. DOLOR		
a. Inicio	Agudo (poco frecuente) Crónico	Fractura, fractura de estrés La mayoría de patologías del tobillo y pie son crónicas
b. Localización	Tobillo Retropié Mediopié Antepié	Fractura, osteoartritis, inestabilidad, tendinitis del tibial posterior Fascitis plantar, fractura, bursitis retrocalcánea, tendinitis aquilea Osteoartritis de las articulaciones tarsianas, fractura <i>Hallux rigidus</i> , fracturas, metatarsalgia, neuroma de Morton, bunio, gota
c. Aparición	Bilateral Dolor matutino Con la actividad	Considerar enfermedades sistémicas, AR Fascitis plantar (mejora al caminar/estiramiento) Lesiones por sobreuso
3. RIGIDEZ	Sin bloqueo Con bloqueo	Esguince de tobillo, AR Cuerpo libre
4. TUMEFACCIÓN	Sí	Fractura, artritis
5. TRAUMATISMO	Mecanismo/posición del pie ¿Soporta carga?	Inversión: distensión/ rotura del LTFA Sí: menor gravedad No: mayor gravedad (descartar fractura)
6. ACTIVIDAD/OCUPACIÓN	Deporte, movimiento repetitivo De pie todo el día	Tendinitis aquilea, lesiones por sobreuso Lesiones por sobreuso
7. TIPO DE CALZADO	Punta de zapato dura/estrecha	Hallux valgus (bunio, mayoritariamente en mujeres)
8. SÍNTOMAS NEUROLÓGICOS	Dolor, hormigueo, parestias	Síndrome del túnel tarsiano
9. AFECTACIÓN SISTÉMICA	Manifestaciones en el pie	Diabetes mellitus, gota, enfermedad vascular periférica, AR, síndrome de Reiter



Aducción del metatarso bilateral

Pie equinovaro bilateral en el niño.
Aspecto clínico

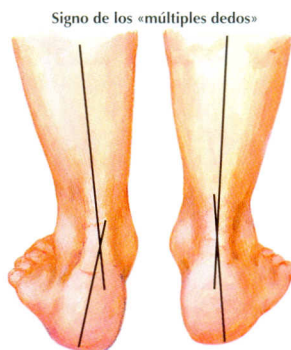
Bunio/hallux valgus

**Pie plano.**
Pie plano rígido y doloroso, con el retropié en valgo, característico de la coalición tarsiana**Nódulo (exostosis)**

Nódulo ligeramente rojo e hipersensible situado justo lateralmente a la inserción del tendón de Aquiles en el calcáneo

Bunio avanzado. Antepié ancho con una prominencia inflamada sobre la cabeza del 1.º MT. Dedo desviado lateralmente (*hallux valgus*), superpuesto al 2.º dedo y rotado internamente. Los otros dedos también se desvían lateralmente en congruencia con el dedo gordo. El desplazamiento lateral del tendón del extensor largo del dedo gordo es evidente

F. Natter
IGN



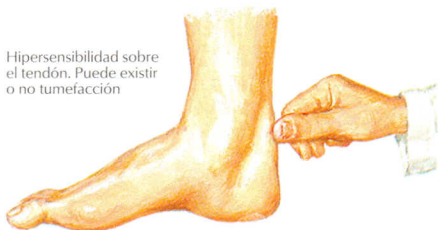
Signo de los «múltiples dedos»

Visión posterior que muestra la hiperpronación del pie izquierdo. En el pie normal, las líneas medias del calcáneo y pierna están alineadas o desviadas menos de 2.º

EXPLORACIÓN	TÉCNICA	APLICACIÓN CLÍNICA
INSPECCIÓN		
Pie (bipedestación/carga)	Visión anterior Visión posterior Visión superior Visión medial	Deformidades de alineación/rotación, deformidades de los dedos, bunio Un mínimo valgo es normal; exostosis (nódulo) Bunio, unionete
Pie (decúbito supino/sentado/descarga)	Visión inferior/plantar	Pie plano (<i>pes planus</i>); pie cavo (<i>pes cavus</i>)
Tumefacción	Tobillo y pie	Callo, verrugas, úlceras (en especial en el pie diabético)
Color	Cambios en carga y descarga	Tumefacción como signo de infección, traumatismo (bilateral): etiología cardiovascular
Calzado	Todas las parte del calzado	Si el pie pasa de rosáceo a ROJO: insuficiencia arterial Un desgaste anormal puede indicar patología (p. ej., rozaduras en los dedos, pie equino)

Tendinitis aquilea

Hipersensibilidad sobre el tendón. Puede existir o no tumefacción



Bursitis retrocalcánea

Hipersensibilidad a la palpación por delante del tendón de Aquiles

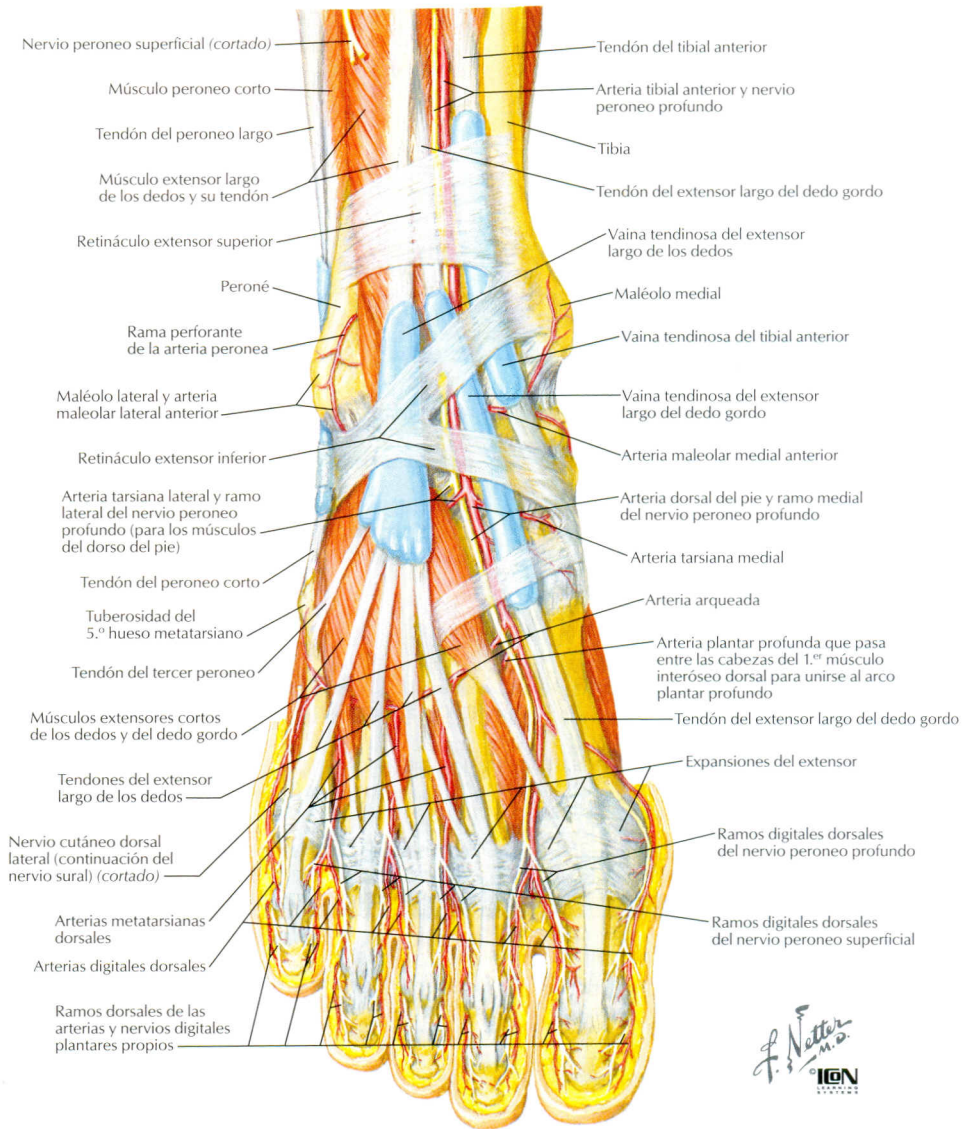


F. Netter M.D.
© IGM



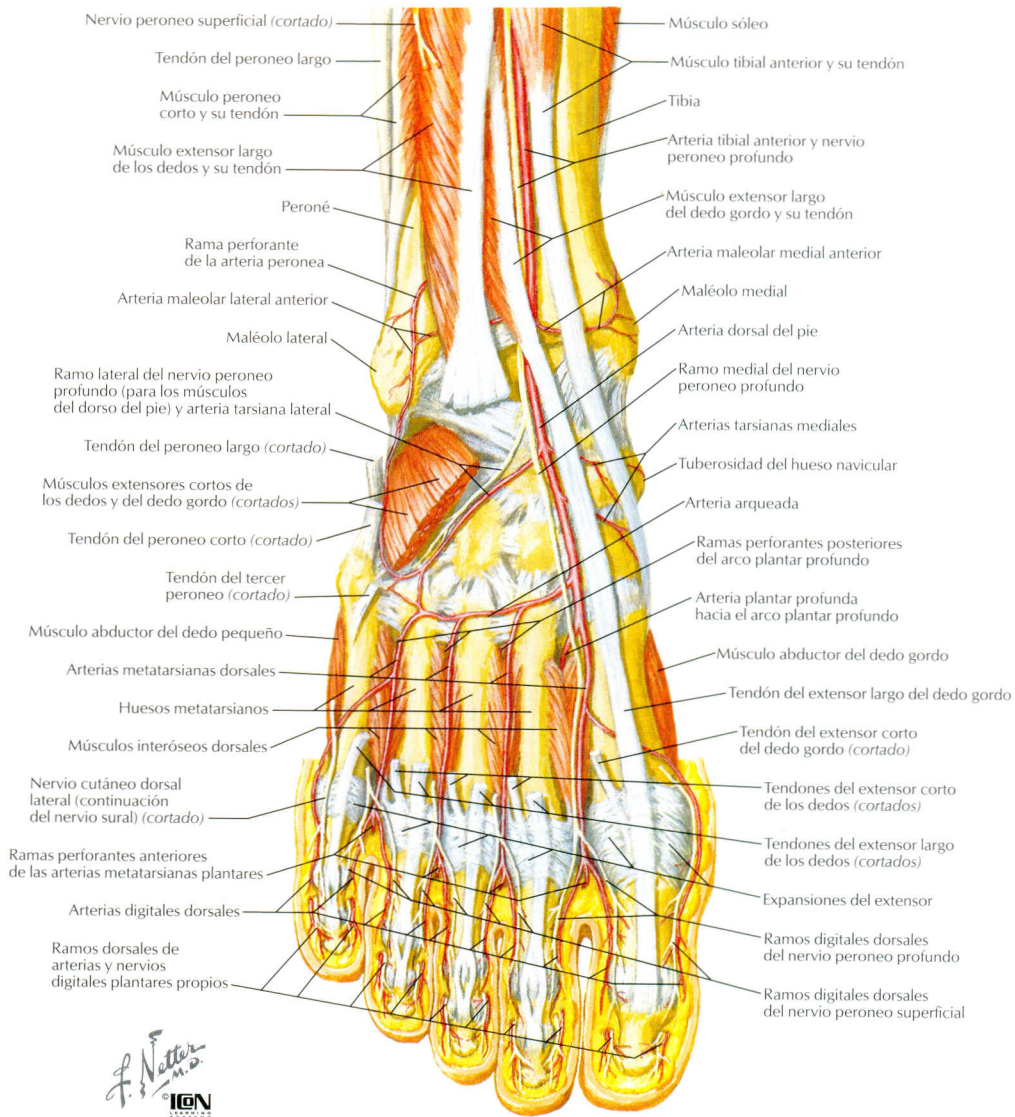
EXPLORACIÓN	TÉCNICA	APLICACIÓN CLÍNICA
PALPACIÓN		
Estructuras óseas	1.ª articulación MTF (MT y cabeza) Otras articulaciones MTF (MT y cabeza) Huesos del tarso (astrágalo) Calcáneo	Bunio, bursitis, callo; dolor: gota , sesamoiditis, tendinitis Dolor: metatarsalgia, enfermedad de Freiberg, fractura, juanete de sastrero (cabeza del 5.º MT) La hipersensibilidad sugiere fractura, osteonecrosis u osteocondritis Dolor: fractura. Posterior: bursitis (nódulo). Plantar: espolón, fascitis plantar. Medial: atrapamiento nervioso
Partes blandas	Ambos maléolos Piel Entre las cabezas MT Ligamentos mediales del tobillo Tendones a nivel del maléolo medial Ligamentos laterales del tobillo Tendones peroneos (maléolo lateral) Tendón de Aquiles	El dolor indica fractura y lesión sindezmótica en la pierna Fría: enfermedad vascular periférica. Tumefacción: traumatismo o infección frente a insuficiencia venosa Masa y dolor: neuroma El dolor sugiere esguince de tobillo (ligamento deltoideo) El dolor indica tendinitis, rotura (esguince) El dolor sugiere esguince de tobillo a nivel del LTFA , LCF o LTFP (raramente) El dolor indica tendinitis, rotura/esguince, luxación Dolor: tendinitis. Un defecto sugiere rotura del tendón
BALANCE ARTICULAR		
Tobillo: flexión dorsal/plantar	Neutraliza la articulación subastragalina	Normal: flexión plantar 50°, dorsiflexión (extensión) 25°
Subastragalina: inversión/eversión	Fijar la tibia	Normal: inversión 5-10°, eversión 5°
Mediotarsiana: aducción/abducción	Fijar el talón/retropié	Normal: aducción 20°, abducción 10°
Dedo gordo: MTF: flexión/extensión IF: flexión/extensión	Fijar el pie Fijar el pie	Normal: flexión 75°, extensión 75°. Disminuido en el <i>hallux rigidus</i> Normal: flexión 90°, extensión 0°
Pronación: dorsiflexión, eversión, abducción. Supinación: flexión plantar, inversión, aducción		

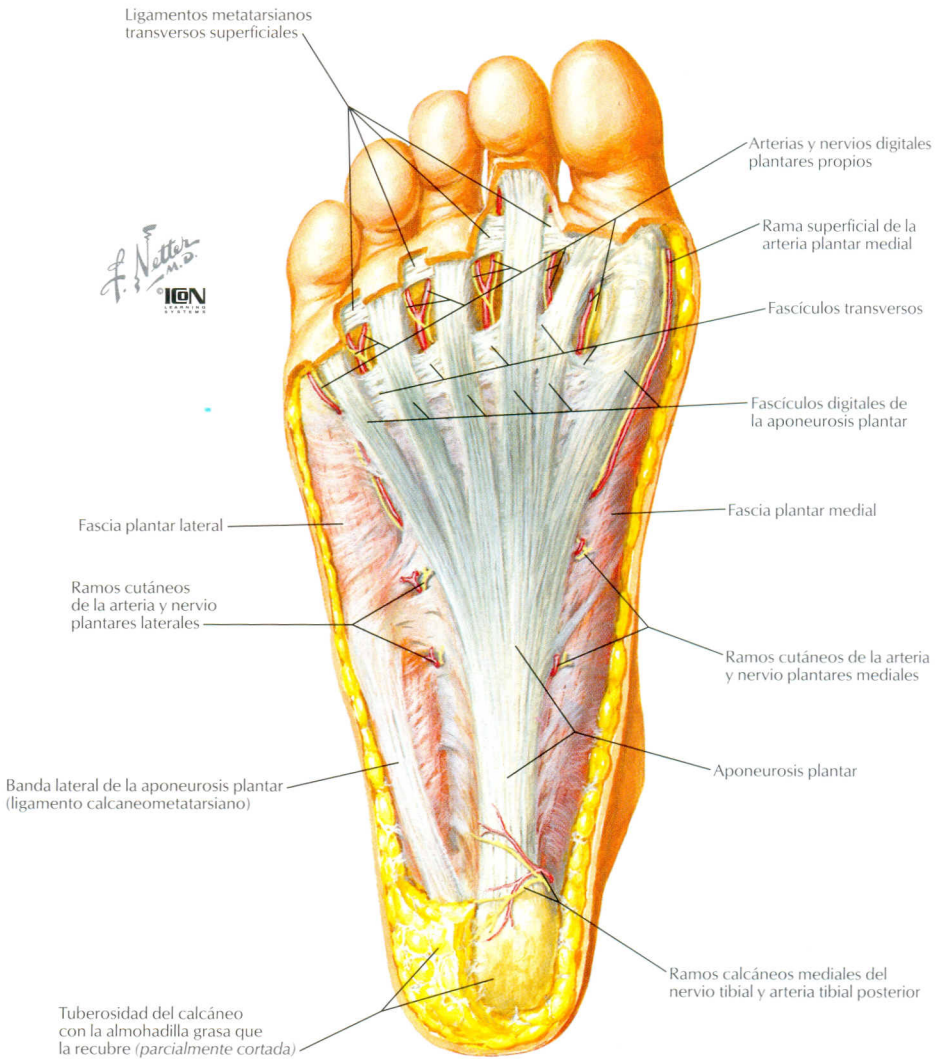
EXPLORACIÓN	TÉCNICA	APLICACIÓN CLÍNICA
NEUROVASCULAR		
Sensitiva		
Safeno (L4)	Cara medial del pie (cutáneo medial)	Su déficit indica lesión del nervio/raíz correspondiente
Tibial (L4)	Planta del pie (calcáneo/plantar)	Su déficit indica lesión del nervio/raíz correspondiente
Peroneo superficial (L5)	Dorso del pie	Su déficit indica lesión del nervio/raíz correspondiente
Peroneo profundo (L5)	1.º espacio interóseo dorsal	Su déficit indica lesión del nervio/raíz correspondiente
Sural (S1)	Cara lateral del pie	Su déficit indica lesión del nervio/raíz correspondiente
Motora		
Peroneo profundo (L4)	Inversión/dorsiflexión del pie	Debilidad = lesión del tibial anterior o del nervio/raíz
Peroneo profundo (L4)	Extensión del dedo gordo (dorsiflexión)	Debilidad = lesión del ELDG o nervio/raíz correspondiente
Tibial (S1)	Flexión plantar del dedo gordo	Debilidad = lesión del FLDG o nervio/raíz correspondiente
Peroneo superficial (S1)	Eversión del pie	Debilidad = lesión de los músculos peroneos o del nervio/raíz
Reflejos		
S1	Reflejo aquileo	Su hipoactividad/ausencia indica radiculopatía de S1
Motoneurona superior	Reflejo de Babinski	La flexión dorsal de los dedos indica alteración en la motoneurona superior
Pulsos		
	Dorsal del pie	Pulsos disminuidos: traumatismo o compromiso vascular, enfermedad vascular periférica
	Tibial posterior	
PRUEBAS ESPECIALES		
Cajón anterior	Fijar la tibia, presión anterior sobre el calcáneo	Traslación anterior: rotura (esguince) del LTFA
Inversión forzada	Fijar la tibia, inversión de tobillo	Laxitud aumentada en comparación con el contralateral: esguince del LCF/LTFA
Eversión/abducción forzada	Fijar la tibia, eversión/abducción de tobillo	Laxitud aumentada en comparación con el contralateral: esguince del ligamento deltoideo
Signo de los «múltiples dedos»	En bipedestación, observar el pie desde atrás	«Demasiados dedos» (se ven más lateralmente comparando ambos pies): pie plano adquirido
Compresión de la sindesmosis	Compresión distal de la tibia y peroné	El dolor indica una lesión de la sindesmosis
Marcha de puntillas	En bipedestación, apoyarse sobre los dedos de los pies	El talón en varo es normal. Un ascenso disminuido indica patología del compartimento posterior
Signo de Tinel en el tobillo	Percutir sobre el nervio posteriormente al maléolo medial	Hormigueo/parestesia positivos en el atrapamiento del nervio tibial posterior
Compresión	Comprimir el pie a nivel de las cabezas MT	Dolor, entumecimiento, hormigueo: neuroma interdigital (Morton)
Thompson	Decúbito prono: con el pie colgando, comprimir la pantorrilla	La ausencia de flexión plantar indica rotura del tendón de Aquiles
Signo de Homan	Rodilla extendida: dorsiflexionar pasivamente el pie	El dolor en la pantorrilla sugiere trombosis venosa profunda (TVP)

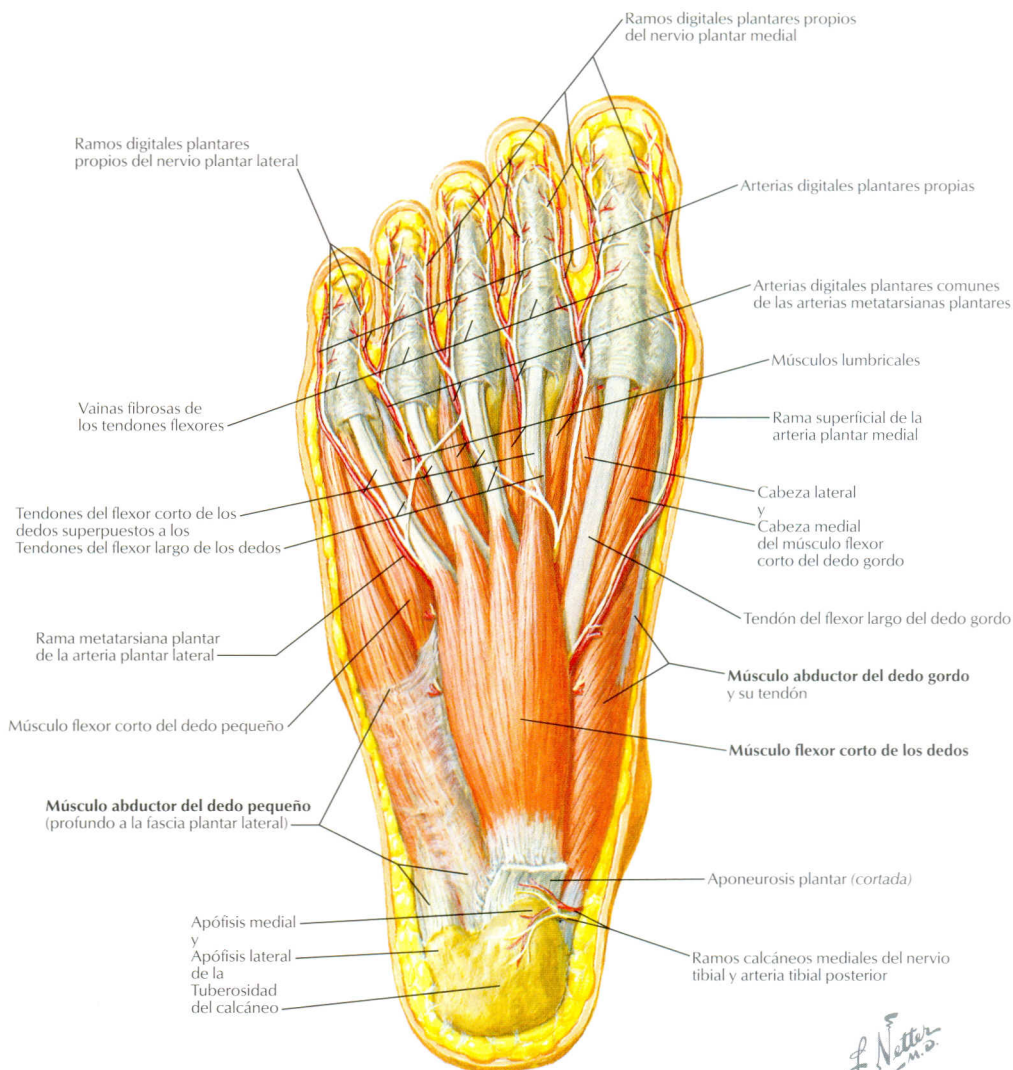


F. Netter M.D.
ICON

MÚSCULO	ORIGEN	INSERCIÓN	INERVACIÓN	ACCIÓN	COMENTARIO
Extensor corto del dedo gordo (ECDG)	Cara dorsal del calcáneo	Base de la falange proximal del dedo gordo	Peroneo profundo	Extensor del dedo gordo	Contribuye a la acción del ELDG
Extensor corto de los dedos (ECD)	Cara dorsal del calcáneo	Base de la falange proximal: dedos trifalángicos	Peroneo profundo	Extensor de los dedos	Su lesión puede producir un hematoma dorsal

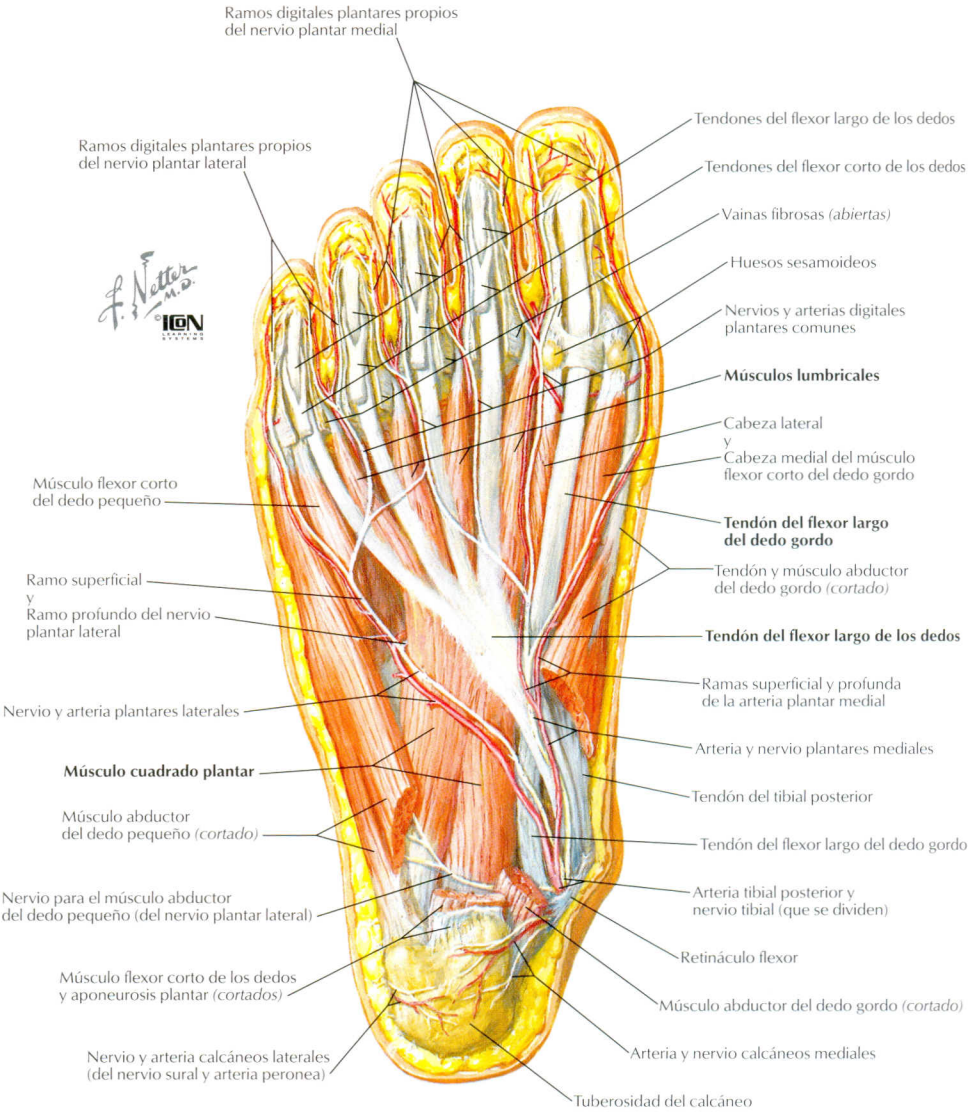






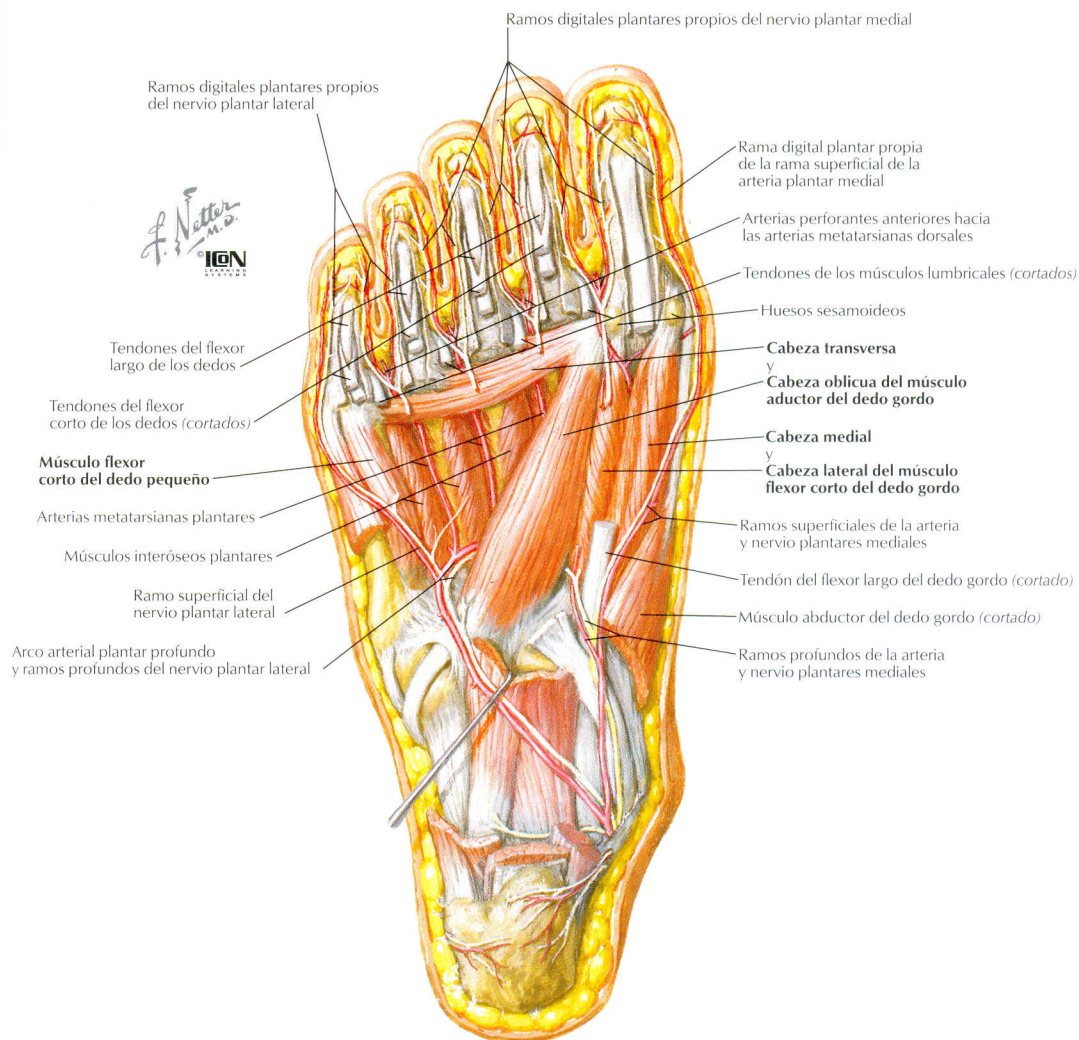
F. Netter M.D.
© IGM

MÚSCULO	ORIGEN	INSERCIÓN	INERVACIÓN	ACCIÓN	COMENTARIO
PRIMER PLANO					
Abductor del dedo gordo	Apófisis medial de la tuberosidad del calcáneo	En la falange proximal del dedo gordo a través del sesamoideo medial	Plantar medial	Abductor del dedo gordo	Soporta medialmente el arco longitudinal
Flexor corto de los dedos (FCD)	Apófisis medial de la tuberosidad del calcáneo	A ambos lados de las falanges medias: dedos trifalángicos	Plantar medial	Flexor de los dedos	Soporta el arco longitudinal
Abductor del 5.º dedo (AQD)	Apófisis medial y lateral de la tuberosidad del calcáneo	Cara lateral de la base de la falange proximal: 5.º dedo	Plantar lateral	Abductor del 5.º dedo	Soporta lateralmente el arco longitudinal



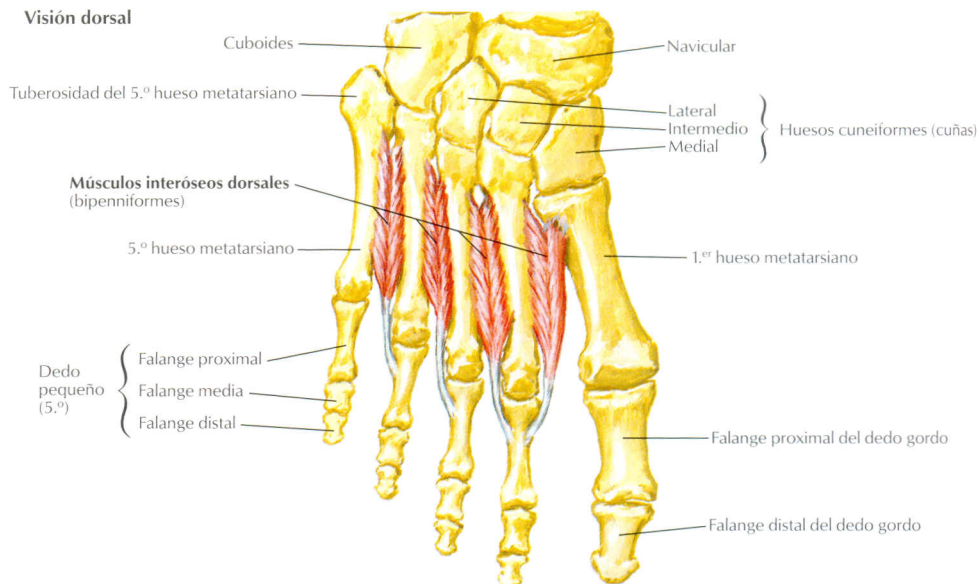
MÚSCULO	ORIGEN	INSERCIÓN	INERVACIÓN	ACCIÓN	COMENTARIO
SEGUNDO PLANO					
Cuadrado plantar	Cara plantar medial y lateral del calcáneo	Cara lateral del tendón del FLD	Plantar lateral	Ayuda al FLD en la flexión de los dedos	Dos cabezas/cuerpos musculares que se unen sobre el tendón del FLD
Lumbricales	Tendones del FLD	Falanges proximales, expansión extensora	1. Plantar medial 2-4. Plantar lateral	Flexor de la articulación MTF, extensor de la articulación IF	El 1. ^{er} lumbrical se inserta a un tendón del FLD

Los tendones del FLDP y FLD también pasan a través del segundo plano
Los nervios plantares medial y lateral son ramos terminales del nervio tibial; discurren en el segundo plano

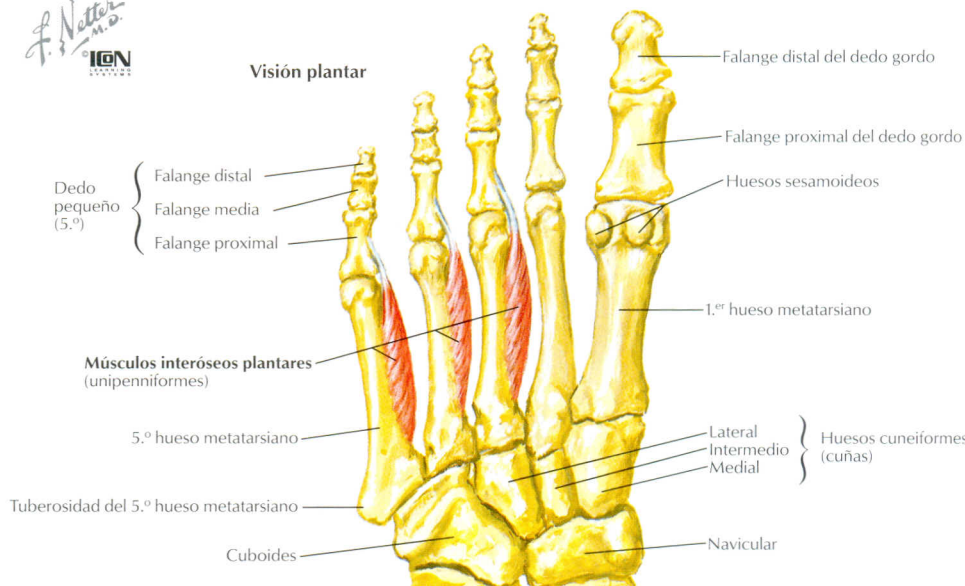


MÚSCULO	ORIGEN	INSERCIÓN	INERVACIÓN	ACCIÓN	COMENTARIO
TERCER PLANO					
Flexor corto del dedo gordo (FCDG)	Cuboides, cuneiforme lateral	Falange proximal del dedo gordo a través de los sesamoideos	Plantar medial	Contribuye a la flexión del dedo gordo	Los huesos sesamoideos se insertan en cada tendón
Aductor del dedo gordo	Oblicuo: base del 2.º al 4.º MT Transverso: cara lateral de la 4.º MTF	Falange proximal del dedo gordo a través del sesamoideo lateral	Plantar lateral	Aductor del dedo gordo	Soporta el arco transverso. Las dos cabezas tienen diferente orientación
Flexor corto del quinto dedo (FCQD)	Base del 5.º MT	Base de la falange proximal del 5.º dedo	Plantar lateral	Flexor del 5.º dedo	Pequeño músculo, relativamente poco importante

Visión dorsal

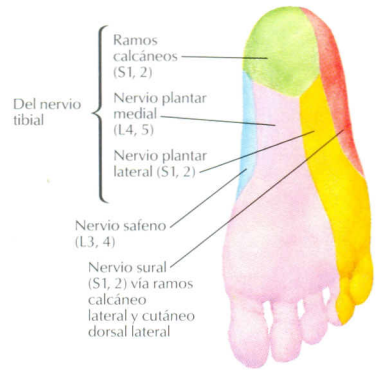
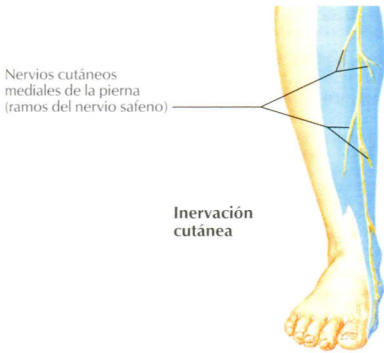


Visión plantar



MÚSCULO	ORIGEN	INSERCIÓN	INERVACIÓN	ACCIÓN	COMENTARIO
CUARTO PLANO					
Interóseos plantares (3)	Cara medial del 3.º, 4.º y 5.º MT	Cara medial de las falanges proximales: dedos 3.º-5.º	Plantar lateral	Aductores de los dedos (ADP)	La inserción en los MT es medial en los tres
Interóseos dorsales (4)	Adyacentes a las diáfisis de los MT	Falanges proximales de dedos 2.º-5.º	Plantar lateral	Abductores de los dedos (ABD)	Mayores que los músculos interóseos plantares

Los tendones del peroneo largo y tibial posterior pasan a través del cuarto plano
 Los nervios plantares medial y lateral son ramos terminales del nervio tibial
 ADP, aductor plantar; ABD, abductor dorsal. Se toma el 2.º dedo como punto de referencia para la abducción/aducción en el pie



F. Netter M.D.
© IGCN

PLEXO LUMBAR

DIVISIÓN POSTERIOR

1. **Femoral** (L2-4): el nervio safeno se ramifica en la zona proximal del muslo, desciende superficialmente por la cara medial de la pierna y anteriormente hacia el maléolo medial en el pie
 Sensitiva: Cara medial del pie, vía nervio cutáneo medial (nervio safeno)
 Motora: NINGUNA (en pie y tobillo)

PLEXO SACRO

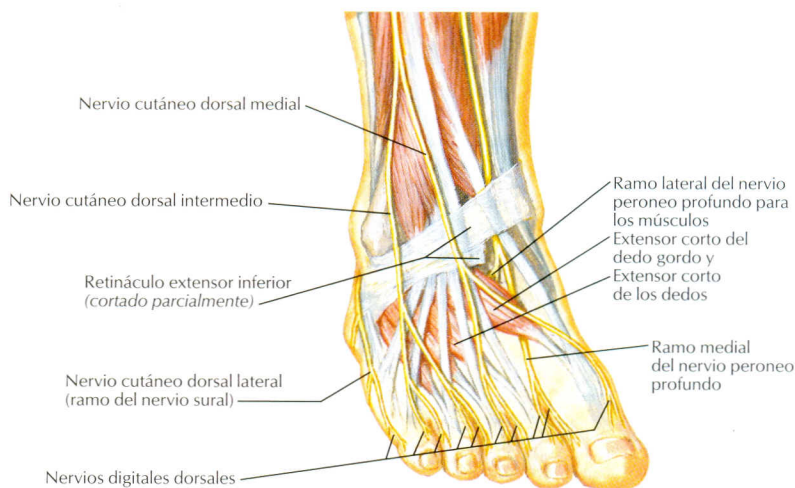
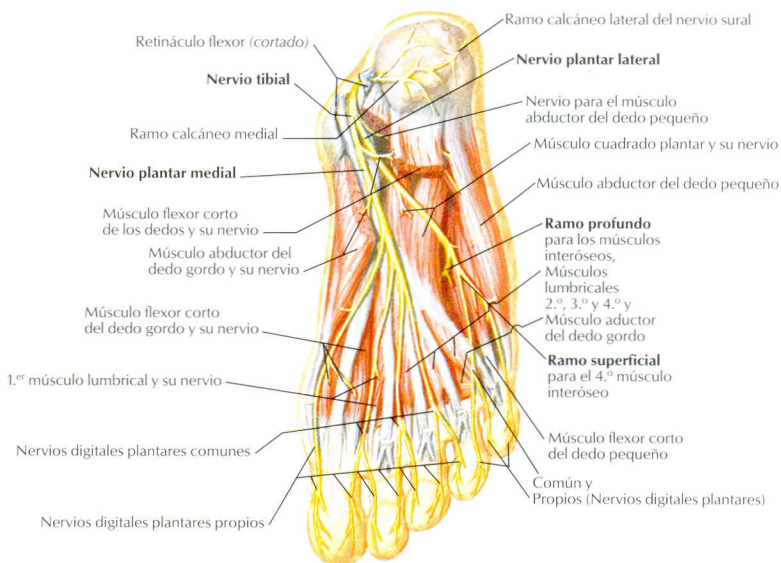
DIVISIÓN ANTERIOR

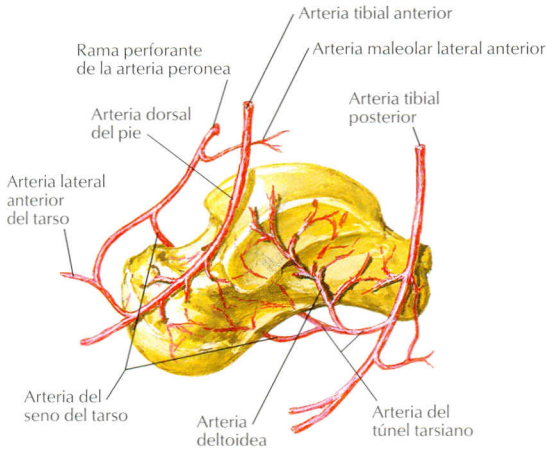
2. **Tibial** (L4-S3): discurre detrás del maléolo medial; se divide en la planta
 Sensitiva: Cara medial del talón: vía calcáneo medial
 Región medial de la planta del pie, vía plantar medial
 Región lateral de la planta del pie, vía plantar lateral
 Motora: PRIMER PLANO PLANTAR DEL PIE
 Abductor del dedo gordo: plantar medial
 Flexor corto de los dedos (FCD): plantar medial
 Abductor del 5.º dedo: plantar lateral
SEGUNDO PLANO PLANTAR DEL PIE
 Cuadrado plantar: plantar lateral
 Lumbricales: plantar medial y lateral
TERCER PLANO PLANTAR DEL PIE
 Flexor corto del dedo gordo (FCDG): plantar medial
 Aductor del dedo gordo: plantar lateral
 Flexor corto del 5.º dedo (FCQD): plantar lateral
CUARTO PLANO PLANTAR DEL PIE
 Interóseo dorsal: plantar lateral
 Interóseo plantar: plantar lateral

DIVISIÓN POSTERIOR

3. **Peroneo común** (L4-S2): el peroneo superficial se divide en ramos cutáneos dorsales medial e intermedio en la pierna. El peroneo profundo se divide, bajo el retináculo extensor, en ramos medial y lateral
 Sensitiva: Cara lateral del pie, vía sural (calcáneo lateral y cutáneo dorsal)
 Cara dorsal del pie: peroneo superficial
 Dorsal (medial) (ramo cutáneo dorsal medial)
 1.º/2.º espacio interdigital: peroneo profundo (ramo medial)
 Motora: PIE: peroneo profundo (ramo lateral)
 Extensor corto del dedo gordo (ECDG)
 Extensor corto de los dedos (ECD)

Inervación cutánea de la planta del pie



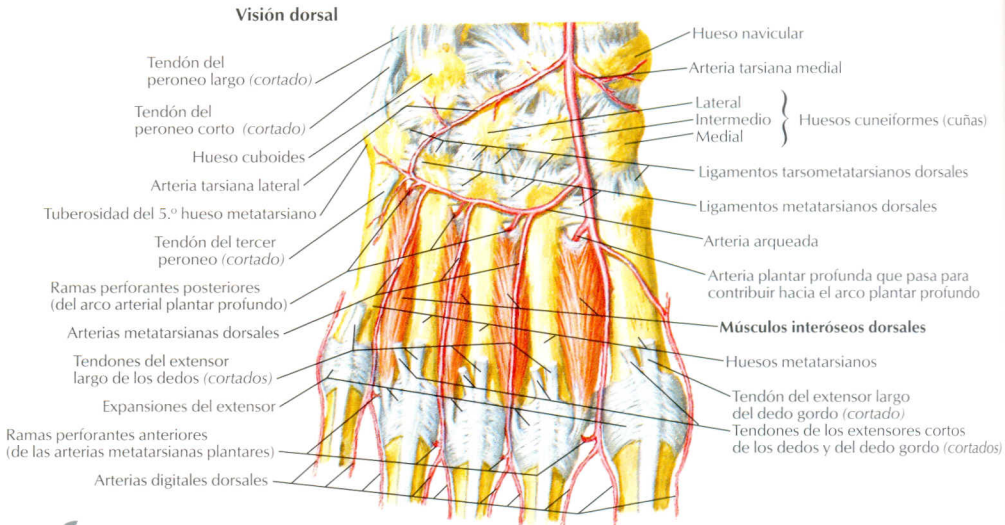


Vascularización del astrágalo. Debido a las profundas anastomosis intraóseas, la necrosis avascular suele producirse sólo cuando el tejido blando circundante se halla dañado, como en los tipos II y III de fractura del cuello del astrágalo

F. Natter
M.D.
IGN

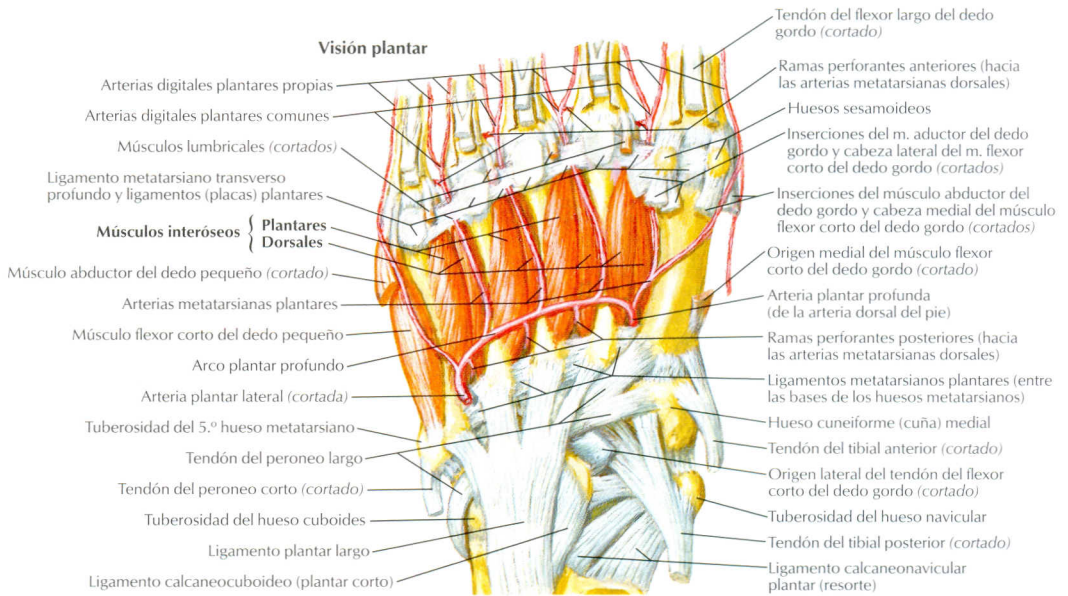
ARTERIA	ARTERIA PRINCIPAL/ COMENTARIO
Arteria del seno del tarso	Arteria dorsal del pie y peronea
Arteria del túnel tarsiano	Arteria tibial posterior
Arteria deloidea	Arteria tibial posterior; vasculariza la zona medial del cuerpo
Vasos capsulares y ligamentosos	Múltiples orígenes
Anastomosis interósea	Extensa, protege contra la NAV

ARTERIA	RECORRIDO	COMENTARIO
(V. cap. 8 para las arterias principales)		
Maleolar anterior medial	Bajo los tendones del TA y ELDG hacia el maléolo medial	Rama de la arteria tibial anterior; vasculariza el maléolo medial
Maleolar anterior lateral	Bajo el tendón del ELD hacia el maléolo lateral	Rama de la arteria tibial anterior; vasculariza el maléolo lateral
Maleolar posterior medial	Bajo los tendones del TP y el FLD (no el FLDG) hacia el maléolo medial	Rama de la arteria tibial posterior; vasculariza el maléolo medial
Maleolar posterior lateral	Bajo los tendones del peroneo largo/corto hacia el maléolo lateral	Rama de la arteria peronea; vasculariza el maléolo lateral
Ramas perforantes y comunicantes	Anastomosis con las arterias maleolar anterior lateral y tibial posterior	Ramas de la arteria peronea; contribuyen a la vascularización del maléolo lateral
En cada maléolo se forma una anastomosis entre las arterias anteriores		



F. Netter M.D.
ICM

ARTERIA	RECORRIDO	RAMAS	COMENTARIO/ VASCULARIZACIÓN
	(V. cap. 8 para las arterias principales)		
Calcánea lateral	Junto al nervio calcáneo lateral (nervio sural)	NINGUNA	Rama de la arteria peronea; vasculariza el talón
Calcánea medial	Junto al nervio calcáneo medial (nervio tibial)	NINGUNA	Rama de la arteria tibial posterior; vasculariza el talón
Plantar lateral	Entre el cuadrado plantar y el FCD; discurre con el nervio plantar lateral	Arco plantar profundo	Rama terminal mayor de la arteria tibial posterior
Plantar medial	Entre el abductor del dedo gordo y el FCD; discurre junto al nervio plantar medial	Rama superficial Plantar digital propia Rama profunda	Rama terminal menor de la arteria tibial posterior; irriga la región medial del dedo gordo Se anastomosa con la arteria plantar MT
Dorsal del pie	Dorso del pie junto a la rama medial del nervio peroneo profundo	Vasculariza el dorso del pie, vía: Medial del tarso Lateral del tarso Arteria arqueada Plantar profunda 1.ª MT dorsal Tres arterias digitales dorsales	Sin ramas Sin ramas Se originan de tres arterias MT dorsales Desciende al arco plantar profundo Rama terminal de la dorsal del pie Vascularizan el dorso del dedo gordo



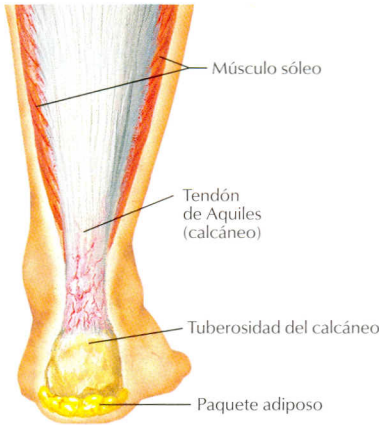
F. Netter M.D.
ICON

ARTERIA	RECORRIDO	RAMAS	COMENTARIO/ VASCULARIZACIÓN
(V. cap. 8 para las arterias principales)			
Medial del tarso	Cruza el tarso, bajo el tendón del ELDG	NINGUNA	Irriga el dorso del pie (pueden existir 2 o 3 arterias)
Lateral del tarso	Cruza el tarso junto con el ramo lateral del nervio peroneo profundo	NINGUNA	Vasculariza el ECD y los huesos laterales del tarso; se anastomosa lateralmente
Arqueada	Cruza las bases de los MT, bajo los tendones extensores	2.ª, 3.ª, 4.ª arterias MT dorsales 7 arterias digitales dorsales	
Plantar profunda	Desciende entre el 1.º y 2.º MT	Arco plantar profundo	Anastomosis con la calcánea lateral
Arco plantar profundo	Sobre los músculos interóseos plantares, en el cuarto plano del pie	4 perforantes posteriores 1 digital plantar común/propia 4 metatarsianas plantares 4 perforantes anteriores 4 digitales plantares comunes 8 digitales plantares propias	Se une a las arterias MT dorsales Arteria más lateral en el pie y dedos Se unen a las arterias MT dorsales Vascularizan el extremo de las falanges

De las cuatro arterias MT dorsales se originan diez arterias digitales dorsales. No alcanzan el extremo distal del dedo
De las cuatro arterias MT plantares se originan diez arterias digitales plantares propias a través de las arterias digitales plantares
Cada dedo tiene dos arterias digitales dorsales y dos plantares propias. La rama dorsal de cada arteria digital plantar propia vasculariza el extremo distal del dedo

DESCRIPCIÓN	ANAMNESIS/ EXPLORACIÓN FÍSICA	PRUEBAS COMPLEMENTARIAS/ HALLAZGOS	TRATAMIENTO
TENDINITIS AQUILEA			
• Aparece en o por encima de la inserción del tendón de Aquiles	Hx/EF: dolor en el talón que empeora con el despegue. Hipersensibilidad a la palpación	RX: lateral en bipedestación: espolón en la inserción del tendón de Aquiles	1. Reposo, AINE, talonera 2. Extirpación del espolón o bolsa (raro)
ROTURA DEL TENDÓN DE AQUILES			
• «Deportistas de fin de semana». Hombres de mediana edad que practican deportes	Hx: sensación de «pedrada» EF: defecto, prueba de Thompson +	RX: AP/lateral en bipedestación; suele ser normal	Yeso (en equino) frente a tratamiento quirúrgico
PIE PLANO ADQUIRIDO (DISFUNCIÓN DEL TIBIAL POSTERIOR)			
• Disfunción del tendón del tibial posterior: rotura o degeneración • La ausencia de soporte del arco provoca un pie valgo	Hx: dolor y tumefacción EF: signo de «demasiados dedos» +, ausencia de talón varo en puntillas	RX: AP/lateral en bipedestación, hundimiento de la zona media del pie	1. Ortesis 2. Modificación de la actividad 3. Osteotomía de calcáneo y transposición del FCD 4. Artrodesis
INESTABILIDAD DE TOBILLO			
• Esguinces múltiples/repetidos • También etiología neurológica con disminución de la propiocepción	Hx: inestabilidad en inversión, esp. en terrenos irregulares EF: prueba del cajón anterior y varo forzado +	RX: AP/lateral/forzadas: bostezo lateral	1. Fisioterapia: refuerzo de los peroneos 2. Reconstrucción quirúrgica si el problema persiste
ESGUINCE DE TOBILLO			
• Primera lesión musculoesquelética • Lateral 90% (sólo LTFA 60%, con sindesmosis 5%) • El mecanismo más común es la inversión	Hx: «chasquido», dolor, tumefacción, +/- dificultad para la bipedestación EF: cajón anterior +, prueba de varo forzado +/-	RX: sólo si hay imposibilidad de bipedestación o hipersensibilidad de un punto óseo	1. RHCE, AINE 2. Inmovilizar en grado III 3. Rehab. y ejercicios de BA 4. Cirugía: deportistas o lesión grave
ARTRITIS: OA/EAD			
• Puede aparecer en cualquier articulación • Asociada con traumatismo, obesidad, sobreuso y actividad	Hx/EF: anciano; dolor en articulación afectada	RX: AP/lateral en bipedestación: hallazgos clásicos de OA	1. AINE, modificación de la actividad, ortesis 2. Artrodesis/artroplastia (raramente)
ARTICULACIÓN DE CHARCOT: ARTICULACIÓN NEUROPÁTICA			
• Patología neurológica que produce una disminución de la sensibilidad • Destrucción/deformación articular por fracturas no detectadas por el paciente	Hx/EF: el paciente no nota dolor. Articulación enrojecida, caliente, inflamada	RX: AP/lateral en bipedestación: fracturas (callos o no consolidadas), destrucción articular	1. Inmovilización 2. Extirpación ósea o fusión
DEDO EN GARRA			
• Deformidad: MTF extendida, IFP flexionada. Normalmente todos los dedos • Etiología: patología neurológica (p. ej., Charcot-Marie-Tooth)	Hx: dolor en los dedos EF: deformidad de los dedos, callos +/-, examen neurológico	RX: AP/lateral en bipedestación RM/EMG/laboratorio: descartar patología neurológica	1. Calzado con almohadilla digital 2. Reconstrucción quirúrgica: basada en la deformidad
CALLO			
• Dos tipos: 1. Duro 2. Blando 1. Hiperqueratosis: presión sobre los huesos (esp. el 5.º dedo) 2. Maceración interdigital	Hx/EF: calzado duro. Dolor en el lugar de lesión	RX: AP/lateral: buscar espolones óseos	1. Calzado ancho, almohadillas 2. Desbridar el callo 3. Extirpar prominencia ósea
PIE DIABÉTICO: PIE NEUROPÁTICO			
• Neuropatía que provoca una lesión desapercibida (úlceras, infección) • Insuficiencia vascular que provoca un retraso en la curación	Hx: quemazón y hormigueo, dolor +/- EF: +/- alteraciones cutáneas, úlceras, deformidad, tumefacción, calor	RX: AP/lateral en bipedestación: descartar osteomielitis o articulación de Charcot Determinar Índice tobillo-brazo	1. Cuidados cutáneos (prevención) 2. Calzado protector 3. Tratar úlceras e infecciones 4. Amputación si es necesario

Tendinitis aquilea



Inflamación de la inserción del tendón de Aquiles a nivel de la tuberosidad del calcáneo



Visión lateral que muestra la lesión ósea

F. Netter M.D.
ICON



Pie de Charcot

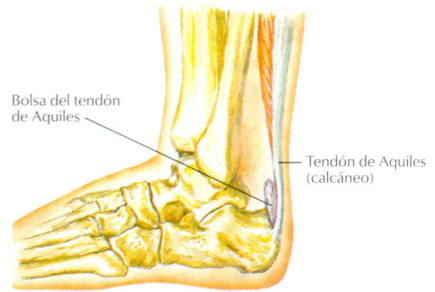
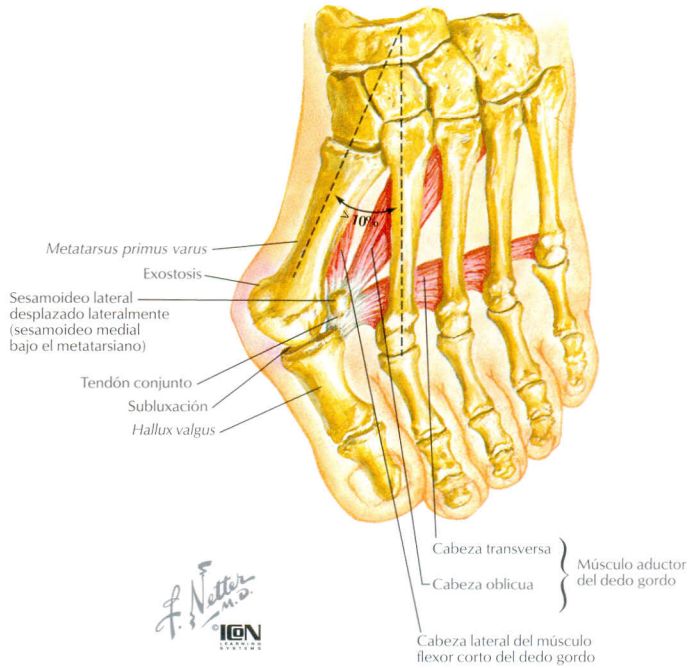
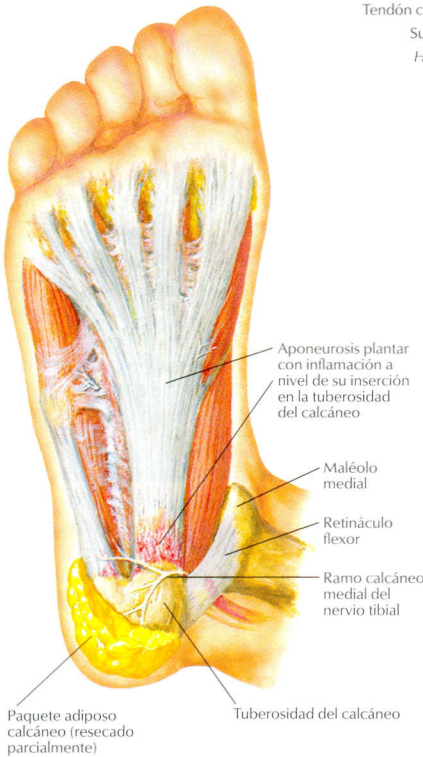


Radiografía anteroposterior de un tobillo neuropático de Charcot

DESCRIPCIÓN	ANAMNESIS/ EXPLORACIÓN FÍSICA	PRUEBAS COMPLEMENTARIAS/ HALLAZGOS	TRATAMIENTO
GOTA (Podagra)			
<ul style="list-style-type: none"> Defecto en el metabolismo de las purinas Sinovitis por creación de cristales de urato El lugar más frecuente es el dedo gordo 	<p>Hx: hombres, dolor agudo y selectivo</p> <p>EF: dedos enrojecidos e inflamados</p>	<p>Laboratorio:</p> <ol style="list-style-type: none"> Elevación del ácido úrico Cristales no birrefringentes 	<ol style="list-style-type: none"> AINE, colchicina Reposo Alopurinol (prevención)
HALLUX RIGIDUS			
<ul style="list-style-type: none"> EDA del MTF del dedo gordo A menudo postraumática 	<p>Hx: mediana edad. Dolor, rigidez</p> <p>EF: hipersensibilidad a la palpación de la MTF; disminución del BA</p>	<p>RX: AP/lateral en bipedestación: hallazgos de OA en la 1.ª MTF</p>	<ol style="list-style-type: none"> AINE; calzado de suela rígida Artroplastia/artrodesis

DESCRIPCIÓN	ANAMNESIS/ EXPLORACIÓN FÍSICA	PRUEBAS COMPLEMENTARIAS/ HALLAZGOS	TRATAMIENTO
HALLUX VALGUS (bunio)			
<ul style="list-style-type: none">Dedo gordo en valgo; bursitis de la MTFMúltiples etiologías: genética, pie plano, calzado estrecho, AR10:1 mujeres (calzado)	Hx: dolor, tumefacción (empeora con el calzado estrecho) EF: DP de 1.ª MTF, +/- disminución del BA del dedo gordo	RX: AP en bipedestación: medir: 1. Ángulo articular metatarsiano distal (normal <10°) 2. Ángulo intermetatarsiano (<9°) 3. Ángulo del hallux valgus (<15°)	1. Calzado ancho 2. Casos refractarios: procedimientos quirúrgicos correctores múltiples, basados en la deformidad y gravedad
DEDO EN MARTILLO (HAMMER TOE)			
<ul style="list-style-type: none">Deformidad del dedo en flexión de la IFPAsociado con traumatismo, <i>hallux valgus</i> (calzado)	Hx: dolor de dedos, empeora con el calzado EF: deformidad de los dedos, +/- callo	RX: AP/lateral en bipedestación: deformidad de la IFP	1. Almohadilla digital 2. Quirúrgico: resección o artrodesis de la IFP
DEDO EN MAZO (Mallet toe)			
<ul style="list-style-type: none">Deformidad en flexión de la IFD de dedos trifalángicosMás frecuente en 2.º dedo	Hx: dolor de dedos EF: deformidad digital, callo	RX: AP/ lateral en bipedestación: deformidad de la IFD	1. Modificación del calzado 2. Liberación del FLD
METATARSALGIA			
<ul style="list-style-type: none">Dolor en las cabezas de los MTEtiología: tendinitis flexora, rotura ligamentosa, callo (causa más frecuente)	Hx/EF: dolor bajo la cabeza de los MT (2.º MT más frecuente)	RX: AP/ lateral en bipedestación: buscar un MT corto	1. Almohadilla metatarsiana 2. Modificación del calzado 3. Tratar la causa subyacente
NEUROMA DE MORTON (interdigital)			
<ul style="list-style-type: none">Fibrosis de un nervio irritadoNormalmente entre el 2.º y 3.º MT5:1 mujeres (calzado)	Hx: dolor plantar a nivel del MT EF: dolor a la palpación del MT, +/- entumecimiento, prueba de compresión +	RX: AP/lateral en bipedestación: suele ser normal; no resulta útil	1. Calzado ancho, infiltraciones de corticosteroides, almohadilla MT 2. Resección nerviosa
FASCITIS PLANTAR			
<ul style="list-style-type: none">Inflamación y/o degeneración de la fascia. Mujeres 2:1Asociada con obesidad	Hx: dolor matutino, mejora con la deambulación o estiramiento EF: región medial de la cara plantar del calcáneo hipersensible a la palpación	RX: lateral en bipedestación: +/- espolón óseo en el calcáneo	1. Estiramientos , AINE 2. Talonera 3. Férula (nocturna) , yeso
VERRUGAS PLANTARES			
<ul style="list-style-type: none">HiperqueratosisDebido a virus del papiloma	Hx/EF: lesiones plantares dolorosas	Si es necesario, realizar histología	1. Almohadilla frente a hielo o desbridar la lesión
BURSITIS RETROCALCÁNEA: ENFERMEDAD DE HAGLUND			
<ul style="list-style-type: none">Bursitis a nivel de la inserción del tendón de Aquiles en el calcáneo	Hx: dolor en cara posterior del talón EF: nódulo rojo y doloroso a la palpación	RX: lateral en bipedestación: espolón en la inserción del tendón de Aquiles	1. AINE, talonera, yeso 2. Resección ósea/bolsa (raramente)
ARTRITIS REUMATOIDE			
<ul style="list-style-type: none">Sinovitis que destruye las articulacionesMás frecuente en mujeresAsociado con HLA-DR4	Hx: antepié: dolor, tumefacción EF: enrojecimiento, hipersensibilidad, +/- deformidad (p. ej., <i>hallux valgus</i>)	RX: AP/lateral: articulación destruida Laboratorio: FR positivo, ANA	1. Tratamiento médico 2. Calzado a medida 3. Artrodesis o resección
ESPONDILOARTROPATÍA SERONEGATIVA: REITER, EA, PSORIASIS			
<ul style="list-style-type: none">Múltiples manifestacionesAsociado con HLA-B27Más frecuente en hombres	Hx/EF: jóvenes, antepié/dedos del pie/talón: enrojecidos, inflamados e hipersensibles	RX: AP/lateral: calcificación +/- Laboratorio: FR negativo, ANA	1. Tratamiento conservador 2. Consultar con el reumatólogo

Bunio/hallux valgus



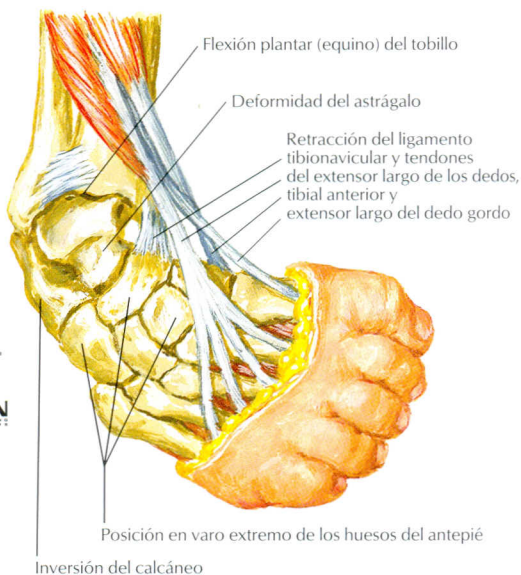
DESCRIPCIÓN	ANAMNESIS/ EXPLORACIÓN FÍSICA	PRUEBAS COMPLEMENTARIAS/ HALLAZGOS	TRATAMIENTO
JUANETE DE SASTRE: BUNIONETE			
<ul style="list-style-type: none"> La cabeza del 5.º MT sobresale lateralmente Exostosis ósea/bursitis 	Hx/EF: dificultad para calzarse, prominencia lateral del 5.º MT dolorosa	RX: AP en bipedestación: 5.º dedo con desviación medial; cabeza del MT con desviación latera	<ol style="list-style-type: none"> Almohadilla Osteotomía metatarsiana
SÍNDROME DEL TÚNEL TARSIANO			
<ul style="list-style-type: none"> Nervio tibial atrapado por el retináculo flexor y/o tendones 	Hx/EF: dolor, hormigueo, quemazón en la planta del pie (empeora con la actividad)	RX: AP/lateral: normal EMG: confirma el diagnóstico RM: para hallar lesiones por masa	<ol style="list-style-type: none"> AINE, infiltración de corticosteroides Liberación quirúrgica (también los nervios plantares)

Metatarsus adductus



Visión de la planta del pie y radiografía que muestra la desviación medial del antepié

F. Netter M.D.
© IGM

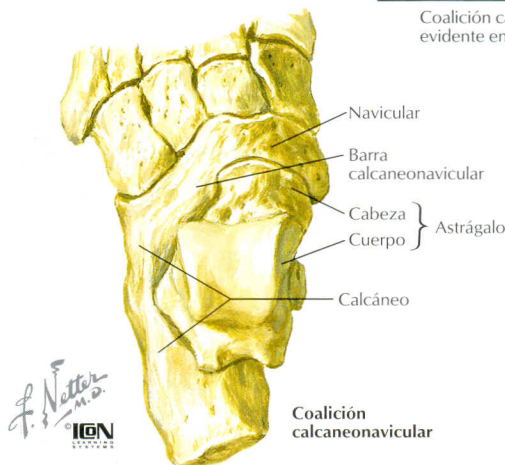


Cambios patológicos en el pie equinovaro congénito

DESCRIPCIÓN	EVALUACIÓN	TRATAMIENTO/COMPLICACIONES
METATARSUS ADDUCTUS		
<ul style="list-style-type: none"> • Aducción del antepié • Primera patología pediátrica del pie • Asociada con la posición intrauterina u otras patologías 	<p>Hx: los padres notan la deformidad</p> <p>EF: deformidad «en riñón», ángulo muslo/pie negativo, marcha con los dedos hacia dentro +</p>	<ol style="list-style-type: none"> 1. La mayoría se resuelven espontáneamente con el desarrollo normal 2. Yeso seriado (<i>serial casting</i>) 3. Raramente, osteotomías del mediopié
PIE EQUINOVARO		
<ul style="list-style-type: none"> • Congénito: niños, 50% bilateral • Factores genéticos y ambientales • Idiopático o asociado con otras patologías (neuromuscular, etc.) • 4 deformidades con contracturas de partes blandas 	<p>Hx: deformidad en el nacimiento</p> <p>EF: pie rígido con:</p> <ol style="list-style-type: none"> 1. Tobillo en flexión plantar (equino) 2. Retropié invertido (varo) 3. Antepié en aducción 4. Mediopié cavo <p>RX: si el diagnóstico no está claro</p>	<ol style="list-style-type: none"> 1. Manipulación y yeso 2-4 meses 2. Corrección quirúrgica (liberación, alargamiento, etc.) con yeso postoperatorio
COMPLICACIÓN: recidiva de la deformidad		



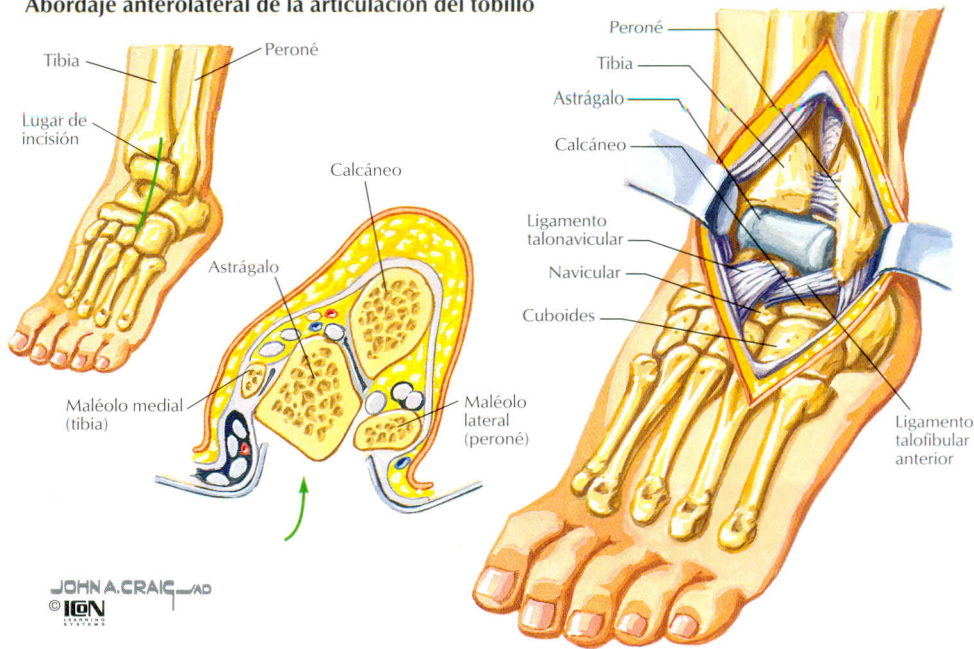
Coalición calcaneonavicular ósea sólida, evidente en una radiografía oblicua



F. Netter M.D.
ICON

DESCRIPCIÓN	EVALUACIÓN	TRATAMIENTO/COMPLICACIONES
PIE PLANO CONGÉNITO		
<ul style="list-style-type: none"> Normal en niños (mayores de 6 años) Sin arco longitudinal Tobillo evertido (valgo) Clasificación: <ol style="list-style-type: none"> Rígido (coalición tarsiana/astrágalo vertical) Flexible (variante de la normalidad) 	<p>Hx: normalmente adolescentes, +/- dolor de pie</p> <p>EF: rígido: siempre plano</p> <p>Flexible: sólo plano en carga</p> <p>RX: AP/lateral: puede observarse coalición o astrágalo vertical en el pie rígido</p>	<p>Flexible:</p> <ol style="list-style-type: none"> Asintomático, sin tratamiento Sintomático, soporte del arco, estiramientos <p>Rígido: tratar el problema subyacente (v. coalición tarsiana)</p>
PIE CAVO		
<ul style="list-style-type: none"> Arco mayor debido a una alteración del balance muscular en un pie inmaduro (TA y peroneo largo) Tobillo flexionado: provoca dolor Debe descartarse patología neuromuscular (p. ej., Charcot-Marie-Tooth) 	<p>Hx: 8-10 años, dolor en el tobillo</p> <p>EF: marcha con los dedos, tendón de Aquiles corto-disminución de la flexión dorsal de tobillo</p> <p>RX: AP/lateral tobillo y pie</p> <p>EMG/ECN: prueba para la debilidad</p> <p>RM: columna: descartar patología neuromuscular</p>	<ol style="list-style-type: none"> Correctores/inserciones/ortesis según necesidad (combinados) Varias osteotomías Transferencia y balance tendinoso
COALICIÓN TARSAL		
<ul style="list-style-type: none"> Conexión (fibrosa, cartilaginosa y después ósea) de dos huesos del tarso La más frecuente: calcáneo/navicular (13-16 años) La segunda más frecuente: astrágalo/calcáneo (9-13 años) Provoca pie plano 	<p>Hx: dolor en el pie durante la adolescencia</p> <p>EF: rigidez, disminución del BA (subastragalina), pie plano (espasmo de peroneos)</p> <p>RX: AP/lateral/oblicua: pueden observarse las coaliciones</p> <p>TC: a menudo es necesaria para confirmar la EF</p>	<ol style="list-style-type: none"> Moderado: observación Yeso Resección de la coalición Triple artrodesis

Abordaje anterolateral de la articulación del tobillo



INDICACIONES	PLANO INTERNERVIOSO	RIESGOS	COMENTARIO
TOBILLO: ABORDAJE ANTEROLATERAL			
1. Fusiones/triple artrodesis 2. Procedimientos en los huesos del tarso 3. Acceso a las articulaciones intertarsianas	1. Peroneos (peroneo superficial) 2. ELD (peroneo profundo)	1. Nervio peroneo profundo 2. Arteria tibial anterior	1. Se puede acceder al retropié 2. Preservar el paquete adiposo (seno del tarso) contribuye a la curación

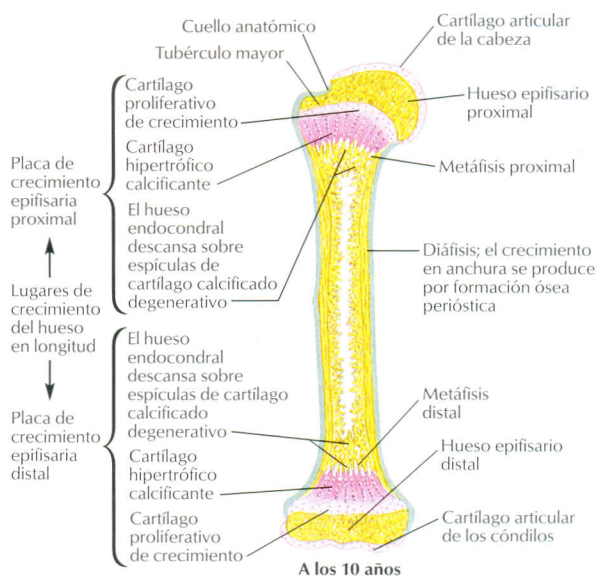
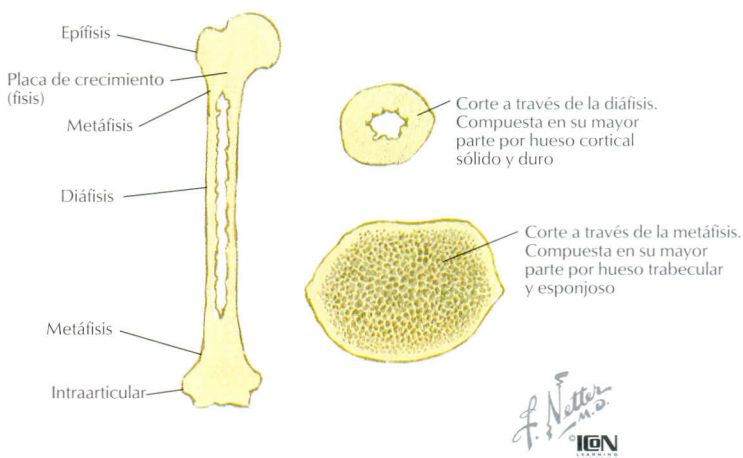
10

CAPÍTULO

FUNDAMENTOS

CONTENIDOS

Huesos	282
Nervios	296
Músculos	298
Microbiología	302
Técnicas de imagen	303



ESTRUCTURA

COMENTARIO

Función ósea

Inserción de músculos
Protección de órganos
Reservorio corporal de minerales
Lugar de hematopoyesis

Morfología ósea

Huesos largos

Formados por osificación encondral, **excepto la clavícula**
Tienen una fisis en cada extremo (excepto en mano y pie)
4 partes: epífisis, fisis, metáfisis, diáfisis
La longitud deriva del crecimiento fisario

Huesos planos

Formados por osificación intramembranosa, (p. ej., pelvis)

Anatomía fisaria

Dividida en múltiples zonas

Zona de reserva

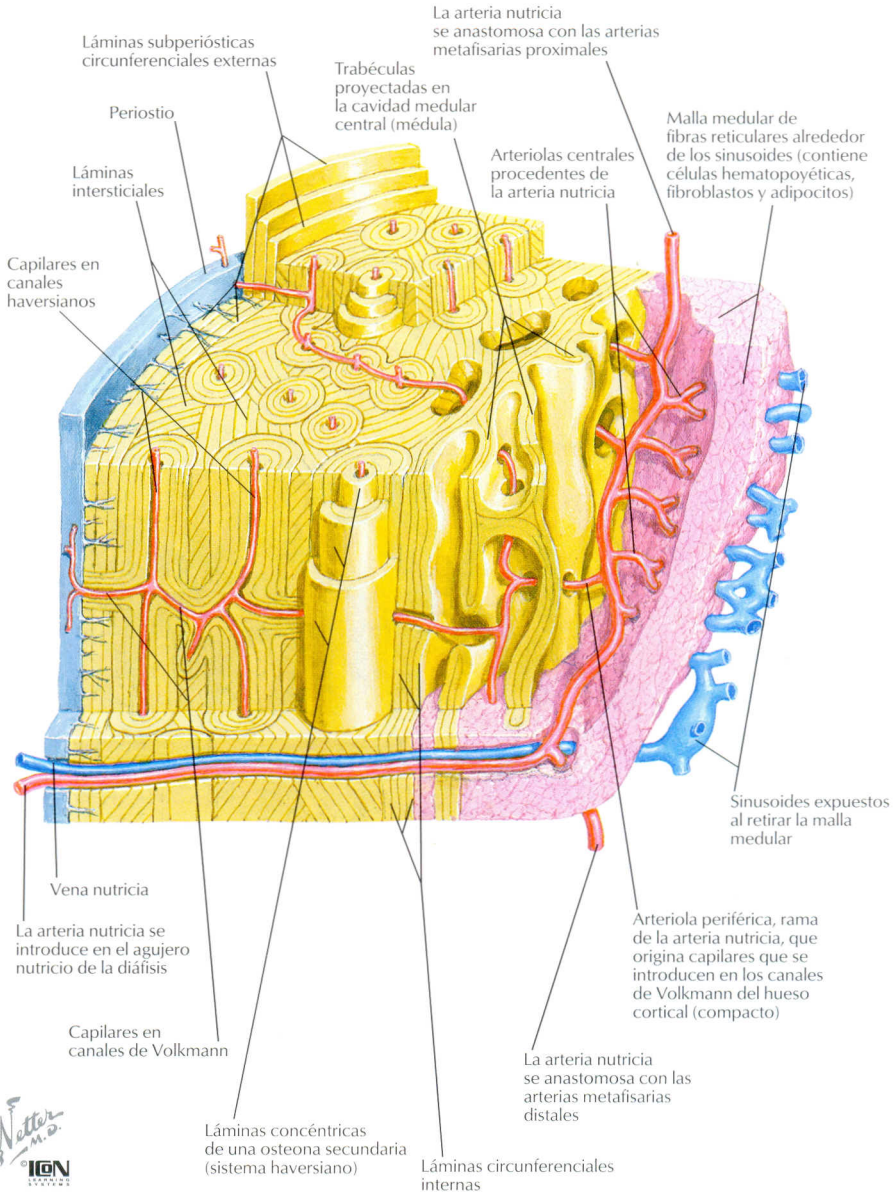
Producción y almacenamiento de matriz

Zona proliferativa

Proliferación celular, producción de matriz

Zona hipertrófica

Dividida en 3 zonas, calcificación de la matriz



F. Netter M.D.
 ICG

ESTRUCTURA

COMENTARIO

Tipos óseos microscópicos

Inmaduro

Hueso inmaduro; normal en niños, también hallado en callos y tumores

Lamelar

Hueso maduro; bien organizado, normal (tanto cortical como esponjoso) después de los 4 años

Tipos óseos estructurales

Cortical (compacto)

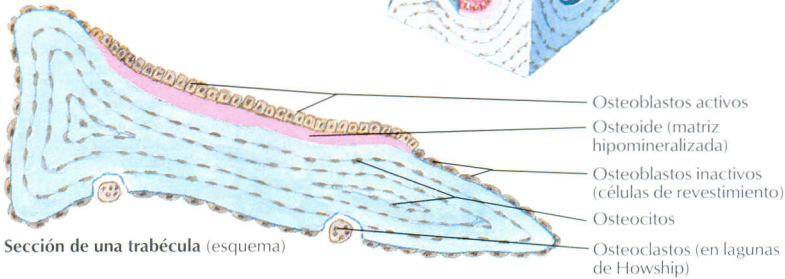
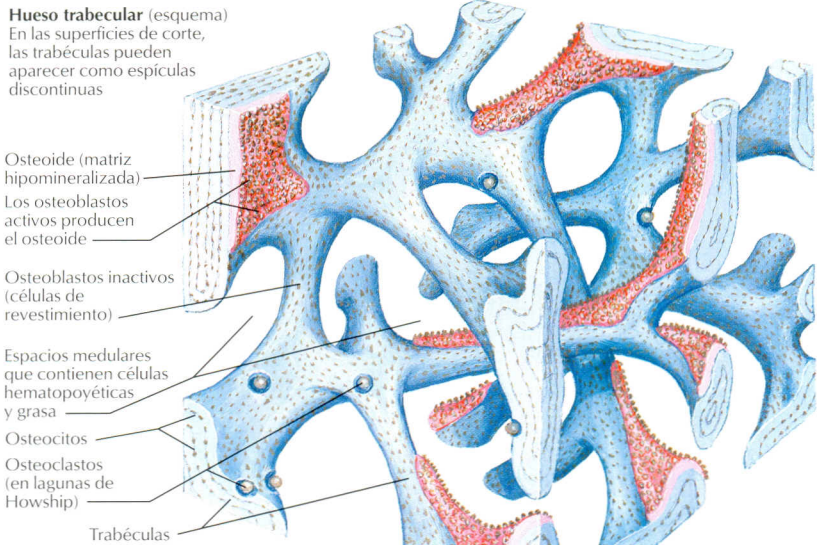
80% del hueso, altamente organizado (osteonas), vascularización en el canal haversiano. El canal de Volkmann contiene vasos que conectan con las osteonas

Esponjoso (trabecular)

20% del hueso, estructura tramada, elevada remodelación ósea

Estructura del hueso esponjoso

Hueso trabecular (esquema)
En las superficies de corte,
las trabéculas pueden
aparecer como espículas
discontinuas



F. Netter M.D.
ICON

Cuatro mecanismos de regulación ósea



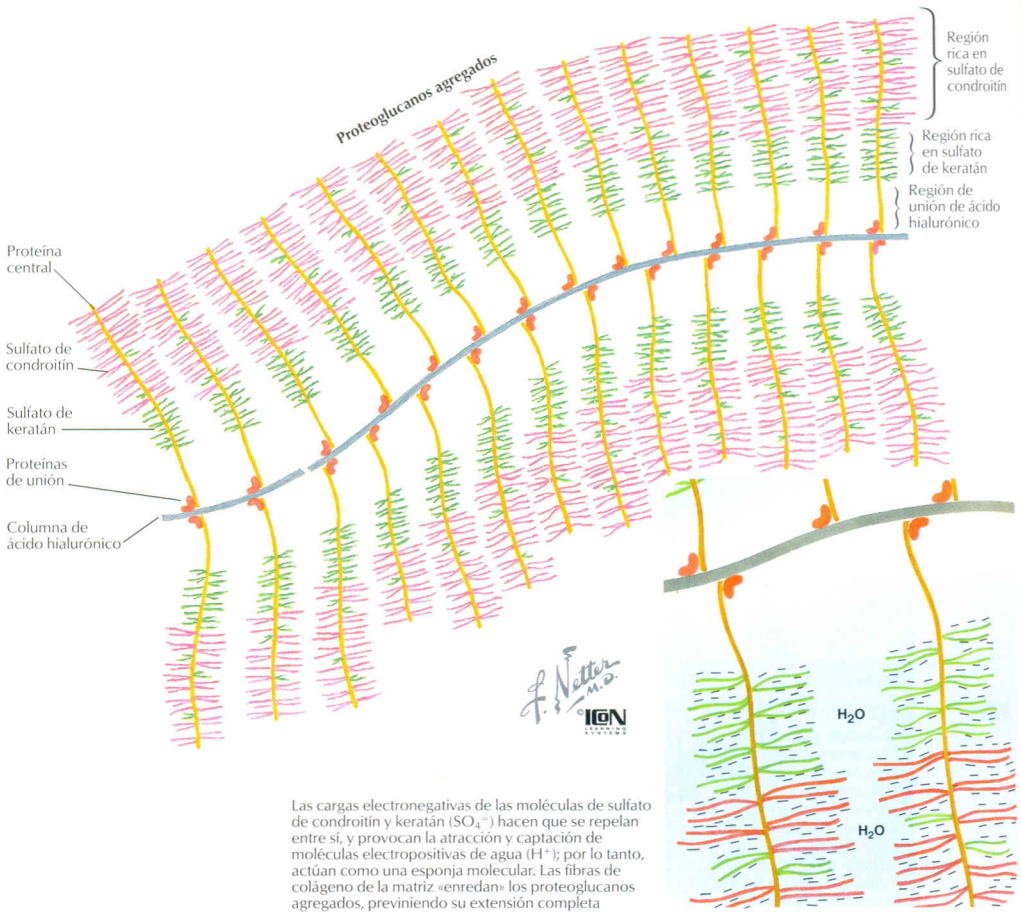
ESTRUCTURA

COMENTARIO

Tipos celulares

Osteoblastos
 Osteoclastos
 Osteocitos

«Fabrican» hueso (secretan matriz, colágeno, GAG, estimulados por HPT)
 Reabsorben hueso (células gigantes; el hueso mineralizado sólo se encuentra en las lagunas de Howship)
 Mantienen el hueso (90% de las células, inhibidas por HPT)



ESTRUCTURA

COMENTARIO

Composición ósea

Matriz orgánica (40%)
Colágeno (tipo I)

Proteoglicanos
Proteínas no colágenas
Inorgánica (60%)
Hidroxiapatita cálcica

Tipos de osificación

Encondral
Intramembranosa

Producida por los osteoblastos; se transforman en osteocitos cuando son atrapados por la matriz
90% de la matriz; proporciona fuerza. La mineralización se produce en los espacios de los extremos de cada fibra de colágeno

Estructura de glucosaminoglicanos (GAG)

La osteonectina es la más abundante

Parte mineralizada

Aporta fuerza al hueso; se encuentra en los espacios de colágeno

El hueso reemplaza un patrón de cartilago en los huesos largos

Patrón mesenquimático en los huesos planos y la clavícula

Clasificación de las fracturas abiertas de Gustilo y Anderson



Tipo I. Herida < 1 cm. Sin pruebas de contaminación profunda



Tipo II. Herida > 1 cm. Sin lesión extensa de partes blandas



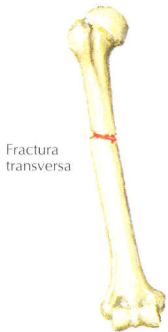
Tipo IIIA. Herida grande. Buena cobertura de partes blandas



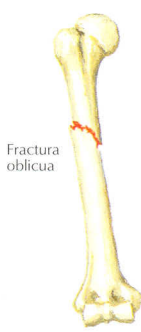
Tipo IIIB. Herida grande. Fragmentos óseos expuestos, afectación extensa del perostio



Tipo IIIC. Herida grande con afectación vascular



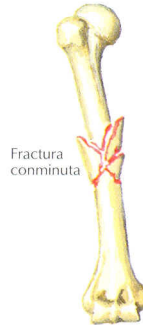
Fractura transversa



Fractura oblicua

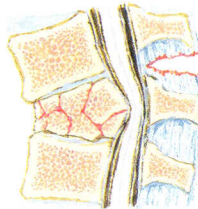


Fractura espiroidea



Fractura cominuta

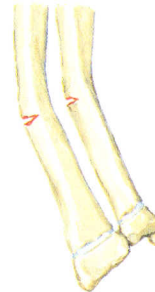
F. Netter M.D.
ION



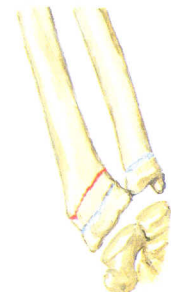
Fractura por compresión



Fractura patológica (tumor o patología ósea)



Fractura «en tallo verde»



Fractura en rodete

Fractura por avulsión (tuberosidad mayor del húmero avulsionada por el músculo supraespinoso)

ESTRUCTURA

COMENTARIO

Tipos de fractura

Abierta frente a cerrada
Dirección
Desplazamiento
Otros

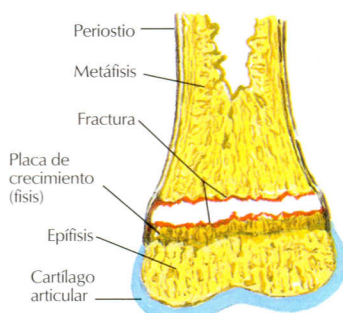
Son frecuentes el dolor puntual a la palpación y la tumefacción

La abierta presenta discontinuidad cutánea. Clasificación de Gustilo (grados I, II, III A, B, C)

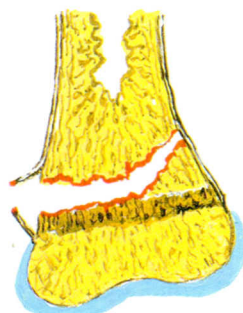
Transversa, oblicua, espiroidea, cominuta
Desplazada o no desplazada

- Salter-Harris: **fractura que afecta a una fisis abierta en adultos o a la placa de crecimiento en niños**
- Tallo verde: sólo afectación de una cortical
- Rodete: una cortical impactada, pero intacta
- Patológica: producida por tumor/patología ósea

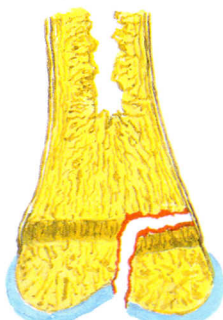
Lesión de la placa de crecimiento (clasificación de Salter-Harris, modificada por Rang)



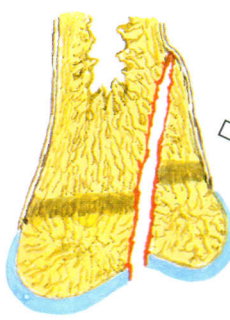
Tipo I. Separación completa de la epífisis y diáfisis a través del cartílago calcificado (zona de crecimiento) de la placa de crecimiento. Sin afectación ósea, el periostio puede permanecer intacto. Más frecuente en recién nacidos y niños jóvenes



Tipo II. El más frecuente. La línea de separación se extiende parcialmente a través de la capa profunda de la placa de crecimiento y la metáfisis, dejando una porción triangular de metáfisis unida al fragmento epifisario



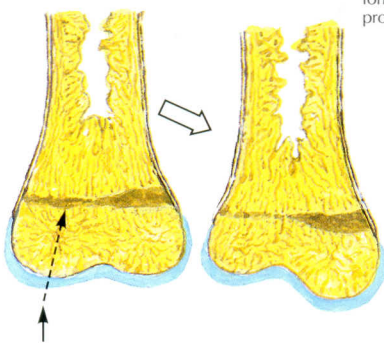
Tipo III. Raro. Fractura intraarticular a través de la epífisis, que cruza la zona profunda de la placa de crecimiento hasta la periferia. A menudo es necesaria reducción abierta y fijación



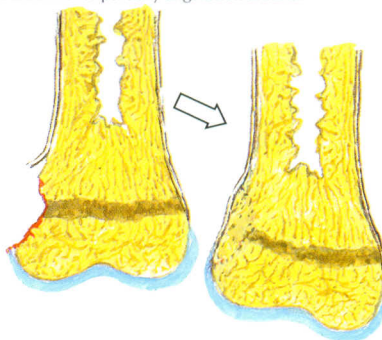
Tipo IV. La línea de fractura se extiende desde la superficie articular hacia la epífisis, placa de crecimiento y metáfisis. Si el segmento fracturado no es realineado perfectamente mediante reducción abierta, puede formarse un puente óseo a través de la placa de crecimiento, lo que produce crecimiento parcial y angulación articular



F. Netter M.D.
ICM

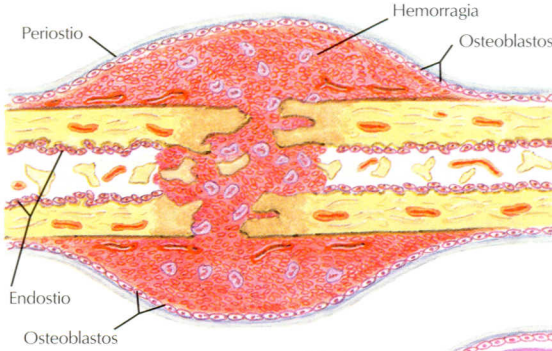


Tipo V. Fuerza de compresión intensa que se transmite a través de la epífisis a la placa de crecimiento mediante fuerza de abducción, aducción o carga axial. Un desplazamiento mínimo o ausente hace difícil el diagnóstico radiológico; no obstante, la placa de crecimiento puede lesionarse y producir crecimiento parcial, acortamiento y deformidad de angulación



Tipo VI. Una parte de la placa de crecimiento es eliminada. La superficie afectada se regenera formando un puente óseo a través de la placa de crecimiento, lo cual limita el crecimiento en el lado lesionado y produce una deformidad de angulación

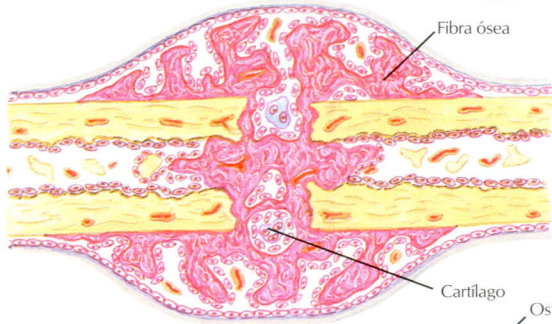
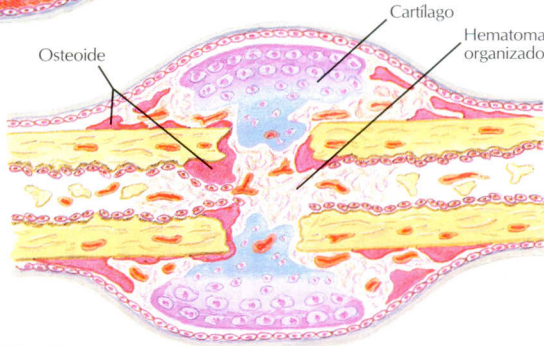
Curación de una fractura



Estadio de inflamación.

Inmediatamente después del impacto se forma un hematoma como consecuencia de la afectación de los vasos intraóseos, periósticos y los que envuelven la zona. En los bordes de la fractura se observa necrosis ósea. Los leucocitos, macrófagos, mastocitos y fibroblastos infiltran el coágulo y empiezan a eliminar el hueso necrosado. El mecanismo exacto de inducción para el proceso de curación se desconoce.

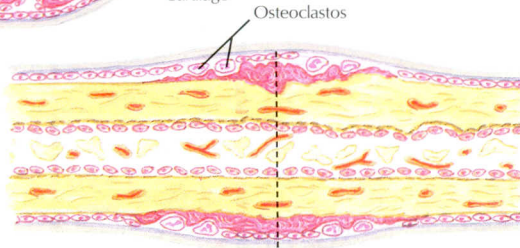
Estadio de formación del calo blando. El coágulo se organiza por fibras de colágeno y elementos vasculares. Formación de neovasos, pero PO_2 baja y pH ácido. Proliferación de células osteoprogenitoras, preosteocitos y osteoblastos de la capa celular del periostio y endostio. En el coágulo también aparecen osteoblastos y condroblastos de origen mesenquimático. Se forma un calo blando compuesto por osteoides, cartilago y colágeno.



Estadio de formación del calo duro.

El osteoide y el cartilago del calo blando externo, perióstico y medular empiezan a mineralizarse hasta que se convierten en fibras óseas (calo duro).

Estadio de remodelación ósea. La actividad osteoblástica y osteoclástica convierte las fibras óseas en hueso lamelar, con auténticos sistemas haversianos. El contorno óseo normal es restablecido; incluso la angulación puede corregirse parcial o completamente. La PO_2 vuelve a la normalidad.



F. Netter M.D.
D. Mascaro
© ICGN

ESTRUCTURA

COMENTARIO

Estadios de curación ósea

Inflamación

Reparación

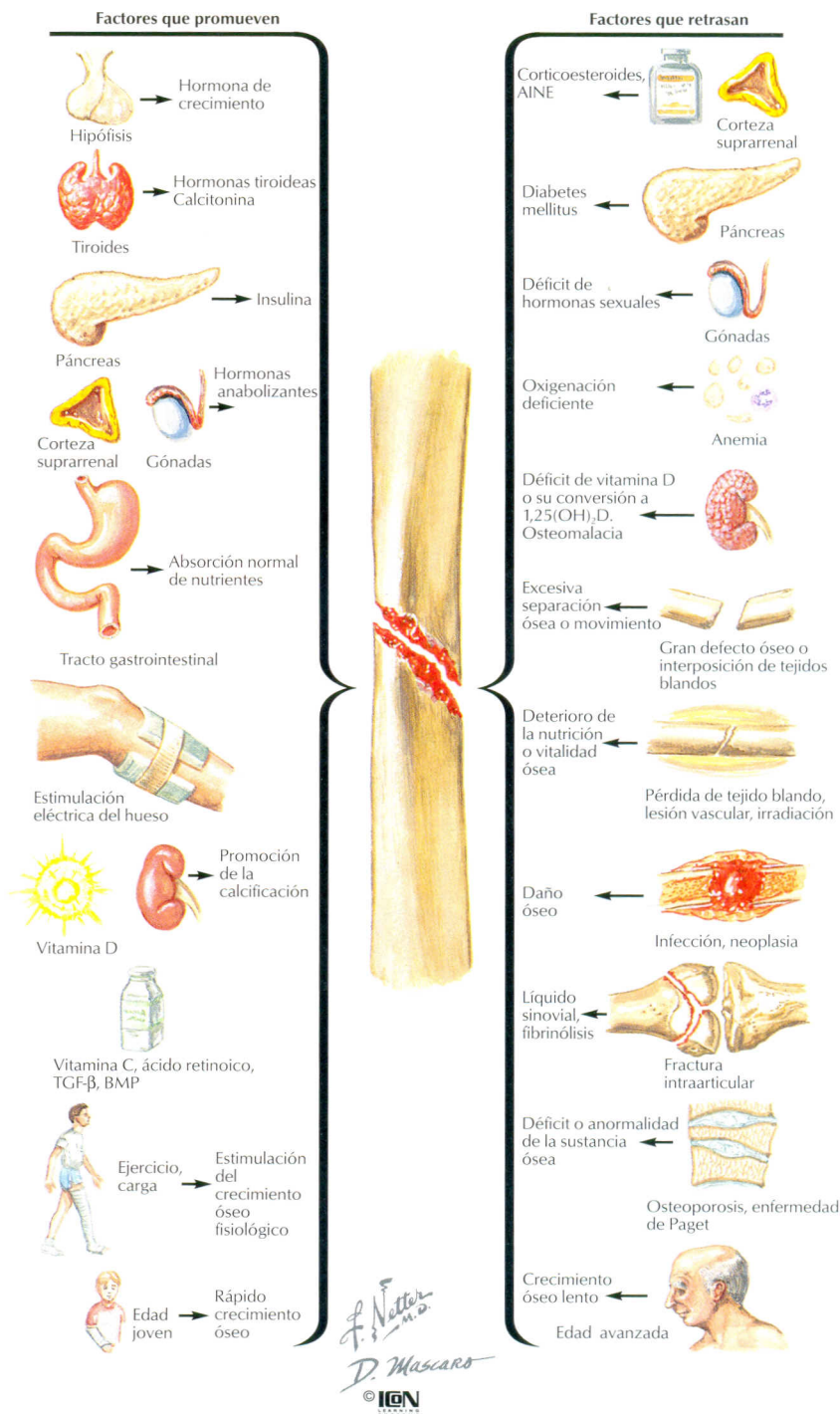
Remodelación

Células hematopoyéticas, fibroblastos, células osteoprogenitoras

Formación del calo (duro o blando), formación de hueso inmaduro (encondral)

El hueso lamelar reemplaza al inmaduro; el hueso adopta su forma normal y se produce la repoblación de la médula

Factores que promueven o retrasan la curación ósea



ESTRUCTURA

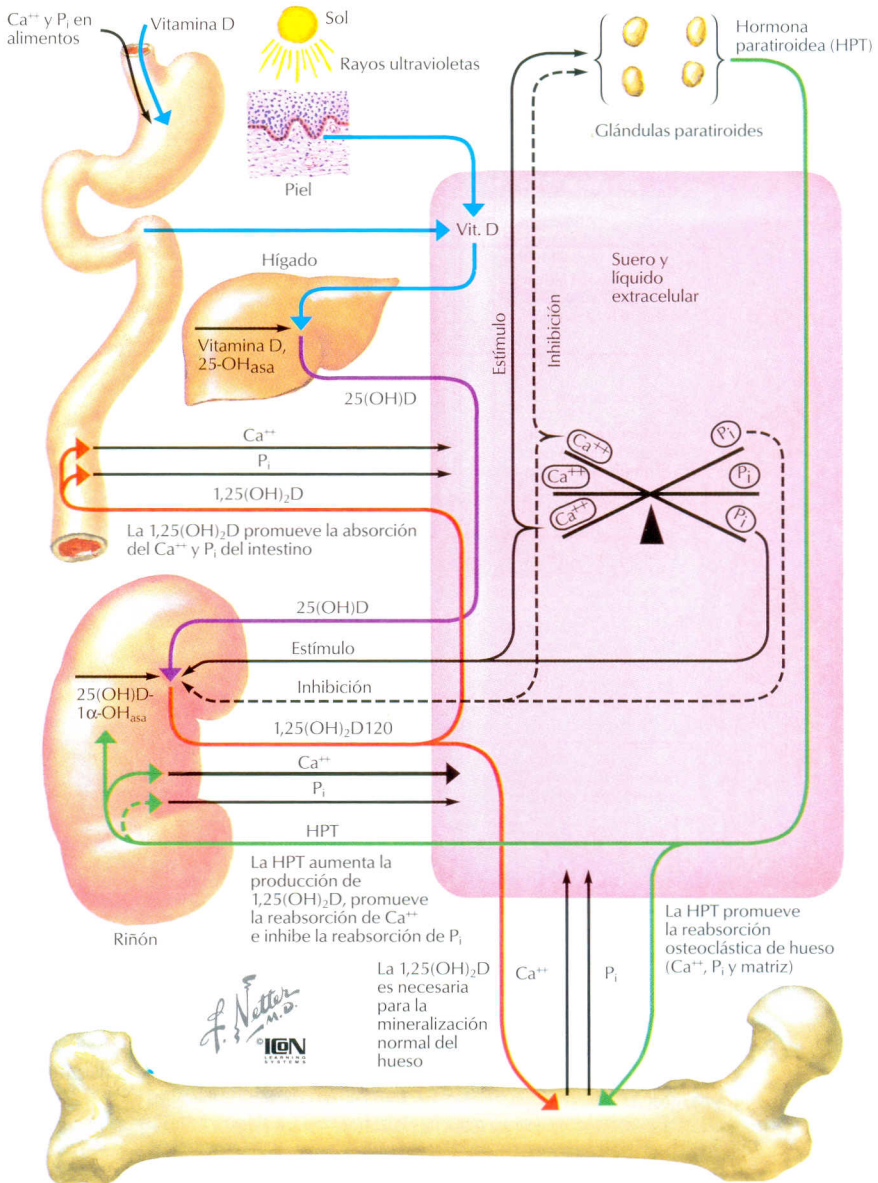
COMENTARIO

Factores de curación ósea

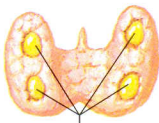




Minerales

Calcio, fósforo

Metabolismo normal del calcio y fósforo



Regulación del metabolismo del calcio y fósforo

		Hormona paratiroidea (HPT) (péptido)	1,25(OH) ₂ D (esteroide)	Calcitonina (péptido)
Hormona		Desde las células principales de las glándulas paratiroides		Desde las células parafoliculares de la glándula tiroides
Factores estimuladores de la producción	Ca ⁺⁺ en suero disminuido	HPT elevada. Ca ⁺⁺ en suero disminuido P _i en suero disminuido	Ca ⁺⁺ en suero elevado	
Factores inhibidores de la producción	Ca ⁺⁺ en suero elevado 1,25(OH) ₂ D elevada	HPT disminuida Ca ⁺⁺ en suero elevado P _i en suero elevado	Ca ⁺⁺ en suero disminuido	
Órganos diana de la acción hormonal	 Intestino	Sin efecto directo Actúa indirectamente sobre el intestino por la estimulación de la producción de 1,25(OH) ₂ D en el riñón	Estimula intensamente la absorción intestinal de Ca ⁺⁺ y P _i	?
	 Riñón	Estimula la 25(OH)D-1α-OH ₂ asa en la mitocondria de las células tubulares proximales para convertir la 25(OH)D en 1,25(OH) ₂ D. Aumenta la reabsorción fraccional del Ca ⁺⁺ filtrado. Promueve la excreción de P _i en orina	?	?
	 Hueso	Estimula la reabsorción osteoclástica de hueso Estimula el reclutamiento de preosteoclastos	Estimula intensamente la reabsorción osteoclástica de hueso	Inhibe la reabsorción osteoclástica de hueso ¿Papel en la fisiología humana normal?
Efecto neto sobre las concentraciones de calcio y fósforo en el suero y el líquido extracelular	Calcio en suero aumentado Fósforo en suero disminuido	Calcio en suero aumentado Fósforo en suero aumentado	Calcio en suero disminuido (transitorio)	

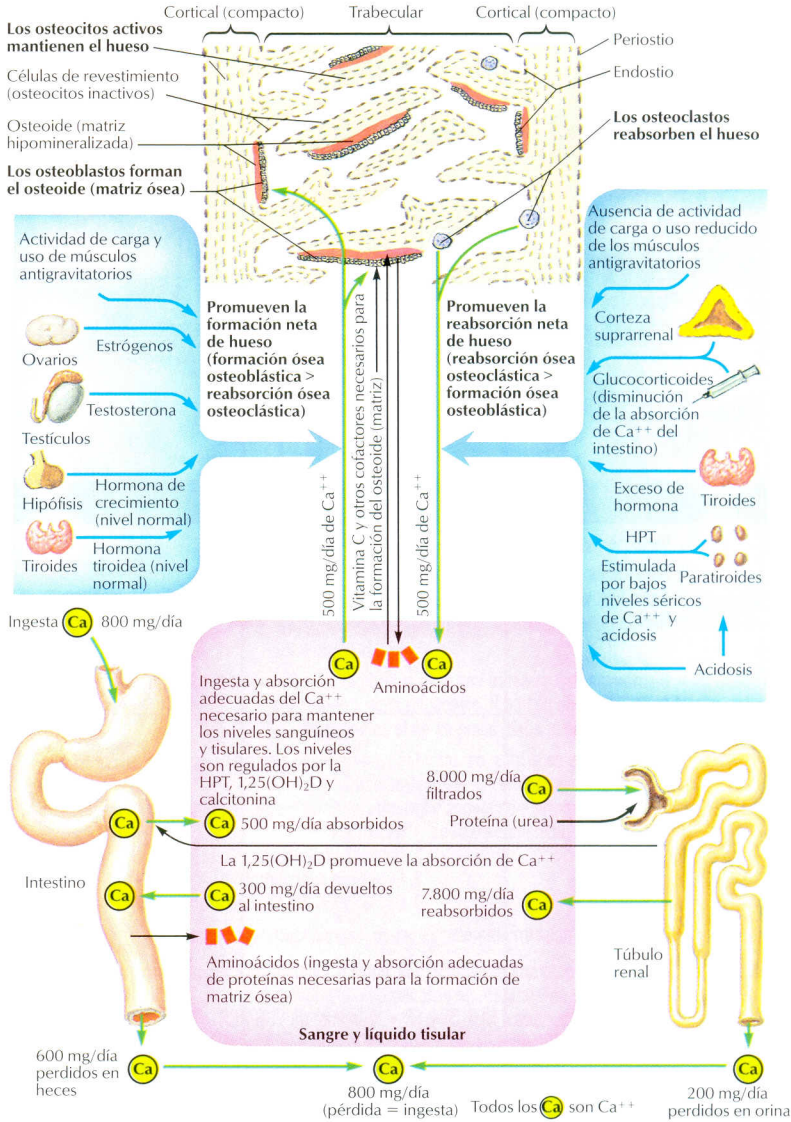
F. Netter M.D.
ICON

ESTRUCTURA

COMENTARIO

Hormonas principales	Hormona paratiroidea (HPT), vitamina D, calcitonina
Otras hormonas	
Estrógenos	Inhiben la reabsorción ósea
Corticoesteroides	Aumentan la pérdida ósea
Hormona tiroidea	Los niveles normales promueven la formación ósea, los niveles aumentados provocan la reabsorción
Hormona del crecimiento	Promueve la formación ósea

Dinámica de la homeostasia ósea



ESTRUCTURA

COMENTARIO

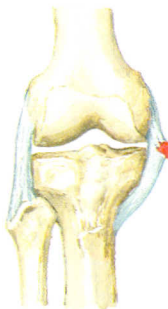
Alteraciones metabólicas

Hipercalcemia	Síntomas: estreñimiento, náuseas, dolor abdominal, confusión, estupor, coma
Hiperparatiroidismo primario	Calcio en orina aumentado, fósforo en suero disminuido, provoca «tumores pardos»
Hiperparatiroidismo secundario	Malignización, síndromes de neoplasias endocrinas múltiples (MEN)
Hipocalcemia	Síntomas: hiperreflexia, tetania, signo de Chvostek/Trousseau +, papiledema, síndrome del QT prolongado
Hipoparatiroidismo primario	Pérdida de cabello, vitiligo
Osteodistrofia renal	Fallo renal crónico, columna «en camiseta de rugby»
Raquitismo/osteomalacia	Mineralización disminuida/ausente, déficit de vitamina D
Osteoporosis	Disminución de la masa ósea, ancianos
Escorbuto	Déficit de vitamina C, que produce un colágeno defectuoso
Osteopetrosis	Densidad ósea aumentada debido a la reducida actividad osteoclástica
Enfermedad de Paget	La actividad osteoblástica y osteoclástica simultánea produce huesos densos pero más frágiles

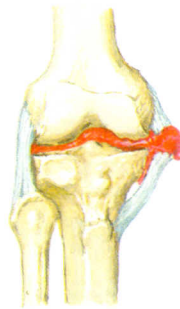
Grados de esguince



Grado I. Elongación del ligamento con mínima rotura de fibras



Grado II. Rotura de más del 50% de fibras del ligamento; pequeño hematoma. Puede aparecer hemartrosis



Grado III. Rotura completa del ligamento y separación de los extremos, hematoma y hemartrosis

Netter
M.D.
IGN

ESTRUCTURA

COMENTARIO

Cartilago

Hialino
Fibrocartilago
Elástico

Varios tipos:

Superficies articulares, placas fisarias
Anillo fibroso, meniscos, sínfisis del pubis
Nariz, orejas

Cartilago articular

Función
Componentes
Contenido acuoso

Distribuye la carga sobre una gran superficie, baja fricción de la superficie de movimiento
Agua, colágeno de **tipo II**, proteoglucanos, condrocitos
Disminuye con la edad, aumenta en la osteoartritis

Osteoartritis

Primera forma de artritis, defecto/daño del cartilago articular

Primaria o secundaria (p. ej., postraumática)

A menudo aparece en manos y articulaciones de carga; **en primer lugar, rodillas**

Hallazgos radiológicos clásicos: 1. Osteófitos
2. Quistes subcondrales
3. Esclerosis subcondral
4. Disminución del espacio articular

Artritis inflamatoria

Reumatoide, lupus eritematoso sistémico, espondiloartropatía, gota

Artritis reumatoide

Alteración inmunitaria que afecta a la sinovial. La sinovitis crónica y formación del **pannus** provocan la destrucción de la superficie articular

3:1 mujeres, asociada a **HLA-DR4**, FR +, aumento de VSG/PCR

Afectación de múltiples articulaciones: **MCF, desviación cubital**; **pies: el dedo en garra es frecuente**

Hallazgos: rigidez matutina, nódulos, radiología: 1. Erosiones óseas (periarticular)
2. Osteopenia
3. Tumefacción

Síndrome de Reiter

Tríada: uretritis, conjuntivitis, artritis asimétrica; HLA-B27 +

Gota

Los cristales de urato monosódico en la articulación inducen una respuesta inflamatoria

Hombres mayores; **preferentemente dedo gordo**; a menudo se observan niveles de ácido úrico elevados

Cristales: birrefringencia negativa

Ligamentos

Inserción ósea
del ligamento

Unen un hueso a otro

1. Ligamento a fibrocartilago
2. Fibrocartilago a fibrocartilago calcificado (**localización de la mayor parte de las lesiones**)
3. Fibrocartilago calcificado a hueso (fibras de Sharpey)

Esguince

Grado I

Rotura de un ligamento

Grado II

Alargamiento o pequeña rotura de un ligamento; sin laxitud

Grado III

Rotura incompleta, laxitud evidente (normalmente tumefacción)

Rotura completa, laxitud aumentada (tumefacción/hematoma)

Resistencia ligamentosa

Una diferencia de resistencia relativa entre ligamento y hueso predispone a la lesión

En niños

Más fuertes que las fisis. La lesión puede aparecer primero en la fisis




En adultos

El hueso es más fuerte que el ligamento. El ligamento se rompe primero

En ancianos

El ligamento es más fuerte que el hueso. El hueso se fractura primero

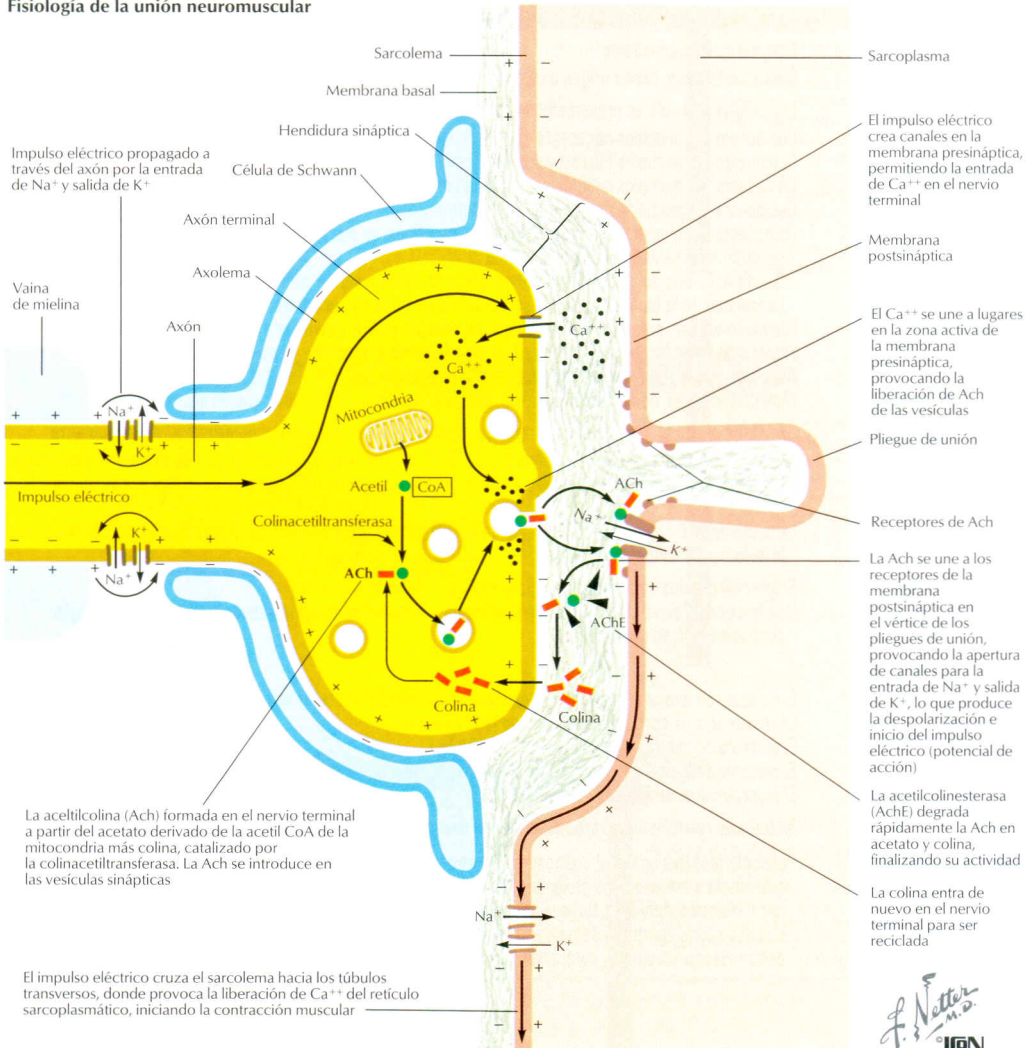
Comparación entre osteoporosis y osteomalacia

	Osteoporosis	Osteomalacia	
Definición	<div></div> <p>Normal</p>	<div></div> <p>Masa ósea disminuida, mineralización normal</p>	<div></div> <p>Masa ósea variable, mineralización disminuida</p>
Edad de aparición	<div></div> <p>Generalmente ancianos, posmenopausia</p>	<div></div> <p>Cualquier edad</p>	
Etiología	Alteración endocrina, edad, idiopática, inactividad, desuso, alcoholismo, déficit de calcio	Déficit de vitamina D, alteración en el ciclo de la vitamina D, síndrome hipofosfémico, acidosis tubular renal, hipofosfemia	
Sintomatología	<div></div> <p>Dolor en el lugar de fractura</p>	<div></div> <p>Dolor óseo generalizado</p>	
Signos	Dolor a la palpación en el lugar de fractura	Dolor a la palpación generalizado y en el lugar de fractura	
Hallazgos radiológicos	<div></div> <p>Predominio axial</p>	<div></div> <p>A menudo simétrico; pseudofracturas o fracturas completas</p>	
Hallazgos de laboratorio			
Ca ⁺⁺ sérico	Normal	Bajo o normal (alto en hipofosfemia)	
P _i sérico	Normal Ca ⁺⁺ × P _i > 30	Bajo o normal Ca ⁺⁺ × P _i > 30 si la albúmina es normal (alto en osteodistrofia renal)	
Fosfatasa alcalina	Normal	Elevado, excepto en hipofosfemia	
Ca ⁺⁺ en orina	Alto o normal	Normal o bajo (alto en hipofosfemia)	
Biopsia ósea	Título de tetraciclinas normal	Título de tetraciclinas anormal	

F. Netter M.D.
IGON

ESTRUCTURA	COMENTARIO
Anatomía celular	
Neurona	Cuerpo celular. Las dendritas reciben la señal, el axón la transmite
Células gliales	Las células de Schwann producen mielina para cubrir el axón
Microanatomía	
Fibras aferentes (axón)	El nervio periférico presenta tanto fibras aferentes como eferentes Transmiten señales sensitivas desde las terminaciones de los nervios periféricos al SNC Los cuerpos celulares se encuentran en el ganglio de la raíz posterior (GRP)
Fibras eferentes (axón)	Transmiten señales motoras desde el SNC, a través de las astas/raíces anteriores, hasta los músculos periféricos
Endoneuro	Cubre cada fibra individualmente (axón)
Fascículos	Grupo de fibras cubiertas por endoneuro
Perineuro	Cubre cada fascículo
Nervio periférico	Conjunto de fascículos, vasos sanguíneos y tejido conectivo
Epineuro	Cubre los grupos de fascículos (nervios)
Lesiones nerviosas	Basadas en la microanatomía
Neuroapraxia	Interrupción de la conducción; el axón permanece intacto; se resuelve en días o semanas
Axonotmesis	Interrupción axonal; el endoneuro intacto permite la regeneración axonal; la recuperación es lenta (crecimiento de 1 mm/día) pero normalmente es completa
Neurotmesis	Sección nerviosa; la recuperación requiere reparación quirúrgica
Poliomielitis	Destrucción viral de las células del asta anterior (motora) que provoca debilidad/parálisis, pero sensibilidad normal. Vacuna para la prevención
Conducción nerviosa	
Potencial de reposo	Facilitada por la cobertura axonal de mielina (las fibras mayores/recubiertas son más rápidas)
Potencial de acción	Mantenido por la diferencia de potencial entre los medio intra y extracelular
Nódulos de Ranvier	Cambio en la permeabilidad para los iones de Na ⁺ que despolarizan la célula Espacios entre las células de Schwann que facilitan la conducción
Estudios de conducción nerviosa (ECN)	Evalúan los nervios periféricos sensitivos y motores El estímulo es producido y seguido por electrodos de superficie. Se miden el tiempo de latencia (retraso) y la amplitud (fuerza de la señal) Son anormales velocidades de conducción < 50 m/s
Síndrome de Guillain-Barré	Debilidad/parálisis motora ascendente. Provocado por una desmielinización de los nervios periféricos tras enfermedad vírica . La mayoría son autolimitados
Charcot-Marie-Tooth	Patología autosómica dominante. Alteración desmielinizante que afecta a los nervios motores > sensitivos. Aparición a las 5-15 años; primero músculos peroneos, después músculos intrínsecos de las manos y pies. Puede producir pie cavo, pie con dedos en garra y atrofia de la musculatura intrínseca de la mano
Unión neuromuscular	
Neurotransmisor	Sinapsis entre el axón de la neurona motora y el músculo (placa motora) La acetilcolina (ACh) almacenada en el axón cruza la hendidura sináptica, se une a los receptores del retículo sarcoplasmático y produce la despolarización
Sustancias farmacológicas	Las sustancias no despolarizantes (p. ej., vecuronio) compiten por unirse a los receptores de ACh Las sustancias despolarizantes (p. ej., succinilcolina) se unen brevemente a los receptores de ACh Gas tóxico/nervioso: también se une a los receptores de forma competitiva; tratamiento con sustancias anticolinesterásicas (aumentan los niveles de ACh en la hendidura sináptica)
Miastenia grave	Disminución relativa de los receptores de acetilcolina debido a la unión competitiva con anticuerpos derivados del timo . Tratamiento con timectomía o sustancias antiacetilcolinesterasa (aumentan los niveles de acetilcolina en la hendidura sináptica)
Unidad motora	Comprende todos los músculos inervados por una única motoneurona

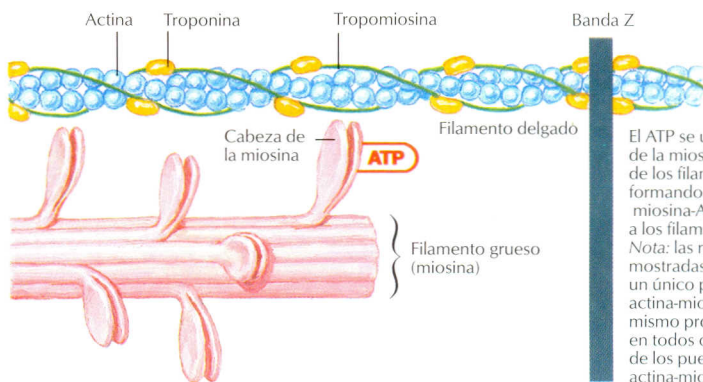
Fisiología de la unión neuromuscular



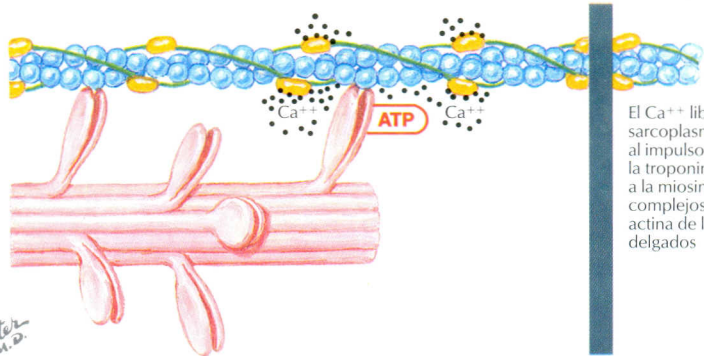
F. Netter M.D.
 IGM

ESTRUCTURA	COMENTARIO
Tipos de músculo	Liso, cardíaco, esquelético
Esquelético	Control voluntario, tienen origen e inserción
Anatomía	Las células musculares presentan dos tipos de filamentos contráctiles: actina, miosina
Músculo	Compuesto por múltiples haces o fascículos; cubierto por el epimisio
Haz/fascículo	Compuesto por múltiples fibras musculares (células); cubierto por el perimisio
Fibra (célula)	Compuesta por múltiples miofibrillas; cubierta por el endomisio
Miofibrilla	Compuesta por múltiples sarcómeros, terminoterminal; no hay tejido protector
Sarcómera	Compuesta por filamentos interdigitados gruesos y finos; se disponen en bandas
	La sarcómera se define de línea Z a línea Z
	Banda A: la longitud de los filamentos gruesos no cambia con la contracción
	La longitud de la banda I, zona H y sarcómera disminuye con la contracción
Miosina	Filamento grueso: presenta «cabezas» que se acoplan al ATP y se unen a los filamentos finos
Actina	Filamentos finos: fijados a las bandas Z; asociada con la troponina y tropomiosina
Troponina	Asociada con la actina y tropomiosina, se une a los iones Ca^{++}
Tropomiosina	Molécula extensa, descansa en el surco helicoidal de actina y bloquea la unión a la miosina
Contracción	Se inicia cuando la acetilcolina se une a los receptores en el retículo sarcoplasmático y lo despolariza
	La despolarización provoca una liberación de Ca^{++} , el cual se une a las moléculas de troponina. Esta unión hace que la tropomiosina se mueva y que la cabeza «cargada» (ATP ligado) de miosina pueda unirse a la actina
	La carga de ATP provoca la contracción de los filamentos (acortamiento de la sarcómera) y la liberación de la miosina del filamento de actina
Electromiograma (EMG)	Emplea electrodos intramusculares para evaluar la función muscular
	Una frecuencia aumentada, duración disminuida y amplitud disminuida indican miopatía; los hallazgos contrarios indican neuropatía
Tipos de contracción	
Isométrica	El músculo se opone al aumento de resistencia; la longitud muscular es constante
Isotónica	La resistencia es constante a lo largo de la contracción
Isocinética	El músculo se contrae a una velocidad constante
Excéntrica	El músculo se alarga cuando tracciona; puede provocar una lesión
Concéntrica	El músculo se acorta cuando tracciona
Fuerza	Se halla en relación con el área de corte del músculo
Distrofia muscular de Duchenne	Patología recesiva ligada al cromosoma X que afecta a niños varones. Proceso progresivo no inflamatorio que afecta a los músculos proximales (CPK aumentada). Normalidad desde el nacimiento hasta los 3-5 años; después, debilidad, torpeza al caminar, signo de Gower + (uso de las manos para levantarse del suelo) y pseudohipertrofia de pantorrillas; la mayoría necesitan silla de ruedas a los 15 años. Múltiples deformidades asociadas, contracturas, escoliosis, etc.

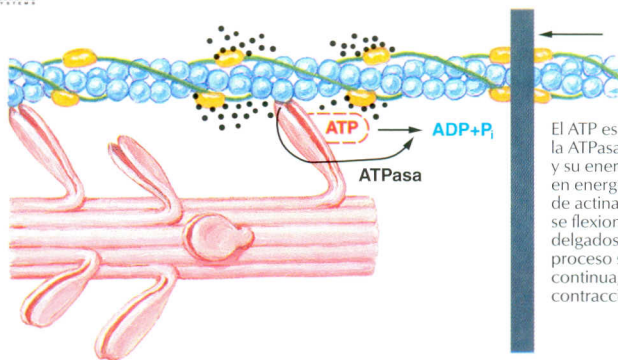
Mecánica bioquímica de la contracción muscular



El ATP se une a las cabezas de la miosina que protruyen de los filamentos gruesos, formando el intermediario miosina-ATP, sin unirse aún a los filamentos delgados. Nota: las reacciones mostradas ocurren en un único puente de actina-miosina, pero el mismo proceso se produce en todos o la mayoría de los puentes de actina-miosina



El Ca^{++} liberado del retículo sarcoplásmico en respuesta al impulso eléctrico se une a la troponina, lo que permite a la miosina cargada formar complejos activos con la actina de los filamentos delgados

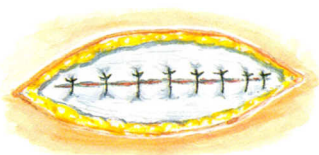


El ATP es dividido en ADP y P_i por la ATPasa de los complejos activos, y su energía química es transformada en energía mecánica. Los puentes de actina-miosina (cabeza de miosina) se flexionan, deslizando los filamentos delgados sobre los gruesos. Este proceso se repite de manera continua, provocando la contracción muscular

F. Netter
M.D.
ION

ESTRUCTURA	COMENTARIO
Compartimientos	Los músculos se localizan en espacios osteofibrosos/fasciales limitados
Síndrome compartimental	<p>Múltiples causas del aumento de la presión compartimental. Las presiones aumentadas y las perfusiones disminuidas provocan mionecrosis</p> <p>Cinco síntomas: dolor, parestesias, parálisis y palidez y ausencia de pulso (no son necesarios todos para el diagnóstico). Compartimientos firmes y tensos a la exploración</p> <p>Se requiere fasciotomía en las primeras 6 horas. Puede provocar una contractura</p>
Unión musculotendinosa	<p>Porción más débil de la inserción muscular en el hueso (las lesiones se producen aquí)</p> <p>La distensión muscular es una rotura parcial de esta unión</p>
Anatomía tendinosa	Inserta los músculos en los huesos
Fibrilla	Colágeno de tipo I agrupado en microfibrillas y después en subfibrillas, rodeadas por endotendón
Fascículo	Fibroblastos y fibrillas rodeados por peritendón
Tendón	Grupos de fascículos rodeados por epitendón
Tendón vascular	Un paratendón vascular rodea el tendón para vascularizarlo; carece de vaina
Tendón avascular	Estos tendones se hallan en vainas y presentan un vínculo para su vascularización
Unión tendón-hueso	<ol style="list-style-type: none"> 1. Tendón a fibrocartilago 2. Fibrocartilago a fibrocartilago calcificado (fibras de Sharpey) 3. Fibras de Sharpey a hueso

Etiología del síndrome compartimental

Compresión
del compartimiento


Cierre de un defecto fascial



Cicatrización y contracción de la piel, fascia o ambas, debido a quemaduras

Aumento del
fluido contenido en
el compartimiento


Fractura



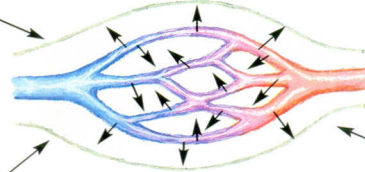
Hemorragia intracompartimental



Traumatismo arterial directo



Quemaduras



Fluido desde los capilares (edema) debido a un traumatismo óseo o de partes blandas, quemaduras, toxinas u obstrucción linfática o venosa



Tumefacción muscular debida a sobreesfuerzo



Infiltrado de fluido exógeno (aguja intravenosa deslizada fuera de la vena)

Compresión
externa


Inflado excesivo o prolongado de una inmovilización



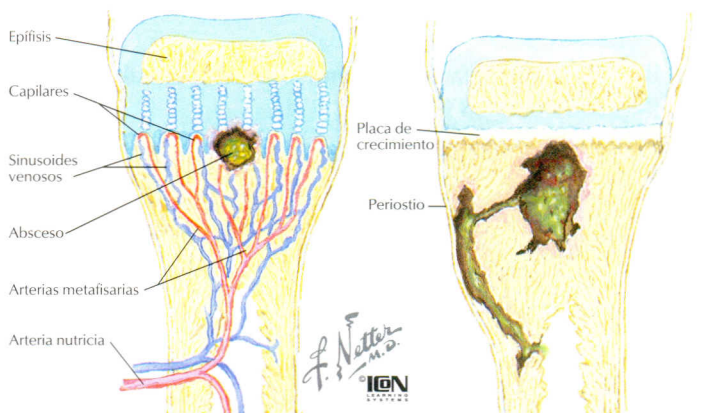
Yeso o ropa apretada



Compresión prolongada de una extremidad (coma alcohólico o por abuso de drogas, metabólico o traumático)

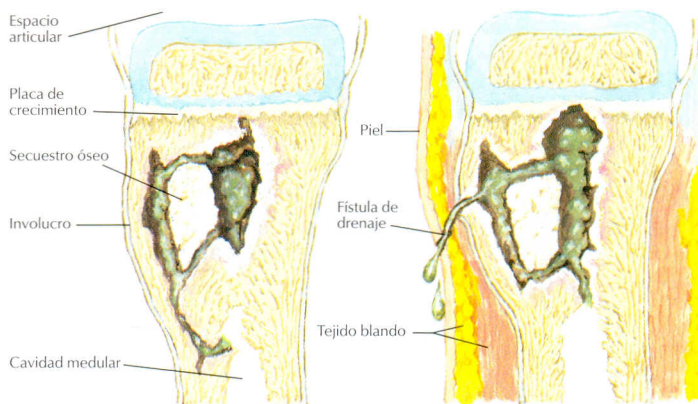
F. Netter
M.D.
ICON

Patogénesis de la osteomielitis hematogena



Las ramas terminales de las arterias metafisarias forman bucles en la placa de crecimiento y entran en sinusoides aferentes venosos irregulares. El flujo sanguíneo se enlentece y es turbulento, lo cual predispone a la sedimentación bacteriana. Además, las células de revestimiento presentan mínima o nula actividad fagocitaria. En esta área se acumulan las bacterias, y puede formarse un absceso

El absceso, limitado por la placa de crecimiento, se extiende transversalmente a través de los canales de Volkmann y eleva el periostio; se extiende subperióticamente y puede afectar a la diálisis. En niños menores de 1 año, algunas arterias metafisarias pasan a través de la placa de crecimiento, y la infección puede afectar a la epífisis y la articulación



Al expandirse el absceso, un fragmento de hueso desvitalizado (sequestro) permanece en su interior. El periostio elevado también puede proteger hueso sano, que forma un escudo (involucro). Ocasionalmente, el absceso se limita por fibrosis y esclerosis ósea, formando un absceso de Brodie

El proceso infeccioso puede erosionar el periostio y formar una fístula a través de las partes blandas y la piel para drenar externamente. El proceso depende de la virulencia del organismo, la resistencia del huésped, la administración de antibióticos y la respuesta fibrosa y esclerótica

INFECCIÓN

COMENTARIO

Osteomielitis

Infección bacteriana de hueso o médula ósea. **Primer organismo infeccioso: *Staphylococcus aureus***
Predomina la diseminación hematogena. Puede clasificarse como aguda, subaguda o crónica
Dolor, tumefacción, RSL aumentado, VSG, hemocultivos positivos. La Rx muestra radiolucencias, **secuestro** +/- (hueso cortical muerto), **involucro** (nuevo hueso perióstico). El escáner óseo contribuye al diagnóstico. I y D del absceso/secuestro, antibióticos IV seguidos de tratamiento con antibióticos orales

Artritis séptica

Infección del espacio articular (y sinovial). **Primer organismo: *Staphylococcus aureus***. La hematogena o por extensión de una osteomielitis son las más frecuentes. Lugares más frecuentes: primero rodilla, después cadera. Dolor, articulación caliente y tumefacta. Requiere aspiración/drenaje quirúrgico y antibióticos IV

Tétanos

Alteración neuromuscular causada por una exotoxina del *Clostridium tetani*
Vacuna profiláctica: toxoide tetánico y difterioide (Td); inmunoglobulina tetánica (IGT)
Previamente vacunado (< 5 años), herida limpia: sin tratamiento
Previamente vacunado (> 5 años), herida limpia o sucia: 0,5 mg Td
Vacunación desconocida o herida «sucia»: Td y **IGT**

ESTUDIO	COMENTARIO
Radiografía (Rx)	Estudio estándar; se necesitan múltiples proyecciones; muestra los huesos pero no las partes blandas. Deben realizarse siempre radiografías de las articulaciones superior e inferior al foco de fractura
TC	Permite un mejor estudio de la anatomía ósea. Se visualizan las partes blandas, pero peor que en la RM. A menudo se utiliza para fracturas conminutas y planificación prequirúrgica
RM	Permite un mejor estudio de las partes blandas, incluyendo discos intervertebrales, ligamentos y tendones. Es también altamente sensible para la osteonecrosis; imágenes T1 para grasa (útiles para una anatomía normal), imágenes T2 para agua (preferibles para patología). También se utiliza en planificación quirúrgica
Escáner óseo	Isótopo radiactivo inyectado en sangre. La imagen de cuerpo entero permite visualizar las áreas de mayor captación. Útil para identificar tumores, fracturas, infecciones y actividad ósea heterotópica
Artrografía	Contraste inyectado en la articulación seguido de radiografías para evaluar la integridad capsular (p. ej., utilizado en roturas del manguito de los rotadores)
Mielografía	Contraste inyectado en el espacio epidural; permite evaluar las hernias discales, tumores medulares
Discografía	Contraste inyectado en el núcleo pulposo para evaluar la degeneración discal. Procedimiento infrecuente
Ecografía	Útil para evaluar la patología del manguito de los rotadores

LISTA DE ABREVIATURAS

A			
abd.	abducir	CMC	carpometacarpiano
ABD	abducción dorsal	Col C	columna cervical
AC	acromioclavicular	CP	carga ponderal
ACP	abductor corto del pulgar	CPK	creatinfosfocinasa
ADP	aducción palmar		
AFS	arteria femoral superficial	D	
AGRAF	artrografía	DA	dedo anular
AHx	antecedentes historia médica	DAR	dosis absorbida de radiación
AINE	antiinflamatorio no esteroideo	DI	dedo índice
ALP	abductor largo del pulgar	DL	dolor lumbar
AM	abductor del meñique	DM	dedo meñique
ANA	anticuerpo antinuclear	DP	dolor a la palpación
AP	anteroposterior	DSR	distrofia simpaticorrefleja
AQD	abductor del quinto dedo		
AR	artritis reumatoide	E	
ARCD	articulación radiocubital distal	EA	espondilitis anquilosante
ATC	artroplastia total de cadera	EC	esternoclavicular
ATP	adenosintrifosfato	ECC	extensor cubital del carpo
AVM	accidente en vehículo a motor	ECM	esternocleidomastoideo
		ECN	estudio de conducción nerviosa
		ECP	extensor corto del pulgar
B		ED	extensor de los dedos
BA	balance articular	EDA	enfermedad degenerativa articular
BR	braquiorradial	EDD	enfermedad degenerativa discal
		EF	exploración física
C		EI	extensor del índice
Ca ⁺⁺	ión calcio	EIAI	espinia iliaca anteroinferior
CAP	compresión anteroposterior	ETAS	espinia iliaca anterosuperior
CAPL	complejo del ángulo posterolateral	EInf	extremidad inferior
CC	cabeza corta	EIPS	espinia iliaca posterosuperior
CELA	colapso escafolunar avanzado	EL	escafolunar
CFT	complejo fibrocartilaginoso triangular	ELD	extensor largo de los dedos
CL	cabeza larga	ELDg	extensor largo del dedo gordo
CLat	compresión lateral	ELP	extensor largo del pulgar
		EM	extensor del meñique

ABREVIATURAS

EMG electromiografía
 ERCC extensor radial corto del carpo
 ERLC extensor radial largo del carpo
 ESUp extremidad superior
 ETT escafotrapezotrapezoideo

F

FCC flexor cubital del carpo
 FCD flexor corto de los dedos
 FCDG flexor corto del dedo gordo
 FCM flexor corto del meñique
 FCP flexor corto del pulgar
 FCQD flexor corto del quinto dedo
 FLD flexor largo de los dedos
 FLDG flexor largo del dedo gordo
 FLP flexor largo del pulgar
 FPA fijación percutánea con agujas
 FPD flexor profundo de los dedos
 FR factor reumatoide
 FRC flexor radial del carpo
 FSD flexor superficial de los dedos
 Fx fractura

G

GAG glucosaminoglucanos
 GI gastrointestinal
 GU genitourinario

H

HPT hormona paratiroidea
 Hx historia

I

IF interfalángico
 IFD interfalángico distal
 IFP interfalángico proximal
 IgT inmunoglobulina tétanos
 IM intramedular
 IMBA inestabilidad multidireccional
 bilateral atraumática
 IMD inestabilidad multidireccional
 IOD interóseo dorsal
 IOP interóseo palmar
 IRAL inestabilidad rotatoria anterolateral
 IRPL inestabilidad rotatoria posterolateral
 IRPM inestabilidad rotatoria posteromedial
 ISID inestabilidad segmentaria intercalar
 dorsal
 ISIV inestabilidad segmentaria intercalar
 volar
 IUTLB inestabilidad unilateral traumática
 y lesión de Bankart

IV intravenoso
 lyD incisión y drenaje

L

LCA ligamento cruzado anterior
 LCF ligamento calcaneofibular
 LCL ligamento colateral lateral
 LCM ligamento colateral medial
 LCP ligamento cruzado posterior
 LLA ligamento longitudinal anterior
 LLP ligamento longitudinal posterior
 LP lunopiramidal
 LRCD ligamento radiocarpiano dorsal
 LREL ligamento radioescafolunar
 LRLT ligamento radiolunotriquetral
 LTC ligamento transverso del carpo
 LTFA ligamento talofibular anterior
 LTFP ligamento talofibular posterior
 LTPAI ligamento tibioperoneo
 anteroinferior
 LTPPI ligamento tibioperoneo
 posteroinferior

M

MC metacarpiano
 MCF metacarpofalángico
 MR manguito de los rotadores
 MT metatarsiano

N

NAV necrosis avascular
 NCFL nervio cutáneo femoral lateral
 NCFP nervio cutáneo femoral posterior
 NIA nervio interóseo anterior
 NIP nervio interóseo posterior
 NMS neurona motora superior
 NPH núcleo pulposo herniado

O

OA osteoartritis
 OM oponente del meñique
 OP oponente del pulgar
 OTLS ortesis toracolumbosacra

P

PC pronador cuadrado
 PCR proteína C-reactiva
 PL palmar largo
 PO postoperatorio
 PR pronador redondo

Q

Q cuádriceps

R

RAFI	reducción abierta, fijación interna
RCS	recuento celular sanguíneo
RE	rotación externa
RHCE	reposo, hielo, compresión y elevación
RI	rotación interna
RM	resonancia magnética
RSL	recuento sanguíneo leucocitario
RX	radiografía

S

SFR	síndrome femororrotuliano
SI	sacroilíaco
SLAP	<i>labrum</i> superior anterior/posterior
STC	síndrome del túnel carpiano
SVP	sinovitis vellonodular pigmentada
Sx	síntoma

T

TA	tibial anterior
TC	tomografía computarizada
Td	toxóide tétanos y difteria
TFL	tensor de la fascia lata
TIT	tracto iliotibial
TMT	tarsometatarsiano
TP	tibial posterior
TVP	trombosis venosa profunda

V

VMO	vasto medial oblicuo
VSG	velocidad de sedimentación globular

Y

YI	yugular interna
----	-----------------

ÍNDICE ALFABÉTICO DE MATERIAS

A

- Actina, 298
- Aducción horizontal forzada, 53
- Agujero ciático
 - mayor, 150
 - menor, 150
- Ahorcado, fractura de, 9
- Anamnesis
 - lesiones
 - de antebrazo, 101
 - de brazo, 74
 - de codo, 74
 - de hombro, 51
 - de muñeca, 101
 - de muslo, 176
 - de pelvis, 158
 - de pierna, 214
 - de rodilla, 214
 - de tobillo, 258
 - traumatismo de columna, 18
- Ángulo Q, 217
- Antebrazo. V. también *Radio; Cúbito*
 - abordajes quirúrgicos, 118, 120
 - anamnesis, 101
 - arterias, 114
 - exploración física, 102-103
 - músculos, 104-111
 - nervios, 112-113
 - osteología, 89
 - patología, 115-117
 - síndrome compartimental, 120
 - traumatismo, 91-95
- Apófisis
 - coracoides, 77
 - odontoides, fractura, 8
- Aponeurosis plantar, 257
- Arteria
 - arqueada, 273
 - braquial, 83
 - calcánea, 272
 - cubital, 83, 114
 - dorsal del pie, 272
 - femoral, 189
 - profunda, 189
 - ilíaca
 - común, 166
 - externa, 166
 - interna, 166
 - obturatriz, 189
 - peronea, 229
 - plantar, 272
 - poplítea, 229
 - radial, 83, 114
 - tarsiana, 273
 - tibial
 - anterior, 229
 - posterior, 229
- Articulación
 - acromioclavicular
 - anatomía, 49
 - artritis, 63
 - exploración, 52
 - infiltración, 50
 - luxación, 47, 51, 63
 - prueba de desplazamiento horizontal, 53
 - atlantoaxial, 14
 - atlantooccipital, 14
 - carpometacarpiana
 - anatomía, 125
 - infiltraciones, 131
 - prueba de Grind, 135
 - cigapofisaria, 15
 - costovertebral, 15
 - de Charcot, 275
 - de la cadera
 - abducción, 178

Articulación (cont.)

- abordajes quirúrgicos, 197-198
- anatomía, 174
- arterias, 189
- artroplastia total, 193-194
- aspirado, 175
- displasia, 195
- flexión, 177
- infiltración, 175
- luxación, 170
- músculos, 181
- nervios, 186-188
- osteoartritis, 191
- patología, 191-192
- pediatría
 - anatomía, 179-180
 - patología, 195-196
- traumatismo
 - anamnesis, 176
 - exploración física, 177-180
- femororrotuliana, 212
- glenohumeral
 - artrocentesis, 50
 - luxación, 47, 63
 - humerocubital, 72
 - humerorradial, 72
 - interfalángica, 125, 134, 255
 - intermetatarsiana, 255
 - intertarsiana, 255
 - intervertebral, 15
 - metacarpofalángica, 125, 134
 - metatarsofalángica, 255
 - radiocarpiana, 96
 - radiocubital, 72, 96
 - sacroilíaca, 156
 - séptica, 302
 - tarsometatarsiana, 255
 - tibioperonea
 - proximal, 212
 - inferior, 253
- Articulaciones
 - condíleas, 207
 - intercarpianas, 99
 - mediocarpianas, 99
- Artritis
 - articulación acromioclavicular, 63
 - brazo/codo, 84
 - inflamatoria, 191
 - cadera, 191
 - descripción, 294
 - rodilla, 230
 - osteoartritis. V. *Osteoartritis*
 - reumatoide, 115, 133, 141, 231, 277, 294
- Artrocentesis
 - articulación glenohumeral, 50
 - codo, 73
 - rodilla, 213

- tobillo, 258
- Artrografía, 303
- Artroplastia total de cadera, 193-194
- Artroscopia, 241-242
- Asa cervical, 27
- Aspiración de la bolsa olecraniana, 73
- Astrágalo
 - anatomía, 245
 - arterias, 271
 - fractura, 250
- Atrapamiento del nervio cutáneo femoral lateral, 192
- Axonotmesis, 296

B

- Banda iliotibial, 215
- Bennet, fractura de, 124
- Bloqueo digital, 131
- Bolsa
 - cubital, 128
 - radial, 128
- Boxeador, fractura de, 132
- Brazo. V. también *Codo*; *Húmero*
 - abordajes quirúrgicos, 85-86
 - arterias, 83
 - fracturas, 68-7
 - músculos, 77-80
 - nervios, 81-82
 - osteología, 66-67
 - patología, 84
 - pruebas de inestabilidad ligamentosa, 76
 - traumatismo
 - anamnesis, 74
 - descripción, 86-71
 - examen físico, 75-76
- Bunio, 276
- Bursitis
 - de la pata de ganso, 230
 - descripción, 63
 - isquiática, 158
 - olecraniana, 75, 84
 - prerrotuliana, 215, 230
 - retrocalcánea, 260, 277
 - trocantérea, 191

C

- Cadera en resorte, 192
- Calcáneo
 - anatomía, 246
 - fractura, 249
- Calcio, 291-292
- Callo, 275
- Capsulitis adhesiva, 63
- Chance, fractura de, 11
- Clavícula, 45-46
- Coalición tarsiana, 279
- Codo. V. también *Brazo*
 - abordajes quirúrgicos, 85-86

Codo (*cont.*)

- anamnesis, 74
- articulaciones, 72
- artrocentesis, 73
- de golfista, 76, 84
- de tenista. V. *Epicondylitis lateral*
- exploración física, 75-76
- infiltraciones, 73
- luxación, 70-71
- músculos, 77-80
- osteocondritis disecante, 84
- patología, 84
- pruebas de inestabilidad ligamentosa, 76

Colapso escafolunar avanzado, 115

Colles, fractura de, 101

Columna

- abordajes quirúrgicos, 41-42
- arterias, 34-35
- articulaciones, 14-15
- cervical
 - abordaje quirúrgico, 41-42
 - anatomía, 3
 - espondilosis, 36
 - fractura, 9
 - nervios, 19
 - prueba de exploración física, 21
 - estabilidad, 3-8
 - ligamentos, 16-17
- lumbar
 - anatomía, 6
 - fractura, 10
 - nervios, 20
 - patología, 37-38
 - pruebas de exploración física, 21
 - nervios, 27-32
 - osteología, 3-8
 - patología
 - contractura cervical/muscular, 36
 - degenerativa discal, 36-37
 - enfermedad de Scheuermann, 38
 - escoliosis, 38, 40
 - espondilólisis, 38-39
 - espondilolistesis, 38-39
 - espondilosis cervical, 36
 - hernia del disco cervical, 36
 - mielodisplasia, 40
 - síndrome de la cola de caballo, 36
 - subluxación, 9
 - torácica
 - anatomía, 3, 5
 - fractura, 10
 - traumatismo
 - anamnesis, 18
 - exploración física, 19-21
 - fracturas, 8-11

Complejo del ángulo posterolateral, 236

Condromalacia, 232

Contracción

- concéntrica, 298
- excéntrica, 298
- isocinética, 298
- isométrica, 298
- isotónica, 298

Contractura

- cervical/muscular, 36
- de Dupuytren, 133, 144

Corticoesteroides, 292

Cúbito, 89

Cuboides, 247

Cuneiformes, 246

D

Dedos

- de la mano. V. *Falanges, extremidad superior*
- de los pies. V. *Falanges, extremidad inferior*
- en garra, 275
- en martillo, 276
- en resorte, 141

Deformidad

- de Boutonnière, 142
- en cúbito varo, 75
- en cuello de cisne, 142

Discografía, 303

Discos intervertebrales, 16-17

Discrepancia en la longitud de las piernas, 179

Disociación escafolunar, 115

Displasia de cadera, 195

Distrofia muscular de Duchenne, 298

E

Ecografía, 303

Encondroma, 144

Enfermedad

- de Haglund, 277
- de Hoffa, 230
- de Kienböck, 117
- de Legg-Calve-Perthes, 196
- de Osgood-Schlatter, 215, 239
- de Paget, 293
- de Scheuermann, 38
- degenerativa
 - articular, 115, 141
 - discal, 36-37
 - DeQuervain, 115

Epicondylitis

- lateral
 - descripción, 84
 - exploración física, 75
 - infiltraciones, 73
 - pruebas, 76
- medial, 84

Epicóndilo

- lateral, 77
- medial, 77

Epifisiólisis de la cabeza femoral, 196
 Epifisis distal de la tibia, fractura, 205-206
 Escafoides
 - anatomía, 90
 - fractura, 94, 101-102
 Escáner óseo, 303
 Escápula, 45-46
 Escoliosis, 38, 40
 Escorbuto, 293
 Esguinces, 294
 - del ligamento colateral, 84
 Espacio
 - mediopalmar
 - - descripción, 128
 - - infección, 144
 - tenar
 - - descripción, 128
 - - infección, 144
 - - músculos, 136
 Espacios de la mano, 128
 Espina
 - ilíaca
 - - anterosuperior, 150
 - - posterosuperior, 150
 - isquiática (ciática), 150
 Espondiloartropatía seronegativa, 277
 Espondilólisis, 38-39
 Espondilolistesis, 38-39
 Esporotricosis, 143
 Esquiador, pulgar de, 142
 Estenosis vertebral, 38
 Estrógenos, 292
 Exploración
 - física
 - - antebrazo, 102-103
 - - codo, 75-76
 - - columna, 19-21
 - - hombro, 52-53
 - - muñeca, 102-103
 - - muslo, 177-80
 - - pelvis, 158-159
 - - pie, 259-261
 - - pierna, 215-219
 - - rodilla, 215-219
 - - tobillo, 259-261
 - rectal, 159
 - vaginal, 159

F

Falanges, extremidad
 - inferior
 - - anatomía, 247
 - - fracturas, 252
 - - luxación, 251
 - superior. V. también *Pulgar*
 - - abordajes quirúrgicos, 145
 - - anatomía, 123, 129

- - fractura, 124
 - - pruebas de inestabilidad, 135
 - - traumatismo, 132-134
 Fascitis plantar, 276
 Fémur. V. *Pierna; Muslo*
 - anatomía, 169
 - anteversión, 195
 - arterias, 190
 - fractura, 171-173
 Fibroxantoma, 144
 Fosfato, 291-292
 Fractura
 - abierta, 287
 - acetabular, 154-155
 - compresión, 287
 - conminuta, 287
 - de Bennett, 124
 - de Busch, 132, 142
 - de Chance, 11
 - de clavícula, 46
 - de Colles, 101
 - de Galeazzi, 92
 - de Jefferson, 9
 - de la apófisis odontoides, 8
 - de la columna, 8-11
 - de la epifisis distal de la tibia, 205-206
 - de la escápula, 46
 - de la muñeca, 94
 - de la pelvis, 152-153
 - de la rótula, 203
 - de la tibia, 203-205
 - de las falanges, 124, 252
 - de Maisonneuve, 205-206
 - de Monteggia, 92
 - de Rolando, 124
 - del ahorcado, 9
 - del astrágalo, 250
 - del boxeador, 132
 - del calcáneo, 249
 - del escafoides, 94, 101-102
 - del fémur, 171-173
 - del húmero, 68-69
 - del metacarpiano, 124
 - del metatarsiano, 252
 - del olécranon, 91
 - del pie, 249-251
 - del radio, 91, 93
 - del rodete, 95, 287
 - en tallo verde, 95, 287
 - espiroidea, 287
 - patológica, 287
 - pertrocanterea, 171
 - por compresión, 287
 - subtrocanterea, 171
 - supracondilea, 70
 - tobillo, 248
 - transversa, 287

G

- Ganchoso, 90
- Ganglión
 - mano, 144
 - muñeca, 117
- Genu*
 - *valgum*, 239
 - *varum*, 239
- Gota, 275
- Guillain-Barré, síndrome, 296

H

- Hallux*
 - *rigidus*, 275
 - *valgus*, 259, 276
- Hernia discal lumbar, 37
- Hipercalcemia, 293
- Hiperparatiroidismo, 293
- Hipocalcemia, 293
- Hipoparatiroidismo, 293
- Hombro
 - anamnesis, 51
 - arterias, 61-62
 - articulaciones, 48-49
 - exploración física, 52-53
 - infiltraciones, 50
 - luxación, 47, 51
 - manguito de los rotadores, 57, 64
 - músculos, 54-57
 - nervios, 58-60
 - osteología, 45
 - patología, 63-64
 - traumatismo, 47
- Hormona
 - del crecimiento, 292
 - tiroidea, 292
- Hueso. V. también huesos específicos
 - alteraciones metabólicas, 293
 - composición, 286
 - cortical, 283
 - curación, 289-290
 - esguince, 294
 - esponjoso, 283-284
 - fractura, 287. V. también *Fractura*
 - grande, 90
 - mecanismos reguladores, 285-286
 - metabolismo y regulación del calcio, 291-292
 - osificación, 286
 - placa de crecimiento, 288
 - tipos, 282-284
- Huesos
 - largos, 282
 - planos, 282
- Húmero. V. también *Brazo*
 - abordajes quirúrgicos, 85
 - anatomía, 67
 - fracturas, 68-69
 - músculos, 77

I

- Ilíaco, 161
- Inestabilidad inferior, 53
- Infiltración
 - de la bolsa trocantérea, 175
 - del túnel carpiano, 100

J

- Jefferson, fractura de, 9
- Juanete de sastre, 277

L

- Latigazo cervical. V. *Contractura cervical/muscular*
- Lesión
 - del *labrum*, 64
 - del ligamento
 - - colateral
 - - - lateral, 236
 - - - medial, 236
 - - cruzado
 - - - posterior, 214, 236
 - - - anterior, 214, 236
 - del nervio torácico largo, 64
- Lesiones meniscales, 233
- Ligamento
 - arqueado del pubis, 157
 - iliolumbar, 157
 - lumbosacro, 157
 - sacroespinoso, 157
 - sacrotuberoso, 157
 - superior del pubis, 157
- Luxación
 - articulación
 - - esternoclavicular, 64
 - - glenohumeral, 47, 63
 - - cadera, 170
 - - carpiana, 94
 - - codo, 70-71
 - - falángica, 251
 - - rodilla, 203-204
 - - rótula, 234
- Luxación/inestabilidad esternoclavicular, 64

M

- Maisonneuve, fractura de, 205-206
- Manguito de los rotadores
 - anatomía, 57
 - rotura, 64
- Maniobra de Allis, 170, 180
- Mano. V. también *Muñeca*
 - abordajes quirúrgicos, 145
 - arterias, 140
 - articulaciones, 125-126
 - falanges, 123-124
 - infiltraciones, 131
 - metacarpianos, 123-124
 - músculos, 136-137

Mano (cont.)

- nervios, 138-139
- osteología, 123
- patología
 - artritis, 141
 - infecciones, 143
 - lesiones ligamentosas, 142
 - tumores, 144
- traumatismo
 - anamnesis, 132
 - exploración física, 133-135
- vaina tendinosa flexora. V. *Vaina tendinosa flexora*

Marcha, 176-177

- de puntillas, 36, 261

Médula espinal, traumatismo, 12-13

Meralgia, 159, 179, 192

Metacarpianos. V. también *Muñeca*

- anatomía, 123
- fractura, 124
- traumatismo, 124

Metatarsalgia, 276

Metatarsianos

- anatomía, 247
- fractura, 252

Metatarsus adductus, 259, 278

Miastenia grave, 296

Mielodisplasia, 40

Mielografía, 303

Miosina, 298

Monteggia, fractura de, 92

Mordedura

- animal, 143
- humana, 143

Muñeca. V. también *Metacarpianos*

- abordajes quirúrgicos, 118-119
- anamnesis, 101
- articulaciones, 96-99
- aspiración, 100
- exploración física, 102-103
- fracturas, 94
- ganglión, 117
- infiltraciones, 100
- osteología, 90
- patología de compresión nerviosa, 116
- traumatismo, 91-95

Músculo

- abductor
 - corto del pulgar, 136
 - del dedo gordo, 265
 - del quinto dedo, 136, 265
 - largo del pulgar, 110
- aductor
 - corto, 160, 181, 183
 - del dedo gordo, 267
 - del pulgar, 136
 - largo, 160, 181, 183
 - mayor, 160, 181, 183

- ancóneo, 108
- articular de la rodilla, 182
- bíceps
 - braquial, 54, 78
 - femoral, 184
- braquial, 78
- braquiorradial, 108
- coracobraquial, 54, 78
- cuadrado
 - femoral, 162
 - plantar, 266
- cuádriceps, 182-183
- deltoides, 56-57
- dorsal ancho, 55
- elevador de la escápula, 55
- espinoso, 25
- esplenio
 - de la cabeza, 25
 - del cuello, 25
- extensor
 - corto
 - de los dedos, 262
 - del dedo gordo, 262
 - del pulgar, 110
 - cubital del carpo, 108
 - de los dedos, 108
 - del índice, 110
 - del menique, 108
 - largo
 - de los dedos, 224
 - del dedo gordo, 224
 - del pulgar, 110
 - radial
 - corto del carpo, 108
 - largo del carpo, 108
- flexor
 - corto
 - de los dedos, 265
 - del dedo gordo, 267
 - del menique, 136, 267
 - del pulgar, 136
 - cubital del carpo, 106
 - largo
 - de los dedos, 222
 - del dedo gordo, 222
 - del pulgar, 109
 - profundo de los dedos, 109
 - radial del carpo, 106
 - superficial de los dedos, 106
- gastrocnemio, 221
- gemelo
 - inferior, 162
 - superior, 162
- glúteo
 - mayor, 162
 - medio, 162
 - menor, 162

Músculo (*cont.*)

- grácil, 160, 181, 183
- iliocostal, 25
- infraespinoso, 57
- longísimo, 25
- multifido, 26
- obturador
 - externo, 162, 183
 - interno, 162
- oponente
 - del meñique, 136
 - del pulgar, 136
- palmar
 - corto, 136
 - largo, 106
- pectíneo, 160, 181, 183
- pectoral
 - mayor
 - anatomía, 54, 56
 - rotura, 64
 - menor, 54, 56
- peroneo
 - corto, 223
 - largo, 223
- piriforme, 162
- plantar, 223
- poplíteo, 222
- pronador
 - cuadrado, 109
 - redondo, 106
- psoas menor, 160, 181
- recto femoral, 182
- redondo
 - mayor, 57
 - menor, 57
- romboides
 - mayor, 55
 - menor, 55
- sartorio, 182
- semiespinoso, 26
- semimembranoso, 184
- semitendinoso, 184
- serrato anterior, 56
- sóleo, 221
- subclavio, 56
- subescapular, 57
- supinador, 110
- supraespinoso, 57
- tercer peroneo, 224
- tibial
 - anterior, 224
 - posterior, 222
- trapecio, 55 ??
- tríceps braquial, 79
- vasto
 - intermedio, 182
 - lateral, 182

- medial, 182

Músculos, 298-301

- del cuello, 22-26
- infrahioideos, 22
- interespinosos, 26
- interóseos, 137, 268
- plantares, 268
- intertransversos, 26
- lumbricales, 137, 266
- rotadores, 26
- suprahioideos, 22
- Muslo. V. también *Fémur; Pierna*
- abordajes quirúrgicos, 197
- arterias, 189
- músculos, 182-185
- nervios, 186-188
- osteología, 169-170
- patología, 191-192
- pediátrica, 195-196
- traumatismo
 - anamnesis, 176
 - exploración física, 177-180
 - fracturas, 171
 - luxación, 170

N

Navicular, 246

Nervio

- auricular mayor, 27
- axilar, 29
- cervical transverso, 27
- cubital
 - anatomía, 28, 81, 112, 138
 - compresión, 74
- femoral, 187, 226, 269
- frénico, 27
- mediano
 - anatomía, 29, 112, 139
 - bloqueo, 100
- musculocutáneo, 81-82
- obturador, 186
- occipital menor, 27
- peroneo común, 188, 226, 228, 270
- radial, 29, 81-82, 113, 139
- supraclavicular, 27
- supraescapular, 28
- tibial, 188, 226, 227, 264, 269

Nervios, 296-298

Neuroapraxia, 296

Neuroma de Morton, 276

Neurotmesis, 296

Nódulos de Heberden, 133

O

Olécranon

- bursitis, 75, 84
- fractura, 91

- Osteoartritis
 - antebrazo, 115
 - cadera, 176, 191
 - características, 294
 - mano, 133, 141
 - rodilla, 230
 - tobillo, 274
- Osteoblastos, 285
- Osteocitos, 285
- Osteoclastos, 285
- Osteocondritis disecante
 - de codo, 84
 - de rodilla, 233
- Osteodistrofia renal, 293
- Osteólisis, 64
- Osteomalacia, 295
- Osteomielitis, 302
- Osteonecrosis, 192
- Osteopetrosis, 293
- Osteoporosis, 293, 295

P

- Panadizo, 134, 143
- Paroniquia, 134, 143
- Pelvis
 - arterias, 166
 - articulaciones, 156-157
 - fractura, 152-153
 - músculos, 160-162
 - nervios, 163-165
 - osteología, 149
 - puntos de referencia, 150-151
 - traumatismo
 - anamnesis, 158
 - descripción, 152-155
 - exploración física, 158-159
- Peroné, 202
- Pie
 - arterias, 272-273
 - articulaciones, 255-256
 - cavo, 279
 - diabético, 275
 - equinovaro, 259, 278
 - infiltraciones, 258
 - músculos, 262-268
 - nervios, 269-270
 - osteología, 245-247
 - patología, 274-277
 - pediátrica, 278-279
 - plano, 259, 279
 - traumatismo
 - anamnesis, 258
 - fracturas, 249-251
- Pierna. V. también *Fémur*
 - abordajes quirúrgicos, 241-242
 - arterias, 229
 - músculos, 220-225

- nervios, 226-228
- osteología, 201-202
- patología, 230-237
 - pediátrica, 239-240
- traumatismo
 - anamnesis, 214
 - exploración física, 215-219
- Piernas arqueadas, 239
- Piramidal, 90
- Pisiforme, 90
- Plexo
 - braquial
 - anatomía, 28-30, 58-59
 - lesión, 63
 - cervical, 27, 59
 - lumbar, 31, 163, 186-187, 226, 269
 - sacro, 32-33, 164, 226, 269-270
- Plica, 234
- Poliomielitis, 296
- Porción
 - coccígea de la columna, 6-7
 - sacra de la columna, 6-7
- Pronación dolorosa. V. *Subluxación del radio*
- Prueba
 - de abducción forzada, 261
 - de Adson, 53
 - de Allen, 103
 - de aprehensión, 217
 - rotuliana, 217
 - de Barlow, 179-180
 - de Bunnel-Littler, 135
 - de compresión, 261
 - activa, 53
 - de Apley, 217
 - de la sindesmosis, 261
 - de contracción del cuádriceps, 217
 - de desplazamiento rotuliano, 217
 - de Ely, 179
 - de eversión forzada, 261
 - de Finkelstein, 103
 - de flexión
 - del codo, 76
 - en bipedestación, 21
 - de Galeazzi, 179-180
 - de inestabilidad inferior, 53
 - de la pinza, 76
 - de Lachman, 217-218
 - pasivo, 217
 - de Lasègue, 20-21, 159, 179
 - de *lift off*, 53
 - de McMurray, 217
 - de Ober, 179
 - de Ortolani, 179-180
 - de Patrick, 159, 179
 - de Phalen, 103
 - de Roo, 53
 - de Slocum, 217

Prueba (*cont.*)

- de Spurling, 53
 - de Thompson, 261
 - de traslación, 53
 - de Trendelenburg, 21, 159
 - de valgo forzado, 217-218
 - de varo forzado, 217-218
 - de Watson, 103
 - de Yergason, 53
 - del brazo caído, 53
 - del cajón
 - anterior, 217, 261
 - posterior, 217-218
 - posterolateral, 217
 - posteromedial, 217
 - del flexor
 - profundo de los dedos, 135
 - superficial de los dedos, 135
 - del piriforme, 179
 - del *pivot shift*, 217, 219
 - invertido, 217, 219
 - del rodillo, 179
- Pulgar. V. también *Falanges, extremidad superior*
- del esquiador, 142
 - en resorte, 141
 - infiltración, 131
 - pruebas de inestabilidad, 135

Q

Quiste

- de Baker, 230
- epidérmico de inclusión, 144

R

Radio. V. también *Antebrazo*

- anatomía, 89
- fracturas, 91, 93
- subluxación, 71, 75

Radiografías, 303

Raquitismo, 293

Reflejos espinales, 20

Resonancia magnética, 303

Retináculo

- extensor
 - inferior, 257
 - superior, 257
- flexor, 257
- peroneo
 - inferior, 257
 - superior, 257

Rodete, fractura de, 95, 287

Rodilla. V. también *Rótula*

- abordajes quirúrgicos, 241
- arterias, 229
- articulaciones, 207-213
- artrocentesis, 213
- artroplastia total, 237-238

- artroscopia, 241
 - del saltador, 235
 - infiltraciones, 213
 - luxación, 203-204
 - músculos, 220-225
 - nervios, 226-228
 - osteocondritis disecante, 233
 - osteología, 202
 - patología, 230-237
 - pediátrica, 239-240
 - traumatismo
 - anamnesis, 214
 - exploración física, 215-219
- Rodillas en X, 239
- Rolando, fractura de, 124
- Rótula. V. también *Rodilla*
- anatomía, 202
 - fractura, 203
 - inestabilidad, 234
 - luxación, 234
 - patología, 233
 - subluxación, 234
- Rotura del tendón
- del bíceps, 63
 - del cuádriceps, 235
 - del tríceps, 84
 - rotuliano, 235

S

Semilunar, 90

Signo

- de atrapamiento, 53
- de «demasiados dedos», 259, 261
- de aprehensión, 53
 - posterior, 53
- de Brudzinski, 21
- de Froment, 135
- de Hawkin, 53
- de Homan, 261
- de Hoover, 21
- de Kernig, 21
- de Murphy, 135
- de Thomas, 179
- de Tinell, 76, 103, 261
- de Waddell, 21
- del surco, 53

Síndrome

- columna posterior, 13
- compartimental
 - de la pierna, 216, 232, 301
 - del brazo, 120, 301
- descripción, 300
- etiología, 301
- de atrapamiento, 63
- de Brown-Séquard, 13
- de Charcot-Marie-Tooth, 296
- de compresión rotuliana, 233

Síndrome (*cont.*)

- de fricción de la banda iliotibial, 232
 - de la arteria espinal anterior, 13
 - de la cola de caballo, 36
 - del desfiladero torácico, 64
 - del nervio interóseo
 - anterior, 116
 - posterior, 116
 - del túnel
 - carpiano, 116
 - cubital, 63, 116
 - radial, 116
 - tarsiano, 278
 - femororrotuliano, 232
 - medular central, 13
 - paquete adiposo anterior, 230
 - pronador, 116
- Sínfisis del pubis, 157
- Subluxación
- de la rótula, 234
 - del radio, 71, 75
 - vertebral, 9

T

Tallo verde, fractura en, 95, 287

Técnicas de imagen, 303

Tendinitis

- bicipital, 63
- rotuliana, 235

Tendón de Aquiles

- rotura, 274
- tendinitis, 260, 274

Tenosinovitis

- de flexores, 141
- estenosante, 134
- purulenta, 133, 143

Tensor de la fascia lata, 161

Tétanos, 302

Tibia. V. también *Pierna*

- abordajes quirúrgicos, 241-242
- anatomía, 201
- fractura, 203-205
- torsión, 239-240

Tobillo

- abordajes quirúrgicos, 280

- anamnesis, 258

- arterias, 271

- articulaciones, 253-254

- artrocentesis, 258

- esguince, 274

- examen físico, 259-261

- fractura, 248

- inestabilidad, 274

- osteoartritis, 274

- osteología, 245-247

- patología, 274-277

Tomografía computarizada, 303

Torticólis, 40

Trapecio, 90

Trapezoide, 90

Traumatismo

- antebrazo, 91-95

- brazo, 68-71, 74-76

- cadera, 176-180

- mano, 132-135

- médula espinal, 12-13

- metacarpiano, 124

- muñeca, 91-95

- muslo, 170-171, 176-180

- pelvis, 152-155

- pie, 249-251, 258

Triángulo suboccipital, 23

Trocánter

- mayor, 77

- menor, 150

Tropomiosina, 298

Troponina, 298

Tuberosidad isquiática, 150

Tumor de células gigantes, 144

U

Unión neuromuscular, 296-297

V

Vaina tendinosa flexora

- anatomía, 127

- bloqueo, 131

- zonas de lesión, 130

Verrugas plantares, 277

Vértebras C1 y C2, 3-4, 9

Netter

Atlas Práctico de Anatomía Ortopédica

Jon C. Thompson

El **Atlas Práctico de Anatomía Ortopédica** contiene ilustraciones realizadas por Frank H. Netter procedentes del *Atlas de Anatomía Humana* y del volumen 13 de la *Colección de Ilustraciones Médicas Netter*. Todas estas imágenes se reúnen por primera vez en un libro.

Las tablas exponen información clave sobre huesos, articulaciones, músculos y nervios, en relación con cada ilustración. Además, cada capítulo contiene información clínica útil sobre patología, traumatismos, anamnesis, exploración física, radiología, abordajes quirúrgicos y procedimientos menores.

Características:

- 450 imágenes realizadas por Frank H. Netter.
- Información en forma de tablas, de consulta rápida y sencilla.
- Los datos fundamentales se resaltan en diferentes colores para un acceso rápido a la información clínica relevante:

Negro para el texto estándar.

Rojo para información que no debe pasarse por alto, a riesgo de provocar morbilidad o mortalidad.

Verde para información clínica de conocimiento indispensable.

«La calidad imperdurable y la precisión de los dibujos de Frank H. Netter realzan la riqueza del material clínico del manual de Jon C. Thompson.»

James Heckman

Editor del *Journal of Bone and Joint Surgery*

Jon C. Thompson

El Dr. Thompson ha trabajado como médico de urgencias y becario de investigación en el *Extremity Trauma Branch* del *Institute of Surgical Research*. Actualmente es residente en cirugía ortopédica en el *San Antonio Uniformed Services Health Education Consortium* at *Brooke Army Medical Center* y también es miembro del *Departamento de Cirugía del Uniformed Services University of the Health Sciences*.

Frank H. Netter

Incluso después de 50 años, el ilustrador médico Frank H. Netter sigue siendo una piedra angular de la educación médica y un nombre de referencia para los profesionales de la salud de hoy en día. Sus ilustraciones han educado a millones de médicos, dentistas, fisioterapeutas, quiroprácticos, farmacéuticos, enfermeras, quiromasajistas y podólogos desde la realización de su primer *Clinical Symposia* en la primavera de 1948. El Dr. Netter sigue siendo considerado un maestro indiscutible de la ilustración médica.

U. MIGUEL HERNANDEZ SJ



8000016163

ISBN: 84-458-1373-0